



## Informazioni su questo libro

Si tratta della copia digitale di un libro che per generazioni è stato conservata negli scaffali di una biblioteca prima di essere digitalizzato da Google nell'ambito del progetto volto a rendere disponibili online i libri di tutto il mondo.

Ha sopravvissuto abbastanza per non essere più protetto dai diritti di copyright e diventare di pubblico dominio. Un libro di pubblico dominio è un libro che non è mai stato protetto dal copyright o i cui termini legali di copyright sono scaduti. La classificazione di un libro come di pubblico dominio può variare da paese a paese. I libri di pubblico dominio sono l'anello di congiunzione con il passato, rappresentano un patrimonio storico, culturale e di conoscenza spesso difficile da scoprire.

Commenti, note e altre annotazioni a margine presenti nel volume originale compariranno in questo file, come testimonianza del lungo viaggio percorso dal libro, dall'editore originale alla biblioteca, per giungere fino a te.

## Linee guide per l'utilizzo

Google è orgoglioso di essere il partner delle biblioteche per digitalizzare i materiali di pubblico dominio e renderli universalmente disponibili. I libri di pubblico dominio appartengono al pubblico e noi ne siamo solamente i custodi. Tuttavia questo lavoro è oneroso, pertanto, per poter continuare ad offrire questo servizio abbiamo preso alcune iniziative per impedire l'utilizzo illecito da parte di soggetti commerciali, compresa l'imposizione di restrizioni sull'invio di query automatizzate.

Inoltre ti chiediamo di:

- + *Non fare un uso commerciale di questi file* Abbiamo concepito Google Ricerca Libri per l'uso da parte dei singoli utenti privati e ti chiediamo di utilizzare questi file per uso personale e non a fini commerciali.
- + *Non inviare query automatizzate* Non inviare a Google query automatizzate di alcun tipo. Se stai effettuando delle ricerche nel campo della traduzione automatica, del riconoscimento ottico dei caratteri (OCR) o in altri campi dove necessiti di utilizzare grandi quantità di testo, ti invitiamo a contattarci. Incoraggiamo l'uso dei materiali di pubblico dominio per questi scopi e potremmo esserti di aiuto.
- + *Conserva la filigrana* La "filigrana" (watermark) di Google che compare in ciascun file è essenziale per informare gli utenti su questo progetto e aiutarli a trovare materiali aggiuntivi tramite Google Ricerca Libri. Non rimuoverla.
- + *Fanne un uso legale* Indipendentemente dall'utilizzo che ne farai, ricordati che è tua responsabilità accertarti di farne un uso legale. Non dare per scontato che, poiché un libro è di pubblico dominio per gli utenti degli Stati Uniti, sia di pubblico dominio anche per gli utenti di altri paesi. I criteri che stabiliscono se un libro è protetto da copyright variano da Paese a Paese e non possiamo offrire indicazioni se un determinato uso del libro è consentito. Non dare per scontato che poiché un libro compare in Google Ricerca Libri ciò significhi che può essere utilizzato in qualsiasi modo e in qualsiasi Paese del mondo. Le sanzioni per le violazioni del copyright possono essere molto severe.

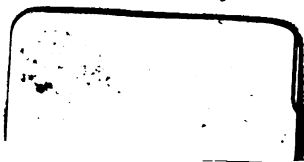
## Informazioni su Google Ricerca Libri

La missione di Google è organizzare le informazioni a livello mondiale e renderle universalmente accessibili e fruibili. Google Ricerca Libri aiuta i lettori a scoprire i libri di tutto il mondo e consente ad autori ed editori di raggiungere un pubblico più ampio. Puoi effettuare una ricerca sul Web nell'intero testo di questo libro da <http://books.google.com>



1256.

(Alm.) 1845-e 11  
1817-8











EFFEMERIDI ASTRONOMICHE  
DI MILANO  
PER L'ANNO 1817.

CALCOLATE  
DA  
FRANCESCO CARLINI  
ED  
ENRICO BRAMBILLA.

---

CON APPENDICE.

---



MILANO,  
DALL' IMP. REGIA STAMPERIA,  
1816.



## SPIEGAZIONE DEI SIMBOLI E DELLE ABBREVIAZIONI.

### SEGANI DEL ZODIACO.

- ♈ Ariete.
- ♉ Toro.
- ♊ Gemelli.
- ♋ Cancro.
- ♌ Leone.
- ♍ Vergine.
- ♎ Libra.
- ♏ Scorpione.
- ♐ Sagittario.
- ♑ Capricorno.
- ♒ Aquario.
- ♓ Pesci.

### ☉ Sole.

- g indica Giorni.
- h Ore.
- s Segni.
- ° Gradi.
- ' Minuti.
- " Secondi.
- ☌ Congiunzione.
- ☍ Opposizione.

### PIANETI.

- ☿ Mercurio.
- ♀ Venere.
- ♂ Terra.
- ♂ Marte.
- ♀ Cerere.
- ♀ Pallade.
- ♀ Giunone.
- ☿ Vesta.
- ♃ Giove.
- ♄ Saturno.
- ♅ Urano.

### ☽ Luna.

- ℳ indica Mattina.
- s Sera.
- A Australe.
- B Boreale.
- diff. Differenza.
- dist. min. Distanza minima.
- imm. Immersione.
- em. Emersione.

Per indicare il luogo a cui convien dirigere l'attenzione nell'osservare l'emersione delle stelle, in seguito all' ora del fenomeno abbiamo notato la distanza del punto del bordo lunare dove deve accadere l'emersione dal corno della Luna più vicino, espressa in gradi della circonferenza della Luna stessa.

---

## FESTE MOBILI.

---

Settuagesima . . . . .	2 Febbrajo.
Giorno delle Ceneri . . . . .	19 Febbrajo.
Pasqua di Risurrezione . . . . .	6 Aprile.
Litanie alla Romana . . . . .	12 13 14 Maggio.
Ascensione del Signore . . . . .	15 Maggio.
Litanie all' Ambrosiana . . . . .	19 20 21 Maggio.
Pentecoste . . . . .	25 Maggio.
Santissima Trinità . . . . .	1 Giugno.
Corpus Domini . . . . .	5 Giugno.
Avvento all' Ambrosiana . . . . .	16 Novembre.
Avvento alla Romana . . . . .	30 Novembre.

---

## NUMERI DELL' ANNO.

---

Numero d' Oro . . . . .	13.
Ciclo Solare . . . . .	6.
Epatta . . . . .	12.
Indizione Romana . . . . .	5.
Lettera Domenicale . . . . .	E.

---

## QUATTRO TEMPORA.

---

Di Primavera . . . . .	26 28 Febbrajo 1 Marzo.
D'Estate . . . . .	28 30 31 Maggio.
D'Autunno . . . . .	17 19 20 Settembre.
D'Inverno . . . . .	17 19 20 Dicembre.

---

---

## ECLISSI DELL' ANNO 1817.

---

16 Maggio. Eclisse di Sole invisibile a Milano.

Congiunzione 7<sup>h</sup> 36' mattina.

9 Novembre. Eclisse di Sole invisibile a Milano.

Congiunzione 2<sup>h</sup> 44' mattina.

---

	<i>Obliquità apparente dell'eclittica.</i>	<i>Nutazione de' punti equinoz. in longit.</i>
1 Gennajo .....	23° 27' 51",8 .....	- 15",8
1 Febbrajo .....	23 27 52 ,4 .....	- 14,9
1 Marzo .....	23 27 53 ,0 .....	- 15,1
1 Aprile .....	23 27 53 ,3 .....	- 15,8
1 Maggio .....	23 27 53 ,1 .....	- 16,3
1 Giugno .....	23 27 52 ,8 .....	- 15,7
1 Luglio .....	23 27 52 ,9 .....	- 14,4
1 Agosto .....	23 27 53 ,5 .....	- 13,4
1 Settembre .....	23 27 54 ,1 .....	- 13,4
1 Ottobre .....	23 27 54 ,4 .....	- 14,1
1 Novembre .....	23 27 54 ,2 .....	- 14,6
1 Dicembre .....	23 27 53 ,9 .....	- 13,8

## EFFEMERIDI

1817.

*Errori. Correzioni.*

18 Agosto. Latitudine della Luna . . . 19° 38' . . . 19 33

## APPENDICE.

<i>Pag. lin.</i>	<i>Errori.</i>	<i>Correzioni.</i>
35 33 . . . di un piano . . .	di un piano passante per un punto dato	
38 4 . . . analasi . . . . .	analisi	
50 18 . . . permutansi . . . .	permutinsi	
76 8 . . . $\sin \Lambda$ . . . . .	$\sin L$	
79 20 . . . $L$ . . . . .	$l''$	
79 21 . . . $l$ . . . . .	$L''$	
83 5 . . . (108) . . . . .	(109)	
84 12 . . . $1 + \sigma$ . . . . .	$1 - \sigma$	
87 3 . . . $b_i^n$ . . . . .	$b_i^n$	
87 3 . . . $a_i^{nn}$ . . . . .	$a_i^{nn}$	
91 8 . . . $\delta \phi''' T^i$ . . . . .	$\delta \phi''' D''' T^i$	
91 10 . . . $\delta \phi' T^{nn}$ . . . . .	$\delta \phi' D' T^{nn}$	
91 23 . . . $\delta \phi''' T^i, \delta \phi' T^{nn}$ . . .	$\delta \phi''' D''' T^i, \delta \phi' D' T^{nn}$	
99 9 . . . dello . . . . .	dallo	
100 17 . . . $C' \cos'i \cos'\Omega$ . . .	$C' \cos'i \sin'\Omega$	
100 17 . . . $C' \cos'i \sin'\Omega$ . . .	$C' \cos'i \cos'\Omega$	

---

---

## INDICE.

---

<i>Fenomeni ed osservazioni, posizioni del Sole, della Luna e dei Satelliti di Giove . . . . .</i>	pag.	1
<i>Semidiametro del Sole, tempo impiegato dal Sole a passare il meridiano, e longitudine del nodo della Luna di 6 in 6 giorni</i>	"	73
<i>Posizioni di Mercurio di 6 in 6 giorni . . . . .</i>	"	74
<i>Venere di 6 in 6 giorni . . . . .</i>	"	76
<i>Marte di 6 in 6 giorni . . . . .</i>	"	78
<i>Cerere di 6 in 6 giorni . . . . .</i>	"	80
<i>Pallade di 6 in 6 giorni . . . . .</i>	"	81
<i>Giunone di 6 in 6 giorni . . . . .</i>	"	82
<i>Vesta di 6 in 6 giorni . . . . .</i>	"	83
<i>Giove di 12 in 12 giorni . . . . .</i>	"	84
<i>Saturno di 12 in 12 giorni . . . . .</i>	"	85
<i>Urano di 12 in 12 giorni . . . . .</i>	"	86
<i>Tavole per calcolare le posizioni apparenti di trentaquattro Stelle principali . . . . .</i>	"	87
<i>Tavole della rifrazione pel clima di Milano . . . . .</i>	"	97
<i>Serie di occultazioni di Stelle fisse dietro la Luna, data dagli Astronomi delle Scuole Pie di Firenze . . . . .</i>	"	103

## APPENDICE.

<i>Declinazioni di quaranta Stelle osservate al circolo moltiplicatore di tre piedi di diametro da Barnaba Oriani . . . .</i>	"	3
<i>Nuova Analisi del problema di determinare le orbite dei corpi celesti di Ottaviano Fabrizio Mossotti, parte prima . . . .</i>	"	33
<i>Avvertenze sulle tavole dei Satelliti di Giove di Francesco Carlini . . . . .</i>	"	113



GIORNI.	FASI DELLA LUNA.	GIORNI.	ECLISSE DEI SATELLITI DI GIOVE. <i>Tempo medio.</i>
3	Plenilunio..... 1 <sup>h</sup> 20'	10	I. SATELLITE.
10	Ultimo quarto..... 0 19	17	7 5 31 imm.
17	Novilunio..... 1 15	25	1 33 54
25	Primo quarto..... 0 19		4 20 2 14
			6 14 30 36
			8 8 58 56
			10 3 27 18
			11 21 55 38
			*13 16 24 0
			15 10 52 18
2	$\varepsilon \square$ ..... 15 <sup>h</sup> 24'		17 5 20 41
3	$x \square$ ..... 16 1		18 23 49 0
4	$\gamma \odot$ ..... 16 25		*20 18 17 23
6	$\eta \varnothing$ ..... 3 34		22 12 45 41
12	$\lambda \triangle$ ..... 17 8		24 7 14 3
14	$\theta$ Ofiuco..... 5 19		26 1 42 21
15	$\phi \gg$ ..... 14 18		27 20 10 43
15	$\sigma \gg$ ..... 18 12		29 14 39 1
21	33 $\chi$ ..... 17 49		31 9 7 24
30	$\varepsilon \square$ ..... 0 41		
31	$x \square$ ..... 1 13		
			II. SATELLITE.
			3 11 3 23 imm.
			7 0 50 3
			10 14 7 5
			14 3 24 26
1	13 $\alpha$ $\varphi$ imm. 17 <sup>h</sup> 22', emers. 18 <sup>h</sup> 13': distanza della Stella dal corno boreale della Luna nell'em. 80°.	*17	16 41 24
2	$\varepsilon \square$ imm. 16 <sup>h</sup> 5', emers. 16 <sup>h</sup> 56': distanza della Stella dal corno australe della Luna nell'em. 60°.	21	5 58 36
3	$x \square$ imm. 16 <sup>h</sup> 49', emers. 17 <sup>h</sup> 29': distanza della Stella dal corno australe della Luna nell'em. 80°.	24	19 15 31
4	$\odot$ e $\beta$ differenza di latitudine 27'.	28	8 32 34
12	$\lambda \triangle$ imm. 15 <sup>h</sup> 18', emers. 16 <sup>h</sup> 16': distanza della Stella dal corno boreale della Luna nell'em. 80°.	31	21 49 25
19	$\odot$ nel segno dell'Aquario 20 <sup>h</sup> 33'.		
24	$\varphi$ nella massima elongazione.		
			III. SATELLITE.
			2 12 24 8 imm.
			2 14 31 5 em.
			* 9 16 21 36 imm.
			* 9 18 28 59 em.
			16 20 18 59 imm.
			16 22 26 45 em.
			24 0 15 56 imm.
			24 2 24 17 em.
			31 4 13 2 imm.
			31 6 21 55 em.

Giorni dell'ann.	Giorni del mese.	Giorni della settimana.	TEMPO medio a mezzodì vero.	TEMPO sidereo a mezzodì vero.	TEMPO sidereo a mezzodì medio.	Nascere del Sole.	Tramontare del Sole.
1	1	Merc.	o 3' 55,8	18 46' 55,4	18 42' 59,0	7 39	4 21
2	2	Giov.	o 4 24,0	18 51 20,2	18 46 55,5	7 39	4 21
3	3	Ven.	o 4 51,8	18 55 44,6	18 50 52,1	7 38	4 22
4	4	Sab.	o 5 19,1	19 0 8,6	18 54 48,7	7 37	4 23
5	5	Dom.	o 5 46,1	19 4 32,3	18 58 45,2	7 37	4 23
6	6	Lun.	o 6 12,7	19 8 55,5	19 2 41,8	7 36	4 24
7	7	Mart.	o 6 38,8	19 13' 18,2	19 6 38,3	7 35	4 25
8	8	Merc.	o 7 4,4	19 17 40,5	19 10 34,9	7 35	4 25
9	9	Giov.	o 7 29,5	19 22 2,2	19 14 31,4	7 34	4 26
10	10	Ven.	o 7 54,1	19 26 23,4	19 18 28,0	7 33	4 27
11	11	Sab.	o 8 18,1	19 30 44,1	19 22 24,6	7 32	4 28
12	12	Dom.	o 8 41,6	19 35 4,2	19 26 21,1	7 32	4 28
13	13	Lun.	o 9 4,5	19 39 23,7	19 30 17,7	7 31	4 29
14	14	Mart.	o 9 26,8	19 43 42,6	19 34 14,2	7 30	4 30
15	15	Merc.	o 9 48,4	19 48 0,8	19 38 10,8	7 29	4 31
16	16	Giov.	o 10 9,3	19 52 18,3	19 42 7,3	7 28	4 32
17	17	Ven.	o 10 29,6	19 56 35,2	19 46 3,9	7 27	4 33
18	18	Sab.	o 10 49,1	20 0 51,3	19 50 0,5	7 26	4 34
19	19	Dom.	o 11 7,9	20 5 6,7	19 53 57,0	7 25	4 35
20	20	Lun.	o 11 25,9	20 9 21,3	19 57 53,6	7 24	4 36
21	21	Mart.	o 11 43,1	20 13 35,2	20 1 50,1	7 23	4 37
22	22	Merc.	o 11 59,6	20 17 48,3	20 5 46,7	7 22	4 38
23	23	Giov.	o 12 15,2	20 22 0,5	20 9 43,3	7 21	4 39
24	24	Ven.	o 12 30,1	20 26 12,0	20 13 39,8	7 19	4 41
25	25	Sab.	o 12 44,1	20 30 22,6	20 17 36,4	7 18	4 42
26	26	Dom.	o 12 57,3	20 34 32,4	20 21 32,9	7 17	4 43
27	27	Lun.	o 13 9,7	20 38 41,4	20 25 20,5	7 16	4 44
28	28	Mart.	o 13 21,3	20 42 49,6	20 29 26,0	7 15	4 45
29	29	Merc.	o 13 32,0	20 46 56,9	20 33 22,6	7 14	4 46
30	30	Giov.	o 13 41,9	20 51 3,3	20 37 19,1	7 13	4 48
31	31	Ven.	o 13 51,0	20 55 8,9	20 41 15,7	7 11	4 49

Giorni del mese.	LONGITUDINE del Sole.	ASCENSIONE retta del Sole.	DECLINAZIONE del Sole australe.	LOGARITMO della distanza della Terra dal Sole.
1	9 10 47 3,7	281 43' 50"	23 1' 33"	9,992623
2	9 11 48 13,6	282 50 2	22 56 22	9,992626
3	9 12 49 23,3	283 56 9	22 50 44	9,992631
4	9 13 50 33,0	285 2 10	22 44 39	9,992640
5	9 14 51 42,6	286 8 4	22 38 7	9,992652
6	9 15 52 52,1	287 13 52	22 31 7	9,992666
7	9 16 54 1,5	288 19 33	22 23 40	9,992684
8	9 17 55 10,9	289 25 7	22 15 48	9,992704
9	9 18 56 20,3	290 30 33	22 7 29	9,992726
10	9 19 57 29,7	291 35 52	21 58 44	9,992751
11	9 20 58 39,0	292 41 2	21 49 33	9,992778
12	9 21 59 48,2	293 46 3	21 39 57	9,992807
13	9 23 0 57,3	294 50 55	21 29 56	9,992838
14	9 24 2 6,0	295 55 38	21 19 30	9,992871
15	9 25 3 14,4	297 0 11	21 8 39	9,992906
16	9 26 4 22,5	298 4 35	20 57 24	9,992942
17	9 27 5 30,0	299 8 47	20 45 44	9,992980
18	9 28 6 36,8	300 12 49	20 33 41	9,993019
19	9 29 7 42,9	301 16 40	20 21 15	9,993059
20	10 0 8 48,1	302 20 20	20 8 26	9,993101
21	10 1 9 52,2	303 23 48	19 55 14	9,993145
22	10 2 10 55,2	304 27 4	19 41 40	9,993190
23	10 3 11 57,2	305 30 8	19 27 44	9,993237
24	10 4 12 58,1	306 33 0	19 13 27	9,993285
25	10 5 13 57,7	307 35 40	18 58 49	9,993336
26	10 6 14 55,9	308 38 7	18 43 50	9,993389
27	10 7 15 52,9	309 40 21	18 28 30	9,993444
28	10 8 16 48,6	310 42 23	18 12 51	9,993501
29	10 9 17 42,9	311 44 13	17 56 52	9,993561
30	10 10 18 35,9	312 45 50	17 40 34	9,993623
31	10 11 19 27,6	313 47 14	17 23 57	9,993688

Giorni del mese	Giorni della settimana	LONGITUDINE DELLA LUNA				LATITUD. DELLA LUNA	Passaggio della Luna pel merid.
		a mezzodi.	a mezza notte.	a mezzodi.	a mezza notte.		
1	Merc.	2° 16' 5" 58"	2° 22' 29" 33"	0° 55' 3B	1° 28' 57B	10° 35'	
2	Giov.	2 28 57 49	3 5 30 46	2 2 5	2 33 59	11 30	
3	Ven.	3 12 8 18	3 18 50 17	3 4 8	3 32 2	12 27	
4	Sab.	3 25 36 28	4 2 26 30	3 57 14	4 19 16	13 24	
5	Dom.	4 9 19 58	4 16 16 29	4 37 42	4 52 11	14 20	
6	Lun.	4 23 15 34	5 0 16 43	5 2 24	5 8 7	15 13	
7	Mart.	5 7 19 29	5 14 23 25	5 9 13	5 5 37	16 3	
8	Merc.	5 21 28 5	5 28 33 7	4 57 21	4 44 33	16 52	
9	Giov.	6 5 38 12	6 12 43 2	4 27 23	4 6 9	17 40	
10	Ven.	6 19 47 24	6 26 51 7	3 41 10	3 12 51	18 29	
11	Sab.	7 3 54 1	7 10 55 57	2 41 39	2 8 4	19 19	
12	Dom.	7 17 56 50	7 24 56 32	1 32 39	0 55 57	20 12	
13	Lun.	8 1 54 52	8 8 51 43	0 18 32	0 18 59A	21 8	
14	Mart.	8 15 46 52	8 22 40 5	0 56 21	1 32 2	22 6	
15	Merc.	8 29 31 6	9 6 19 39	2 6 29	2 38 51	23 4	
16	Giov.	9 13 5 26	9 19 48 8	3 8 43	3 35 40	* *	
17	Ven.	9 26 27 29	10 3 3 13	3 59 25	4 19 42	0 1	
18	Sab.	10 9 35 7	10 16 3 2	4 36 21	4 49 14	0 55	
19	Dom.	10 22 26 53	10 28 46 39	4 58 19	5 3 37	1 45	
20	Lun.	11 5 2 23	11 11 14 15	5 5 11	5 3 7	2 31	
21	Mart.	11 17 22 27	11 23 27 16	4 57 33	4 48 39	3 13	
22	Merc.	11 29 29 6	0 5 28 21	4 36 36	4 21 34	3 54	
23	Giov.	0 11 25 33	0 17 21 14	4 3 46	3 43 24	4 34	
24	Ven.	0 23 16 0	0 29 10 29	3 20 40	2 55 49	5 13	
25	Sab.	1 5 5 22	1 11 1 18	2 29 2	2 0 33	5 54	
26	Dom.	1 16 59 1	1 22 59 11	1 30 38	0 59 31	6 37	
27	Lun.	1 29 2 28	2 5 9 31	0 27 28	0 5 12B	7 24	
28	Mart.	2 11 20 56	2 17 37 15	0 38 10B	1 11 4	8 14	
29	Merc.	2 23 58 55	3 0 26 19	1 43 31	2 15 6	9 7	
30	Giov.	3 6 59 43	3 13 39 15	2 45 20	3 13 45	10 4	
31	Ven.	3 20 24 55	3 27 16 31	3 39 51	4 3 7	11 2	

Giorni del mese	Declinaz. della Luna nel merid.	PARALLASSE equatoriale della Luna		DIAMETRO orizzontale della Luna		Nascere della Luna.	Tra- montare della Luna.
		a mezza mezzodì	a mezza notte.	a mezzodì	a mezza notte.		
1	° 24 38 B	56 1'	56 19"	30 35"	30 45"	2 36s	5 36m
2	25 55	56 38	56 56	30 55	31 5	3 22	6 41
3	25 37	57 15	57 32	31 15	31 24	4 18	7 40
4	23 42	57 48	58 2	31 33	31 41	5 22	8 32
5	20 14	58 15	58 27	31 48	31 54	6 34	9 16
6	15 32	58 38	58 47	32 0	32 5	7 49	9 52
7	9 52	58 54	59 0	32 9	32 12	9 5	10 23
8	3 41	59 4	59 7	32 14	32 16	10 21	10 47
9	2 43 A	59 9	59 10	32 17	32 18	11 35	11 10
10	8 59	59 10	59 8	32 18	32 17	* *	11 34
11	14 43	59 6	59 2	32 16	32 13	0 51M	11 56
12	19 36	58 57	58 51	32 11	32 7	2 9	0 198
13	23 18	58 44	58 35	32 4	31 59	3 26	0 50
14	25 29	58 26	58 15	31 54	31 48	4 42	1 29
15	25 57	58 3	57 49	31 41	31 34	5 53	2 16
16	* *	57 34	57 18	31 25	31 17	6 56	3 12
17	24 48	57 2	56 44	31 8	30 58	7 47	4 18
18	22 12	56 26	56 8	30 48	30 38	8 28	5 27
19	18 27	55 51	55 34	30 29	30 20	9 1	6 36
20	13 55	55 17	55 1	30 11	30 2	9 26	7 44
21	8 53	54 48	54 36	29 55	29 48	9 46	8 49
22	3 35	54 26	54 19	29 43	29 39	10 5	9 52
23	1 46 B	54 14	54 11	29 36	29 34	10 23	10 55
24	7 2	54 11	54 13	29 34	29 36	10 41	11 57
25	12 3	54 18	54 25	29 38	29 42	11 0	* *
26	16 39	54 35	54 48	29 48	29 55	11 21	1 1M
27	20 38	55 3	55 19	30 3	30 12	11 48	2 6
28	23 42	55 38	55 59	30 22	30 33	0 218	3 11
29	25 34	56 21	56 44	30 45	30 58	1 2	4 15
30	26 1	57 7	57 80	31 12	31 24	1 54	5 16
31	24 47	57 54	58 16	31 36	31 48	2 56	6 13

POSIZIONE DEI SATELLITI DI GIOVE.					
Oriente		17 <sup>h</sup> 30'		Occidente	
1		1. .2	○	3. .4	
2   3●			○	1. .2	.4
3	3.	.12.	○		.4
4	.3	2.	○	1.	4.
5		.3	.1○	.2	4.
6			1.○	2○3	4.
7		2.	○	1○4	.3
8		.1. 2○4	○		3.
9   3●	4.		○	.1 .2	
10	4.	3. .1	○		20
11	4.	.3 .2	○	1.	
12	4	.3	.1○	.2	
13   1●	.4		○	.3 2.	
14	.4	2.	○	.1	.3
15		.4 .21.	○		3.
16   4.0			○	3. .1 .2	
17   20		3. 1.	○		.4
18	.3	2.	○	.1	.4
19		.3 .1	○	.2	
20   3.0			○	1. 2.	.4
21   1.0		2.	○		.3
22		.2 1.	○		4.
23			○	1○3 .2 4.	
24   4○		3. 1.	○	2.	
25		.3 2○4	○		
26   2.0	4.	.3	1	○	
27	4.		○	1 2.	3.0
28	4.		2.	○	.3
29	.4		.2 1.	○	3
30	.4		○	.1 2○3	
31	.4		1○3	○	2.

GIORNI.	FASI DELLA LUNA.	GIORNI.	ECLISSE DEI SATELLITI DI GIOVE. Tempo medio.
1	Plenilunio..... 14 <sup>h</sup> 52'	2	I. SATELLITE. 3 35 41 imm.
8	Ultimo quarto..... 8 23	3	22 4 3
15	Novilunio..... 16 55	* 5	16 32 21
23	Primo quarto..... 21 4	7	11 0 44
		9	5 29 2
		10	23 57 25
		*12	18 25 42
		14	12 54 5
		16	7 22 22
		18	1 50 45
		19	20 19 2
1	$\gamma \odot$ ..... 1 <sup>h</sup> 17'	*21	14 47 26
2	$\eta \varnothing$ ..... 11 38	23	9 15 43
8	$\lambda \triangle$ ..... 22 26	25	3 44 7
10	$\theta$ Ophioco..... 11 9	26	22 12 24
11	$\phi \gg$ ..... 20 49	*28	16 40 48
12	$\sigma \gg$ ..... 0 48		II. SATELLITE.
18	33 $\chi$ ..... 1 43	1	0 20 43 em.
26	$\epsilon \square$ ..... 10 26	4	11 6 25 imm.
27	$x \square$ ..... 11 22	4	13 37 44 em.
28	$\gamma \odot$ ..... 11 41	8	0 23 11 imm.
		8	2 54 33 em.
		11	13 40 3 imm.
		*11	16 11 28 em.
		15	2 56 46 imm.
		15	5 28 13 em.
		*18	16 13 31 imm.
		18	18 45 1 em.
2	$\eta \varnothing$ imm. 10 <sup>h</sup> 25', emers. 11 <sup>h</sup> 8': distanza della Stella dal corno boreale della Luna nell'em. 10°.	22	5 30 11 imm.
8	$x \triangle$ imm. 16 <sup>h</sup> 27', emers. 17 <sup>h</sup> 35': distanza della Stella dal corno boreale della Luna nell'emi. 55°.	22	8 1 44 em.
8	$\xi$ in congiunzione inferiore.	25	18 46 51 imm.
18	$\odot$ nel segno dei Pesci 11 <sup>h</sup> 15'.	25	21 18 28 em.
		7	III. SATELLITE.
		7	8 10 45 imm.
		14	10 20 11 em.
		*14	12 8 14 imm.
		*21	14 18 12 em.
		21	16 6 24 imm.
		28	18 16 57 em.
		28	20 3 45 imm.
		28	22 14 48 em.

Giorni dell'ann.	Giorni del mese	Giorni della settimana	TEMPO medio a mezzodì vero.	TEMPO sidereo a mezzodì vero.	TEMPO sidereo a mezzodì medio.	Nascere del Sole.	Tramontare del Sole.
32	1	Sab.	h 13' 59,2	20 59' 13,7	20 45' 12,2	7 10	4 50'
33	2	Dom.	o 14 6,6	21 3 17,7	20 49 8,8	7 8	4 52
34	3	Lun.	o 14 13,1	21 7 20,8	20 53 5,4	7 7	4 53
35	4	Mart.	o 14 18,9	21 11 23,2	20 57 1,9	7 5	4 55
36	5	Merc.	o 14 23,8	21 15 24,7	21 0 58,5	7 4	4 56
37	6	Giov.	o 14 27,9	21 19 25,4	21 4 55,0	7 3	4 57
38	7	Ven.	o 14 31,3	21 23 25,3	21 8 51,6	7 1	4 59
39	8	Sab.	o 14 33,9	21 27 24,4	21 12 48,1	7 0	5 0
40	9	Dom.	o 14 35,7	21 31 22,8	21 16 44,7	6 58	5 2
41	10	Lun.	o 14 36,7	21 35 20,4	21 20 41,3	6 57	5 3
42	11	Mart.	o 14 37,0	21 39 17,2	21 24 37,8	6 55	5 5
43	12	Merc.	o 14 36,5	21 43 13,3	21 28 34,4	6 54	5 6
44	13	Giov.	o 14 35,3	21 47 8,6	21 32 30,9	6 53	5 7
45	14	Ven.	o 14 33,3	21 51 3,2	21 36 27,5	6 51	5 9
46	15	Sab.	o 14 30,6	21 54 57,0	21 40 24,0	6 50	5 10
47	16	Dom.	o 14 27,0	21 58 50,1	21 44 20,6	6 48	5 12
48	17	Lun.	o 14 22,9	22 2 42,5	21 48 17,1	6 47	5 13
49	18	Mart.	o 14 18,1	22 6 34,2	21 52 13,7	6 45	5 15
50	19	Merc.	o 14 12,6	22 10 25,2	21 56 10,2	6 44	5 16
51	20	Giov.	o 14 6,4	22 14 15,5	22 0 6,8	6 42	5 18
52	21	Ven.	o 13 59,5	22 18 5,1	22 4 3,3	6 41	5 19
53	22	Sab.	o 13 51,9	22 21 54,0	22 7 59,9	6 39	5 21
54	23	Dom.	o 13 43,6	22 25 42,3	22 11 56,5	6 38	5 22
55	24	Lun.	o 13 34,7	22 29 30,0	22 15 53,0	6 36	5 24
56	25	Mart.	o 13 25,2	22 33 17,0	22 19 49,6	6 34	5 26
57	26	Merc.	o 13 15,1	22 37 3,4	22 23 46,1	6 32	5 28
58	27	Giov.	o 13 4,4	22 40 49,2	22 27 42,7	6 31	5 29
59	28	Ven.	o 12 53,2	22 44 34,5	22 31 39,2	6 30	5 30

Giorni del mese	LONGITUDINE del Sole.	ASCENSIONE retta del Sole.	DECLINAZIONE del Sole australe.	LOGARITMO della distanza della Terra dal Sole.
1	° ° ' "	314 48 26	° ' "	9,993755
2	10 12 20 18,1	315 49 25	16 49 49	9,993825
3	10 13 21 7,5	316 50 12	16 32 18	9,993897
4	10 14 21 55,6	317 50 47	16 14 30	9,993972
5	10 15 22 42,6	318 51 10	15 56 25	9,994049
6	10 17 24 13,3	319 51 21	15 38 4	9,994129
7	10 18 24 56,9	320 51 20	15 19 27	9,994211
8	10 19 25 39,5	321 51 6	15 0 35	9,994295
9	10 20 26 21,2	322 50 42	14 41 27	9,994380
10	10 21 27 1,8	323 50 6	14 22 4	9,994467
11	10 22 27 41,3	324 49 18	14 2 26	9,994555
12	10 23 28 19,5	325 48 19	13 42 35	9,994645
13	10 24 28 56,4	326 47 9	13 22 30	9,994736
14	10 25 29 32,1	327 45 48	13 2 13	9,994828
15	10 26 30 6,4	328 44 15	12 41 42	9,994920
16	10 27 30 39,1	329 42 32	12 20 59	9,995014
17	10 28 31 10,1	330 40 38	12 0 5	9,995109
18	10 29 31 39,5	331 38 33	11 38 59	9,995204
19	11 0 32 7,1	332 36 18	11 17 42	9,995300
20	11 1 32 33,8	333 33 52	10 56 15	9,995397
21	11 2 32 56,7	334 31 16	10 34 38	9,995495
22	11 3 33 18,7	335 28 31	10 12 51	9,995593
23	11 4 33 38,3	336 25 35	9 50 54	9,995673
24	11 5 33 55,8	337 22 30	9 28 49	9,995794
25	11 6 34 11,3	338 19 15	9 6 36	9,995896
26	11 7 34 24,7	339 15 51	8 44 15	9,996000
27	11 8 34 36,0	340 12 19	8 21 46	9,996106
28	11 9 34 45,2	341 8 38	7 59 10	9,996214

Giorni del mese	Giorni della settimana	LONGITUDINE DELLA LUNA		LATITUD. DELLA LUNA		Passaggio della Luna pel merid.
		a mezzodì.	a mezza notte.	a mezzodì.	a mezza notte.	
1	Sab.	4 ° 13' 46"	4 ° 11' 16" 10"	4 23' 58"	4 39' 17" B	11 59'
2	Dom.	4 18 23 7	4 25 33 54	4 51 19	4 58 54	12 55
3	Lun.	5 2 47 41	5 10 3 35	5 1 42	4 59 39	13 49
4	Mart.	5 17 20 43	5 24 38 12	4 52 45	4 41 4	14 40
5	Merc.	6 1 55 13	6 9 11 1	4 24 49	4 4 19	15 30
6	Giov.	6 16 24 57	6 23 36 33	3 39 57	3 12 12	16 20
7	Ven.	7 0 45 23	7 7 51 11	2 41 35	2 8 40	17 10
8	Sab.	7 14 53 49	7 21 53 12	1 34 0	0 58 10	18 3
9	Dom.	7 28 49 20	8 5 42 19	0 21 44	0 14 43 A	18 58
10	Lun.	8 12 32 13	8 19 19 10	0 50 41 A	1 25 38	19 54
11	Mart.	8 26 3 16	9 2 44 38	1 59 7	2 30 41	20 52
12	Merc.	9 9 23 17	9 15 59 18	2 59 57	3 26 34	21 48
13	Giov.	9 22 32 39	9 29 3 20	3 50 13	4 10 40	22 42
14	Ven.	10 5 31 18	10 11 56 29	4 27 43	4 41 12	23 33
15	Sab.	10 18 18 49	10 24 38 13	4 51 3	4 57 12	* *
16	Dom.	11 0 54 41	11 7 8 10	4 59 41	4 58 33	0 21
17	Lun.	11 13 18 40	11 19 26 18	4 53 54	4 45 52	1 5
18	Mart.	11 25 31 8	0 1 33 21	4 34 36	4 20 18	1 47
19	Merc.	0 7 33 10	0 13 30 54	4 3 11	3 43 28	2 28
20	Giov.	0 19 26 55	0 25 21 38	3 21 23	2 57 11	3 8
21	Ven.	1 1 15 32	1 7 9 11	2 31 7	2 3 24	3 48
22	Sab.	1 13 3 9	1 18 58 4	1 34 18	1 4 6	4 31
23	Dom.	1 24 54 37	2 0 53 28	0 33 2	0 1 24	5 15
24	Lun.	2 6 55 18	2 13 0 53	0 30 30 B	1 2 24 B	6 3
25	Mart.	2 19 10 51	2 25 25 53	1 33 57	2 4 47	6 54
26	Merc.	3 1 46 34	3 8 13 27	2 34 31	3 2 46	7 49
27	Giov.	3 14 47 0	3 21 27 32	3 29 4	3 52 58	8 46
28	Ven.	3 28 15 15	4 5 10 10	4 13 59	4 31 40	9 44

Giorni del mese	Declinaz. della Luna nel merid.	PARALLASSE equatoriale della Luna		DIAMETRO orizzontale della Luna		Nascere della Luna.	Tra- montare della Luna.
		a mezzodi	a mezza notte.	a mezzodi	a mezza notte.		
1	21 52 B	58' 36"	58' 55"	31' 59"	32' 10"	4 6s	7 1m
2	17 30	59 11	59 25	32 18	32 26	5 21	7 40
3	11 59	59 36	59 45	32 32	32 37	6 41	8 14
4	5 43	59 50	59 52	32 40	32 41	8 1	8 42
5	0 51 A	59 52	59 49	32 41	32 39	9 18	9 5
6	7 18	59 43	59 36	32 36	32 32	10 35	9 29
7	13 19	59 26	59 16	32 27	32 21	11 52	9 55
8	18 30	59 4	58 51	32 14	32 7	* *	10 17
9	22 31	58 37	58 23	32 0	31 52	1 11M	10 46
10	25 7	58 9	57 55	31 44	31 37	2 27	11 23
11	26 7	57 40	57 26	31 29	31 21	3 39	0 6s
12	25 28	57 11	56 57	31 13	31 5	4 44	1 0
13	23 22	56 42	56 28	30 57	30 49	5 38	2 1
14	20 2	56 14	56 0	30 42	30 34	6 21	3 8
15	* *	55 45	55 31	30 26	30 18	6 57	4 16
16	15 45	55 18	55 5	30 11	30 4	7 25	5 26
17	10 51	54 52	54 41	29 57	29 51	7 47	6 33
18	5 35	54 31	54 22	29 45	29 41	8 5	7 39
19	0 10	54 14	54 9	29 36	29 33	8 24	8 42
20	5 11 B	54 5	54 4	29 31	29 31	8 43	9 44
21	10 19	54 5	54 7	29 31	29 32	9 1	10 47
22	15 6	54 13	54 21	29 35	29 40	9 23	11 52
23	19 19	54 31	54 43	29 46	29 52	9 46	* *
24	22 45	54 58	55 16	30 0	30 10	10 16	0 57M
25	25 8	55 36	55 58	30 21	30 33	10 52	2 0
26	26 13	56 22	56 48	30 46	31 0	11 38	3 2
27	25 46	57 14	57 42	31 15	31 30	0 35s	4 1
28	23 40	58 10	58 37	31 45	32 0	1 42	4 52

FEBBRAJO 1817.

## POSIZIONE DEI SATELLITI DI GIOVE.

Oriente

16<sup>h</sup> 30'

Occidente

1	3.	.4.2	○	.1	
2	.3	1. .2	○.4		
3		.3	○	1. 2..4	
4		.1.2	○	.3	.4
5   1●	.2		○	3	.4
6   1.0			○	.2 3.	4.
7   3●		1.	○	2.	4.
8	3.	.2	○	.1	4.
9	.3	1. .2	○	4.	
10   4○		.3	○	1. 2.	
11   2.●		4. .1	○	.3	
12	4.	.2	○	1.	.3
13	4.		○	.2 3.	1.0
14	4.		1. ○	2.	3●
15	.4	3. .2	○	.1	
16	.4	.3	1○2	○	
17	.4	.3	○	.1 .2	
18   2●		.4 .1	○	.3	
19		.2	○	1..4	.3
20			.1 ○	.2 3. .4	
21   1● 3●			○	2.	.4
22		3. .2	○ .1		.4
23		3. .2	1. ○		4.
24		.3	○	.1 .2	4.
25		.1	○ 2○3		4.
26		2.	○	1. 4.	.3
27   2.0			1○4○		3.
28		4.	○ 1. 3. 2.		

GIORNI.	FASI DELLA LUNA.	GIORNI.	ECLISSE DEI SATELLITI DI GIOVE. <i>Tempo medio.</i>
3	Plenilunio..... <sup>a<sup>h</sup></sup> 11'		I. SATELLITE.
9	Ultimo quarto..... 17 30	2	11 9 5" imm.
17	Novilunio ..... 9 48	4	5 37 29
25	Primo quarto..... 14 38	6	0 5 47
		7	18 34 11
		* 9	13 2 29
		11	7 30 55
		13	1 59 13
		14	20 27 38
		* 16	14 55 56
		18	9 24 22
1	$\eta$ ♀..... 21 <sup>h</sup> 57'	20	3 52 42
4	$\gamma$ II ♀..... 18 9	21	22 21 8
7	$\alpha^2$ ♂..... 2 47	* 23	16 49 27
8	$\lambda$ ♂..... 4 34	25	11 17 51
11	$\phi$ ♂..... 2 15	27	5 46 14
11	$\sigma$ ♂..... 6 16	29	0 14 42
17	33 X..... 8 40	30	18 43 2
23	$x^2, x^1$ ♂..... 4 47		II. SATELLITE.
25	$\varepsilon$ □..... 19 0	1	8 3 29 imm.
26	$\chi$ □..... 20 38	1	10 35 7 em.
29	$\eta$ ♀..... 8 41	4	21 20 3 imm.
		4	23 51 46 em.
		8	10 36 39 imm.
		8	13 8 25 em.
		11	23 53 12 imm.
		* 15	13 9 43
4	$\gamma$ III imm. 18 <sup>h</sup> 30', emers. 19 <sup>h</sup> 1': distanza della Stella dal corno australe della Luna nell'em. 40°.	19	2 26 14
7	X nella massima elongazione.	* 22	15 42 44
13	Q nella massima elongazione.	26	4 59 13
16	X e h differenza di latitudine 27'.	29	18 15 42
20	○ nel segno dell'Ariete 11 <sup>h</sup> 30'.		III. SATELLITE.
29	$\eta$ ♀ imm. 7 <sup>h</sup> 26', emers. 8 <sup>h</sup> 37': distanza della Stella dal corno boreale della Luna nell'em. 70°.	8	0 0 54 imm.
		8	2 12 37 em.
		15	3 57 57 imm.
		15	6 10 17 em.
		22	7 55 5 imm.
		22	10 8 7 em.
		29	11 53 1 imm.
		* 29	14 6 41 em.

Giorni dell'ann.	Giorni del mese	Giorni della settimana.	TEMPO medio a mezzodì vero.	TEMPO sidereo a mezzodì vero.	TEMPO sidereo a mezzodì medio.	Nascere del Sole.	Tramontare del Sole.
60	1	Sab.	o 12 41,4	22 48 19,3	22 35 35,8	6 28	5 32
61	2	Dom.	o 12 29,1	22 52 3,5	22 39 32,3	6 26	5 34
62	3	Lun.	o 12 16,3	22 55 47,2	22 43 28,9	6 25	5 35
63	4	Mart.	o 12 3,0	22 59 30,4	22 47 25,5	6 23	5 37
64	5	Merc.	o 11 49,3	23 3 13,2	22 51 22,0	6 21	5 39
65	6	Giov.	o 11 35,1	23 6 55,6	22 55 18,6	6 20	5 40
66	7	Ven.	o 11 20,5	23 10 37,5	22 59 15,1	6 19	5 41
67	8	Sab.	o 11 5,6	23 14 19,1	23 3 11,7	6 17	5 43
68	9	Dom.	o 10 50,3	23 18 0,3	23 7 8,2	6 16	5 44
69	10	Lun.	o 10 34,7	23 21 41,2	23 11 4,8	6 14	5 46
70	11	Mart.	o 10 18,8	23 25 21,7	23 15 1,3	6 12	5 48
71	12	Merc.	o 10 2,5	23 29 2,0	23 18 57,9	6 11	5 49
72	13	Giov.	o 9 46,0	23 32 42,0	23 22 54,4	6 9	5 51
73	14	Ven.	o 9 29,2	23 36 21,7	23 26 51,0	6 7	5 53
74	15	Sab.	o 9 12,1	23 40 1,2	23 30 47,5	6 6	5 54
75	16	Dom.	o 8 54,8	23 43 40,4	23 34 44,1	6 4	5 56
76	17	Lun.	o 8 37,3	23 47 19,4	23 38 40,7	6 2	5 58
77	18	Mart.	o 8 19,6	23 50 58,2	23 42 37,2	6 1	5 59
78	19	Merc.	o 8 1,8	23 54 36,9	23 46 33,8	5 59	6 1
79	20	Giov.	o 7 43,8	23 58 15,4	23 50 30,3	5 58	6 2
80	21	Ven.	o 7 25,6	o 1 53,7	23 54 26,9	5 57	6 3
81	22	Sab.	o 7 7,3	o 5 31,9	23 58 23,4	5 55	6 5
82	23	Dom.	o 6 48,9	o 9 10,0	o 2 20,0	5 53	6 7
83	24	Lun.	o 6 30,4	o 12 48,1	o 6 16,5	5 51	6 9
84	25	Mart.	o 6 11,9	o 16 26,0	o 10 13,1	5 50	6 10
85	26	Merc.	o 5 53,3	o 20 3,9	o 14 9,6	5 48	6 12
86	27	Giov.	o 5 34,7	o 23 41,8	o 18 6,2	5 46	6 14
87	28	Ven.	o 5 16,1	o 27 19,7	o 22 2,7	5 45	6 15
88	29	Sab.	o 4 57,4	o 30 57,5	o 25 59,3	5 43	6 17
89	30	Dom.	o 4 38,8	o 34 35,4	o 29 55,8	5 42	6 18
90	31	Lun.	o 4 20,2	o 38 13,3	o 33 52,4	5 40	6 20

Giorni del mese	LONGITUDINE del Sole.	ASCENSIONE retta del Sole.	DECLINAZIONE del Sole australe.	LOGARITMO della distanza della Terra dal Sole.
1	11 10 34 52,4	342 ° 4' 49"	7 36' 26"	9,996323
2	11 11 34 57,8	343 ° 0' 52"	7 13' 37"	9,996432
3	11 12 35 1,1	343 56 48	6 50 41	9,996544
4	11 13 35 2,5	344 52 36	6 27 40	9,996657
5	11 14 35 2,1	345 48 18	6 4 34	9,996772
6	11 15 35 0,1	346 43 54	5 41 22	9,996889
7	11 16 34 56,2	347 39 23	5 18 6	9,997008
8	11 17 34 50,6	348 34 47	4 54 46	9,997128
9	11 18 34 43,4	349 30 4	4 31 21	9,997248
10	11 19 34 34,5	350 25 18	4 7 53	9,997369
11	11 20 34 24,1	351 20 26	3 44 21	9,997492
12	11 21 34 12,0	352 15 30	3 20 47	9,997615
13	11 22 33 58,3	353 10 29	2 57 11	9,997738
14	11 23 33 42,7	354 5 25	2 33 32	9,997862
15	11 24 33 25,3	355 0 17	2 9 52	9,997986
16	11 25 33 6,1	355 55 6	1 46 11	9,998109
17	11 26 32 44,9	356 49 51	1 22 29	9,998232
18	11 27 32 21,8	357 44 34	0 58 46	9,998355
19	11 28 31 56,6	358 39 13	0 35 3	9,998478
20	11 29 31 29,2	359 33 51	0 11 21	9,998600
21	0 0 30 59,7	0 28 26	0 12 20	9,998722
22	0 1 30 27,9	1 22 59	0 36 1	9,998844
23	0 2 29 53,7	2 17 31	0 59 40	9,998966
24	0 3 29 17,3	3 12 1	1 23 17	9,999088
25	0 4 28 38,4	4 6 30	1 46 52	9,999210
26	0 5 27 57,1	5 0 59	2 10 25	9,999332
27	0 6 27 13,4	5 55 26	2 33 55	9,999454
28	0 7 26 27,4	6 49 54	2 57 21	9,999577
29	0 8 25 39,1	7 44 22	3 20 44	9,999700
30	0 9 24 48,5	8 38 50	3 44 3	9,999824
31	0 10 23 55,6	9 33 19	4 7 17	9,999949

	Giorni del mese	Giorni della settimana	LONGITUDINE DELLA LUNA				LATITUD. DELLA LUNA				Passaggio della Luna per merid.
			a mezzodì.	a mezza notte.	a mezzodì.	a mezza notte.					
1	Sab.		° 4 12 12 4	° 4 19 20 36	° 4 45 32B	° 4 55 11B	h 10 41				
2	Dom.		4 26 35 9	5 3 54 57	5 0 14	5 0 26	11 36				
3	Lun.		5 11 19 3	5 18 46 22	4 55 36	4 45 42	12 30				
4	Mart.		5 26 15 43	6 3 45 54	4 30 51	4 11 16	13 22				
5	Merc.		6 11 15 44	6 18 44 5	3 47 21	3 19 34	14 14				
6	Giov.		6 26 9 57	7 3 32 27	2 48 30	2 14 47	15 7				
7	Ven.		7 10 50 56	7 18 4 51	1 39 7	1 2 10	16 1				
8	Sab.		7 25 13 53	8 2 17 49	0 24 37	0 12 54A	16 56				
9	Dom.		8 9 16 37	8 16 10 22	0 49 46A	1 25 29	17 54				
10	Lun.		8 22 59 12	8 29 43 20	1 59 33	2 31 32	18 52				
11	Mart.		9 6 23 1	9 12 58 32	3 1 5	3 27 53	19 49				
12	Merc.		9 19 30 10	9 25 58 10	3 51 40	4 12 15	20 44				
13	Giov.		10 2 22 48	10 8 44 17	4 29 26	4 43 7	21 35				
14	Ven.		10 15 2 50	10 21 18 39	4 53 13	4 59 41	22 23				
15	Sab.		10 27 31 52	11 3 42 39	5 2 33	5 1 49	23 8				
16	Dom.		11 9 51 5	11 15 57 18	4 57 35	4 49 57	23 52				
17	Lun.		11 22 1 24	11 28 3 29	4 39 3	4 25 3	*	*			
18	Mart.		0 4 3 42	0 10 2 11	4 8 8	3 48 33	0 31				
19	Merc.		0 15 59 7	0 21 54 43	3 26 31	3 2 17	1 12				
20	Giov.		0 27 49 15	1 3 43 2	2 36 6	2 8 16	1 52				
21	Ven.		1 9 36 26	1 15 29 53	1 39 2	1 8 42	2 34				
22	Sab.		1 21 23 49	1 27 18 45	0 37 33	0 5 51	3 17				
23	Dom.		2 3 15 14	2 9 13 52	0 26 3E	0 57 54B	4 3				
24	Lun.		2 15 15 13	2 21 19 57	1 29 22	2 0 8	4 53				
25	Mart.		2 27 28 42	3 3 42 6	2 29 52	2 58 12	5 45				
26	Merc.		3 10 0 46	3 16 25 19	3 24 46	3 49 11	6 40				
27	Giov.		3 22 56 16	3 29 34 6	4 11 3	4 29 56	7 36				
28	Ven.		4 6 19 9	4 13 11 39	4 45 27	4 57 10	8 32				
29	Sab.		4 20 11 36	4 27 18 53	5 4 41	5 7 39	9 27				
30	Dom.		5 4 33 8	5 11 53 43	5 5 49	4 58 57	10 21				
31	Lun.		5 19 19 53	5 26 50 37	4 46 58	4 29 56	11 14				

Giorni del mese	Declinaz. della Luna nel merid.	PARALLASSE equatoriale della Luna		DIAMETRO orizzontale della Luna		Nascere della Luna.	Tra- montare della Luna.
		a mezzodi	a mezza notte.	a mezzodi	a mezza notte.		
1	19 57 B	59 3'	59 27"	32 14'	32 27"	2 56s	5 36'
2	14 50	59 49	60 8	32 39	32 49	4 15	6 12
3	8 41	60 23	60 35	32 58	33 4	5 37	6 41
4	1 57	60 42	60 45	33 8	33 9	6 58	7 8
5	4 52 A	60 45	60 39	33 9	33 6	8 18	7 32
6	11 22	60 31	60 19	33 2	32 55	9 40	7 57
7	17 6	60 4	59 47	32 47	32 38	11 2	8 22
8	21 40	59 28	59 8	32 28	32 17	* *	8 50
9	24 46	58 46	58 25	32 5	31 53	0 21M	9 24
10	26 13	58 3	57 41	31 41	31 29	1 36	10 8
11	26 2	57 20	57 1	31 18	31 7	2 45	10 58
12	24 21	56 42	56 24	30 57	30 47	3 42	11 58
13	21 22	56 7	55 51	30 38	30 29	4 28	1 45
14	17 22	55 36	55 22	30 21	30 13	5 5	2 11
15	12 39	55 9	54 57	30 6	30 0	5 35	3 20
16	7 28	54 46	54 35	29 54	29 48	5 58	4 28
17	* *	54 26	54 18	29 43	29 38	6 19	5 35
18	2 4	54 11	54 6	29 34	29 32	6 36	6 38
19	3 23 B	54 1	53 58	29 29	29 28	6 55	7 41
20	8 41	53 57	53 57	29 27	29 27	7 13	8 44
21	13 38	53 59	54 3	29 28	29 30	7 33	9 48
22	18 5	54 8	54 16	29 33	29 37	7 55	10 52
23	21 50	54 26	54 38	29 43	29 49	8 21	11 56
24	24 37	54 53	55 10	29 57	30 7	8 55	* *
25	26 12	55 29	55 50	30 17	30 29	9 36	0 59M
26	26 23	56 13	56 38	30 41	30 55	10 27	1 57
27	25 3	57 5	57 33	31 9	31 25	11 28	2 50
28	22 8	58 2	58 32	31 41	31 57	0 37S	3 36
29	17 45	59 1	59 29	32 13	32 28	1 52	4 15
30	12 8	59 55	60 19	32 42	32 55	3 12	4 47
31	5 37	60 39	60 56	33 6	33 16	4 35	5 14

	Giorni del mese	Giorni della settimana	LONGITUDINE DELLA LUNA				LATITUD. DELLA LUNA				Passaggio della Luna per 1 merid.
			a mezzodì.	a mezza notte.	a mezzodì.	a mezza notte.					
1	Sab.		° 4 12 12 4	° 4 19 20 36	° 4 45 32B	° 4 55 11B	° 10 41				
2	Dom.		4 26 35 9	5 3 54 57	5 0 14	5 0 26	11 36				
3	Lun.		5 11 19 3	5 18 46 22	4 55 36	4 45 42	12 30				
4	Mart.		5 26 15 43	6 3 45 54	4 30 51	4 11 16	13 22				
5	Merc.		6 11 15 44	6 18 44 5	3 47 21	3 19 34	14 14				
6	Giov.		6 26 9 57	7 3 32 27	2 48 30	2 14 47	15 7				
7	Ven.		7 10 50 56	7 18 4 51	1 39 7	1 2 10	16 1				
8	Sab.		7 25 13 53	8 2 17 49	0 24 37	0 12 54A	16 56				
9	Dom.		8 9 16 37	8 16 10 22	0 49 46A	1 25 29	17 54				
10	Lun.		8 22 59 12	8 29 43 20	1 59 33	2 31 32	18 52				
11	Mart.		9 6 23 1	9 12 58 32	3 1 5	3 27 53	19 49				
12	Merc.		9 19 30 10	9 25 58 10	3 51 40	4 12 15	20 44				
13	Giov.		10 2 22 48	10 8 44 17	4 29 26	4 43 7	21 35				
14	Ven.		10 15 2 50	10 21 18 39	4 53 13	4 59 41	22 23				
15	Sab.		10 27 31 52	11 3 42 39	5 2 33	5 1 49	23 8				
16	Dom.		11 9 51 5	11 15 57 18	4 57 35	4 49 57	23 52				
17	Lun.		11 22 1 24	11 28 3 29	4 39 3	4 25 3	*	*			
18	Mart.		0 4 3 42	0 10 2 11	4 8 8	3 48 33	0 31				
19	Merc.		0 15 59 7	0 21 54 43	3 26 31	3 2 17	1 12				
20	Giov.		0 27 49 15	1 3 43 2	2 36 6	2 8 16	1 52				
21	Ven.		1 9 36 26	1 15 29 53	1 39 2	1 8 42	2 34				
22	Sab.		1 21 23 49	1 27 18 45	0 37 33	0 5 51	3 17				
23	Dom.		2 3 15 14	2 9 13 52	0 26 3B	0 57 54B	4 3				
24	Lun.		2 15 15 13	2 21 19 57	1 29 22	2 0 8	4 53				
25	Mart.		2 27 28 42	3 3 42 6	2 29 52	2 58 12	5 45				
26	Merc.		3 10 0 46	3 16 25 19	3 24 46	3 49 11	6 40				
27	Giov.		3 22 56 16	3 29 34 6	4 11 3	4 29 36	7 36				
28	Ven.		4 6 19 9	4 13 11 39	4 45 27	4 57 10	8 32				
29	Sab.		4 20 11 36	4 27 18 53	5 4 41	5 7 39	9 27				
30	Dom.		5 4 33 8	5 11 53 43	5 5 49	4 58 57	10 21				
31	Lun.		5 19 19 53	5 26 50 37	4 46 58	4 29 56	11 14				

Giorni del mese	Declinaz. della Luna nel merid.	PARALLASSE equatoriale della Luna		DIAMETRO orizzontale della Luna		Nascere della Luna.	Tra- montare della Luna.
		a mezzodi	a mezza notte.	a mezzodi	a mezza notte.		
1	° 19' 57" B	59' 3"	59' 27"	32' 14"	32' 27"	2 56s	5 36'
2	14 50	59 49	60 8	32 39	32 49	4 15	6 12
3	8 41	60 23	60 35	32 58	33 4	5 37	6 41
4	1 57	60 42	60 45	33 8	33 9	6 58	7 8
5	4 52 A	60 45	60 39	33 9	33 6	8 18	7 32
6	11 22	60 31	60 19	33 2	32 55	9 40	7 57
7	17 6	60 4	59 47	32 47	32 38	11 2	8 22
8	21 40	59 28	59 8	32 28	32 17	* *	8 50
9	24 46	58 46	58 25	32 5	31 53	0 21M	9 24
10	26 13	58 3	57 41	31 41	31 29	1 36	10 8
11	26 2	57 20	57 1	31 18	31 7	2 45	10 58
12	24 21	56 42	56 24	30 57	30 47	3 42	11 58
13	21 22	56 7	55 51	30 38	30 29	4 28	1 45
14	17 22	55 36	55 22	30 21	30 13	5 5	2 11
15	12 39	55 9	54 57	30 6	30 0	5 35	3 20
16	7 28	54 46	54 35	29 54	29 48	5 58	4 28
17	* *	54 26	54 18	29 43	29 38	6 19	5 35
18	2 4	54 11	54 6	29 34	29 32	6 36	6 38
19	3 23 B	54 1	53 58	29 29	29 28	6 55	7 41
20	8 41	53 57	53 57	29 27	29 27	7 13	8 44
21	13 38	53 59	54 3	29 28	29 30	7 33	9 48
22	18 5	54 8	54 16	29 33	29 37	7 55	10 52
23	21 50	54 26	54 38	29 43	29 49	8 21	11 56
24	24 37	54 53	55 10	29 57	30 7	8 55	* *
25	26 12	55 29	55 50	30 17	30 29	9 36	0 59M
26	26 23	56 13	56 38	30 41	30 55	10 27	1 57
27	25 3	57 5	57 33	31 9	31 25	11 28	2 50
28	22 8	58 2	58 32	31 41	31 57	0 37S	3 36
29	17 45	59 1	59 29	32 13	32 28	1 52	4 15
30	12 8	59 55	60 19	32 42	32 55	3 12	4 47
31	5 37	60 39	60 56	33 6	33 16	4 35	5 14

POSIZIONE DEI SATELLITI DI GIOVE.					
Oriente		15 <sup>b</sup> o'		Occidente	
1	4.	3.	2○2○		
2	4.	3.	1. ○	"	"
3	4.	.3	○	.1 .2	
4	.4		1. .3○	2.	
5	.4	2.	○	.1 .3	
6		.4	.1 2 ○		3.
7			.4○	1. 3. ,2	
8	2●		3. .1○		.4
9	1●	3	.2 ○		.4
10		.3	○ .1 .2		.4
11			1○2,3○	2.	.4
12		2.	○	.1 .3	4.
13			1○2 ○		.3 4.
14			○	1. 2○3	4.
15	2●		.1 3.○	4.	
16		3. 2.	4. ○ 1.		
17	1.0	3○4	○ .2		
18		4.	.3 1. ○	2.	
19	4.		2. ○	.1 .3	
20	4.		1○2 ○		.3
21	.4		○ .1 .23.		
22	3●	.4	.1 ○ 2.		
23			3. 2○4 ○	1.	
24	4.0	.3	.1○		
25	2.0		.3 1.○	2..4	
26			2. ○ .1 .3		.4
27		.2 1.	○		.3 .4
28			○ .1 2 3.		.4
29	3●		.1 ○ 2.		4.
30			2○3 ○	1.	.4.
31	2.0	3.	.1○		

Giorni.	FASI DELLA LUNA.	Giorni.	ECLISSE DEI SATELLITI DI GIOVE. Tempo medio.
1	Plenilunio ..... 11 <sup>h</sup> 46'		I. SATELLITE.
8	Ultimo quarto ..... 4 4	* 1	13 11 30 imm.
16	Novilunio ..... 3 4	3	7 39 40
24	Primo quarto ..... 4 0	5	2 8 19
30	Plenilunio ..... 20 9	6	20 36 40
		* 8	15 5 10
		10	9 33 32
		12	4 2 2
		13	22 30 24
		* 15	16 58 55
		* 17	11 27 18
		19	5 55 50
1	$\gamma \text{ III}$ ..... 5 <sup>h</sup> 3'	21	0 24 13
3	$\alpha^2 \Delta$ ..... 12 16	22	18 52 46
4	$\lambda \Delta$ ..... 13 9	* 24	13 21 10
7	$\phi \rightarrow$ ..... 8 42	26	7 49 43
7	$\sigma \rightarrow$ ..... 12 36	28	2 18 8
8	A $\rightarrow$ ..... 14 15	29	20 46 43
13	33 X ..... 14 46		II. SATELLITE.
19	$x^2, x^1 \Delta$ ..... 11 4		
22	$\epsilon \square$ ..... 1 49	2	7 32 13 imm.
23	$x \square$ ..... 3 59	5	20 48 42
25	$\eta \Omega$ ..... 17 53	9	10 5 11
28	$\gamma \text{ III}$ ..... 16 3	12	23 21 42
30	$\alpha^2 \Delta$ ..... 23 19	* 16	12 38 14
		20	1 54 47
		* 23	15 11 19
		27	4 27 54
		30	17 44 29
			III. SATELLITE.
13	$h$ e $\sigma \approx$ differ. di latitudine 9'.	* 5	15 50 44 imm.
18	$h$ e $\sigma$ differenza di latitudine 2'.	5	18 5 4 em.
19	$\sigma$ in congiunzione superiore.	12	19 48 11 imm.
20	○ nel segno del Toro 0 <sup>h</sup> 4'.	12	22 3 9 em.
		19	23 46 53 imm.
		20	2 2 32 em.
		27	3 44 28 imm.
		27	6 0 54 em.

Giorni dell'anno.	Giorni del mese.	Giorni della settimana.	TEMPO medio a mezzodì vero.	TEMPO sidereo a mezzodì vero.	TEMPO sidereo a mezzodì medio.	Nascere del Sole.	Tramontare del Sole.
91	1	Mart.	h 4 1,7	h 41 51,3	h 37 48,9	5 39	6 21
92	2	Merc.	0 3 43,3	0 45 29,4	0 41 45,5	5 37	6 23
93	3	Giov.	0 3 25,0	0 49 7,7	0 45 42,1	5 35	6 25
94	4	Ven.	0 3 6,9	0 52 46,1	0 49 38,6	5 34	6 26
95	5	Sab.	0 2 49,0	0 56 24,7	0 53 35,2	5 32	6 28
96	6	Dom.	0 2 31,3	1 0 3,5	0 57 31,7	5 31	6 29
97	7	Lun.	0 2 13,8	1 3 42,5	1 1 28,3	5 29	6 31
98	8	Mart.	0 1 56,6	1 7 21,7	1 5 24,8	5 28	6 32
99	9	Merc.	0 1 39,6	1 11 1,2	1 9 21,4	5 26	6 34
100	10	Giov.	0 1 22,9	1 14 41,0	1 13 17,9	5 24	6 36
101	11	Ven.	0 1 6,4	1 18 21,0	1 17 14,5	5 23	6 37
102	12	Sab.	0 0 50,2	1 22 1,4	1 21 11,0	5 21	6 39
103	13	Dom.	0 0 34,4	1 25 42,1	1 25 7,6	5 20	6 40
104	14	Lun.	0 0 18,9	1 29 23,1	1 29 4,1	5 18	6 42
105	15	Mart.	0 0 3,7	1 33 4,5	1 33 0,7	5 17	6 43
106	16	Merc.	23 59 48,9	1 36 46,2	1 36 57,3	5 16	6 44
107	17	Giov.	23 59 34,5	1 40 28,3	1 40 53,8	5 14	6 46
108	18	Ven.	23 59 20,5	1 44 10,7	1 44 50,4	5 12	6 48
109	19	Sab.	23 59 6,8	1 47 53,6	1 48 46,9	5 11	6 49
110	20	Dom.	23 58 53,5	1 51 36,8	1'52 43,5	5 9	6 51
111	21	Luu.	23 58 40,6	1 55 20,5	1 56 40,0	5 8	6 52
112	22	Mart.	23 58 28,2	1 59 4,6	2 0 36,6	5 6	6 54
113	23	Merc.	23 58 16,2	2 2 49,1	2 4 33,1	5 5	6 55
114	24	Giov.	23 58 4,6	2 6 34,0	2 8 29,7	5 3	6 57
115	25	Ven.	23 57 53,5	2 10 19,4	2 12 26,3	5 2	6 58
116	26	Sab.	23 57 42,8	2 14 5,3	2 16 22,8	5 0	7 0
117	27	Dom.	23 57 32,6	2 17 51,6	2 20 19,4	4 59	7 1
118	28	Lun.	23 57 22,9	2 21 38,4	2 24 15,9	4 58	7 2
119	29	Mart.	23 57 13,7	2 25 25,7	2 28 12,5	4 57	7 3
120	30	Merc.	23 57 5,0	2 29 13,5	2 32 9,0	4 55	7 5

Gior ni del mese	LONGITUDINE del Sole.	ASCENSIONE retta del Sole.	DECLINAZIONE del Sole boreale.	LOGARITMO della distanza della Terra dal Sole.
1	° ° 23' 0,7	° ' " 50	° ' " 27	0,000074
2	° 12 22 3,7	11 22 22	4 53 33	0,000199
3	° 13 21 4,6	12 16 56	5 16 33	0,000326
4	° 14 20 3,7	13 11 32	5 39 27	0,000453
5	° 15 19 0,9	14 6 11	6 2 16	0,000580
6	° 16 17 56,3	15 0 52	6 24 58	0,000707
7	° 17 16 50,1	15 55 37	6 47 34	0,000834
8	° 18 15 42,1	16 50 26	7 10 4	0,000961
9	° 19 14 32,4	17 45 18	7 32 26	0,001088
10	° 20 13 21,1	18 40 15	7 54 40	0,001215
11	° 21 12 8,2	19 35 16	8 16 47	0,001341
12	° 22 10 53,5	20 30 21	8 38 46	0,001467
13	° 23 9 37,1	21 25 31	9 0 36	0,001591
14	° 24 8 19,0	22 20 46	9 22 18	0,001714
15	° 25 6 59,1	23 16 7	9 43 50	0,001836
16	° 26 5 37,4	24 11 33	10 5 12	0,001957
17	° 27 4 13,7	25 7 4	10 26 25	0,002076
18	° 28 2 48,0	26 2 41	10 47 27	0,002194
19	° 29 1 20,2	26 58 23	11 8 18	0,002311
20	° 29 59 50,3	27 54 12	11 28 59	0,002426
21	1 0 58 18,4	28 50 7	11 49 28	0,002540
22	1 1 56 44,3	29 46 8	12 9 45	0,002652
23	1 2 55 8,0	30 42 16	12 29 50	0,002764
24	1 3 53 29,5	31 38 30	12 49 43	0,002875
25	1 4 51 48,9	32 34 51	13 9 24	0,002985
26	1 5 50 6,2	33 31 19	13 28 51	0,003095
27	1 6 48 21,5	34 27 54	13 48 5	0,003204
28	1 7 46 34,7	35 24 36	14 7 5	0,003312
29	1 8 44 45,9	36 21 26	14 25 51	0,003420
30	1 9 42 55,3	37 18 23	14 44 23	0,003527

Giorni del mese	Giorni della settimana	LONGITUDINE DELLA LUNA				LATITUD. DELLA LUNA	Passaggio della Luna pel merid.
		a mezzodì.	a mezza notte.	a mezzodì.	a mezza notte.		
1 Mart.	6 4 24 46	6 12 1 5	4 8 2B	3 41 37B	h 1	12 7	
2 Merc.	6 19 38 14	6 27 14 55	3 11 11	2 37 20	13 0	13 55	
3 Giov.	7 4 49 51	7 12 21 53	2 0 46	1 22 17	14 53	15 52	
4 Ven.	7 19 50 0	7 27 13 21	0 42 40	0 2 42	16 52		
5 Sab.	8 4 31 17	8 11 43 21	0 36 51A	1 15 19A	17 51		
6 Dom.	8 18 49 15	8 25 48 51	1 52 4	2 26 37	16 52		
7 Lun.	9 2 42 13	9 9 29 28	2 58 30	3 27 23	17 51		
8 Mart.	9 16 10 49	9 22 46 35	3 53 0	4 15 8	18 48		
9 Merc.	9 29 17 7	10 5 42 48	4 33 39	4 48 29	19 41		
10 Giov.	10 12 4 0	10 18 21 10	4 59 34	5 6 55	20 30		
11 Ven.	10 24 34 39	11 0 44 52	5 10 33	5 10 33	21 15		
12 Sab.	11 6 52 10	11 12 56 55	5 6 58	4 59 57	21 58		
13 Dom.	11 18 59 26	11 24 59 59	4 49 36	4 36 6	22 39		
14 Lun.	0 0 58 53	0 6 56 22	4 19 37	4 0 21	23 19		
15 Mart.	0 12 52 39	0 18 47 59	3 38 31	3 14 21	23 59		
16 Merc.	0 24 42 35	1 0 36 43	2 48 8	2 20 5	* *		
17 Giov.	1 6 30 34	1 12 24 26	1 50 32	1 19 46	0 40		
18 Ven.	1 18 18 36	1 24 13 23	0 48 5	0 15 47	1 23		
19 Sab.	2 0 9 8	2 6 6 12	0 16 47B	0 49 20B	2 8		
20 Dom.	2 12 5 0	2 18 5 56	1 21 31	1 53 0	2 56		
21 Lun.	2 24 9 27	3 0 16 4	2 23 28	2 52 34	3 47		
22 Mart.	3 6 26 13	3 12 40 27	3 19 56	3 45 15	4 40		
23 Merc.	3 18 59 14	3 25 23 4	4 8 10	4 28 18	5 35		
24 Giov.	4 1 52 26	4 8 27 47	4 45 19	4 58 51	6 29		
25 Ven.	4 15 9 28	4 21 57 46	5 8 34	5 14 9	7 23		
26 Sab.	4 28 52 51	5 5 54 44	5 15 19	5 11 48	8 15		
27 Dom.	5 13 3 19	5 20 18 15	5 3 27	4 50 10	9 6		
28 Lun.	5 27 39 3	6 5 5 3	4 31 58	4 9 0	9 58		
29 Mart.	6 12 35 21	6 20 8 57	3 41 32	3 9 59	10 50		
30 Merc.	6 27 44 44	7 5 21 28	2 34 55	1 57 0	11 44		

Giorni del mese	Declinaz. della Luna nel merid.	PARALLASSE equatoriale della Luna		DIAMETRO orizzontale della Luna		Nascere della Luna.	Tra- montare della Luna.
		a mezzodi	a mezza notte.	a mezzodi	a mezza notte.		
1	° 24 A	61 8'	61 16"	33 22"	33 27"	5 578'	5 39M
2	8 20	61 18	61 16	33 28	33 27	7 20	6 4
3	14 44	61 9	60 58	33 23	33 17	8 44	6 27
4	20 4	60 42	60 23	33 8	32 58	10 9	6 55
5	23 57	60 1	59 37	32 46	32 32	11 30	7 28
6	26 8	59 11	58 44	32 18	32 4	* *	8 9
7	26 30	58 17	57 51	31 49	31 35	0 44M	8 58
8	25 13	57 24	56 59	31 20	31 6	1 47	9 56
9	22 33	56 36	56 14	30 54	30 42	2 36	11 3
10	18 48	55 53	55 34	30 30	30 20	3 16	0 118
11	14 16	55 17	55 1	30 11	30 2	3 48	1 19
12	9 14	54 48	54 36	29 55	29 48	4 13	2 27
13	3 53	54 25	54 16	29 42	29 37	4 33	3 33
14	1 35 B	54 9	54 3	29 33	29 30	4 51	4 38
15	6 58	53 58	53 55	29 27	29 26	5 9	5 40
16	* *	53 53	53 53	29 25	29 25	5 27	6 43
17	12 6	53 54	53 56	29 25	29 26	5 45	7 48
18	16 47	54 0	54 5	29 29	29 31	6 6	8 53
19	20 47	54 12	54 20	29 35	29 40	6 31	9 56
20	23 56	54 30	54 42	29 45	29 51	7 1	11 0
21	25 58	54 55	55 10	29 59	30 7	7 40	11 59
22	26 40	55 27	55 46	30 16	30 26	8 26	* *
23	25 55	56 7	56 30	30 38	30 51	9 23	0 53M
24	23 39	56 54	57 20	31 4	31 18	10 27	1 41
25	19 58	57 47	58 14	31 32	31 47	11 38	2 21
26	15 1	58 42	59 10	32 3	32 18	0 538	2 54
27	9 2	59 36	60 1	32 32	32 45	2 12	3 23
28	2 21	60 23	60 44	32 58	33 9	3 33	3 46
29	4 37 A	60 59	61 11	33 17	33 24	4 53	4 9
30	11 24	61 18	61 21	33 28	33 29	6 17	4 34

POSIZIONE DEI SATELLITI DI GIOVE.

Oriente

13<sup>h</sup> 30'

Occidente

1	1●		3	○	2○4	
2	1.0		2○4	○	.3	
3		4. .2	1.	○		.3
4	4.			○	1○2	.3.
5	4.		I.	○	3.	2.
6	.4		3. 2.	○	I.	
7	.4	3.		1○2	○	
8		.4	.3	○	I.	.2
9	1.0 2●		.4	○	.3	
10			2.	I.	○	.4
11				○	1○2	.4 3.
12			I.	○	3. 2.	.4
13			3. 2.	○	.1	
14		.3	1○2	○		.4
15			.3	○	I.	.2
16	2● 3.0			.1 ○		4.
17	1●		.2	○		3○4
18				○	.2 1○4	.3.
19			4. I.	○	3. 2.	
20		4.	2○3	○	.1	
21		4.	3.	.2 I	○	
22		4.		○	I.	.2
23		.4		.1 ○	2.	
24		.4	2.	○		.3
25	1.0		.4	○		3.
26				.4 I.	○	2○3
27				2○3	○	1○4
28			3.	.2 I.	○	
29			.3	○	I. .2	
30				.1 3○	2.	

GIORNI.	FASI DELLA LUNA.	GIORNI.	ECLISSE DEI SATELLITI DI GIOVE. Tempo medio.
7 15 23 30	Ultimo quarto. .... 16 <sup>h</sup> 16 Novilunio ..... 19 36 Primo quarto ..... 13 19 Plenilunio ..... 3 58	* 1 * 3 5 6 8 * 10 12	I. SATELLITE. <sup>b</sup> 15 15 8 imm. 9 43 43 4 12 10 22 40 46 17 9 13 11 37 50 6 6 18
	CONGIUNZ. DELLA LUNA COLLE STELLE.		
1 4 5 10 16 17 19 20 23 26 28 29	$\lambda \triangleleft$ ..... 23 <sup>h</sup> 44 $\phi \rightarrow$ ..... 17 14 $A \rightarrow$ ..... 21 52 33 $\chi$ ..... 20 46 $x^2, x^1 \square$ ..... 17 0 $\psi$ ..... 19 49 $s \square$ ..... 7 32 $\pi \square$ ..... 9 48 $\eta \varnothing$ ..... 0 46 $\gamma \text{W}$ ..... 1 13 $\alpha^2 \triangleleft$ ..... 9 53 $\lambda \triangleleft$ ..... 10 32	14 15 * 17 19 21 22 * 24 * 26 28 30 31	0 34 56 19 3 25 13 32 4 8 0 34 2 29 14 20 57 45 15 26 25 9 54 57 6 32 32 em. 1 1 5 19 29 48
	FENOMENI ED OSSERVAZIONI.		II. SATELLITE.
19 21 21 27 28	$\psi$ nella massima elongazione. $\varphi$ in congiunzione inferiore. ○ nel segno de' Gemelli.. 0 <sup>h</sup> 30'. $\psi$ in opposizione. $\alpha^2 \triangleleft$ imm. 8 <sup>h</sup> 58', emers. 9 <sup>h</sup> 33': distanza della Stella dal corno australe della Luna nell'em. 45°.	4 7 * 11 14 * 18 22 * 25 29	7 1 5 imm. 20 17 45 9 34 27 22 51 12 12 7 57 1 24 45 14 41 36 6 32 25 em.
			III. SATELLITE.
		4 * 4 * 11 * 11 * 18 18 25 25	7 42 2 imm. 9 59 14 em. 11 39 50 imm. 13 57 45 em. 15 38 29 imm. 17 57 10 em. 19 36 56 imm. 21 56 22 em.

Giorni dell'ann.	Giorni del mese	Giorni della settimana	TEMPO medio a mezzodì vero.	TEMPO sidereo a mezzodì vero.	TEMPO sidereo a mezzodì medio.	Nascere del Sole.	Tramontare del Sole.
121	1	Giov.	23 56 56,8	2 33 1,9	2 36 5,6	4 53 1	7 7
122	2	Ven.	23 56 49,2	2 36 50,9	2 40 2,2	4 52	7 8
123	3	Sab.	23 56 42,1	2 40 40,3	2 43 58,7	4 50	7 10
124	4	Dom.	23 56 35,6	2 44 30,3	2 47 55,3	4 49	7 11
125	5	Lun.	23 56 29,7	2 48 20,9	2 51 51,8	4 48	7 12
126	6	Mart.	23 56 24,3	2 52 12,1	2 55 48,4	4 47	7 13
127	7	Merc.	23 56 19,5	2 56 3,9	2 59 44,9	4 45	7 15
128	8	Giov.	23 56 15,3	2 59 56,2	3 3 41,5	4 44	7 16
129	9	Ven.	23 56 11,7	3 3 49,2	3 7 38,0	4 43	7 17
130	10	Sab.	23 56 8,8	3 7 42,7	3 11 34,6	4 42	7 18
131	11	Dom.	23 56 6,4	3 11 36,9	3 15 31,1	4 40	7 20
132	12	Lun.	23 56 4,6	3 15 31,6	3 19 27,7	4 39	7 21
133	13	Mart.	23 56 3,3	3 19 26,9	3 23 24,3	4 38	7 22
134	14	Merc.	23 56 2,8	3 23 22,9	3 27 20,8	4 37	7 23
135	15	Giov.	23 56 2,7	3 27 19,4	3 31 17,4	4 36	7 24
136	16	Ven.	23 56 3,3	3 31 16,5	3 35 13,9	4 35	7 25
137	17	Sab.	23 56 4,4	3 35 14,2	3 39 10,5	4 33	7 27
138	18	Dom.	23 56 6,1	3 39 12,4	3 43 7,0	4 32	7 28
139	19	Lun.	23 56 8,2	3 43 11,1	3 47 3,6	4 31	7 29
140	20	Mart.	23 56 10,9	3 47 10,4	3 51 0,2	4 30	7 30
141	21	Merc.	23 56 14,2	3 51 10,3	3 54 56,7	4 29	7 31
142	22	Giov.	23 56 18,0	3 55 10,6	3 58 53,3	4 28	7 32
143	23	Ven.	23 56 22,3	3 59 11,5	4 2 49,8	4 27	7 33
144	24	Sab.	23 56 27,1	4 3 12,9	4 6 46,4	4 26	7 34
145	25	Dom.	23 56 32,4	4 7 14,8	4 10 42,9	4 25	7 35
146	26	Lun.	23 56 38,2	4 11 17,1	4 14 39,5	4 24	7 36
147	27	Mart.	23 56 44,4	4 15 19,9	4 18 36,1	4 23	7 37
148	28	Merc.	23 56 51,1	4 19 23,2	4 22 32,6	4 22	7 38
149	29	Giov.	23 56 58,2	4 23 26,9	4 26 29,2	4 21	7 39
150	30	Ven.	23 57 5,8	4 27 31,1	4 30 25,7	4 20	7 40
151	31	Sab.	23 57 13,9	4 31 35,8	4 34 22,3	4 19	7 41

Giorni del mese	LONGITUDINE del Sole.	ASCENSIONE retta del Sole.	DECLINAZIONE del Sole boreale.	LOCARITMO della distanza della Terra dal Sole.
1	1 10 41 3,0	38 15 29 "	15 2 41	0,003634
2	1 11 39 9,0	39 18 48	15 20 44	0,003741
3	1 12 37 13,4	40 10 5	15 38 31	0,003848
4	1 13 35 16,2	41 7 35	15 56 3	0,003953
5	1 14 33 17,7	42 5 14	16 13 20	0,004058
6	1 15 31 17,9	43 3 2	16 30 21	0,004163
7	1 16 29 16,7	44 0 58	16 47 5	0,004266
8	1 17 27 14,3	44 59 3	17 3 32	0,004368
9	1 18 25 10,7	45 57 18	17 19 43	0,004469
10	1 19 23 5,9	46 55 41	17 35 37	0,004568
11	1 20 20 59,9	47 54 13	17 51 43	0,004666
12	1 21 18 53,7	48 52 54	18 6 31	0,004768
13	1 22 16 44,3	49 51 44	18 21 31	0,004856
14	1 23 14 34,7	50 50 43	18 36 12	0,004949
15	1 24 12 23,7	51 49 51	18 50 35	0,005039
16	1 25 10 11,3	52 49 7	19 4 39	0,005127
17	1 26 7 57,5	53 48 32	19 18 24	0,005212
18	1 27 5 42,2	54 48 5	19 31 49	0,005295
19	1 28 3 25,5	55 47 47	19 44 54	0,005377
20	1 29 1 7,4	56 47 37	19 57 39	0,005456
21	2 29 58 47,6	57 47 34	20 10 3	0,005533
22	2 0 56 26,3	58 47 40	20 22 7	0,005608
23	2 1 54 3,7	59 47 53	20 33 50	0,005682
24	2 2 51 39,4	60 48 13	20 45 12	0,005754
25	2 3 49 13,6	61 48 41	20 56 12	0,005824
26	2 4 46 46,3	62 49 16	21 6 51	0,005893
27	2 5 44 17,6	63 49 59	21 17 7	0,005961
28	2 6 41 47,6	64 50 48	21 27 8	0,006037
29	2 7 39 16,4	65 51 44	21 36 35	0,006092
30	2 8 36 44,2	66 52 47	21 45 45	0,006157
31	2 9 34 11,1	67 53 56	21 54 33	0,006220

Giorni del mese	Giorni della settimana	LONGITUDINE DELLA LUNA				LATITUD. DELLA LUNA	Passaggio dell' Luna pel merid.
		a mezzodì.	a mezza notte.	a mezzodì.	a mezza notte.		
1	Giov.	7 12 57 53	7 20 32 49	1 17 08	0 35 44B	1 41	
2	Ven.	7 28 5 3	8 5 33 33	0 5 56A	0 47 10A	13 40	
3	Sab.	8 12 57 23	8 20 15 48	1 27 11	2 5 17	14 42	
4	Dom.	8 27 28 13	9 4 34 13	2 40 52	3 13 25	15 44	
5	Lun.	9 11 33 34	9 18 26 11	3 42 33	4 7 59	16 43	
6	Mart.	9 25 12 9	10 1 51 37	4 29 31	4 47 3	17 39	
7	Merc.	10 8 24 52	10 14 52 17	5 0 32	5 10 0	18 31	
8	Giov.	10 21 14 16	10 27 31 15	5 15 29	5 17 7	19 18	
9	Ven.	11 3 43 46	11 9 52 19	5 15 0	5 9 17	20 2	
10	Sab.	11 15 57 23	11 21 59 29	5 0 9	4 47 44	20 44	
11	Dom.	11 27 59 6	0 3 56 43	4 32 15	4 13 54	21 23	
12	Lun.	0 9 52 47	0 15 47 43	3 52 53	3 29 26	22 2	
13	Mart.	0 21 41 53	0 27 35 42	3 3 48	2 36 13	22 43	
14	Merc.	1 3 29 29	1 9 23 33	2 6 57	1 36 18	23 24	
15	Giov.	1 15 18 13	1 21 13 46	1 4 33	0 32 1	* *	
16	Ven.	1 27 10 27	2 3 8 34	0 0 58B	0 34 5B	0 8	
17	Sab.	2 9 8 21	2 15 10 5	1 6 58	1 39 17	0 56	
18	Dom.	2 21 14 10	2 27 20 23	2 10 40	2 40 47	1 46	
19	Lun.	3 3 29 30	3 9 41 37	3 9 14	3 35 42	2 38	
20	Mart.	3 15 57 1	3 22 16 0	3 59 49	4 21 15	3 32	
21	Merc.	3 28 38 51	4 5 5 53	4 39 40	4 54 46	4 26	
22	Giov.	4 11 37 23	4 18 13 38	5 6 15	5 13 51	5 19	
23	Ven.	4 24 54 50	5 1 41 11	5 17 19	5 16 28	6 10	
24	Sab.	5 8 32 50	5 15 29 51	5 11 6	5 1 10	6 59	
25	Dom.	5 22 32 12	5 29 39 44	4 46 36	4 27 28	7 48	
26	Lun.	6 6 52 13	6 14 9 17	4 3 54	3 36 11	8 38	
27	Mart.	6 21 30 24	6 28 54 55	3 4 38	2 29 46	9 29	
28	Merc.	7 6 22 6	7 13 51 3	1 52 8	1 12 26	10 23	
29	Giov.	7 21 20 49	7 28 50 23	0 31 26	0 10 6A	11 20	
30	Ven.	8 6 18 43	8 13 44 47	0 51 20A	1 31 27	12 21	
31	Sab.	8 21 7 37	8 28 26 20	2 9 44	2 45 30	13 24	

Giorni del mese	Declinaz. della Luna nel merid.	PARALLASSE equatoriale della Luna		DIAMETRO orizzontale della Luna		Nascere della Luna.	Tra- montare della Luna.
		a mezzodì	a mezza notte.	a mezzodì	a mezza notte.		
1	° 29 A	61 18	61 10	33 28	33 23	7 43 s	4 59 M
2	22 19	60 57	60 41	33 16	33 7	9 6	5 27
3	25 26	60 21	59 58	32 57	32 44	10 28	6 5
4	26 40	59 32	59 5	32 30	32 15	11 40	6 52
5	26 3	58 37	58 8	32 0	31 44	* *	7 46
6	23 49	57 39	57 12	31 28	31 13	0 37 M	8 52
7	20 19	56 45	56 20	30 59	30 45	1 21	10 8
8	15 56	55 57	55 35	30 32	30 20	1 56	11 13
9	10 58	55 15	54 53	30 10	30 0	2 23	0 23 s
10	5 41	54 42	54 29	29 51	29 44	2 45	1 29
11	0 15	54 17	54 9	29 38	29 33	3 4	2 35
12	5 10 B	54 3	53 58	29 30	29 27	3 21	3 37
13	10 25	53 55	53 54	29 26	29 25	3 38	4 38
14	15 18	53 55	53 57	29 26	29 27	3 56	5 42
15	* *	54 1	54 6	29 29	29 32	4 15	6 46
16	19 35	54 12	54 19	29 35	29 39	4 38	7 51
17	23 4	54 27	54 37	29 43	29 49	5 7	8 55
18	25 29	54 48	54 59	29 55	30 1	5 42	9 56
19	26 38	55 12	55 26	30 8	30 16	6 24	10 53
20	26 21	55 42	55 59	30 24	30 33	7 19	11 42
21	24 35	56 16	56 35	30 43	30 53	8 20	* *
22	21 25	56 56	57 17	31 5	31 16	9 30	0 23 M
23	16 59	57 39	58 2	31 28	31 41	10 40	0 58
24	11 32	58 25	58 48	31 53	32 6	11 54	1 27
25	5 20	59 11	59 32	32 18	32 30	1 108	1 50
26	1 20 A	59 53	60 11	32 41	32 51	2 27	2 12
27	8 7	60 26	60 39	32 59	33 6	3 48	2 35
28	14 29	60 48	60 53	33 11	33 14	5 11	2 57
29	19 57	60 54	60 50	33 15	33 12	6 35	3 23
30	24 3	60 43	60 31	33 8	33 2	8 0	3 56
31	26 17	60 15	59 56	32 53	32 43	9 17	4 38

## POSIZIONE DEI SATELLITI DI GIOVE.

Oriente

12<sup>h</sup> 30'

Occidente

1   b	2.	○	1.	.3	4.
2   2.0		.1○		.3	.4.
3		1.○	2.	3.	4.
4   3.0	2.	○	.1	4.	
5	3. .2	1. 4.	○		
6	.3 4.		○	1○2	
7	4.	.3 .1	○	2.	
8	4.	2.	○	1.	3
9   4.		1○2○		.3	
10   1.4		○	.2	3.	1.0
11   2.0	.4	○	1.		3.0
12	3. 2○4	1.	○		
13	3.	.4○	1○2		
14		.3. .1	○	2.	.4
15		2.	○	1○3	.4
16		1○2○	○	.3	.4
17		○1.		.23.	4
18   1.0 2.0		○	3.		4.
19		2. 3	1.	○	4.
20	.3		○	1○2	.4.
21		.3 1.	○	4.	2.
22   3.0		2○4	○	.1	
23	4.	1○2○	○	.3	
24	4.		○	1.	.2 3.
25	4.		.1○	2.	3.
26	.4	2. 3.	1.○		
27	.4	3.	○	1○2	
28	.4	.3	.1	○	2.
29   3.0		2○4	○	1.	
30		1○2○	○	.4	.3
31		○	1.	.2	4 3.

GIORNI.	FASI DELLA LUNA.	GIORNI.	ECLISSE DEI SATELLITI DI GIOVE. Tempo medio.
6	Ultimo quarto ..... 6 <sup>h</sup> 13'		I. SATELLITE.
14	Novilunio ..... 10 22	* 2	13 55 21 em.
21	Primo quarto ..... 19 40	4	8 27 4
28	Plenilunio ..... 11 55	6	2 55 40
		7	21 24 23
		9	15 53 0
		* 11	10 21 44
		13	4 50 21
		14	23 19 5
		16	17 47 44
		* 18	12 16 29
1	φ → ..... 3 <sup>h</sup> 17'	20	6 45 7
2	A → ..... 7 11	22	1 13 53
12	x <sup>2</sup> , x <sup>1</sup> △ ..... 23 25	23	19 42 33
15	ε □ ..... 13 24	* 25	14 11 19
16	x □ ..... 15 25	* 27	8 30 59
19	η Ζ ..... 6 12	29	3 8 45
22	γ Π ..... 7 57	30	21 37 26
24	α <sup>2</sup> Δ ..... 18 25		II. SATELLITE.
25	λ Δ ..... 19 45	1	19 49 30 em.
28	φ → ..... 13 19	5	9 6 37
29	A → ..... 17 4	8	22 23 48
		* 12	11 41 3
		16	0 58 21
		* 19	14 15 41
		23	3 33 4
		26	16 50 31
		30	6 8 2
			III. SATELLITE.
4	ℳ in opposizione.		23 36 9 imm.
11	ℳ in congiunzione inferiore.	1	1 56 20 em.
21	ℳ nel segno del Cancro 9 <sup>h</sup> 7'.	2	3 34 32 imm.
28	φ → a 14 <sup>h</sup> 0' distanza dal lembo horeale della Luna 7'.	9	5 55 33 em.
		16	7 33 0 imm.
		16	9 54 50 em.
		* 23	11 31 19 imm.
		* 23	13 54 2 em.
		30	15 29 57 imm.
		30	17 53 28 em.

Giorni dell'anno.	Giorni del mese.	Giorni della settimana	TEMPO medio a mezzodì vero.	TEMPO sidereo a mezzodì vero.	TEMPO sidereo a mezzodì medio.	Nascere del Sole.	Tramontare del Sole.
152	1	Dom.	23 57 22,4	4 35 40,8	4 38 18,8	4 19	7 41
153	2	Lun.	23 57 31,3	4 39 46,3	4 42 15,4	4 18	7 42
154	3	Mart.	23 57 40,6	4 43 52,2	4 46 12,0	4 18	7 42
155	4	Merc.	23 57 50,3	4 47 58,5	4 50 8,5	4 17	7 43
156	5	Giov.	23 58 0,4	4 52 5,1	4 54 5,1	4 17	7 43
157	6	Ven.	23 58 10,8	4 56 12,1	4 58 1,6	4 16	7 44
158	7	Sab.	23 58 21,5	5 0 19,4	5 1 58,2	4 16	7 44
159	8	Dom.	23 58 32,5	5 4 27,1	5 5 54,8	4 15	7 45
160	9	Lun.	23 58 43,5	5 8 35,0	5 9 51,3	4 14	7 46
161	10	Mart.	23 58 55,5	5 12 43,2	5 13 47,9	4 14	7 46
162	11	Merc.	23 59 7,5	5 16 51,8	5 17 44,4	4 14	7 46
163	12	Giov.	23 59 19,7	5 21 0,6	5 21 41,0	4 13	7 47
164	13	Ven.	23 59 32,1	5 25 9,5	5 25 37,5	4 13	7 47
165	14	Sab.	23 59 44,6	5 29 18,6	5 29 34,1	4 13	7 47
166	15	Dom.	23 59 57,2	5 33 27,9	5 33 30,7	4 12	7 48
167	16	Lun.	0 0 10,0	5 37 37,3	5 37 27,2	4 12	7 48
168	17	Mart.	0 0 22,9	5 41 46,8	5 41 23,8	4 12	7 48
169	18	Merc.	0 0 35,9	5 45 56,3	5 45 20,3	4 12	7 48
170	19	Giov.	0 0 48,9	5 50 5,9	5 49 16,9	4 12	7 48
171	20	Ven.	0 1 1,9	5 54 15,5	5 53 13,5	4 11	7 49
172	21	Sab.	0 1 14,9	5 58 25,1	5 57 10,0	4 11	7 49
173	22	Dom.	0 1 27,9	6 2 34,7	6 1 6,6	4 11	7 49
174	23	Lun.	0 1 40,8	6 6 44,2	6 5 3,1	4 12	7 48
175	24	Mart.	0 1 53,6	6 10 53,6	6 8 59,7	4 12	7 48
176	25	Merc.	0 2 6,3	6 15 2,9	6 12 56,2	4 12	7 48
177	26	Giov.	0 2 18,9	6 19 12,1	6 16 52,8	4 12	7 48
178	27	Ven.	0 2 31,3	6 23 21,1	6 20 49,4	4 12	7 48
179	28	Sab.	0 2 43,5	6 27 29,9	6 24 45,9	4 12	7 48
180	29	Dom.	0 2 55,6	6 31 38,6	6 28 42,5	4 13	7 47
181	30	Lun.	0 3 7,5	6 35 47,1	6 32 39,0	4 13	7 47

Giorni del mese	LONGITUDINE del Sole.	ASCENSIONE retta del Sole.	DECLINAZIONE del Sole boreale.	LOGARITMO della distanza della Terra dal Sole.
1	2° 10' 31" 37,0	68° 55' 19"	22° 2' 58"	0,006282
2	2 11 29 2,0	69 56 34	22 11 0	0,006343
3	2 12 26 26,3	70 58 3	22 18 39	0,006403
4	2 13 23 50,6	71 59 37	22 25 54	0,006461
5	2 14 21 13,0	73 1 16	22 32 46	0,006518
6	2 15 18 35,3	74 3 1	22 39 15	0,006573
7	2 16 15 57,2	75 4 51	22 45 20	0,006626
8	2 17 13 18,7	76 6 46	22 51 1	0,006677
9	2 18 10 39,9	77 8 46	22 56 17	0,006727
10	2 19 8 0,7	78 10 50	23 1 10	0,006775
11	2 20 5 21,1	79 12 57	23 5 38	0,006820
12	2 21 2 41,1	80 15 8	23 9 42	0,006862
13	2 22 0 0,5	81 17 22	23 13 22	0,006901
14	2 22 57 19,4	82 19 39	23 16 37	0,006938
15	2 23 54 37,8	83 21 58	23 19 28	0,006973
16	2 24 51 55,6	84 24 19	23 21 54	0,007004
17	2 25 49 12,7	85 26 42	23 23 55	0,007033
18	2 26 46 29,2	86 29 5	23 25 31	0,007060
19	2 27 43 45,1	87 31 29	23 26 42	0,007084
20	2 28 41 0,3	88 33 53	23 27 29	0,007105
21	2 29 38 14,8	89 36 17	23 27 51	0,007124
22	3 0 35 28,5	90 38 40	23 27 48	0,007142
23	3 1 32 41,7	91 41 3	23 27 20	0,007157
24	3 2 29 54,2	92 43 24	23 26 27	0,007170
25	3 3 27 6,2	93 45 43	23 25 10	0,007182
26	3 4 24 17,6	94 48 1	23 23 28	0,007192
27	3 5 21 28,6	95 50 16	23 21 22	0,007201
28	3 6 18 39,5	96 52 29	23 18 51	0,007209
29	3 7 15 50,2	97 54 39	23 15 55	0,007215
30	3 8 13 0,8	98 56 46	23 12 34	0,007220

Giorni del mese	Giorni della settimana	LONGITUDINE DELLA LUNA		LATITUD. DELLA LUNA		Passaggio della Luna pel merid.
		a mezzodì.	a mezza notte.	a mezzodì.	a mezza notte.	
1	Dom.	° 5 40 / 8	° 12 48 / 24	° 18 10 A	° 47 18 A	14 26
2	Lun.	9 19 50 39	9 26 46 33	4 12 32	4 33 39	15 25
3	Mart.	10 3 35 54	10 10 18 42	4 50 31	5 3 6	16 20
4	Merc.	10 16 55 2	10 23 25 8	5 11 26	5 15 37	17 10
5	Giov.	10 29 49 19	11 6 8 1	5 15 47	5 12 6	17 55
6	Ven.	11 12 21 41	11 18 30 50	5 4 46	4 54 1	18 38
7	Sab.	11 24 36 3	0 0 37 54	4 40 4	4 23 7	19 19
8	Dom.	0 6 36 58	0 12 33 51	4 3 26	3 41 13	19 58
9	Lun.	0 18 29 8	0 24 23 23	3 16 45	2 50 15	20 38
10	Mart.	1 0 17 8	1 6 10 56	2 21 59	1 52 13	21 19
11	Merc.	1 12 5 15	1 18 0 33	1 21 12	0 49 15	22 2
12	Giov.	1 23 57 14	1 29 55 41	0 16 40	0 16 15 B	22 49
13	Ven.	2 5 56 14	2 11 59 8	0 49 .98	1 21 41	23 38
14	Sab.	2 18 4 40	2 24 13 1	1 53 29	2 24 11	* *
15	Dom.	3 0 24 22	3 6 38 50	2 53 25	3 20 48	0 30
16	Lun.	3 12 56 31	3 19 17 30	3 45 57	4 8 31	1 24
17	Mart.	3 25 41 51	4 2 9 37	4 28 9	4 44 32	2 18
18	Merc.	4 8 40 50	4 15 15 31	4 57 23	5 6 27	3 11
19	Giov.	4 21 53 42	4 28 35 25	5 11 29	5 12 21	4 2
20	Ven.	5 5 20 40	5 12 9 27	5 8 54	5 1 5	4 52
21	Sab.	5 19 1 45	5 25 57 33	4 48 55	4 32 26	5 40
22	Dom.	6 2 56 47	6 9 59 20	4 11 47	3 47 11	6 28
23	Lun.	6 17 5 4	6 24 13 48	3 18 55	2 47 21	7 16
24	Mart.	7 1 25 15	7 8 39 7	2 12 57	1 36 15	8 7
25	Merc.	7 15 54 57	7 23 12 17	0 57 51	0 18 23	9 0
26	Giov.	8 0 30 31	8 7 48 59	0 21 26 A	1 0 54 A	9 58
27	Ven.	8 15 6 59	8 22 23 43	1 39 17	2 15 53	10 59
28	Sab.	8 29 38 26	9 6 50 21	2 50 4	3 21 17	12 2
29	Dom.	9 13 58 41	9 21 2 48	3 49 3	4 12 59	13 3
30	Lun.	9 28 2 6	10 4 56 5	4 32 48	4 48 22	14 1

Giorni del mese	Declinaz. della Luna nel merid.	PARALLASSE equatoriale della Luna		DIAMETRO orizzontale della Luna		Nascere della Luna.	Tra- montare della Luna.
		a mezzodi	a mezza notte.	a mezzodi	a mezza notte.		
1	26 33 A	59 34	59 9	32 31	32 17	10 228	5 29M
2	24 59	58 43	58 15	32 3	31 48	11 13	6 32
3	21 55	57 48	57 20	31 33	31 18	11 53	7 42
4	17 46	56 53	56 27	31 2	30 49	* *	8 53
5	13 54	56 3	55 40	30 36	30 23	0 24M	10 5
6	7 37	55 20	55 2	30 12	30 2	0 46	11 14
7	2 9	54 46	54 33	29 54	29 47	1 5	0 218
8	3 20 B	54 22	54 14	29 41	29 36	1 23	1 26
9	8 39	54 8	54 4	29 33	29 31	1 1	2 27
10	13 40	54 3	54 3	29 30	29 30	1 59	3 30
11	18 11	54 5	54 10	29 31	29 34	2 18	4 34
12	20 58	54 16	54 23	29 37	29 41	2 39	5 38
13	24 47	54 32	54 42	29 46	29 52	3 6	6 43
14	* *	54 53	55 5	29 57	30 4	3 39	7 45
15	26 23	55 17	55 31	30 11	30 18	4 20	8 43
16	26 33	55 44	55 59	30 25	30 33	5 10	9 36
17	25 13	56 13	56 28	30 41	30 49	6 9	10 19
18	22 27	56 44	57 0	30 58	31 7	7 15	10 55
19	18 24	57 16	57 33	31 16	31 25	8 25	11 25
20	13 16	57 50	58 7	31 34	31 43	9 39	11 51
21	7 22	58 23	58 39	31 52	32 1	10 53	* *
22	0 58	58 55	59 10	32 10	32 18	0 88	0 13M
23	5 36 A	59 25	59 37	32 26	32 33	1 23	0 35
24	11 56	59 48	59 57	32 39	32 43	2 43	0 56
25	17 40	60 4	60 8	32 47	32 49	4 3	1 20
26	22 19	60 8	60 6	32 49	32 48	5 25	1 47
27	25 26	60 1	59 52	32 45	32 41	6 45	2 23
28	26 39	59 40	59 25	32 34	32 26	7 58	3 9
29	25 55	59 8	58 48	32 17	32 6	8 56	4 4
30	23 27	58 26	58 3	31 54	31 41	9 41	5 13

GIUGNO 1817.

## POSIZIONE DEI SATELLITI DI GIOVE.

Oriente

11<sup>h</sup> 30'

Occidente

1		.1	○	2.	3.	.+
2   10		3.	3.	○		.4
3   2.0		3.		○	.1	.4
4		.3	1.	○	2.	4.
5   3.0			3.	○	.1	4.
6		31.	○		3.64	
7   46			○	1.	.2	.3
8		4.	.1	○	2.	3.
9		4	2.	3.	○ 1.	
10		4.	3.	.3	○	1.0
11		4.	.3	1.	○	.2
12		.4		3	○	.1
13		.4	.2	1.	○	.3
14		.4		○	1.62	.3
15			1.64	○	2.	3.
16			3.	○	1.	.4
17		3.		.3	○	.4
18   10			3		○	.2
19   2.0				3	○	.1
20			.2	1.	○	.3
21				○	.2	.1
22				○	2.	3.
23   3.0			2.	○	1.	.4.
24		3.		.2	1.64	○
25			3.4	○		.2
26		4.		.3	○	1.62
27		4.		2.	1.	○
28		4.			○	.2
29		.4		1.	○	2.
30   3.0		.4		2.	○	1.

GIORNI.	FASI DELLA LUNA.	GIORNI.	ECLISSE DEI SATELLITI DI GIOVE. Tempo medio.
5	Ultimo quarto..... 23 <sup>b</sup> 2	2	I. SATELLITE.
13	Novilunio ..... 22 54	3	16 6 14 " em.
21	Primo quarto ..... 0 32	4	10 34 55
27	Plenilunio ..... 20 59	6	5 3 43
		7	23 32 23
		9	18 1 13
		*11	12 29 55
		13	6 58 42
		15	1 27 24
		16	19 56 13
7	♂..... 11 <sup>b</sup> 41	18	14 24 56
10	x <sup>2</sup> , x <sup>1</sup> ♀..... 6 42	*20	8 53 45
12	ε □ ..... 20 25	22	3 22 29
13	κ □ ..... 22 6	23	21 51 18
16	η ♀..... 11 58	25	16 20 2
19	γ III ♀..... 13 19	*27	10 48 51
22	a <sup>2</sup> ♂..... 0 43	29	5 17 35
23	λ ♂..... 2 44	30	23 40 24
23	δ m <sub>U</sub> ..... 6 16		
25	φ ♂..... 21 58		
27	A ♂..... 2 7		
		II. SATELLITE.	
		3	19 25 35 em.
		*7	8 43 15
		10	22 0 53
		*14	11 18 40
		18	0 36 25
		21	13 54 19
		25	3 12 10
		28	16 30 11
		III. SATELLITE.	
6	♀ in opposizione.	7	19 29 24 imm.
6	♀ nella massima elongazione.	7	21 53 46 em.
14	♀ e μ □ differenza di latitud. 14'.	14	23 38 35 imm.
17	♀ in opposizione.	15	1 53 45 em.
22	○ nel segno del Leone 19 <sup>b</sup> 59'.	22	3 28 25 imm.
		29	5 54 24 em.
		*29	7 27 23 imm.
			9 54 19 em.

Giorni dell'anno	Giorni del mese.	Giorni della settimana.	TEMPO medio a mezzodì vero.	TEMPO sidereo a mezzodì vero.	TEMPO sidereo a mezzodì medio.	Nascere del Sole.	Tramontare del Sole.
182	1	Mart.	o 3 19,2	6 39 55,3	6 36 35,6	4 13	7 47
183	2	Merc.	o 3 30,6	6 44 3,3	6 40 32,1	4 14	7 46
184	3	Giov.	o 3 41,8	6 48 11,1	6 44 28,7	4 14	7 46
185	4	Ven.	o 3 52,7	6 52 18,6	6 48 25,3	4 15	7 45
186	5	Sab.	o 4 3,3	6 56 25,8	6 52 21,8	4 15	7 45
187	6	Dom.	o 4 13,6	7 0 32,7	6 56 18,4	4 16	7 44
188	7	Lun.	o 4 23,7	7 4 39,3	7 0 14,9	4 16	7 44
189	8	Mart.	o 4 33,4	7 8 45,6	7 4 11,5	4 17	7 43
190	9	Merc.	o 4 42,6	7 12 51,5	7 8 8,1	4 17	7 43
191	10	Giov.	o 4 51,5	7 16 56,9	7 12 4,6	4 18	7 42
192	11	Ven.	o 5 0,0	7 21 2,0	7 16 1,2	4 19	7 41
193	12	Sab.	o 5 8,1	7 25 6,7	7 19 57,7	4 19	7 41
194	13	Dom.	o 5 15,7	7 29 10,9	7 23 54,3	4 20	7 40
195	14	Lun.	o 5 22,9	7 33 14,6	7 27 50,8	4 21	7 39
196	15	Mart.	o 5 29,6	7 37 17,9	7 31 47,4	4 22	7 38
197	16	Merc.	o 5 35,9	7 41 20,7	7 35 43,9	4 23	7 37
198	17	Giov.	o 5 41,6	7 45 23,0	7 39 40,5	4 24	7 36
199	18	Ven.	o 5 46,7	7 49 24,7	7 43 37,1	4 25	7 35
200	19	Sab.	o 5 51,2	7 53 25,8	7 47 33,6	4 26	7 34
201	20	Dom.	o 5 55,2	7 57 26,4	7 51 30,2	4 27	7 33
202	21	Lun.	o 5 58,7	8 1 26,4	7 55 26,7	4 28	7 32
203	22	Mart.	o 6 1,6	8 5 25,9	7 59 23,3	4 28	7 32
204	23	Merc.	o 6 3,8	8 9 24,7	8 3 19,9	4 29	7 31
205	24	Giov.	o 6 5,5	8 13 22,9	8 7 16,4	4 30	7 30
206	25	Ven.	o 6 6,6	8 17 20,6	8 11 13,0	4 31	7 29
207	26	Sab.	o 6 7,1	8 21 17,6	8 15 9,5	4 32	7 28
208	27	Dom.	o 6 7,0	8 25 14,1	8 19 6,1	4 33	7 27
209	28	Lun.	o 6 6,3	8 29 9,9	8 23 2,6	4 35	7 25
210	29	Mart.	o 6 5,0	8 33 5,1	8 26 59,2	4 36	7 24
211	30	Merc.	o 6 3,1	8 36 59,8	8 30 55,7	4 37	7 23
212	31	Giov.	o 6 c,6	8 40 53,8	8 34 52,3	4 38	7 22

Giorni del mese.	LONGITUDINE del Sole.	ASCENSIONE retta del Sole.	DECLINAZIONE del Sole boreale.	LOGARITMO della distanza della Terra dal Sole.
1	3° 9' 10" 11,5	99° 58' 50"	23° 8' 50"	0,007223
2	3 10 7 22,2	101 0 50	23 4 41	0,007225
3	3 11 4 33,1	102 2 47	23 0 8	0,007225
4	3 12 1 44,3	103 4 39	22 55 11	0,007224
5	3 12 58 56,0	104 6 28	22 49 50	0,007221
6	3 13 56 8,1	105 8 11	22 44 5	0,007216
7	3 14 53 21,6	106 9 50	22 37 56	0,007210
8	3 15 50 33,6	107 11 24	22 31 24	0,007201
9	3 16 47 47,0	108 12 52	22 24 28	0,007190
10	3 17 45 1,0	109 14 14	22 17 9	0,007176
11	3 18 42 15,5	110 15 30	22 9 27	0,007160
12	3 19 39 30,5	111 16 40	22 1 22	0,007141
13	3 20 36 45,9	112 17 44	21 52 54	0,007119
14	3 21 34 1,7	113 18 40	21 44 4	0,007095
15	3 22 31 17,8	114 19 29	21 34 52	0,007068
16	3 23 28 34,3	115 20 11	21 25 17	0,007038
17	3 24 25 51,1	116 20 44	21 15 21	0,007006
18	3 25 23 8,1	117 21 10	21 5 3	0,006971
19	3 26 20 25,3	118 21 27	20 54 23	0,006934
20	3 27 17 42,7	119 21 36	20 43 22	0,006895
21	3 28 15 0,4	120 21 36	20 32 1	0,006853
22	3 29 12 18,3	121 21 28	20 20 19	0,006809
23	4 0 9 36,6	122 21 11	20 8 17	0,006764
24	4 1 6 55,2	123 20 44	19 55 54	0,006717
25	4 2 4 14,1	124 20 9	19 43 11	0,006669
26	4 3 1 33,6	125 19 25	19 30 9	0,006619
27	4 3 58 53,7	126 18 31	19 16 48	0,006568
28	4 4 56 14,5	127 17 29	19 3 7	0,006516
29	4 5 53 36,0	128 16 17	18 49 7	0,006462
30	4 6 50 58,4	129 14 57	18 34 49	0,006407
31	4 7 48 21,9	130 13 28	18 20 12	0,006351

Giorni del mese	Giorni della settimana	LONGITUDINE DELLA LUNA				LATITUD. DELLA LUNA				Passaggio della Luna per merid.
		a mezzodi.	a mezza notte.	a mezzodi.	a mezza notte.					
1 Mart.	10 11 44 27	10 18 26 58	4 59 36 A	5 6 31 A	14 54					
2 Merc.	10 25 3 32	11 1 34 15	5 9 13	5 7 51	15 43					
3 Giov.	11 7 59 14	11 14 18 47	5 2 36	4 53 43	16 27					
4 Ven.	11 20 33 16	11 26 43 8	4 41 26	4 26 0	17 9					
5 Sab.	0 2 48 55	0 8 51 11	4 7 43	3 46 50	17 49					
6 Dom.	0 14 50 30	0 20 47 32	3 23 37	2 58 20	18 29					
7 Lun.	0 26 42 55	1 2 37 19	2 31 14	2 2 36	19 10					
8 Mart.	1 8 31 23	1 14 25 45	1 32 42	1 1 47	19 52					
9 Merc.	1 20 21 3	1 26 17 52	0 30 9	0 1 55 B	20 37					
10 Giov.	2 2 16 44	2 8 18 9	0 34 8B	1 6 9	21 26					
11 Ven.	2 14 22 34	2 20 30 19	1 37 38	2 8 14	22 17					
12 Sab.	2 26 41 45	3 2 57 6	2 37 36	3 5 20	23 11					
13 Dom.	3 9 16 28	3 15 39 58	3 31 3	3 54 22	* *					
14 Lun.	3 22 7 36	3 28 39 16	4 14 55	4 32 20	0 6					
15 Mart.	4 5 14 51	4 11 54 9	4 46 17	4 56 29	1 1					
16 Merc.	4 18 36 57	4 25 22 58	5 2 41	5 4 43	1 54					
17 Giov.	5 2 11 55	5 9 3 30	5 2 26	4 55 48	2 44					
18 Ven.	5 15 57 27	5 22 53 29	4 44 51	4 29 39	3 33					
19 Sab.	5 20 51 21	6 6 50 50	4 10 23	3 47 19	4 21					
20 Dom.	6 13 51 46	6 20 53 56	3 20 44	2 51 1	5 9					
21 Lun.	6 27 57 12	7 5 1 26	2 18 37	1 44 1	5 58					
22 Mart.	7 12 6 28	7 19 12 9	1 7 44	0 30 21	6 50					
23 Merc.	7 26 18 9	8 3 24 44	0 7 31 A	0 45 16 A	7 45					
24 Giov.	8 10 31 6	8 17 37 7	1 22 17	1 57 57	8 43					
25 Ven.	8 24 42 25	9 1 46 32	2 31 41	3 2 57	9 44					
26 Sab.	9 8 49 0	9 15 49 18	3 31 15	3 56 11	10 45					
27 Dom.	9 22 46 56	9 29 41 22	4 17 24	4 34 39	11 44					
28 Lun.	10 6 32 6	10 13 18 44	4 47 45	4 56 38	12 39					
29 Mart.	10 20 0 54	10 26 38 21	5 1 18	5 1 49	13 30					
30 Merc.	11 3 10 52	11 9 38 24	4 58 20	4 51 3	14 17					
31 Giov.	11 16 1 1	11 22 18 49	4 40 12	4 26 2	15 1					

Giorni del mese	Declinaz. della Luna nel merid.	PARALLASSE equatoriale della Luna		DIAMETRO orizzontale della Luna		Nascere della Luna.	Tra- montare della Luna.
		a mezzodì	a mezza notte.	a mezzodì	a mezza notte.		
1	19 40 A	57 39	57 14	31 28	31 14	10 16s	6 26M
2	14 59	56 49	56 26	31 1	30 48	10 44	7 39
3	9 43	56 3	55 42	30 36	30 24	11 5	8 51
4	4 12	55 22	55 5	30 13	30 4	11 23	9 59
5	1 21 B	54 50	54 37	29 56	29 49	11 40	11 6
6	6 47	54 27	54 19	29 43	29 39	11 58	0 10s
7	11 56	54 14	54 11	29 36	29 35	* *	1 14
8	16 38	54 11	54 13	29 35	29 36	0 17M	2 17
9	20 42	54 17	54 23	29 38	29 41	0 36	3 21
10	23 54	54 32	54 42	29 46	29 52	1 0	4 26
11	25 57	54 54	55 8	29 58	30 6	1 32	5 30
12	26 39	55 23	55 38	30 14	30 22	2 10	6 29
13	* *	55 54	56 10	30 31	30 40	2 57	7 25
14	25 49	56 26	56 43	30 48	30 57	3 54	8 12
15	23 28	56 59	57 14	31 6	31 15	5 0	8 51
16	19 44	57 29	57 43	31 23	31 30	6 12	9 24
17	14 49	57 57	58 9	31 38	31 45	7 23	9 51
18	9 3	58 21	58 32	31 51	31 57	8 40	10 13
19	2 46	58 42	58 51	32 2	32 7	9 54	10 35
20	3 44 A	58 59	59 7	32 12	32 16	11 9	10 56
21	10 7	59 12	59 17	32 19	32 22	0 27s	11 19
22	15 57	59 20	59 23	32 23	32 25	1 46	11 44
23	20 52	59 23	59 22	32 25	32 24	3 6	* *
24	24 29	59 19	59 14	32 23	32 20	4 23	0 17M
25	26 25	59 7	58 59	32 16	32 12	5 37	0 58
26	26 29	58 48	58 35	32 6	31 59	6 41	1 49
27	24 45	58 21	58 5	31 51	31 42	7 31	2 51
28	21 29	57 48	57 29	31 33	31 23	8 10	4 2
29	17 5	57 9	56 49	31 12	31 1	8 41	5 15
30	11 57	56 29	56 9	30 50	30 39	9 4	6 28
31	6 26	55 50	55 32	30 29	30 19	9 24	7 40

LUGLIO 1817.

## POSIZIONE DEI SATELLITI DI GIOVE.

Oriente

10<sup>h</sup> 30'

Occidente

1	3. .4	.2 .1	○	
2   4.0	3.		○ 1	.2
3   1.0		.3	○ 2.	.4
4   10	2.		○ .3	.4
5   2.0			○ .1	.3 .4
6		1.	○ .2	3 .4
7		2.	○ 3. 1.	4.
8	263 .1		○	4.
9	3.		○ 1. .2	4.
10		.3	.1 ○ 264	
11   10	2. .4.		○ .3	
12	4.		.2 ○ .1	.3
13	4.		○ .2	3.
14	4.		○ 163	20
15	4.	263 .1	○	
16	.4	3.	○ 162	
17	.4	.3	.1 ○ 2.	
18   3 0		264	○ 1.	
19   1.0		.2	○ 4	.3
20		1.	○ .2 .4	.3
21   20			○ .1 3.	.4
22		.2 163	○	.4
23	3.		○ .21.	.4
24	.3	.1	○ 2.	4.
25		2.	.3 ○ 1.	.4.
26   1.0		.2	○ 364	
27   19 46			○ .2 .3	
28		4.	○ 2. .1 .3.	
29	4.	2.	○ 3.	
30	4.	3.	○ .2 .1	
31	4.	.3	.1 ○ 2	

GIORNI.	FASI DELLA LUNA.	GIORNI.	ECLISSI DEI SATELLITI DI GIOVE. Tempo medio.
4	Ultimo quarto..... 15 <sup>h</sup> 27'	1	I. SATELLITE.
12	Novilunio ..... 9 36	3	18 15' 7" em.
19	Primo quarto..... 5 26	5	12 43 57
26	Plenilunio..... 8 13	7	7 12 41
		8	1 41 29
		10	20 10 15
		14	14 39 3
		*12	9 7 49
		14	3 36 36
5	♂..... 10 <sup>h</sup> 37'	15	22 5 21
6	x <sup>a</sup> , x <sup>1</sup> ♀..... 14 47	17	16 34 9
10	x □..... 6 24	19	11 2 54
12	η ♀..... 19 25	21	5 31 41
15	γ ♀..... 19 16	23	0 0 26
18	α <sup>a</sup> ▲..... 6 7	24	18 29 14
19	λ ▲..... 8 16	26	12 57 58
19	δ m..... 11 50	*28	7 26 45
22	φ →..... 4 43	30	1 55 29
23	Α →..... 9 29	31	20 24 17
			II. SATELLITE.
		1	5 48 7 em.
		4	19 6 16
		*8	8 24 16
		11	21 42 33
		15	11 0 36
		19	0 19 1
		22	13 37 8
		26	2 55 37
		29	16 13 50
			III. SATELLITE.
1	♀ in congiunzione superiore.	5	11 26 20 imm.
6	x <sup>1</sup> ♀ a 13 <sup>h</sup> 50' la Stella rade il lembo boreale della Luna.	5	13 54 5 em.
6	x <sup>a</sup> ♀ imm. 13 <sup>h</sup> 21', emers. 14 <sup>h</sup> 12': distanza della Stella dal corno boreale della Luna nell'em. 60°.	12	15 25 10 imm.
23	Α → imm. 9 <sup>h</sup> 12', emers. 10 <sup>h</sup> 27': distanza della Stella dal corno australe della Luna nell'em. 70°.	12	17 53 47 em.
23	Ο nel segno della Vergine 2 <sup>h</sup> 27'.	19	19 24 10 imm.
26	β in opposizione.	26	21 53 37 em.
		27	23 23 55 imm.
			1 54 13 em.

Gior ni dell'ann.	Gior ni del mese	Gior ni della settimana.	TEMPO medio a mezzodì vero.	TEMPO sidereo a mezzodì vero.	TEMPO sidereo a mezzodì medio.	Nascere del Sole.	Tramontare del Sole.
213	1	Ven.	0 5 57,3	8 44 47,3	8 38 48,9	4 39	7 21
214	2	Sab.	0 5 53,8	8 48 40,2	8 42 45,4	4 40	7 20
215	3	Dom.	0 5 49,5	8 52 32,4	8 46 42,0	4 42	7 18
216	4	Lun.	0 5 44,6	8 56 24,1	8 50 38,5	4 43	7 17
217	5	Mart.	0 5 39,2	9 0 15,2	8 54 35,1	4 44	7 16
218	6	Merc.	0 5 33,2	9 4 5,7	8 58 31,6	4 45	7 15
219	7	Giov.	0 5 26,6	9 7 55,7	9 2 28,2	4 47	7 13
220	8	Ven.	0 5 19,5	9 11 45,1	9 6 24,7	4 48	7 12
221	9	Sab.	0 5 11,8	9 15 33,9	9 10 21,3	4 49	7 11
222	10	Dom.	0 5 3,5	9 19 22,2	9 14 17,9	4 50	7 10
223	11	Lun.	0 4 54,7	9 23 9,9	9 18 14,4	4 52	7 8
224	12	Mart.	0 4 45,3	9 26 57,1	9 22 11,0	4 53	7 7
225	13	Merc.	0 4 35,4	9 30 43,7	9 26 7,5	4 55	7 5
226	14	Giov.	0 4 24,9	9 34 29,7	9 30 4,1	4 57	7 3
227	15	Ven.	0 4 13,9	9 38 15,2	9 34 0,6	4 58	7 2
228	16	Sab.	0 4 2,3	9 42 0,1	9 37 57,2	4 59	7 1
229	17	Dom.	0 3 50,1	9 45 44,5	9 41 53,7	5 0	7 0
230	18	Lun.	0 3 37,4	9 49 28,4	9 45 50,3	5 2	6 58
231	19	Mart.	0 3 24,2	9 53 11,7	9 49 46,9	5 3	6 57
232	20	Merc.	0 3 10,6	9 56 54,5	9 53 43,4	5 5	6 55
233	21	Giov.	0 2 56,4	10 0 36,8	9 57 40,0	5 6	6 54
234	22	Ven.	0 2 41,7	10 4 18,7	10 1 36,5	5 8	6 52
235	23	Sab.	0 2 26,6	10 8 0,1	10 5 33,1	5 9	6 51
236	24	Dom.	0 2 11,0	10 11 41,0	10 9 29,6	5 11	6 49
237	25	Lun.	0 1 55,0	10 15 21,5	10 13 26,2	5 12	6 48
238	26	Mart.	0 1 38,6	10 19 1,6	10 17 22,7	5 14	6 46
239	27	Merc.	0 1 21,8	10 22 41,3	10 21 19,3	5 15	6 45
240	28	Giov.	0 1 4,6	10 26 20,6	10 25 15,8	5 17	6 43
241	29	Ven.	0 0 47,0	10 29 59,5	10 29 12,4	5 18	6 42
242	30	Sab.	0 0 29,1	10 33 38,1	10 33 9,0	5 20	6 40
243	31	Dom.	0 0 10,9	10 37 16,4	10 37 5,5	5 21	6 39

Giorni del mese.	LONGITUDINE del Sole.	ASCENSIONE retta del Sole.	DECLINAZIONE del Sole boreale.	LOGARITMO della distanza della Terra dal Sole.
1	4° 8' 45" 46,4	131° 11' 49"	18° 5' 18"	0,006294
2	4° 9' 43" 12,0	132° 10' 2"	17° 50' 6"	0,006236
3	4° 10' 40" 38,9	133° 8' 6"	17° 34' 36"	0,006176
4	4° 11' 38" 7,1	134° 6' 2"	17° 18' 49"	0,006115
5	4° 12' 35" 36,6	135° 3' 48"	17° 2' 45"	0,006052
6	4° 13' 33" 7,5	136° 1' 26"	16° 46' 24"	0,005987
7	4° 14' 30" 39,7	136° 58' 56"	16° 29' 47"	0,005920
8	4° 15' 28" 13,4	137° 56' 17"	16° 12' 53"	0,005852
9	4° 16' 25" 48,5	138° 53' 29"	15° 55' 44"	0,005781
10	4° 17' 23" 25,0	139° 50' 33"	15° 38' 20"	0,005708
11	4° 18' 21" 2,8	140° 47' 29"	15° 20' 40"	0,005632
12	4° 19' 18" 41,9	141° 44' 16"	15° 2' 46"	0,005554
13	4° 20' 16" 22,3	142° 40' 55"	14° 44' 37"	0,005474
14	4° 21' 14" 3,8	143° 37' 25"	14° 26' 14"	0,005392
15	4° 22' 11" 46,5	144° 33' 47"	14° 7' 37"	0,005308
16	4° 23' 9" 30,2	145° 30' 1"	13° 48' 47"	0,005221
17	4° 24' 7" 15,1	146° 26' 7"	13° 29' 44"	0,005132
18	4° 25' 5" 1,0	147° 22' 5"	13° 10' 28"	0,005042
19	4° 26' 2" 47,9	148° 17' 56"	12° 50' 59"	0,004950
20	4° 27' 0" 36,0	149° 13' 38"	12° 31' 18"	0,004856
21	4° 27' 58" 25,1	150° 9' 13"	12° 11' 26"	0,004761
22	4° 28' 56" 15,4	151° 4' 41"	11° 51' 22"	0,004664
23	4° 29' 54" 6,9	152° 0' 1"	11° 31' 7"	0,004567
24	5° 0' 51" 59,7	152° 55' 15"	11° 10' 40"	0,004469
25	5° 1' 49" 53,8	153° 50' 23"	10° 50' 4"	0,004370
26	5° 3' 47" 49,3	154° 45' 34"	10° 29' 17"	0,004270
27	5° 3' 45" 46,4	155° 40' 19"	10° 8' 20"	0,004170
28	5° 4' 43" 45,0	156° 35' 8"	9° 47' 13"	0,004069
29	5° 5' 41" 45,3	157° 29' 58"	9° 25' 57"	0,003967
30	5° 6' 39" 47,4	158° 24' 31"	9° 4' 32"	0,003865
31	5° 7' 37" 53,5	159° 19' 6"	8° 42' 58"	0,003762

Giorni del mese	Giorni della settimana	LONGITUDINE DELLA LUNA				LATITUD. DELLA LUNA		Passaggio della Luna pel merid.
		a mezzodì.		a mezza notte.		a mezzodì.		
1	Ven.	11 28 32 4		0 4 41 5		4 8 51 A	3 48 56 A	15 43
2	Sab.	0 10 46 16		0 16 48 5		3 26 35	3 2 6	16 23
3	Dom.	0 22 47 7		0 28 43 56		2 35 46	2 7 53	17 4
4	Lun.	1 4 39 10		1 10 33 30		1 38 44	1 8 35	17 46
5	Mart.	1 16 27 36		1 22 22 10		0 37 43	0 6 24	18 30
6	Merc.	1 28 17 55		2 4 15 30		0 25 58	0 56 26 B	19 17
7	Giov.	2 10 15 34		2 16 18 45		1 27 21	1 57 32	20 7
8	Ven.	2 22 25 35		2 28 36 33		2 26 38	2 54 19	21 0
9	Sab.	3 4 52 9		3 11 12 38		3 20 13	3 43 57	21 55
10	Dom.	3 17 38 16		3 24 9 12		4 5 8	4 23 24	22 51
11	Lun.	4 0 45 25		4 7 26 49		4 38 24	4 49 46	23 46
12	Mart.	4 14 13 11		4 21 4 9		4 57 12	5 0 27	* *
13	Merc.	4 27 59 18		5 4 58 6		4 59 21	4 53 46	0 39
14	Giov.	5 11 59 58		5 19 4 16		4 43 42	4 29 14	1 30
15	Ven.	5 26 10 24		6 3 17 44		4 10 31	3 47 50	2 19
16	Sab.	6 10 25 44		6 17 33 54		3 21 32	2 52 2	3 8
17	Dom.	6 24 41 45		7 1 48 53		2 19 52	1 45 30	3 57
18	Lun.	7 8 55 16		7 16 0 27		1 9 38	0 32 36	4 49
19	Mart.	7 23 4 20		8 0 6 50		0 4 45 A	0 41 54 A	5 43
20	Merc.	8 7 7 53		8 14 7 21		1 18 17	1 53 20	6 39
21	Giov.	8 21 5 11		8 28 1 19		2 26 33	2 57 25	7 39
22	Ven.	9 4 55 38		9 11 47 57		3 25 32	3 50 30	8 31
23	Sab.	9 18 38 6		9 25 25 54		4 11 59	4 29 45	9 38
24	Dom.	10 2 11 5		10 8 53 26		4 43 37	4 53 26	10 35
25	Lun.	10 15 32 41		10 22 8 36		4 59 10	5 0 50	11 27
26	Mart.	10 28 41 0		11 5 9 42		4 58 30	4 52 19	12 15
27	Merc.	11 11 34 34		11 17 55 31		4 42 28	4 29 11	13 0
28	Giov.	11 24 12 34		0 0 25 47		4 12 43	3 53 22	13 43
29	Ven.	0 6 35 20		0 12 41 23		3 31 26	3 7 13	14 24
30	Sab.	0 18 44 16		0 24 44 20		2 41 4	2 13 17	15 5
31	Dom.	1 0 42 1		1 6 37 48		1 44 10	1 14 3	15 46

Giorni del mese	Declinaz. della Luna nel merid.	PARALLASSE equatoriale della Luna		DIAMETRO orizzontale della Luna		Nascere della Luna.	Tra- montare della Luna.
		a mezzodì	a mezza notte.	a mezzodì	a mezza notte.		
1	° 48 A	55 15	55 0	30 9	30 1	9 42 s	8 49 M
2	4 46 B	54 46	54 35	29 54	29 48	10 0	9 55
3	10 6	54 26	54 20	29 43	29 39	10 19	10 58
4	15 1	54 16	54 14	29 37	29 36	10 38	0 3 s
5	19 21	54 15	54 18	29 37	29 38	11 1	1 8
6	22 53	54 24	54 32	29 42	29 46	11 29	2 12
7	25 24	54 43	54 56	29 52	29 59	* *	3 15
8	26 40	55 11	55 28	30 7	30 17	0 4 M	4 17
9	26 27	55 46	56 5	30 26	30 37	0 48	5 15
10	24 40	56 25	56 46	30 48	30 59	1 41	6 6
11	21 22	57 7	57 27	31 11	31 22	2 44	6 49
12	* *	57 46	58 5	31 32	31 42	3 54	7 24
13	16 43	58 22	58 37	31 52	32 0	5 9	7 53
14	11 4	58 50	59 1	32 7	32 13	6 27	8 19
15	4 45	59 10	59 17	32 18	32 22	7 44	8 41
16	1 52 A	59 22	59 25	32 24	32 26	9 0	9 3
17	8 25	59 26	59 25	32 26	32 26	10 18	9 24
18	14 31	59 22	59 18	32 24	32 22	11 37	9 51
19	19 45	59 13	59 7	32 19	32 16	0 57 s	10 21
20	23 44	58 59	58 51	32 12	32 7	2 14	10 58
21	26 9	58 41	58 31	32 2	31 56	3 31	11 44
22	26 49	58 20	58 8	31 50	31 44	4 36	* *
23	25 42	57 56	57 43	31 37	31 30	5 29	0 42 M
24	22 57	57 29	57 14	31 23	31 15	6 12	1 50
25	18 58	56 59	56 44	31 6	30 58	6 46	3 3
26	14 6	56 23	56 12	30 49	30 41	7 12	4 16
27	8 41	55 56	55 40	30 32	30 23	7 33	5 28
28	3 0	55 25	55 10	30 15	30 7	7 51	6 38
29	2 42 B	54 57	54 45	30 0	29 53	8 11	7 46
30	8 12	54 34	54 25	29 47	29 42	8 29	8 49
31	13 20	54 18	54 14	29 38	29 36	8 47	9 54

AGOSTO 1817.

## POSIZIONE DEI SATELLITI DI GIOVE.

Oriente

9<sup>h</sup> 0'

Occidente

1	.4	263	○	1.	.	.
2	.4	.2	1	○	.3	.
3	.4		○	1.	.2	.3
4		.4	○	1.2.	3.	.
5		2.	1.3.	○	.4	.
6	2.0	3.	○	.1	.4	.
7		3	1.	○	2.	.4
8		.3	2.	○	1.	.4
9		.2	.1	○	.3	4.
10			○	1.	.2	.3
11	1.0		○	2.	3.	4.
12	3.0	2.	1.	○	4.	.
13		3.	264	○	.1	.
14		.3	4.	1.	○	.2
15	2.0	4.	.3	○	.1	.
16		4.	.2	.1	○	.3
17	4.		○	1.	.2	.3
18	.4		.1	○	2.	3.
19		.4	2.	○	3.	1.
20		364	.2	○	.1	.
21	4.0	3.	1.	○	.2	.
22	2.0		○	.1	.4	.
23		.2	.1	○	.3	.4
24			○	162	.3	.4
25			.1	○	2.	3.
26		2.		○	13.	4.
27		3.	.2	○	.1	4.
28		3.	1.	○	.2	4.
29		.3		○	2.4..1	.
30	3.0	2	164	○		.
31		4.		○	.2	1.
						.3

GIORNI.	FASI DELLA LUNA.	GIORNI.	ECLISSE DEI SATELLITI DI GIOVE. Tempo medio.
3	Ultimo quarto ..... 9 <sup>h</sup> 38'		I. SATELLITE.
10	Novilunio ..... 19 19	2	14 53' 1" em.
17	Primo quarto ..... 11 40	4	9 21 48
24	Plenilunio ..... 23 24	6	3 50 31
		7	22 19 18
		9	16 48 2
		11	11 16 48
		13	5 45 30
		15	0 14 16
		16	18 42 58
		18	13 11 44
2	$x^2$ , $x^1 \Delta$ ..... 22 <sup>h</sup> 59'	*20	7 40 25
2	$v^1 \Delta$ ..... 23 35	22	2 9 11
4	125 $\Delta$ ..... 9 29	23	20 37 52
9	$\eta$ $\Sigma$ ..... 4 53	25	15 6 37
12	$\gamma$ $\Pi Q$ ..... 3 24	27	9 35 18
14	$\alpha^2$ $\Sigma$ ..... 12 38	29	4 4 3
15	$\lambda$ $\Sigma$ ..... 14 14	30	22 32 42
15	$\delta$ $\Pi U$ ..... 17 45		
18	$\phi$ $\rightarrow$ ..... 10 18		
19	$\Lambda$ $\rightarrow$ ..... 15 21	3	5 32 29 em.
30	$x^2$ , $x^1 \Delta$ ..... 6 34	5	18 50 41
30	$v^1 \Delta$ ..... 7 11	*9	8 9 24
		12	21 27 40
		16	10 46 32
		20	0 4 47
		23	13 23 44
		27	2 42 0
		30	16 1 3
			III. SATELLITE.
8	* in opposizione.		
14	$\xi$ nella massima elongazione.		
22	○ nel segno della Libra 23 <sup>h</sup> 4'.	3	3 23 15 imm.
28	Regolo a 16 <sup>h</sup> 1' 17": distanza apparen- te dal lembo australe di $\Omega$ 12".	3	5 54 26 em.
		*10	7 22 40 imm.
		10	9 54 47 em.
		17	11 22 7 imm.
		17	13 55 8 em.
		24	15 20 58 imm.
		24	17 54 51 em.

Giorni dell'ann.	Giorni del mese.	Giorni della settimana.	TEMPO medio a mezzodì vero.	TEMPO sidereo a mezzodì vero.	TEMPO sidereo a mezzodì medio.	Nascere del Sole.	Tramontare del Sole.
244	1	Lun.	23 59 52,3	10 40 54,4	10 41 2,1	5 23	6 37
245	2	Mart.	23 59 33,5	10 44 32,1	10 44 58,6	5 24	6 36
246	3	Merc.	23 59 14,4	10 48 9,5	10 48 55,2	5 25	6 35
247	4	Giov.	23 58 55,1	10 51 46,7	10 52 51,7	5 27	6 33
248	5	Ven.	23 58 35,6	10 55 23,7	10 56 48,3	5 29	6 31
249	6	Sab.	23 58 15,9	10 59 0,4	11 0 44,8	5 31	6 29
250	7	Dom.	23 57 55,8	11 2 36,9	11 4 41,4	5 32	6 28
251	8	Lun.	23 57 35,7	11 6 13,3	11 8 37,9	5 34	6 26
252	9	Mart.	23 57 15,5	11 9 49,5	11 12 34,5	5 35	6 25
253	10	Merc.	23 56 55,1	11 13 25,6	11 16 31,1	5 36	6 24
254	11	Giov.	23 56 34,6	11 17 1,6	11 20 27,6	5 38	6 22
255	12	Ven.	23 56 13,9	11 20 37,4	11 24 24,2	5 40	6 20
256	13	Sab.	23 55 53,1	11 24 13,1	11 28 20,7	5 42	6 18
257	14	Dom.	23 55 32,2	11 27 48,7	11 32 17,3	5 43	6 17
258	15	Lun.	23 55 11,3	11 31 24,3	11 36 13,8	5 45	6 15
259	16	Mart.	23 54 50,3	11 34 59,8	11 40 10,4	5 46	6 14
260	17	Merc.	23 54 29,3	11 38 35,3	11 44 6,9	5 47	6 13
261	18	Giov.	23 54 8,2	11 42 10,7	11 48 3,5	5 49	6 11
262	19	Ven.	23 53 47,1	11 45 46,1	11 52 0,0	5 51	6 9
263	20	Sab.	23 53 26,1	11 49 21,6	11 55 56,6	5 52	6 8
264	21	Dom.	23 53 5,1	11 52 57,1	11 59 53,1	5 54	6 6
265	22	Lun.	23 52 44,2	11 56 32,7	12 3 49,7	5 56	6 4
266	23	Mart.	23 52 23,4	12 0 8,4	12 7 46,3	5 57	6 3
267	24	Merc.	23 52 2,6	12 3 44,1	12 11 42,8	5 58	6 2
268	25	Giov.	23 51 42,0	12 7 20,0	12 15 39,4	6 0	6 0
269	26	Ven.	23 51 21,6	12 10 56,1	12 19 35,9	6 1	5 59
270	27	Sab.	23 51 1,4	12 14 32,4	12 23 32,5	6 3	5 57
271	28	Dom.	23 50 41,4	12 18 8,9	12 27 29,0	6 5	5 55
272	29	Lun.	23 50 21,6	12 21 45,6	12 31 25,6	6 6	5 54
273	30	Mart.	23 50 2,1	12 25 22,6	12 35 22,1	6 8	5 52

Giorni del mese	LONGITUDINE del Sole.	ASCENSIONE retta del Sole.	DECLINAZIONE del Sole boreale.	LOGARITMO della distanza della Terra dal Sole.
1	5 ° 8' 35" 57,4	160 ° 13' 35"	8 21' 16"	0,003659
2	5 9 34 5,3	161 8 1	7 59 25	0,003555
3	5 10 32 15,2	162 2 22	7 37 27	0,003451
4	5 11 30 27,2	162 56 40	7 15 21	0,003345
5	5 12 28 41,3	163 50 55	6 53 7	0,003237
6	5 13 26 57,5	164 45 6	6 30 47	0,003129
7	5 14 25 15,6	165 39 14	6 8 20	0,003019
8	5 15 23 36,0	166 33 20	5 45 47	0,002908
9	5 16 21 58,4	167 27 23	5 23 8	0,002795
10	5 17 20 22,5	168 21 24	5 0 24	0,002681
11	5 18 18 48,6	169 15 23	4 37 35	0,002566
12	5 19 17 16,7	170 9 21	4 14 40	0,002449
13	5 20 15 46,5	171 3 16	3 51 41	0,002330
14	5 21 14 18,0	171 57 11	3 28 38	0,002210
15	5 22 12 51,2	172 51 4	3 5 32	0,002088
16	5 23 11 26,1	173 44 57	2 42 22	0,001966
17	5 24 10 2,7	174 38 49	2 19 9	0,001843
18	5 25 8 40,8	175 32 40	1 55 53	0,001719
19	5 26 7 20,6	176 26 32	1 32 35	0,001594
20	5 27 6 2,0	177 20 24	1 9 15	0,001469
21	5 28 4 45,0	178 14 16	0 45 53	0,001344
22	5 29 3 29,8	179 8 10	0 22 30	0,001218
23	6 0 2 16,4	180 2 5	0 0 54 A	0,001093
24	6 1 1 4,8	180 56 2	0 24 19 Ausir.	0,000968
25	6 1 59 55,2	181 50 1	0 47 45	0,000843
26	6 2 58 47,6	182 44 2	1 11 10	0,000719
27	6 3 57 42,0	183 38 6	1 34 35	0,000595
28	6 4 56 38,5	184 32 13	1 58 0	0,000472
29	6 5 55 37,2	185 26 24	2 21 24	0,000349
30	6 6 54 38,3	186 20 39	2 44 46	0,000226

	Giorni del mese	LONGITUDINE DELLA LUNA				LATITUD. DELLA LUNA				Passaggio della Luna pel merid.
		a mezzodì.	a mezza notte.	a mezzodì.	a mezza notte.					
1	Lun.	1 12 32 14	1 18 25 55	0 43 13A	0 11 57A	16 30				
2	Mart.	1 24 19 30	2 0 13 38	0 19 28B	0 50 43B	17 15				
3	Merc.	2 6 8 59	2 12 6 16	1 21 33	1 51 40	18 4				
4	Giov.	2 18 6 9	2 24 9 20	2 20 46	2 48 33	18 56				
5	Ven.	3 0 16 27	3 6 28 5	3 14 41	3 38 51	19 49				
6	Sab.	3 12 44 47	3 19 7 3	4 0 42	4 19 54	20 45				
7	Dom.	3 25 35 15	4 2 9 38	4 36 3	4 48 51	21 39				
8	Lun.	4 8 50 21	4 15 37 25	4 57 55	5 2 57	22 34				
9	Mart.	4 22 30 40	4 29 29 46	5 3 42	4 59 57	23 26				
10	Merc.	5 6 34 16	5 13 43 32	4 51 35	4 38 33	*	*			
11	Giov.	5 20 56 50	5 28 13 18	4 20 57	3 58 59	0 17				
12	Ven.	6 5 32 4	6 12 52 11	3 32 56	3 3 16	1 8				
13	Sab.	6 20 12 46	6 27 32 56	2 30 29	1 55 12	1 59				
14	Dom.	7 4 51 54	7 12 9 3	1 18 3	0 39 45	2 51				
15	Lun.	7 19 23 46	7 26 35 40	0 0 58	0 37 37A	3 45				
16	Mart.	8 3 44 24	8 10 49 46	1 15 20A	1 51 35	4 43				
17	Merc.	8 17 51 38	8 24 49 58	2 25 52	2 57 40	5 42				
18	Giov.	9 1 44 45	9 8 36 1	3 26 35	3 52 15	6 42				
19	Ven.	9 15 23 49	9 22 8 14	4 14 25	4 32 51	7 42				
20	Sab.	9 28 49 19	10 5 27 7	4 47 23	4 57 55	8 38				
21	Dom.	10 12 1 41	10 18 33 3	5 4 24	5 6 53	9 31				
22	Lun.	10 25 1 15	11 1 26 18	5 5 23	5 0 2	10 20				
23	Mart.	11 7 48 15	11 14 7 4	4 51 0	4 38 26	11 5				
24	Merc.	11 20 22 50	11 26 35 36	4 22 36	4 3 45	11 48				
25	Giov.	0 2 45 26	0 8 52 24	3 42 9	3 18 7	12 29				
26	Ven.	0 14 56 40	0 20 58 25	2 51 59	2 24 2	13 10				
27	Sab.	0 26 57 52	1 2 55 18	1 54 38	1 24 5	13 52				
28	Dom.	1 8 51 1	1 14 45 25	0 52 43	0 20 51	14 34				
29	Lun.	1 20 38 54	1 26 31 57	0 11 98	0 43 38	15 19				
30	Mart.	2 2 25 5	2 8 18 51	1 14 32	1 45 17	16 6				

Giorni del mese	Declinaz. della Luna nel merid.	PARALLASSE equatoriale della Luna		DIAMETRO orizzontale della Luna		Nascere della Luna.	Tra- montare della Luna.
		a mezzodi	a mezza notte.	a mezzodi	a mezza notte.		
1	° 17 56 B	54 11	54 11	29 34	29 34	9 88	10 59M
2	21 48	54 13	54 17	29 35	29 38	9 33	0 58
3	24 44	54 24	54 33	29 42	29 47	10 5	1 8
4	26 31	54 45	54 59	29 53	30 1	10 45	2 11
5	26 55	55 16	55 35	30 10	30 20	11 33	3 11
6	25 50	55 56	56 19	30 32	30 45	* *	4 4
7	23 11	56 43	57 7	30 58	31 10	0 33M	4 50
8	19 4	57 32	57 58	31 24	31 38	1 38	5 28
9	13 45	58 22	58 45	31 52	32 4	2 52	6 1
10	* *	59 6	59 25	32 16	32 26	4 10	6 27
11	7 31	59 41	59 54	32 35	32 42	5 29	6 50
12	0 45	60 4	60 10	32 47	32 51	6 49	7 13
13	6 8 A	60 13	60 13	32 52	32 52	8 8	7 37
14	12 40	60 9	60 3	32 50	32 47	9 30	8 0
15	18 24	59 54	59 42	32 42	32 35	10 52	8 28
16	22 54	59 29	59 14	32 28	32 20	0 14S	9 5
17	25 52	58 58	58 42	32 11	32 2	1 31	9 49
18	27 2	58 25	58 8	31 53	31 44	2 40	10 44
19	26 24	57 51	57 34	31 34	31 25	3 38	11 49
20	24 10	57 17	57 0	31 16	31 7	4 21	* *
21	20 35	56 44	56 29	30 58	30 50	4 57	1 0M
22	15 59	56 14	55 59	30 42	30 33	5 25	2 12
23	10 44	55 45	55 32	30 26	30 19	5 47	3 23
24	5 8	55 19	55 6	30 12	30 5	6 5	4 33
25	0 36 B	54 55	54 44	29 59	29 53	6 23	5 42
26	6 14	54 34	54 25	29 47	29 42	6 41	6 46
27	11 34	54 17	54 11	29 38	29 34	7 0	7 51
28	16 26	54 7	54 4	29 32	29 31	7 19	8 57
29	20 37	54 2	54 3	29 30	29 30	7 44	10 2
30	23 55	54 6	54 11	29 32	29 34	8 12	11 7

POSIZIONE DEI SATELLITI DI GIOVE.					
Oriente		8 <sup>h</sup>	Occidente		
1	4.	.1	○	2.	.3
2	4.	2.	○ .1	3.	
3	.4	.2	3. .1○		
4	.4	3.	○	.2	1•
5	.4	.3	○	1○2	
6	2○4		1. .3	○	
7			.2○	.4	.3
8		.1	○	2○4	.3
9	2•		○	1.	.3.
10	30	.2	.1	○	.4
11	1•	3.	○	.2	4.
12		.3	○ .1	2.	4.
13		2.	.3	1. ○	4.
14		.2	○	.1	.3 4.
15		1.	○ 4.	.2	.3
16	2•	4.	○	1.	3.
17	3•	4.	.2	.1	○
18	4.	3.	○	1.	.2
19	4.	.3	○	2.	1•
20	.4		2○3	1.	○
21	.4	.2	○	1○3	
22	.4	1.	○	.2	.3
23		.4	○ 2.	.1	3.
24		.2	.1	○ 3.	.4
25		3.	○	.21.	.4
26		3.	.1○	2.	.4
27	1•	.3	2.	○	.4
28		.2	○	1○3	4.
29			1.	○	.2
30			○ 2.	.1	3. 4.

GIORNI.	FASI DELLA LUNA.	GIORNI.	ECLISSE DEI SATELLITI DI GIOVE. Tempo medio.
3	Ultimo quarto. .... $3^h 19'$		I. SATELLITE.
10	Novilunio ..... $4^h 51'$	2	$1^h 1^m 26''$ em.
16	Primo quarto. .... $20^h 21'$	4	$11^h 30' 6''$
24	Plenilunio. .... $15^h 31'$	* 6	$5^h 58' 49''$
		8	$0^h 27' 28''$
		9	$18^h 56' 11''$
	CONGIUNZ. DELLA LUNA COLLE STELLE.	11	$13^h 24' 50''$
		13	$7^h 53' 32''$
		15	$2^h 22' 10''$
1	$\alpha^2 \Delta$ ..... $17^h 26'$	16	$20^h 50' 51''$
6	$\eta^2 \Omega$ ..... $15^h 10'$	18	$15^h 19' 29''$
9	$\gamma^2 \Pi$ ..... $13^h 48'$	20	$9^h 48' 9''$
11	$\alpha^2 \Delta$ ..... $21^h 40'$	22	$4^h 16' 46''$
12	$\lambda^2 \Delta$ ..... $22^h 24'$	23	$22^h 45' 27''$
13	$\delta^2 \Pi$ ..... $1^h 48'$	25	$17^h 14' 3''$
15	$\phi^2 \rightarrow$ ..... $16^h 31'$	27	$11^h 42' 42''$
16	$A^2 \rightarrow$ ..... $21^h 8'$	* 29	$6^h 11' 19''$
27	$x^2, x^1 \Delta$ ..... $13^h 15'$	31	$0^h 39' 57''$
27	$v^1 \Delta$ ..... $13^h 52'$		II. SATELLITE.
29	$125^2 \Delta$ ..... $0^h 13'$	4	$5^h 19' 21''$ em.
		7	$18^h 38' 24''$
		11	$7^h 56' 43''$
		14	$21^h 15' 53''$
		18	$10^h 34' 11''$
		21	$23^h 53' 25''$
		25	$13^h 11' 42''$
		29	$2^h 30' 59''$
			III. SATELLITE.
4	$\psi^2$ ed $\omega$ Ophiuco differ. di latit. $1'$ .	1	$19^h 19' 41'$ imm.
6	$\eta^2 \Omega$ imm. $13^h 23'$ , emers. $14^h 6'$ : distanza della Stella dal corno boreale della Luna nell'em. $65^\circ$ .	1	$21^h 54' 28'$ em.
10	$\wp$ in congiunzione inferiore.	8	$23^h 18' 29'$ imm.
14	A Ophiuco imm. $6^h 40'$ , em. $7^h 43'$ : distanza della Stella dai corni della Luna nell'emersione $90^\circ$ .	9	$1^h 54' 9'$ em.
23	$\odot$ nel segno dello Scorpione $7^h 11'$ .	16	$3^h 18' 1'$ imm.
27	$v^1 \Delta$ imm. $13^h 22'$ , emers. $14^h 13'$ : distanza della Stella dal corno australe della Luna nell'em. $25^\circ$ .	* 16	$5^h 54' 34'$ em.
		* 23	$7^h 17' 5'$ imm.
		23	$9^h 54' 32'$ em.
		30	$11^h 16' 31'$ imm.
		30	$13^h 54' 58'$ em.

Giorni dell'ann.	Giorni del mese.	Giorni della settimana.	TEMPO medio a mezzodì vero.	TEMPO sidereo a mezzodì vero.	TEMPO sidereo a mezzodì medio.	Nascere del Sole.	Tramontare del Sole.
274	1	Merc.	23 49 42,8	12 28 59,8	12 39 18,7	6 10	5 50
275	2	Giov.	23 49 23,9	12 32 37,4	12 43 15,2	6 11	5 49
276	3	Ven.	23 49 5,3	12 36 15,3	12 47 11,8	6 13	5 47
277	4	Sab.	23 48 47,1	12 39 53,6	12 51 8,3	6 15	5 45
278	5	Dom.	23 48 29,2	12 43 32,2	12 55 4,9	6 16	5 44
279	6	Lun.	23 48 11,7	12 47 11,2	12 59 1,4	6 17	5 43
280	7	Mart.	23 47 54,6	12 50 50,6	13 2 58,0	6 19	5 41
281	8	Merc.	23 47 37,9	12 54 30,4	13 6 54,6	6 21	5 39
282	9	Giov.	23 47 21,7	12 58 10,7	13 10 51,1	6 22	5 38
283	10	Ven.	23 47 5,9	13 1 51,4	13 14 47,7	6 24	5 36
284	11	Sab.	23 46 5c,5	13 5 32,6	13 18 44,2	6 26	5 34
285	12	Dom.	23 46 35,7	13 9 14,3	13 22 40,8	6 27	5 33
286	13	Lun.	23 46 21,4	13 12 56,5	13 26 37,3	6 28	5 32
287	14	Mart.	23 46 7,6	13 16 39,2	13 30 33,9	6 30	5 30
288	15	Merc.	23 45 54,3	13 20 22,4	13 34 30,+	6 31	5 29
289	16	Giov.	23 45 41,6	13 24 6,2	13 38 27,0	6 33	5 27
290	17	Ven.	23 45 29,4	13 27 50,5	13 42 23,5	6 35	5 25
291	18	Sab.	23 45 17,7	13 31 35,4	13 46 20,1	6 36	5 24
292	19	Dom.	23 45 6,6	13 35 20,9	13 50 16,7	6 38	5 22
293	20	Lun.	23 44 56,1	13 39 6,9	13 54 13,2	6 40	5 20
294	21	Mart.	23 44 46,3	13 42 53,6	13 58 9,8	6 41	5 19
295	22	Merc.	23 44 37,2	13 46 41,0	14 2 6,3	6 42	5 18
296	23	Giov.	23 44 28,7	13 50 29,0	14 6 2,9	6 44	5 16
297	24	Ven.	23 44 20,8	13 54 17,7	14 9 59,4	6 45	5 15
298	25	Sab.	23 44 13,7	13 58 7,1	14 13 56,0	6 47	5 13
299	26	Dom.	23 44 7,4	14 1 57,3	14 17 52,5	6 48	5 12
300	27	Lun.	23 44 1,7	14 5 48,2	14 21 49,1	6 50	5 10
301	28	Mart.	23 43 56,8	14 9 39,8	14 25 45,6	6 51	5 9
302	29	Merc.	23 43 52,6	14 13 32,1	14 29 42,2	6 53	5 7
303	30	Giov.	23 43 49,2	14 17 25,3	14 33 38,8	6 54	5 6
304	31	Ven.	23 43 46,6	14 21 19,3	14 37 35,3	6 56	5 4

Giorni del mese.	LONGITUDINE del Sole.	ASCENSIONE retta del Sole.	DECLINAZIONE del Sole australe.	LOGARITMO della distanza della Terra dal Sole.
1	6 ° 7' 53" 41,7	187 ° 14' 58"	3 ° 8' 7"	9,000103
2	6 8 52 47,5	188 9 21	3 31 26	9,999981
3	6 9 51 55,6	189 3 49	3 54 43	9,999858
4	6 10 51 6,2	189 58 23	4 17 57	9,999736
5	6 11 50 19,3	190 53 3	4 41 9	9,999614
6	6 12 49 34,7	191 47 48	5 4 17	9,999491
7	6 13 48 52,4	192 42 39	5 27 21	9,999368
8	6 14 48 12,4	193 37 37	5 50 21	9,999244
9	6 15 47 34,6	194 32 41	6 13 17	9,999120
10	6 16 46 58,9	195 27 52	6 36 8	9,998995
11	6 17 46 25,3	196 23 10	6 58 54	9,998870
12	6 18 45 53,8	197 18 35	7 21 34	9,998744
13	6 19 45 24,2	198 14 7	7 44 8	9,998618
14	6 20 44 56,5	199 9 48	8 6 35	9,998493
15	6 21 44 30,7	200 5 36	8 28 55	9,998366
16	6 22 44 6,6	201 1 32	8 51 9	9,998240
17	6 23 43 44,1	201 57 37	9 13 14	9,998114
18	6 24 43 23,5	202 53 51	9 35 11	9,997989
19	6 25 43 4,5	203 50 13	9 57 0	9,997864
20	6 26 42 47,1	204 46 44	10 18 40	9,997740
21	6 27 42 31,5	205 43 25	10 40 11	9,997617
22	6 28 42 17,6	206 40 15	11 1 33	9,997495
23	6 29 42 5,6	207 37 15	11 22 44	9,997374
24	7 0 41 55,4	208 34 26	11 43 45	9,997255
25	7 1 41 47,2	209 31 47	12 4 35	9,997137
26	7 2 41 41,0	210 29 19	12 25 14	9,997020
27	7 3 41 36,8	211 27 2	12 45 42	9,996905
28	7 4 41 34,6	212 24 57	13 5 58	9,996792
29	7 5 41 34,5	213 23 2	13 26 1	9,996680
30	7 6 41 36,7	214 21 20	13 45 52	9,996569
31	7 7 41 41,1	215 19 50	14 5 30	9,996460

Giorni del mese	Giorni della settimana	LONGITUDINE DELLA LUNA				LATITUD. DELLA LUNA	Passaggio della Luna pel merid.
		a mezzodì.	a mezza notte.	a mezzodì.	a mezza notte.		
1	Merc.	° 14' 13" 50	° 20' 10" 38	° 15' 2B	° 43' 29B	16° 56'	
2	Giov.	2 26' 9 53	3 2 12 13	3 10 21	3 35 20	17 48	
3	Ven.	3 8 18 18	3 14 28 44	3 58 8	4 18 27	18 42	
4	Sab.	3 20 44 7	3 27 5 1	4 35 59	4 50 24	19 36	
5	Dom.	4 3 31 56	4 10 5 16	5 1 24	5 8 40	20 29	
6	Lun.	4 16 45 21	4 23 32 21	5 11 56	5 10 55	21 21	
7	Mart.	5 0 26 20	5 7 27 10	5 5 25	4 55 17	22 13	
8	Merc.	5 14 34 32	5 21 47 58	4 40 28	4 20 59	23 3	
9	Giov.	5 29 6 47	6 6 30 12	3 56 59	3 28 47	23 54	
10	Ven.	6 13 57 15	6 21 26 52	2 56 47	2 21 31	* *	
11	Sab.	6 28 57 56	7 6 29 20	1 43 38	1 3 53	0 47	
12	Dom.	7 13 59 55	7 21 28 42	0 23 4	0 18 2A	1 42	
13	Lun.	7 28 54 43	8 6 17 10	0 58' 36A	1 37 52	2 40	
14	Mart.	8 13 35 24	8 20 48 56	2 15 11	2 49 56	3 41	
15	Merc.	8 27 57 23	9 5 0 32	3 21 36	3 49 48	4 43	
16	Giov.	9 11 58 19	9 18 50 44	4 14 14	4 34 40	5 44	
17	Ven.	9 25 37 52	10 2 19 54	4 50 58	5 3 5	6 42	
18	Sab.	10 8 57 3	10 15 29 34	5 11 0	5 14 45	7 36	
19	Dom.	10 21 57 43	10 28 21 47	5 14 27	5 10 13	8 25	
20	Lun.	11 4 42 2	11 10 58 45	5 2 13	4 50 39	9 11	
21	Mart.	11 17 12 14	11 23 22 44	4 35 44	4 17 42	9 54	
22	Merc.	11 29 30 29	0 5 35 42	3 56 49	3 33 22	10 35	
23	Giov.	0 11 38 40	0 17 39 35	3 7 39	2 39 57	11 16	
24	Ven.	0 23 38 41	0 29 36 10	2 10 36	1 39 56	11 56	
25	Sab.	1 5 32 18	1 11 27 19	1 8 17	0 35 58	12 38	
26	Dom.	1 17 21 30	1 23 15 8	0 3 19	0 29 20B	13 22	
27	Lun.	1 29 8 32	2 5 2 2	1 1 40B	1 33 21	14 8	
28	Mart.	2 10 56 1	2 16 50 50	2 4 6	2 33 36	14 56	
29	Merc.	2 22 46 57	2 28 44 48	3 1 33	3 27 40	15 47	
30	Giov.	3 4 44 52	3 10 47 39	3 51 40	4 13 16	16 39	
31	Ven.	3 16 53 40	3 23 3 28	4 32 13	4 48 13	17 32	

Giorni del mese	Declinaz. della Luna nel merid.	PARALLASSE equatoriale della Luna		DIAMETRO orizzontale della Luna		Nascere della Luna.	Tra- montare della Luna.
		a mezzodi	a mezza notte.	a mezzodi	a mezza notte.		
1	26° 10' B	54° 18"	54° 28"	29° 38"	29° 44"	8° 48's	0° 10s
2	27 8	54 40	54 54	29 50	29 58	9 32	1 10
3	26 42	55 11	55 31	30 7	30 18	10 26	2 5
4	24 46	55 52	56 16	30 30	30 43	11 28	2 53
5	21 23	56 41	57 8	30 56	31 11	* *	3 34
6	16 40	57 36	58 5	31 26	31 42	0 37M	4 8
7	10 50	58 33	59 1	31 58	32 13	1 51	4 36
8	4 13	59 27	59 51	32 27	32 40	3 10	5 0
9	2 46 A	60 12	60 30	32 52	33 2	4 29	5 22
10	* *	60 44	60 54	33 9	33 15	5 49	5 45
11	9 43	60 59	61 0	33 17	33 18	7 13	6 8
12	16 6	60 56	60 48	33 16	33 11	8 38	6 35
13	21 24	60 37	60 22	33 5	32 57	10 3	7 9
14	25 8	60 3	59 42	32 46	32 35	11 25	7 52
15	27 1	59 20	58 57	32 23	32 11	0 40s	8 44
16	26 59	58 33	58 9	31 58	31 44	1 43	9 47
17	25 10	57 45	57 22	31 31	31 19	2 31	10 58
18	21 54	56 59	56 38	31 6	30 55	3 9	* *
19	17 36	56 19	56 0	30 44	30 34	3 38	0 10M
20	12 32	55 43	55 27	30 25	30 16	4 0	1 21
21	7 1	55 13	55 0	30 8	30 1	4 19	2 32
22	1 22	54 49	54 38	29 55	29 49	4 37	3 40
23	4 19 B	54 29	54 21	29 44	29 40	4 56	4 45
24	9 47	54 14	54 8	29 36	29 33	5 13	5 49
25	14 50	54 3	54 0	29 30	29 29	5 31	6 53
26	19 19	53 58	53 57	29 27	29 27	5 53	7 58
27	22 58	53 57	54 0	29 27	29 29	6 19	9 3
28	25 37	54 4	54 9	29 31	29 33	6 52	10 7
29	27 4	54 16	54 25	29 37	29 42	7 33	11 8
30	27 8	54 36	54 50	29 48	29 56	8 21	0 4s
31	25 48	55 6	55 23	30 5	30 14	9 19	0 54

## POSIZIONE DEI SATELLITI DI GIOVE.

	Oriente	6 <sup>h</sup> 30'	Occidente
1	2.	.1	3. 4.
2   2.0		3.	○ 4. 1.
3	3.	4. .1	○ 2.
4	4. .3	.2	○ 1.
5	4.	.2	○
6	4.		1. ○ .2 .3
7	.4		○ 1. 2. .3
8	.4	2. 1.	○ 3.
9	.4	3. .2	○ 1.
10	3.	1. 0. 4	○ .2
11   2.0	.3		○ 1. .4
12   1.0		.2	.3 ○ .4
13   1.0			○ .2 .3 .4
14			○ .1 2. .3 .4
15	2.	1.	○ 3. .4
16		2. 0. 3	○ .1 .4
17	3.	.1	○ .2 .4.
18   2.0	.3		○ 1. .4.
19   4.0	2.	.3 .1	○
20   1.0	4.		○ .2 .3 /
21	4.		○ .1 2. .3
22	4.	2. 1.	○ 3.
23	4.	.2	○ 1. .3
24	.4	3.	○ .2 .3
25	.4 .3		○ 2. 1.
26		.4 2. .3 .1	○
27   4.0			○ 1. 2. 3
28   1.0			○ 2. 0. 4 .3
29		2. 1.	○ 3. .4
30   3.0		.2	○ .1 .4
31	3.	1.	○ .2 .4

GIORNI.	FASI DELLA LUNA.	GIORNI.	ECLISSE DEI SATELLITI DI GIOVE. Tempo medio.
1 8 15 23	Ultimo quarto. .... 19 <sup>h</sup> 20' Novilunio ..... 14 44 Primo quarto ..... 8 21 Plenilunio ..... 10 33	1 3 5 7 8 10 12 14 15	I. SATELLITE. 19 8 32" em. 13 37 10 8 5 45 2 34 22 21 2 56 15 31 43 10 0 7 4 28 42 22 57 15
	CONGIUNZ. DELLA LUNA COLLE STELLE.		
3 6 6 8 8 9 9 13 23 23 23 25 25 30	η ♀ ..... 0 <sup>b</sup> 26' γ III ♀ ..... 0 52 Ω ..... 11 42 α <sup>a</sup> Δ ..... 8 44 λ Δ ..... 9 0 δ III Δ ..... 12 19 A → ..... 4 34 x <sup>a</sup> , x <sup>1</sup> A ..... 19 20 v <sup>1</sup> A ..... 19 57 ♂ ..... 3 20 125 A ..... 6 10 η ♀ ..... 7 25	1 5 8 12 15	II. SATELLITE. 15 49 13 em. 5 8 31 18 26 44 7 46 3 21 4 16
	FENOMENI ED OSSERVAZIONI.	6 6 13 13	III. SATELLITE. 15 15 10 imm. 17 54 28 em. 19 13 30 imm. 21 53 46 em.
10 12 22 25	γ ed η differenza di latitud. 25'. δ e 13a γ differenza di latitud. 5'. Ω nel segno del Sagittario 3 <sup>h</sup> 31'. 125 γ a 5 <sup>h</sup> 17' distanza dal lembo boreale della Luna α'.		

Giorni dell'ann.	Giorni del mese.	Giorni della settimana.	TEMPO medio a mezzodì vero.	TEMPO sidereo a mezzodì vero.	TEMPO sidereo a mezzodì medio.	Nascere del Sole.	Tramontare del Sole.
305	1	Sab.	23 43 44,9	14 25 14,1	14 41 31,9	6 57	5 3
306	2	Dom.	23 43 44,0	14 29 9,7	14 45 28,4	6 58	5 2
307	3	Lun.	23 43 43,9	14 33 6,2	14 49 25,0	7 0	5 0
308	4	Mart.	23 43 44,6	14 37 3,5	14 53 21,5	7 1	4 59
309	5	Merc.	23 43 46,2	14 41 1,6	14 57 18,1	7 3	4 57
310	6	Giov.	23 43 48,6	14 45 0,6	15 1 14,7	7 4	4 56
311	7	Ven.	23 43 51,9	14 49 0,4	15 5 11,2	7 6	4 54
312	8	Sab.	23 43 56,0	14 53 1,1	15 9 7,8	7 7	4 53
313	9	Dom.	23 44 0,9	14 57 2,6	15 13 4,3	7 8	4 52
314	10	Lun.	23 44 6,7	15 1 5,0	15 17 0,9	7 10	4 50
315	11	Mart.	23 44 13,4	15 5 8,2	15 20 57,4	7 11	4 49
316	12	Merc.	23 44 20,9	15 9 12,3	15 24 54,0	7 12	4 48
317	13	Giov.	23 44 29,2	15 13 17,2	15 28 50,6	7 14	4 46
318	14	Ven.	23 44 38,3	15 17 22,9	15 32 47,1	7 15	4 45
319	15	Sab.	23 44 48,3	15 21 29,5	15 36 43,7	7 16	4 44
320	16	Dom.	23 44 59,2	15 25 36,9	15 40 40,2	7 17	4 43
321	17	Lun.	23 45 10,8	15 29 45,1	15 44 36,8	7 18	4 42
322	18	Mart.	23 45 23,2	15 33 54,1	15 48 33,3	7 19	4 41
323	19	Merc.	23 45 36,4	15 38 3,9	15 52 29,9	7 21	4 39
324	20	Giov.	23 45 50,5	15 42 14,6	15 56 26,4	7 22	4 38
325	21	Ven.	23 46 5,3	15 46 26,0	16 0 23,0	7 23	4 37
326	22	Sab.	23 46 20,9	15 50 38,2	16 4 19,5	7 24	4 36
327	23	Dom.	23 46 37,3	15 54 51,2	16 8 16,1	7 25	4 35
328	24	Lun.	23 46 54,5	15 59 5,0	16 12 12,7	7 26	4 34
329	25	Mart.	23 47 12,5	16 3 19,6	16 16 9,2	7 27	4 33
330	26	Merc.	23 47 31,2	16 7 34,9	16 20 5,8	7 28	4 32
331	27	Giov.	23 47 50,6	16 11 51,0	16 24 2,4	7 29	4 31
332	28	Ven.	23 48 10,8	16 16 7,8	16 27 58,9	7 30	4 30
333	29	Sab.	23 48 31,8	16 20 25,4	16 31 55,5	7 31	4 29
334	30	Dom.	23 48 53,5	16 24 43,7	16 35 52,0	7 32	4 28

Giorni del mese.	LONGITUDINE del Sole.	ASCENSIONE retta del Sole.	DECLINAZIONE del Sole australe.	LOGARITMO della distanza della Terra dal Sole.
1	7 ° 8' 41" 47,7	216 ° 18' 32"	14 ° 24' 55"	9,996352
2	7 9 41 56,5	217 17 26	14 44 5	9,996245
3	7 10 42 7,5	218 16 32	15 3 1	9,996139
4	7 11 42 20,8	219 15 52	15 21 43	9,996034
5	7 12 42 36,1	220 15 24	15 40 10	9,995930
6	7 13 42 53,5	221 15 9	15 58 21	9,995826
7	7 14 43 12,8	222 15 6	16 16 16	9,995722
8	7 15 43 34,0	223 15 16	16 33 55	9,995620
9	7 16 43 57,0	224 15 39	16 51 17	9,995519
10	7 17 44 21,7	225 16 15	17 8 22	9,995418
11	7 18 44 48,1	226 17 3	17 25 9	9,995317
12	7 19 45 16,0	227 18 4	17 41 38	9,995217
13	7 20 45 45,2	228 19 18	17 57 48	9,995118
14	7 21 46 15,8	229 20 44	18 13 40	9,995020
15	7 22 46 47,7	230 22 22	18 29 12	9,994924
16	7 23 47 20,9	231 24 13	18 44 25	9,994829
17	7 24 47 55,4	232 26 16	18 59 17	9,994735
18	7 25 48 31,1	233 28 31	19 13 49	9,994642
19	7 26 49 8,0	234 30 59	19 28 1	9,994552
20	7 27 49 46,2	235 33 38	19 41 51	9,994464
21	7 28 50 25,5	236 36 30	19 55 19	9,994378
22	7 29 51 6,0	237 39 34	20 8 26	9,994294
23	8 0 51 47,8	238 42 49	20 21 10	9,994213
24	8 1 52 30,9	239 46 16	20 33 32	9,994134
25	8 2 53 15,5	240 49 54	20 45 31	9,994058
26	8 3 54 1,6	241 53 44	20 57 7	9,993984
27	8 4 54 49,2	242 57 46	21 8 20	9,993912
28	8 5 55 38,2	244 1 58	21 19 8	9,993843
29	8 6 56 28,7	245 6 21	21 29 32	9,993776
30	8 7 57 20,7	246 10 55	21 39 31	9,993711

Giorni del mese	Giorni della settimana	LONGITUDINE DELLA LUNA		LATITUD. DELLA LUNA		Passaggio della Luna per meridi.
		a mezzodì.	a mezza notte.	a mezzodì.	a mezza notte.	
1 Sab.	3 29 17 33	4 5 36 28	5 1 28	5 10 23B	18 24	h 1
2 Dom.	4 12 0 43	4 18 30 46	5 16 3	5 17 47	19 14	
3 Lun.	4 25 7 2	5 1 49 50	5 15 24	5 8 41	20 4	
4 Mart.	5 8 39 26	5 15 35 54	4 57 32	4 41 53	20 53	
5 Merc.	5 22 39 14	5 29 49 13	4 21 45	3 57 14	21 42	
6 Giov.	6 7 5 30	6 14 27 31	3 28 33	2 56 2	22 33	
7 Ven.	6 21 54 33	6 29 25 48	2 20 10	1 41 32	23 27	
8 Sab.	7 6 59 56	7 14 36 7	1 0 51	0 18 54	* *	
9 Dom.	7 22 13 1	7 29 49 25	0 23 27A	1 5 20A	0 24	
10 Lun.	8 7 24 6	8 14 55 54	1 45 55	2 24 22	1 24	
11 Mart.	8 22 23 47	8 29 46 52	3 0 0	3 32 14	2 28	
12 Merc.	9 7 4 25	9 14 15 52	4 0 35	4 24 43	3 31	
13 Giov.	9 21 20 50	9 28 19 8	4 44 25	4 59 34	4 33	
14 Ven.	10 5 10 44	10 11 55 43	5 10 9	5 16 16	5 30	
15 Sab.	10 18 34 19	10 26 6 50	5 18 1	5 15 36	6 22	
16 Dom.	11 1 33 40	11 7 55 15	5 9 13	4 59 6	7 9	
17 Lun.	11 14 12 2	11 20 24 33	4 45 31	4 28 43	7 53	
18 Mart.	11 26 33 15	0 2 38 38	4 8 59	3 46 37	8 34	
19 Merc.	0 8 41 9	0 14 41 16	3 21 53	2 55 4	9 14	
20 Giov.	0 20 39 24	0 26 35 57	2 26 30	1 56 28	9 54	
21 Ven.	1 2 31 19	1 8 25 50	1 25 16	0 53 15	10 34	
22 Sab.	1 14 19 50	1 20 13 38	0 20 43	0 12 1B	11 17	
23 Dom.	1 26 7 31	2 2 1 47	0 44 36B	1 16 44	12 2	
24 Lun.	2 7 56 40	2 13 52 27	1 48 4	2 18 18	12 50	
25 Mart.	2 19 49 22	2 25 47 40	2 47 6	3 14 10	13 40	
26 Merc.	3 1 47 36	3 7 49 26	3 39 11	4 1 54	14 31	
27 Giov.	3 13 53 28	3 19 59 59	4 22 1	4 39 17	15 23	
28 Ven.	3 26 9 17	4 2 21 43	4 53 27	5 4 29	16 14	
29 Sab.	4 8 37 38	4 14 57 25	5 11 40	5 15 28	17 4	
30 Dom.	4 21 21 24	4 27 49 58	5 15 6	5 10 54	17 52	

Giorni del mese	Declinaz. della Luna nel merid.	PARALLASSE equatoriale della Luna		DIAMETRO orizzontale della Luna		Nascere della Luna.	Tra- montare della Luna.
		a mezzodi	a mezza notte.	a mezzodi	a mezza notte.		
1	23° 4' B	55° 43''	56° 5''	30° 25''	30° 37''	10 24S	1 37S
2	19 1	56 29	56 55	30 50	31 4	11 33	2 12
3	13 50	57 22	57 51	31 19	31 35	* *	2 40
4	7 44	58 20	58 49	31 51	32 6	0 48M	3 5
5	1 0	59 18	59 45	32 22	32 37	2 4	3 27
6	5 59 A	60 10	60 33	32 51	33 3	3 22	3 48
7	12 46	60 52	61 7	33 13	33 22	4 42	4 11
8	* *	61 17	61 23	33 27	33 30	6 6	4 36
9	18 48	61 23	61 19	33 30	33 28	7 33	5 6
10	23 33	61 9	60 55	33 23	33 15	8 58	5 43
11	26 27	60 37	60 15	33 5	32 53	10 21	6 31
12	27 16	59 51	59 24	32 40	32 25	11 31	7 31
13	26 5	58 56	58 28	32 10	31 55	0 27S	8 42
14	23 15	58 0	57 32	31 40	31 24	1 10	9 56
15	19 10	57 5	56 39	31 10	30 55	1 43	11 10
16	14 15	56 15	55 53	30 42	30 30	2 7	* *
17	8 50	55 33	55 15	30 19	30 9	2 27	0 21M
18	3 11	54 59	54 45	30 1	29 53	2 43	1 30
19	2 28 B	54 33	54 23	29 47	29 41	3 0	2 36
20	8 0	54 14	54 8	29 36	29 33	3 18	3 39
21	13 13	54 2	53 59	29 30	29 28	3 35	4 43
22	17 54	53 56	53 56	29 26	29 26	3 55	5 47
23	21 51	53 56	53 58	29 26	29 27	4 20	6 52
24	24 51	54 1	54 5	29 29	29 31	4 51	7 55
25	26 43	54 10	54 17	29 34	29 38	5 29	8 58
26	27 14	54 25	54 34	29 42	29 47	6 14	9 56
27	26 22	54 45	54 57	29 53	30 0	7 9	10 48
28	24 6	55 11	55 26	30 7	30 15	8 9	11 32
29	20 33	55 43	56 2	30 25	30 35	9 16	0 98
30	15 54	56 22	56 44	30 46	30 58	10 26	0 39

NOVEMBRE 1817.

POSIZIONE DEI SATELLITI DI GIOVE.			
<i>Oriente</i>	5 <sup>h</sup> 30'	<i>Occidente</i>	
1	.3	○	1. 5. 2 .4
2	2. 1. 5. 3	○	4.
3	.2	○	1. .3 4.
4	.1	○	2. 5. 4 .3 .
5   1. 0 4. 0	2.	○	3.
6	3. 5. 4	○	1. 5. 3
7	4. 3.	1.	○ .2
8	4. .3	○	1. 5. 2
9	4. .3	1. 5. 2	○
10	.4	.2	○ 1. 5. 3
11	.4	.1	○ .2 .3
12   2. 0	.4	○ 1.	3.
13   1. 0	.2	.4	○ 3.
14	3.	1.	○ .2 .4
15	3.	○	.1 2. .4

Giorni.	FASI DELLA LUNA.	
1	Ultimo quarto .....	8 <sup>h</sup> 58'
8	Novilunio .....	1 10
15	Primo quarto .....	0 6
23	Plenilunio .....	5 35
30	Ultimo quarto .....	20 10
	CONGIUNZ. DELLA LUNA COLLE STELLE.	
3	$\gamma \text{ m}$ .....	10 <sup>h</sup> 21'
5	$\alpha^2 \text{ A}$ .....	19 49
6	$\lambda \text{ A}$ .....	20 20
6	$\delta \text{ m}$ .....	23 40
10	$\Delta \rightarrow$ .....	14 18
21	$x^2, x^1 \text{ V}$ .....	1 35
21	$v^1 \text{ V}$ .....	2 12
21	$\sigma$ .....	14 10
22	125 $\text{V}$ .....	12 16
27	$\eta \text{ Q}$ .....	12 48
30	$\gamma \text{ IV}$ .....	17 7
	I SATELLITI DI GIOVE	
	NON SONO VISIBILI	
	IN QUESTO MESE.	
	FENOMENI ED OSSERVAZIONI.	
8	$\sigma$ in opposizione.	
14	$\Omega$ e $\beta \text{ m}$ , differenza di latitud. 5'.	
21	$\odot$ nel segno del Capricorno 15 <sup>h</sup> 56'.	
22	125 $\text{V}$ imm. 12 <sup>h</sup> 15', emers. 13 <sup>h</sup> 8': distanza della Stella dal corno australe della Luna nell'em. 25°.	
27	$\eta \text{ Q}$ imm. 10 <sup>h</sup> 55', emers. 12 <sup>h</sup> 0': distanza della Stella dal corno boreale della Luna nell'em. 65°.	
30	$\gamma \text{ IV}$ imm. 15 <sup>h</sup> 33', emers. 16 <sup>h</sup> 44': distanza della Stella dal corno boreale della Luna nell'em. 65°.	

Giorni dell'ann.	Giorni del mese.	Giorni della settimana.	TEMPO medio a mezzodì vero.	TEMPO sidereo a mezzodì vero.	TEMPO sidereo a mezzodì medio.	Nascere del Sole.	Tramontare del Sole.
335	1	Lun.	23 49 15,8	16 29 2,6	16 39 48,6	7 33 /	h / 4 27
336	2	Mart.	23 49 38,8	16 33 22,2	16 43 45,1	7 33	4 27
337	3	Merc.	23 50 2,4	16 37 42,5	16 47 41,7	7 34	4 26
338	4	Giov.	23 50 26,6	16 42 3,4	16 51 38,3	7 34	4 26
339	5	Ven.	23 50 51,5	16 46 24,8	16 55 34,8	7 35	4 25
340	6	Sab.	23 51 17,0	16 50 46,9	16 59 31,4	7 36	4 24
341	7	Dom.	23 51 43,0	16 55 9,5	17 3 27,9	7 37	4 23
342	8	Lun.	23 52 9,4	16 59 32,6	17 7 24,5	7 37	4 23
343	9	Mart.	23 52 36,3	17 3 56,1	17 11 21,0	7 38	4 22
344	10	Merc.	23 53 3,7	17 8 20,1	17 15 17,6	7 39	4 21
345	11	Giov.	23 53 31,4	17 12 44,5	17 19 14,2	7 39	4 21
346	12	Ven.	23 53 59,5	17 17 9,3	17 23 10,7	7 39	4 21
347	13	Sab.	23 54 28,0	17 21 34,4	17 27 7,3	7 40	4 20
348	14	Dom.	23 54 56,8	17 25 59,8	17 31 3,8	7 40	4 20
349	15	Lun.	23 55 25,8	17 30 25,4	17 35 0,4	7 40	4 20
350	16	Mart.	23 55 55,0	17 34 51,3	17 38 57,0	7 40	4 20
351	17	Merc.	23 56 24,4	17 39 17,4	17 42 53,5	7 40	4 20
352	18	Giov.	23 56 54,0	17 43 43,6	17 46 50,1	7 41	4 19
353	19	Ven.	23 57 23,8	17 48 10,0	17 50 46,6	7 41	4 19
354	20	Sab.	23 57 53,7	17 52 36,5	17 54 43,2	7 41	4 19
355	21	Dom.	23 58 23,6	17 57 3,0	17 58 39,8	7 41	4 19
356	22	Lun.	23 58 53,5	18 1 29,6	18 2 36,3	7 41	4 19
357	23	Mart.	23 59 23,4	18 5 56,2	18 6 32,9	7 41	4 19
358	24	Merc.	23 59 53,4	18 10 22,8	18 10 29,4	7 41	4 19
359	25	Giov.	0 0 23,3	18 14 49,3	18 14 26,0	7 41	4 19
360	26	Ven.	0 0 53,1	18 19 15,8	18 18 22,6	7 41	4 19
361	27	Sab.	0 1 22,8	18 23 42,2	18 22 19,1	7 40	4 20
362	28	Dom.	0 1 52,4	18 28 8,4	18 26 15,7	7 40	4 20
363	29	Lun.	0 2 21,8	18 32 34,4	18 30 12,2	7 40	4 20
364	30	Mart.	0 2 50,9	18 37 0,2	18 34 8,8	7 39	4 21
365	31	Merc.	0 3 19,9	18 41 25,8	18 38 5,3	7 39	4 21

Giorni del mese.	LONGITUDINE del Sole.	ASCENSIONE retta del Sole.	DECLINAZIONE del Sole australe.	LOGARITMO della distanza della Terra dal Sole.
1	8 ° 58' 14,2 "	247 ° 15' 39"	21 ° / 6"	9,993648
2	8 9 59 9,2	248 20 33	21 58 16	9,993588
3	8 11 0 5,5	249 25 37	22 7 1	9,993529
4	8 12 1 3,2	250 30 51	22 15 20	9,993471
5	8 13 2 2,1	251 36 13	22 23 13	9,993415
6	8 14 3 2,3	252 41 43	22 30 39	9,993361
7	8 15 4 3,5	253 47 22	22 37 39	9,993308
8	8 16 5 5,8	254 53 8	22 44 13	9,993256
9	8 17 6 9,0	255 59 2	22 50 20	9,993206
10	8 18 7 12,9	257 5 2	22 56 0	9,993158
11	8 19 8 17,5	258 11 8	23 1 12	9,993111
12	8 20 9 22,8	259 17 19	23 5 57	9,993064
13	8 21 10 28,6	260 23 36	23 10 15	9,993020
14	8 22 11 34,8	261 29 57	23 14 5	9,992978
15	8 23 12 41,3	262 36 21	23 17 27	9,992938
16	8 24 13 48,0	263 42 50	23 20 21	9,992899
17	8 25 14 55,0	264 49 21	23 22 46	9,992863
18	8 26 16 2,3	265 55 55	23 24 44	9,992829
19	8 27 17 9,7	267 2 30	23 26 13	9,992798
20	8 28 18 17,3	268 9 7	23 27 14	9,992769
21	8 29 19 25,3	269 15 46	23 27 47	9,992743
22	9 0 20 33,5	270 22 25	23 27 52	9,992720
23	9 1 21 42,0	271 29 4	23 27 29	9,992700
24	9 2 22 50,8	272 35 42	23 26 37	9,992683
25	9 3 23 59,8	273 42 20	23 25 16	9,992669
26	9 4 25 9,3	274 48 57	23 23 28	9,992658
27	9 5 26 19,2	275 55 32	23 21 11	9,992650
28	9 6 27 29,5	277 2 5	23 18 26	9,992644
29	9 7 28 40,0	278 8 36	23 15 13	9,992641
30	9 8 29 51,0	279 15 3	23 11 32	9,992640
31	9 9 31 2,5	280 21 27	23 7 23	9,992642

Giorni del mese	Giorni della settimana	LONGITUDINE DELLA LUNA		LATITUD. DELLA LUNA		Passaggio della Luna pel merid.
		a mezzodì.	a mezza notte.	a mezzodì.	a mezza notte.	
1 Lun.	5 ° 4' 23" 30	5 ° 11' 2" 19	5 ° 2' 37" B	4 ° 50' 12" B	18 39	
2 Mart.	5 17 46 42	5 24 36 52	4 33 38	4 12 59	19 26	
3 Merc.	6 1 33 0	6 8 35 8	3 48 21	3 19 56	20 13	
4 Giov.	6 15 43 13	6 22 57 3	2 48 2	2 13 3	21 3	
5 Ven.	7 0 16 16	7 7 40 20	1 35 28	0 55 53	21 56	
6 Sab.	7 15 8 34	7 22 40 7	0 15 0	0 26 24 A	22 54	
7 Dom.	8 0 13 59	8 7 49 2	1 7 32 A	1 47 32	23 56	
8 Lun.	8 15 24 4	8 22 57 52	2 25 36	3 0 57	* *	
9 Mart.	9 0 29 12	9 7 56 56	3 32 56	4 0 58	1 2	
10 Merc.	9 15 20 2	9 22 37 35	4 24 40	4 43 43	2 6	
11 Giov.	9 29 48 53	10 6 53 24	4 57 58	5 7 25	3 7	
12 Ven.	10 13 50 50	10 20 41 1	5 12 9	5 12 19	4 3	
13 Sab.	10 27 24 0	11 4 0 1	5 8 10	4 59 58	4 54	
14 Dom.	11 10 29 22	11 16 52 30	4 48 2	4 32 41	5 39	
15 Lun.	11 23 9 55	11 29 22 13	4 14 15	3 53 4	6 22	
16 Mart.	0 5 29 59	0 11 33 52	3 29 27	3 3 43	7 2	
17 Merc.	0 17 34 29	0 23 32 29	2 36 10	2 7 8	7 42	
18 Giov.	0 29 28 26	1 5 22 56	1 36 54	1 5 46	8 22	
19 Ven.	1 11 16 33	1 17 9 49	0 34 1	0 1 59	9 4	
20 Sab.	1 23 3 10	1 28 57 4	0 30 3B	1 1 47 B	9 47	
21 Dom.	2 4 51 55	2 10 48 3	1 32 53	2 3 2	10 34	
22 Lun.	2 16 45 47	2 22 45 21	2 31 57	2 59 17	11 23	
23 Mart.	2 28 46 58	3 4 50 49	3 24 44	3 47 58	12 14	
24 Merc.	3 10 57 3	3 17 5 46	4 8 44	4 26 44	13 7	
25 Giov.	3 23 17 5	3 29 31 3	4 41 43	4 53 26	13 58	
26 Ven.	4 5 47 48	4 12 7 24	5 1 42	5 6 20	14 48	
27 Sab.	4 18 29 58	4 24 55 35	5 7 13	5 4 14	15 37	
28 Dom.	5 1 24 25	5 7 56 35	4 57 20	4 46 31	16 24	
29 Lun.	5 14 32 15	5 21 11 37	4 31 49	4 13 19	17 9	
30 Mart.	5 27 54 49	6 4 42 3	3 51 9	3 25 30	17 55	
31 Merc.	6 11 33 28	6 18 29 13	2 56 39	2 24 55	18 41	

Giorni del mese	Declinaz. della Luna nel merid.	PARALLASSE equatoriale della Luna		DIAMETRO orizzontale della Luna		Nascere della Luna.	Tra- montare della Luna.
		a mezzodì	a mezza notte.	a mezzodì	a mezza notte.		
1	° 19 B	57 8	57 33	31 11	31 25	11 39 8	1 45
2	4 5	57 58	58 24	31 38	31 53	* *	1 25
3	2 35 A	58 51	59 17	32 7	32 22	0 54 M	1 45
4	9 18	59 42	60 5	32 35	32 48	2 8	2 5
5	15 40	60 25	60 43	32 59	33 8	3 27	2 26
6	21 8	60 57	61 7	33 16	33 22	4 49	2 51
7	25 4	61 13	61 14	33 25	33 26	6 15	3 24
8	* *	61 9	61 0	33 23	33 18	7 39	4 8
9	27 3	60 47	60 29	33 11	33 1	8 59	5 3
10	26 52	60 8	59 43	32 49	32 36	10 4	6 10
11	24 42	59 16	58 48	32 21	32 6	10 53	7 26
12	20 59	58 19	57 50	31 50	31 34	11 32	8 41
13	16 12	57 20	56 53	31 18	31 3	0 18	9 57
14	10 49	56 26	56 1	30 48	30 35	0 21	11 7
15	5 8	55 39	55 19	30 23	30 12	0 39	* *
16	0 37 B	55 1	54 45	30 2	29 53	0 56	0 16 M
17	6 14	54 32	54 21	29 46	29 40	1 13	1 19
18	11 33	54 13	54 7	29 36	29 32	1 30	2 24
19	16 24	54 2	54 0	29 30	29 29	1 50	3 27
20	20 37	54 0	54 1	29 29	29 29	2 12	4 31
21	23 57	54 4	54 8	29 31	29 33	2 40	5 35
22	26 12	54 14	54 21	29 36	29 40	3 15	6 38
23	27 11	54 29	54 38	29 44	29 49	3 58	7 37
24	26 44	54 48	54 59	29 55	30 1	4 51	8 31
25	24 51	55 10	55 22	30 7	30 13	5 50	9 18
26	21 39	55 35	55 49	30 20	30 28	6 55	9 56
27	17 18	56 4	56 20	30 36	30 45	8 4	10 29
28	12 3	56 36	56 53	30 54	31 3	9 16	10 56
29	6 5	57 11	57 30	31 13	31 23	10 28	11 17
30	0 17 A	57 50	58 10	31 34	31 45	11 41	11 36
31	6 47	58 30	58 50	31 56	32 7	* *	11 56

DICEMBRE 1817.

I SATELLITI DI GIOVE

NON SONO VISIBILI

IN QUESTO MESE.

SEMIDIAMETRO DEL SOLE,  
TEMPO IMPIEGATO DAL SOLE A PASSARE IL MERIDIANO,  
E LONGITUDINE DEL NODO DELLA LUNA.

	Semidiam. del Sole.	Tempo impieg. dal Sole a passare il merid.	Longitudine del nodo della Luna.		Semidiam. del Sole.	Tempo impiegato dal Sole a passare il merid.	Longitudine del nodo della Luna.	
Gennaio	16	17,8	2 21,7	2 4 26	Luglio	15	45,6	2 16,6
	16	17,6	2 21,0	2 4 6		15	45,7	2 16,0
	16	17,4	2 20,1	2 3 47		15	46,1	2 15,2
	16	16,9	2 18,9	2 3 28		15	46,6	2 14,2
	16	16,3	2 17,7	2 3 9		15	47,2	2 13,2
	16	15,4	2 16,4	2 2 50		15	47,8	2 12,2
Febbrajo	16	14,5	2 15,6	2 2 31	Agosto	15	48,0	2 12,2
	16	13,3	2 13,6	2 2 12		15	49,0	2 11,3
	16	12,1	2 12,3	2 1 53		15	50,1	2 10,3
	16	10,7	2 11,2	2 1 34		15	51,3	2 9,5
Marzo	16	9,3	2 10,3	2 1 14	Settembre	15	54,0	2 8,3
	16	7,8	2 9,5	2 0 55		15	55,5	2 7,9
	16	6,2	2 9,0	2 0 36		15	57,0	2 7,8
	16	4,5	2 8,6	2 0 17		15	58,6	2 7,8
	16	2,8	2 8,5	1 29 58		16	6,3	2 8,1
Aprile	16	1,2	2 8,6	1 29 39	Ottobre	16	1,9	2 8,6
	15	59,6	2 8,8	1 29 20		16	3,6	2 9,3
	15	57,9	2 9,3	1 29 1		16	5,3	2 10,2
	15	56,4	2 10,0	1 28 42		16	6,9	2 11,3
	15	54,9	2 10,7	1 28 23		16	8,4	2 12,5
Maggio	15	53,4	2 11,6	1 28 4	Novembre	16	9,9	2 13,9
	15	52,0	2 12,6	1 27 45		16	11,4	2 15,3
	15	50,7	2 13,5	1 27 26		16	12,7	2 16,7
	15	49,6	2 14,5	1 27 7		16	13,8	2 18,0
	15	48,6	2 15,4	1 26 48		16	14,9	2 19,3
	15	47,7	2 16,2	1 26 29		16	15,8	2 20,4
Giugno	15	46,9	2 16,8	1 26 9	Dicembre	16	16,5	2 21,2
	15	46,4	2 17,2	1 25 50		16	17,1	2 21,8
	15	45,9	2 17,4	1 25 31		16	17,5	2 22,1
	15	45,6	2 17,4	1 25 12		16	17,7	2 22,0
	15	45,5	2 17,2	1 24 53		16	17,7	2 21

## POSIZIONI DI MERCURIO DI SEI IN SEI GIORNI.

	Longitu- dine.	Latitu- dine.	Ascens. retta.	Declina- zione.	Nascere.	Passagg. pel mer.	Tramon- tare.
<b>Gennajo</b>	9 ° 17' 15"	2 ° 6' A	19 16' /	24 26A	20 16' /	0 29	4 44
	7 9 27 10	2 6	19 59	22 49	20 24	0 46	5 9
	13 10 7 3	1 47	20 40	20 16	20 25	1 1	5 37
	19 10 16 21	1 2	21 17	16 56	20 19	1 12	6 4
	25 10 23 40	0 15B	21 44	13 25	20 3	1 14	6 21
	31 10 26 30	1 55	21 52	10 54	19 34	0 57	6 14
<b>Febbrajo</b>	10 23 6	3 22	21 37	10 39	18 55	0 18	5 35
	12 10 16 20	3 40	21 11	12 27	18 13	23 22	4 38
	18 10 11 48	2 48	20 54	14 35	17 43	22 44	3 48
	24 10 11 34	1 31	20 54	15 52	17 27	22 24	3 22
<b>Marzo</b>	10 14 45	0 16	21 9	16 11	17 22	22 17	3 12
	8 10 20 13	0 46A	21 32	15 30	17 20	22 19	3 16
	14 10 27 13	1 33	22 0	13 55	17 19	22 25	3 29
	20 11 5 17	2 5	22 32	11 32	17 18	22 36	3 51
	26 11 14 19	2 21	23 6	8 21	17 17	22 48	4 16
	1 11 24 10	2 20	23 42	4 27	17 15	23 3	4 46
<b>Aprile</b>	0 4 53	2 1	0 21	0 6B	17 14	23 20	5 21
	13 0 16 30	1 24	1 3	5 13	17 13	23 41	6 3
	19 0 28 55	0 31	1 48	10 37	17 13	0 0	6 49
	25 1 11 44	0 32B	2 36	15 52	17 16	0 26	7 39
	1 1 24 3	1 32	3 25	20 17	17 21	0 52	8 26
<b>Maggio</b>	2 4 53	2 13	4 11	23 19	17 28	1 15	9 4
	13 2 13 43	2 26	4 48	24 53	17 33	1 29	9 25
	19 2 20 12	2 7	5 17	25 13	17 36	1 34	9 32
	25 2 24 10	1 14	5 34	24 34	17 32	1 27	9 20
	31 2 25 24	0 9A	5 40	23 14	17 20	1 8	8 53
	2 24 22	1 55	5 36	21 26	17 0	0 40	8 14
<b>Giugno</b>	2 21 12	3 24	5 23	19 46	16 30	0 2	7 29
	18 2 17 53	4 21	5 9	18 35	15 57	23 18	6 45
	24 2 16 45	4 28	5 4	18 21	15 29	22 50	6 14
	30 2 18 22	3 53	5 11	19 5	15 9	22 34	6 0

## POSIZIONI DI MERCURIO DI SEI IN SEI GIORNI.

		Longitu- dine.	Latitu- dine.	Ascens. retta.	Declina- zione.	Nascere.	Passagg. per n.	Tramontare.
Luglio	6	2 ° 22' 52"	2 ° 49A	5 30	14 57	22 31	6 4	
	12	3 0 7	1 31	6 1	14 55	22 39	6 18	
	18	3 9 49	0 12	6 43	15 11	22 58	6 40	
	24	3 21 25	0 54B	7 33	15 39	23 25	7 5	
	30	4 3 54	1 34	8 26	20 50	16 19	23 54	7 24
Agosto	5	4 16 17	1 46	9 17	17 39	17 2	0 17	7 36
	11	4 27 55	1 35	10 3	17 42	17 43	0 40	7 41
	17	5 8 43	1 6	10 43	9 21	18 19	0 58	7 40
	23	5 18 40	0 26	11 19	4 53	18 51	1 11	7 34
	29	5 27 48	0 21A	11 52	0 34	19 19	1 21	7 26
Settembre	4	6 6 6	1 12	12 20	3 31A	19 41	1 28	7 16
	10	6 13 27	2 4	12 46	7 12	20 0	1 33	7 5
	16	6 19 36	2 50	13 8	10 18	20 13	1 33	6 52
	22	6 23 56	3 26	13 23	12 29	20 14	1 26	6 36
	28	6 25 25	3 41	13 29	13 15	19 59	1 11	6 17
Ottobre	4	6 22 45	3 12	13 19	11 49	19 17	0 39	5 52
	10	6 16 15	1 40	12 57	7 57	18 17	23 49	5 24
	16	6 10 40	0 20B	12 40	3 56	17 26	23 13	5 3
	22	6 10 57	1 42	12 43	2 46	17 5 22	56 4 48	
	28	6 16 39	2 9	13 5	4 34	17 13	22 56	4 39
Novembre	3	6 25 4	1 59	13 36	7 52	17 35	23 5	4 34
	9	7 4 28	1 29	14 11	11 38	18 2	23 16	4 29
	15	7 14 5	0 50	14 47	15 17	18 30	23 28	4 25
	21	7 23 39	0 9	15 25	18 33	18 58	23 41	4 23
	27	8 3 8	0 31A	16 4	21 18	19 25	23 54	4 22
Dicembre	3	8 12 34	1 7	16 44	23 26	19 49	0 6	4 25
	9	8 22 0	1 38	17 25	24 51	20 11	0 21	4 33
	15	9 1 29	2 1	18 7	25 28	20 31	0 37	4 45
	21	9 10 59	2 12	18 49	25 12	20 43	0 52	5 3
	27	9 20 24	2 7	19 30	24 1	20 50	1 6	5 23

## POSIZIONI DI VENERE DI SEI IN SEI GIORNI.

		Longitu- dine.	Latitu- dine.	Ascens. retta.	Declina- zione.	Nascere.	Passagg. pel mer.	Tramon- tare.
Gennaio	1	10 18 15	1 48 A	21 25	17 6 A	21 46	2 38	7 30
	7	10 25 31	1 40	21 53	14 36	21 37	2 40	7 43
	13	11 2 44	1 28	22 21	11 53	21 26	2 42	7 57
	19	11 9 54	1 13	22 48	9 0	21 15	2 43	8 10
	25	11 17 0	0 55	23 14	5 59	21 3	2 44	8 24
	31	11 24 2	0 33	23 39	2 53	20 51	2 44	8 36
Febbrajo	6	0 0 59	0 9	9 4	0 15 B	20 39	2 45	8 50
	12	0 7 49	0 17 B	9 28	3 22	20 26	2 45	9 3
	18	0 14 32	0 46	9 52	6 26	20 14	2 45	9 15
	24	0 21 6	1 17	1 16	9 25	20 2	2 46	9 29
Marzo	2	0 27 31	1 49	1 40	12 18	19 52	2 48	9 44
	8	1 3 45	2 22	2 3	15 1	19 41	2 49	9 57
	14	1 9 43	2 55	2 25	17 32	19 30	2 49	10 8
	20	1 15 23	3 26	2 47	19 46	19 19	2 49	10 19
	26	1 20 42	3 56	3 9	21 45	19 9	2 49	10 28
Aprile	1	1 25 37	4 25	3 25	23 28	18 57	2 47	10 36
	7	1 29 59	4 51	3 47	24 55	18 45	2 43	10 40
	13	2 3 39	5 11	4 2	26 0	18 32	2 36	10 39
	19	2 6 27	5 22	4 14	26 42	18 18	2 26	10 32
	25	2 8 11	5 22	4 22	27 0	18 1	2 12	10 19
Maggio	1	2 8 40	5 9	4 24	26 52	17 41	1 51	9 57
	7	2 7 45	4 41	4 21	26 15	17 17	1 25	9 27
	13	2 5 25	3 53	4 11	25 3	16 51	0 52	8 46
	19	2 1 59	2 43	3 57	23 15	16 23	0 14	7 59
	25	1 28 15	1 20	3 43	21 6	15 57	23 30	7 10
	31	1 25 2	0 5 A	3 31	18 58	15 33	22 54	6 22
Giugno	6	1 22 57	1 21	3 24	17 14	15 10	22 24	5 43
	12	1 23 14	2 20	3 22	16 6	14 48	21 58	5 11
	18	1 22 54	3 5	3 25	15 32	14 29	21 36	4 47
	24	1 24 46	3 36	3 33	15 28	14 12	21 20	4 31
	30	1 27 37	3 54	3 45	15 51	13 58	21 8	4 19

## POSIZIONI DI VENERE DI SEI IN SEI GIORNI.

			Longitu- dine.	Latitu- dine.	Ascens. retta.	Declina- zione.	Nascer.	Passagg. per mer.	Tramon- tare.
Luglio	6	2 1 17	4 2A	4 0	16 29B	13 46	20 59	4 13	
	12	2 5 36	4 3	4 18	17 17	13 36	20 53	4 10	
	18	2 10 26	3 57	4 38	18 8	13 28	20 49	4 10	
	24	2 15 40	3 46	4 59	18 57	13 21	20 46	4 11	
	30	2 21 13	3 30	5 23	19 40	13 17	20 46	4 15	
Agosto	5	2 27 1	3 11	5 47	20 15	13 15	20 47	4 19	
	11	3 3 3	2 50	6 13	20 36	13 16	20 50	4 24	
	17	3 9 17	2 25	6 40	20 43	13 21	20 55	4 29	
	23	3 15 41	2 0	7 7	20 34	13 26	21 0	4 32	
	29	3 22 13	2 34	7 35	20 6	13 35	21 6	4 36	
Settemb.	4	3 28 53	1 8	8 3	19 18	13 45	21 12	4 38	
	10	4 5 39	0 43	8 31	18 21	13 58	21 19	4 39	
	16	4 12 38	0 19	8 59	16 46	14 11	21 25	4 39	
	22	4 19 28	0 48	9 28	15 4	14 25	21 32	4 38	
	28	4 26 30	0 26	9 56	13 6	14 41	21 39	4 36	
Ottobre	4	5 3 36	0 46	10 23	10 54	14 57	21 44	4 31	
	10	5 10 46	1 2	10 51	8 30	15 13	21 50	4 27	
	16	5 18 0	1 16	11 18	5 55	15 28	21 54	4 21	
	22	5 25 17	1 27	11 45	3 13	15 43	21 59	4 14	
	28	6 2 36	1 35	12 12	0 27	15 58	22 2	4 7	
Novembre	3	6 9 58	1 41	12 39	2 23A	16 14	22 6	4 0	
	9	6 17 22	1 44	13 7	5 14	16 29	22 10	3 52	
	15	6 24 48	1 43	13 34	8 1	16 44	22 13	3 43	
	21	7 2 15	1 40	14 2	10 42	16 59	22 16	3 35	
	27	7 9 43	1 34	14 31	13 45	17 13	22 19	3 26	
Dicembre	3	7 17 12	1 26	15 1	15 37	17 27	22 23	3 20	
	9	7 24 42	1 16	15 31	17 45	17 40	22 27	3 15	
	15	8 2 13	1 4	16 1	19 35	17 53	22 32	3 10	
	21	8 9 44	0 51	16 33	21 6	18 6	22 36	3 7	
	27	8 17 15	0 36	17 5	22 15	18 17	22 41	3 6	

## POSIZIONI DI MARTE DI SEI IN SEI GIORNI.

		Longitu- dine.	Latitu- dine.	Ascens. retta.	Declina- zione	Nascere.	Passagg. pel mer.	Tramon- tare.
Gennajo	1	8° 13' 32"	0° 10' A	16° 48'	22° 38A	17° 38'	22° 0'	2° 25'
	7	8° 17' 50"	0° 15'	17° 7'	23° 9'	17° 33'	21° 53'	2° 15'
	13	8° 22' 10"	0° 19'	17° 26'	23° 33'	17° 28'	21° 46'	2° 6'
	19	8° 26' 31"	0° 22'	17° 45'	23° 47'	17° 23'	21° 39'	1° 57'
	25	9° 0° 54"	0° 26'	18° 4'	23° 54'	17° 17'	21° 33'	1° 50'
	31	9° 5' 18"	0° 31'	18° 23'	23° 53'	17° 11'	21° 27'	1° 45'
Febbrajo	6	9° 9' 43"	0° 35'	18° 42'	23° 42'	17° 5'	21° 23'	1° 41'
	12	9° 14' 10"	0° 40'	19° 2'	23° 22'	16° 59'	21° 19'	1° 39'
	18	9° 18' 38"	0° 45'	19° 21'	22° 54'	16° 52'	21° 15'	1° 37'
	24	9° 23' 6"	0° 49'	19° 40'	22° 17'	16° 45'	21° 11'	1° 36'
Marzo	2	9° 27' 35"	0° 53'	19° 59'	21° 32'	16° 38'	21° 7'	1° 36'
	8	10° 2° 5"	0° 58'	20° 18'	20° 39'	16° 30'	21° 4'	1° 37'
	14	10° 6' 37"	1° 2'	20° 37'	19° 38'	16° 22'	21° 1'	1° 39'
	20	10° 11' 10"	1° 6'	20° 56'	18° 31'	16° 13'	20° 58'	1° 42'
	26	10° 15' 42"	1° 11'	21° 14'	17° 17'	16° 4'	20° 54'	1° 43'
Aprile	1	10° 20' 14"	1° 14'	21° 32'	15° 56'	15° 53'	20° 50'	1° 46'
	7	10° 24' 48"	1° 18'	21° 50'	14° 30'	15° 43'	20° 46'	1° 49'
	13	10° 29' 21"	1° 21'	22° 8'	12° 59'	15° 32'	20° 41'	1° 51'
	19	11° 3' 54"	1° 25'	22° 25'	11° 25'	15° 20'	20° 36'	1° 53'
	25	11° 8' 27"	1° 29'	22° 42'	9° 48'	15° 8'	20° 31'	1° 55'
Maggio	1	11° 12' 59"	1° 32'	23° 0'	8° 6'	14° 56'	20° 26'	1° 57'
	7	11° 17' 31"	1° 35'	23° 17'	6° 23'	14° 43'	20° 20'	1° 58'
	13	11° 22' 2"	1° 37'	23° 33'	4° 39'	14° 29'	20° 13'	1° 58'
	19	11° 26' 33"	1° 40'	23° 50'	2° 54'	14° 15'	20° 6'	1° 58'
	25	0° 1° 1"	1° 42'	0° 6'	1° 9'	14° 0'	19° 58'	1° 57'
	31	0° 5' 28"	1° 43'	0° 23'	0° 36B	13° 44'	19° 50'	1° 57'
Giugno	6	0° 9' 55"	1° 44'	0° 39'	2° 21'	13° 29'	19° 42'	1° 56'
	12	0° 14' 19"	1° 45'	0° 55'	4° 2'	13° 14'	19° 33'	1° 53'
	18	0° 18' 40"	1° 46'	0° 11'	5° 41'	12° 58'	19° 24'	1° 51'
	24	0° 22' 58"	1° 46'	0° 28'	7° 18'	12° 43'	19° 16'	1° 50'
	30	0° 27' 13"	1° 45'	1° 44'	8° 52'	12° 22'	19° 7'	1° 47'

## POSIZIONI DI MARTE DI SEI IN SEI GIORNI.

		Longitu- dine.	Latitu- dine.	Ascens. retta.	Declina- zione.	Nascere.	Passagg. pel mer.	Tramon- tare.
Luglio	6	1 1 26	1 44A	1 59	10 21B	12 12	18 58	1 45
	12	1 5 35	1 42	2 15	11 47	11 57	18 49	1 42
	18	1 9 39	1 41	2 31	13 7	11 43	18 41	1 40
	24	1 13 39	1 39	2 47	14 23	11 29	18 33	1 37
	30	1 17 34	1 37	3 2	15 33	11 15	18 24	1 34
Agosto	5	1 21 23	1 33	3 17	16 38	11 2	18 16	1 31
	11	1 25 6	1 29	3 32	17 37	10 50	18 9	1 28
	17	1 28 45	1 25	3 47	18 31	10 38	18 1	1 25
	23	2 2 15	1 20	4 2	19 19	10 27	17 54	1 21
	29	2 5 36	1 14	4 16	20 3	10 15	17 45	1 16
Settemb.	4	2 8 47	1 8	4 29	20 41	10 2	17 36	1 11
	10	2 11 48	1 1	4 42	21 14	9 51	17 28	1 6
	16	2 14 37	0 53	4 54	21 42	9 39	17 18	0 58
	22	2 17 12	0 44	5 5	22 7	9 26	17 7	0 49
	28	2 19 32	0 34	5 15	22 29	9 13	16 56	0 40
Ottobre	4	2 21 36	0 24	5 24	22 48	8 58	16 43	0 29
	10	2 23 20	0 13	5 31	23 5	8 42	16 27	0 15
	16	2 24 39	0 0	5 37	23 21	8 23	16 10	0 1
	22	2 25 35	0 13B	5 41	23 37	8 3	15 52	23 41
	28	2 26 3	0 28	5 43	23 52	7 41	15 31	23 21
Novemb.	3	2 26 2	0 45	5 43	24 9	7 17	15 8	22 58
	9	2 25 28	1 3	5 40	24 26	6 49	14 41	22 32
	15	2 24 23	1 21	5 35	24 42	6 18	14 11	22 4
	21	2 22 49	1 40	5 28	24 56	5 44	13 39	21 34
	27	2 20 50	1 58	5 19	25 7	5 8	13 4	21 0
Dicemb.	3	2 18 35	2 13	5 9	25 11	4 3a	12 28	20 24
	9	2 16 16	2 26	4 59	25 10	3 56	11 52	19 48
	15	2 14 2	2 37	4 49	25 7	3 20	11 16	19 13
	21	2 12 3	2 45	4 41	25 0	2 46	10 41	18 37
	27	2 10 23	2 52	4 33	24 52	2 13	10 7	18 1

## POSIZIONI DI CERERE DI SEI IN SEI GIORNI.

		Longitu- dine.	Latitu- dine.	Aerea- retta.	Declina- zione.	Nascere.	Passagg. per mer.	Tramontare.
Aprile	19	9 28 58	3 30 A	20 7	23 49 A	14 0	18 17	22 38
	25	10 0 3	3 49	20 12	23 54	13 44	18 0	22 16
Maggio	1	10 0 58	4 10	20 17	24 2	13 27	17 42	21 57
	7	10 1 43	4 32	20 30	24 13	13 9	17 20	21 36
	13	10 2 17	4 56	20 23	24 28	12 50	17 2	21 14
	19	10 2 40	5 20	20 25	24 46	12 29	16 40	20 51
	25	10 2 51	5 45	20 26	25 9	12 8	16 17	20 26
	31	10 2 50	6 11	20 27	25 34	11 46	15 53	19 59
Giugno	6	10 2 36	6 37	20 26	26 2	11 24	15 28	19 31
	12	10 2 8	7 4	20 25	26 35	11 2	15 2	19 2
	18	10 1 28	7 30	20 22	27 10	10 37	14 34	18 30
	24	10 0 37	7 55	20 19	27 46	10 12	14 6	17 58
	30	9 29 35	8 19	20 15	28 23	9 47	13 37	17 26
Luglio	6	9 28 24	8 41	20 10	29 0	9 22	13 8	16 53
	12	9 27 8	9 1	20 5	29 35	8 56	12 38	16 19
	18	9 25 50	9 18	19 59	30 7	8 29	12 8	16 46
	24	9 24 33	9 31	19 54	30 36	8 3	11 39	15 15
	30	9 23 18	9 43	19 48	30 59	7 36	11 9	14 42
Agosto	5	9 22 8	9 49	19 43	31 19	7 10	10 41	14 12
	11	9 21 6	9 54	19 38	31 34	6 44	10 13	13 41
	17	9 20 14	9 55	19 34	31 43	6 19	9 47	13 15
	23	9 19 34	9 53	19 31	31 48	5 54	9 22	12 49
	29	9 19 6	9 50	19 29	31 49	5 30	8 58	12 25
Settembre	4	9 18 51	9 45	19 28	31 46	5 7	8 35	12 2
	10	9 18 47	9 39	19 28	31 41	4 45	8 14	11 42
	16	9 18 58	9 31	19 28	31 32	4 23	7 52	11 23
	22	9 19 21	9 24	19 30	31 22	4 2	7 32	11 3
	28	9 19 57	9 17	19 33	31 9	3 43	7 14	10 47
Ottobre	4	9 20 42	9 9	19 36	30 54	3 21	6 55	10 30
	10	9 21 37	9 0	19 40	30 37	3 2	6 37	10 13
	16	9 22 42	8 52	19 45	30 17	2 43	6 20	9 58

## POSIZIONI DI PALLADE DI SEI IN SEI GIORNI.

		Longitu-dine.	Latitu-dine.	Ascens. retta.	Declina-zione.	Nascere.	Passagg. pel mer.	Tramon-tare.
<b>Aprile</b>	1	9 23 ° 15'	33 ° 58'	19 22 ° /	12 48	11 45 ° /	18 37 ° /	1 33 ° /
	7	9 24 32	34 43	19 22	12 58	11 19	18 15	1 15
	13	9 25 43	35 28	19 25	13 53	10 56	17 56	1 0
	19	9 26 45	36 15	19 28	14 48	10 32	17 38	0 46
	25	9 27 35	37 4	19 30	15 44	10 8	17 18	0 30
<b>Maggio</b>	1	9 28 13	37 53	19 32	16 39	9 43	16 57	0 13
	7	9 28 39	38 42	19 32	17 31	9 16	16 34	23 52
	13	9 28 51	39 31	19 32	18 21	8 49	16 11	23 32
	19	9 28 48	40 19	19 31	19 7	8 21	15 46	23 11
	25	9 28 34	41 5	19 30	19 49	7 52	15 21	22 49
	31	9 28 5	41 48	19 28	20 27	7 22	14 54	22 26
<b>Giugno</b>	6	9 27 19	42 26	19 25	20 59	6 53	14 27	22 1
	12	9 26 18	42 58	19 21	21 21	6 22	13 58	21 34
	18	9 25 5	43 24	19 17	21 36	5 51	13 29	21 7
	24	9 23 43	43 41	19 13	21 42	5 21	13 0	20 38
	30	9 22 11	43 48	19 8	21 38	4 52	12 30	20 8
<b>Luglio</b>	6	9 20 34	43 45	19 3	21 24	4 25	12 1	19 37
	12	9 18 54	43 31	18 58	21 1	3 57	11 31	19 5
	18	9 17 16	43 8	18 53	20 28	3 31	11 2	18 34
	24	9 15 44	42 35	18 49	19 47	3 7	10 34	18 2
	30	9 14 20	41 51	18 45	18 56	2 43	10 6	17 30
<b>Agosto</b>	5	9 13 5	40 59	18 41	17 59	2 20	9 39	16 59
	11	9 12 3	40 1	18 38	16 57	1 59	9 13	16 28
	17	9 11 14	38 58	18 36	15 51	1 41	8 50	15 58
	23	9 10 38	37 52	18 35	14 41	1 22	8 26	15 30
	29	9 10 16	36 41	18 34	13 31	1 4	8 3	15 2
<b>Settembre</b>	4	9 10 8	35 31	18 34	12 20	0 47	7 41	14 35
	10	9 10 13	34 19	18 34	11 10	0 32	7 20	14 8
	16	9 10 30	33 8	18 36	10 0	0 17	7 0	13 43
	22	9 10 59	31 59	18 38	8 53	0 2	6 40	13 18
	28	9 11 39	30 51	18 40	7 47	23 47	6 21	12 55

## POSIZIONI DI GIUNONE DI SEI IN SEI GIORNI.

		Longitu- dine.	Latitu- dine.	Ascens. retta.	Declina- zione.	Nascere.	Passagg. pel mer.	Tramon- tare.
Giugno	18	11 16 ° 1'	° 1' /	22 58	1 30 E	11 1	17 10	23 18 /
	24	11 17 30	7 23	23 3	1 51	10 40	16 50	22 59
	30	11 18 32	7 16	23 7	2 9	10 17	16 29	22 40
Luglio	6	11 19 21	7 8	23 10	2 21	9 54	16 7	22 19
	12	11 19 57	6 58	23 12	2 25	9 32	15 45	21 57
	18	11 20 21	6 46	23 14	2 23	9 10	15 23	21 35
	24	11 20 31	6 31	23 15	2 14	8 48	15 0	21 11
	30	11 20 26	6 14	23 15	1 56	8 26	14 36	20 46
Agosto	5	11 20 3	5 53	23 14	1 28	8 4	14 12	20 20
	11	11 19 26	5 28	23 12	0 51	7 41	13 47	19 53
	17	11 18 35	5 0	23 10	0 5	7 21	13 23	19 25
	23	11 17 30	4 28	23 7	0 50 A	6 59	12 57	18 55
	29	11 16 15	3 52	23 3	1 52	6 37	12 31	18 25
Settembre	4	11 14 50	3 12	22 59	3 2	6 15	12 5	17 54
	10	11 13 20	2 30	22 55	4 14	5 55	11 39	17 24
	16	11 11 52	1 47	22 50	5 28	5 33	11 13	16 53
	22	11 10 31	1 2	22 46	6 40	5 12	10 47	16 22
	28	11 9 20	0 16	22 43	7 50	4 53	10 23	15 53
Ottobre	4	11 8 19	0 27 A	22 41	8 53	4 33	9 59	15 25
	10	11 7 33	1 8	22 39	9 49	4 14	9 36	14 57
	16	11 7 5	1 47	22 38	10 34	3 55	9 13	14 31
	22	11 6 56	2 24	22 38	11 12	3 34	8 50	14 6
	28	11 7 5	2 57	22 40	11 39	3 15	8 29	13 43
Novembre	3	11 7 33	3 29	22 42	11 59	2 56	8 8	13 20
	9	11 8 19	3 58	22 46	12 9	2 37	7 48	12 59
	15	11 9 20	4 24	22 50	12 11	2 17	7 28	12 39
	21	11 10 36	4 47	22 56	12 2	1 57	7 9	12 21
	27	11 12 7	5 9	23 2	11 47	1 36	6 49	12 3
Dicembre	3	11 13 50	5 29	23 9	11 26	1 15	6 30	11 46
	9	11 15 45	5 47	23 17	10 58	0 56	6 12	11 30
	15	11 17 52	6 4	23 25	10 23	0 35	6 54	11 14

## POSIZIONI DI VESTA DI SEI IN SEI GIORNI.

		Longitu- dine.	Latitu- dine.	Ascens. retta.	Declina- zione.	Nascere.	Passagg. pel mer.	Tranom- tare.
<b>Gennajo</b>	1	2 6 48	4 26 A	4 23	17 5B	2 20	9 34	16 48
	7	2 6 0	4 6	4 19	17 18	1 49	9 5	16 20
	13	2 5 28	3 43	4 17	17 35	1 19	8 37	15 54
	19	2 5 13	3 22	4 16	17 53	0 51	8 10	15 29
	25	2 5 13	3 3	4 15	18 12	0 24	7 44	15 4
	31	2 5 37	2 43	4 16	18 34	23 54	7 26	14 42
<b>Febbrajo</b>	6	2 5 57	2 25	4 18	18 56	23 30	6 58	14 22
	12	2 6 41	2 8	4 22	19 21	23 7	6 37	14 3
	18	2 7 38	1 52	4 25	19 46	22 46	6 17	13 46
	24	2 8 45	1 37	4 29	20 12	22 26	5 59	13 30
<b>Marzo</b>	2	2 10 2	1 23	4 34	20 37	22 6	5 41	13 14
	8	2 11 29	1 9	4 40	21 3	21 48	5 25	13 0
	14	2 13 4	0 57	4 47	21 28	21 30	5 10	12 48
	20	2 14 47	0 45	4 54	21 52	21 14	4 55	12 35
	26	2 16 37	0 34	5 2	22 15	20 58	4 41	12 23
<b>Aprile</b>	1	2 18 34	0 23	5 10	22 35	20 48	4 27	12 10
	7	2 20 35	0 13	5 19	22 55	20 28	4 15	11 59
	13	2 22 40	0 4	5 28	23 12	20 13	4 2	11 48
	19	2 24 50	0 5B	5 37	23 27	19 58	3 49	11 37
	25	2 27 4	0 14	5 47	23 40	19 45	3 37	11 26
<b>Maggio</b>	1	2 29 22	0 22	5 57	23 50	19 33	3 24	11 13
	7	3 1 43	0 30	6 7	23 57	19 19	3 11	11 1
	13	3 4 7	0 38	6 18	24 2	19 6	2 58	10 48
	19	3 6 34	0 46	6 28	24 4	18 53	2 45	10 35
	25	3 9 3	0 53	6 39	24 2	18 40	2 32	10 22

## POSIZIONI DI GIOVE DI DODICI IN DODICI GIORNI.

	Longitu- dine.	Latitu- dine.	Ascens. retta.	Declina- zione.	Nascere.	Passagg- pel mer.	Tramu- tare.
Gennajo	8 1 11	0 48B	15 57	19 38A	16 29	21 7	1 48
	8 3 27	0 49	16 6	20 4	15 48	20 24	1 4
	8 5 29	0 49	16 15	20 26	15 8	19 42	0 20
Febbrajo	8 7 15	0 50	16 22	20 44	14 28	19 0	23 33
	8 8 43	0 50	16 28	20 58	13 48	18 18	22 50
Marzo	8 9 50	0 51	16 33	21 7	13 8	17 38	22 9
	8 10 32	0 52	16 36	21 12	12 28	16 57	21 27
	8 10 48	0 53	16 37	21 13	11 45	16 14	20 44
Aprile	8 10 37	0 54	16 36	21 11	10 59	15 29	20 0
	8 10 0	0 54	16 34	21 5	10 12	14 43	19 14
Maggio	8 9 0	0 54	16 30	20 56	9 23	13 55	18 26
	8 7 42	0 54	16 24	20 44	8 30	13 4	17 36
	8 6 13	0 53	16 18	20 30	7 36	12 9	16 42
Giugno	8 4 42	0 52	16 12	20 15	6 39	11 14	15 49
	8 3 17	0 50	16 6	20 1	5 42	10 18	14 55
	8 2 8	0 48	16 1	19 50	4 46	9 23	14 1
Luglio	8 1 20	0 45	15 58	19 43	3 54	8 31	13 9
	8 0 57	0 42	15 56	19 41	3 5	7 42	12 19
Agosto	8 1 1	0 39	15 56	19 45	2 18	6 55	11 32
	8 1 30	0 37	15 58	19 53	1 36	6 12	10 48
	8 2 24	0 34	16 2	20 6	0 56	5 31	10 7
Settembre	8 3 40	0 32	16 7	20 23	0 19	4 53	9 28
	8 5 16	0 29	16 14	20 44	23 41	4 16	8 49
Ottobre	8 7 10	0 27	16 22	21 5	23 8	3 42	8 12
	8 9 19	0 26	16 31	21 36	22 35	3 7	7 35
	8 11 39	0 24	16 41	21 48	22 0	2 31	6 58
Novembre	8 14 8	0 23	16 51	22 8	21 25	1 54	6 19
	8 16 45	0 21	17 2	22 27	20 49	1 16	5 39
Dicembre	8 19 27	0 20	17 14	22 43	20 11	0 36	4 58
	8 22 11	0 19	17 26	22 55	19 31	23 53	4 17
	8 24 54	0 19	17 38	23 3	18 50	23 11	3 35

## POSIZIONI DI SATURNO DI DODICI IN DODICI GIORNI.

		Longitu-dine.	Latitu-dine.	Ascens-retta.	Declina-zione.	Nascere.	Passagg-pel mer.	Tramon-tare.
Gennajo	1	° 21' 24"	° 16' 21"	h 37'	15° 35' 21"	h 48'	2 50'	7 47'
	13	10 22 40	1 15	21 42	15 9	21 0	2 3	7 2
	25	10 24 2	1 15	21 47	14 43	20 12	1 17	6 18
Febbrajo	6	10 25 28	1 16	21 53	14 15	19 26	0 33	5 36
	18	10 26 55	1 16	21 58	13 45	18 42	23 48	4 56
Marzo	2	10 28 22	1 17	22 4	13 15	18 2	23 9	4 19
	14	10 29 46	1 19	22 9	12 48	17 21	22 30	3 43
	26	11 1 5	1 20	22 14	12 21	16 40	21 51	3 6
Aprile	7	11 2 19	1 21	22 19	11 56	16 0	21 12	2 28
	19	11 3 25	1 23	22 23	11 34	15 18	20 32	1 50
Maggio	1	11 4 21	1 26	22 27	11 16	14 36	19 51	1 10
	13	11 5 5	1 29	22 30	11 2	13 51	19 8	0 29
	25	11 5 38	1 31	22 32	10 52	13 4	18 22	2 40
Giugno	6	11 5 57	1 34	22 33	10 47	12 16	17 34	22 52
	18	11 6 2	1 37	22 34	10 48	11 27	16 45	22 5
	30	11 5 53	1 39	22 33	10 54	10 37	15 54	21 11
Luglio	12	11 5 30	1 42	22 32	11 5	9 48	15 4	20 21
	24	11 4 55	1 44	22 30	11 20	9 0	14 15	19 30
Agosto	5	11 4 10	1 46	22 27	11 38	8 12	13 25	18 39
	17	11 3 19	1 48	22 23	11 59	7 24	12 36	17 48
	29	11 2 25	1 49	22 20	12 19	6 37	11 48	16 59
Settemb.	10	11 1 32	1 49	22 17	12 38	5 52	11 2	16 11
	22	11 0 43	1 49	22 14	12 55	5 7	10 15	15 23
Ottobre	4	11 0 3	1 48	22 11	13 9	4 22	9 29	14 37
	16	10 29 35	1 47	22 9	13 19	3 37	8 43	13 50
	28	10 29 21	1 46	22 8	13 23	2 51	7 57	13 3
Novemb.	9	10 29 22	1 45	22 9	13 21	2 4	7 11	12 17
	21	10 29 38	1 44	22 10	13 15	1 15	6 22	11 29
Dicemb.	3	11 0 8	1 42	22 11	13 2	0 24	5 32	10 40
	15	11 0 50	1 41	22 14	12 45	23 30	4 43	9 52
	27	11 1 46	1 40	22 17	12 24	22 37	3 52	9 4

## POSIZIONI DI URANO DI DODICI IN DODICI GIORNI.

		Longitu- dine.	Latitu- dine.	Ascens. retta.	Declina- zione.	Nascere.	Passagg. pel mer.	Tramon- tare.
Gennajo	1	8 13 16	0 18	16 47	22 24	17 32	21 56	2 25
	13	8 13 56	0 1	16 50	22 29	16 44	21 8	1 35
	25	8 14 31	0 1	16 53	22 33	15 56	20 20	0 47
Febbrajo	6	8 15 0	0 0	16 55	22 37	15 10	19 33	23 55
	18	8 15 22	0 0	16 56	22 40	14 25	18 47	23 9
Marzo	2	8 15 37	0 0	16 57	22 41	13 40	18 3	22 25
	14	8 15 45	0 0	16 58	22 42	12 57	17 20	21 41
	26	8 15 46	0 0	16 58	22 42	12 13	16 36	20 58
Aprile	7	8 15 39	0 0	16 58	22 41	11 29	15 52	20 14
	19	8 15 25	0 0	16 57	22 40	10 44	15 7	19 29
Maggio	1	8 15 5	0 0	16 55	22 38	9 57	14 20	18 42
	13	8 14 40	0 1	16 53	22 36	9 9	13 32	17 54
	25	8 14 12	0 1	16 51	22 33	8 19	12 42	17 5
Giugno	6	8 13 43	0 1	16 49	22 29	7 28	11 51	16 14
	18	8 13 13	0 1	16 47	22 26	6 35	10 59	15 23
	30	8 12 45	0 1	16 45	22 22	5 43	10 8	14 32
Luglio	12	8 12 22	0 1	16 44	22 19	4 53	9 18	13 42
	24	8 12 3	0 1	16 42	22 17	4 4	8 28	12 52
Agosto	5	8 11 50	0 1	16 41	22 15	3 16	7 40	12 4
	17	8 11 44	0 1	16 41	22 14	2 31	6 55	11 19
	29	8 11 46	0 1	16 41	22 14	1 47	6 10	10 34
Settemb.	10	8 11 55	0 2	16 43	22 17	1 4	5 28	9 52
	22	8 12 11	0 2	16 43	22 19	0 21	4 46	9 10
Ottobre	4	8 12 34	0 2	16 44	22 22	23 36	4 4	8 28
	16	8 13 3	0 2	16 46	22 25	22 54	3 22	7 46
	28	8 13 38	0 2	16 49	22 30	22 12	2 39	7 2
Novembre	9	8 14 16	0 2	16 53	22 34	21 28	1 55	6 17
	21	8 14 58	0 2	16 55	22 39	20 42	1 9	5 31
Dicembre	3	8 15 42	0 2	16 58	22 44	19 54	0 20	4 42
	15	8 16 25	0 3	17 1	22 49	19 6	23 27	3 52
	27	8 17 3	0 3	17 4	22 54	18 16	22 36	3 1

TAVOLE PER CALCOLARE LE POSIZIONI APPARENTI  
DI TRENTAQUATTRO STELLE PRINCIPALI.

La pagina 90 comprende le posizioni medie delle trentaquattro stelle coi moti propri corrispondenti (\*), estratte dal nuovo catalogo del celebre astronomo Piazzi. La precessione annua di ciascuna tanto in ascensione retta, quanto in declinazione si trova nelle pagine seguenti calcolata per due epoche diverse, cioè pel 1800 e pel 1850. Le precessioni per la prima delle due epoche sono quelle stesse che s'incontrano nel catalogo citato, nel quale l'autore ha ritenuto  $50'',388$  per la precessione annua dei punti equinoziali in longitudine proveniente dall'azione del Sole e della Luna sullo sfereoide terrestre, e  $0'',1814$  pel moto diretto in AR. de' punti sud-detti prodotto dall'azione de' pianeti sull'orbita della terra. È però da avvertirsi che si sono corretti due leggieri errori scorsi in quel catalogo sulle precessioni in declinazione di  $\beta$  Toro e di  $\alpha$  Orione.

Per avere i valori dei due moti de' punti equinoziali corrispondenti all'anno 1850 si è aggiunto ad essi il rispettivo aumento in 50 anni, quale risulta dalle formole date dal sommo geometra Laplace nella sua *Meccanica celeste*, e si è trovato pel 1850 la precessione annua lunisolare =  $50'',416$ ; e il moto della sezion d'Ariete =  $0'',1845$ .

Colle precessioni in ascens. retta ed in declinaz. calcolate pei due tempi indicati si potranno avere con sufficiente esattezza le posizioni medie per un anno qualunque compreso fra il 1700 ed il 1900. A tal fine si cercherà per mezzo di semplici parti proporzionali la precessione annua che corrisponde al tempo intermedio fra l'epoca per cui si calcola ed il 1800. Applicando alla precessione così trovata il moto proprio della stella, si avrà la variazione annua totale da moltiplicarsi per l'anno dato meno 1800.

A fianco alle precessioni si trovano gli angoli e i logaritmi costanti che servono alla ricerca dell'aberrazione e della nutazione giusta l'ingegnoso metodo immaginato dal chiar. barone di Zach.

---

(\*) Per maggiore uniformità e chiarezza abbiamo indicati i moti propri in declinazione colla stessa regola di segni di cui si fa uso nella precessione, cioè si è meso il segno + quando la declinazione australe o boreale cresce, ed il segno — quando diminuisce.

Col metodo accennato la ricerca dell' aberrazione o della nutazione d' una stella si riduce alle due seguenti operazioni : 1.<sup>mo</sup> si aggiunge la longitudine del Sole o la longitudine del nodo della Luna ad un angolo costante, e si forma l'argomento d' aberrazione o di nutazione ; 2.<sup>do</sup> si aggiunge al logaritmo del seno di questo argomento un logaritmo costante , e si ha il logaritmo dell' aberrazione o della nutazione espresso in secondi di grado. Se l' argomento è minore di  $180^\circ$ , l' aberrazione e la nutazione saranno positive , e viceversa. Con un metodo analogo si può trovare la nutazione solare in ascensione retta ed in declinazione.

Sia  $A$  l' angolo costante per l' aberrazione in ascensione retta ;  
log.  $a$  il logaritmo costante ;

$A'$  l' angolo costante per l' aberrazione in declinazione ;

log.  $a'$  il logaritmo costante ;

$B$  l' angolo costante per la nutazione lunare in ascensione retta ;  
log.  $b$  il logaritmo costante ;

$B'$  l' angolo costante per la nutazione lunare in declinazione ;  
log.  $b'$  il logaritmo costante ;

$C$  l' angolo costante per la nutazione solare in ascensione retta ;  
log.  $c$  il logaritmo costante ;

$C'$  l' angolo costante per la nutazione solare in declinazione ;  
log.  $c'$  il logaritmo costante ,

si avrà

aberr. in AR.  $= a \sin(A + \odot)$  ; aberr. in decl.  $= a' \sin(A' + \odot)$  ;  
nut. lun. in AR.  $= b \sin(B + \delta)$  ; nut. lun. in decl.  $= b' \sin(B' + \delta)$  ;  
nut. sol. in AR.  $= c \sin(C + 2\odot)$  ; nut. sol. in decl.  $= c' \sin(C' + 2\odot)$ .

Il signor barone di Zach nella sua *Mensuale corrispondenza*, tomo. XX, pag. 301, ha dato i valori delle prime otto costanti per le suddette trentaquattro stelle, quali risultano dalle posizioni medie del 1800. Noi presentiamo qui questi valori calcolati di nuovo colla maggior precisione tauto per l' epoca del 1800, quanto per l' epoca del 1850, acciò per mezzo di una proporzione se ne possa estender l' uso a più d' un secolo prima o dopo dell' epoca attuale.

Le ultime quattro costanti, che si riferiscono alla nutazione solare, sono preparate soltanto pel principio di questo secolo , giacchè , dovendo servire al calcolo d' una quantità che non giunge a due secondi , non fa mestieri tener conto della loro variazione.

ESEMPIO. Si cerca l'ascensione retta apparente dell'a del Toro o sia Aldebaran pel di 13 agosto 1783.

Riducendo il giorno dato in decimali di anno, si dovrà calcolare la precessione per l'anno 1783,616.

Alla pag. 91 si trova la precessione annua nel 1800 = + 51",33

$$1850 = + 51,43$$

$$\text{per l'anno } \frac{1783,6 + 1800}{2} = 1791,8 \text{ sarà . . . . .} = + 51,31$$

$$\text{moto annuo proprio . . . . .} + 0,04$$

$$\text{variazione annua . . . . .} = + 51,35$$

moltiplicando questo numero per  $1783,616 - 1800 = - 16,384$   
si ha la variazione cercata =  $841",32 = 14' 1",32$ .

Si troverà in seguito l'aberrazione e la nutazione lunare e solare a questo modo :

$$\text{pel 1800 } A = 202^\circ 6' \quad B = 183^\circ 30' \quad C = 183^\circ$$

$$\text{pel 1850 } \underline{201 26} \quad \underline{183 25}$$

$$\text{pel 1783 } A = 202 30 \quad B = 183 32 \quad C = 183$$

$$\odot = 140 30 \quad \delta = 350 8 \quad 2\odot = 281$$

$$A + \odot = 342 50 \quad B + \delta = 173 40 \quad C + 2\odot = 104$$

$$\text{pel 1800 log. } a = 1,3182 \quad \log. b = 1,2666 \quad \log. c = 0,061$$

$$\text{pel 1850 } \underline{1,3187} \quad \underline{1,2671}$$

$$\text{pel 1783 log. } a = 1,3180 \quad \log. b = 1,2664 \quad \log. c = 0,061$$

$$1.\sin(A+\odot) = 9,4700 \quad 1.\sin(B+\delta) = 9,0426 \quad 1.\sin(C+2\odot) = 9,987$$

$$\text{Somma } 0,7980 \quad 0,3090 \quad 0,048$$

$$\text{aberr.} = - 6,14 \quad \text{nut. lun.} = + 2,04 \quad \text{nut. sol.} = + 1,12$$

$$\text{Ascensione retta media di Aldebaran nel 1800} = 66^\circ 6' 50",4$$

$$\text{Precessione e moto proprio . . . . .} - 14 1,32$$

$$\text{Aberrazione . . . . .} - 6,14$$

$$\text{Nutazione lunare . . . . .} + 2,04$$

$$\text{Nutazione solare . . . . .} + 1,12$$

$$\text{Ascensione retta apparente pel 13 agosto 1783} = 65^\circ 52' 46",10$$

$$\text{in tempo. . . . .} = 4^b 23' 31",07$$

*Effem. 1817.*

## POSIZIONI MEDIE DI TRENTAQUATTRO STELLE

PEL 1.<sup>o</sup> GENNAJO DELL' ANNO 1800.

NOME DELLE STELLE.	Gran- dezza.	Ascensione retta			Moto proprio.	Declinazione.	Moto proprio.
		in tempo.	in arco.	"			
$\gamma$ Pegaso....	2. 3	0 3	0 44 15,9	-0,03	14 4 16,6	B	-0,09
$\alpha$ Ariete....	3	1 56	23 58 54,0	+0,02	23 30 36,5	B	-0,20
$\alpha$ Balena....	2. 3	2 52	42 57 34,3	-0,08	3 17 48,8	B	-0,15
Aldebaran....	1	4 24	66 6 50,4	+0,04	16 5 42,0	B	-0,21
Capra.....	1	5 2	75 29 0,9	+0,12	45 46 37,5	B	-0,44
Rigel.....	1	5 5	76 13 57,4	-0,05	8 26 36,4	A	+0,02
$\beta$ Toro.....	2	5 14	78 24 51,9	-0,03	28 25 25,5	B	-0,17
$\alpha$ Orione ...	1	5 44	86 5 12,5	-0,03	7 21 25,0	B	+0,03
Sirio.....	1	6 36	99 4 59,2	-0,51	16 27 6,2	A	+1,14
Castore seg..	3	7 22	110 27 13,0	-0,16	32 18 45,0	B	-0,10
Procione....	1. 2	7 29	112 12 21,7	-0,71	5 43 38,5	B	-0,98
Pollince.....	2	7 33	113 15 49,6	-0,72	28 29 46,8	B	-0,11
$\alpha$ Idra.....	2	9 18	139 26 20,2	-0,15	7 47 54,5	A	+0,05
Regolo.....	1	9 58	149 25 33,4	-0,38	12 56 22,0	B	-0,01
$\beta$ Leone ....	2. 3	11 39	174 42 42,0	-0,55	15 41 24,7	B	-0,08
$\beta$ Vergine...	3. 4	11 40	175 4 7,8	+0,76	2 53 30,0	B	-0,30
Spica.....	1	13 15	198 40 6,3	-0,09	10 6 44,0	A	+0,03
Arturo.....	1	14 7	211 38 6,6	-1,17	20 13 48,3	B	-1,96
$\alpha^2$ Libra....	3	14 40	219 57 34,0	-0,20	15 12 4,0	A	+0,08
Gemma.....	2	15 26	231 33 17,7	-0,10	27 23 48,0	B	-0,10
$\alpha$ Serpente .	2. 3	15 34	233 36 22,2	-0,10	7 3 53,7	B	+0,05
Antares....	1	16 17	244 17 32,2	-0,05	25 58 26,0	A	+0,10
$\alpha$ Ercole....	3. 4	17 6	256 22 57,1	-0,11	14 37 47,7	B	+0,12
$\alpha$ Osinco....	2	17 26	261 24 48,6	+0,09	12 43 3,0	B	-0,18
Wega.....	1	18 30	277 32 29,4	+0,28	38 36 20,8	B	+0,25
$\gamma$ Aquila....	3	19 37	294 11 14,4	+0,06	10 8 11,4	B	+0,04
Al-tair....	1. 2	19 41	295 15 20,5	+0,51	8 21 5,2	B	+0,38
$\beta$ Aquila....	3. 4	19 45	296 22 18,0	-0,03	5 55 5,2	B	-0,54
$\alpha^2$ Capricorno	3	20 7	301 44 12,6	+0,04	13 9 10,2	A	-0,25
$\alpha$ Gigno....	1	20 35	308 39 12,3	-0,08	44 34 19,8	B	+0,00
$\alpha$ Aquario ..	3	21 55	328 52 36,0	-0,12	1 17 6,1	A	+0,05
Famalhut...	1	22 47	341 38 32,1	+0,33	30 40 41,3	A	+0,26
$\alpha$ Pegaso....	2	22 55	343 42 5,4	+0,02	14 7 57,1	B	-0,07
$\alpha$ Andromeda	1	23 58	359 31 6,6	+0,14	27 59 9,0	B	-0,21

NOME DELLE STELLE.	Precessione annua in ascensione		Costanti dell'aberraz. in ascens. retta.		Costanti della nutaz. in ascensione retta		Angolo C e log. c.	
			Angolo A e log. a pel		Angolo B e log. b pel			
	1800.	1850.	1800.	1850.	1800.	1850.		
$\gamma$ Pegaso....	46,10	46,19	269 13	268 30	188 18	188 28	187	
$\omega$ Ariete....	50,07	50,23	1,2823	1,2828	1,2238	1,2244	0,017	
$\alpha$ Balena....			224 34	223 55	181 23	181 27	181	
Aldebaran..	51,33	51,43	202 6	201 26	183 30	183 25	183	
Capra .....	66,00	66,15	193 22	192 31	185 56	185 37	185	
Rigel.....	43,15	43,19	192 40	192 7	178 44	178 48	179	
$\beta$ Toro .....	56,68	56,76	190 39	189 56	184 57	183 45	183	
$\alpha$ Orione ...	48,62	48,66	183 35	182 58	180 17	180 14	180	
Sirio .....	40,19	40,20	171 40	171 9	181 47	181 54	181	
Castore....	57,93	57,85	161 7	160 22	174 9	173 56	175	
			1,3753	1,3746	1,3203	1,3197	0,115	

NOME DELLE STELLE.	Precessione annua in asc. retta		Angolo A e log. a		Angolo B e log. b		Angolo C e log. c.
	pel 1800.	1850.	pel 1800.	1850.	pel 1800.	1850.	
Procione....	" 47,90	" 47,88	159° 28' 1,3037	158° 51' 1,3034	178° 47' 1,2359	178° 46' 1,2355	179° 0,030
Polluce....	56,05	55,97	158° 28' 1,3572	157° 45' 1,3564	174° 38' 1,3060	173° 58' 1,3054	175° 0,102
α Idra.....	44,25	44,25	133° 1' 1,2897	132° 24' 1,2896	183° 37' 1,2024	183° 45' 1,2022	183° 9,997
Regolo.....	48,38	48,32	122° 47' 1,2906	122° 5' 1,2897	173° 44' 1,2427	173° 48' 1,2418	175° 0,035
β Leone....	46,56	46,51	95° 46' 1,2850	95° 4' 1,2852	170° 50' 1,2291	170° 59' 1,2282	173° 0,022
β Vergine...	46,13	46,13	95° 22' 1,2699	94° 40' 1,2697	178° 19' 1,2196	178° 29' 1,2194	179° 0,014
Spica.....	47,18	47,28	69° 47' 1,2800	69° 5' 1,2806	185° 30' 1,2313	185° 37' 1,2320	184° 0,026
Arturo.....	42,16	42,18	56° 7' 1,3077	55° 31' 1,3073	168° 42' 1,1891	168° 56' 1,1887	171° 9,981
α <sup>2</sup> Libra....	49,54	49,67	47° 35' 1,3008	46° 54' 1,3017	186° 26' 1,2531	186° 27' 1,2540	185° 0,047
α Corona...	37,90	37,92	36° 4' 1,3445	35° 33' 1,3441	167° 9' 1,1455	167° 23' 1,1451	169° 9,935
α Serpente..	44,04	44,09	34° 4' 1,2974	33° 28' 1,2976	177° 26' 1,1999	177° 32' 1,2001	178° 9,994
Antares....	54,85	54,98	23° 50' 1,3462	23° 6' 1,3470	185° 55' 1,2967	185° 46' 1,2974	185° 0,091

NOME DELLE STELLE.	Precessione annua in asc. retta		Angolo A e log. a		Angolo B e log. b		Angolo C e log. c.	
	pel		pel		pel			
	1800.	1850.	1800.	1850.	1800.	1850.		
$\alpha$ Ercole....	" 95	" 98	12 32	12 0	177 42	177 48	178	
	40,95	40,98	1,3189	1,3190	1,1683	1,1684	9,962	
$\alpha$ Ophioco....	41,56	41,60	7 53	7 21	178 45	178 50	179	
			1,3166	1,3166	1,1745	1,1746	9,968	
Wega.....	30,16	30,17	353 5	352 41	185 19	185 37	184	
			1,4130	1,4132	1,0377	1,0378	9,830	
$\gamma$ Aquila ...	42,77	42,77	337 37	337 3	182 38	182 44	182	
			1,3075	1,3074	1,1872	1,1870	9,981	
Al-tair ....	43,38	43,37	336 36	336 1	182 13	182 18	182	
			1,3048	1,3047	1,1932	1,1930	9,987	
$\beta$ Aquila....	44,18	44,17	335 33	334 58	181 36	181 40	181	
			1,3019	1,3017	1,2009	1,2007	9,995	
$\alpha^2$ Capricorno	50,03	49,98	330 26	329 46	176 13	176 11	177	
			1,3083	1,3077	1,2555	1,2549	0,050	
$\alpha$ Cigno ....	30,60	30,62	323 44	323 19	208 19	208 41	204	
			1,4400	1,4410	1,0974	1,0990	9 874	
$\alpha$ Aquario ..	46,27	46,25	303 21	302 41	179 22	179 29	179	
Famalhut... .	49,79	49,64	289 53	289 9	163 6	163 9	166	
			1,3385	1,3371	1,2718	1,2700	0,060	
Markab.... .	44,62	44,67	287 41	287 1	188 16	188 27	187	
			1,2856	1,2859	1,2096	1,2101	0,002	
$\alpha$ Andromeda	45,95	46,09	270 31	269 50	197 15	197 24	194	
			1,3231	1,3242	1,2378	1,2392	0,026	

NOME DELLE STELLE.	Precessione annua in declinazione pel		Costanti dell'aberraz. in declinazione		Costanti della nutaz. in declinazione	
			Angolo A' e log. a' pel		Angolo B' e log. b' pel	
	1800.	1850.	1800.	1850.	1800.	1850.
$\gamma$ Pegaso . . . .	+ 20,06	+ 20,06	237° 38'	236° 55'	179° 6'	178° 9'
			0,9636	0,9635	0,8563	0,8563
$\alpha$ Ariete . . . .	+ 17,55	+ 17,44	210° 33'	209° 42'	143° 21'	142° 34'
			0,8964	0,8940	0,8918	0,8953
$\alpha$ Balena . . . .	+ 14,68	+ 14,53	263° 22'	262° 59'	128° 38'	128° 0'
			0,8677	0,8648	0,9252	0,9266
Aldebaran . . . .	+ 8,12	+ 7,90	233° 12'	233° 15'	108° 15'	107° 40'
			0,5793	0,5703	0,9680	0,9689
Capra . . . .	+ 5,03	+ 4,72	116° 36'	114° 58'	100° 55'	100° 12'
			0,9098	0,9081	0,9783	0,9790
Rigel . . . .	- 4,78	- 4,57	93° 49'	93° 37'	280° 20'	279° 53'
			1,0274	1,0268	0,9789	0,9794
$\beta$ Toro . . . .	+ 4,03	+ 3,76	140° 57'	138° 17'	98° 41'	98° 5'
			0,3968	0,3846	0,9805	0,9810
$\alpha$ Orione . . . .	+ 1,37	+ 1,13	268° 12'	268° 30'	92° 55'	92° 25'
			0,7504	0,7497	0,9840	0,9841
Sirio . . . .	+ 3,17	+ 3,36	86° 0'	85° 44'	263° 13'	262° 48'
			1,1128	1,1131	0,9820	0,9817
Castore . . . .	- 7,01	- 7,28	33° 20'	31° 35'	74° 29'	73° 51'
			0,6559	0,6623	0,9723	0,9713

NOME DELLE STELLE.	Precessione annua in declinaz. pel		Angolo A' e log. a' pel		Angolo B' e log. b' pel		Angolo C' e log. c'.	
	1800.	1850.	1800.	1850.	1800.	1850.		
Procione....	- 7,58	" 80	276° 54'	276° 54'	73° 6'	72° 34'	70	
			0,8031	0,8062	0,9701	0,9693	9,686	
Polluce....	- 7,92	- 8,17	15 27	13 54	72 15	71 38	68	
			0,5977	0,6064	0,9688	0,9678	9,685	
α Idra.....	+ 15,24	+ 15,39	77 46	77 22	228 59	228 22	223	
			0,9936	0,9952	0,9198	0,9185	9,670	
Regolo .....	- 17,27	- 17,40	304 12	303 30	38 26	37 42	33	
			0,8418	0,8447	0,8973	0,8958	9,664	
β Leone....	- 19,98	- 20,00	306 46	306 2	7 5	6 14	6	
			0,9597	0,9600	0,8577	0,8574	9,653	
β Vergine...	- 19,99	- 20,01	277 16	276 34	6 37	5 44	5	
			0,9052	0,9057	0,8575	0,8572	9,653	
Spica.....	+ 19,01	+ 18,94	63 58	63 14	155 35	154 47	160	
			0,8851	0,8835	0,8734	0,8746	9,658	
Arturo .....	- 17,08	- 16,98	298 36	298 5	320 23	319 46	326	
			1,0954	1,0944	0,8997	0,9010	9,664	
α <sup>2</sup> Libra....	+ 15,38	+ 15,23	48 50	48 8	131 37	130 56	138	
			0,7912	0,7869	0,9185	0,9200	9,670	
α Corona ...	- 12,48	- 12,33	292 42	292 19	300 35	300 7	306	
			1,1767	1,1761	0,9434	0,9444	9,677	
α Serpente..	- 11,91	- 11,74	278 32	278 15	298 45	298 13	304	
			0,9980	0,9966	0,9474	0,9485	9,678	
Antares....	+ 8,70	+ 8,46	358 48	357 28	109 43	109 6	114	
			0,5854	0,5754	0,9654	0,9665	9,686	

NOME DELLE STELLE.	Precessione annua in declinaz. pel		Angolo <i>A'</i> e log. <i>a'</i> pel		Angolo <i>B'</i> e log. <i>b'</i> pel		Angolo <i>C'</i> e log. <i>c'</i> .
	1800.	1850.	1800.	1850.	1800.	1850.	
$\alpha$ Ercole....	- " 4,72	- " 53	275 34	275 19	280 13	279 47	283 °
			1,0942	1,0938	0,9790	0,9794	9,689
$\alpha$ Ophiuco....	- 3,00	- 2,80	273 12	272 59	276 25	275 59	278
			1,0766	1,0763	0,9823	0,9825	9,689
Wega.....	+ 2,63	+ 2,78	264 40	264 22	264 22	264 3	263
			1,2522	1,2523	0,9828	0,9826	9,689
$\gamma$ Aquila....	+ 8,22	+ 8,41	262 23	262 8	251 31	251 2	248
			1,0422	1,0431	0,9676	0,9667	9,684
Al-tair.....	+ 8,56	+ 8,76	263 8	262 53	250 39	250 9	247
			1,0210	1,0221	0,9661	0,9652	9,683
$\beta$ Aquila....	+ 8,91	+ 9,11	264 33	264 21	249 44	249 14	245
			0,9905	0,9916	0,9644	0,9635	9,683
$\alpha^2$ Capricorno	- 10,55	- 10,76	119 39	119 26	65 17	64 41	60
			0,6902	0,6966	0,9558	0,9546	9,681
$\alpha$ Gigno....	+ 12,53	+ 12,65	240 52	240 30	239 14	238 51	234
			1,2609	1,2612	0,9429	0,9421	9,677
$\alpha$ Aquario ..	- 17,18	- 17,30	92 50	92 19	39 3	38 20	33
			0,8953	0,8976	0,8985	0,8971	9,664
Famalhut...	- 19,04	- 19,12	158 3	157 14	24 2	23 9	20
			1,0243	1,0252	0,8729	0,8717	9,657
Markab.....	+ 19,26	+ 19,32	242 26	241 51	201 27	200 40	198
			1,0111	1,0119	0,8696	0,8687	9,656
$\alpha$ Andromeda	+ 20,06	+ 20,07	217 8	216 26	180 39	179 47	181
			1,0763	1,0763	0,8563	0,8563	9,653

## TAVOLE DELLA RIFRAZIONE

PEL CLIMA DI MILANO.

La tavola I, pag. 99, contiene la rifrazione media in minuti e secondi per l'altezza di 28 pollici parigini del barometro, e la temperatura di 10 gradi del termometro di Réaumur o sia per 29<sup>poli</sup>,851 del barometro inglese e gradi 54,5 del termometro di Fahreneit. Da 60° di distanza dallo zenit in giù si è posto a lato della rifrazione il logaritmo della rifrazione stessa ridotta in secondi.

La rifrazione media  $R$  è calcolata sulla formula

$$R = 1624'' \sin \Theta \{ (1,2824065 - 1,4351870 T^2) \Psi + 0,7175935 T \}$$

nella quale  $\Theta$  è la distanza apparente dallo zenit

$$T = 28 \cos \Theta$$

$$\Psi = e^{\int_T^\infty f e^{-u} dt} \text{ preso l'integrale da } t = T \text{ fino a } t = \infty.$$

Nelle distanze dallo zenit non maggiori di 80° si è fatto uso del valore di  $R$  svolto in serie, cioè

$$R = 58'' \tan \Theta \left\{ 1 - 1,7175935 \left( \frac{1}{2T^2} - \frac{a \cdot 3}{4T^4} + \frac{3 \cdot 3 \cdot 5}{8T^6} - \text{ecc.} \right) \right\} \\ - \left( \frac{1 \cdot 3}{4T^4} - \frac{a \cdot 3 \cdot 5}{8T^6} + \frac{3 \cdot 3 \cdot 5 \cdot 7}{16T^8} - \text{ecc.} \right)$$

La rifrazione per l'altezza di 28<sup>poli</sup> +  $x$ <sup>lin</sup> del barometro parigino e 10 +  $y$  gradi del termometro di Réaumur si avrà moltiplicando  $R$  per  $\left( 1 + \frac{x}{28 \times 12} \right) \frac{1}{1 - 0,0047086 \times y}$ .

Sia  $1 + \frac{x}{28 \times 12} = 1 + A$ ;  $\frac{1}{1 - 0,0047086 \times y} = 1 + B$ , la rifrazione cercata risulterà =  $R + R(A + B + AB)$ , ed il suo logaritmo =  $\log R + \log(1 + A) + \log(1 + B)$ .

I valori di  $A$ ,  $\log(1 + A)$ ,  $B$ ,  $\log(1 + B)$  sono dati dalle tavole II e III alla pag. 101.

Nelle vicinanze dell'orizzonte è necessario applicare alla rifrazione così trovata un'altra correzione, la quale si ottiene moltiplicando il numero  $C$  preso nella tavola IV per  $y$ , cioè per grado del termometro sopra 10.

Il numero  $C$  risulta dalla formola

$$- 14'',093 \sin \Theta \{ (1 + 2T^2) \Psi - T \}.$$

Le tavole V, VI, VII danno i valori delle stesse quantità corrispondenti all'altezza del barometro in pollici e decimali di pollice inglese, ed al grado del termometro secondo la scala di Fahreneit. Allorchè si fa uso di questa scala, si dovrà moltiplicare il numero  $C$  dato dalla tavola VII pel grado del termometro meno gradi 54,5.

Esempio 1.<sup>mo</sup> Si cerca la rifrazione orizzontale per 28<sup>polli</sup> o<sup>lin</sup>,9 del barometro in misura di Parigi e 0 gradi del termometro di Réaumur.

Dalla tavola I si ha la rifrazione media  $R = 30' 45'',7$ .

Dalla tavola II  $A = + 0,0027$

Dalla tavola III  $B = + 0,0494$

e quindi  $AB = + 0,0001$

$$A + B + AB = + 0,052a$$

$$R (A + B + AB) = \dots \dots \dots + 96'',3$$

La tavola IV dà  $C = - 12'',40$

Onde  $C(0 - 10) = \dots \dots \dots + 124,9$

$$\text{Somma} = 34.26,9$$

che è la rifrazione cercata.

Esempio 2.<sup>do</sup> Si vuole il logaritmo della rifrazione a 75° 1' 20'' di distanza dal vertice per 30 pollici del barometro inglese e 70 del termometro di Fahreneit.

Tav. I log. rifraz. media = 2,3289

V log. (1 + A) = 0,0028

VI log. (1 + B) = 9,9861

log. rifraz. vera = 2,317a

ai quali logaritmo corrispondono 207'',6 = 3' 27'',6

## TAVOLA I.

*Rifrazioni medie a 28 pollici parigini del barometro  
e + 10° del termometro di Réaumur..*

Dist. app. dal zenit.	Rifra- zione	Dist. app. dal zenit.	Rifra- zione	Diff.	Dist. app. dal zenit.	Rifra- zione.	Diff.	Loga- ritmo.	Diff.
1	3,0	31	34,8	"	60 30	1 42,1	"	2,0088	88
2	2,0	32	36,2	1,4	61 0	1 44,1	2,0	2,0176	90
3	3,0	33	37,6	1,4	61 30	1 46,3	2,2	2,0266	90
4	4,1	34	39,1	1,5	62 0	1 48,5	2,3	2,0356	91
5	5,1	35	40,6	1,5	62 30	1 50,8	2,4	2,0447	92
6	6,1	36	42,1	1,5	63 0	1 53,2	2,5	2,0539	94
7	7,1	37	43,6	1,5	63 30	1 55,7	2,5	2,0633	95
8	8,1	38	45,2	1,6	64 0	1 58,2	2,7	2,0728	96
9	9,2	39	46,9	1,7	64 30	2 0,9	2,7	2,0824	97
10	10,2	40	48,6	1,7	65 0	2 3,6	2,7	2,0921	98
11	11,2	41	50,3	1,7	65 30	2 6,5	2,9	2,1019	101
12	12,3	42	52,1	1,8	66 0	2 9,4	2,9	2,1120	101
13	13,4	43	54,0	1,9	66 30	2 12,5	3,1	2,1221	103
14	14,4	44	55,9	1,9	67 0	2 15,7	3,2	2,1324	105
15	15,5	45	57,9	2,0	67 30	2 19,0	3,3	2,1429	107
16	16,6	46	59,9	2,0	68 0	2 22,4	3,4	2,1536	109
17	17,7	47	62,1	2,2	68 30	2 26,0	3,6	2,1645	110
18	18,8	48	64,3	2,2	69 0	2 29,8	3,8	2,1755	113
19	19,9	49	66,6	2,3	69 30	2 33,7	3,9	2,1868	115
20	21,1	50	68,9	2,5	70 0	2 37,9	4,2	2,1983	117
21	22,2	51	71,4	2,6	70 30	2 42,2	4,3	2,2100	119
22	23,4	52	74,0	2,7	71 0	2 46,7	4,5	2,2219	123
23	24,6	53	76,7	2,9	71 30	2 51,5	4,8	2,2342	124
24	25,8	54	79,6	3,0	72 0	2 56,5	5,0	2,2466	128
25	27,0	55	82,6	3,1	72 30	3 1,7	5,2	2,2594	131
26	28,3	56	85,7	3,3	73 0	3 7,3	5,6	2,2725	134
27	29,5	57	89,0	3,5	73 30	3 13,1	5,8	2,2859	137
28	30,8	58	92,5	3,6	74 0	3 19,4	6,3	2,2996	141
29	32,1	59	96,1	3,6	74 30	3 25,9	6,5	2,3137	145
30	33,4	60	100,0	3,9	75 0	3 32,9	7,0	2,3282	

## TAVOLA I.

Rifrazioni medie a 28 pollici parigini del barometro  
e + 10° del termometro di Réaumur.

Dist. appar. dal zenit.	Rifra- zione.	Diff.	Loga- ritmo.	Diff.	Dist. app. dal zenit.	Rifra- zione.	Diff.	Loga- ritmo.	Diff.
75 0	3 32,9	"	2,3282	102	85 0	9 50,2	"	2,7711	119
75 20	3 38,0	5,1	2,3384	101	85 10	10 6,6	16,4	2,7830	121
75 40	3 43,1	5,3	2,3485	103	85 20	10 23,9	17,3	2,7951	125
76 0	3 48,4	5,6	2,3588	105	85 30	10 42,1	18,2	2,8076	127
76 20	3 54,0	5,9	2,3693	107	85 40	11 1,2	19,1	2,8203	131
76 40	3 59,9	5,9	2,3800	110	85 50	11 21,4	20,2	2,8334	133
		6,1					21,2		133
77 0	4 6,0	6,5	4,3910	112	86 0	11 42,6	22,5	2,8467	137
77 20	4 12,5	6,7	2,4022	115	86 10	12 5,1	23,7	2,8604	140
77 40	4 19,2	7,1	2,4137	117	86 20	12 28,8	25,2	2,8744	143
78 0	4 26,3	7,5	2,4254	120	86 30	12 54,0	26,6	2,8887	147
78 20	4 33,8	7,9	2,4374	123	86 40	13 20,6	28,2	2,9034	151
78 40	4 41,7	7,9	2,4497	127	86 50	13 48,8	29,185		
		8,3					30,0		154
79 0	4 50,0	8,8	2,4624	130	87 0	14 18,8	31,8	2,9339	159
79 20	4 58,8	9,3	2,4754	133	87 10	14 50,6	33,9	2,9497	162
79 40	5 8,1	9,8	2,4887	136	87 20	15 24,5	36,0	2,9659	166
80 0	5 17,9	10,5	2,5023	141	87 30	16 0,5	38,3	2,9825	170
80 20	5 28,4	11,1	2,5164	144	87 40	16 38,8	40,8	2,9995	174
80 40	5 39,5	11,1	2,5308	149	87 50	17 19,6	3,0169		
		11,8					43,5		178
81 0	5 51,3	12,7	2,5457	154	88 0	18 3,1	46,4	3,0347	182
81 20	6 4,0	13,5	2,5611	158	88 10	18 49,5	49,4	3,0529	186
81 40	6 17,5	14,5	2,5769	164	88 20	19 38,9	52,6	3,0715	189
82 0	6 32,0	15,6	2,5933	169	88 30	20 31,5	56,0	3,0904	193
82 20	6 47,6	16,8	2,6102	176	88 40	21 27,5	59,4	3,1097	196
82 40	7 4,4	17,2	2,6278	182	88 50	22 26,9	3,1293		
		18,2					63,0		199
83 0	7 22,6	19,6	2,6460	188	89 0	23 29,9	66,4	3,1492	200
83 20	7 42,2	21,3	2,6648	196	89 10	24 36,3	69,8	3,1692	200
83 40	8 3,5	23,2	2,6844	203	89 20	25 46,1	72,6	3,1892	200
84 0	8 26,7	25,3	2,7047	212	89 30	26 58,7	74,7	3,2092	197
84 20	8 52,0	27,8	2,7259	221	89 40	28 13,4	76,6	3,2289	191
84 40	9 19,8	30,4	2,7480	231	89 50	29 30,0	75,7	3,2480	182
85 0	9 50,2	30,4	2,7711	231	90 0	30 45,7	75,7	3,2662	

TAVOLA II.

Barom. parigino	Numero A	Logarit. (1+A)
26 0	-0,0714	9,9678
26 1	-0,0685	9,9692
26 2	-0,0655	9,9706
26 3	-0,0625	9,9720
26 4	-0,0595	9,9733
26 5	-0,0565	9,9747
26 6	-0,0536	9,9761
26 7	-0,0506	9,9775
26 8	-0,0476	9,9788
26 9	-0,0446	9,9802
26 10	-0,0417	9,9815
26 11	-0,0387	9,9829
27 0	-0,0357	9,9842
27 1	-0,0327	9,9855
27 2	-0,0298	9,9869
27 3	-0,0268	9,9882
27 4	-0,0238	9,9895
27 5	-0,0208	9,9909
27 6	-0,0179	9,9922
27 7	-0,0149	9,9935
27 8	-0,0119	9,9948
27 9	-0,0089	9,9961
27 10	-0,0060	9,9974
27 11	-0,0030	9,9987
28 0	-0,0000	0,0000
28 1	+0,0030	0,0013
28 2	0,0060	0,0026
28 3	0,0089	0,0039
28 4	0,0119	0,0051
28 5	0,0149	0,0064
28 6	0,0179	0,0077

TAVOLA III.

Term. ream.	Numero B	Logarit. (1+B)
-10	+0,1040	0,0429
9	0,0983	0,0407
8	0,0926	0,0385
7	0,0870	0,0362
6	0,0815	0,0340
5	0,0760	0,0318
4	0,0706	0,0296
3	0,0652	0,0274
2	0,0599	0,0253
1	0,0546	0,0231
0	0,0494	0,0209
+1	0,0443	0,0188
2	0,0391	0,0167
3	0,0341	0,0145
4	0,0291	0,0124
5	0,0241	0,0103
6	0,0192	0,0083
7	0,0143	0,0062
8	0,0095	0,0041
9	0,0047	0,0020
10	0,0000	0,0000
11	-0,0047	9,9980
12	-0,0093	9,9959
13	-0,0139	9,9939
14	-0,0185	9,9919
15	-0,0230	9,9899
16	-0,0275	9,9879
17	-0,0319	9,9859
18	-0,0363	9,9839
19	-0,0406	9,9820
20	-0,0450	9,9800
21	-0,0492	9,9781
22	-0,0535	9,9761
23	-0,0577	9,9742
24	-0,0618	9,9723
25	-0,0660	9,9704
30	-0,0861	9,9609

TAVOLA IV.

Dist. ap. dal zenit.	Num. C
80 0	-0,05
81 0	-0,07
82 0	-0,10
83 0	-0,14
84 0	-0,21
85 0	-0,33
86 0	-0,55
86 10	-0,66
86 20	-0,66
86 30	-0,73
86 40	-0,83
86 50	-0,90
87 0	-0,99
87 10	-1,10
87 20	-1,23
87 30	-1,39
87 40	-1,57
87 50	-1,77
88 0	-2,00
88 10	-2,27
88 20	-2,51
88 30	-2,97
88 40	-3,42
88 50	-3,95
89 0	-4,51
89 10	-5,35
89 20	-6,27
89 30	-7,39
89 40	-8,75
89 50	-10,44
90 0	-12,49

TAVOLA V.

Barom. inglese	Numero A	Logarit. (1 + A)
-------------------	-------------	---------------------

poll.		
28,0	- 0,0620	9,9724
28,1	- 0,0587	9,9737
28,2	- 0,0553	9,9753
28,3	- 0,0519	9,9768
28,4	- 0,0486	9,9784
28,5	- 0,0453	9,9799
28,6	- 0,0419	9,9814
28,7	- 0,0386	9,9829
28,8	- 0,0352	9,9844
28,9	- 0,0319	9,9859
29,0	- 0,0285	9,9874
29,1	- 0,0252	9,9889
29,2	- 0,0218	9,9904
29,3	- 0,0185	9,9919
29,4	- 0,0151	9,9934
29,5	- 0,0118	9,9949
29,6	- 0,0084	9,9963
29,7	- 0,0050	9,9978
29,8	- 0,0017	9,9993
29,9	+ 0,0017	0,0007
30,0	0,0050	0,0022
30,1	0,0083	0,0036
30,2	0,0116	0,0050
30,3	0,0150	0,0065
30,4	0,0184	0,0079
30,5	0,0217	0,0093
30,6	0,0251	0,0108

TAVOLA VI.

Term. Fahr.	Numero B	Logarit. (1+B)
----------------	-------------	-------------------

gradi		
10	+ 0,1027	0,0425
12	0,0976	0,0405
14	0,0926	0,0385
16	0,0876	0,0365
18	0,0827	0,0345
20	0,0778	0,0325
22	0,0730	0,0306
24	0,0682	0,0286
26	0,0634	0,0267
28	0,0587	0,0248
30	0,0540	0,0228
32	0,0494	0,0209
34	0,0448	0,0190
36	0,0403	0,0171
38	0,0358	0,0152
40	0,0313	0,0134
42	0,0269	0,0115
44	0,0224	0,0096
36	0,0181	0,0078
48	0,0138	0,0060
50	0,0095	0,0041
52	0,0053	0,0023
54	0,0011	0,0005
56	- 0,0031	9,9986
58	- 0,0073	9,9968
60	- 0,0114	9,9950
62	- 0,0155	9,9932
64	- 0,0195	9,9914
66	- 0,0235	9,9897
68	- 0,0275	9,9879
70	- 0,0314	9,9861
72	- 0,0353	9,9844
74	- 0,0392	9,9826
76	- 0,0430	9,9809
78	- 0,0469	9,9791
80	- 0,0507	9,9774
90	- 0,0691	9,9688

TAVOLA VII.

Dist. ap. dal zenit.	Numero C
----------------------------	-------------

° /	"
80 0	- 0,02
81 0	- 0,03
82 0	- 0,04
83 0	- 0,06
84 0	- 0,09
85 0	- 0,15
86 0	- 0,24
86 10	- 0,27
86 20	- 0,29
86 30	- 0,32
86 40	- 0,36
86 50	- 0,40
87 0	- 0,44
87 10	- 0,49
87 20	- 0,55
87 30	- 0,62
87 40	- 0,70
87 50	- 0,79
88 0	- 0,88
88 10	- 1,01
88 20	- 1,16
88 30	- 1,32
88 40	- 1,52
88 50	- 1,71
89 0	- 2,04
89 10	- 2,38
89 20	- 2,78
89 30	- 3,28
89 40	- 3,89
89 50	- 4,64
90 0	- 5,55

# SERIE DI OCCULTAZIONI DI STELLE FISSE

## DIETRO LA LUNA

PER L' ANNO 1817

## DATA DAGLI ASTRONOMI

DELLE

SCUOLE PIE DI FIRENZE.

Giorni.	NOMI DELLE STELLE da occultarsi,	Grandezza.	Catalogo.	Ascen- sione retta.	Decliná- zione.	Ora del fenome- no.	Luogo dell'immers. o dell'egresso.
Gennaio	1 13a Toro ...	5	P	84° 27'	24° 30' B	17 <sup>h</sup> 31 <sup>m</sup> I 18 19 E	0,3 B 0,3 B
	2 27 è Gemelli.	3	P	98° 10'	25 18	16 20 I 17 0 E	11,5 A 0,0 A
	3 77 * Gemelli.	4	P	113° 20'	24 50	16 43 I 17 32 E	8,7 A 2,2 A
	6 42 Leone min.	6	P	153° 10'	15 54	9 4 I 14 2 I	16,1 A 15,5 A
	6 46 Leone ...	6	P	155° 36'	15 5	14 45 E	7,5 A

Queste occultazioni sono calcolate per il meridiano e per la latitudine di Firenze.

Nella colonna, che ha per titolo Catalogo, colla lettera P s' indica il nuovo Catalogo del signor Piazzi, colla lettera L seguita da un numero uno dei Cataloghi del signor De Lalande e il volume della *Connaissance des Temps* in cui è inserito, e finalmente colla lettera Z il Catalogo delle Stelle zodiacali del Barone di Zach.

Giorni.	NOMI DELLE STELLE da occultarsi.	Grandezza.	Catalogo.	Ascen- sione retta.	Declina- zione.	Ora del fenome- no.	Luogo dell' ingresso o dell' egresso.
Gennaio	7 Leone .....	7.8	P	169° 12'	9° 40' B	13° 56' I 15° 6 E 16° 44 I 18° 3 E 15° 23 I 16° 19 E 18° 12 I 19° 18 E 18° 22 I 19° 15 I 13° 12 I 10° 41 I	11,0 A 5,0 B 14,4 A 3,1 B 7,5 A 5,5 B 12,8 A 0,3 A 7,1 B 4,5 B 4,2 B 0,1 A 9,3 A 7,2 B 12,2 B 15,2 A
	9 .....	8	L.XIII	196° 3	3° 24 A		
	12 45 x Libra ..	5	P	235° 41'	19° 37'		
	12 .....	7	L.x	236° 57'	20° 20'		
	12 .....	6	L.x	236° 45'	20° 26'		
	25 31 Ariete ...	8	Z	36° 40'	11° 39' B	6° 15 I	7,1 B
	26 113 Toro M.	7.8	P	50° 56'	17° 14'	13° 12 I	4,5 B
	27 53 Toro ....	6.7	P	62° 10'	20° 42'	10° 41 I	4,2 B
	27 Toro .. ....	7.8	P	62° 42'	20° 44'	11° 54 I	0,1 A
	27 Toro .. ....	7.8	P	62° 41'	20° 36'	12° 0 I	9,3 A
	27 Toro .. ....	8	P	63° 52'	21° 3'	14° 16 I	7,2 B
	27 Toro .. ....	7.8	P	64° 17'	21° 12'	15° 7 I	12,2 B
	30 52 N Gemelli	6	P	105° 52'	25° 12'	14° 22 I	15,2 A
Febbrajo	6 .....	7.8	L.XIII	203° 3	6° 37 A	10° 26 I 11° 24 E 14° 8 I 14° 16 E 14° 46 I 15° 50 E 15° 38 I 16° 33 E	10,3 A 2,7 B 7,7 B 16,2 B 3,4 A 10,6 B 14,6 A 2,6 A
	6 .....	7.8	L.x	204° 37'	7° 6'		
	8 41 Libra ....	6	P	232° 5	18° 41'		
	6 43 x Libra pr.		P	232° 19'	19° 5'		
	8 .....	7	L.x	232° 20'	19° 10'	15° 52 I 16° 33 E 16° 33 I	16,1 A 7,6 A 2,6 A
	8 43 x Libra seg.	5	P	232° 51'	19° 5'	17° 41 E	10,9 B
	23 .....	6.7	L.VIII	57° 38'	19° 41 B	10° 52 I	6,0 B
	23 Toro 168 ...	8	Z	57° 37'	19° 47'	10° 59 I	11,5 B
	24 .....	7.8	L.VIII	68° 14'	22° 36'	5° 54 I	12,6 B
	24 Toro 266 ...	8	Z	68° 19'	22° 15'	6° 3 I	9,8 A

Giorni.	NOMI DELLE STELLE da occultarsi.	Grandezza.	Catalogo.	Ascen- sione retta.	Declina- zione.	Ora del fenome- no.	Luogo dell'immers. o dell'egresso.
Marzo	4 γ i Vergine..	3	P	188 ° 6'	0 ° 27 A	18 43' I 19 8 E 13 31 I 14 0 E 13 58 I 14 58 E 18 28 I 19 39 E 16 36 I	16,6 A 9,6 A 14,5 A 1,5 A 0,4 A 13,6 B 3,7 A 1,8 B 15,6 A 14,1 A
	7 .....	7	L. x	227 16	17 37		
	7 28 Libra....	6	P	227 38	17 29		
	9 .....	6	L.XIII	258 54	25 45		
	13 Capric. 873 M	7,8	P	315 52	22 56	17 5 E	14,1 A
	26 49 Gemelli...	7	P	105 23	26 3 B	6 50 I	3,7 A
	27 19 λ Cancro .	6	P	122 24	24 35	12 28 I	7,3 B
	29 30 γ Leone..	3,4	P	149 20	17 39	7 36 I	1,9 A
Aprile	5 .....	6,7	L.XIII	252 8	24 42 A	14 39 I 15 55 E 15 58 E 14 48 I 15 58 E 14 53 I 15 58 E 16 17 I 17 17 E 18 6 I	0,1 A 8,9 B 5,2 A 4,3 B 2,1 B 10,6 B 8,2 A 0,4 B 1,6 A 1,6 B
	5 Serpent. 666 M	6	P	252 11	24 48		
	5 26 Serpentario	6	P	252 14	24 42		
	7 Sagittario 942	8	P	283 43	27 33		
	7 Sagittario 95.	7,8	P	284 35	27 24		
	19 51 Toro ....	6,7	P	61 54	21 8 B	8 50 I	1,6 B
	19 56 Toro ....	6,7	P	62 12	21 20	9 33 I	11,1 B
	20 Toro 142 Cail.	6	P	74 14	24 1	8 9 I	5,1 B
	22 39 Gemelli...	6,7	P	101 52	26 19	8 59 I	8,3 B
	22 Gemelli 441.	8	Z	101 55	26 19	9 5 I	9,2 B
	24 .....	7	L.XIII	131 37	22 33	11 49 I	4,8 B
	27 .....	6,7	L.VIII	171 18	8 45	8 19 I	3,5 B
	27 .....	6,7	L.VIII	171 48	8 8	8 47 I	11,4 A

Giorni.	NOMI DELLE STELLE da occultarsi.	Grandezza.	Catalogo.	Ascen- sione retta.	Declina- zione.	Ora del fenome- no.	Luogo dell' immers. o dell' egresso.
							U. S. A.
Maggio	23 Leone 449 M.	7,8	P	154° 46'	15° 16' B	11 21 I	7,0 A
	23 46 i Leone..	6	P	155 36	15 4	12 53 I	3,9 B
	26 46 Vergine..	6	P	192 48	2 23 A	8 38 I	12,4 A
	28 8 a i Libra	6	P	220 9	15 14	9 1 I	16,3 A
	28 9 a 2 Libra.	3	P	220 12	15 17	9 13 I	16,0 A
Giugno	22 .....	6	L.VIII	189 50	1 0	11 19 I	4,0 A
	23 81 Vergine ..	6	P	202 0	6 56	9 42 I	0,6 A
	23 82 M Vergine	5,6	P	203 1	7 47	12 16 I	12,5 A
	25 Libra 606 M.	6,7	P	230 32	19 2	11 48 I	3,3 B
	27 Serpentario .	6,7	P	260 6	26 7	8 35 I	0,1 A
Luglio	8 .....	7	L.IX	43 38	15 9 B	13 41 I	14,5 B
	10 94 τ Toro..	5	P	67 49	22 36	13 45 I	16,4 B
	10 .....	7	L.VIII	68 14	22 36	14 4 I	12,6 B
	10 Toro 266....	8	Z	68 22	22 15	14 12 I	9,8 A
	17 .....	7	L.VIII	160 23	12 33	9 8 I	12,0 A
	20 .....	6,7	L.XII	198 16	5 14 A	8 41 I	6,5 B
	20 .....	6,7	L.XII	198 16	5 14	8 46 I	7,9 B
Agosto	3 .....	7,8	L.XI	28 55	9 12 B	14 15 I	14,4 B
	4 ξ Ariete.....	6	P	40 22	14 20	15 13	2,4 B
	6 56 Toro ...	6,7	P	62 12	21 20	15 29 I	13,1 B
	6 65 κ i Toro .	5	P	63 42	21 52	16 12 E	10,6 B
	6 67 κ 2 Toro .	6,7	P	63 43	21 46	11 4 I	14,7 B
	9 49 Gemelli..	7	P	105 23	26 3	11 23 E	10,2 B
	23 58 ω Sagittario	5,6	P	296 9	26 46 A	13 45 I	14,5 B
	23 .....	6	L.XII	296 9	26 29	14 28 E	9,5 B
	23 60 α Sagittario	5,6	P	296 57	26 41	13 34 I	12,4 B
						14 27 E	1,4 B

Giorni.	NOMI DELLE STELLE da occultarsi.	Grandezza.	Catalogo.	Ascen- sione retta.	Declina- zione.	Ora del fenome- no.	Luogo dell'immere- o dell'egresso.
Settembre	3 Toro 147 Cail	7	P	71° 41'	23° 37' B	12 54 I 13 39 E	5,9 A 12,9 A
	4 139 Toro ...	5.6	P	86 40	25 55	16 38 I 17 27 E	8,8 A 13,3 B
	21 Capric. 898 M.	6	P	323 15	20 27 A	13 51 I	5,8 B
	23 .....	6	L VII	346 17	11 41	9 21 I 8 47 I 9 41 E	12,4 B 4,0 B 8,0 A
	29 14 Toro.....	7	P	53 19	19 1 B		
	4 .....	7	L.IX	122 3	24 46	13 37 I 14 33 E	3,2 A 1,2 A
	4 19 λ Cancro ..	6	P	122 25	24 35	16 32 I 17 6 E	12,3 A 11,3 A
	4 28 θ 2. Cancro	7	P	124 26	24 44	18 43 I 19 12 E	3,4 A 2,8 A
	5 .....	7	L.XIII	135 47	22 2	13 54 I 14 6 E	14,2 B 15,2 B
	6 Leone 438 M.	6	P	151 9.	17 3	16 39 I 17 19 E	3,2 A 1,7 B
Ottobre	14 .....	6	L.XIII	255 59	26 19 A	6 45 I	1,3 A
	14 36 A Ohiuco ..	4.5	P	256 2	26 19	6 51 I 7 53 E	0,9 A 1,1 B
	14 .....	7-8	L.XIII	256 12	26 16	7 11 I	2,6 B
	14 30 Scorpione ..	6	P	256 16	26 16	7 18 I	3,3 B
	14 .....	8	L. XIV	256 31	26 25	7 48 I	4,7 A
	14 31 Scorpione ..	6.7	P	256 35	26 25	7 53 I	4,8 A
	21 Aquario 983 M.	6.7	P	354 47	7 23	10 25 I	15,0 B
	22 Pesci 14 M ..	6.7	P	6 33	1 30	12 11 I	7,0 B
	27 69 v 1 Toro ..	5	P	63 51	22 22 B	13 28 I 14 36 E	4,5 A 12,5 A
	27 72 o 2 Toro ..	6	P	64 6	22 34	14 42 I 15 55 E	2,4 A 9,9 A
Novembre	29 130 Toro ...	5.6	P	86 40	25 55	7 8 I 8 22 E	2,8 A 7,8 A
	29 Gemelli .....	8	P	88 59	26 41	11 25 I 12 9 E	13,0 B 8,0 B
	31 2 o 1 Cancro ..	6	P	117 28	25 54	13 42 I 14 22 E	11,9 B 12,9 B
	31 4 o 2 Cancro ..	6.7	P	117 40	25 33	14 2 I 15 0 E	8,6 A 7,6 A

Giorni.	NOMI DELLE STELLE da occultarsi.	Grandezza.	Catalogo.	Ascen- sione retta.	Declina- zione.	Ora del fenome- no.	Luogo dell'immersio- n o dell'egresso.
Novembre	3.....	6.7	L. VII	159° 10'	13° 43' B	17° 26' I 18° 18' E	14,4 A 3,4 A
	5.....	7.8	L. X	184° 57'	1° 26'	17° 14' I 18° 34' E	12,6 A 2,4 B
	6.....	8	L. XIII	197° 13'	4° 49' A	15° 32' I 16° 14' E	13,0 A 0,5 B
	6.....	6.7	L.XIII	198° 16'	5° 15'	17° 18' I 18° 4' E	6,0 A 7,0 B
	6.....	6.7	L.XIII	198° 16'	5° 14'	17° 18' I 18° 4' E	6,2 A 7,4 B
	15 Aquario 9 11 M	7.8	P	328° 2'	18° 46'	10° 51' I	15,3 B
	16 69 τ1 Aquario ..	5.6	P	339° 30'	15° 1'	7° 48' I	5,8 A
	16 71 τ2 Aquario ..	5.6	P	339° 59'	14° 33'	9° 15' I	3,1 B
	27 76 L Gemelli ..	6	P	113° 14'	26° 12' B	12° 10' I 13° 23' E	1,3 A 1,3 A
	30 46 i Leone ..	6	P	155° 37'	15° 4'	18° 46' I 19° 54' E	7,0 A 9,0 B
Dicembre	3 44χ Vergine ..	6	P	192° 34'	2° 49' A	17° 40' I 18° 26' E	16,0 A 4,5 A
	17 98 μ Pesci ..	5	P	20° 10'	5° 12' B	5° 16' I 6° 29' E	6,7 B 11,3 A
	21 Toro 140 Cail. ..	7	P	68° 3'	23° 44'	9° 58' I 10° 59' I	10,1 B 0,1 A
	27 30 η Leone ..	3.4	P	149° 21'	17° 39'	12° 4' E 13° 29' I	8,4 B 13,7 A
	29.....	6.7	L.XIII	174° 57'	6° 12'	14° 28' E 13° 53' I	0,3 B 2,3 B
	30.....	6.7	L.XIII	187° 25'	0° 9'	14° 35' E 13° 55' I	4,9 B 3,5 A
	30.....	6.7	L. X	187° 25'	0° 2'	14° 48' E 15° 41' I	5,5 A 1,3 A
	30.....	8	L.XIII	188° 6'	0° 24' A	16° 35' E 15° 47' I	12,2 B 2,7 A
	30 29 γ1 Vergine ..	3	P	188° 7'	0° 28'	16° 43' E	10,8 B

# **APPENDICE**

## **ALL' E F F E M E R I D I**

**DELL' ANNO MDCCCXVII.**



---

## DECLINAZIONI DI QUARANTA STELLE

OSSERVATE

COL CIRCOLO MOLTIPLICATORE DI TRE PIEDI IN DIAMETRO

DA

BARNABA ORIANI.

---

NEI decorso dell'anno 1811 si osservarono più volte le distanze dallo zenit di alcune fra le principali stelle, e le osservazioni, prima d'essere ridotte e calcolate, furono pubblicate nelle nostre effemeridi degli anni 1812 e 1813. Le stelle circompolari e segnatamente la Polare, δ Cassiopea ed ε Orsa maggiore ci hanno servito a determinare la latitudine della Specola, ed atteso il gran numero delle osservazioni abbiamo asserito che non vi sia ora in questo elemento un errore maggiore di mezzo secondo. La tavola di rifrazione del signor Carlini è stata pure verificata colle medesime stelle, ed in particolare colle osservazioni della Capra o sia α del Cocchiere.

Di trenta stelle circompolari si è già data nelle nostre effemeridi per l'anno 1815 la declinazione media ridotta al principio dell'anno 1811; ora ci proponiamo di stabilire sulle osservate distanze dallo zenit la declinazione

media per la stessa epoca di quaranta altre stelle non circompolari. Venti di queste si trovano nel rinomato catalogo di trentasei stelle del fu dottore Maskelyne, e sono tutte di prima o seconda grandezza.

Nella riduzione delle osservazioni ho preso gli elementi del calcolo, cioè l'ascensione retta, la precessione annua ed il movimento proprio tanto in ascensione retta, quanto in declinazione, dal grande catalogo del chiarissimo professore Piazzi ristampato a Palermo nell'anno 1814; l'aberrazione della luce e la nutazione lunare e solare per le prime venti stelle dalle nostre effemeridi per l'anno 1816, pagina 90 e seguenti, e per le ultime venti dall'opera del celebre signor barone di Zach, stampata a Marsiglia nell'anno 1812, che ha per titolo: *Nouvelles tables d'aberration et de nutation, etc.* Si è però omessa la nutazione solare in ascensione retta, la quale in nessuna delle quaranta stelle non arriva mai a  $0^{\circ},1$  di tempo, ed è per conseguenza insensibile nell'uso che si fa dell'ascensione retta per la riduzione delle osservate distanze dallo zenith alle distanze meridiane. A questi elementi ho aggiunto il logaritmo di  $F$  o sia di  $\frac{\cos D \cos L}{\sin(L \mp D)}$ , significando con  $D$  la declinazione della stella, e con  $L$  la latitudine  $45^{\circ} 28' 0'',7$  della Specola. Moltiplicando  $F$  in  $M = 2 \frac{(\sin + \text{ang.orario})^2}{\sin 1''}$ , di cui si ha una tavola nell'appendice alle nostre effemeridi del 1812, si ottiene la riduzione  $= -FM$  della distanza osservata alla distanza meridiana. Per le stelle  $\alpha$  Lira,  $\alpha$ ,  $\delta$ ,  $\omega$ ,  $\gamma$ ,  $\nu$ ,  $\xi$ ,  $\sigma$  Cigno,  $\lambda$  Andromeda, che passano molto vicino allo zenith, non si ha bisogno della quantità  $F$ , né dell'ascensione retta, poichè si osservò sempre la loro doppia distanza dallo zenith quando culminavano o sia quando erano nel meridiano.

NOME DELLE STELLE.	Asc. retta media al principio del 1811.	Precess. annua e moto proprio.	Angoli e Logarit. costanti in Ascens. retta				Log. F.	
			Aberrazione		Nutazione			
			Ang.	Log.	Ang.	Log.		
Aldebaran....	66° 16' 16"	51,"	201° 57'	1,3183	183° 29'	1,2667	0,1382	
Rigel.....	76 20 51	43,1	192 33	1,3093	178 45	1,1903	0,9338	
δ Toro.....	78 35 15	56,7	190 30	1,3610	182 54	1,3092	0,3234	
α Orione....	86 14 7	48,6	183 27	1,3100	180 17	1,2416	0,0520	
Sirio .....	99 12 16	39,7	171 34	1,3238	181 48	1,1601	0,8821	
Procione.....	112 21 1	47,2	159 20	1,3037	178 48	1,2351	0,03-8	
Regolo.....	149 34 23	48,1	122 38	1,2904	173 45	1,2425	0,1037	
Spica.....	198 48 44	47,1	69 38	1,2801	185 31	1,2314	0,9223	
Arturo.....	211 45 37	41,0	55 59	1,3076	168 45	1,1890	0,1877	
α Corona....	231 40 13	37,8	35 57	1,3444	167 12	1,1454	0,3019	
α Serpente...	233 44 26	43,9	33 56	1,2974	177 27	1,1990	0,0491	
Antares.....	244 27 35	54,8	23 40	1,3464	185 53	1,2968	0,8227	
α Ercole....	256 30 26	40,8	12 25	1,3189	177 43	1,1685	0,1217	
α Ofiuco.....	261 32 27	41,7	7 48	1,3166	178 46	1,1745	0,1019	
α Aquila.....	295 23 23	43,9	336 28	1,3048	182 14	1,1932	0,0609	
α 2 Capricorno	301 53 23	50,1	330 17	1,3082	176 13	1,2554	0,9033	
Fomalhaut....	341 47 43	50,1	289 49	1,3363	163 5	1,2706	0,7936	
α Pegaso.....	343 50 16	44,6	287 32	1,2857	188 18	1,2097	0,1172	
γ Orione.....	78 44 56	48,0	190 28	1,3077	180 41	1,2381	0,0417	
δ Orione.....	80 35 17	45,8	188 43	1,3056	179 57	1,2170	0,9896	
ε Orione....	81 39 22	45,4	187 47	1,3059	179 53	1,2141	0,9831	
α Colomba...	83 12 3	32,3	186 20	1,3884	176 9	1,0692	0,7707	
δ Scorpione..	237 17 41	52,7	30 41	1,3291	186 23	1,2811	0,8471	
δ Scorpione..	238 37 10	52,0	29 22	1,3218	185 22	1,2733	0,8645	
δ Ofiuco.....	241 6 43	46,9	26 59	1,2989	180 53	1,2277	0,9697	
ζ Ofiuco.....	246 41 27	49,5	21 42	1,3079	182 13	1,2488	0,9223	
ε Scorpione .	249 29 10	58,0	19 7	1,3829	186 12	1,3261	0,7723	
κ Ofiuco.....	252 10 54	42,5	16 34	1,3090	178 1	1,1895	0,0727	
η Ofiuco.....	254 53 14	51,4	14 34	1,3202	182 11	1,2666	0,8883	
σ Ofiuco.....	259 17 6	44,5	9 51	1,3066	179 31	1,2045	0,0264	
δ Delfino....	306 2 51	42,9	326 24	1,3019	183 56	1,1900	0,0820	

NOME DELLE STELLE.	Precess. annua e moto proprio in decl.	Angoli e Logaritmi costanti in declinazione							
		Aberrazione		Nutazione $\Delta$		Nutaz. $\odot$			
		Ang.	Log.	Ang.	Log.	Ang.	Log.		
Aldebaran....	+ 7,88	233° 12'	0,5773	108° 7'	0,9682	112°	9,684		
Rigel.....	- 4,72	93 47	1,0278	280 14	0,9790	283	9,688		
$\delta$ Toro.....	+ 3,79	140 22	0,3941	98 33	0,9806	101	9,689		
$\alpha$ Orione....	+ 1,37	268 16	0,7503	92 49	0,9840	94	9,690		
Sirio.....	+ 4,34	85 56	1,1128	263 8	0,9820	262	9,690		
Procione....	- 8,59	276 54	0,8038	73 1	0,9699	70	9,686		
Regolo.....	-17,30	304 3	0,8424	38 16	0,9770	33	9,664		
Spica.....	+19,03	63 48	0,8847	155 24	0,8737	160	9,658		
Arturo.....	-19,03	298 30	1,0950	320 15	0,9000	326	9,664		
$\alpha$ Corona....	-12,56	292 37	1,1766	300 29	0,9436	306	9,677		
$\alpha$ Serpente...	-11,83	278 28	0,9077	298 38	0,9476	304	9,678		
Antares.....	+ 8,76	358 30	0,5832	109 35	0,9656	114	9,686		
$\alpha$ Ercole....	- 4,57	275 31	1,0941	280 8	0,9791	283	9,689		
$\alpha$ Ofiuco....	- 3,15	273 9	1,0766	276 19	0,9823	278	9,689		
$\alpha$ Lira.....	+ 2,91	264 36	1,2522	264 18	0,9828	263	9,689		
$\alpha$ Aquila....	+ 8,97	263 5	1,0212	250 32	0,9659	247	9,683		
$\alpha\alpha$ Capricorno	-10,83	119 36	0,6016	65 9	0,9555	60	9,681		
$\alpha$ Cigno.....	+12,54	240 47	1,2609	239 9	0,9427	234	9,677		
Fomalhaut....	-18,79	157 52	1,0245	23 51	0,8726	20	9,657		
$\alpha$ Pegaso....	+19,19	242 18	1,0113	201 22	0,8696	198	9,656		
$\gamma$ Orione....	+ 3,93	265 58	0,7841	98 32	0,9806	100	9,689		
$\delta$ Orione....	- 3,38	90 11	0,9143	277 8	0,9817	279	9,689		
$\epsilon$ Orione....	- 2,90	90 28	0,9289	276 20	0,9823	278	9,689		
$\alpha$ Colomba ..	- 2,31	94 36	1,2324	275 9	0,9830	276	9,690		
$\delta$ Scorpione..	+10,99	21 41	0,6471	115 37	0,9539	121	9,690		
$\delta$ Scorpione..	+10,60	34 36	0,6269	114 33	0,9559	119	9,681		
$\delta$ Ofiuco....	+ 9,82	85 9	0,8577	112 27	0,9604	117	9,682		
$\zeta$ Ofiuco....	+ 7,89	73 53	0,7103	107 54	0,9686	112	9,685		
$\epsilon$ Scorpione..	+ 7,27	323 1	0,6971	105 43	0,9721	109	9,686		
$\kappa$ Ofiuco....	- 6,10	275 34	1,0374	283 44	0,9759	286	9,687		
$\eta$ Ofiuco....	+ 5,20	64 32	0,5201	101 29	0,9776	104	9,688		
$\sigma$ Ofiuco....	- 3,68	271 43	0,9741	278 1	0,9811	280	9,689		
$\delta$ Cigno.....	+ 8,49	251 34	1,2679	251 19	0,9708	247	9,684		
$\circ\alpha$ Cigno....	+10,76	245 37	1,2695	245 20	0,9543	240	9,680		
$\gamma$ Cigno.....	+11,18	246 0	1,2430	243 32	0,9538	238	9,678		
$\epsilon$ Delfino....	+11,77	258 49	1,0389	241 40	0,9483	236	9,678		
$\nu$ Cigno.....	+13,69	239 39	1,2408	235 44	0,9325	230	9,674		
$\xi$ Cigno.....	+14,03	233 56	1,2810	234 1	0,9289	228	9,673		
$\sigma$ Cigno.....	+14,77	236 33	1,2253	231 2	0,9242	225	9,671		
$\lambda$ Andromeda	+19,45	207 30	1,2109	190 47	0,8627	189	9,654		

Dai due seguenti esempi si vedrà l'uso dei riportati elementi nella riduzione delle osservazioni. Nel giorno 28 marzo 1811 alla mattina, sei ore prima di mezzodì, si è osservata la doppia distanza dallo zenit (\*) di  $\alpha$  Lira in gradi decimali  $15^{\circ} 22.792$  o sia in gradi sessualiimali  $13^{\circ} 42' 18'',46$ . La distanza semplice è  $6^{\circ} 51' 9'',23$ ; aggiungendo la competente rifrazione (\*\*) pel barometro  $28^{\text{pol.}} 0',9$  del piede francese e pel termometro di Fahrenheit 36 gradi, che è  $7'',25$ , si ha  $6^{\circ} 51' 16'',48$ ; e questa sottratta dalla latitudine  $45^{\circ} 28' 0'',7$  ci dà la declinazione apparente della stella  $38^{\circ} 36' 44'',22$ . Per ridurla alla declinazione media nel principio dell'anno 1811 si calcolerà in primo luogo la variazione proveniente dalla precessione annua unita al movimento proprio in declinazione. Dal principio del 1811 all'istante dell'osservazione vi sono giorni  $86\frac{3}{4}$ , onde essendo per  $\alpha$  Lira la detta variazione annua  $+ 2'',91$ , sarà la cercata variazione  $\frac{86,75}{375,25} \times 2'',91 = 0'',69$ . La longitudine del Sole per lo stesso istante è  $S = 6^{\circ} 39'$ , e la longitudine del nodo della Luna  $N = 175^{\circ} 57'$ , si avrà quindi l'argomento dell'aberrazione attuale della luce  $6^{\circ} 39' + 264^{\circ} 36' = 271^{\circ} 15'$ ; il logaritmo  $1,2522 + \log. \sin 271^{\circ} 15' = 1,2521$  negativo darà la corrispondente aberrazione  $- 17'',87$ . Similmente l'argomento della nutazione lunare sarà  $175^{\circ} 57' + 264^{\circ} 18' = 80^{\circ} 15'$ , quindi il logaritmo  $0,9828 + \log. \sin 80^{\circ} 15' = 0,9765$  darà la nutazione  $+ 9'',47$ . Finalmente aggiungendo la doppia longitudine del Sole  $= 13^{\circ}$  a  $263^{\circ}$ , si avrà l'argomento della

(\*) Effemeridi astronomiche di Milano per l'anno 1812. Appendice, pag. 66.

(\*\*) La tavola della rifrazione da noi usata si trova nelle nostre effemeridi dell'anno 1808, pag. 57, ed in quelle dell'anno 1816, pag. 97 e seguenti.

nutaz. solare =  $276^\circ$ , quindi il logaritmo  $9,689 + \log. \sin 276^\circ$  =  $9,687$  negativo ci dà la stessa nutazione =  $-0'',49$ . La somma delle quattro quantità ora trovate  $-8'',20$ , presa con segno contrario o sia sottratta dall'osservata declinazione  $38^\circ 36' 44'',22$ , ci darà la declinazione media di  $\alpha$  Lira ridotta al principio dell'anno 1811, cioè  $38^\circ 36' 52'',42$ .

Prendiamo per secondo esempio l'osservazione di Sirio del giorno 9 giugno 1811 a un'ora e mezzo della sera (\*). Bisogna calcolare in primo luogo l'ascensione retta apparente della stella. Essendo trascorsi dal principio dell'anno fino all'istante dell'osservazione giorni 160,06, la precessione unita al moto proprio in ascensione retta sarà  $\frac{160,06}{365,25} \times 39'',7 = 17'',4$ . La longitudine del Sole era al medesimo istante  $S = 77^\circ 33'$ , e la longitudine del nodo della Luna  $N = 172^\circ 4'$ . Sarà quindi l'argomento dell'aberrazione in ascensione retta  $= 77^\circ 33' + 171^\circ 34' = 249^\circ 7'$ , ed il logaritmo  $1,3238 + \log. \sin 249^\circ 7' = 1,2943$  negativo darà la corrispondente aberrazione  $-19'',69$ . L'argomento della nutazione sarà  $= 172^\circ 4' + 181^\circ 48' = 353^\circ 52'$ ; il logaritmo  $1,1601 + \log. \sin 353^\circ 52' = 0,1888$  negativo dà la nutazione  $-1'',54$ . Avremo dunque

Ascensione retta media al principio del 1811 . . . . .	$99^\circ 12' 15'',7$
Precessione e moto proprio. . . . .	$+ 17,4$
Aberrazione . . . . .	$- 19,7$
Nutazione . . . . .	$- 1,5$
Ascensione retta apparente di Sirio . . . . .	$99^\circ 12' 11,9$
Ascensione retta in tempo . . . . .	$6^\text{h} 36' 48'',8$

(\*) Efemeridi di Milano dell'anno 1812, pag. 87. Nell'appendice alle efemeridi dell'anno 1813, pag. 4 si deve correggere l'arco osservato di Sirio ponendo  $2758,1474$  in vece di  $2758,1274$ , e l'arco osservato del Sole ponendo  $1008,0198$  in vece di  $1008,0398$ .

Il restante del calcolo si potrà disporre nella seguente maniera consultando le pagine 18, 87 e 96 delle nostre effemeridi per l'anno 1812.

	Angolo orario in tempo.	<i>M</i>
Ascensione retta . . . . = 6° 36' 48",8		
Ritardo dell'orologio . = — 5 47,7		
Passaggio al meridiano = 6 31 1		
Istanti delle osservazioni {	6 29 29 30 35 31 32 32. 44	1' 32" 0 26 0 31 1 43
		4",6 0 ,4 0 ,5 5 ,8
		11 ,3
Arco quadruplo decimale osservato . . . . .	275°,1482	
Arco quadruplo sessagesimale . . . . .	247° 38' 0",2	
Log. <i>F</i> + Log. <i>M</i> = 0,9351. . . . . — <i>FM</i> = —		8 ,6
Arco ridotto al meridiano . . . . .	247 37 51 ,6	
Distanza apparente dallo zenith. . . . .	61 54 27 ,90	
Rifrazione . . . . .	1 39 ,29	
Distanza meridiana dallo zenith. . . . .	61 56 7 ,19	
Latitudine . . . . .	45 28 0 ,7	
Declinazione apparente di Sirio . . . . .	16 28 6 ,49	
Variazione in declinazione . . . . . —		15 ,27
Declinazione media nel 1811. . . . .	16 27 51 ,22	

#### *Calcolo della rifrazione.*

Logaritmo rifrazione media. . = 2,0339

Barometro 27<sup>pol.</sup> 10<sup>1,8</sup> . . . . = 9,9958

Termometro Fahrenheit 92 . . = 9,9672

Logaritmo 99",29 . . . . . = 2,9969

*App. Eff. 1817.*

*Calcolo della variazione in declinazione.*

$$\text{Precessione e moto proprio in declin. } \frac{160,06}{365,25} \times 4'',35 = 1'',91$$

	<i>Aberrazione.</i>	<i>Nutaz. lunare.</i>	<i>Nutaz. solare.</i>
	$S = 77^\circ 33'$	$N = 172^\circ 4'$	$2S = 155^\circ$
<b>Angolo costante</b>	<b>85 56 . . . . .</b>	<b>263 8 . . . . .</b>	<b>262</b>
<b>Argomento . . . . .</b>	<b>163 29 . . . . .</b>	<b>75 12 . . . . .</b>	<b>57</b>
<b>Log. sin Argom.</b>	<b>9,4538 . . . . .</b>	<b>9,9853 . . . . .</b>	<b>9,924</b>
<b>Logarit. costante</b>	<b>1,1128 . . . . .</b>	<b>0,9820 . . . . .</b>	<b>0,690</b>
	<b>0,5666 . . . . .</b>	<b>0,9673 . . . . .</b>	<b>9,614</b>
<b>Aberr.</b>	<b>= 3'',68</b>	<b>Nut.lun.= 9'',27</b>	<b>Nut.sol.= 0'',41</b>

La somma della precessione e del moto proprio in declinazione, dell' aberrazione, della nutazione lunare e solare forma la variazione totale  $\pm 15'',27$ , la quale sottratta dall' osservata declinazione  $16^\circ 28' 6'',49$  ci dà la declinazione media di Sirio ridotta al principio dell' anno 1811, cioè  $16^\circ 27' 51'',22$ . In egual modo furono calcolate per ciascuna osservazione le riduzioni e le declinazioni medie seguenti, avvertendo che la riduzione *FM* si deve sempre sottrarre dall' arco osservato, che la rifrazione si aggiunge alla semplice osservata distanza dallo zenith, e finalmente che la variazione si applica con segno contrario alla declinazione apparente, o sia da essa si sottrae.

***α* Toro : Aldebaran.**

Giorni di osservazione.	Riduz. al merid. <i>FM.</i>	Rifraz.	Variaz. in declinaz.	Declin. media al principio del 1811.
1811 Aprile . 3	o' 33",1	o' 31",24	- 10",16	16° 7' 7",87B
Maggio 2	o 49,5	30,70	- 10,34	11,14
Luglio . 2	1 42,0	30,95	- 7,33	9,95
8	o 35,5	30,29	- 6,81	9,87
9	o 16,1	30,98	- 6,71	7,71
15	o 18,8	30,68	- 6,14	8,76
21	o 20,3	30,35	- 5,57	8,82
22	o 17,9	30,32	- 5,47	10,73
24	o 55,0	30,37	- 5,28	6,89
			Medio.	16 7 9,08

***β* Orione : Rigel.**

1811 Luglio 27	o' 54",4	1' 13",47	+ 0",49	8° 25' 42",33A
28	1 25,5	1 13,71	+ 0,32	44,09
Agosto 3	1 48,1	1 14,84	- 0,65	44,40
11	o 55,4	1 15,28	- 1,84	44,57
13	o 10,1	1 16,74	- 2,12	44,18
30	o 29,4	1 15,53	- 4,00	46,13
Settem. 9	1 18,0	1 17,37	- 4,68	41,33
28	o 32,2	1 17,32	- 5,00	41,25
			Medio.	8 25 43,54

***β* Toro.**

1811 Luglio . 9	o' 16",4	o' 16",88	- 10",22	28° 26' 7",34B
15	o 16,0	16,61	- 10,17	9,66
			Medio.	28 26 8,50

$\alpha$  Orione.

Giorni di osservazione.	Riduz. al merid. <i>FM.</i>	Rifraz.	Variaz. in declinaz.	Declin. media al principio del 1811.
1811 Luglio 28	0' 23",3	0' 42",20	- 5",88	7° 21' 41",81B
Agosto 3	0 21,1	42,85	- 5,31	41,86
13	1 36,3	43,93	- 4,41	42,16
30	2 38,9	43,24	- 3,19	41,35
Settem. 26	0 42,7	44,29	- 2,36	41,82
28	0 10,8	44,28	- 2,35	42,17
			Medio.	7 21 41,86

 $\alpha$  Cane maggiore : Sirio.

Giugno 7	2' 20",3	1' 40",49	+15",62	16° 27' 51",13A
8	0 33,1	1 39,36	+15,43	50,18
9	0 8,6	1 39,29	+15,27	51,22
27	0 43,4	1 42,45	+11,65	48,72+
Luglio. 4	0 29,7	1 41,19	+10,21	52,25
26	0 17,8	1 40,93	+ 5,73	52,55
Agosto. 3	2 20,2	1 41,33	+ 4,23	52,20
Settem. 27	1 20,9	1 45,34	- 1,27	51,56
			Medio.	16 27 51,58

 $\alpha$  Cane minore : Procione.

Agosto. 3	0' 13",9	0' 45",20	- 8",90	5° 42' 1",25B
Settem. 27	0 35,1	46,77	- 7,63	1,84
Ottobre 8	0 10,7	47,16	- 8,16	3,70
9	1 4,8	47,37	- 8,22	1,60
10	0 6,5	47,13	- 8,27	0,84
			Medio.	5 42 1,85

**$\alpha$  Leone : Regolo.**

Giorni di osservazione.	Riduz. al merid. <i>FM.</i>	Rifraz.	Variaz. in declinaz.	Declin. media al principio del 1811.
1811 Settem. 30	0° 48',6	0' 36",21	- 10",55	12° 53' 9",59B
Ottobre 1	2 3,5	36,03	- 10,65	13,00
10	0 23,3	35,62	- 11,71	15,04
17	0 57,3	36,05	- 12,64	12,87
19	2 18,6	36,43	- 12,91	10,87
21	1 19,6	36,34	- 13,20	10,16
Novem. 19	1 23,4	38,34	- 17,95	11,78
			Medio.	12 53 11,88

**$\alpha$  Vergine : Spica.**

1810 Dicem. 13	0' 36",5	1' 26",98	- 8",63	10° 10' 15",17A
14	0 20,2	1 26,62	- 8,44	12,96
17	0 26,4	1 26,00	- 7,93	17,65
18	0 25,5	1 27,10	- 7,74	13,26
22	0 45,7	1 26,64	- 7,02	14,46
23	0 57,6	1 27,02	- 6,84	13,49
27	0 47,7	1 25,82	- 5,88	13,72
1811 Giugno 18	1 45,9	1 18,76	+ 8,33	13,10
Luglio. 9	0 35,6	1 19,27	+ 7,11	14,16
11	1 29,1	1 19,29	+ 6,98	13,24
12	2 7,1	1 18,80	+ 6,92	12,88
14	1 42,9	1 18,58	+ 6,79	12,53
15	0 44,1	1 17,97	+ 6,71	12,18
16	1 55,1	1 18,18	+ 6,65	13,08
17	1 38,3	1 18,25	+ 6,58	12,75
18	1 36,0	1 17,86	+ 6,51	11,70
20	0 44,2	1 17,98	+ 6,37	11,61
29	1 59,8	1 18,58	+ 5,74	13,05

$\alpha$  Vergine : Spica.

Giorni di osservazione.	Riduz. al merid. <i>FM.</i>	Rifraz.	Variaz. in declinaz.	Declin. media al principio del 1811.
1811 Agosto 15	0' 26',3	1' 19",75	+ 4",56	10° 10' 16",11A
18	1 15,0	1 18,76	+ 4,37	11,79
Novem. 27	0 59,8	1 26,78	+ 5,81	11,94
28	0 31,5	1 26,90	+ 5,93	12,89
Dicemb. 7	0 1,2	1 27,62	+ 7,28	14,04
9	0 21,5	1 28,52	+ 7,60	13,32
Medio.				10 10 13,38

 $\alpha$  Boote : Arturo.

1810 Dicem. 13	3' 40",8	0' 28",18	+ 2",13	20° 10' 16",48B
14	0 18,8	28,06	+ 1,87	15,49
17	0 51,2	27,66	+ 1,07	17,25
18	0 46,8	28,19	+ 1,81	19,35
22	0 26,8	28,07	- 0,20	18,21
23	3 10,6	28,15	- 0,46	17,89
27	2 35,2	27,83	- 1,45	12,62
1811 Giugno 18	0 18,2	25,64	+ 2,68	17,83
Luglio 11	3 0,4	25,68	+ 5,10	18,58
12	0 21,4	25,57	+ 5,15	19,03
14	0 11,1	25,40	+ 5,31	17,99
15	0 13,9	25,45	+ 5,38	19,54
20	0 16,6	25,26	+ 5,69	18,15
25	0 52,4	25,42	+ 5,80	22,88
Medio.				20 10 17,95

*α Corona: Gemma.*

Giorni di osservazione.	Riduz. al merid. <i>FM.</i>	Rifraz.	Variaz. in declinaz.	Declin. media al principio del 1811.
1811 Luglio 11	o' 23",6	o' 17",89	+ 11",64	27° 21' 29",65B
12	o 47,5	17,78	11,75	29,32
20	o 29,1	17,74	12,76	28,78
21	o 25,3	17,55	12,87	28,83
22	o 19,6	17,56	12,99	28,05
24	o 35,3	17,65	13,19	29,48
25	i 9,1	17,56	13,29	29,20
26	o 56,9	17,68	13,39	29,03
			Medio .	27 21 29,04

*α Serpente.*

Luglio 11	o' 11",8	o' 43",45	+ 6",84	7° 1' 43",51B
12	o 3,6	43,17	6,92	41,91
20	o 12,8	43,08	7,62	43,68
21	o 8,6	42,61	7,78	44,74
22	3 38,4	42,64	7,86	43,30
24	o 50,5	42,85	8,04	42,11
25	o 6,8	42,65	8,11	44,22
26	o 10,8	42,93	8,19	42,11
			Medio .	7 1 43,20

*α Scorpione: Antares.*

Luglio 17	2' 37",2	2' 39",74	- 1",19	26° o' 2",40A
21	1 36,8	39,37	0,92	1,95
22	o 10,7	38,90	0,92	3,97
24	o 42,0	40,00	0,90	1,92
25	o 14,0	40,96	0,89	2,60
26	o 18,8	39,96	0,88	4,14
29	i 7,0	40,29	0,88	1,21
Agosto 1	o 36,0	40,92	0,87	1,27
4	o 7,7	39,74	0,87	1,53
			Medio .	26 o 2,34

$\alpha$  Ercole.

Giorni di osservazione.	Riduz. al merid. FM.	Rifraz.	Variaz. in declinaz.	Declin. media al principio del 1811.
1811 Agosto 1	0' 15",2	0' 32",65	+15",51	14° 36' 58",29B
3	20,9	32,48	15,74	54,08
4	14,8	32,44	15,86	53,53
6	11,9	32,62	16,07	51,84
			Medio .	14 36 54,42

 $\alpha$  Ophiuco.

Agosto 1	2' 16",8	0' 35",25	+15",75	12° 42' 26",66B
3	2 0,6	35,05	15,95	26,69
4	2 6,9	35,04	16,09	26,18
6	2 2,3	35,15	16,30	26,75
12	0 15,4	36,03	16,93	26,32
13	0 15,7	36,00	17,02	25,71
			Medio .	12 42 26,39

 $\alpha$  Lira : Vega.

Marzo 28		0' 7",25	- 8",17	38° 36' 52",39B
Luglio 19		6,47	+17,56	51,77
20		6,56	+17,82	51,55
22		6,50	+18,35	54,74
24		6,51	+18,89	52,90
Agosto 12		6,73	+23,34	54,27
13		6,72	+23,54	52,18
28		6,61	+26,14	53,05
Settem. 8		6,72	+27,50	51,58
12		6,60	+27,86	53,76
Ottob. 18		6,72	+27,86	49,80
			Medio .	38 36 52,56

*α Aquila : Al-tair.*

Giorni di osservazione.	Riduz. al merid. <i>FM.</i>	Rifraz.	Variaz. in declinaz.	Declin. media al principio del 1811.
1811 Agosto 28	o' 58",7	o' 41",74	+22",52	8° 22' 42",42B
Settem. 8	o 10,5	42,42	23,46	42,47
18	o 11,4	42,30	24,08	42,50
30	o 9,8	42,62	24,45	41,28
Ottob. 18	o 38,4	42,31	24,37	42,92
			Medio.	8 22 42,32

*α 2 Capricorno.*

Settem. 30	1' 21",5	1' 32",13	-18",65	13° 7' 15",75A
Ottobr. 10	o 26,0	1 31,62	-18,33	15,05
11	o 31,6	1 31,73	-18,09	14,62
			Medio.	13 7 15,14

*α Cigno.*

Settem. 30	o' 0",84	+32",02	44° 36' 35",76B
Ottob. 10	o,81	33,21	34,51
11	o,81	33,32	37,67
16	o,81	33,71	33,78
18	o,82	33,84	36,68
19	o,82	33,89	36,10
20	o,82	33,95	37,37
21	o,82	33,98	37,48
22	o,83	34,04	40,72
Novem. 2	o,82	34,06	34,88
		Medio.	44 36 36,50

*α Pesce australe: Fomalhaut.*

Giorni di osservazione.	Riduz. al merid. <i>FM.</i>	Rifraz.	Variaz. in declinaz.	Declin. media al principio del 1811.
1811 Novem. 18	o' 9",1	3' 51",53	-11",36	30° 37' 15",64A
19	o 10,4	3 52,81	-11,26	13,67
20	o 8,0	3 50,62	-11,17	14,04
			Medio .	30 37 14,45

*α Pegaso : Markab.*

Novem. 18	o' 28",3	o' 35",58	+26",29	14° 11' 27",53B
19	o 26,2	35,78	26,27	28,18
20	o 13,7	35,44	26,23	29,13
			Medio .	14 11 28,28

*γ Orione.*

Luglio 20	o' 22",3	o' 44",11	- 5",28	6° 10' 9",22B
28	o 32,5	44,09	- 4,33	5,29
Agosto 3	o 36,1	44,76	- 3,67	6,76
13	z 35,6	45,90	- 2,63	7,52
30	o 3,9	45,18	- 1,18	9,10
Settem. 26	o 46,3	46,17	- 0,08	4,59
28	o 9,7	46,25	- 0,08	8,63
			Medio .	6 10 7,30

*δ Orione.*

Marzo 11	z' 47",7	o' 59",51	+16",53	o° 26' 54",12 A
Settem. 26	o 1,4	58,16	- 1,65	48,51 ±
28	o 10,5	58,25	- 1,65	53,90
			Medio .	o 26 53,69

*ε* Orione.

Giorni di osservazione.	Riduz. al merid. <i>FM.</i>	Rifraz.	Variaz. in declinaz.	Declin. media al principio del 1811.
1811 Agosto 3	o' 31",3	o' 58",20	+ 2",37	1° 19' 56",45A
11	o 33,7	58,55	1,37	54,68
13	o 33,8	59,68	1,11	55,62
			Medio.	1 10 55,58

*α* Colomba.

Marzo 11	o' 3",1	5' 4",44	+ 25",74	34 <sup>b</sup> 10' 56",10A
Settem. 26	o 5,8	4 57,37	- 9,63	54,95
28	o 11,0	4 57,24	- 9,56	47,00±
			Medio.	34 10 55,52

*δ* Scorpione.

Luglio 24	o' 9",1	2' 10",26	+ 0",23	22° 4' 22",13A
25	o 7,9	2 9,10	0,22	21,75
26	o 11,5	2 9,96	0,20	23,36
			Medio.	22 4 22,41

*β* Scorpione.

Luglio 24	o' 9",3	1' 54",37	- 1",03	19° 16' 38",97A
25	o 7,7	1 53,35	- 1,06	39,73
26	o 6,7	1 54,10	- 1,07	39,47
			Medio.	19 16 39,39

$\delta$  Ophiuco.

Giorni di osservazione.	Riduz. al merid. <i>FM.</i>	Rifraz.	Variaz. in declinaz.	Declin. media al principio del 1811.
1811 Luglio 24	1' 47",5	0' 55",47	- 6",58	3° 11' 45",66A
25	0 22,6	55,63	- 6,64	45,77
26	0 14,6	55,45	- 6,72	47,54
			Medio.	3 11 46,32

 $\zeta$  Ophiuco.

Agosto 1	0' 12",5	1' 19",65	- 6",51	10° 10' 24",86A
3	0 7,0	1 19,23	- 6,59	23,97
4	0 11,2	1 19,07	- 6,65	24,09
6	0 7,4	1 19,42	- 6,72	23,84
			Medio .	10 10 24,19

 $\varepsilon$  Scorpione.

Agosto 3	0' 49",5	4' 39",96	- 0",01	33° 56' 16",82A
4	1 1,1	4 39,38	+ 0,03	16,32
6	0 54,5	4 40,61	+ 0,09	16,97
			Medio .	33 56 16,70

 $\pi$  Ophiuco.

Agosto 3	2' 23",4	0' 39",16	+ 13",64	9° 40' 40",98B
4	0 12,8	39,19	13,73	40,46
6	0 35,6	39,41	13,91	42,50
			Medio .	9 40 41,31

$\eta$  Ophiuco.

Giorni di osservazione.	Riduz. al merid. <i>FM.</i>	Rifraz.	Variaz. in declinaz.	Declin. media al principio del 1811.
1811 Agosto 1	1' 4",3	1' 38",02	-7",20	15° 28' 45",90A
3	0 1,5	1 37,30	-7,24	44,59
4	0 13,7	1 37,39	-7,27	42,98
6	0 8,1	1 37,93	-7,32	44,95
			Medio .	15 28 44,60

 $\sigma$  Ophiuco.

Agosto 1	0' 39",7	0' 47",83	+13",52	4° 18' 54",20B
3	1 19,0	47,57	13,68	52,18
4	0 18,5	47,42	13,81	54,75
6	0 13,3	47,69	13,97	53,59
			Medio .	4 18 53,68

 $\delta$  Cigno.

Novem. 1	0' 0",74	+31",95	44° 40' 34",62B	
3	0 ,73	31 ,78		35 ,87
			Medio .	44 40 35 ,25

 $\alpha$  Cigno.

Ottobr. 20	0' 0",71	+33",72	46° 10' 24",57B	
22	0 ,71	33 ,74		24 ,04
31	0 ,71	33 ,61		25 ,06
Novem. 3	0 ,70	33 ,49		25 ,90
			Medio .	46 10 24,89

$\gamma$  Cigno.

Giorni di osservazione.	Riduz. al merid. <i>FM.</i>	Rifraz.	Variaz. in declinaz.	Declin. media al principio del 1811.
1811 Ottobr. 20	o' 5",68	+32",75	39°39' 27",86B	
22	5,68	32 ,79	26 ,75	
31	5,68	32 ,67	26 ,55	
Novem. 2	5,68	32 ,60	26 ,86	
3	5,68	32 ,57	28 ,91	
		Medio.	39 39 27,39	

 $\epsilon$  Delfino.

Settem. 30	o' 18",3	o' 39",26	+17",62	10°40' 15",67B
Ottobr. 10	21,4	39 ,05	17 ,99	16 ,49
11	16 ,3	39 ,09	18 ,03	15 ,91
16	18 ,5	39 ,02	18 ,04	14 ,82
18	18 ,7	38 ,98	18 ,33	15 ,22
		Medio.	10 40 15,62	

 $\nu$  Cigno.

Ottobr. 18		o' 4",95	+33",37	40°26'37",14B
19		4,95	33 ,45	42 ,95
20		4,92	33 ,49	41 ,16
21		4,92	33 ,55	38 ,50
Novem. 2		4,92	33 ,81	38 ,41
3		4,93	33 ,82	42 ,99
		4,92	33 ,80	41 ,18
		Medio.	40 26 40 ,34	

$\xi$  Cigno.

Giorni di osservazione.	Riduz. al merid. FM.	Rifraz.	Variaz. in declinaz.	Declin. media al principio del 1811.
1811 Ottobr. 18		0' 2",23	+34",79	43° 10' 42",95B
19		2,16	34,89	40,99
20		2,15	34,98	41,66
21		2,15	35,06	44,35
31		2,15	35,66	45,37
Novem. 2		2,15	35,71	44,51
3		2,15	35,72	42,38
			Medio.	43 10 43,17

 $\sigma$  Cigno.

Ottobr. 20	0' 6",70	+33",02	38° 36' 27",95B
21	6,70	33,09	27,70
Novem. 2	6,70	33,57	27,16
		Medio.	38 36 27,60

 $\lambda$  Andromeda.

Novem. 27	0' 0",00	+32",79	45° 26' 6",13B
30		32,91	6,63
Dicem. 1		32,94	8,22
7		33,01	7,50
		Medio.	45 26 7,12

Raccogliendo ora le trovate declinazioni medie, potremo paragonarle con quelle assegnate da altri astronomi. Tutte le quaranta stelle si trovano registrate nei due grandi cataloghi pubblicati nel 1803 e nel 1814 dal professore Piazzi. Le prime venti s' incontrano ancora nel catalogo di trentasei stelle del fu dottore Maskelyne, e trovansi pure nel recentissimo catalogo di ottantaquattro stelle, che il signor Pond, attuale astronomo di Greenwich, ha pubblicato nel volume 104 delle Transazioni filosofiche della Società Reale di Londra per l'anno 1813. Nella seguente tavola si hanno le differenze fra le nostre determinazioni e quelle dei citati astronomi; quindi applicando alla declinazione media di ciascuna stella la rispettiva differenza col suo segno + o -, si ottiene la declinazione media per la stessa epoca del 1811, quale risulta dai citati cataloghi. Così, per esempio, sarà la declinazione media di Sirio secondo

Maskelyne . . . . .	16° 27' 43",9
Piazz catalogo 1803 . . . . .	16 27 52 ,6
catalogo 1814 . . . . .	16 27 53 ,8
Pond . . . . .	16 27 52 ,0

NOME DELLE STELLE.	Declinazione media al principio dell'anno 1811.	N.º de' giorni d'oss.	Differenze col Catalogo di			
			Maske- lyne 1802.	Piazzi 1803.	Piazzi 1814.	Pond 1813.
Aldebaran	16° 7' 9,08 B	9	+ 1,1	- 0,3	- 0,3	- 0,2
Rigel . . .	8 25 43,54 A	8	- 6,6	0,0	+ 0,9	- 0,3
δ Toro . .	28 26 8,48 B	2	+ 2,4	+ 0,4	- 1,2	+ 0,2
α Orione .	7 21 41,86 B	6	+ 2,6	- 0,6	- 1,6	- 0,3
Sirio . . .	16 27 51,58 A	8	- 7,7	+ 1,0	+ 2,2	+ 0,4
Procione .	• 5 42 1,85 B	5	+ 6,0	+ 1,3	+ 2,1	+ 0,9
Regolo . .	12 53 11,88 B	7	+ 2,7	- 4,3	- 0,2	0,0
Spica . . .	10 10 13,38 A	24	- 7,1	- 1,3	- 0,1	- 0,2
Arturo . .	20 10 17,95 B	14	+ 4,9	+ 1,5	+ 1,0	+ 0,9
α Corona .	27 21 29,04 B	8	+ 2,3	+ 2,0	+ 0,8	+ 0,7
α Serpente .	7 1 43,20 B	8	+ 5,4	+ 0,8	+ 0,3	+ 1,1
Antares . .	26 0 2,34 A	9	- 11,5	- 0,9	- 0,2	- 3,2
α Ercole . .	14 36 54,42 B	4	+ 8,6	+ 3,8	+ 2,9	+ 0,7
α Ophiuco .	12 42 26,39 B	6	+ 4,9	+ 4,8	+ 1,8	+ 0,7
α Lira . . .	38 36 52,58 B	11	- 1,8	+ 1,5	+ 0,1	+ 1,2
α Aquila . .	8 22 42,32 B	5	+ 4,4	+ 1,9	+ 1,6	+ 0,9
α 2 Capric. .	13 7 15,14 A	3	- 11,0	- 5,0	- 4,0	- 1,1
α Cigno . . .	44 36 36,50 B	10	0,0	+ 3,9	+ 1,3	+ 1,5
Fomalhaut	30 37 14,45 A	3	- 10,2	- 3,6	+ 0,1	....
α Pegaso . .	14 11 28,28 B	3	+ 5,8	+ 1,8	0,0	+ 1,6
Somma delle diff.º, astrazio- ne fatta del segno + o —		107,0	40,7	22,7	16,2	

NOME DELLE STELLE.	Declinazione media al principio dell' anno 1811.	N.º de' giorni d'osservazione.	Differenze col Catalogo di Piazzi	
			1803.	1814.
$\gamma$ Orione . .	6° 10' 7,30 B	7	- 1",0	- 2",8
$\delta$ Orione . .	0 26 53,69 A	2	- 5,1	+ 1,8
$\epsilon$ Orione . .	1 19 55,58 A	3	+ 0,4	+ 1,9
$\alpha$ Colomba . .	34 10 55,52 A	2	- 3,4	+ 0,1
$\delta$ Scorpione. .	22 4 22,41 A	3	- 2,5	- 1,0
$\beta$ Scorpione. .	19 16 39,39 A	3	- 4,0	- 0,8
$\delta$ Ophiuco. . .	3 11 46,32 A	3	+ 0,7	+ 4,7
$\zeta$ Ophiuco. . .	10 10 24,19 A	4	- 3,7	- 1,1
$\epsilon$ Scorpione. .	33 56 16,70 A	3	- 7,0	- 3,7
$\pi$ Ophiuco. . .	9 40 41,31 B	3	+ 5,1	+ 2,8
$\eta$ Ophiuco. . .	15 28 44,60 A	4	+ 0,5	- 1,4
$\sigma$ Ophiuco. . .	4 18 53,68 B	4	+ 5,1	+ 1,3
$\delta$ Cigno . . .	44 40 35,25 B	2	+ 0,4	- 1,2
$\sigma$ Cigno . . .	46 10 24,89 B	4	+ 6,7	+ 2,3
$\gamma$ Cigno . . .	39 39 27,39 B	5	- 14,0	+ 0,4
$\epsilon$ Delfino . .	10 40 15,62 B	5	- 1,5	- 4,3
$\nu$ Cigno . . .	40 26 40,34 B	7	+ 5,3	+ 4,5
$\xi$ Cigno . . .	43 10 43,17 B	7	+ 1,1	+ 0,1
$\sigma$ Cigno . . .	38 36 27,60 B	3	- 0,4	- 1,9
$\lambda$ Andromeda	45 26 7,12 B	4	+ 4,0	+ 1,8
Somma delle differenze, astrazione fatta dei segni + o - . . . . .			71",9	39",9

Limitandoci alla considerazione delle prime venti stelle, ognuno vede quanto poco siano discordi fra loro le declinazioni dedotte dalle osservazioni del signor Pond fatte col nuovo circolo meridiano di cinque piedi e quelle dedotte dalle nostre osservazioni fatte col circolo moltiplicatore di tre piedi. La sola differenza un poco sensibile di  $-3'',2$  nella declinazione di Antares proviene visibilmente dalla diversa maniera di calcolare la rifrazione. In fatti nella raccolta delle osservazioni originali (\*) il signor Pond prende  $252'',24$  per la costante della rifrazione alla distanza  $77^{\circ} 24'6$  dallo zenith di Antares, e calcola poi la correzione dovuta al barometro ed al termometro secondo la regola di Bradley. Calcolando in tal maniera la rifrazione per le prime dodici osservazioni di Antares fatte a Greenwich nel mese di giugno 1812, io trovai, per un medio di tutte, la rifrazione  $4'9'',30$ . Ma se in vece si calcola la rifrazione per le stesse osservazioni sulla tavola del signor Carlini, si ha  $4'11'',81$ ; quindi ne segue una differenza di  $-2'',5$  nella declinazione di Antares. Ora colle osservazioni di ε Orsa maggiore è stata da noi ampiamente verificata (\*\*) alla stessa distanza dallo zenith la rifrazione  $4'11'',81$ ; bisognerà dunque detrarre  $-2'',5$  dalla trovata differenza  $-3'',2$  nella declinazione di Antares, ed allora questa si ridurrà a  $-0'',7$ . La somma delle differenze per diciannove stelle fra Pond e noi, che era  $16'',2$ , si riduce quindi a  $13'',7$ , e la media per ogni stella diventa  $\frac{13'',6}{19} = 0'',7$ , cioè minore d'un secondo;

(\*) Astronomical observations made at the Royal Observatory at Greenwich in the years 1811, 1812 by John Pond Esq., pag. 236, 251.

(\*\*) Effemeridi astronomiche di Milano per l'anno 1815. Appendice, pag. 39, 40, 41.

e questa tenue differenza può venire da qualche decima di secondo di più o di meno nel valutare la precessione, il moto proprio, l'aberrazione e la nutazione in declinazione, ed inoltre da qualche residua incertezza nelle latitudini di Greenwich e di Milano; incertezza però che non può oltrepassare mezzo secondo. Da un tale accordo possiamo conchiudere che i due circoli costruiti sopra diversi principj dai due più rinomati artisti ora viventi Troughton e Reichenbach sono molto vicini a quella perfezione che si ricerca dagli astronomi osservatori.

Sono pure assai piccole le differenze nei cataloghi del professore Piazzi e segnatamente in quello pubblicato nel 1814. Nelle prime venti stelle la somma delle differenze è appena di  $22'',7$ , e la media sarebbe  $\frac{22'',7}{20} = 1'',1$ , cioè solamente  $0'',4$  maggiore di quella trovata nel catalogo del signor Pond. Quindi ognuno vede quanta fiducia meritano le declinazioni dell'ultimo catalogo del professore Piazzi, e tutte le osservazioni dal medesimo istituite col suo circolo di cinque piedi.

Le differenze più forti sono quelle del catalogo del signor Maskelyne. La loro somma nelle venti stelle arriva a  $107''$ , cosicchè la media per ogni stella sarebbe  $5'',3$ . Le declinazioni di Maskelyne sono dedotte dalle osservazioni da lui fatte al quadrante murale, ed è manifesto che da un tale strumento non si può aspettare quella precisione ed esattezza che si ha dai circoli interi, poichè oltre l'errore della linea di collimazione, che può variare da un giorno all'altro senza che l'osservatore se ne accorga, non v'è alcun mezzo di conoscere i piccoli errori di ciascuna divisione. Una gran parte però di queste differenze, segnatamente nelle stelle australi, proviene dalla rifrazione troppo piccola presa colla regola di Bradley;

un'altra parte dipende da un errore di 1",5 nella latitudine di Greenwich, poichè Maskelyne faceva questa latitudine  $51^{\circ} 28' 40''$ , mentre ora dal signor Pond con migliori strumenti si pone  $51^{\circ} 28' 38'',5$ . Con ragione dunque il celebre Ramsden pretendeva che in tutte le specole si sostituissero i circoli interi ai quadranti murali. Il professore Piazzi, che non era imbevuto delle antiche abitudini, aderì alle istanze di quel grande artista ed accettò ben volentieri il primo circolo intero da lui fabbricato, ed avendolo collocato nella nuova specola di Palermo, con un numero prodigioso d'ottime osservazioni provò ad evidenza la superiorità dei circoli rispetto ai quadranti.

Giacchè dal nuovo circolo meridiano di Greenwich si ottiene con una semplice osservazione la stessa declinazione d'una stella che si avrebbe da un circolo moltiplicatore col ripetere quattro o più volte l'osservazione, si crederà da molti che sia preferibile in ogni caso il primo circolo al secondo. Ma convien riflettere che nel primo circolo vi sono sei microscopj fissati immobilmente sul muro e distanti l'uno dall'altro sessanta gradi. Per mezzo di questi, muniti d'una vite micrometrica, si determina il numero de' gradi, minuti e secondi a cui corrisponde l'asse del cannocchiale diretto alla stella. Ora se l'osservatore vuol esaminare la divisione in tutti i sei microscopj, dovrà impiegare almeno quattro o sei minuti di tempo, massimamente quando il lume non sarà egualmente favorevole in ciascun microscopio. Nel circolo moltiplicatore l'astronomo può leggere i quattro nonj in meno d'un minuto di tempo, poichè senza alzarsi od abbassarsi, ma restando nello stesso luogo, col girare il circolo presenta all'occhio successivamente ciascuno dei quattro nonj. Dalle nostre osservazioni poi si rileva che l'ordinaria moltiplicazione consiste nel quadruplicare la

distanza dell' astro dallo zenit , e questa si eseguisce quasi sempre in tre minuti di tempo. Egli è adunque evidente che il tempo d' una completa osservazione è o eguale nell' uno e nell' altro circolo , o minore nel circolo moltiplicatore. Volendo poi indagare quale dei due circoli di Greenwich e di Milano sia superiore all' altro nell' esattezza, basterà calcolare le osservazioni della stessa stella fatte alcuni giorni di seguito col circolo meridiano di Greenwich. Prendo quindi le sopra citate prime dodici osservazioni di Antares fatte dal sig. Pond in giugno 1812.

Giorni 1812	Dist. osservata di Antares dallo zenit di Greenwich	Barom. inglese.	Termom. di Fahr.	
			interior.	esterno.
Giugno 12	77° 24' 38",2	29,90	63	60
13	35,0	29,80	59	53
14	37,0	29,71	60	56
15	37,3	29,69	61	58
16	33,4	29,59	58	58
17	34,1	29,64	56	51
19	36,2	29,27	56	51
20	37,4	29,31	57	55
21	36,3	29,53	55	52
22	33,2	29,75	54	48
23	34,9	29,83	54	51
24	34,5	29,89	55	52

Nella riduzione di queste osservazioni mi servo della precessione e moto proprio in declinazione , e degli angoli e logaritmi costanti d' aberrazione e nutazione lunare e solare competenti a questa stella sopra esposti , e calcolo la rifrazione secondo Bradley sulla tavola data

dal signor Pond nel citato libro delle sue osservazioni , coll' avvertenza di prendere un medio fra i gradi del termometro interno e quelli dell'esterno. Avremo pertanto

Giorni 1812	Rifrazione di Bradley.	Variazione in declinazione.	Declinazione media di Antares al principio del 1812.
Giugno 12	4' 7",68	— 1",92	26° 0' 9",30 A
13	10,20	— 1,88	8,58
14	8,22	— 1,84	8,86
15	7,14	— 1,81	7,75
16	7,21	— 1,77	3,88
17	10,39	— 1,74	7,73
19	7,26	— 1,66	6,62
20	6,08	— 1,63	6,61
21	9,47	— 1,60	8,87
22	12,90	— 1,57	9,17
23	12,63	— 1,54	10,67
24	12,51	— 1,50	10,01

Da queste osservazioni si rileva che col nuovo circolo meridiano di Greenwich si hanno nei risultati delle differenze di 3", di 4" ed anche di 6", e quantunque nelle nostre osservazioni di Antares le differenze sieno minori, in alcune altre stelle però s' incontrano delle differenze egualmente sensibili; si dovrebbe dunque dire che l'esattezza nei due circoli sia prossimamente eguale.

Per le prime venti stelle non si contano da noi che 152 giorni d' osservazione , mentre nel primo catalogo del professore Piazzi vi sono 735 giorni , e nel secondo

catalogo 1259 giorni. Nel catalogo poi del signor Pond per diciannove stelle si contano 1066 giorni d' osservazione ; sembra quindi che col circolo moltiplicatore del signor Reichenbach si elidano più presto i piccoli errori di divisione e si arrivi ad una grande precisione in minor tempo che coi circoli non moltiplicatori, quantunque maggiori in diametro.



---

# **NUOVA ANALISI**

**DEL PROBLEMA**

**DI DETERMINARE LE ORBITE DEI CORPI CELESTI**

**DI**

**OTTAVIANO FABRIZIO MOSSOTTI.**

---

## **PRELIMINARE.**

**A**LLORCHÈ si scopre in cielo un corpo in moto, è evidente che per mezzo delle osservazioni altro non possiamo determinare che la direzione de' raggi visuali condotti in diversi tempi dall'occhio al corpo istesso. Con queste sole cognizioni a noi sarebbe impossibile l'assegnare l'orbita nella quale il corpo celeste si muove, perchè, quand'anche si volesse supporre che dessa fosse in un piano, infinite curve piane possiamo concepire, le quali tutte passino per que' raggi visuali, ed il problema riuscirebbe così indeterminato. Per tal ragione sembra che gli antichi, i quali non conoscevano le vere leggi dei movimenti dei corpi celesti, fossero

nell' impossibilità di arguire da un piccolo numero di osservazioni l' orbita di un dato corpo , e quindi meritano poca fede le tradizioni che attribuiscono ai Caldei ed agli Egizj la predizione del ritorno delle comete.

Fu il vasto tesoro di osservazioni planetarie lasciato da Ticone , che sottoposto ad accurato esame dal sagace Keplero aprì la strada al ritrovamento delle prime leggi che regolano i movimenti dei corpi celesti. Quest' ingegno , come è noto , dimostrò che i pianeti si muovono in orbite ellittiche delle quali il sole occupa un fuoco, ritrovò che nel percorrere queste orbite i settori descritti sono proporzionali ai tempi in cui si descrivono , e che i quadrati dei tempi delle intiere rivoluzioni di due pianeti sono come i cubi delle loro distanze medie dal sole. Esso concepì pure l' idea di attribuire ad una forza di attrazione residente nel sole la causa che ritiene i pianeti nelle loro orbite, ma fu riservato al gran Newton lo scoprire che questa forza siegue nella sua intensità la ragione inversa dei quadrati delle distanze dal corpo attraente. Con tale scoperta Newton unì sotto un sol principio le succennate leggi di Keplero , e dedusse dallo stesso principio che qualunque delle sezioni coniche poteva esser percorsa da un corpo celeste , che i settori descritti in diversi tempi erano nella ragione composta diretta de' tempi medesimi e sudduplicata dei semiparametri delle loro orbite; e comprovata l' esistenza di questa forza d' attrazione con validi argomenti , ne estese per analogia la sua efficacia a tutti i corpi dell' universo.

Arrivati per tal modo alle cognizioni delle leggi dei movimenti dei corpi celesti , il problema di determinare con poche osservazioni l' orbita d' alcuno di essi che era irresolubile ed indeterminato per gli antichi , divenne solubile e determinato pei posteri. In fatti , assegnata colle

osservazioni la direzione di tre raggi visuali , e dati i luoghi della terra per dove passano , non è più possibile immaginare che una sola sezione conica , la quale avendo per fuoco il sole incontri nel suo corso que' raggi visuali , e condotti dal sole ai punti d' incontro tre raggi vettori , i settori compresi da questi raggi vettori riescano nella ragion composta semplice degl' intervalli di tempo fra le osservazioni , e sudduplicata del semiparametro della stessa conica sezione. Per ben concepire come ciò avvenga , ricorderemo primieramente che essendo dati tre punti in un piano condotto pel sole , si può sempre disegnare una curva conica il cui fuoco sia nel centro di quest' astro e passi pei detti tre punti , il che analiticamente si riduce a determinare le tre costanti che si trovano nell' equazione delle medesime curve allorchè è data la posizione del fuoco. Ciò posto , s' immagini quel piano condotto pel sole : esso verrà incontrato in tre punti dai tre raggi visuali dati di posizione dalle osservazioni e dai luoghi della terra , e potremo sempre , qualunque sia la situazione di questo piano , trovare una sezione conica che tragitti pei nominati punti. Ma di tutte le sezioni coniche che possiamo descrivere , dando diverse posizioni al piano , dobbiamo sceglier quella che , soddisfacendo alle leggi d' attrazione , renda i due settori compresi dai tre raggi vettori proporzionali al tempo fra le osservazioni , e nella ragione sudduplicata del semiparametro della curva. Dunque essendovi nella posizione di un piano due cose in nostro arbitrio , cioè la direzione della linea dei nodi e l' inclinazione , dovremo , girando ora l'una , ora variando l' altra , disporle in modo che soddisfacciano alle due predette condizioni , ovvero , con linguaggio algebraico parlando , dovremo trovare , per le due costanti che entrano nella equazione di un piano , valori tali che la curva conica , che

sovra esso verremo a descrivere , goda delle enunciate proprietà. Ecco quindi ridotta la ricerca dell' orbita di un corpo celeste per mezzo di tre osservazioni alla soluzione di un problema puramente matematico. Lo stesso Newton fu il primo che si propose questo problema , e considerando le orbite delle comete come parabole , diede nell' immortale libro de' suoi *principj* il primo metodo di determinare le orbite delle medesime. Dopo Newton , quasi tutti i più grandi geometri esercitarono il loro ingegno in quest' importante indagine. Non è qui mio scopo di tessere una storia ragionata delle varie soluzioni proposte ; un valente geometra (\*) premesse ad una nuova sua soluzione questo lavoro eseguito con quella filosofica erudizione che splende in tutte le sue opere ; io non aggiungerò che qualche riflessione intorno ad alcuni metodi venuti alla luce posteriormente , ed all' analisi che sono per esporre.

Quantunque le condizioni alle quali abbiamo detto precedentemente doversi assoggettare la posizione del piano dell' orbita possano tradursi in due equazioni fra le due costanti incognite che determinano questa posizione , pure esse risultano talmente complicate , che non si può sperare di trarne alcun utile. Questa difficoltà fu generalmente riconosciuta , ed i geometri che intrapresero la soluzione del problema che trattiamo , si trovarono costretti d' abbandonare il rigore e di ricorrere ai metodi d' approssimazione. Il ritrovamento però dei valori approssimati d' alcuni elementi è sufficiente all' intento , perchè ritrovati questi valori , è facile il correggerli , non che il determinare tutti

(\*) Lagrange. Nouveaux Mémoires de l'Académie de Berlin , 1778.

gli altri elementi, e molti ingegnosi metodi furono già da molti a tale effetto escogitati. Trattandosi perciò di una semplice approssimazione, si adottò come principal cardine di tutte le supposizioni la condizione che le osservazioni fossero fatte a piccoli intervalli di tempo. Questa condizione riducendo à triangoli formati dai raggi vettori e dalle corde che gli uniscono presso che eguali ai settori descritti dal corpo celeste, guida, come è facile il vedere con una semplice costruzione geometrica, alla supposizione che la corda, la quale sottende l' intiero arco percorso, sia tagliata dal secondo raggio vettore in parti proporzionali al tempo fra le due prime e le due ultime osservazioni. La traduzione algebraica di questa proprietà della corda conduce ad un' equazione molto semplice, e tale proprietà fu adottata in quasi tutte le soluzioni che fecero immediato uso dei dati delle osservazioni per la determinazione dell' orbita. Ciò che rimane da farsi, e che nello stesso tempo offre maggior difficoltà, si è la scelta di una seconda condizione od equazione onde ridurre il problema determinato. L' ingegnoso signor Olbers ha dato una novella prova dell' utilità del famoso teorema conosciuto sotto il nome di Teorema di Lambert, il quale per le orbite paraboliche somministra il tempo impiegato a percorrere un arco qualunque in funzione della corda che sottende quest' arco, e dei raggi vettori che uniscono le estremità. Combinando l' equazione che fornisce questo teorema con quella che nasce dalla precedente supposizione, ha dedotto un metodo semplice per la determinazione delle orbite delle comete (\*), del quale fanno

(\*) Abhandlung über die leichteste und bequemste Methode die Bahn eines Cometen zu berechnen. Von Wilhelm Olbers. Weimar, 1797.

comunemente uso gli astronomi. Il signor Gauss , conservando tuttora la supposizione che gl' intervalli di tempo fra le osservazioni siano piccoli , si vale di un' equazione che in ultima analisi viene a supporre presso che costante la forza colla quale è attratto il corpo celeste in tutto il tempo decorso fra le medesime osservazioni. Questa supposizione , avverandosi prossimamente per tempi anche lunghi nelle orbite planetarie , l'ha condotto a quei felici successi che coronarono il suo metodo nelle applicazioni fattene alle determinazioni delle orbite de' pianeti testè scoperti. Il metodo di cui trattasi , preceduto da sì utili applicazioni , venne alla luce , come si sa , nella *Theoria motus corporum cœlestium in sectionibus conicis solem ambientium* , opera veramente apprezzabile per l' astronomia.

Malgrado però i conati di sì valenti geometri , l'equazione alla quale fu ridotta la soluzione del problema , tanto nei metodi di cui ho fatto parola , quanto in tutti gli altri , ascende ad un alto grado che non ammette risoluzione algebraica , e quindi i metodi riescono tutti soggetti a quegl' inconvenienti che accompagnano le false posizioni. Colpito io dalla semplicità delle equazioni alle quali conduce l' ipotesi delle proporzionalità delle parti della corda ai tempi corrispondenti , immaginai che , se mi venisse fatto di dedurre dalla medesima ipotesi una equazione fra le due costanti che determinano la posizione del piano , si potrebbe , prescindendo dall' inconveniente analitico d'introdurre una quarta osservazione , ricavare una soluzione molto semplice. In fatti assoggettando alla stessa ipotesi la corda che va dal luogo del corpo celeste nella seconda osservazione al luogo del medesimo nella quarta , si otterebbe una seconda equazione simile , che combinata colla prima fornirebbe i valori

delle due costanti incognite. Questo è ciò che risulta anche direttamente, se si osservi che è sempre possibile, dando una qualunque inclinazione al piano dell'orbita, girare tanto la linea dei nodi finchè la retta che va dal sole al punto d'intersezione del raggio visuale della seconda osservazione col piano, tagli in parti proporzionali al tempo la corda che unisce i punti d'intersezione dei raggi visuali della prima e terza osservazione. E siccome ci rimane ancora arbitraria l'inclinazione, potremo combinare questa con una certa direzione della linea de' nodi, che anche la corda che unisce i punti d'intersezione della seconda e quarta osservazione, sia tagliata in parti proporzionali al tempo dalla retta che va dal sole al punto d'incontro del raggio visuale della terza osservazione col piano. Tentai adunque di porre in analisi queste condizioni, ed ebbi il piacere di vedere che esse conducevano ad equazioni di primo grado, spingendo anche più in là l'approssimazione di quello che lo comporti la predetta ipotesi. La soluzione che ho dedotto da queste equazioni è quella che forma il principale oggetto di quest'Analisi; ma poichè nell'indagine di essa io fui condotto a varie altre equazioni, dalle quali emergono direttamente le soluzioni dei celebri geometri Olbers, Gauss e Lagrange, non ho trascurato, cammin facendo, di porre sott'occhio al lettore anche questi eleganti metodi.

Trovato il valore delle incognite che determinano la posizione del piano dell'orbita, con metodi già conosciuti si può passare alla cognizione di tutti gli altri elementi; pure, per non obbligare il lettore a ricercare altrove questi metodi, ho radunato in un articolo alcune formole che potranno essere utili all'uopo. Ho finalmente aggiunto una seconda parte a quest'Analisi, nella

quale ho avuto per iscopo di ridurre le formole alla massima semplicità per l'uso pratico ; ed ho esposto un esempio numerico di tutte le ritrovate equazioni, applicando il metodo alla determinazione dell' orbita della famosa cometa dell' anno 1759. Spero che la semplicità e brevità di calcolo , colle quali si troveranno determinati tutti gli elementi, faranno accogliere con indulgenza presso gli astronomi il metodo che presento.

---

# PARTE PRIMA.

---

## EQUAZIONI FONDAMENTALI DEL PROBLEMA.

### I.

POSTA l'origine degli assi coordinati rettangoli nel luogo del sole , siano  $x$ ,  $y$ ,  $z$  le coordinate del corpo celeste ,  $X$ ,  $Y$ ,  $Z$  quelle della terra; sarà, come è noto,  $r = \sqrt{x^2 + y^2 + z^2}$  la distanza del corpo celeste dal sole , e parimente  $R = \sqrt{X^2 + Y^2 + Z^2}$  la distanza della terra dallo stesso astro.

Sia l'unità di massa la massa del sole , e s'indichino con  $\mu$  e ' $\mu$ ' le masse del corpo celeste e della terra , e rappresenti di più  $g$  la forza di gravitazione alla distanza uno.

1.<sup>o</sup> Considerando separatamente le attrazioni fra il sole ed il corpo celeste , e fra il sole e la terra , prescindendo cioè dall'azion reciproca della terra e del corpo celeste , la meccanica applicata al principio dell'universale attrazione di Newton ci darà le equazioni , pel corpo celeste

$$\left( \frac{d^2x}{dt^2} \right) = - (1 + \mu) \frac{gx}{r^3}$$

$$(1) \quad \left( \frac{d^2y}{dt^2} \right) = - (1 + \mu) \frac{gy}{r^3}$$

$$\left( \frac{d^2z}{dt^2} \right) = - (1 + \mu) \frac{gz}{r^3}$$

43  
e per la terra

$$\left( \frac{d^2 X}{dt^2} \right) = - (1 + \mu) \frac{g X}{R^3}$$

$$(2) \quad \left( \frac{d^2 Y}{dt^2} \right) = - (1 + \mu) \frac{g Y}{R^3}$$

$$\left( \frac{d^2 Z}{dt^2} \right) = - (1 + \mu) \frac{g Z}{R^3}$$

2.<sup>o</sup> Col mezzo di un' osservazione si determina per l' istante in cui essa è istituita , la direzione del raggio visuale condotto dall' occhio al corpo che si osserva ; siccome questo raggio passa nello stesso tempo per la terra , così le equazioni del medesimo saranno della forma .

$$(3) \quad \frac{x - X}{m} = \frac{y - Y}{n} = \frac{z - Z}{o}$$

Indichiamo con  $x'$ ,  $X'$ ,  $y'$ ,  $Y'$ , ecc. i valori delle coordinate del corpo celeste e della terra , e con  $m'$ ,  $n'$ ,  $o'$  i valori di  $m$ ,  $n$ ,  $o$  nell' istante della prima osservazione , distinti con due e tre apici i valori delle dette quantità nei momenti della seconda e terza osservazione , avremo per que' tempi le equazioni

$$(4) \quad \frac{x' - X'}{m'} = \frac{y' - Y'}{n'} = \frac{z' - Z'}{o'}$$

$$(5) \quad \frac{x'' - X''}{m''} = \frac{y'' - Y''}{n''} = \frac{z'' - Z''}{o''}$$

$$(6) \quad \frac{x''' - X'''}{m'''} = \frac{y''' - Y'''}{n'''} = \frac{z''' - Z'''}{o'''}$$

La teorica del movimento della terra o sia le tavole solari ci daranno in queste equazioni i valori di  $X'$ ,  $Y'$ ,  $Z'$ ,  $X''$ ,  $Y''$ , ecc., e le osservazioni somministeranno i valori dei rapporti  $\frac{m'}{o'}$ ,  $\frac{n'}{o'}$ ,  $\frac{m''}{o''}$ , ecc., perchè indicando con  $\lambda$  l'angolo che il raggio visuale fa col piano delle  $xy$ , e con  $\Lambda$  l'angolo che la proiezione di questo raggio sul detto piano fa coll'asse delle  $x$ , la trigonometria c'insegna essere

$$(7) \quad \begin{aligned} \frac{m'}{o'} &= \frac{\cos \Lambda'}{\tan \lambda'} & \frac{n'}{o'} &= \frac{\sin \Lambda'}{\tan \lambda'} \\ \frac{m''}{o''} &= \frac{\cos \Lambda''}{\tan \lambda''} & \frac{n''}{o''} &= \frac{\sin \Lambda''}{\tan \lambda''} \\ \frac{m'''}{o'''} &= \frac{\cos \Lambda'''}{\tan \lambda'''} & \frac{n'''}{o'''} &= \frac{\sin \Lambda'''}{\tan \lambda'''} \end{aligned}$$

Queste equazioni e le precedenti segnate (1), (2), (4), (5) e (6) sono quelle che direttamente somministra la natura del problema, ed è da queste che l'analisi può dedurre le varie soluzioni.

## ARTICOLO I.

*Equazioni dedotte dal principio dell'universale attrazione.*

### 2.

Proseguendo l'analisi nell'ordine intrapreso, cominceremo a trattare delle equazioni (1), (4) che fornisce il principio dell'universale attrazione. Le formole che si

deducono da queste equazioni, sono conosciute e ripetute in varie opere; pure credo bene di riportarle in quest' articolo e per la maggiore intelligenza delle citazioni, e per esporle sotto quella forma e con quelle denominazioni che useremo nel seguito.

Riassunte perciò le equazioni (1), faccio in esse per maggior semplicità

$$(8) \quad t = \frac{\theta}{\sqrt{g(1+\mu)}}$$

onde sarà facile il vedere che si trasformeranno nelle seguenti:

$$\left(\frac{dx}{d\theta^2}\right) = - \frac{x}{r^3}$$

$$(9) \quad \left(\frac{dy}{d\theta^2}\right) = - \frac{y}{r^3}$$

$$\left(\frac{dz}{d\theta^2}\right) = - \frac{z}{r^3}$$

Si moltiplichia la prima di queste equazioni per  $\left(\frac{dx}{d\theta}\right)$ , la seconda per  $\left(\frac{dy}{d\theta}\right)$ , e la terza per  $\left(\frac{dz}{d\theta}\right)$ , sommandole ed integrando in seguito, avremo

$$(10) \quad \left(\frac{dx}{d\theta}\right)^2 + \left(\frac{dy}{d\theta}\right)^2 + \left(\frac{dz}{d\theta}\right)^2 = \frac{2}{r} + c$$

$c$  essendo la costante arbitraria aggiunta.

Dalle stesse equazioni (9) non sarà difficile il dedurre le seguenti:

$$x \left( \frac{d^2y}{d\theta^2} \right) - y \left( \frac{d^2x}{d\theta^2} \right) = 0$$

$$(11) \quad x \left( \frac{d^2z}{d\theta^2} \right) - z \left( \frac{d^2x}{d\theta^2} \right) = 0$$

$$y \left( \frac{d^2z}{d\theta^2} \right) - z \left( \frac{d^2y}{d\theta^2} \right) = 0$$

**Queste equazioni integrate danno**

$$(12) \quad x \left( \frac{dy}{d\theta} \right) - y \left( \frac{dx}{d\theta} \right) = c'$$

$$(13) \quad x \left( \frac{dz}{d\theta} \right) - z \left( \frac{dx}{d\theta} \right) = c''$$

$$(14) \quad y \left( \frac{dz}{d\theta} \right) - z \left( \frac{dy}{d\theta} \right) = c'''$$

Moltiplichiamo l'equazione (12) per  $z$ , la (13) per  $-y$  e la (14) per  $x$ , sommandole in seguito, avremo

$$(15) \quad c'z - c''y + c'''x = 0$$

Quest'equazione essendo quella di un piano che passa per l'origine delle coordinate, o sia pel sole, prova che la traiettoria descritta dal corpo celeste è situata in questo piano.

### 3.

Poichè adunque l'orbita descritta dal corpo celeste è in un piano, prendiamo le coordinate rettangole in questo

piano, tenendo fissa l'origine delle medesime. Le formole per passare da un sistema di coordinate nello spazio ad uno che sia in un piano, se si rappresentano con  $\xi$ ,  $v$  le nuove coordinate, sono

$$(16) \quad x = a\xi + \beta v, \quad y = a_1\xi + \beta_1 v, \quad z = a_2\xi + \beta_2 v$$

nelle quali  $a$ ,  $\beta$ ,  $a_1$ ,  $\beta_1$ ,  $a_2$ ,  $\beta_2$  esprimono i coseni degli angoli che i nuovi assi della  $\xi$  e  $v$  fanno cogli assi  $x$ ,  $y$ ,  $z$ , e sussistono fra questi coseni le equazioni

$$(17) \quad a^2 + a_1^2 + a_2^2 = 1$$

$$(18) \quad a\beta + a_1\beta_1 + a_2\beta_2 = 0$$

$$(19) \quad \beta^2 + \beta_1^2 + \beta_2^2 = 1$$

Così tre di queste quantità saranno determinate dalle stesse equazioni; due altre saranno legate coi rapporti  $\frac{c''}{c} \frac{c'''}{c'}$ , che fissano la posizione del piano dell'orbita, per mezzo delle formole

$$(20) \quad c'a_1 - c''a_1 + c'''a = 0$$

$$(21) \quad c'\beta_1 - c''\beta_1 + c'''\beta = 0$$

le quali risultano sostituendo i valori precedenti di  $x$ ,  $y$ ,  $z$  nell'equazione (15), ed eguagliando a zero i coefficienti di  $\xi$  e  $v$ , perchè quell'equazione deve verificarsi indipendentemente dai valori di queste coordinate; ne rimarrà poi una arbitraria a ragione che abbiamo lasciata arbitraria la direzione delle coordinate rettangole nel piano.

## 4

Sostituiamo successivamente i nuovi valori delle coordinate in tutte le equazioni precedenti. Cominciando a sostituirli nelle prime segnate (9), e moltiplicando la prima per  $\alpha$ , la seconda per  $\alpha_1$ , e la terza per  $\alpha_2$ , e poi la prima per  $\beta$ , la seconda per  $\beta_1$ , e la terza per  $\beta_2$ , sommando separatamente le prime tre, ed in seguito le altre tre, avremo

$$(22) \quad \left( \frac{d^2\xi}{d\theta^2} \right) = - \frac{\xi}{r^3}$$

$$(23) \quad \left( \frac{d^2v}{d\theta^2} \right) = - \frac{v}{r^3}$$

Sostituendoli dopo nell'equazione (10), essa si ridurrà a questa

$$(24) \quad \left( \frac{d\xi}{d\theta} \right)^2 + \left( \frac{dv}{d\theta} \right)^2 = \frac{2}{r} + c$$

In simil modo ponendoli nelle equazioni (11), ciascuna di esse ci darà

$$(25) \quad \xi \left( \frac{d^2v}{d\theta^2} \right) - v \left( \frac{d^2\xi}{d\theta^2} \right) = 0$$

Finalmente facendo la stessa sostituzione anche nelle equazioni (12), (13), (14), e ponendo per brevità

$$(26) \quad \frac{c}{\alpha\beta_1 - \beta\alpha_1} = \nu p$$

troveremo

$$(27) \quad \xi \left( \frac{dv}{d\theta} \right) - v \left( \frac{d\xi}{d\theta} \right) = \nu p$$

$$(28) \quad \{ \alpha\beta_s - \beta\alpha_s \} c'' = \{ \alpha\beta_s - \beta\alpha_s \} c'$$

$$(29) \quad \{ \alpha\beta_s - \beta\alpha_s \} c''' = \{ \alpha_s\beta_s - \beta_s\alpha_s \} c'$$

Ora abbiamo

$$\xi \left( \frac{dv}{d\theta} \right) - v \left( \frac{d\xi}{d\theta} \right) = \xi \left( \frac{dv}{d\theta} \right) + v \left( \frac{d\xi}{d\theta} \right) - 2v \left( \frac{d\xi}{d\theta} \right) :$$

i due primi termini di questo secondo membro compengono la funzion prima del prodotto  $\xi v$ , cioè della doppia area del triangolo rettangolo del quale  $\xi$  è la base e  $v$  l'altezza, e l'ultimo termine

$$2v \left( \frac{d\xi}{d\theta} \right)$$

rappresenta la funzion prima della doppia area della curva compresa tra l'ascissa  $\xi$  e l'ordinata  $v$ ; dunque la quantità

$$\xi \left( \frac{dv}{d\theta} \right) - v \left( \frac{d\xi}{d\theta} \right)$$

del primo membro rappresenterà la funzion prima della doppia differenza dell'area del triangolo e dell'area nominata; e si può vedere facilmente che questa differenza è in generale eguale allo spazio compreso tra la curva, della quale  $\xi$ ,  $v$  sono le coordinate, e la retta condotta dall'origine delle coordinate alla medesima curva, o sia all'area del settore descritto da questa stessa retta, che dicesi raggio vettore. Quindi essendo costante nell'equazione (27) la detta funzion prima, presa relativamente alla  $\theta$ , ne conchiuderemo che in un dato tempo la doppia area del settore descritto dal raggio vettore è proporzionale al tempo  $t$  ed alla quantità  $\sqrt{g(1+\mu)} \sqrt{p}$ .

I ragionamenti ora fatti potendosi ripetere su tutte le equazioni (12), (13), (14), si vedrà che le aree descritte dalle projezioni del raggio vettore sui tre piani coordinati crescono tutte proporzionalmente al tempo.

## 5.

Per proseguire vie meglio le integrazioni trasformiamo le coordinate rettangole  $\xi$ ,  $v$  in coordinate polari. A tal effetto si nomini  $u$  l'angolo che il raggio vettore  $r$  fa coll'asse delle  $\xi$ , sarà allora

$$(30) \quad \xi = r \cos u \quad v = r \sin u$$

Sostituendo nelle equazioni (24), (27) questi valori, avremo

$$(30) \quad r^2 \left( \frac{du}{d\theta} \right)^2 + \left( \frac{dr}{d\theta} \right)^2 = \frac{2}{r} + c$$

$$(31) \quad r^2 \left( \frac{du}{d\theta} \right) = \sqrt{p}$$

Si elimini, colla permutazione delle variabili, da queste equazioni prima la  $\theta$  e poscia la  $u$ ; si ritroveranno le seguenti:

$$(32) \quad \left( \frac{du}{dr} \right) = \frac{\sqrt{p}}{r^2 \sqrt{c + \frac{2}{r} - \frac{p}{r^2}}}$$

$$(33) \quad \left( \frac{d\theta}{dr} \right) = \frac{1}{\sqrt{c + \frac{2}{r} - \frac{p}{r^2}}}$$

Per integrare la prima facciasi

$$\frac{\sqrt{p}}{r} - \frac{1}{\sqrt{p}} = z$$

Sostituendo ed integrando , si avrà

$$u = \text{Arc. cos} \frac{z}{\sqrt{\left(c + \frac{1}{p}\right)}} + \sigma$$

$\sigma$  essendo la costante arbitraria. Rimettendo per  $z$  il suo valore , e facendo

$$(34) \quad cp + 1 = e^2 \quad (35) \quad p = a(1 - e^2)$$

risulterà

$$(36) \quad r = \frac{a(1 - e^2)}{1 + e \cos(u - \sigma)}$$

Quest' equazione appartiene a qualunque delle sezioni coniche , ed in essa , come è noto dalla teorica di queste curve ,  $a$  rappresenta il semiasse maggiore ,  $e$  l' eccentricità ,  $a(1 - e^2)$  il semiparametro , e  $\sigma$  l' angolo che l' asse maggiore della curva fa coll' asse delle ascisse  $\xi$ . La curva sarà poi un' ellisse , una parabola od un' iperbole , secondo che la quantità  $e$  sarà minore , eguale o maggiore dell' unità.

Ad oggetto d' integrare anche l' equazione (33) permutansi per semplicità le costanti come superiormente ; si troverà

$$\left(\frac{d\theta}{dr}\right) = \frac{r\sqrt{a}}{\sqrt{\{a^2e^2 - (a-r)^2\}}}$$

Pongasi in questa

$$(37) \quad r = a(1 - e \cos \varepsilon), \text{ ovvero } r = a \left( 1 - \frac{e}{\cos \varepsilon} \right)$$

integrandi risulteranno secondo le due posizioni gl' integrali seguenti :

$$(38) \quad \theta - \Theta = (\varepsilon - e \sin \varepsilon) / a^3$$

$$(39) \quad \theta - \Theta = \{e \tan \varepsilon - \log \tan(45 + \frac{1}{2}\varepsilon)\} \sqrt{-a^3}$$

nei quali  $\Theta$  rappresenta la costante arbitraria. Il primo di questi integrali è atto a dare una relazione fra  $\varepsilon$  e  $\theta$ , allorchè la curva descritta dal corpo celeste è un' ellisse; il secondo riesce più comodo quando la detta curva è una iperbole, nel qual caso, come è noto,  $a$  è una quantità negativa, e perciò  $\sqrt{-a^3}$  ha un valor reale.

Se poi l' orbita sarà parabolica, così che sia  $e=1$ , le equazioni (35), (36) daranno

$$(40) \quad r = \frac{p}{2 \cos \frac{1}{2}(u - w)}$$

Sostituendo questo valore di  $r$  nell' equazione (31) ed integrando, si ricaverà

$$(41) \quad \theta - \Theta = \frac{1}{2} \sqrt{p^3} \left( \tan \frac{1}{2}v + \frac{1}{3} \tan^3 \frac{1}{2}v \right)$$

dove  $v$  tien luogo di  $u - w$ .

Le equazioni (15), (36), (38), fra tutte, contengono sei costanti arbitrarie, e perciò potremo considerare che esse siano gl' integrali completi delle tre equazioni differenziali di second' ordine segnate (9), pel che resta compita

l'analisi delle medesime. Colle stesse equazioni (15), (36), (38) conosceremo le relazioni tra le variabili che determinano gli elementi del movimento del corpo celeste, allorchè saranno dati i valori delle dette sei costanti arbitrarie che le compongono, ed è appunto nel ritrovamento di questi valori che consiste la determinazione di un' orbita.

## 6.

Se ora passiamo dalle equazioni (1) del corpo celeste a quelle (2) della terra, è facile il vedere che queste ultime essendo della stessa forma delle prime condurranno parimente ad integrali della stessa forma, cui sarà perciò inutile di cercare, non rimanendoci da far altro che sostituire in tutte le equazioni già ritrovate per le quantità appartenenti al corpo celeste quelle corrispondenti della terra.

Siano perciò  $C$ ,  $C'$ ,  $C''$  le costanti della terra analoghe alle  $c$ ,  $c'$ ,  $c''$  del corpo celeste, sussisterà per questo pianeta l'equazione

$$(42) \quad CZ - C'Y + C''X = 0$$

la quale sarà quella del piano dell'eclittica.

Rappresentiamo con  $x$ ,  $y$  le coordinate della terra prese nel piano dell'eclittica, e sovrapponiamo anteriormente un apice alle quantità  $\alpha$ ,  $\beta$  che si trovano nelle equazioni (16) del corpo celeste per indicare quelle appartenenti alla terra, avremo

$$(43) \quad X = \alpha x + \beta y \quad Y = \alpha x + \beta y \quad Z = \alpha x + \beta y$$

Facendo poi

$$(44) \quad t = \frac{\theta}{\sqrt{g(1 + \mu)}}$$

queste posizioni ci condurranno in un modo simile al precedente ad avere anche per la terra le equazioni

$$(45) \quad \left( \frac{d^2 x}{d t^2} \right) = - \frac{x}{R^3}$$

$$(46) \quad \left( \frac{d^2 y}{d t^2} \right) = - \frac{y}{R^3}$$

$$(47) \quad x \left( \frac{d^2 y}{d t^2} \right) - y \left( \frac{d^2 x}{d t^2} \right) = 0$$

e di più supponendo

$$(48) \quad \frac{C}{\alpha' \beta_1 - \beta' \alpha_1} = \sqrt{P}$$

si otterrà come prima

$$(49) \quad x \left( \frac{d y}{d \theta} \right) - y \left( \frac{d x}{d \theta} \right) = \sqrt{P}$$

$$(50) \quad \{\alpha' \beta_1 - \beta' \alpha_1\} C'' = \{\alpha' \beta_1 - \beta' \alpha_1\} C'$$

$$(51) \quad \{\alpha' \beta_1 - \beta' \alpha_1\} C''' = \{\alpha' \beta_1 - \beta' \alpha_1\} C'$$

Sovrapponiamo parimente un apice davanti alle quantità che entrano nelle equazioni (35), (36), (37), (38) del corpo celeste per dinotare le analoghe della terra; le equazioni della medesima verranno così rappresentate

$$(52) \quad P = 'a(1 - 'e^2)$$

$$(53) \quad R = \frac{'a(1 - 'e^2)}{1 + 'e \cos(u - 'w)}$$

$$(54) \quad R = 'a(1 - 'e \cos'e)$$

$$(55) \quad 'θ - 'Θ = √'a^3 ('e - 'e sin'e)$$

## 7.

Ripongasi per ' $\theta$ ' in quest' ultima equazione il suo valore dato per  $t$  dall' equazione (44), comprendendo nella costante indeterminata ' $\Theta$ ' il divisore  $\sqrt{g(1 + \mu)}$ , avremo

$$(56) \quad t - 'Θ = \sqrt{\left(\frac{'a^3}{g(1 + \mu)}\right)} ('e - 'e sin'e)$$

Quest' equazione somministra il mezzo di trovare colla durata di una rivoluzione della terra, e colle costanti ' $a$ ' e ' $\mu$ ', che sono conosciute per le osservazioni e per la teorica delle attrazioni, il valore della  $g$  che entra nelle equazioni (8), (38) di tutti i corpi celesti.

Si determini in fatti nell' equazione (56) la costante ' $\Theta$ ' colla supposizione che sia  $t = 0$  quando ' $e = 0$ ', e si estenda quest' integrale sino ad ' $e = 2\pi$ ' ( $\pi$  rappresentando la semiperiferia del cerchio di raggio uno), risulterà

$$t = \sqrt{\left(\frac{'a^3}{g(1 + \mu)}\right)} \cdot 2\pi$$

Ora è facile il vedere per mezzo delle equazioni (53), (54), che ai due detti valori di ' $e$ ' la terra corrisponderà allo stesso punto del cielo, e che avrà percorsa una

intiera rivoluzione. Quindi, sapendosi dalle osservazioni che la durata di questa rivoluzione è di giorni solari medj 365,256384, prendendo per unità di distanza la distanza media della terra dal sole, o sia la ' $\alpha$ ', e supponendo secondo il signor Laplace che la massa della terra sia  $\frac{1}{329630} = 0,0000030$  di quella del sole, avremo

$$365,256384 = \frac{6,2831853}{\sqrt{1,0000030g}}$$

o sia

$$\sqrt{g} = \frac{6,2831853}{365,256384\sqrt{1,0000030}}$$

dalla quale si dedurrà

$$(57) \quad \log \sqrt{g} = 8,2355814$$

che sarà il logaritmo della radice della forza dell'universale gravitazione alla distanza uno, preso per unità di tempo il giorno solare medio, e per unità di distanza la media distanza dalla terra al sole.

Siccome la massa del corpo celeste è ancora incognita, e d'altronde le quantità  $\mu$ , ' $\mu$ ' che esprimono le masse del medesimo e della terra sono piccolissime in confronto dell'unità o sia della massa del sole, perciò trascureremo le dette quantità nelle equazioni (8), (44), ciò che darà più semplicemente

$$\theta = 'θ = t\sqrt{g}$$

ed in questo significato interpreteremo le  $\theta$  nelle formole date e nelle seguenti.

Nelle applicazioni successive ci occorrerà d'impiegare anche il valore della radice del semiparametro dell'orbita terrestre, perciò aggiungerò qui il logaritmo di questa quantità che ho dedotto dalla formola (52) colla supposizione di  $a = 1$ , e coll' eccentricità  $e = 0,01677976$  corrispondente al principio del secolo, ed è

$$(58) \quad \log P = 9,9999940$$

## ARTICOLO II.

*Equazioni provenienti dai dati delle osservazioni.*

### 8.

Nell' articolo precedente abbiamo dedotto dal principio dell' universale gravitazione le leggi del movimento del corpo celeste, la curva descritta e le relazioni tra il tempo e i luoghi occupati dal medesimo. Ora preaderemo a trattare delle relazioni fra i diversi luoghi del corpo celeste e della terra, le quali si deducono dalle equazioni dei raggi visuali segnate (4), (5), (6), introducendo la sola proprietà che tanto l' orbita del corpo celeste quanto quella della terra siano in un piano, e procureremo sopra tutto di dare alle nostre equazioni forme tali, che possano facilmente combinarsi con quelle esposte nell' articolo precedente concernenti le leggi dei corpi attratti, in modo da ricavare più semplicemente che potremo la soluzione del problema che ci siamo proposti.

Perciò richiamiamo le equazioni (4) appartenenti al raggio visuale della prima osservazione, e poniamo le medesime sotto le due forme seguenti:

$$(59) \quad \begin{aligned} o'x' - m'z' &= o'X - m'Z \\ o'y' - n'z' &= o'Y - n'Z \end{aligned}$$

Si moltiplicherà la prima di queste equazioni per

$$(60) \quad o'y'' - n'z''$$

e si sottragga la seconda moltiplicata per

$$(60) \quad o'x'' - m'z''$$

si troverà

$$(61) \quad \begin{aligned} o' \{ o'(x'y'' - x''y') - n'(x'z'' - z'x'') + m'(y'z'' - z'y'') \} &= \\ (o'X - m'Z')(o'y'' - n'z'') - (o'Y - n'Z')(o'x'' - m'z'') & \end{aligned}$$

Si moltiplicherà in vece la prima delle superiori equazioni per

$$(62) \quad o'y''' - n'z'''$$

e si sottragga la seconda moltiplicata per

$$(62) \quad o'x''' - m'z'''$$

otterremo

$$(61) \quad \begin{aligned} o' \{ o'(x'y''' - y'x''') - n'(x'z''' - z'x''') + m'(y'z''' - z'y''') \} &= \\ (o'X - m'Z')(o'y''' - n'z''') - (o'Y - n'Z')(o'x''' - m'z''') & \end{aligned}$$

Quest'equazione e la precedente (61) sono state dedotte da quelle segnate (4), appartenenti al raggio visuale della prima osservazione; ed è evidente che trattando con un

processo simile le equazioni (5) del secondo raggio visuale, e cangiando nei fattori (60), (62) ' in "", " in "", "" in ', si avranno anche le seguenti:

$$(61) \quad \begin{aligned} o''\{o''(x''y''' - y''x'') - n''(x''z''' - z''x'') + m''(y''z''' - z''y'')\} = \\ (o''X'' - m''Z'')(o''y''' - n''z'') - (o''Y'' - n''Z'')(o''x''' - m''z'') \\ o''\{o''(x'y'' - y'x'') - n''(x'z'' - z'x'') + m''(y'z'' - z'y'')\} = \\ -(o''X' - m''Z'')(o''y' - n''z') + (o''Y' - n''Z'')(o''x' - m''z') \end{aligned}$$

Parimente le equazioni (6) del terzo raggio visuale ed il cangiamento di ' in "", di " in ', di "" in " nei fattori (60), (62) ci forniranno queste altre due:

$$(61) \quad \begin{aligned} o'''\{o''''(x'y''' - y'x'') - n''''(x'z''' - z'x'') + m''''(y'z''' - z'y'')\} = \\ -(o''''X''' - m''''Z'')(o''''y' - n''''z') + (o''''Y''' - n''''Z'')(o''''x' - m''''z') \\ o'''\{o''''(x''y''' - y''x'') - n''''(x''z''' - z''x'') + m''''(y''z''' - z''y'')\} = \\ -(o''''X''' - m''''Z'')(o''''y'' - n''''z'') + (o''''Y''' - n''''Z'')(o''''x'' - m''''z'') \end{aligned}$$

Supponiamo

$$(63) \quad \xi'v'' - v'\xi'' = \tau^*\sqrt{p}, \quad \xi'v''' - v'\xi''' = \tau^{**}\sqrt{p}, \quad \xi''v''' - v''\xi''' = \tau^{***}\sqrt{p}$$

Sostituendo nei primi membri delle infrascritte equazioni per  $x'$ ,  $y'$ ,  $z'$ ;  $x''$ , ecc. i loro valori che provengono dalle formole (16); e facendo le riduzioni che somministrano le equazioni (26), (28), (29), (63), si troverà che abbiamo

$$x'y'' - y'x'' = c'\tau^i, \quad x'y''' - y'x''' = c'\tau^{ii}, \quad x''y''' - y''x''' = c'\tau^{iii}$$

$$(64) \quad x'z'' - z'x'' = c''\tau^i, \quad x'z''' - z'x''' = c''\tau^{ii}, \quad x''z''' - z''x''' = c''\tau^{iii}$$

$$y'z'' - z'y'' = c''\tau^i, \quad y'z''' - z'y''' = c''\tau^{ii}, \quad y''z''' - z''y''' = c''\tau^{iii}$$

Denominiamo di più  $\Delta$  la distanza dalla terra al corpo celeste, sarà, come è noto,

$$\Delta^2 = (x - X)^2 + (y - Y)^2 + (z - Z)^2$$

Combinando quest'equazione con quelle segnate (3), e facendo per brevità

$$(65) \quad \delta = \frac{\Delta}{\sqrt{(m^2 + n^2 + o^2)}}$$

si dedurranno le seguenti:

$$(66) \quad \frac{x - X}{m} = \delta, \quad \frac{y - Y}{n} = \delta, \quad \frac{z - Z}{o} = \delta$$

Sostituiamo ora i valori dei primi membri delle equazioni (64) nelle precedenti (61), e poniamo nei secondi membri di queste ultime per  $x'$ ,  $y'$ ,  $z'$ ;  $x''$ , ecc. i valori che si deducono dalle equazioni (66), sovrapponendo alle quantità che entrano nelle medesime l'opportuno numero d'apici. Eseguite queste sostituzioni, facendo in generale

$$(67) \quad \psi = oc' - nc'' + mc'''$$

e dando alla  $\psi$  un numero d'apici eguale a quello che sarà sovrapposto alle lettere  $o$ ,  $n$ ,  $m$  del secondo membro, si troverà che le equazioni (61) si cangeranno in queste

$$\begin{aligned}
 \psi' \tau^* &= o'(XY'' - YX'') - n'(XZ'' - ZX'') + m'(YZ'' - ZY'') \\
 &\quad - \{Z(m'n'' - n'm'') - Y(m'o'' - o'm'') + X(n'o'' - o'n'')\} \delta'' \\
 \psi' \tau^{**} &= o'(XY'' - YX'') - n'(XZ'' - ZX'') + m'(YZ'' - ZY'') \\
 &\quad - \{Z(m'n''' - n'm'') - Y(m'o''' - o'm'') + X(n'o''' - o'n'')\} \delta''' \\
 \psi' \tau^{***} &= o''(XY'' - YX'') - n''(XZ'' - ZX'') + m''(YZ'' - ZY'') \\
 &\quad - \{Z(m''n''' - n''m'') - Y(m''o''' - o''m'') + X(n''o''' - o''n'')\} \delta'''' \\
 (68) \quad \psi'' \tau^* &= o''(XY'' - YX'') - n''(XZ'' - ZX'') + m''(YZ'' - ZY'') \\
 &\quad - \{Z(m'n'' - n'm'') - Y(m'o'' - o'm'') + X(n'o'' - o'n'')\} \delta' \\
 \psi'' \tau^{**} &= o''(XY'' - YX'') - n''(XZ'' - ZX'') + m''(YZ'' - ZY'') \\
 &\quad - \{Z(m'n''' - n'm'') - Y(m'o''' - o'm'') + X(n'o''' - o'n'')\} \delta' \\
 \psi'' \tau^{***} &= o''(XY'' - YX'') - n''(XZ'' - ZX'') + m''(YZ'' - ZY'') \\
 &\quad - \{Z(m''n''' - n''m'') - Y(m''o''' - o''m'') + X(n''o''' - o''n'')\} \delta'' \\
 \psi''' \tau^{***} &= o''(XY'' - YX'') - n''(XZ'' - ZX'') + m''(YZ'' - ZY'') \\
 &\quad - \{Z(m''n''' - n''m'') - Y(m''o''' - o''m'') + X(n''o''' - o''n'')\} \delta'' \\
 \end{aligned}$$

Le presenti equazioni possono mettersi sotto due semplici forme che esporremo successivamente.

## 9.

Supponiamo primieramente

$$(69) \quad X = \mu D \quad Y = \nu D \quad Z = \omega D$$

Per brevità adotteremo le seguenti denominazioni :

$$\begin{aligned}
 B_i^* &= o'(\mu'\nu'' - \nu'\mu'') - n'(\mu'\omega'' - \omega'\mu'') + m'(\nu'\omega'' - \omega'\nu'') \\
 (70) \quad B_i^{**} &= o'(\mu'\nu''' - \nu'\mu'') - n'(\mu'\omega''' - \omega'\mu'') + m'(\nu'\omega''' - \omega'\nu'') \\
 B_i^{***} &= o'(\mu''\nu'' - \nu''\mu'') - n'(\mu''\omega'' - \omega''\mu'') + m'(\nu''\omega'' - \omega''\nu'')
 \end{aligned}$$

(\*) Qui la  $\mu$  non rappresenta più la massa del corpo celeste.

e cambieremo l' indice 1 posto sotto alle  $B$  in un 2 , ovvero 3 , secondo che alle lettere  $m'$ ,  $n'$ ,  $o'$  subentreranno le  $m''$ ,  $n''$ ,  $o''$ , ovvero  $m'''$ ,  $n'''$ ,  $o'''$ . Sostituiremo di più alle  $B$  majuscole le  $b$  minuscole allorchè nelle formole precedenti le lettere greche si permuteranno nelle latine , e viceversa.

Questo premesso , sovrapponendo uno , due o tre apici alle quantità componenti le equazioni (69) , secondo che apparterranno alla prima , seconda o terza osservazione , e sostituendo i valori che risultano per  $X'$ ,  $Y'$ ,  $Z'$ ;  $X''$ , ecc. nelle equazioni (68) , queste ultime col mezzo delle precedenti denominazioni si potranno scrivere come segue :

$$(71) \quad \begin{aligned} \psi' \tau^1 &= \{ B_1^1 D'' - b_1^1 \delta'' \} D' \\ \psi' \tau^{11} &= \{ B_1^{11} D''' - b_1^{11} \delta''' \} D' \\ \psi'' \tau^{111} &= \{ B_1^{111} D''' - b_1^{111} \delta''' \} D'' \\ \psi'' \tau^1 &= \{ B_1^1 D' - b_1^1 \delta' \} D'' \\ \psi''' \tau^{11} &= \{ B_3^1 D' - b_3^1 \delta' \} D''' \\ \psi''' \tau^{111} &= \{ B_3^{111} D'' - b_3^{111} \delta'' \} D''' \end{aligned}$$

#### I.O.

Per dare alle equazioni (68) un' altra forma egualmente semplice a quella delle precedenti , facciamo

$$(72) \quad x'y'' - y'x'' = T' \sqrt{P}, \quad x'y''' - y'x''' = T''' \sqrt{P}, \quad x''y''' - y''x''' = T''' \sqrt{P}$$

In un modo simile a quello col quale abbiamo ottenute le equazioni (64) , facendo uso di quelle segnate (43) e delle riduzioni somministrate dalle equazioni (48) , (50) , (51) , si troveranno le seguenti :

$$X'Y'' - Y'X'' = C' T^1, \quad X'Y''' - Y'X''' = C' T^{\prime\prime}, \quad X''Y''' - Y''X''' = C' T^{\prime\prime\prime}$$

$$(73) \quad X'Z'' - Z'X'' = C'' T^1, \quad X'Z''' - Z'X''' = C'' T^{\prime\prime}, \quad X''Z''' - Z''X''' = C'' T^{\prime\prime\prime}$$

$$Y'Z'' - Z'Y'' = C''' T^1, \quad Y'Z''' - Z'Y''' = C''' T^{\prime\prime}, \quad Y''Z''' - Z''Y''' = C''' T^{\prime\prime\prime}$$

Supponendo quindi in generale

$$(74) \quad \chi = o C' - n C'' + m C'''$$

e dando alla  $\chi$  lo stesso numero d'apici che ne' casi particolari sarà sovrapposto alle lettere  $m$ ,  $n$ ,  $o$  del secondo membro, si vedrà che col mezzo delle equazioni (69), (70), (73), quelle segnate (68) si potranno ridurre alla seguente forma:

$$(75) \quad \begin{aligned} b_1^1 D' \delta'' &= \chi' T^1 - \psi' \tau^1 \\ b_1^{\prime\prime} D' \delta''' &= \chi' T^{\prime\prime} - \psi' \tau^{\prime\prime} \\ b_1^{\prime\prime\prime} D'' \delta''' &= \chi'' T^{\prime\prime\prime} - \psi'' \tau^{\prime\prime\prime} \\ b_2^1 D' \delta' &= \chi'' T^1 - \psi'' \tau^1 \\ b_2^{\prime\prime} D'' \delta' &= \chi''' T^{\prime\prime} - \psi''' \tau^{\prime\prime} \\ b_2^{\prime\prime\prime} D'' \delta'' &= \chi''' T^{\prime\prime\prime} - \psi''' \tau^{\prime\prime\prime} \end{aligned}$$

## I I.

La prima delle equazioni (63) può mettersi sotto la forma

$$(\xi' - \xi'') (v' + v'') + \xi'' v'' - \xi' v' = \tau' V p$$

nella quale il primo dei tre termini componenti il primo membro rappresenta il doppio dell'area del trapezio

compresso dalle due ordinate  $v'$ ,  $v''$  corrispondenti alla prima e seconda osservazione, e gli altri due termini esprimono le doppie aree dei triangoli formati dalle coordinate e dai raggi vettori del corpo celeste nelle due dette osservazioni. Ora è facile il vedere che la somma delle due prime aree diminuita della terza eguaglia il doppio dell'area del triangolo formato dai raggi vettori della prima e seconda osservazione, e dalla corda che gli unisce, il qual triangolo chiameremo settore triangolare. Perciò nel secondo membro della precedente equazione la quantità  $\tau'$  rappresenterà il doppio settore triangolare diviso per la radice del semiparametro; e facilmente si riconoscerà per le stesse ragioni, che le quantità  $\tau''$ ,  $\tau'''$  nelle altre due equazioni (63) esprimeranno le doppie aree dei settori triangolari fatti dai raggi vettori  $r'r''$  ed  $r'r'''$  divise parimente per la radice del semiparametro dell'orbita.

È poi evidente che le  $T'$ ,  $T''$ ,  $T'''$  delle equazioni (72) rappresenteranno nell'orbita della terra quantità analoghe alle  $\tau'$ ,  $\tau''$ ,  $\tau'''$  che ora abbiamo esaminate; e che i primi membri delle equazioni (64), (73) corrisponderanno alle projezioni delle doppie aree dei detti triangoli sui piani coordinati rettangolari.

Poniamo i valori delle coordinate  $X$ ,  $Y$ ,  $Z$ ;  $X''$ , ecc., che si ricavano dalle formole (69) coll'opportuna sovrapposizione d'apici, nelle equazioni (73), combinandole poi colle equazioni (70) e loro derivanti, si troveranno le seguenti:

$$(76) \quad \begin{array}{lll} B_1 D'D'' = \chi' T' & B_2 D'D''' = \chi' T'' & B_3 D'D''' = \chi' T''' \\ B_1 D'D'' = \chi'' T' & B_2 D'D''' = \chi'' T'' & B_3 D'D''' = \chi'' T''' \\ B_3 D'D'' = \chi''' T' & B_2 D'D''' = \chi''' T'' & B_1 D'D''' = \chi''' T''' \end{array}$$

Molte di queste equazioni si possono anche ricavare confrontando le equazioni (71) colle (75).

Le sei equazioni (71) ovvero (75) contengono le principali relazioni fra i luoghi occupati dalla terra e quelli occupati dal corpo celeste, che possono essere utili alla soluzione del problema che trattiamo. In queste equazioni le quantità  $B$ ,  $b$ ,  $\chi$ ,  $T$  sono conosciute per mezzo delle osservazioni e delle tavole solari, ma le altre  $\delta$ ,  $\psi$ ,  $\tau$ , che dipendono dal sito del corpo celeste, dalla posizione del piano dell' orbita e dal semiparametro della stessa, sono evidentemente incognite. Queste incognite essendo in numero maggiore di quello delle equazioni (71) o (75), converrà per determinarle che i valori di alcune di esse siano preventivamente conosciuti, o che si possano ricavare da qualche proprietà delle traiettorie; ed è facile il prevedere che i valori di  $\tau'$ ,  $\tau''$ ,  $\tau'''$  saranno quelli che più probabilmente si potranno dedurre dalla combinazione delle leggi del movimento del corpo celeste coi dati delle osservazioni. Conservando perciò queste quantità, elimineremo soltanto le incognite  $\psi$  ovvero  $\delta$ . Primieramente col paragone dei valori di  $\psi'$ ,  $\psi''$ ,  $\psi'''$ , che si ricavano dalle equazioni (71), avremo

$$(77) \quad \{B_i^i D'' - b_i^i \delta''\} \tau'' = \{B_i^i D''' - b_i^i \delta'''\} \tau'$$

$$(78) \quad \{B_i^{ii} D''' - b_i^{ii} \delta'''\} \tau' = \{B_i^i D' - b_i^i \delta'\} \tau'''$$

$$(79) \quad \{B_i^{ii} D' - b_i^{ii} \delta'\} \tau''' = \{B_i^{ii} D'' - b_i^{ii} \delta''\} \tau''$$

Col paragone in vece dei valori delle stesse quantità  $\psi'$ ,  $\psi''$ ,  $\psi'''$  dedotti dalle equazioni (75) troveremo

$$\{b_i^i \tau'' \delta'' - b_i^i \tau' \delta'''\} D' = \chi' \{\tau'' T' - \tau' T''\}$$

$$(80) \quad \{b_i^{ii} \tau' \delta''' - b_i^i \tau''' \delta'\} D'' = \chi'' \{\tau' T''' - \tau''' T'\}$$

$$\{b_i^{ii} \tau''' \delta' - b_i^{ii} \tau'' \delta''\} D''' = \chi''' \{\tau''' T'' - \tau'' T'''\}$$

Queste equazioni o le precedenti somministrano la relazione che passa fra due qualunque delle quantità  $\delta'$ ,  $\delta''$ ,  $\delta'''$  quando siano conosciuti i rapporti fra le altre  $\tau'$ ,  $\tau''$ ,  $\tau'''$ .

## 13.

Avanti di progredire faremo osservare come alcune equazioni composte delle  $B$  e  $b$  diventano identiche per la sostituzione dei loro valori in funzione delle  $m$ ,  $n$ ,  $o$ ;  $\mu$ ,  $\nu$ ,  $\sigma$ , perchè la cognizione di queste identità servirà a rendere notabilmente più semplici le equazioni che troveremo in seguito.

Primieramente non sarà difficile di verificare colla sostituzione dei rispettivi valori delle  $B$  e  $b$  l'identità delle seguenti equazioni:

$$(81) \quad B_1'''m''' - B_3'''m'' = b_3'''n'' - b_1'''\mu'''$$

$$(82) \quad B_1'''n''' - B_3'''n'' = b_1'''v'' - b_3'''v'''$$

$$(83) \quad B_1'''o''' - B_3'''o'' = b_3'''o'' - b_1'''o'''$$

Si moltiplicherà l'equazione (81) per  $v'o'' - \sigma'n''$ , la (82) per  $-(\mu'o'' - \sigma'm'')$  e la (83) per  $\mu'n'' - v'm''$ , sommandone i prodotti e trasportando tutti i termini nel primo membro, si troverà

$$(84) \quad b_1'''B_1''' - b_1'''B_3''' + b_3'''B_1''' = 0$$

Si moltiplicherà ora l'equazione (81) per  $v'o' - \sigma'n'$ , la (82) per  $-(\mu'o' - \sigma'm')$  e la (83) per  $\mu'n' - v'm'$ , facendo la somma dei prodotti, dedurremo

$$(85) \quad b_1'''B_1''' - B_1'''b_3''' = b_1'''B_3''' - B_1'''b_3'''$$

Moltiplichiamo finalmente la (81) per  $n'o'' - o'n''$ , la (82) per  $- (m'o'' - o'm'')$  e la (83) per  $(m'n'' - n'm'')$ , sommandone egualmente i prodotti, e supponendo

$$(86) \quad \theta = o'(m''n'' - n''m'') - n'(m''o'' - o''m'') + m'(n''o'' - o''n'')$$

risulterà

$$(87) \quad B_1''' \theta = b_1^i b_3''' - b_3^i b_1'''$$

Le equazioni (81), (82), (83) essendo identiche, sussisteranno ancora, se in esse cambieremo ' in ", " in "", e "" in ' ; eseguendo tale permutazione d' apici, diventano

$$B_3''' m' - B_i''' m''' = b_1^i \mu''' - b_3^i \mu'$$

$$B_3''' n' - B_i''' n''' = b_1^i \nu''' - b_3^i \nu'$$

$$B_3''' o' - B_i''' o''' = b_1^i \omega''' - b_3^i \omega'$$

Facendo su queste equazioni le stesse moltiplicazioni che ultimamente abbiamo fatte sulle equazioni (81), (82), (83), troveremo

$$B_i''' \theta = b_1^i b_3''' - b_3^i b_1'''$$

Da questa e dall'equazione (87) si dedurranno facilmente le seguenti :

$$(88) \quad \{ b_1^i B_3''' - B_i^i b_3''' \} b_3^i = b_1^i b_3^i B_3''' - b_1^i B_i^i b_3'''$$

$$(89) \quad - \{ b_1^i B_3''' - B_i^i b_3''' \} \theta = b_1^i b_3^i b_1''' - b_1^i b_1^i b_3'''$$

Con un metodo simile a quello che abbiamo usato per dedurre le equazioni (84), (85), (88), ovvero cambiando in queste equazioni identiche alle  $m$ ,  $n$ ,  $o$ ;  $\mu$ ,  $\nu$ ,  $\omega$ , di cui le  $B$  e  $b$  son composte, ' in ", " in "", " in ' , e poi ' in "", " in ', " in ", si ricaveranno tutte le infrascritte :

$$(84) \quad b_i^{\text{II}} B_3^{\text{III}} - b_i^{\text{II}} B_3^{\text{II}} + b_3^{\text{II}} B_i^{\text{I}} = 0$$

$$b_i^{\text{I}} B_3^{\text{III}} - b_i^{\text{I}} B_3^{\text{II}} + b_3^{\text{I}} B_i^{\text{I}} = 0$$

$$(85) \quad b_i^{\text{I}} B_3^{\text{II}} - B_i^{\text{I}} b_3^{\text{II}} = b_i^{\text{II}} B_3^{\text{III}} - B_i^{\text{II}} b_3^{\text{III}}$$

$$b_i^{\text{I}} B_3^{\text{III}} - B_i^{\text{I}} b_3^{\text{III}} = b_i^{\text{I}} B_3^{\text{II}} - B_i^{\text{I}} b_3^{\text{II}}$$

$$(88) \quad \{ b_i^{\text{I}} B_3^{\text{II}} - B_i^{\text{I}} b_3^{\text{II}} \} b_i^{\text{III}} = b_i^{\text{I}} B_3^{\text{II}} b_i^{\text{III}} - B_i^{\text{I}} b_3^{\text{II}} b_i^{\text{III}}$$

$$\{ b_i^{\text{I}} B_3^{\text{III}} - B_i^{\text{I}} b_3^{\text{III}} \} b_i^{\text{II}} = B_i^{\text{I}} b_3^{\text{II}} b_i^{\text{III}} - b_i^{\text{I}} b_i^{\text{II}} B_3^{\text{III}}$$

## I 4.

Premesse queste osservazioni, ritorniamo alle equazioni (77), (78), (79), e moltiplichiamole rispettivamente prima per  $b_3^{\text{III}} b_i^{\text{III}}$ ,  $b_3^{\text{III}} b_i^{\text{II}}$ ,  $b_3^{\text{III}} b_i^{\text{I}}$ , e poi per  $b_3^{\text{II}} b_i^{\text{III}}$ ,  $b_3^{\text{II}} b_i^{\text{II}}$ ,  $b_3^{\text{II}} b_i^{\text{I}}$ , e finalmente per  $b_3^{\text{I}} b_i^{\text{III}}$ ,  $b_3^{\text{I}} b_i^{\text{II}}$ ,  $b_3^{\text{I}} b_i^{\text{I}}$ ; sommando i primi tre prodotti, e poi i secondi tre, ed in fine gli ultimi tre, e togliendo i fattori comuni che si riconosceranno per mezzo delle equazioni (84), (85), (88), (89), si arriverà alle equazioni che seguono

$$(89) \quad \begin{aligned} \delta \tau^{\text{III}} \delta' &= -b_i^{\text{III}} \tau^{\text{III}} D' + b_i^{\text{III}} \tau^{\text{II}} D'' - b_3^{\text{III}} \tau^{\text{I}} D''' \\ \delta \tau^{\text{II}} \delta'' &= -b_i^{\text{II}} \tau^{\text{III}} D' + b_i^{\text{II}} \tau^{\text{II}} D'' - b_3^{\text{II}} \tau^{\text{I}} D''' \\ \delta \tau^{\text{I}} \delta''' &= -b_i^{\text{I}} \tau^{\text{III}} D' + b_i^{\text{I}} \tau^{\text{II}} D'' - b_3^{\text{I}} \tau^{\text{I}} D''' \end{aligned}$$

Ogni qual volta saranno conosciuti i valori dei rapporti tra le quantità  $\tau^{\text{I}}$ ,  $\tau^{\text{II}}$ ,  $\tau^{\text{III}}$ , queste equazioni saranno atte a somministrarci i valori delle incognite  $\delta'$ ,  $\delta''$ ,  $\delta'''$ .

## I 5.

Moltiplichiamo la prima delle equazioni (84) per  $D''D'''$ , la seconda per  $D'D'''$  e la terza per  $D'D''$ , introducendo le eguaglianze date dalle equazioni (76), troveremo le seguenti:

$$\begin{aligned} b_i'''T'''D' - b_i'''T''D'' + b_3'''T'D''' &= 0 \\ (90) \quad b_i''T'''D' - b_i''T''D'' + b_3''T'D''' &= 0 \\ b_i''T'''D' - b_i''T''D'' + b_3''T'D''' &= 0 \end{aligned}$$

Si aggiungano queste equazioni ai secondi membri delle ultime date nel numero precedente, otterremo

$$\begin{aligned} 6\tau''' \delta' &= b_i'''(T''' - \tau''')D' - b_i'''(T'' - \tau'')D'' + b_3'''(T' - \tau')D''' \\ (91) \quad 6\tau'' \delta'' &= b_i''(T''' - \tau''')D' - b_i''(T'' - \tau'')D'' + b_3''(T' - \tau')D''' \\ 6\tau' \delta''' &= b_i'(T''' - \tau''')D' - b_i'(T'' - \tau'')D'' + b_3'(T' - \tau')D''' \end{aligned}$$

## I 6.

Alle equazioni (90) aggiungiamo da una parte e dall'altra rispettivamente i secondi membri di quelle segnate (89), risulterà

$$\begin{aligned} b_i'''(T''' - \tau''')D' - b_i''(T'' - \tau'')D'' + b_3''(T' - \tau')D''' \\ = -b_i''' \tau''' D' + b_i'' \tau'' D'' - b_3'' \tau' D''' \\ b_i''(T''' - \tau''')D' - b_i''(T'' - \tau'')D'' + b_3''(T' - \tau')D''' \\ = -b_i'' \tau''' D' + b_i'' \tau'' D'' - b_3'' \tau' D''' \\ b_i'(T''' - \tau''')D' - b_i'(T'' - \tau'')D'' + b_3'(T' - \tau')D''' \\ = -b_i' \tau''' D' + b_i' \tau'' D'' - b_3' \tau' D''' \end{aligned}$$

Eliminiamo dai secondi membri di queste equazioni le quantità  $b_i'''$ ,  $b_i''$ ,  $b_i'$  per mezzo delle equazioni (90), dedurrassi

$$\begin{aligned} & b_i'''(T''' - \tau''')D' - b_i''(T'' - \tau'')D'' + b_i'(T' - \tau')D''' \\ &= \left\{ b_i'' \left( \frac{\tau''}{\tau'''} - \frac{T''}{T'''} \right) D'' - b_i' \left( \frac{\tau'}{\tau''} - \frac{T'}{T''} \right) D''' \right\} \tau''' \\ (92) \quad & b_i''(T''' - \tau''')D' - b_i''(T'' - \tau'')D'' + b_i'(T' - \tau')D''' \\ &= - \left\{ b_i' \left( \frac{\tau'}{\tau''} - \frac{T'}{T''} \right) D'' + b_i'' \left( \frac{\tau''}{\tau'''} - \frac{T''}{T'''} \right) D' \right\} \tau'' \\ & b_i'(T''' - \tau''')D' - b_i'(T'' - \tau'')D'' + b_i''(T' - \tau')D''' \\ &= - \left\{ b_i' \left( \frac{\tau''}{\tau'''} - \frac{T''}{T'''} \right) D' - b_i'' \left( \frac{\tau'}{\tau''} - \frac{T'}{T''} \right) D'' \right\} \tau' \end{aligned}$$

Quindi i secondi membri di queste equazioni potranno tener luogo dei primi nelle equazioni (91).

## 17.

Le equazioni date ai numeri 12, 14 e 15 sono state ricavate eliminando le  $\psi$  dalle equazioni (71) ovvero (75); eliminiamo ora da quest'ultime le quantità  $\delta', \delta'', \delta'''$ , risulterà

$$\begin{aligned} (93) \quad & b_3'' \{ \chi'' T' - \psi'' \tau' \} D'' = b_1' \{ \chi''' T'' - \psi''' \tau'' \} D'' \\ & b_3''' \{ \chi' T' - \psi' \tau' \} D''' = b_1' \{ \chi''' T''' - \psi''' \tau''' \} D''' \\ & b_1'' \{ \chi' T'' - \psi'' \tau'' \} D'' = b_1' \{ \chi'' T''' - \psi'' \tau''' \} D''' \end{aligned}$$

ovvero riducendo tutte in un membro le  $\psi$ , e nell'altro le  $\chi$

$$\begin{aligned} & b_1' \psi'' D'' \tau'' - b_3'' \psi' D'' \tau' = b_1' \chi'' D'' T'' - b_3'' \chi'' D'' T' \\ & b_1' \psi'' D' \tau''' - b_3''' \psi' D'' \tau' = b_1' \chi'' D' T''' - b_3''' \chi' D'' T' \\ & b_1'' \psi' D' \tau''' - b_3''' \psi' D'' \tau'' = b_1'' \chi' D' T''' - b_3''' \chi' D'' T'' \end{aligned}$$

Ma le equazioni (85) combinate colle (76) danno

$$(94) \quad b_1^i \chi''' D'' T^{ii} - b_3^{ii} \chi'' D''' T^i = b_1^i \chi''' D' T^{iii} - b_3^{iii} \chi' D''' T^i$$

$$b_1^i \chi''' D' T^{iii} - b_3^{iii} \chi' D''' T^i = b_1^i \chi'' D' T^{iii} - b_3^{iii} \chi' D'' T^{ii}$$

si avrà perciò anche

$$(95) \quad b_1^i \psi''' D'' \tau^{ii} - b_3^{ii} \psi'' D''' \tau^i = b_1^i \psi''' D' \tau^{iii} - b_3^{iii} \psi' D''' \tau^i$$

$$b_1^i \psi''' D' \tau^{iii} - b_3^{iii} \psi' D''' \tau^i = b_1^i \psi'' D' \tau^{iii} - b_3^{iii} \psi' D'' \tau^{ii}$$

È manifesto che con queste equazioni potremo determinare i rapporti fra le quantità  $\psi'$ ,  $\psi''$ ,  $\psi'''$ , ovvero fra le quantità  $c'$ ,  $c''$ ,  $c'''$  che le compongono, quando saremo arrivati a conoscere quelli che esistono fra le quantità  $\tau^i$ ,  $\tau^{ii}$ ,  $\tau^{iii}$ .

### ARTICOLO III.

*Equazioni risultanti dalla combinazione delle leggi dell'attrazione coi dati delle osservazioni.*

#### 18.

Dopo aver esaminate nel primo articolo le equazioni che risultano dalle leggi dell'universale gravitazione, ed avere nel secondo disposte le equazioni che ci procurano le osservazioni su di un dato corpo celeste sotto quelle forme che meglio si presteranno alla determinazione delle incognite, dalle quali dipendono gli elementi della sua orbita, ci rimane ora colla combinazione di tutte le premesse equazioni d'intraprendere la ricerca di

queste medesime incognite. È però facile il vedere che , trattando il problema con tutta la generalità possibile , la combinazione di queste equazioni ci condurrebbe bensì alla soluzione del medesimo , ma c' implicherebbe in equazioni trascendentali , la soluzione delle quali sormetterebbe le attuali forze dell' Analisi. Per ovviare a tanta difficoltà la strada più naturale , e che per ora è forse indispensabile , pare quella di assumere per condizione che gl' intervalli di tempo fra le osservazioni non comprendano un gran numero di giorni.

Rappresentiamo in fatti con  $t'$ ,  $t''$  i giorni decorsi fra la prima e la seconda , e fra la seconda e terza osservazione , se i numeri espressi da  $t'$ ,  $t''$  non oltrepasseranno i 10 o 15 giorni , moltiplicandoli per la costante  $\sqrt{g}$  , della quale abbiamo dato il logaritmo al numero 7 , pro-durranno per  $\theta'$ ,  $\theta''$  due quantità piccole. Considerando perciò le coordinate  $\xi'$ ,  $v'$ ;  $\xi''$ ,  $v''$  delle osservazioni estreme come funzioni delle coordinate  $\xi''$ ,  $v''$  dell' osservazione media , e delle quantità  $\theta'$ ,  $\theta''$  , potremo sviluppare le prime coordinate in serie per le potenze di  $\theta'$ ,  $\theta''$  , e trascurare come insensibili i termini ove queste quantità si troveranno innalzate ad alte potenze. Avremo così , secondo il teorema di Taylor , per le coordinate del corpo celeste

$$\xi' = \xi'' - \left( \frac{d\xi''}{d\theta} \right) \theta' + \frac{1}{2} \left( \frac{d^2 \xi''}{d\theta^2} \right) \theta'^2 - \frac{1}{2 \cdot 3} \left( \frac{d^3 \xi''}{d\theta^3} \right) \theta'^3 + \text{ecc.}$$

$$v' = v'' - \left( \frac{dv''}{d\theta} \right) \theta' + \frac{1}{2} \left( \frac{d^2 v''}{d\theta^2} \right) \theta'^2 - \frac{1}{2 \cdot 3} \left( \frac{d^3 v''}{d\theta^3} \right) \theta'^3 + \text{ecc.}$$

$$\xi'' = \xi'' + \left( \frac{d\xi''}{d\theta} \right) \theta''' + \frac{1}{2} \left( \frac{d^2 \xi''}{d\theta^2} \right) \theta'''' + \frac{1}{2 \cdot 3} \left( \frac{d^3 \xi''}{d\theta^3} \right) \theta'''''' + \text{ecc.}$$

$$v'' = v'' + \left( \frac{dv''}{d\theta} \right) \theta''' + \frac{1}{2} \left( \frac{d^2 v''}{d\theta^2} \right) \theta'''' + \frac{1}{2 \cdot 3} \left( \frac{d^3 v''}{d\theta^3} \right) \theta'''''' + \text{ecc.}$$

E parimente per le coordinate della terra

$$x' = x'' - \left( \frac{dx''}{d\theta} \right) \theta' + \frac{1}{2} \left( \frac{d^2 x''}{d\theta^2} \right) \theta'^2 - \frac{1}{2 \cdot 3} \left( \frac{d^3 x''}{d\theta^3} \right) \theta'^3 + \text{ecc.}$$

$$y' = y'' - \left( \frac{dy''}{d\theta} \right) \theta' + \frac{1}{2} \left( \frac{d^2 y''}{d\theta^2} \right) \theta'^2 - \frac{1}{2 \cdot 3} \left( \frac{d^3 y''}{d\theta^3} \right) \theta'^3 + \text{ecc.}$$

$$x''' = x'' + \left( \frac{dx''}{d\theta} \right) \theta''' + \frac{1}{2} \left( \frac{d^2 x''}{d\theta^2} \right) \theta''^2 + \frac{1}{2 \cdot 3} \left( \frac{d^3 x''}{d\theta^3} \right) \theta''^3 + \text{ecc.}$$

$$y''' = y'' + \left( \frac{dy''}{d\theta} \right) \theta''' + \frac{1}{2} \left( \frac{d^2 y''}{d\theta^2} \right) \theta''^2 + \frac{1}{2 \cdot 3} \left( \frac{d^3 y''}{d\theta^3} \right) \theta''^3 + \text{ecc.}$$

Compongansi con queste serie i valori dei settori triangolari

$$\xi v'' - v' \xi'', \quad \xi v''' - v' \xi''', \quad \xi'' v''' - v'' \xi''$$

$$x'y'' - y'x'', \quad x'y''' - y'x''', \quad x''y''' - y''x'''$$

Avendo attenzione alle riduzioni che somministrano le equazioni (25), (27), (47), (49), e supponendo

$$\theta'' = \theta' + \theta'''$$

si troverà

$$\xi' v'' - v' \xi'' = \sqrt{p} \cdot \theta' \left\{ 1 - \frac{\theta'^2}{6r''^3} \right\}$$

$$\xi' v''' - v' \xi''' = \sqrt{p} \cdot \theta'' \left\{ 1 - \frac{\theta''^2}{6r''^3} \right\}$$

$$\xi'' v''' - v'' \xi''' = \sqrt{p} \cdot \theta''' \left\{ 1 - \frac{\theta'''^2}{6r''^3} \right\}$$

(96)

$$x'y'' - y'x'' = \sqrt{P} \cdot \theta' \left\{ 1 - \frac{\theta'^2}{6R''^3} \right\}$$

$$x'y''' - y'x''' = \sqrt{P} \cdot \theta'' \left\{ 1 - \frac{\theta''^2}{6R''^3} \right\}$$

$$x''y''' - y''x''' = \sqrt{P} \cdot \theta''' \left\{ 1 - \frac{\theta'''^2}{6R''^3} \right\}$$

Nella seconda e nella quinta però di queste equazioni abbiamo trascurato alcuni termini che sono generalmente della quarta potenza di  $\theta$ , e nel caso particolare che sia  $\theta' = \theta'''$ , ascendono sino alla quinta potenza della medesima quantità.

Dalle equazioni (63), (72) si dedurranno per mezzo delle precedenti i seguenti valori delle quantità  $\tau$ ,  $T$

$$(97) \quad \begin{aligned} \tau^1 &= \theta' \left\{ 1 - \frac{\theta'^2}{6r'^3} \right\} \\ \tau^{11} &= \theta'' \left\{ 1 - \frac{\theta''^2}{6r'^3} \right\} \\ \tau^{111} &= \theta''' \left\{ 1 - \frac{\theta'''^2}{6r'^3} \right\} \\ T^1 &= \theta' \left\{ 1 - \frac{\theta'^2}{6R'^3} \right\} \\ T^{11} &= \theta'' \left\{ 1 - \frac{\theta''^2}{6R'^3} \right\} \\ T^{111} &= \theta''' \left\{ 1 - \frac{\theta'''^2}{6R'^3} \right\} \end{aligned}$$

## 19.

Cominciamo a sostituire i ritrovati valori delle  $\tau$ ,  $T$  nelle equazioni (80), osservando, come è facile il persuadersi, che le quantità  $b$  sono tutte dell'ordine della prima potenza delle  $\theta$ , e trascurando i termini che riescono del quart' ordine, si avrà

$$b_1 \theta'' \delta'' - b_1^{11} \theta' \delta''' = 0$$

$$b_1^{11} \theta' \delta''' - b_1^{111} \theta''' \delta' = 0$$

$$b_3^{11} \theta''' \delta' - b_3^{111} \theta'' \delta'' = 0$$

Allorchè  $\theta' = \theta'''$ , i termini del quart'ordine che abbiamo trascurato, sostituendo nella seconda di queste equazioni i precedenti valori delle  $\tau$ ,  $T$ , e che sono

$$\left\{ b_1''' \theta' \delta''' - b_1 \theta''' \delta' \right\} \left\{ \frac{\theta'''^2 - \theta'^2}{6r'''^3} \right\}; \chi'' \theta' \theta''' \left( \frac{\theta' - \theta'''}{6} \right) \left\{ \frac{1}{R'''^3} - \frac{1}{r'''^3} \right\}$$

si riducono a zero. Quindi la predetta seconda equazione si troverà esatta sino alla quarta potenza delle  $\theta$ , e la formola

$$(98) \quad \delta''' = \frac{b_1' \theta'''}{b_1''' \theta'} \delta'$$

darà per  $\delta'''$  un valore che sarà soltanto soggetto ad errori dell' ordine della terza potenza de' tempi.

Da quest' ultima equazione il valente signor Olbers ha dedotto il principio della sua soluzione. Sia in fatti  $k$  la corda che unisce le estremità dei raggi vettori  $r'$ ,  $r'''$ , e si sostituiscano nelle seguenti equazioni

$$\begin{aligned} r'^2 &= x'^2 + y'^2 + z'^2 \\ r'''^2 &= x'''^2 + y'''^2 + z'''^2 \\ k^2 &= (x' - x''')^2 + (y' - y''')^2 + (z' - z''')^2 \end{aligned}$$

per  $x'$ ,  $y'$ ,  $z'$ ;  $x'''$ , ecc. i loro valori che si deducono dalle equazioni (66), (69), adottando per brevità le seguenti denominazioni :

$$\begin{array}{ll} \mu'^2 + \nu'^2 + \omega'^2 = x' & m'^2 + n'^2 + o'^2 = x_1 \\ \mu'''^2 + \nu'''^2 + \omega'''^2 = x''' & m'''^2 + n'''^2 + o'''^2 = x_3 \\ \mu'\mu''' + \nu'\nu''' + \omega'\omega''' = x'' & m'm''' + n'n''' + o'o''' = x'_1 \\ \mu'm' + \nu'n' + \omega'o' = x'_1 & \mu''m'' + \nu''n'' + \omega''o'' = x''_3 \\ \mu'''m' + \nu'''n' + \omega'''o' = x''_1 & \mu'm''' + \nu'n''' + \omega'o''' = x'_3 \end{array}$$

si troverà

$$r' = \alpha' D' + 2\alpha'_1 D' \delta' + \alpha_1 \delta'$$

$$r''' = \alpha''' D''' + 2\alpha'''_1 D''' \delta''' + \alpha_3 \delta'''$$

$$k^2 = r'^2 + r'''^2 - 2\alpha'_1 D' D''' - 2\alpha'''_1 D''' \delta' - 2\alpha_3 D' \delta''' - 2\alpha'_3 \delta' \delta'''$$

Poniamo in queste equazioni per  $\delta'''$  il suo valore dato dall' equazione (98), facendo

$$\frac{\theta''' \cdot b'_1}{\theta' \cdot b'''_1} = M$$

risulterà

$$r''' = \alpha''' D''' + 2\alpha'''_1 M D''' \delta' + \alpha_3 M^2 \delta'$$

$$k^2 = r'^2 + r'''^2 - 2\alpha'_1 D' D''' - 2\alpha'''_1 D''' \delta' - 2\alpha_3 M D' \delta' - 2\alpha'_3 M \delta'$$

onde le tre quantità  $r', r''', k$  si troveranno tutte espresse per  $\delta'$  e per quantità cognite. Olbers suggerisce ora di far un' ipotesi sul valore di  $\delta'$ , e di sostituire i risultanti valori di  $r', r''', k$  nella formola Euleriana o di Lambert

$$\theta'' = \frac{\sqrt{2}}{3} \left\{ \left( \frac{r' + r''' + k}{2} \right)^{\frac{3}{2}} - \left( \frac{r' + r''' - k}{2} \right)^{\frac{3}{2}} \right\}$$

la quale , se sarà soddisfatta , indicherà che il supposto valore di  $\delta'$  è il giusto , altrimenti dopo alcuni tentativi si giungerà a determinare il vero valore di  $\delta'$ . Ritrovato il valore di  $\delta'$  , l' equazione (98) ci dà subito quello di  $\delta'''$  , e conoscute le quantità  $\delta', \delta''', r', r'''$  , si determinano facilmente tutti gli elementi dell' orbita.

Le formole che abbiamo ritrovato pei valori di  $\delta', \delta''', r', r'''$  ,  $k$  hanno il pregio di sussistere , qualunque siano i piani coordinati. Aggiungeremo però le espressioni particolari di quelle formole, allorchè si suppone che il piano

delle  $xy$  coincida con quello dell'eclittica, e che l'asse delle  $x$  passi pel punto  $o$  dell'Ariete. In tal caso le quantità  $\Lambda$ ,  $\lambda$  delle equazioni (3) rappresenteranno la longitudine e latitudine geocentrica del corpo celeste, e potremo fare

$$m = \cos \Lambda \quad n = \sin \Lambda \quad o = \tan \lambda$$

ed indicando con  $L$  la longitudine della terra, nelle equazioni (69), potremo supporre

$$\mu = \cos L \quad v = \sin L \quad o = 0$$

onde le quantità  $x$  ed  $M$  superiormente date riceveranno questi semplici valori

$$\begin{array}{ll} x' = 1 & x_1 = \tan^2 \lambda' \\ x''' = 1 & x_3 = \tan^2 \lambda''' \\ x_i''' = \cos(L''' - L') & x_3^i = \cos(\Lambda''' - \Lambda') + \tan \lambda' \tan \lambda''' \\ x_i' = \cos(L' - \Lambda') & x_3''' = \cos(L'' - \Lambda''') \\ x_i''' = \cos(L'' - \Lambda') & x_3' = \cos(L'' - \Lambda') \end{array}$$

$$M = \frac{\theta''' \tan \lambda'' \sin(L'' - \Lambda') - \tan \lambda' \sin(L'' - \Lambda'')}{\theta' \tan \lambda''' \sin(L'' - \Lambda'') - \tan \lambda'' \sin(L'' - \Lambda''')}$$

La formola surriferita d'Eulero sussiste soltanto per le orbite paraboliche, perciò questo metodo è soltanto applicabile alla determinazione delle orbite delle comete.

## 20.

Passiamo ora alle equazioni (89) del numero 14; queste equazioni si potranno mettere sotto la forma seguente:

$$\theta \delta' = - b_3^{ii} D' + \frac{b_2^{ii} \tau'' D'' - b_3^{ii} \tau^i D'''}{\tau'' - \tau^i} \cdot \frac{\tau'' - \tau^i}{\tau'''}$$

$$(99) \theta \delta'' = b_2^{ii} D'' - \frac{b_3^{ii} \tau^i D''' + b_2^{ii} \tau''' D'}{\tau^i + \tau'''} \cdot \frac{\tau^i + \tau'''}{\tau''}$$

$$\theta \delta''' = - b_3^{ii} D''' + \frac{b_2^{ii} \tau''' D' - b_3^{ii} \tau'' D''}{\tau''' - \tau''} \cdot \frac{\tau'' - \tau'''}{\tau^i}$$

Se si osservi che le quantità

$$b_2^{ii} D'' - b_3^{ii} D''' , \quad b_3^{ii} D''' + b_2^{ii} D' , \quad b_2^{ii} D' - b_3^{ii} D''$$

sono in grandezza dell'ordine della seconda potenza di  $\theta$ , si vedrà che, facendo nella prima parte degli ultimi termini delle su riferite equazioni (99)  $\tau^i = \theta'$ ,  $\tau'' = \theta''$  e  $\tau''' = \theta'''$ ; e prendendo le differenze tra le espressioni che risultano per queste supposizioni dei valori di  $\tau$ , e tra quelle che si trovano ponendo per le  $\tau$  i valori (97), non si verranno a trascurare che delle quantità dell'ordine delle quarte potenze di  $\theta$ . Sostituendo poi anche nei secondi fattori dei detti ultimi termini per le  $\tau$  i valori stessi (97), e sviluppando i denominatori in serie, coll'ommettere le quarte potenze di  $\theta$ , le precedenti equazioni potranno ridursi a queste

$$\theta \delta' = - b_2^{ii} D' + \frac{b_2^{ii} D'' \theta' - b_3^{ii} D''' \theta'}{\theta'' - \theta'} \left\{ 1 - \frac{\theta' \theta''}{2r'^3} \right\}$$

$$(100) \theta \delta'' = b_2^{ii} D'' - \frac{b_3^{ii} D''' \theta' + b_2^{ii} D' \theta''}{\theta' + \theta''} \left\{ 1 + \frac{\theta' \theta''}{2r'^3} \right\}$$

$$\theta \delta''' = - b_3^{ii} D''' + \frac{b_2^{ii} D' \theta''' - b_3^{ii} D'' \theta''}{\theta''' - \theta''} \left\{ 1 - \frac{\theta'' \theta'''}{2r'^3} \right\}$$

Siccome in queste equazioni la quantità  $\theta$  è dell'ordine della terza potenza di  $\theta$ , come si potrà verificare considerando nella sua espressione (86) le quantità  $m'$ ,  $m''$ ;  $n'$ ,  $n''$ , ecc. funzioni di  $m''$ ,  $n''$ , ecc.,  $\theta'$ ,  $\theta''$ , e sostituendo i loro valori in serie date dal teorema di Taylor; così le medesime saranno atte a dare i valori delle  $\delta'$ ,  $\delta''$ ,  $\delta'''$ , ma affetti da errori della prima potenza di  $\theta$ ; e la (100), quando  $\theta'$  sia eguale a  $\theta'''$ , darà per  $\delta''$  un valore il quale non conterrà che degli errori della seconda potenza della stessa  $\theta$ .

Di questa equazione (100) si è perciò servito il celebre signor Gauss per ricavare il suo metodo di determinare una nuova orbita. Basterebbe in fatti nell'equazione

$$r''^2 = x''^2 + y''^2 + z''^2$$

appartenente al secondo raggio vettore mettere i valori di  $x''$ ,  $y''$ ,  $z''$  che si hanno dalle formole (66), (69), ciò che dà, facendo

$$\mu''^2 + \nu''^2 + \omega''^2 = \kappa'', \quad \mu''m'' + \nu''n'' + \omega''o'' = \kappa_x'', \quad m''^2 + n''^2 + o''^2 = \kappa_z$$

$$(101) \quad r''^2 = \kappa'' D''^2 + 2\kappa_x'' D'' \delta'' + \kappa_z'' \delta''^2$$

e poi combinare quest'equazione colla (100), e dedurre dalle medesime il valore di  $\delta''$  eliminando  $r''$ . Questo processo conduce ad un'equazione di ottavo grado; ma il signor Gauss ne rende oltre modo semplice la risoluzione introducendo per incognita l'angolo fatto alla cometa dalle due rette che vanno alla terra ed al sole. Siccome questa trasformazione può eseguirsi analiticamente con un breve processo di calcolo, ne accennerò il modo.

E per conformarmi di più al metodo del suddetto autore premetterò che, se si suppone

$$(102) \quad \frac{\tau'''}{\tau'} = P \quad (103) \quad 2 \left( \frac{\tau' + \tau'''}{\tau''} - 1 \right) r''^3 = Q$$

l'equazione (99) può ridursi alla forma

$$6 \delta'' = b_i^n D'' - \frac{b_3^n D''' + b_i^n D' P}{1 + P} \left\{ 1 + \frac{Q}{2r''^3} \right\}$$

onde, se si confronti quest'equazione con quella (100), si vedrà che la presente è prossimamente soddisfatta facendo

$$(104) \quad P = \frac{\theta'''}{\theta'} \qquad \qquad Q = \theta' \theta'''$$

Poniamo ora

$$\frac{b_3^n D'''}{b_i^n D'} = \alpha \qquad \frac{b_i^n D''}{b_i^n D'} = \beta \qquad \frac{6}{b_i^n D''} = \gamma$$

la stessa equazione (99) ovvero (89) potrà scriversi così

$$(105) \quad \alpha \tau' + \beta \tau'' (\gamma \delta'' - 1) + \tau''' = 0$$

S'immagini il triangolo rettilineo formato dal raggio vettore del corpo celeste, da quello della terra e dalla retta che unisce questi due corpi. Indicando con  $r''$ ,  $R''$ ,  $\Delta''$  i detti lati, e con  $\vartheta$ ,  $z$ ,  $180 - \vartheta - z$  gli angoli opposti, avremo, come è noto,

$$(106) \quad \frac{\sin \vartheta}{r''} = \frac{\sin z}{R''} = \frac{\sin(\vartheta + z)}{\Delta''}$$

L'arco  $\vartheta$  è quello che misura sulla sfera la distanza dal corpo celeste al sole visti dalla terra, e si ha, supponendo che  $L$  indichi l'angolo che il raggio  $R''$  fa col piano  $xy$ , ed  $l$  l'angolo che la proiezione di  $R''$  fa coll'asse delle  $x$ ,

$$\cos \delta = \cos l' \cos \lambda'' \cos(L'' - \Lambda'') + \sin l' \sin \lambda''$$

Determinando  $\delta$  per mezzo di quest'equazione, nelle precedenti non resteranno incognite che le quantità  $r'', z'', \Delta''$ .

Se nelle equazioni (7), (65) si fa

$$m'' = \cos \Lambda'' \quad n'' = \sin \Lambda'' \quad o'' = \tan \lambda''$$

si ha

$$\delta'' = \Delta'' \cos \lambda''$$

Sostituendo questo valore di  $\delta''$  nell'equazione (105), e per  $\Delta''$  quello che si ottiene dalle equazioni (106), si troverà

$$\alpha \tau^i + \beta \tau^{ii} \left( \gamma R'' \cos \lambda'' \frac{\sin(\delta + z)}{\sin z} - 1 \right) + \tau^{iii} = 0$$

Suppongasi

$$\frac{\gamma R'' \cos \lambda'' \sin \delta}{1 - \gamma R'' \cos \lambda'' \cos \delta} = \tan \sigma$$

$$\frac{\beta(1 - \gamma R'' \cos \lambda'' \cos \delta)}{\cos \sigma} = \varepsilon$$

si ricaverà

$$\alpha \tau^i - \varepsilon \tau^{ii} \frac{\sin(z - \sigma)}{\sin z} + \tau^{iii} = 0$$

Mettiamo per  $\frac{\tau^{iii}}{\tau^i}$  il valore dato dall'equazione (102); alla precedente potremo dare la forma

$$\tau^i + \tau^{iii} \frac{P + \alpha}{P + 1} = \varepsilon \tau^{ii} \frac{\sin(z - \sigma)}{\sin z}$$

Da quest'equazione, da quella segnata (103) e dalle equazioni (106) si ricaverà

$$\sin z + \frac{Q \sin^4 z}{2 R''^3 \sin^3 \delta} = \varepsilon \frac{P + 1}{P + \alpha} \sin(z - \sigma)$$

ovvero

$$\frac{Q \sin^4 z}{2R'^3 \sin^3 \delta} = \left( \varepsilon \frac{P+1}{P+a} - \cos \sigma \right) \sin(z-\sigma) - \sin \sigma \cos(z-\sigma)$$

Introducendo un angolo ausiliario  $\omega$  tale che sia

$$(107) \quad \tan \omega = \frac{\sin \sigma}{\varepsilon \frac{P+1}{P+a} - \cos \sigma}$$

e facendo per semplicità

$$\frac{1}{2R'^3 \sin^3 \delta \sin \sigma} = c$$

si otterrà l'equazione

$$c Q \sin \omega \sin^4 z = \sin(z-\omega-\sigma)$$

In quest'equazione tanto la quantità  $Q$  quanto la  $\omega$ , che è funzione di  $P$ , sono ancora incognite, ma si potrà da principio valutarle con una sufficiente approssimazione per mezzo delle equazioni (104), (107). Allora non rimarrà più incognito che l'angolo  $z$ , che potremo determinare molto facilmente colle false posizioni. Si può vedere nella eccellente opera *Theoria motus corporum cœlestium* ecc. questa soluzione applicata ad alcuni esempi sui nuovi pianeti, ove si troverà l'ultima riferita equazione dedotta con molta sagacità per mezzo di considerazioni sintetiche.

## 2 I.

Si progetdisca a sostituire i valori delle  $\tau$  e  $T$  nelle equazioni (91), e troveremo la soluzione del problema che trattiamo data dall'insigne Lagrange. In fatti, supponendo

$$\theta''' = \sigma \theta', \quad \theta'' = \sigma_i \theta'$$

e perciò

$$\sigma_i = 1 + \sigma$$

facendo di più per brevità

$$(108) \quad Q''' \sigma = b_1''' D' \sigma^3 - b_2''' D'' \sigma_1^3 + b_3''' D'''$$

$$Q'' \sigma_1 = b_1'' D' \sigma^3 - b_2'' D'' \sigma_1^3 + b_3'' D'''$$

$$Q' = b_1' D' \sigma^3 - b_2' D'' \sigma_1^3 + b_3' D'''$$

arriveremo per mezzo della detta sostituzione alle seguenti:

$$(109) \quad \begin{aligned} \delta' &= \frac{Q''' \theta'^3}{6 \theta} \left\{ \frac{1}{r'^3} - \frac{1}{R'''^3} \right\} \\ \delta' &= \frac{Q'' \theta'^3}{6 \theta} \left\{ \frac{1}{r''^3} - \frac{1}{R'''^3} \right\} \\ \delta''' &= \frac{Q' \theta'^3}{6 \theta} \left\{ \frac{1}{r'''^3} - \frac{1}{R'''^3} \right\} \end{aligned}$$

nelle quali equazioni, a motivo che la quantità  $\theta$  è dell'ordine delle terze potenze delle  $\theta$ , abbiamo trascurato i termini ove la medesima era moltiplicata per  $\theta'^3$ .

Eliminando colla seconda di queste equazioni la  $\delta''$  da quella segnata (101) nel numero precedente, e rappresentando con  $h$  la quantità  $\frac{Q'' \theta'^3}{6 \theta}$ , avremo

$$R''^6 r''^6 (r''^2 - R''^2) + 3x_1'' h R''^4 r''^3 (r''^3 - R''^3) - x_1 h^2 (r''^3 - R''^3)^2 = 0$$

nella quale abbiamo fatto come è permesso  $x'' = 1$ , e perciò  $D'' = R''$ .<sup>(\*)</sup>

Quest'equazione è visibilmente divisibile per  $r'' - R'$ , e dà per quo

$$\begin{aligned} R''^6 r''^6 (r'' + R'') + 2x_1'' h R''^4 r''^3 (r''^2 + r'' R'' + R''^2) \\ - x_1 h^2 (r''^2 + r'' R'' + R''^2)^2 = 0 \end{aligned}$$

(\*) Vedi le equazioni (127).

Avremo così per determinare  $r''$  un'equazione di settimo grado, la quale avendo l'ultimo termine negativo, sarà perciò sempre atta a darci un valore di  $r''$  reale e positivo come ci occorre. Ritrovato per mezzo di quest'equazione il valore di  $r''$ , le equazioni (108) ci daranno quelli di  $\delta'$ ,  $\delta''$ ,  $\delta'''$ , e colla cognizione di queste quantità si può passare a quella di tutti gli elementi. Questo metodo di determinare una nuova orbita fu ultimamente dal signor Lagrange inserito nella nuova edizione della sua *Mécanique analytique*, e correddato di belle ed utili osservazioni.

## 22.

Per dare alle equazioni (109) una forma più regolare, supponiamo

$$(110) \quad a_3^i = \frac{\theta D'''}{Q^i}, \quad a_i^{ii} = \frac{\theta D'' \sigma_i^i}{Q^{ii}}, \quad a_i^{iii} = \frac{\theta D' \sigma^i}{Q^{iii}},$$

le dette equazioni diverranno

$$(111) \quad \begin{aligned} a_i^{ii} \delta' &= \frac{\theta''^*}{6} \left\{ \frac{1}{r'^3} - \frac{1}{R'^3} \right\} D' \\ a_i^{ii} \delta'' &= \frac{\theta''^*}{6} \left\{ \frac{1}{r'^3} - \frac{1}{R'^3} \right\} D'' \\ a_3^i \delta''' &= \frac{\theta''^*}{6} \left\{ \frac{1}{r'^3} - \frac{1}{R'^3} \right\} D''' \end{aligned}$$

Il calcolo delle quantità  $Q'''$ ,  $Q''$ ,  $Q'$  può rendersi più breve col mezzo delle equazioni (92). Sostituiamo in fatti i valori delle  $\tau$  e  $T$  in quelle equazioni, e sviluppiamo i denominatori in serie senza oltrepassare le terze potenze delle  $\theta$ ; per mezzo di ovvie riduzioni si troverà che posto

$$\frac{\sigma_i}{\sigma} = \rho, \quad \frac{\sigma}{\sigma_i} = \rho_i, \quad \frac{\sigma_i}{1} = \rho,$$

si ha

$$(112) \quad \begin{aligned} Q''' &= -\rho \{ b_3'''(2\sigma + 1)D'' + b_3'''(\sigma - 1)D''' \} \\ Q'' &= -\rho_i \{ b_3'' (\sigma + 2)D'' + b_3'' (1 + 2\sigma)D' \} \\ Q' &= -\rho_i \{ b_3' (1 - \sigma)D' + b_3' (2 + \sigma)D'' \} \end{aligned}$$

così questi valori delle  $Q$  non dipenderanno più che dal calcolo di due sole delle quantità  $b$ , mentre sotto la loro primitiva forma (108) bisognava calcolarne tre.

Se si fa

$$(113) \quad \begin{aligned} -\{b_3'''(2\sigma + 1)D'' + b_3'''(\sigma - 1)D''' \} &= \sigma \gamma''' \\ -\{b_3'' (\sigma + 2)D'' + b_3'' (1 + 2\sigma)D' \} &= \sigma_i \gamma'' \\ -\{b_3' (1 - \sigma)D' + b_3' (2 + \sigma)D'' \} &= \gamma' \end{aligned}$$

è facile il vedere che le quantità  $a_3'$ ,  $a_3''$ ,  $a_3'''$  date dalle equazioni (110) saranno della forma seguente :

$$(114) \quad a_3' = \frac{\theta D''}{\rho \gamma'}, \quad a_3'' = \frac{\theta D''}{\rho_i \gamma''}, \quad a_3''' = \frac{\theta D'}{\rho \gamma'''}$$

## ARTICOLO IV.

### *Nuova soluzione del problema.*

#### 23.

Le equazioni (80), (89), (91), che nel passato articolo abbiamo combinate con quelle provenienti dalle leggi dell'universale attrazione, furono già per altra strada ritrovate da varj insigni geometri, e somministrarono,

siccome fu esposto, alcune delle più belle ed utili soluzioni del problema di determinare una nuova orbita. Partendo dalle equazioni fondamentali (71), (75), siamo arrivati alle nominate equazioni coll'eliminazione delle  $\psi'$ ,  $\psi''$ ,  $\psi'''$ , ma abbiamo in seguito dedotte le equazioni (93) eliminando dalle stesse (75) le quantità  $\delta'$ ,  $\delta''$ ,  $\delta'''$ . Di queste nuove equazioni (93) ci rimane perciò ora a trattare, e vedremo che la combinazione di esse colle equazioni che somministrano le leggi dell'universale attrazione darà origine ad una nuova soluzione del problema, che costituirà la parte precipua di questa memoria.

Riassunte perciò le equazioni (93), diamo ad esse la seguente forma :

$$b_3^{ii} D''' \left\{ \chi'' - \psi'' + \psi' \left( 1 - \frac{\tau^i}{T^i} \right) \right\} T^i = b_i^i D'' \left\{ \chi''' - \psi''' + \psi'' \left( 1 - \frac{\tau^{ii}}{T^{ii}} \right) \right\} T^{ii}$$

$$(115) \quad b_3^{iii} D''' \left\{ \chi' - \psi' + \psi' \left( 1 - \frac{\tau^i}{T^i} \right) \right\} T^i = b_i^i D' \left\{ \chi''' - \psi''' + \psi'' \left( 1 - \frac{\tau^{iii}}{T^{iii}} \right) \right\} T^{iii}$$

$$b_3^{ii} D'' \left\{ \chi' - \psi' + \psi' \left( 1 - \frac{\tau^{ii}}{T^{ii}} \right) \right\} T^{ii} = b_i^i D' \left\{ \chi'' - \psi'' + \psi'' \left( 1 - \frac{\tau^{iii}}{T^{iii}} \right) \right\} T^{iii}$$

Per l'uso che faremo nel seguito di queste equazioni ci conviene premettere le seguenti considerazioni.

## 24.

Poniamo nelle equazioni (66) per  $X$ ,  $Y$ ,  $Z$  i loro valori dati dalle equazioni (69), avremo per  $x$ ,  $y$ ,  $z$  le espressioni seguenti :

$$(116) \quad \begin{aligned} x &= m\delta + \mu D \\ y &= n\delta + \nu D \\ z &= o\delta + \omega D \end{aligned}$$

Sostituiamo ora nell'equazione (15) del piano del corpo celeste per  $x, y, z$  questi valori, risulterà

$$(117) \quad \{oc' - nc'' + mc''\}\delta = - \{ac' - vc'' + \mu c''\}D$$

Ma ponendo per  $X, Y, Z$  le loro espressioni date dalle formole (69) nell'equazione segnata (42) del piano dell'eclittica, si ha

$$\omega C - vC'' + \mu C''' = 0$$

dunque facendo

$$(118) \quad \omega(C' - c') - v(C'' - c'') + \mu(C''' - c''') = \phi$$

la precedente equazione (117) potrà ridursi alla forma

$$(119) \quad \psi \delta = \phi D$$

## 25.

Riprendiamo le equazioni (115), e supponiamo

$$(120) \quad \left( 1 - \frac{\tau^*}{T^*} \right) \frac{D''}{\delta'} = a_1^* \quad \left( 1 - \frac{\tau^{**}}{T^{**}} \right) \frac{D'''}{\delta'''} = a_3^{**}$$

$$\left( 1 - \frac{\tau^*}{T^*} \right) \frac{D'}{\delta} = a_1^* \quad \left( 1 - \frac{\tau^{***}}{T^{***}} \right) \frac{D'''}{\delta'''} = a_3^{***}$$

$$\left( 1 - \frac{\tau^{**}}{T^{**}} \right) \frac{D'}{\delta} = a_1^{**} \quad \left( 1 - \frac{\tau^{***}}{T^{***}} \right) \frac{D''}{\delta''} = a_3^{***}$$

facendo in generale

$$(121) \quad \chi - \psi = \Phi$$

ed avendo riguardo alle equazioni (120), le (115) potranno trasformarsi in queste

$$(122) \quad b_3'' D'' (\Phi'' + a_1'' \phi'') T' = b_1'' D'' (\Phi''' + a_3''' \phi''') T''$$

$$b_3''' D''' (\Phi' + a_1''' \phi') T' = b_1''' D' (\Phi''' + a_3''' \phi''') T'''$$

$$b_1''' D'' (\Phi' + a_1''' \phi') T'' = b_1'' D' (\Phi'' + a_1''' \phi'') T'''$$

nelle quali, come è evidente, le quantità  $a$  sono ancora incognite.

Per determinarle sostituiamo nelle espressioni (120) in vece delle  $\tau$  e  $T$ , i loro valori dati al numero 18, e sviluppiamo i denominatori in serie senza oltrepassare le terze potenze delle  $\theta$ , si avrà

$$(123) \quad a_1'' = \frac{\theta''}{6} \left\{ \frac{1}{r'^3} - \frac{1}{R'^3} \right\} \frac{D''}{\delta''} \quad a_3''' = \frac{\theta'''}{6} \left\{ \frac{1}{r'''^3} - \frac{1}{R'''^3} \right\} \frac{D'''}{\delta'''}$$

$$a_1''' = \frac{\theta''}{6} \left\{ \frac{1}{r'''^3} - \frac{1}{R'''^3} \right\} \frac{D'}{\delta'} \quad a_3''' = \frac{\theta'''}{6} \left\{ \frac{1}{r'''^3} - \frac{1}{R'''^3} \right\} \frac{D''}{\delta''}$$

Combinando queste equazioni con quelle (109) del numero 21, si troverà

$$(124) \quad a_1'' = \frac{\beta}{Q''} D'' \quad a_1''' = \frac{\beta \sigma_1''}{Q'''^2} D' \quad a_3''' = \frac{\beta \sigma_1''}{Q'} D''$$

$$a_1''' = \frac{\beta}{Q'''^2} D' \quad a_3''' = \frac{\beta \sigma_1''}{Q'} D''' \quad a_1''' = \frac{\beta \sigma_1''}{Q''} D''$$

ovvero, introducendo le  $\gamma$  colle formole (112), (113),

$$(124) \quad a_1'' = \frac{\beta D''}{\rho \cdot \gamma''} \quad a_1''' = \frac{\beta D'}{\rho \cdot \gamma'''^2} \quad a_3''' = \frac{\beta D''}{\rho \gamma'}$$

$$a_1''' = \frac{\beta D'}{\rho \cdot \gamma'''^2} \quad a_3''' = \frac{\beta D''}{\rho \cdot \gamma''} \quad a_1''' = \frac{\beta D''}{\rho \gamma''}$$

Siccome i secondi membri di queste equazioni sono tutti composti di quantità cognite, si conosceranno perciò entro l'ordine delle seconde potenze delle  $\theta$  tutt'i valori delle quantità  $\alpha$ .

## 26.

Suppongasi

$$(125) \begin{array}{ll} b'_1 D'D'' = a'_1 T' \sqrt{P} & b'_3 D'D'' = a'_3 T'' \sqrt{P} \\ b''_1 D'D''' = a''_1 T'' \sqrt{P} & b''_3 D'D''' = a''_3 T''' \sqrt{P} \\ b'''_1 D''D''' = a'''_1 T''' \sqrt{P} & b'''_3 D''D''' = a'''_3 T''' \sqrt{P} \end{array}$$

Denominando  $L$  l'angolo che il raggio vettore  $R$  fa col l'asse delle  $x$  nel piano dell'eclittica, sarà in generale

$$x = R \cos L \quad y = R \sin L$$

onde sostituendo questi valori di  $x, y$  nelle equazioni (72), avremo

$$(126) \begin{array}{l} T' \sqrt{P} = R'R'' \sin(L'' - L') \\ T'' \sqrt{P} = R'R''' \sin(L''' - L') \\ T''' \sqrt{P} = R''R''' \sin(L''' - L'') \end{array}$$

Se ritengansi le lettere  $x', x'', x'''$  nel significato dato ai numeri 19, 20, e sostituiscansi nell'equazione

$$R = \sqrt{(X^2 + Y^2 + Z^2)}$$

i valori di  $X, Y, Z$  ricavati dalle equazioni (69), colla opportuna sovrapposizione d'apici si avrà

$$(127) \quad R = D' \sqrt{x'} \quad R'' = D'' \sqrt{x''} \quad R''' = D''' \sqrt{x'''}$$

Col mezzo perciò di tutte queste equazioni le precedenti (125) daranno

$$(128) \begin{array}{l} a'_1 = b'_1 : \sin(L'' - L') \sqrt{(x' x'')} , \quad a'_3 = b'_3 : \sin(L''' - L') \sqrt{(x' x''')} \\ a''_1 = b''_1 : \sin(L''' - L') \sqrt{(x' x''')} , \quad a''_3 = b''_3 : \sin(L''' - L'') \sqrt{(x' x''')} \\ a'''_1 = b'''_1 : \sin(L'' - L'') \sqrt{(x'' x''')} , \quad a'''_3 = b'''_3 : \sin(L'' - L'') \sqrt{(x'' x''')} \end{array}$$

Se supporremo che le quantità  $\mu$ ,  $\nu$ ,  $\omega$  rappresentino i coseni che il raggio  $R$  fa cogli assi delle  $x$ ,  $y$ ,  $z$ , sarà come è noto  $x' = x'' = x''' = 1$ .

Ciò posto, moltiplichiamo la prima delle equazioni (122) per  $D'$ , la seconda per  $D''$  e la terza per  $D'''$ , facendo uso delle egualanze (125), si troverà che le stesse equazioni (122) si possono mettere sotto la seguente forma:

$$(129) \quad \begin{aligned} a_3^{ii} (\Phi'' + a_i^i \phi'') &= a_i^i (\Phi''' + a_3^{ii} \phi''') \\ a_3^{iii} (\Phi' + a_i^i \phi') &= a_i^i (\Phi'' + a_3^{iii} \phi''') \\ a_i^{iii} (\Phi' + a_i^i \phi') &= a_i^i (\Phi'' + a_i^{iii} \phi'') \end{aligned}$$

## 27.

Immaginiamo sostituiti nelle precedenti equazioni per le quantità  $a$  i valori dati dalle formole (124); in esse non rimarranno altre incognite che le quantità  $\Phi'$ ,  $\Phi''$ ,  $\Phi'''$ ,  $\phi'$ ,  $\phi''$ ,  $\phi'''$ , le quali sono tutte funzioni lineari delle differenze  $C - c'$ ,  $C' - c''$ ,  $C'' - c'''$ . Si pongano perciò in vece delle  $\Phi$  e  $\phi$  i loro valori quali sono dati dalle equazioni (121), (74), (67), (118), adottando per brevità tutte le seguenti denominazioni:

$$\begin{array}{ll} o'' + a_i^i \omega'' = d & a_i^i (o'' + a_3^{ii} \omega'') = a_3^{ii} d_i \\ n'' + a_i^i \nu'' = f & a_i^i (n'' + a_3^{ii} \nu'') = a_3^{ii} f_i \\ m'' + a_i^i \mu'' = g & a_i^i (m'' + a_3^{ii} \mu'') = a_3^{ii} g_i \\ \\ o' + a_i^i \omega' = d' & a_i^i (o' + a_3^{iii} \omega'') = a_3^{iii} d_i' \\ n' + a_i^i \nu' = f' & a_i^i (n' + a_3^{iii} \nu'') = a_3^{iii} f_i' \\ m' + a_i^i \mu' = g' & a_i^i (m' + a_3^{iii} \mu'') = a_3^{iii} g_i' \\ \\ o' + a_i^{ii} \omega' = d'' & a_i^{ii} (o'' + a_i^{iii} \omega'') = a_i^{iii} d_i'' \\ n' + a_i^{ii} \nu' = f'' & a_i^{ii} (n'' + a_i^{iii} \nu'') = a_i^{iii} f_i'' \\ m' + a_i^{ii} \mu' = g'' & a_i^{ii} (m'' + a_i^{iii} \mu'') = a_i^{iii} g_i'' \end{array}$$

$$\frac{f - f_i}{d - d_i} = h$$

$$\frac{g - g_i}{d - d_i} = k$$

$$\frac{f' - f'_i}{d' - d'_i} = h'$$

$$\frac{g' - g'_i}{d' - d'_i} = k'$$

$$\frac{f'' - f''_i}{d'' - d''_i} = h''$$

$$\frac{g'' - g''_i}{d'' - d''_i} = k''$$

risulteranno queste tre equazioni

$$(130) \quad \begin{aligned} C' - c' - h(C'' - c'') + k(C''' - c''') &= 0 \\ C - c - h'(C'' - C') + k'(C''' - c''') &= 0 \\ C - c - h''(C' - c') + k''(C''' - c''') &= 0 \end{aligned}$$

### 28.

Pare a primo aspetto che, risolvendo due qualunque delle precedenti equazioni, debbano risultare i valori dei rapporti incogniti fra le quantità  $C - c$ ,  $C' - c'$ ,  $C'' - c''$ ; ma si può dimostrare che le superiori tre equazioni entro l'ordine delle potenze delle  $\theta$  che abbiamo trascurate sono identiche l'una coll'altra, e che perciò non costituiscono che una sola equazione. Onde persuadersi di ciò si sottragga la prima delle equazioni (122) dalla seconda e la seconda dalla terza, si troverà che alle differenze risultanti potremo dare le seguenti forme:

$$(131) \quad \begin{aligned} b_1 D''\Phi''T'' - b_3 D''\Phi''T' - b_1 D'\Phi''T''' + b_3 D''\Phi' T' \\ = \{b_1 D' a_3''' T''' - b_3 D'' a_3''' T'' + b_3 D''' a_3''' T'\} \phi'' \\ - \{b_3''' a_1 \phi' - b_3''' a_1 \phi'' + b_3''' a_3''' \phi'''\} D''T' \\ b_1''' D''\Phi' T'' - b_1''' D' \Phi''T''' - b_3''' D''\Phi' T' + b_1''' D' \Phi''T''' \\ = \{b_1''' D' a_1''' T''' - b_1''' D'' a_1''' T'' + b_3''' D'' a_1''' T'\} \phi' \\ - \{b_1''' a_1''' \phi' - b_1''' a_1''' \phi'' + b_1''' a_3''' \phi'''\} D'T''' \end{aligned}$$

Si pongano nei primi membri di queste equazioni per le quantità

$$b_i^1 D'' T'' - b_i^1 D' T''' = b_i^3 D'' T'' - b_i^3 D''' \Phi' T''$$

i valori che risultano dall'ultima e dalla prima delle equazioni (90), e poi si sostituiscano per le  $b$  e  $\Phi$  le loro espressioni date dalle formole (70), (121), (74), (67); cancellando tutti i termini che vengono distrutti, troveremo

$$\begin{aligned} 6\phi'''T'' &= \{b_i^1 D'a_3'''T''' - b_i^1 D''a_3''T'' + b_i^3 D''a_3^1 T''\} \phi''' \\ &\quad - \{b_3''' a_i^1 \phi'' - b_3'' a_i^1 \phi''' + b_3^1 a_i^3 \phi'''\} D'' T'' \end{aligned}$$

$$\begin{aligned} 6\phi''T''' &= \{b_i''' D'a_i'''T''' - b_i''' D''a_i''T'' + b_3''' D''a_i^1 T''\} \phi'' \\ &\quad - \{b_i''' a_i''' \phi' - b_i'' a_i''' \phi'' + b_i^1 a_i''' \phi'''\} D'' T''' \end{aligned}$$

Dalle equazioni (123) risulta che le quantità  $a$  sono tutte dell'ordine della seconda potenza delle  $\theta$ , riflettendo inoltre che le  $b$  sono quantità del primo ordine, ed avendo riguardo alle equazioni (97), si vedrà che, supponendo nei secondi membri delle precedenti equazioni

$$T''' = \sigma T'', \quad T'' = \sigma_i T''$$

non ometteremo che dei termini della sesta potenza delle  $\theta$ . Trascurando quindi questi termini, e ponendo per le  $a$  i loro valori dati dalle equazioni (110), (124), dopo una semplice riduzione che somministrano le equazioni (108) si troverà che le due prime linee dei secondi membri si riducono ai due termini  $6\phi''T''$ ,  $6\phi''T'''$ , e che avremo soltanto

$$\begin{aligned} (132) \quad &6 \left\{ b_3''' \frac{\phi'' D'}{Q'''^2} - b_3'' \frac{\phi'' D''}{Q''^2} + b_3^1 \frac{\phi''' D'''}{Q^1} \right\} D'' T'' = 0 \\ &6 \left\{ b_i''' \frac{\phi'' D'}{Q'''^2} - b_i'' \frac{\phi'' D''}{Q''^2} + b_i^1 \frac{\phi''' D'''}{Q^1} \right\} \sigma^2 D'' T''' = 0 \end{aligned}$$

Immaginiamo messi in luogo di  $\phi'$ ,  $\phi''$ ,  $\phi'''$  i loro valori in funzione di  $C - c'$ ,  $C'' - c''$ ,  $C''' - c'''$ , che provengono dall'equazione (118), sarà facile il vedere che i coefficienti di  $C - c'$  nelle precedenti equazioni sono

$$(133) \quad \begin{aligned} \theta & \left\{ b_3''' \frac{\omega' D'}{Q'''^3} - b_3'' \frac{\omega'' D''}{Q''^2} + b_3' \frac{\omega''' D'''}{Q^3} \right\} D''' T' \\ & \left\{ b_1''' \frac{\omega' D'}{Q'''^3} - b_1'' \frac{\omega'' D''}{Q''^2} + b_1' \frac{\omega''' D'''}{Q^3} \right\} \sigma^2 D' T''' \end{aligned}$$

e che da questi si deducono i coefficienti di  $C'' - c''$ ,  $C''' - c'''$  col solo cangiare prima le  $\omega$  in  $\nu$ , e poi le  $\omega$  in  $\mu$ .

Cominciamo dall'osservare che le quantità del primo ordine  $Q'''$ ,  $Q''$ ,  $Q'$  sono, come mostrano le equazioni (109), proporzionali alle  $\delta'$ ,  $\delta''$ ,  $\delta'''$ , e che perciò, considerando  $Q'''$ ,  $Q'$  come funzioni di  $Q''$  e di  $\theta$ , si ha

$$Q''' = Q'' - \left( \frac{dQ''}{d\theta} \right) \theta' + \text{ecc.} \quad Q' = Q'' + \left( \frac{dQ''}{d\theta} \right) \theta''' + \text{ecc.}$$

Ciò posto, sostituiamo per le  $b$  le espressioni che sono date dalle formole (70) del numero 9; considerando dopo tali sostituzioni ciascuna quantità contenuta nelle  $b$  e che ha sovrapposto uno o tre apici come funzione della corrispondente con due apici e di  $\theta'$  o  $\theta'''$ , e sviluppandola in serie, si verifica facilmente che le quantità fra le parentesi nelle formole precedenti (133) sono dell'ordine della seconda potenza delle  $\theta$ , e che evidentemente rimangono della stessa grandezza cangiando le  $\omega$  nelle  $\nu$ , ovvero nelle  $\mu$ . Quindi riflettendo che la quantità  $\theta$  è dell'ordine della terza potenza delle  $\theta$ , e che le  $T'$ ,  $T'''$  sono del primo ordine, si vede che i coefficienti di  $C' - c'$ ,  $C'' - c''$ ,  $C''' - c'''$  nelle equazioni (131) o (132) risultano della sesta potenza delle  $\theta$ . Ora le equazioni (131) sono le differenze di quelle

segnate (122), ne conchiuderemo perciò che queste ultime equazioni avranno tutte i coefficienti di  $C - c'$ ,  $C'' - c''$ ,  $C''' - c'''$  eguali entro l'ordine della quinta potenza delle  $\theta$ . E siccome le equazioni (130) sono state dedotte dalle stesse (122), e non differiscono da esse che pei divisorî del terz' ordine  $T \cdot T'''(d-d_i) \sqrt{P:D'}$ ,  $T \cdot T'''(d-d_i') \sqrt{P:D''}$ ,  $T'' \cdot T'''(d''-d_i'') \sqrt{P:D'''}$  comuni a tutti i termini delle rispettive equazioni; così dalla predetta conclusione ne deriva che le tre equazioni (130) non rappresentano che una sola equazione entro le seconde potenze delle  $\theta$ , cioè entro i limiti a cui abbiamo spinta l'approssimazione nel valutare le  $a$ .

## 29.

Poichè le equazioni (130) non ne costituiscono realmente che una sola, il partito più semplice che ci rimane a prendere per non incorrere in equazioni troppo astruse si è di assumere un altro sistema di tre osservazioni, le quali, trattate nello stesso modo, ci somministreranno tre altre equazioni simili alle (130). Nè ommitteremo di riflettere incidentemente che per comporre questo secondo sistema di osservazioni non sarà necessario d'introdurre tre nuove osservazioni, perchè basterà soltanto combinare due osservazioni del primo sistema con una quarta osservazione. Posponendo quindi l'indice (i) alle quantità che entrano nelle equazioni del secondo sistema d'osservazioni per distinguerle da quelle del primo, e scegliendo delle tre equazioni (130) quella che è rappresentata dalla seconda formola, avremo pei due sistemi d'osservazioni le equazioni seguenti:

$$(134) \quad \begin{aligned} C - c' - h'(C'' - c'') + k'(C''' - c''') &= 0 \\ C - c' - h_{(i)}'(C'' - c'') + k_{(i)}'(C''' - c''') &= 0 \end{aligned}$$

94

dalle quali potremo dedurre i valori di  $C'' - c''$ ,  $C''' - c'''$  espressi per  $C - c$ . In fatti supponendo

$$(135) \quad \frac{h' - h'_{(i)}}{h'k'_{(i)} - k'h'_{(i)}} = M, \quad (136) \quad \frac{k' - k'_{(i)}}{h'k'_{(i)} - k'h'_{(i)}} = N$$

colla risoluzione delle precedenti equazioni troveremo

$$(137) \quad \begin{aligned} C''' - c''' &= M(C - c') \\ C'' - c'' &= N(C - c') \end{aligned}$$

### 30.

Ci rimane ora di passare alla determinazione delle stesse quantità  $C - c'$ ,  $C' - c''$ ,  $C'' - c'''$  per mezzo della cognizione dei rapporti  $M$  ed  $N$ , il che però offre minore difficoltà. A tal effetto si pongano la quarta, la prima e la seconda delle equazioni (75) sotto la forma seguente :

$$\begin{aligned} b'_i D'D''\delta' &= \left\{ \chi'' - \psi'' + \psi' \left( 1 - \frac{\tau'}{T'} \right) \right\} D'T' \\ b'_i D'D''\delta'' &= \left\{ \chi' - \psi' + \psi' \left( 1 - \frac{\tau'}{T'} \right) \right\} D''T' \\ b''_i D'D''\delta''' &= \left\{ \chi' - \psi' + \psi' \left( 1 - \frac{\tau''}{T''} \right) \right\} D'''T'' \end{aligned}$$

Facendo uso delle equazioni segnate (125), (121), (120), (119), queste ultime potranno scriversi come segue :

$$a'_i \sqrt{P} \delta' = \{ \Phi'' + a'_i \phi'' \} D'$$

$$a'_i \sqrt{P} \delta'' = \{ \Phi' + a'_i \phi' \} D''$$

$$a''_i \sqrt{P} \delta''' = \{ \Phi' + a''_i \phi' \} D'''$$

Sostituiscansi ora per le  $\Phi$  e  $\phi$  i loro valori che provengono dalle equazioni numerate (121), (67), (74), (118); ed usando delle denominazioni del numero 27, avremo

$$a'_i \sqrt{P} \delta' = \{d(C - c') - f(C' - c'') + g(C'' - c''')\} D'$$

$$a'_i \sqrt{P} \delta'' = \{d'(C - c') - f'(C' - c'') + g'(C'' - c''')\} D''$$

$$a''_i \sqrt{P} \delta''' = \{d''(C - c') - f''(C' - c'') + g''(C'' - c''')\} D'''$$

Ponghiamo per  $C' - c''$ ,  $C'' - c'''$  i loro valori dati dalle equazioni (137) e supponghiamo

$$\begin{aligned} \frac{d - fN + gM}{a'_i} &= O' \\ (138) \quad \frac{d - fN + g'M}{a'_i} &= O'' \\ \frac{d' - f'N + g''M}{a''_i} &= O''' \end{aligned}$$

si troverà

$$\begin{aligned} \delta' \sqrt{P} &= O'(C - c') D' \\ (139) \quad \delta'' \sqrt{P} &= O''(C - c') D'' \\ \delta''' \sqrt{P} &= O'''(C - c') D''' \end{aligned}$$

E evidente che se noi avessimo in vece fatto uso per determinare  $\delta' \sqrt{P}$ ,  $\delta'' \sqrt{P}$ ,  $\delta''' \sqrt{P}$  della quinta, sesta e terza delle equazioni (75), sarebbero, a motivo delle equazioni (132), risultati per  $O'$ ,  $O''$ ,  $O'''$  gli stessi valori.

Allorchè delle tre quantità  $\delta'$ ,  $\delta''$ ,  $\delta'''$  ci occorrerà di avere soltanto il valore di una espressa per  $C - c'$ , sarà preferibile la seconda perchè nell'espressione (138) della  $O''$  entrano le quantità  $d'$ ,  $f'$ ,  $g'$  già calcolate

antecedentemente nel valutare i coefficienti della seconda delle equazioni (130).

Posponendo l'indice (1) alle formole precedenti, avremo, come è chiaro, le formole che serviranno pel secondo sistema di osservazioni, e la quantità  $O''_{(1)}$  il cui valore è espresso dalla formola

$$(140) \quad O''_{(1)} = \frac{\delta'_{(1)} - f'_{(1)} N + g_{(1)} M}{a'_{(1)}}$$

esigerà per la stessa ragione ora addotta minor dispendio di calcolo delle altre  $O'_{(1)}$ ,  $O'''_{(1)}$ .

### 31.

L'equazione (121) col mezzo di quella segnata (119) può mettersi sotto la forma seguente:

$$\Phi \delta = \chi \delta - \phi D$$

Sostituiamo in quest'equazione per  $\Phi$ ,  $\phi$  e  $\chi$  i valori che provengono dalle equazioni (121), (74), (67), (118), avremo

$$\begin{aligned} \{o(C - c') - n(C'' - c'') + m(C''' - c''')\}\delta &= \{oC - nC' + mC''\}\delta \\ &\quad - \{o(C - c') - v(C'' - c'') + \mu(C''' - c''')\}D \end{aligned}$$

Dando successivamente uno, due, tre apici alle quantità che in questa equazione variano colle osservazioni, e ponendo per  $\delta'$ ,  $\delta''$ ,  $\delta'''$  i valori che somministrano le formole (139), si troveranno per determinare la differenza  $C - c'$  le tre equazioni seguenti:

$$C - c' = \frac{(o' C' - n' C'' + m' C''') O' - (o' - n' N + m' M) V P}{(o' - n' N + m' M) O'}$$

$$(141) C' - c' = \frac{(o'' C' - n'' C'' + m'' C''') O'' - (o'' - n'' N + m'' M) V P}{(o'' - n'' N + m'' M) O''}$$

$$C' - c' = \frac{(o''' C' - n''' C'' + m''' C''') O''' - (o''' - n''' N + m''' M) V P}{(o''' - n''' N + m''' M) O'''}$$

Ed il secondo sistema d' osservazioni darà per  $C' - c'$  tre valori simili col posporre alle quantità del secondo membro l' indice (1).

Siccome abbiamo osservato che il calcolo della quantità  $O''$  è meno laborioso, così la seconda di queste formole sarà la più conveniente ad usarsi.

Quando avremo determinato il valore di  $C' - c'$ , le equazioni (137) ci daranno quelli delle differenze  $C'' - c''$ ,  $C''' - c'''$ , e col mezzo di queste differenze conosceremo i valori di  $c'$ ,  $c''$ ,  $c'''$ , poichè le quantità  $C$ ,  $C''$ ,  $C'''$  sono date dalle dimensioni dell' orbita della terra e dalla posizione del piano dell' eclittica, come vedremo in seguito.

## ARTICOLO V.

*Determinazione di tutti gli elementi dell' orbita.*

### 3a.

Il passare dal valore delle costanti  $c'$ ,  $c''$ ,  $c'''$ , che abbiamo determinate nell' ultimo articolo, alla cognizione di tutti gli elementi dell' orbita è cosa che offre poca difficoltà, e nelle opere di varj autori trovansi molte formole a tal fine dirette. Nulladimeno per non

obbligare il lettore a ricercarle altrove, e per preparare le formole a cui riferirci nelle applicazioni che faremo in seguito, ho creduto bene di riportarne alcune nel presente articolo, colle quali darò compimento all'analisi intrapresa.

Rappresento con  $i$  l'inclinazione del piano in cui è situata l'orbita del corpo celeste a quello delle  $xy$ , e con  $\Omega$  l'angolo che la linea de' nodi fa in questo ultimo piano coll'asse delle  $x$ : dalla geometria analitica si sa che l'equazione di questo piano è

$$(142) \quad z - \tan i \cos \Omega y + \tan i \sin \Omega x = 0$$

Paragonando questa coll'equazione (15) appartenente pure al piano dell'orbita del corpo celeste, avremo

$$(143) \quad c''' = c' \tan i \sin \Omega \quad (144) \quad c'' = c' \tan i \cos \Omega$$

Da queste equazioni possiamo dedurre primieramente la direzione della linea de' nodi colla formola

$$(145) \quad \tan \Omega = \frac{c'''}{c''}$$

Il valore di  $\tan \Omega$  che si ricava da questa formola conviene egualmente agli angoli  $\Omega$  e  $\pi + \Omega$ , e perciò dà indistintamente la longitudine dei due nodi ascendente e discendente, cioè non indica piuttosto l'uno che l'altro. Dalla direzione però colla quale il raggio vettore descrive la proiezione dell'orbita sul piano delle  $yz$  si vedrà che il nodo ascendente apparterrà all'angolo  $\Omega$  ovvero all'altro  $\pi + \Omega$ , secondo che sarà nell'equazione (143) positivo o negativo il valore della costante  $c'''$ .

Ritrovato  $\Omega$ , le equazioni (143), (144) somministrano le due seguenti per determinare l'inclinazione dell'orbita, cioè

$$(146) \quad \tan i = \frac{c'''}{c' \sin \Omega} = \frac{c''}{c' \cos \Omega}$$

Queste equazioni, parlando analiticamente, danno l'inclinazione del piano in cui è situata l'orbita del corpo celeste al piano  $xy$ , prendendo per  $\Omega$  quello tra i due sopradetti angoli che rende  $\cos \Omega$  positivo. Noi però seguendo le idee del prof. Gauss, intenderemo per inclinazione dell'orbita l'angolo che nella direzione del movimento del corpo celeste e nell'ordine dei segni o più generalmente nell'ordine di graduazione sul piano  $xy$  viene formato al nodo ascendente dello stesso piano con quello dell'orbita: secondo tale idea si vedrà facilmente che si dovrà sempre assumere per valore di  $\Omega$  l'angolo del nodo ascendente.

### 33.

Al numero 3 abbiamo fatto osservare che rimaneva arbitraria nel piano dell'orbita la direzione degli assi ortogonali  $\xi$ ,  $v$ . Prendiamo ora per asse della  $\xi$  la linea de' nodi superiormente determinata, e contiamo le positive dalla parte del nodo ascendente. È facile il vedere che in questa supposizione l'asse delle  $\xi$  farà cogli assi delle  $x$ ,  $y$ ,  $z$  gli angoli  $\Omega$ ,  $\frac{\pi}{2} - \Omega$ ,  $\frac{\pi}{2}$ , e che quindi i coseni indicati dalle lettere  $\alpha$ ,  $\alpha_i$ ,  $\alpha_s$  avranno per valori

$$\alpha = \cos \Omega \quad \alpha_i = \sin \Omega \quad \alpha_s = 0$$

Sostituendo questi valori nelle equazioni (17), (18), (19), (20), (21), due saranno soddisfatte per sè stesse, le altre tre per mezzo di facili riduzioni ci daranno

$$\beta = -\cos i \sin \Omega \quad \beta_i = \cos i \cos \Omega \quad \beta_s = \sin i$$

e le espressioni delle coordinate  $x$ ,  $y$ ,  $z$  date dalle equazioni (16), usando anche quelle segnate (30), diverranno

$$x = r \cos \Omega \cos u - r \cos i \sin \Omega \sin u$$

$$(147) \quad y = r \sin \Omega \cos u + r \cos i \cos \Omega \sin u$$

$$z = r \sin i \sin u$$

### 34.

Ponghiamo parimente i precedenti valori di  $\alpha$ ,  $\beta$ ,  $\alpha_i$ ,  $\beta_i$  nell'equazione (26), avremo

$$(148) \quad \sqrt{p} = \frac{c'}{\cos i}$$

e siccomè la formula (35)

$$p = a(1 - e^2)$$

ci dà a divedere che  $p$  è il semiparametro dell'orbita del corpo celeste, sarà così determinato questo elemento.

### 35.

Quanto abbiamo detto nei numeri precedenti delle quantità appartenenti al corpo celeste s'aplica egualmente, come è chiaro, anche a quelle della terra; quindi sovrapponendo al solito un apice dinanzi alle quantità del corpo celeste per indicare le corrispondenti della terra, avremo

$$(149) \quad C'' = C \cos i \cos ' \Omega \quad (150) \quad C' = C \cos i \sin ' \Omega$$

$$(151) \quad C = \sqrt{P} \cos i$$

In queste equazioni le quantità  $i$ ,  $'\Omega$ ,  $P$  sono date dalla posizione del piano dell'eclittica e dalla grandezza dell'orbita della terra, perciò dedurremo da esse i valori di  $C$ ,  $C'$ ,  $C''$ , dei quali, come è stato detto alla fine del numero 31, ci occorre avere i valori per ottenere dalle equazioni (141), (147) la determinazione delle quantità  $c$ ,  $c''$ ,  $c'''$ .

## 36.

Possiamo ora proporci il seguente problema: Dato il luogo geocentrico del corpo celeste, e la posizione del piano dell'orbita, trovare il luogo eliocentrico sull'orbita. A tale effetto rappresentiamo con  $l$  l'angolo che il raggio vettore  $R$  fa col piano delle  $xy$ , e con  $L$  l'angolo formato dalla proiezione dello stesso raggio sul nominato piano coll'asse delle  $x$ , ritenendo le denominazioni delle formole (69), nello stesso modo che si sono ottenute le equazioni (7) avremo le seguenti:

$$(152) \quad \frac{\mu}{\omega} = \frac{\cos L}{\tan l} \quad \frac{\nu}{\omega} = \frac{\sin L}{\tauau l}$$

In queste due equazioni e nelle citate (7), tanto delle tre quantità  $\mu$ ,  $\nu$ ,  $\omega$ , quanto delle tre  $m$ ,  $n'$ ,  $\sigma$ , due sole si troveranno determinate, ed una rimarrà in nostro arbitrio.

Supponiamo perciò che le arbitrarie ~~soddisfacciano~~ alle equazioni

$$(153) \quad \begin{aligned} m^2 + n'^2 + \sigma^2 &= 1 \\ \mu^2 + \nu^2 + \omega^2 &= 1 \end{aligned}$$

Dalle equazioni (65), (69) e dalla seguente

$$R = \sqrt{(X^2 + Y^2 + Z^2)}$$

risulterà

$$(154) \quad \delta = \Delta \quad D = R$$

e dalle equazioni (7), (152) combinate colle precedenti (153) si avrà

$$(155) \quad \begin{aligned} m &= \cos \lambda \cos \Lambda & n &= \cos \lambda \sin \Lambda & \sigma &= \sin \lambda \\ \mu &= \cos l \cos L & \nu &= \cos l \sin L & \omega &= \sin l \end{aligned}$$

Sostituendo questi valori di  $\delta$ ,  $D$ ,  $m$ ,  $n$ ,  $\sigma$ ,  $\mu$ ,  $\nu$ ,  $\omega$  nelle equazioni (116), troveremo

$$x = \Delta \cos \lambda \cos \Lambda + R \cos l \cos L$$

$$(156) \quad y = \Delta \cos \lambda \sin \Lambda + R \cos l \sin L$$

$$z = \Delta \sin \lambda + R \sin l$$

Si sommi la prima di queste equazioni moltiplicata per  $\cos \Omega$  colla seconda moltiplicata per  $\sin \Omega$ , inoltre sottraggasi la prima moltiplicata per  $\sin \Omega$  dalla seconda moltiplicata per  $\cos \Omega$ . Sostituendo nelle due equazioni risultanti e nella terza delle precedenti i valori di  $x$ ,  $y$ ,  $z$  dati dalle equazioni (147), avremo le tre seguenti:

$$r \cos u = \Delta \cos \lambda \cos (\Lambda - \Omega) + R \cos l \cos (L - \Omega)$$

$$(157) \quad r \cos i \sin u = \Delta \cos \lambda \sin (\Lambda - \Omega) + R \cos l \sin (L - \Omega)$$

$$r \sin i \sin u = \Delta \sin \lambda + R \sin l$$

Prendiamo la somma di queste tre equazioni dopo aver moltiplicata la seconda per  $-h$  e la terza per  $k$ ,  $h$  e  $k$  essendo due quantità da determinarsi colle equazioni

$$(158) \quad \begin{aligned} \cos \lambda \cos (\Lambda - \Omega) - h \cos \lambda \sin (\Lambda - \Omega) + k \sin \lambda &= 0 \\ \cos l \cos (L - \Omega) - h \cos l \sin (L - \Omega) + k \sin l &= 0 \end{aligned}$$

avremo

$$\cos u - h \cos i \sin u + k \sin i \sin u = 0$$

dalla quale dedurremo

$$\tan u = \frac{1}{h \cos i - k \sin i}$$

ovvero, facendo

$$(159) \quad \frac{h}{k} = \tan A$$

avremo

$$(160) \quad \tan u = \frac{\cos A}{k \sin (A - i)}$$

I valori di  $h$  e  $k$  dati dalle equazioni (158) sono

$$h = \frac{\sin \lambda \cos l \cos(L-\Omega) - \cos \lambda \sin l \cos(\Lambda-\Omega)}{\sin \lambda \cos l \sin(L-\Omega) - \cos \lambda \sin l \sin(\Lambda-\Omega)}$$

$$k = \frac{\cos \lambda \cos l \sin(\Lambda-L)}{\sin \lambda \cos l \sin(L-\Omega) - \cos \lambda \sin l \sin(\Lambda-\Omega)}$$

i quali diventano notabilmente più semplici allorchè il piano delle  $x$   $y$  è quello dell'eclittica, perchè in questo caso è  $\sin l = 0$ ,  $\cos l = 1$ .

In vece di sommare tutte e tre le equazioni (157) moltiplicate nel modo indicato, sommiamo soltanto le prime due, e determiniamo  $h$  coll'equazione

$$\cos \lambda \cos(\Lambda-\Omega) - h \cos \lambda \sin(\Lambda-\Omega) = 0$$

la quale dà

$$h = \cot(\Lambda-\Omega)$$

avremo quindi

$$r \cos u - hr \cos i \sin u = R \cos l \cos(L-\Omega) - h R \cos l \sin(L-\Omega)$$

ovvero, ricavando il valore di  $r$  e sostituendo per  $h$  quello dato dalla formola precedente,

$$r = \frac{R \cos l \sin(\Lambda-L)}{\cos u \sin(\Lambda-\Omega) - \sin u \cos i \cos(\Lambda-\Omega)}$$

Introducendo un angolo ausiliario  $B$  tale che sia

$$\tan B = \frac{\tan(\Lambda-\Omega)}{\cos i}$$

questa formola diviene più comoda pel calcolo logaritmico, e dà

$$(161). \quad r = \frac{R \sin B \cos l \sin(\Lambda-L)}{\sin(\Lambda-\Omega) \sin(B-u)}$$

Potremo così per mezzo delle equazioni (160), (161), conoscendo il luogo geocentrico e la posizione del piano dell' orbita del corpo celeste , determinare l' angolo  $u$ , che dicesi argomento di latitudine, ed il raggio vettore  $r$  del detto corpo.

Per togliere l' ambiguità nella determinazione dell' angolo  $u$  dato dall' equazione (160) si eliminerà  $\Delta$  fra le due ultime equazioni (157) , e si prenderà  $u$  tra  $0$  e  $\pi$  ; ovvero tra  $\pi$  e  $2\pi$  , secondo che risulterà per  $r \sin u$  un valor positivo ovvero negativo.

Quando si volesse, oltre i valori di  $u$  ed  $r$ , anche quello di  $\Delta$ , si potrà determinarlo colla terza delle equazioni (157). Se in vece fosse dato  $\Delta$ , si potrà per la determinazione della  $r$  sostituire all' equazione precedente (161) la stessa citata (157) , la quale dà più semplicemente

$$(162) \quad r = \frac{\Delta \sin \lambda + R \sin l}{\sin i \sin u}$$

e si riduce ad un monomio nel caso su mentovato che il piano delle  $x y$  sia quello dell' eclittica.

I principj di questa soluzione sono stati dedotti dal numero 74 della *Theoria motus corporum caelestium* ecc.

### 37.

Anche il signor Olbers diede un' elegante soluzione del problema che trattiamo , la quale ora esporremo supponendo per semplicità che il piano delle coordinate  $x y$  sia quello dell' eclittica.

S' immagini condotto pei centri del sole , della terra e del corpo celeste un piano , e si concepiscano uniti questi tre punti per mezzo di tre linee ; essi formeranno nel

detto piano un triangolo rettilineo del quale  $R$ ,  $\Delta$ ,  $r$  saranno i lati, ed indicati con  $\epsilon$ ,  $\gamma$ ,  $\pi - \epsilon - \gamma$  gli angoli opposti, avremo

$$(163) \quad \frac{R}{\sin \epsilon} = \frac{\Delta}{\sin \gamma} = \frac{r}{\sin(\epsilon + \gamma)}$$

Questi lati prolungati proietteranno su di un circolo massimo della sfera tre punti, che saranno il luogo eliocentrico della terra, il luogo geocentrico del corpo celeste ed il luogo eliocentrico del medesimo. Si concepisca abbassato dal luogo geocentrico del corpo celeste un arco perpendicolare alla circonferenza progettata dal piano dell'eclittica sulla sfera; quest'arco misurerà la latitudine geocentrica, ed il medesimo cogli archi  $L - \Lambda$ ,  $\epsilon + \gamma$  formerà un triangolo sferico rettangolo, nel quale, detto  $\eta$  l'angolo al luogo eliocentrico della terra, si avrà

$$(164) \quad \cos(\epsilon + \gamma) = \cos \lambda \cos(L - \Lambda)$$

$$(165) \quad \cot \eta = \cot \lambda \sin(L - \Lambda)$$

La proiezione del nodo ascendente sulla sfera, il luogo eliocentrico della terra ed il luogo eliocentrico del corpo celeste saranno i vertici di un altro triangolo sferico del quale  $\gamma$ ,  $u$ ,  $L - \Omega$  saranno i lati, ed  $i$ ,  $\eta$  gli angoli adiacenti a quest'ultimo lato. In questo triangolo le ultime tre parti saranno date dalle formole (145), (146), (165), quindi potremo colle analogie di Nepero determinare  $\gamma$  ed  $u$ : conoscuto  $\gamma$ , dall'equazione (164) avremo il valore di  $\epsilon$ , e dalle equazioni (163)  $\Delta$  ed  $r$ .

### 38.

L'argomento di latitudine  $u$  ed il raggio vettore  $r$ , che ne' numeri precedenti abbiamo insegnato a ritrovare,

*App. Eff. 1817.*

14

determinano, come è evidente, la posizione del punto occupato nel piano dell'orbita dal corpo celeste nell'istante della corrispondente osservazione. Poichè l'equazione (36) che rappresenta la curva descritta dal corpo celeste contiene tre costanti  $a$ ,  $e$ ,  $\omega$  e può farsi passare per tre punti soltanto, data perciò che avremo la posizione di tre punti occupati in diversi tempi dal corpo celeste, potremo determinare le dette tre costanti, e quindi la grandezza e posizione della curva descritta. Ecco un modo col quale si può eseguire questa determinazione.

Siano  $u'$ ,  $u''$ ,  $u'''$  gli argomenti di latitudine ed  $r'$ ,  $r''$ ,  $r'''$  i raggi vettori del corpo celeste determinati per gl' istanti di tre osservazioni colle formole d' alcuno de' due numeri precedenti. Sostituiti questi valori successivamente nell'equazione (36), e ponendo  $p$  in luogo di  $a(1 - e^2)$ , avremo per determinare  $p$ ,  $e$ ,  $\omega$  le seguenti equazioni :

$$(166) \quad \begin{aligned} r' &= \frac{p}{1 + e \cos(u' - \omega)} \\ r'' &= \frac{p}{1 + e \cos(u'' - \omega)} \\ r''' &= \frac{p}{1 + e \cos(u''' - \omega)} \end{aligned}$$

Suppongasi

$$\frac{1}{r'} - \frac{1}{p} = q' \quad \frac{1}{r''} - \frac{1}{p} = q'' \quad \frac{1}{r'''} - \frac{1}{p} = q'''$$

con queste denominazioni alle equazioni superiori potremo dare le forme

$$(167) \quad \begin{aligned} \frac{e}{p} \cos(u' - \omega) &= q' \\ \frac{e}{p} \cos(u'' - \omega) &= q'' \\ \frac{e}{p} \cos(u''' - \omega) &= q''' \end{aligned}$$

Si sommino a due a due queste equazioni, per le riduzioni che somministrano le note formole trigonometriche, avremo

$$\frac{e}{p} \cos \left( \frac{1}{2} u' + \frac{1}{2} u'' - \sigma \right) = \frac{q' + q''}{2 \cos \frac{1}{2} (u'' - u')}$$

$$(168) \quad \frac{e}{p} \cos \left( \frac{1}{2} u' + \frac{1}{2} u''' - \sigma \right) = \frac{q' + q'''}{2 \cos \frac{1}{2} (u''' - u')}$$

$$\frac{e}{p} \cos \left( \frac{1}{2} u'' + \frac{1}{2} u''' - \sigma \right) = \frac{q'' + q'''}{2 \cos \frac{1}{2} (u''' - u'')}$$

Sottraendo in vece una dall'altra le stesse equazioni (167), e facendo simili riduzioni, risulterà

$$\frac{e}{p} \sin \left( \frac{1}{2} u' + \frac{1}{2} u'' - \sigma \right) = \frac{q' - q''}{2 \sin \frac{1}{2} (u'' - u')}$$

$$(169) \quad \frac{e}{p} \sin \left( \frac{1}{2} u' + \frac{1}{2} u''' - \sigma \right) = \frac{q' - q'''}{2 \sin \frac{1}{2} (u''' - u')}$$

$$\frac{e}{p} \sin \left( \frac{1}{2} u'' + \frac{1}{2} u''' - \sigma \right) = \frac{q'' - q'''}{2 \sin \frac{1}{2} (u''' - u'')}$$

Allorchè  $p$  sarà già stato determinato, come al numero 34, i secondi membri tanto di queste equazioni quanto delle precedenti saranno tutti composti di quantità cognite, dividendo così una per l'altra le corrispondenti equazioni numerate (168), (169), per esempio le due prime, avremo

$$(170) \quad \tan \left( \frac{1}{2} u' + \frac{1}{2} u'' - \sigma \right) = \frac{q' - q''}{q' + q''} \cot \frac{1}{2} (u'' - u')$$

colla quale determineremo l'angolo  $\frac{1}{2} u' + \frac{1}{2} u'' - \sigma$ , e perciò l'angolo  $\sigma$ , poichè gli angoli  $u'$ ,  $u''$  sono già conosciuti. Ritrovato  $\sigma$ , una delle stesse equazioni (168) ci darà il valore di  $\frac{e}{p}$ , dal quale dedurremo quello di  $e$ .

Se la quantità  $p$  è ancora incognita, poichè soltanto i secondi membri delle equazioni (169) si troveranno privi della stessa incognita, il precedente processo non potrà seguirsi. In questo caso dinotiamo con  $q'_1, q''_1, q'''_1$  i secondi membri delle equazioni (169), ed avremo

$$\frac{e}{p} \sin\left(\frac{1}{8}u' + \frac{1}{8}u'' - \sigma\right) = q'_1$$

$$\frac{e}{p} \sin\left(\frac{1}{8}u' + \frac{1}{8}u''' - \sigma\right) = q''_1$$

$$\frac{e}{p} \sin\left(\frac{1}{8}u'' + \frac{1}{8}u''' - \sigma\right) = q'''_1$$

Si sommino e si sottraggano tra loro due qualunque di queste equazioni, usando le due prime, e facendo le opportune riduzioni, si troverà

$$(171) \quad \frac{e}{p} \sin\left(\frac{1}{8}u' + \frac{1}{4}u'' + \frac{1}{4}u''' - \sigma\right) = \frac{q'''_1 + q'_1}{2 \cos \frac{1}{4}(u''' - u'')}$$

$$\frac{e}{p} \cos\left(\frac{1}{8}u' + \frac{1}{4}u'' + \frac{1}{8}u''' - \sigma\right) = \frac{q'''_1 - q'_1}{2 \sin \frac{1}{4}(u''' - u'')}$$

Da queste equazioni si ricaverà primieramente la seguente,

$$(172) \quad \tan\left(\frac{1}{8}u' + \frac{1}{4}u'' + \frac{1}{4}u''' - \sigma\right) = \frac{q'''_1 + q'_1}{q'''_1 - q'_1} \tan \frac{1}{4}(u''' - u'')$$

la quale darà il valore di  $\sigma$ , e poi da qualche delle equazioni (171) ricaveremo quello di  $\frac{e}{p}$ . Trovato  $\sigma$  ed  $\frac{e}{p}$ , una delle equazioni (166) ci somministrerà il valore di  $p$ , col quale rimarranno determinate tutte tre le costanti che entrano nell'equazione della curva di secondo ordine percorsa dal corpo celeste.

Le formole esposte in questo numero sono date dal signor Gauss nella terza sezione del libro primo della *Theoria motus* ecc.

## 39.

L'angolo  $\omega$  che si deduce dalle precedenti formole, è quello che l'asse maggiore della curva fa colla linea dei nodi, e che gli astronomi chiamano argomento di latitudine del perielio. Nel dare gli elementi dell'orbita di un corpo celeste si suole in vece porre la longitudine del perielio contata nell' orbita. Siccome la longitudine di un punto nell' orbita si conta partendo dal punto  $0^\circ$  di divisione nel piano delle  $xy$  e progredendo nell' ordine di graduazione sino al nodo ascendente, e poi si continua dal nodo ascendente a progredire nell' orbita sino al detto punto; così indicando con  $\Omega$ , come abbiamo già fatto, la longitudine del nodo, la longitudine  $\Pi$  del perielio nell' orbita sarà data dall' equazione

$$(173) \quad \Pi = \Omega + \omega$$

## 40.

Se nell' equazione (36) si fa  $u = \omega$ , risulterà

$$r = \frac{p}{1 + e}$$

questo valore di  $r$  darà quindi, per ciò che si è detto, la distanza dal corpo celeste al sole, allorchè il primo trovasi nel perielio. Indicando dunque con  $q$  la detta distanza, che chiamasi distanza perielia e che gli astronomi vogliono riferire nel dare gli elementi dell' orbita di una cometa, essa sarà espressa dalla formola

$$(174) \quad q = \frac{p}{1 - e}$$

## 41.

Supponiamo

$$(175) \quad u - \sigma = v$$

è facile il vedere che  $v$  rappresenterà l'angolo fatto dal raggio vettore corrispondente all'argomento di latitudine  $u$  colla linea del perielio, o asse della curva, il qual angolo in astronomia porta il nome di anomalia vera. Per mezzo di questa nuova denominazione l'equazione (36) darà

$$(176) \quad r = \frac{a(1-e^2)}{1+e \cos v}$$

Paragonando questo valore di  $r$  con ciascuno dei due che somministrano le equazioni (37), risultano le seguenti:

$$\frac{1-e^2}{1+e \cos v} = 1 - e \cos \varepsilon, \quad \frac{1-e}{1+e \cos v} = 1 + \frac{\cos \varepsilon}{e}$$

da queste equazioni si ricaverà primieramente

$$\cos \varepsilon = \frac{e \cos v}{1+e \cos v}, \quad \cos \varepsilon = \frac{1+e \cos v}{e \cos v}$$

e quindi

$$\tan \frac{1}{2}\varepsilon = \sqrt{\left(\frac{1-e}{1+e}\right)} \tan \frac{1}{2}v$$

(177)

$$\tan \frac{1}{2}\varepsilon = \sqrt{\left(\frac{e-1}{e+1}\right)} \tan \frac{1}{2}v$$

L'angolo  $\varepsilon$ , che si determina per mezzo d'una di queste formole, è detto dagli astronomi anomalia eccentrica: la prima formola dà per  $\varepsilon$  un valor reale quando trovasi  $e < 1$ , cioè quando la curva è un'elisse, e la seconda quando risulta  $e > 1$ , cioè quando il corpo celeste si muove

in un' iperbole. Ciò comprova vie meglio quanto si è detto al numero 5, che dei due integrali dati dalle equazioni (38), (39) sarà più comodo il primo od il secondo, conforme a che la curva percorsa dal corpo celeste sarà un' elisse od un' iperbole.

## 42.

Ritrovato l' angolo  $\varepsilon$  corrispondente ad un' osservazione per mezzo d' alcuna delle equazioni (177), si potrà determinare il tempo del passaggio del corpo celeste al perielio che, unito agli elementi  $\Omega, i, e, \pi$  e  $q$  già ritrovati, formerà il sesto e darà la completa determinazione di tutti gli elementi dell' orbita.

Richiamiamo perciò le equazioni (38), (39) e riponiamo per  $\theta$  il valore  $t/g$ , comprendendo nella costante indeterminata  $\Theta$  il divisore  $/g$ , avremo

$$(178) \quad t - \Theta = \sqrt{\left(\frac{u^3}{g}\right)} \{ \varepsilon - e \sin \varepsilon \}$$

$$(179) \quad t - \Theta = \sqrt{\left(\frac{-a^3}{g}\right)} \{ e \tan \varepsilon - \log \tan (45 + \frac{1}{2} \varepsilon) \}$$

Se ora si suppone che nell' equazione (176) sia  $v = 0$ , è chiaro che in quest' ipotesi il corpo celeste si troverà al perielio, e risultando per questo valore di  $v$  dalle formole (177) parimente  $\varepsilon = 0$ , avremo il tempo  $t$  del passaggio al perielio facendo nelle precedenti equazioni  $\varepsilon = 0$ . Ora supposto  $\varepsilon = 0$  nelle dette equazioni, si trova

$$t - \Theta = 0$$

o sia

$$t = \Theta$$

Quindi il valore della costante  $\Theta$  rappresenterà il tempo del passaggio del corpo celeste al perielio.

Per determinare queste valori supponiamo che sia  $t'$  il numero de' giorni scorsi da un' epoca fissa, per esempio dal principio dell' anno sino all' istante di un' osservazione, ed  $e$  l' anomalia eccentrica corrispondente a questa osservazione dedotta da alcuna delle equazioni (177), indicando con  $s$  il numero che risulterà dal valore del secondo membro di quella delle equazioni (178), (179) che sarà più opportuna di usare, avremo

$$t' - \Theta = s$$

Dalla quale equazione dedurremo il valore dell'incognita  $\Theta$ , che sarà

$$(180) \quad \Theta = t' - s$$

e rappresenterà per ciò che abbiamo detto il numero dei giorni di cui il momento del passaggio del corpo celeste al perielio precederà o sarà preceduto dal primo giorno dell' anno.

Allorchè l' orbita percorsa dal corpo celeste è parabolica pel calcolo della costante  $\Theta$  si risparmia il valore di  $e$ , come risulta dall' equazione (41), nella quale il valore del secondo membro è espresso direttamente per  $v$ : indicando poi con  $s$  il valore del secondo membro della detta equazione corrispondente all' osservazione  $t'$ , avremo parimente

$$(180) \quad \Theta = t' - s$$

Il valore di  $s$  che può trovarsi coll' equazione (41) deduci-  
cesi in questo caso anche più brevemente, come è noto,  
facendo uso delle tavole del vero e medio movimento  
parabolico delle comete.

---

## AVVERTENZE

### SULLE TAVOLE DEI SATELLITI DI GIOVE

DI

FRANCESCO CARLINI.

---

NELLE tavole dei Satelliti di Giove costrutte dal celebre signor Delambre ed inserite nella terza edizione dell'Astronomia di Lalande è scorso un errore, in conseguenza del quale gli eclissi del primo Satellite calcolati negli ultimi volumi di queste Effemeridi, e quelli pure che si trovano nella Conoscenza dei Tempi che si pubblica a Parigi, sono in errore di qualche minuto. Le epoche dell'argomento C, date alla pagina 250 delle tavole citate, dall'anno 1812 fino alla fine si devono correggere a questo modo :

Anni.	C	Anni.	C
1812	5249	1817	6116
1813	9415	1818	0281
1814	8601	1819	4445
1815	2766	1820	3630
1816	1951		

App. Eff. 1817.

16

Probabilmente questa correzione non sarà stata omissa nella ristampa delle tavole astronomiche francesi fatta in Londra dal signor Samuele Vince, la quale non ci è pervenuta; ed in fatti gli eclissi dei Satelliti di Giove annunciati nell' Almanacco Nautico di Londra, che si calcola col mezzo della suddetta nuova edizione, sono esenti dagli errori sopra indicati.

Il ch. signor Triesneker nell' Appendice alle Effemeridi di Berlino per l' anno 1816 ha fatta la medesima avvertenza; ma le correzioni ch' egli ritrova per l' argomento  $C$  non sono interamente conformi a quelle da me proposte, e differiscono dalle mie, eccettuate quelle per gli anni 1812 e 1813, di parti 5660, o sia d' una mezza circonferenza. Questa diversità non è di grande rilievo, giacchè non affetta il termine principale dell' equazione, che è proporzionale al seno del doppio dell' argomento; ciò nulla ostante ho voluto verificare il mio calcolo nel modo seguente. L' anno 1813 a  $1^{\text{mo}}. 8^{\text{a}} 5^{\text{m}} 19^{\text{s}},0$ , tempo in cui cade la prima congiuntione media del Satellite, l' epoca dell' argomento  $C$  era  $\approx 9415$ . Ora il moto di questo argomento in  $1^{\text{mo}}. 1^{\text{a}}. 8^{\text{a}} 40^{\text{m}} 0^{\text{s}},7$  è di parti 9186 (vedi pag. 255; lin. ultima delle indicate tavole); dunque aggiungendo rispettivamente queste due quantità, ti troverà per l' anno 1814  $1^{\text{mo}}. 1^{\text{a}} 32^{\text{m}} 19^{\text{s}},7$  l' argomento  $C \approx 18601$ , o togliendo una circonferenza,  $C \approx 8601$ , quale mi era risultato dal calcolo diretto.

Nell' esaminare questa materia mi si è presentata una difficoltà che credo necessario di qui riferite. La correzione che si ottiene coll' argomento  $C$  è composta di due parti, l' una delle quali proviene dall' attrazione del secondo Satellite sul primo, e l' altra dall' attrazione del terzo. L' illustre matematico Laplace nella sua Meccanica Celeste (T. IV, pag. 89) dà il valore di queste due parti,

le quali sono della forma  $A \sin C + B \sin 2C + \text{ecc.}$ ,  $A' \sin C' + B' \sin 2C' + \text{ecc.}$ , chiamata  $C$  la differenza di longitudine fra il primo e il secondo Satellite, e  $C'$  la differenza di longitudine fra il primo e il terzo. Osservando poi che si ha generalmente  $2C = 180^\circ + 3C$ , egli elimina (pag. 166) l'angolo  $C'$ , scrivendo  $90^\circ + \frac{3}{2}C$  in luogo di  $C'$ , e  $\cos \frac{3}{2}C$  in luogo di  $\sin C'$ . Ma acciò questa sostituzione sia legittima è necessario prendere l'angolo  $C$  da un'epoca determinata, e conservare nel suo valore tutti i multipli della circonferenza. Quando poi questi multipli si vogliano sopprimere, converrà scrivere  $2C = 3C \pm 180^\circ$ , e quindi  $C' = \frac{1}{2}C \pm 90^\circ$ ,  $\sin C' = \pm \cos \frac{1}{2}C$ . La somma delle due perturbazioni non si può adunque rinchiudere in una sola tavola periodica dipendente da  $C$ , giacchè ad uno stesso valore di questo argomento corrisponderà un valore di  $A' \cos \frac{3}{2}C$  ora positivo ed ora negativo.

Sulle formole del signor Laplace il signor Delambre ha costrutte le nuove tavole de' Satelliti, le quali, sebbene impresse già da sei anni, non sono ancora fatte di ragion pubblica. L'autore però ne dà un estratto nella sua grande Astronomia, ove alla pag. 504 del tomo terzo esprime la Variazione del primo Satellite colla formola seguente :

$$+ 1'',66 \sin C + 0'',74 \cos \frac{3}{2}C - 3' 13'',08 \sin 2C - 0'',03 \sin 3C \\ - 0'',14 \sin 4C - 0'',06 \sin 5C + 0'',88 \sin 4C.$$

Egli però non dice espressamente che tutte queste quantità sieno state riunite entro una sola tavola.

Analizzando l'equazione  $C$  data alla pagina 266 delle prime tavole del sig. Delambre, trovo che agli argomenti  $0, 125, 250, 375$ , ecc. per quali  $\sin 4C = 0$  corrisponde un valore che può esattamente rappresentarsi colla formola :

$$3' 39'',6 + 1'',66 \sin C - 3' 20'',6 \sin 2C - 0'',6 \sin 3C,$$

onde sembra escluso il termine  $+ 0'',7 \cos \frac{1}{2}C$ ; ma esaminando l'equazione corrispondente ad altri argomenti intermedj, trovo delle diversità che non si possono esprimere né col suddetto termine, né coll'altro  $(+ 0'',88 - 0''14) \sin 4C$ . Noi speriamo che la pubblicazione delle nuove tavole tanto desiderate dagli astronomi rischiarerà questi nostri dubbj.

**EFFEMERIDI ASTRONOMICHE**

**DI MILANO**

**PER L'ANNO 1818**

**CALCOLATE**

**DA**

**FRANCESCO CARLINI**

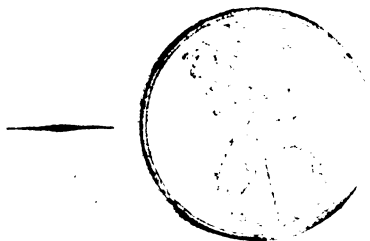
**ED**

**ENRICO BRAMBILLA.**

---

**CON APPENDICE.**

---



**MILANO,**

**DALL' IMP. REGIA STAMPERIA,**

**1817.**



## SPIEGAZIONE DEI SIMBOLI E DELLE ABBREVIAZIONI.

### SEGANI DEL ZODIACO.

- ♈ Ariete.
- ♉ Toro.
- ♊ Gemelli.
- ♋ Cancro.
- ♌ Leone.
- ♍ Vergine.
- ♎ Libra.
- ♏ Scorpione.
- ♐ Sagittario.
- ♑ Capricorno.
- ♒ Aquario.
- ♓ Pesci.

○ Sole.

- ⌚ indica Giorni.
- ⌚ Ore.
- ⌚ Segni.
- ⌚ Gradi.
- ⌚ Minuti.
- ⌚ Secondi.
- ☌ Congiunzione.
- ☍ Opposizione.

### PIANETI.

- ☿ Mercurio.
- ♀ Venere.
- ♂ Terra.
- ♂ Marte.
- ♃ Cerere.
- ♄ Pallade.
- ♅ Giunone.
- ♆ Vesta.
- ♇ Giove.
- ♈ Saturno.
- ♉ Urano.

☽ Luna.

- Ⓜ indica Mattina.
- Ⓜ Sera.
- Ⓐ Australe.
- Ⓑ Boreale.
- diff. Differenza.
- dist. min. Distanza minima.
- imm. Immersione.
- em. Emersione.

Per indicare il luogo a cui convien dirigere l'attenzione nell' osservare l' emersione delle stelle, in seguito all' ora del fenomeno abbiamo notato la distanza del punto del bordo lunare dove deve accadere l' emersione dal corno della Luna più vicino, espressa in gradi della circonferenza della Luna stessa.

---

## FESTE MOBILI.

---

Settuagesima . . . . .	18	Gennajo.
Giorno delle Generi. . . . .	4	Febbrajo.
Pasqua di Risurrezione . . . . .	22	Marzo.
Litanie alla Romana . . . . .	27 28 29	Aprile.
Ascensione del Signore . . . . .	30	Aprile.
Litanie all' Ambrosiana . . . . .	4 5 6	Maggio.
Pentecoste . . . . .	10	Maggio.
Santissima Trinità . . . . .	17	Maggio.
Corpus Domini. . . . .	21	Maggio.
Avvento all' Ambrosiana . . . . .	15	Novembre.
Avvento alla Romana . . . . .	29	Novembre.

## NUMERI DELL' ANNO.

---

Numero d' Oro . . . . .	14.
Ciclo Solare. . . . .	7.
Epatta . . . . .	23.
Indizione Romana . . . . .	6.
Lettera Domenicale. . . . .	D.

## QUATTRO TEMPORA.

---

Di Primavera . . . . .	11 13 14	Febbrajo.
D' Estate . . . . .	13 15 16	Maggio.
D' Autunno. . . . .	16 18 19	Settembre.
D' Inverno. . . . .	16 18 19	Dicembre.

---

---

## ECLISSI DELL' ANNO 1818.

---

20, 21 Aprile. Eclisse di Luna visibile a Milano.

Principio il dì 20 a 11<sup>h</sup> 48' della sera.

Fine .... il dì 21 a 2 8 della mattina.

Digitii oscurati 5 1/2.

5 Maggio. Eclisse di Sole visibile a Milano.

Principio a 6<sup>h</sup> 19' mattina.

Fine ..... 8 21.

Digitii oscurati 6.

14 Ottobre. Eclisse di Luna in parte visibile a Milano.

Principio a 5<sup>h</sup> 30' mattina.

Fine ..... 7 0.

Digitii oscurati 2.

29 Ottobre. Eclisse di Sole invisibile a Milano.

Congiunzione 6<sup>h</sup> 5' sera.

---

	<i>Obliquità apparente dell'eclittica.</i>	<i>Natazione de' punti equinoz. in longit.</i>
1 Gennajo .....	23° 27' 54",0 .....	- 12",1
1 Febbrajo .....	23 27 54 ,4 .....	- 11 ,2
1 Marzo .....	23 27 55 ,1 .....	- 11 ,3
1 Aprile .....	23 27 55 ,3 .....	- 12 ,0
1 Maggio .....	23 27 55 ,0 .....	- 12 ,5
1 Giugno .....	23 27 54 ,7 .....	- 11 ,8
1 Luglio .....	23 27 54 ,6 .....	- 10 ,3
1 Agosto .....	23 27 55 ,1 .....	- 9 ,0
1 Settembre .....	23 27 55 ,7 .....	- 8 ,8
1 Ottobre .....	23 27 56 ,0 .....	- 9 ,4
1 Novembre .....	23 27 55 ,7 .....	- 9 ,9
1 Dicembre .....	23 27 55 ,3 .....	- 9 ,3

NELL' APPENDICE ALL' EFFEMERIDI  
DELL' ANNO 1817.

<i>Pag. lin.</i>	<i>Errori.</i>	<i>Correzioni.</i>
51 15 . .	$2 \cos^{\frac{1}{2}}(u - \varpi) . . .$	$2 \cos^2 \frac{1}{2}(u - \varpi)$
94 3 . .	$h' - h'_{(1)}, k' - k'_{(1)} . . .$	$h'_{(1)} - h', k'_{(1)} - k$
100 17 . .	$C' \cos'i \cos'\Omega . . .$	$C' \tan'i \sin'\Omega$
» » . .	$C' \cos'i \sin'\Omega . . .$	$C' \tan'i \cos'\Omega$
110 13 . .	$1 - e . . . . .$	$1 - e^2$
» » . .	$1 + \frac{\cos \varepsilon}{e} . . . . .$	$1 - \frac{e}{\cos \varepsilon}$
111 15 . .	$u^3 . . . . .$	$a^3$

EFFEMERIDI  
1818.

	<i>Errori.</i>	<i>Correzioni.</i>
30 Aprile. Lat. della Luna $3^\circ 55' 19''$ . . . . .	$3^\circ 55' 59$	
23 Luglio. Sole nel segno del Toro .. Sole nel segno del Leone		

APPENDICE.

<i>Pag. lin.</i>	<i>Errori.</i>	<i>Correzioni.</i>
91 14 . .	$\log f_i : d_i \left( \frac{dd'_i}{d\Delta''} \right) . .$	$\log \frac{f'_i}{d'_i} \left( \frac{dd'_i}{d\Delta''} \right)$ e così nei luoghi analoghi.

---

---

## INDICE.

---

<i>Fenomeni ed osservazioni , posizioni del Sole , della Luna e dei Satelliti di Giove . . . . .</i>	pag.	1
<i>Semidiametro del Sole , tempo impiegato dal Sole a passare il me- ridiano , e longitudine del nodo della Luna di 6 in 6 giorni " . . . . .</i>	73	
<i>Posizioni di Mercurio di 6 in 6 giorni . . . . .</i>	"	74
<i>Venere di 6 in 6 giorni . . . . .</i>	"	76
<i>Marte di 6 in 6 giorni . . . . .</i>	"	78
<i>Cerere di 6 in 6 giorni . . . . .</i>	"	80
<i>Pallade di 6 in 6 giorni . . . . .</i>	"	81
<i>Giunone di 6 in 6 giorni . . . . .</i>	"	82
<i>Vesta di 6 in 6 giorni . . . . .</i>	"	83
<i>Ciove di 12 in 12 giorni . . . . .</i>	"	84
<i>Saturno di 12 in 12 giorni . . . . .</i>	"	85
<i>Urano di 12 in 12 giorni . . . . .</i>	"	86
<i>Tavole per calcolare le posizioni apparenti di trentaquattro Stelle principali . . . . .</i>	"	87
<i>Tavole della rifrazione pel clima di Milano . . . . .</i>	"	97
<i>Serie di occultazioni di Stelle fisse dietro la Luna , data dagli Astronomi delle Scuole Pie di Firenze . . . . .</i>	"	103

## A P P E N D I C E.

<i>Ricerche sulla convergenza della serie che serve alla soluzione del problema di Keplero di Francesco Carlini . . . . .</i>	"	3
<i>Nuova Analisi del problema di determinare le orbite dei corpi celesti di Ottaviano Fabrizio Mossotti , parte seconda* . . . . .</i>	"	49
<i>Occultazioni di Stelle nello scontro della Luna osservate a Milano da Angelo Cesaris . . . . .</i>	"	123
<i>Osservazioni meteorologiche fatte alla Specola di Milano l'anno 1815 da Angelo Cesaris . . . . .</i>	"	125



GIORNI.	FASI DELLA LUNA.	GIORNI.	ECLISSI DEI SATELLITI DI GIOVE. Tempo medio.
6	Novilunio ..... 12 <sup>h</sup> 13'		I. SATELLITE.
13	Primo quarto ..... 19 21	15	0 55 21 imm.
21	Plenilunio ..... 23 3	16	19 23 42
29	Ultimo quarto ..... 5 19	18	13 52 6
	CONGIUNZ. DELLA LUNA COLLE STELLE.	20	8 20 27
1	$\lambda \text{ m} \text{J}$ ..... 15 <sup>h</sup> 7'	22	2 48 51
3	$\delta \text{ m} \text{J}$ ..... 9 32	23	21 17 11
4	A Ofiuco ..... 13 52	25	15 45 36
10	$\psi^2 \text{ \approx}$ ..... 15 42	27	10 13 55
10	$\psi^3 \text{ \approx}$ ..... 15 50	29	4 42 17
13	$\mu \text{ X}$ ..... 13 20	30	23 10 37
16	A $\text{C}$ ..... 22 59		II. SATELLITE.
23	$\eta \text{ Q}$ ..... 18 41	15	4 36 29 imm.
26	$\gamma^1 \text{ m} \text{J}$ ..... 22 23	18	17 54 9
27	$\theta \text{ m} \text{J}$ ..... 12 31	22	7 12 46
28	$\lambda \text{ m} \text{J}$ ..... 20 59	25	20 30 22
30	$\delta \text{ m} \text{J}$ ..... 16 37	29	9 48 52
31	A Ofiuco ..... 21 56		III. SATELLITE.
	FENOMENI ED OSSERVAZIONI.	17	6 58 20 imm.
1	$\lambda \text{ m} \text{J}$ imm. 13 <sup>h</sup> 24', emers. 13 <sup>h</sup> 56': distanza della Stella dal corno australe della Luna nell'em. 45°.	17	9 46 43 em.
3	$\zeta$ e $\delta$ a 9 <sup>h</sup> 30' in contatto.	24	10 56 57 imm.
20	$\odot$ nel segno dell'Aquario 2 <sup>h</sup> 19'.	24	13 46 19 em.
23	$\xi$ in congiunzione inferiore.	31	14 55 9 imm.
27	$\theta \text{ m} \text{J}$ a 11 <sup>h</sup> 11' distanza dal lembo australe della Luna 2'.	31	21 45 24 em.
30	$\delta \text{ m} \text{J}$ imm. 14 <sup>h</sup> 52', emers. 15 <sup>h</sup> 53': distanza della Stella dal corno boreale della Luna nell'em. 60°.		

Giorni dell'ann.	Giorni del mese.	Giorni della settimana.	TEMPO medio a mezzodì vero.	TEMPO sidereo a mezzodì vero.	TEMPO sidereo a mezzodì medio.	Nascere del Sole.	Tramontare del Sole.
1	1	Giov.	o 3' 48,7	18 45' 51,2	18 42' 1,9	7 39'	4 21'
2	2	Ven.	o 4 17,1	18 50 16,2	18 45 58,4	7 38	4 22
3	3	Sab.	o 4 45,1	18 54 40,9	18 49 55,0	7 38	4 22
4	4	Dom.	o 5 12,8	18 59 5,2	18 53 51,5	7 37	4 23
5	5	Lun.	o 5 40,2	19 3 29,2	18 57 48,1	7 37	4 23
6	6	Mart.	o 6 7,1	19 7 52,7	19 1 44,6	7 36	4 24
7	7	Merc.	o 6 33,5	19 12 15,7	19 5 41,2	7 35	4 25
8	8	Giov.	o 6 59,4	19 16 38,3	19 9 37,7	7 34	4 26
9	9	Ven.	o 7 24,8	19 21 0,3	19 13 34,3	7 34	4 26
10	10	Sab.	o 7 49,6	19 25 21,7	19 17 30,9	7 33	4 27
11	11	Dom.	o 8 13,8	19 29 42,6	19 21 27,4	7 32	4 28
12	12	Lun.	o 8 37,5	19 34 2,9	19 25 24,0	7 32	4 28
13	13	Mart.	o 9 0,5	19 38 22,5	19 29 20,5	7 31	4 29
14	14	Merc.	o 9 22,8	19 42 41,4	19 33 17,1	7 30	4 30
15	15	Giov.	o 9 44,5	19 46 59,7	19 37 13,6	7 29	4 31
16	16	Ven.	o 10 5,4	19 51 17,3	19 41 10,2	7 28	4 32
17	17	Sab.	o 10 25,6	19 55 34,1	19 45 6,8	7 26	4 34
18	18	Dom.	o 10 45,1	19 59 50,2	19 49 3,3	7 25	4 35
19	19	Lun.	o 11 3,9	20 4 5,6	19 52 59,9	7 24	4 36
20	20	Mart.	o 11 21,9	20 8 20,2	19 56 56,5	7 23	4 37
21	21	Merc.	o 11 39,1	20 12 34,0	20 0 53,0	7 22	4 38
22	22	Giov.	o 11 55,5	20 16 47,1	20 4 49,6	7 21	4 39
23	23	Ven.	o 12 11,2	20 20 59,4	20 8 46,1	7 20	4 40
24	24	Sab.	o 12 26,2	20 25 10,9	20 12 42,7	7 18	4 42
25	25	Dom.	o 12 40,4	20 29 21,7	20 16 39,2	7 17	4 43
26	26	Lun.	o 12 53,7	20 33 31,6	20 20 35,8	7 16	4 44
27	27	Mart.	o 13 6,2	20 37 40,7	20 24 32,4	7 15	4 45
28	28	Merc.	o 13 18,0	20 41 49,1	20 28 28,9	7 14	4 46
29	29	Giov.	o 13 29,0	20 45 56,7	20 32 25,5	7 13	4 47
30	30	Ven.	o 13 39,1	20 50 3,4	20 36 22,1	7 12	4 48
31	31	Sab.	o 13 48,5	20 54 9,4	20 40 18,6	7 11	4 49

Giorni del mese.	LONGITUDINE del Sole.	ASCENSIONE retta del Sole.	DECLINAZIONE del Sole australe.	LOGARITMO della distanza della Terra dal Sole.
1	9 ° 32' 14,4	281 ° 27' 47"	23 ° 2' 46"	9,992646
2	9 11 33 26,5	282 34 3	22 57 48	9,992652
3	9 12 34 38,7	283 40 14	22 52 10	9,992660
4	9 13 35 51,1	284 46 19	22 46 11	9,992670
5	9 14 37 3,4	285 52 18	22 39 45	9,992681
6	9 15 38 15,7	286 58 10	22 32 51	9,992694
7	9 16 39 27,8	288 3 56	22 25 31	9,992709
8	9 17 40 39,7	289 9 34	22 17 45	9,992715
9	9 18 41 51,2	290 15 4	22 9 32	9,992743
10	9 19 43 2,0	291 20 26	22 0 53	9,992762
11	9 20 44 12,2	292 25 39	21 51 48	9,992783
12	9 21 45 21,7	293 30 43	21 42 18	9,992806
13	9 22 46 30,5	294 35 37	21 32 22	9,992831
14	9 23 47 38,6	295 40 21	21 22 2	9,992858
15	9 24 48 45,7	296 44 55	21 11 17	9,992887
16	9 25 49 51,8	297 49 19	21 0 8	9,992918
17	9 26 50 57,0	298 53 32	20 48 35	9,992952
18	9 27 52 1,3	299 57 33	20 36 37	9,992988
19	9 28 53 4,6	301 1 24	20 24 18	9,993026
20	9 29 54 6,9	302 5 3	20 11 35	9,993068
21	10 0 55 8,3	303 8 31	19 58 29	9,993113
22	10 1 56 8,9	304 11 47	19 45 1	9,993160
23	10 2 57 8,6	305 14 51	19 31 11	9,993210
24	10 3 58 7,7	306 17 44	19 16 59	9,993263
25	10 4 59 6,0	307 20 25	19 2 26	9,993318
26	10 6 0 3,5	308 22 54	18 47 32	9,993376
27	10 7 1 0,4	309 25 11	18 32 13	9,993436
28	10 8 1 56,5	310 27 17	18 16 43	9,993499
29	10 9 2 52,0	311 29 10	18 0 49	9,993564
30	10 10 3 46,7	312 30 51	17 44 35	9,993631
31	10 11 4 40,6	313 32 21	17 28 3	9,993699

Giorni del mese	Giorni della settimana	LONGITUDINE DELLA LUNA				LATITUD. DELLA LUNA	Passaggio della Luna pel merid.
		a mezzodì.	a mezza notte.	a mezzodì.	a mezza notte.		
1 Giov.	6 25 ° 29' 22"	7 2 33' 55"	1 50 42B	1 14 25B	19 31'		
2 Ven.	7 9 42 48	7 16 55 50	0 36 37	0 2 7A	20 25		
3 Sab.	7 24 12 41	8 1 32 54	0 41 6A	1 19 41	21 22		
4 Dom.	8 8 55 51	8 16 20 47	1 57 6	2 32 41	22 24		
5 Lun.	8 23 46 49	9 1 12 57	3 5 42	3 35 31	23 29		
6 Mart.	9 8 38 8	9 16 1 17	4 1 34	4 23 25	*	*	
7 Merc.	9 23 21 21	10 0 37 20	4 40 44	5 53 18	0 33		
8 Giov.	10 7 48 23	10 14 53 45	5 1 3	5 4 2	1 33		
9 Ven.	10 21 52 51	10 28 45 19	5 2 23	4 56 21	2 28		
10 Sab.	11 5 30 57	11 12 9 44	4 46 14	4 32 22	3 17		
11 Dom.	11 18 41 47	11 25 7 23	4 15 8	3 54 54	4 2		
12 Lun.	0 1 26 58	0 7 41 1	3 32 5	3 7 2	4 45		
13 Mart.	0 13 50 6	0 19 54 51	2 40 6	2 11 39	5 25		
14 Merc.	0 25 55 58	1 1 54 7	1 42 1	1 11 29	6 6		
15 Giov.	1 7 50 1	1 13 44 21	0 40 23	0 9 0	6 47		
16 Ven.	1 19 37 50	1 25 31 7	0 22 24B	0 53 30B	7 30		
17 Sab.	2 1 24 49	2 7 19 30	1 24 2	1 53 43	8 16		
18 Dom.	2 13 15 45	2 19 14 1	2 22 16	2 49 22	9 5		
19 Lun.	2 25 14 43	3 1 18 11	3 14 43	3 38 1	9 56		
20 Mart.	3 7 24 42	3 13 34 29	3 59 0	4 17 20	10 48		
21 Merc.	3 19 47 40	3 26 4 19	4 32 44	4 44 59	11 41		
22 Giov.	4 2 24 25	4 8 47 58	4 53 49	4 59 2	12 32		
23 Ven.	4 15 14 52	4 21 44 59	5 0 29	4 58 3	13 22		
24 Sab.	4 28 18 10	5 4 54 16	4 51 40	4 41 19	14 10		
25 Dom.	5 11 33 8	5 18 14 36	4 27 6	4 9 7	14 57		
26 Lun.	5 24 58 33	6 1 44 53	3 47 32	3 22 36	15 43		
27 Mart.	6 8 33 31	6 15 24 26	2 54 37	2 23 56	16 29		
28 Merc.	6 22 17 37	6 29 13 4	1 50 59	1 16 12	17 17		
29 Giov.	7 6 10 50	7 13 10 55	0 40 4	0 3 8	18 8		
30 Ven.	7 20 13 19	7 27 17 58	0 34 3A	1 10 54A	19 3		
31 Sab.	8 4 24 47	8 11 33 32	1 46 48	2 21 10	20 3		

Giorni del mese	Declinaz. della Luna nel merid.	PARALLASSE equatoriale della Luna		DIAMETRO orizzontale della Luna		Nascere della Luna.	Tra- montare della Luna.
		a mezzodì	a mezza notte.	a mezzodì	a mezza notte.		
1	13 ° 5' A	59' 9"	59 27"	32' 17"	32 27"	b 0 54M	b 0 16s
2	18 46	59 44	60 0	32 36	32 45	2 12	0 38
3	23 20	60 13	60 23	32 52	32 57	3 35	1 6
4	26 16	60 30	60 34	33 1	33 3	4 55	1 43
5	27 11	60 33	60 29	33 3	33 0	6 16	2 29
6	* *	60 20	60 8	32 55	32 49	7 28	3 29
7	26 0	59 52	59 33	32 40	32 30	8 27	4 43
8	22 57	59 11	58 47	32 18	32 5	9 11	6 1
9	18 33	58 21	57 55	31 51	31 36	9 46	7 19
10	13 12	57 28	57 1	31 22	31 7	10 10	8 35
11	7 26	56 35	56 11	30 53	30 40	10 29	9 45
12	1 32	55 48	55 27	30 27	30 16	10 48	10 54
13	4 16 B	55 9	54 52	30 6	29 57	11 5	11 59
14	9 46	54 38	54 27	29 49	29 43	11 22	* *
15	14 50	54 18	54 12	29 38	29 35	11 40	1 4M
16	19 18	54 8	54 7	29 33	29 32	0 08	2 7
17	22 57	54 8	54 12	29 33	29 35	0 27	3 12
18	25 36	54 16	54 23	29 37	29 41	1 1	4 16
19	27 3	54 32	54 42	29 46	29 51	1 41	5 17
20	27 5	54 53	55 6	29 57	30 4	2 31	6 15
21	25 39	55 20	55 34	30 12	30 19	3 39	7 4
22	22 48	55 48	56 3	30 27	30 35	4 35	7 46
23	18 42	56 18	56 32	30 43	30 51	5 43	8 20
24	13 36	56 47	57 1	30 59	31 7	6 55	8 48
25	7 45	57 15	57 29	31 14	31 22	8 8	9 11
26	1 26	57 42	57 55	31 29	31 36	9 21	9 32
27	5 2 A	58 8	58 20	31 43	31 50	10 33	9 52
28	11 20	58 32	58 44	31 57	32 3	11 50	10 12
29	17 8	58 55	59 5	32 9	32 15	* *	10 32
30	21 59	59 14	59 22	32 19	32 24	1 9M	10 56
31	25 28	59 29	59 34	32 28	32 30	2 30	11 29

POSIZIONE DEI SATELLITI DI GIOVE.  
*Oriente*                     $18^{\text{h}} 0'$                     *Occidente*

15   4.	2.	.1	○	3.
16   .4	.2	○	1.	3.
17   .4	3.	.1	○	.2
18   20	3	○	4	
19	.3	2.	.4	○
20		1	○	.2
21			○	.12
22		1	○	.3
23	.2		○	1.
24   30		.1	○	.3
25   10		3.	○	.2
26	.3	2.	○	.1
27   20		1	○	4.
28		4.	○	.12
29	4.	.12.	○	.3
30   .4.	.2		○	1.
31   4.	.1	○	.2	3.

GIORNI.	FASI DELLA LUNA.	GIORNI.	ECLISSI DEI SATELLITI DI GIOVE. Tempo medio.
5	Novilunio ..... 0 <sup>h</sup> 15'		I. SATELLITE.
12	Primo quarto ..... 16 39	* 1	17 38' 59 imm.
20	Plenilunio ..... 14 6	3	12 7 19
27	Ultimo quarto ..... 13 4	5	6 35 41
		7	1 3 59
		8	19 32 22
		10	14 0 40
		12	8 29 3
		14	2 57 20
		15	21 25 42
		17	15 54 0
		19	10 22 23
9	$\mu$ X ..... 21 <sup>h</sup> 52'	21	4 50 40
13	A $\Delta$ ..... 6 51	22	23 19 3
20	$\eta$ $\Omega$ ..... 2 24	*24	17 47 20
23	$\gamma^1$ $\Pi$ ..... 4 35	26	12 15 41
23	$\theta$ $\Pi$ ..... 18 27	28	6 44 0
25	$\lambda$ $\Pi$ ..... 2 25		
26	$\beta$ $\Pi$ ..... 22 1		
28	A Ophioco ..... 3 44		
			II. SATELLITE.
		1	23 6 23 imm.
		5	12 24 46
		9	1 42 15
		12	15 0 29
		16	4 17 56
		*19	17 36 1
		23	6 53 24
		26	20 11 22
			III. SATELLITE.
13	A $\Delta$ imm. 6 <sup>h</sup> 41', emers. 8 <sup>h</sup> 5': distanza dal corno australe della Luna nell' em. 60°.	7	18 53 34 imm.
18	$\odot$ nel segno dei Pesci ... 17 <sup>h</sup> 3'.	7	21 44 47 em.
		14	22 51 18 imm.
		15	1 43 21 em.
		22	2 48 40 imm.
		22	5 41 48 em.
		29	6 46 23 imm.
		29	9 40 15 em.

Giorni dell'ann.	Giorni del mese	Giorni della settimana	TEMPO medio a mezzodì vero.	TEMPO sidereo a mezzodì vero.	TEMPO sidereo a mezzodì medio.	Nascere del Sole.	Tramontare del Sole.
32	1	Dom.	0 13 57,0	20 58 14,5	20 44 15,2	7 9	4 51
33	2	Lun.	0 14 4,8	21 2 18,8	20 48 11,7	7 8	4 52
34	3	Mart.	0 14 11,8	21 6 22,4	20 52 8,3	7 6	4 54
35	4	Merc.	0 14 17,9	21 10 25,1	20 56 4,8	7 5	4 55
36	5	Giov.	0 14 23,2	21 14 27,0	21 0 1,4	7 3	4 57
37	6	Ven.	0 14 27,7	21 18 28,0	21 3 57,9	7 2	4 58
38	7	Sab.	0 14 31,4	21 22 28,3	21 7 54,5	7 1	4 59
39	8	Dom.	0 14 34,3	21 26 27,7	21 11 51,1	7 0	5 0
40	9	Lun.	0 14 36,3	21 30 26,3	21 15 47,6	6 58	5 2
41	10	Mart.	0 14 37,5	21 34 24,1	21 19 44,2	6 57	5 3
42	11	Merc.	0 14 37,9	21 38 21,1	21 23 40,8	6 55	5 5
43	12	Giov.	0 14 37,6	21 42 17,3	21 27 37,3	6 54	5 6
44	13	Ven.	0 14 36,5	21 46 12,7	21 31 33,9	6 53	5 7
45	14	Sab.	0 14 34,6	21 50 7,4	21 35 30,4	6 51	5 9
46	15	Dom.	0 14 31,9	21 54 1,2	21 39 27,0	6 49	5 11
47	16	Lun.	0 14 28,5	21 57 54,4	21 43 23,5	6 48	5 12
48	17	Mart.	0 14 24,3	22 1 46,7	21 47 20,1	6 46	5 14
49	18	Merc.	0 14 19,4	22 5 38,4	21 51 16,6	6 45	5 15
50	19	Giov.	0 14 13,8	22 9 29,3	21 55 13,2	6 43	5 17
51	20	Ven.	0 14 7,6	22 13 19,6	21 59 9,7	6 42	5 18
52	21	Sab.	0 14 0,6	22 17 9,2	22 3 6,3	6 40	5 20
53	22	Dom.	0 13 53,0	22 20 58,2	22 7 2,8	6 38	5 22
54	23	Lun.	0 13 44,8	22 24 46,5	22 10 59,4	6 37	5 23
55	24	Mart.	0 13 36,0	22 28 34,2	22 14 55,9	6 35	5 25
56	25	Merc.	0 13 26,6	22 32 21,3	22 18 52,5	6 34	5 26
57	26	Giov.	0 13 16,7	22 36 7,9	22 22 49,0	6 32	5 28
58	27	Ven.	0 13 6,2	22 39 53,9	22 26 45,6	6 31	5 29
59	28	Sab.	0 12 55,1	22 43 39,4	22 30 42,1	6 29	5 31

Giorni del mese	LONGITUDINE del Sole.	ASCENSIONE retta del Sole.	DECLINAZIONE del Sole australe.	LOGARITMO della distanza della Terra dal Sole.
1	10 12 5 33,6	314 33 38	17 11 11	9,993769
2	10 13 6 25,7	315 34 43	16 54 2	9,993841
3	10 14 7 16,8	316 35 36	16 36 34	9,993914
4	10 15 8 6,9	317 36 16	16 18 50	9,993988
5	10 16 8 55,7	318 36 44	16 0 48	9,994063
6	10 17 9 43,1	319 37 0	15 42 30	9,994140
7	10 18 10 29,1	320 37 4	15 23 56	9,994218
8	10 19 11 13,6	321 36 55	15 5 7	9,994296
9	10 20 11 56,6	322 36 34	14 46 2	9,994376
10	10 21 12 38,0	323 36 1	14 26 42	9,994457
11	10 22 13 17,8	324 35 17	14 7 8	9,994539
12	10 23 13 55,7	325 34 20	13 47 21	9,994623
13	10 24 14 31,7	326 33 11	13 27 19	9,994708
14	10 25 15 5,8	327 31 51	13 7 5	9,994795
15	10 26 15 38,1	328 30 19	12 46 38	9,994883
16	10 27 16 8,5	329 28 35	12 25 59	9,994973
17	10 28 16 37,1	330 26 41	12 5 9	9,995065
18	10 29 17 3,8	331 24 36	11 44 6	9,995159
19	11 0 17 28,7	332 22 20	11 22 53	9,995256
20	11 1 17 51,9	333 19 54	11 1 30	9,995354
21	11 2 18 13,4	334 17 18	10 39 56	9,995454
22	11 3 18 33,3	335 14 32	10 18 12	9,995557
23	11 4 18 51,6	336 11 37	9 56 19	9,995661
24	11 5 19 8,3	337 8 33	9 34 16	9,995767
25	11 6 19 23,4	338 5 20	9 12 5	9,995875
26	11 7 19 37,1	339 1 58	8 49 46	9,995985
27	11 8 19 49,3	339 58 28	8 27 18	9,996096
28	11 9 20 0,0	340 54 50	8 4 43	9,996208

Giorni del mese	Giorni della settimana	LONGITUDINE DELLA LUNA		LATITUD. DELLA LUNA		Passaggio della Luna pel merid.
		a mezzodì.	a mezza notte.	a mezzodì.	a mezza notte.	
1	Dom.	8 18 43' 57"	8 25 55' 38"	2 53 25A	3 22 57A	21 4
2	Lun.	9 3 8 4	9 10 20 40	3 49 17	4 11 56	22 7
3	Mart.	9 17 32 45	9 24 43 36	4 30 31	4 44 44	23 8
4	Merc.	10 1 52 23	10 8 58 22	4 54 24	4 59 26	* *
5	Giov.	10 16 0 49	10 22 59 2	4 59 50	4 55 44	0 5
6	Ven.	10 29 52 28	11 6 40 39	4 47 20	4 34 54	0 58
7	Sab.	11 13 23 15	11 20 0 4	4 18 48	3 59 23	1 46
8	Dom.	11 26 31 5	0 2 56 23	3 37 4	3 12 16	2 31
9	Lun.	0 9 16 11	0 15 30 49	2 45 24	2 16 51	3 13
10	Mart.	0 21 40 42	0 27 46 21	1 47 1	1 16 16	3 55
11	Merc.	1 3 48 20	1 9 47 18	0 44 56	0 13 20	4 37
12	Giov.	1 15 43 55	1 21 38 53	0 18 13B	0 49 26B	5 20
13	Ven.	1 27 32 53	2 3 26 40	1 20 2	1 49 46	6 5
14	Sab.	2 9 20 54	2 15 16 17	2 18 20	2 45 29	6 53
15	Dom.	2 21 13 27	2 27 13 0	3 10 57	3 34 29	7 43
16	Lun.	3 3 15 28	3 9 21 22	3 55 46	4 14 34	8 35
17	Mart.	3 15 31 6	3 21 44 59	4 30 34	4 43 32	9 28
18	Merc.	3 28 3 16	4 4 26 6	4 53 12	4 59 20	10 21
19	Giov.	4 10 53 33	4 17 25 36	5 1 43	5 0 11	11 13
20	Ven.	4 24 2 6	5 0 42 51	4 54 37	4 44 58	12 3
21	Sab.	5 7 27 32	5 14 15 49	4 31 15	4 13 32	12 51
22	Dom.	5 21 7 17	5 28 1 32	3 52 1	3 26 54	13 38
23	Lun.	6 4 58 6	6 11 56 34	2 58 34	2 37 23	14 26
24	Mart.	6 18 56 33	6 25 57 41	1 53 49	1 18 24	15 15
25	Merc.	7 2 59 40	7 10 2 15	0 41 40	0 4 13	16 5
26	Giov.	7 17 5 13	7 24 8 23	0 33 21A	1 10 27A	16 59
27	Ven.	8 1 11 39	8 8 14 53	1 46 29	2 20 54	17 57
28	Sab.	8 15 17 58	8 22 20 46	2 53 9	3 22 43	18 58

Giorni del mese	Declinaz. della Luna nel merid.	PARALLASSE equatoriale della Luna		DIAMETRO orizzontale della Luna		Nascere della Luna.	Tra- montare della Luna.
		a mezzodì	a mezza notte.	a mezzodì	a mezza notte.		
1	27 11 A	59° 37'	59° 38"	32° 32'	32° 33"	3 49M	0 12S
2	26 53	59° 37'	59° 33'	32° 32'	32° 30'	5 2	1 4
3	24 38	59° 27'	59° 18'	32° 27'	32° 22'	6 5	2 10
4	* *	59° 6	58° 52'	32° 15'	32° 7'	6 53	3 27
5	20 48	58° 36'	58° 17'	31° 59'	31° 48'	7 33	4 44
6	15 48	57° 57'	57° 35'	31° 37'	31° 25'	8 3	6 3
7	10 6	57° 13'	56° 51'	31° 13'	31° 1'	8 25	7 18
8	4 5	56° 29'	56° 7	30° 49'	30° 37'	8 44	8 30
9	1 56 B	55° 46'	55° 27'	30° 26'	30° 16'	9 2	9 36
10	7 43	55° 10'	54° 55'	30° 6	29° 58'	9 20	10 43
11	13 4	54° 42'	54° 31'	29° 51'	29° 45'	9 39	11 49
12	17 51	54° 22'	54° 16'	29° 40'	29° 37'	9 59	* *
13	21 50	54° 13'	54° 12'	29° 35'	29° 35'	10 24	0 54M
14	24 54	54° 14'	54° 18'	29° 36'	29° 38'	10 55	1 58
15	26 49	54° 25'	54° 34'	29° 42'	29° 47'	11 31	3 1
16	27 24	54° 45'	54° 58'	29° 53'	30° 0	0 17S	4 1
17	26 32	55° 13'	55° 30'	30° 8	30° 17'	1 13	4 54
18	24 14	55° 47'	56° 6	30° 27'	30° 37'	2 16	5 38
19	20 32	56° 25'	56° 44'	30° 47'	30° 58'	3 26	6 16
20	15 39	57° 3	57° 21'	31° 8	31° 18'	4 38	6 47
21	9 53	57° 38'	57° 54'	31° 27'	31° 36'	5 53	7 13
22	3 31	58° 9	58° 22'	31° 44'	31° 51'	7 8	7 35
23	3 7 A	58° 34'	58° 44'	31° 58'	32° 3	8 23	7 55
24	9 39	58° 52'	58° 59'	32° 7	32° 11	9 41	8 16
25	15 42	59° 4	59° 8	32° 14'	32° 16'	10 59	8 37
26	20 54	59° 11'	59° 12'	32° 18'	32° 18'	* *	9 1
27	24 49	59° 12'	59° 10'	32° 18'	32° 17'	0 19M	9 30
28	27 3	59° 8	59° 4	32° 16'	32° 14'	1 38	10 9

## POSIZIONE DEI SATELLITI DI GIOVE.

Oriente

17<sup>h</sup>

Occidente

1	4.	3.	○ 1.	2.	
2	.4	.3	2.	○	1.0
3	.4	.3	1○2○		
4	.4		○ 1○3	.2	
5	2○		1.	.4○	.3
6		.2	○	.1 .4	3.
7		.1	○ 2○3		.4
8		3.	○ 1.	.2.	.4
9	.3	.2.	.1○		.4
10	1○	.3	.2 ○		4.
11	3.0		○ .1	.3	4.
12		1.	○ 2.		3○4
13		2.	○ 1○4		3.
14		1○4	○ .23.		
15	4.	3.	○ 1.	.2.	
16	4.	3.	.2. .1 ○		
17	4.	.3	.2 ○		1○
18	4.		○ .1	.2	3.0
19	.4		1. ○ 2.		.3
20	.4	.2.	○ .1		3.
21	2.0		.4.1 ○		3.
22			3. ○ 4.1.	.2.	
23	3.	1○2○		.4	
24	3.	.2	○ 1.		.4
25	1.0		.3 ○	.2	.4
26			1. ○ 2.	.3	.4
27		2.	○ .1	3.	4.
28	2.0		1. ○	3.	4.

GIORNI.	FASI DELLA LUNA.	GIORNI.	ECLISSI DEI SATELLITI DI GIOVE. Tempo medio.
6	Novilunio ..... 13 <sup>h</sup> 36'		I. SATELLITE.
14	Primo quarto ..... 13 45	2	1 12 21 imm.
22	Plenilunio ..... 2 38	3	19 40 39
28	Ultimo quarto ..... 20 14	5	14 8 59
		7	8 37 16
		9	3 5 37
		10	21 33 55
		*12	16 2 16
		14	10 30 34
		16	4 58 55
1	$\tau \rightarrow$ ..... 22 <sup>h</sup> 4'	17	23 27 13
12	A $\varpi$ ..... 15 5	19	17 55 35
19	$\eta \Omega$ ..... 11 53	21	12 23 52
22	$\gamma^1 \text{m} \text{J}$ ..... 13 12	23	6 52 14
23	$\theta \text{m} \text{J}$ ..... 2 42	25	1 20 33
26	$\delta \text{m} \text{J}$ ..... 4 14	26	19 48 54
27	A Ofioco ..... 9 26	28	14 17 12
29	$\tau \rightarrow$ ..... 3 33	30	8 45 34
31	$\epsilon \lambda$ ..... 17 29		
31	$\kappa \lambda$ ..... 20 2	2	9 28 42 imm.
		5	22 46 33
		9	12 3 47
		13	1 21 31
		16	14 38 43
		20	3 56 19
		*23	17 13 29
		27	6 30 56
		30	19 48 4
			III. SATELLITE.
2	$\odot$ e $\beta$ differenza di latitud. 14'.	1	6 46 22 imm.
12	$\beta$ in congiunzione superiore.	1	9 40 15 em.
17	$\beta$ e $\beta$ differenza di latitudine 34'.	8	10 44 3 imm.
19	$\eta \Omega$ a 11° 58' distanza dal lembo boreale della Luna 15'.	8	13 38 51 em.
20	$\odot$ nel segno dell'Ariete 17 <sup>h</sup> 21'.	15	14 42 34 imm.
		15	17 38 16 em.
		22	18 40 34 imm.
		22	21 37 12 em.
		29	22 39 1 imm.
		30	1 36 32 em.

Giorni dell'anno.	Giorni del mese	Giorni della settimana.	TEMPO medio a mezzodì vero.	TEMPO sidereo a mezzodì vero.	TEMPO sidereo a mezzodì medio.	Nascere del Sole.	Tramontare del Sole.
60	1	Dom.	o 12 43,4	22 47 24,3	22 34 38,7	6 27	5 33
61	2	Lun.	o 12 31,3	22 51 8,7	22 38 35,3	6 25	5 35
62	3	Mart.	o 12 18,8	22 54 52,7	22 42 31,8	6 24	5 36
63	4	Merc.	o 12 5,8	22 58 36,2	22 46 28,4	6 22	5 38
64	5	Giov.	o 11 52,4	23 2 19,3	22 50 24,9	6 21	5 39
65	6	Ven.	o 11 38,5	23 6 1,9	22 54 21,5	6 19	5 41
66	7	Sab.	o 11 24,2	23 9 44,1	22 58 18,0	6 18	5 42
67	8	Dom.	o 11 9,6	23 13 26,0	23 2 14,6	6 16	5 44
68	9	Lun.	o 10 54,5	23 17 7,4	23 6 11,1	6 15	5 45
69	10	Mart.	o 10 39,0	23 20 48,4	23 10 7,7	6 13	5 47
70	11	Merc.	o 10 23,1	23 24 29,1	23 14 4,2	6 12	5 48
71	12	Giov.	o 10 6,9	23 28 9,4	23 18 0,8	6 10	5 50
72	13	Ven.	o 9 50,4	23 31 49,4	23 21 57,4	6 9	5 51
73	14	Sab.	o 9 33,6	23 35 29,2	23 25 53,9	6 7	5 53
74	15	Dom.	o 9 16,6	23 39 8,6	23 29 50,5	6 5	5 55
75	16	Lun.	o 8 59,3	23 42 47,8	23 33 47,0	6 4	5 56
76	17	Mart.	o 8 41,7	23 46 26,7	23 37 43,6	6 2	5 58
77	18	Merc.	o 8 23,9	23 50 5,4	23 41 40,1	6 1	5 59
78	19	Giov.	o 8 5,9	23 53 43,9	23 45 36,7	5 59	6 1
79	20	Ven.	o 7 47,7	23 57 22,2	23 49 33,2	5 58	6 2
80	21	Sab.	o 7 29,4	o 1 0,4	23 53 29,8	5 56	6 4
81	22	Dom.	o 7 11,0	o 4 38,5	23 57 26,3	5 54	6 6
82	23	Lun.	o 6 52,5	o 8 16,5	o 1 22,9	5 53	6 7
83	24	Mart.	o 6 33,9	o 11 54,4	o 5 19,4	5 51	6 9
84	25	Merc.	o 6 15,3	o 15 32,2	o 9 16,0	5 50	6 10
85	26	Giov.	o 5 56,6	o 19 10,1	o 13 12,5	5 48	6 12
86	27	Ven.	o 5 37,9	o 22 47,9	o 17 9,1	5 46	6 14
87	28	Sab.	o 5 19,2	o 26 25,8	o 21 5,6	5 45	6 15
88	29	Dom.	o 4 0,6	o 30 3,6	o 25 2,2	5 43	6 17
89	30	Lun.	o 4 42,1	o 33 41,6	o 28 58,7	5 41	6 19
90	31	Mart.	o 4 23,6	o 37 19,6	o 32 55,3	5 40	6 20

Giorni del mese	LONGITUDINE del Sole.	ASCENSIONE retta del Sole.	DECLINAZIONE del Sole australe.	LOGARITMO della distanza della Terra dal Sole.
1	° ° ' "	341 51 4	° ' "	9,996321
2	11 10 20 9,2	342 47 11	7 42 2	9,996435
3	11 11 20 17,0	343 43 11	6 56 18	9,996549
4	11 12 20 23,2	344 39 4	6 33 17	9,996664
5	11 13 20 27,7	345 34 50	6 10 11	9,996780
6	11 14 20 30,4			
7	11 15 20 31,4	346 30 29	5 46 59	9,996895
8	11 16 20 30,5	347 26 2	5 23 43	9,997011
9	11 17 20 27,6	348 21 29	5 0 22	9,997127
10	11 18 20 22,7	349 16 50	4 36 58	9,997244
	11 19 20 15,7	350 12 6	4 13 30	9,997360
11	11 20 20 6,6	351 7 16	3 49 59	9,997476
12	11 21 19 55,3	352 2 21	3 26 26	9,997593
13	11 22 19 41,6	352 57 21	3 2 50	9,997710
14	11 23 19 25,6	353 52 17	2 29 12	9,997827
15	11 24 19 7,2	354 47 9	2 15 33	9,997945
16	11 25 18 46,4	355 41 56	1 51 53	9,998064
17	11 26 18 23,3	356 36 40	1 28 11	9,998184
18	11 27 17 57,9	357 31 21	1 4 30	9,998304
19	11 28 17 30,2	358 25 59	0 40 48	9,998425
20	11 29 17 0,3	359 20 34	0 17 7	9,998547
21	0 0 16 28,4	0 15 7	0 6 34	9,998670
22	0 1 15 54,3	1 9 38	0 30 13	9,998794
23	0 2 15 18,1	2 4 7	0 53 52	9,998920
24	0 3 14 40,0	2 58 36	1 17 29	9,999046
25	0 4 14 0,0	3 53 4	1 41 4	9,999173
26	0 5 13 18,2	4 47 31	2 4 37	9,999301
27	0 6 12 34,6	5 41 59	2 28 7	9,999429
28	0 7 11 49,2	6 36 26	2 51 34	9,999557
29	0 8 11 2,1	7 30 55	3 14 58	9,999686
30	0 9 10 13,3	8 25 24	3 38 18	9,999815
31	0 10 9 22,8	9 19 55	4 1 35	9,999944

Giorni del mese	Giorni della settimana	LONGITUDINE DELLA LUNA				LATITUD. DELLA LUNA				Passeggio della Luna pel merid.
		a mezzodi.	a mezza notte.	a mezzodi.	a mezza notte.					
1 Dom.	8 29 23 8	9 6 24 53	3 49 11A	4 12 7A	19 59					
2 Lun.	9 13 25 49	9 20 25 37	4 31 12	4 46 10	21 0					
3 Mart.	9 27 24 2	10 4 20 40	4 56 49	5 3 2	21 57					
4 Merc.	10 11 15 9	10 18 7 6	5 4 48	5 2 8	22 51					
5 Giov.	10 24 56 6	11 1 41 48	4 55 10	4 44 5	23 40					
6 Ven.	11 8 23 49	11 15 1 51	4 29 11	4 10 45	* *					
7 Sab.	11 21 35 40	11 28 5 7	3 49 7	3 24 43	0 26					
8 Dom.	0 4 30 5	0 10 50 37	2 57 57	2 29 13	1 10					
9 Lun.	0 17 6 48	0 23 18 48	1 58 58	1 27 34	1 52					
10 Mart.	0 29 26 54	1 5 31 28	0 55 26	0 22 56	2 34					
11 Merc.	1 11 32 55	1 17 31 43	0 9 35B	0 41 47B	3 17					
12 Giov.	1 23 28 26	1 29 23 39	1 13 23	1 44 4	4 2					
13 Ven.	2 5 17 58	2 11 12 1	2 13 34	2 41 38	4 49					
14 Sab.	2 17 6 30	2 23 2 4	3 8 1	3 32 27	5 39					
15 Dom.	2 28 59 22	3 4 59 3	3 54 42	4 14 33	6 30					
16 Lun.	3 11 1 44	3 17 8 1	4 31 43	4 45 58	7 23					
17 Mart.	3 23 18 26	3 29 33 25	4 57 5	5 4 49	8 15					
18 Merc.	4 5 53 25	4 12 18 45	5 8 57	5 9 17	9 7					
19 Giov.	4 18 49 38	4 25 26 10	5 5 38	4 57 54	9 58					
20 Ven.	5 2 8 21	5 8 56 4	4 45 59	4 29 52	10 47					
21 Sab.	5 15 49 4	5 22 46 57	4 9 39	3 45 28	11 36					
22 Dom.	5 29 49 14	6 6 55 22	3 17 36	2 46 24	12 24					
23 Lun.	6 14 4 41	6 21 16 31	2 12 18	1 35 52	13 14					
24 Mart.	6 28 30 8	7 5 44 50	0 57 42	0 18 28	14 5					
25 Merc.	7 12 59 56	7 20 14 49	0 21 8A	1 0 24A	15 0					
26 Giov.	7 27 28 56	8 4 41 45	1 38 38	2 15 13	15 58					
27 Ven.	8 11 52 52	8 19 1 55	2 49 30	3 20 59	16 59					
28 Sab.	8 26 8 37	9 3 12 45	3 49 10	4 13 41	18 1					
29 Dom.	9 10 14 6	9 17 12 32	4 34 13	4 50 32	19 2					
30 Lun.	9 24 7 58	10 1 0 19	5 2 29	5 9 59	20 0					
31 Mart.	10 7 49 31	10 14 35 30	5 13 3	5 11 43	20 54					

Giorni del mese	Declinaz. della Luna nel merid.	PARALLASSE equatoriale della Luna		DIAMETRO orizzontale della Luna		Nascere della Luna.	Tra- montare della Luna.
		a mezzodi	a mezza notte.	a mezzodi	a mezza notte.		
1	° 27 24 A	59 0	58 54	32 12	32 9	2 52M	10 59M
2	25 53	58 47	58 39	32 5	32 0	4 0	11 58
3	22 39	58 30	58 20	31 55	31 50	4 53	1 11S
4	18 5	58 8	57 56	31 43	31 36	5 34	2 27
5	12 40	57 42	57 27	31 29	31 21	6 7	3 44
6	* *	57 11	56 55	31 12	31 4	6 30	5 0
7	6 45	56 38	56 20	30 54	30 45	6 51	6 13
8	0 39	56 2	55 45	30 35	30 25	7 9	7 23
9	5 20 B	55 28	55 13	30 16	30 8	7 27	8 29
10	10 59	54 58	54 46	30 0	29 53	7 45	9 36
11	16 6	54 35	54 25	29 47	29 42	8 5	10 42
12	20 29	54 18	54 13	29 38	29 35	8 28	11 49
13	23 59	54 11	54 11	29 34	29 34	8 55	* *
14	26 24	54 14	54 19	29 36	29 39	9 30	0 54M
15	27 32	54 27	54 37	29 43	29 48	10 12	1 56
16	27 17	54 50	55 5	29 55	30 4	11 3	2 51
17	25 36	55 23	55 42	30 14	30 24	0 38	3 40
18	22 31	56 3	56 25	30 35	30 47	1 10	4 19
19	18 9	56 49	57 13	31 0	31 13	2 21	4 52
20	12 42	57 36	57 59	31 26	31 39	3 36	5 21
21	6 25	58 21	58 42	31 51	32 2	4 53	5 43
22	0 20 A	59 1	59 17	32 13	32 21	6 9	6 4
23	7 10	59 31	59 41	32 29	32 34	7 29	6 25
24	13 41	59 49	59 54	32 39	32 41	8 50	6 47
25	19 26	59 56	59 55	32 42	32 42	10 13	7 10
26	23 56	59 51	59 45	32 40	32 36	11 34	7 37
27	26 45	59 37	59 27	32 32	32 27	* *	8 14
28	27 42	59 16	59 3	32 21	32 14	0 54M	8 59
29	26 42	58 50	58 36	32 6	31 59	2 4	9 57
30	23 57	58 21	58 6	31 51	31 42	2 59	11 7
31	19 49	57 51	57 37	31 34	31 27	3 43	0 228

## POSIZIONE DEI SATELLITI DI GIOVE.

Oriente

16<sup>b</sup>

Occidente

1		3.	○	.1	.2	4.
2		3.	.12.	○	4.	
3		.3	.2	4.	○	1.
4		4.		.3	.1○	.2
5	10	4.			○	.2. 3
6		4.	2.		○	.1
7		.4		1. .2	○	3.
8		.4			○	.1 .2
9		.4	3.	1.	○	
10			3.	2.	○	1.
11	4.0			.3	.1○	.2
12	10				○	.2○3 .4
13			2.		○.1	.3 .4
14				.21.	○	3. .4
15	30				○	.1 .2 .4
16	20		3.	1.	○	
17			.3	2.	○	1. 4.
18				.3	.1○	.2 4.
19	40				○ 1○3 2.	
20	1.0			2○4	○	.3
21		4.		.2	1.○	3.
22		.4			○ 1○3 .2	
23		4.		3.	1.○	.2.
24		.4		.3	2.	
25		.4		.3	.1○	
26				.4	○	1. 2. 3.0
27				.2○4 .1	○	.3
28	10			.2	○	.4 3.
29					○	.1 3. .2 .4
30				3.	1.○	.2 .4
31		3.	2.		○	.1 4

GIORNI.	FASI DELLA LUNA.	GIORNI.	ECLISSE DEI SATELLITI DI GIOVE. Tempo medio.
5	Novilunio .....	4 <sup>b</sup> 21'	I. SATELLITE.
13	Primo quarto .....	8 28	1      3 13' 53" imm.
20	Plenilunio .....	12 50	2      21 42 15
27	Ultimo quarto .....	3 41	*4      16 10 34
			6      10 38 57
			8      5 7 16
			9      23 35 39
			11     18 3 59
			13     12 32 22
			15     7 0 42
			17     1 29 6
			18     19 57 26
8	A ♂ .....	22 <sup>b</sup> 55	*20     14 25 51
15	η ♀ .....	21 35	22     8 54 12
18	γ ΠΠ .....	23 33	24     3 22 37
19	θ ΠΠ .....	12 57	25     21 50 58
22	δ μ .....	12 49	*27     16 19 24
23	A Ophiuco .....	17 2	29     10 47 46
25	τ γ .....	9 56	
27	ε λ .....	22 58	II. SATELLITE.
28	κ λ .....	1 35	3      9 5 24 imm.
			6      22 22 29
			10     11 39 44
			14     0 56 45
			*17     14 13 59
			21     3 30 54
			24     16 48 1
			28     6 4 58
			III. SATELLITE.
3	♂ in congiunzione superiore.		6      2 36 43 imm.
9	♀ in opposizione.		6      5 35 8 em.
19	♂ e ♀ □ differenza di latit. 11'.		13     6 34 18 imm.
20	♂ nel segno del Toro ... 5 <sup>b</sup> 57'.		13     9 33 36 em.
20	Eclisse di Luna visibile a Milano.		20     10 32 5 imm.
	Principio .....	11 <sup>b</sup> 48'	*20     13 32 16 em.
	Fine .....	14 8	*27     14 30 0 imm.
			27     17 31 6 em.

Giorni dell'ann.	Giorni del mese.	Giorni della settimana.	TEMPO medio a mezzodì vero.	TEMPO sidereo a mezzodì vero.	TEMPO sidereo a mezzodì medio.	Nascere del Sole.	Tramontare del Sole.
91	1	Merc.	o 4 5,2	o 40 57,8	o 36 51,9	5 39	6 21
92	2	Giov.	o 3 47,6	o 44 36,0	o 40 48,4	5 37	6 23
93	3	Ven.	o 3 28,9	o 48 14,4	o 44 45,0	5 36	6 24
94	4	Sab.	o 3 11,0	o 51 53,0	o 48 41,5	5 34	6 26
95	5	Dom.	o 2 53,2	o 55 31,7	o 52 38,1	5 33	6 27
96	6	Lun.	o 2 35,6	o 59 10,6	o 56 34,6	5 31	6 29
97	7	Mart.	o 2 18,1	1 2 49,7	1 0 31,2	5 30	6 30
98	8	Merc.	o 2 0,9	1 6 28,9	1 4 27,7	5 28	6 32
99	9	Giov.	o 1 43,9	1 10 8,4	1 8 24,3	5 26	6 34
100	10	Ven.	o 1 27,1	1 13 48,2	1 12 20,9	5 24	6 36
101	11	Sab.	o 1 10,6	1 17 28,2	1 16 17,4	5 23	6 37
102	12	Dom.	o 0 54,3	1 21 8,5	1 20 14,0	5 21	6 39
103	13	Lun.	o 0 38,3	1 24 49,0	1 24 10,5	5 19	6 41
104	14	Mart.	o 0 22,6	1 28 29,8	1 28 7,1	5 18	6 42
105	15	Merc.	o 0 7,3	1 32 11,0	1 32 3,6	5 16	6 44
106	16	Giov.	23 59 52,3	1 35 52,5	1 36 0,2	5 14	6 46
107	17	Ven.	23 59 37,6	1 39 34,3	1 39 56,7	5 13	6 47
108	18	Sab.	23 59 23,3	1 43 16,5	1 43 53,3	5 11	6 49
109	19	Dom.	23 59 9,3	1 46 59,0	1 47 49,9	5 10	6 50
110	20	Lun.	23 58 55,7	1 50 42,0	1 51 46,4	5 8	6 52
111	21	Mart.	23 58 42,6	1 54 25,4	1 55 43,0	5 7	6 53
112	22	Merc.	23 58 29,9	1 58 9,2	1 59 39,5	5 5	6 54
113	23	Giov.	23 58 17,6	2 1 53,5	2 3 36,1	5 3	6 55
114	24	Ven.	23 58 5,8	2 5 38,2	2 7 32,7	5 2	6 58
115	25	Sab.	23 57 54,5	2 9 23,4	2 11 29,2	5 1	6 59
116	26	Dom.	23 57 43,8	2 13 9,2	2 15 25,8	5 0	7 0
117	27	Lun.	23 57 33,5	2 16 55,4	2 19 22,3	4 58	7 2
118	28	Mart.	23 57 23,8	2 20 42,2	2 23 18,9	4 57	7 3
119	29	Merc.	23 57 14,6	2 24 29,5	2 27 15,4	4 56	7 4
120	30	Giov.	23 57 5,9	2 28 17,4	2 31 12,0	4 54	7 6

Giorni del mese	LONGITUDINE del Sole.	ASCENSIONE retta del Sole.	DECLINAZIONE del Sole boreale.	LOGARITMO della distanza della Terra dal Sole.
1	° ° 8' 30,5"	° ° 10' 14' 27"	° ° 4' 24' 47"	0,0000072.
2	° 12' 7' 36,5	11' 9' 1	4' 47' 54	0,000200:
3	° 13' 6' 40,7	12' 3' 36	5' 10' 57	0,000327
4	° 14' 5' 43,0	12' 58' 15	5' 33' 54	0,000454
5	° 15' 4' 43,4	13' 52' 55	5' 56' 45	0,000579
6	° 16' 3' 41,8	14' 47' 39	6' 19' 30	0,000703
7	° 17' 2' 38,2	15' 42' 25	6' 42' 9	0,000827
8	° 18' 1' 32,4	16' 37' 14	7' 4' 40	0,000950
9	° 19' 0' 24,4	17' 32' 7	7' 27' 5	0,001072
10	° 19' 59' 14,3	18' 27' 3	7' 49' 22	0,001192
11	° 20' 58' 2,0	19' 22' 3	8' 11' 31	0,001312
12	° 21' 56' 47,2	20' 17' 6	8' 33' 31	0,001431
13	° 22' 55' 30,1	21' 12' 15	8' 55' 23	0,001550
14	° 23' 54' 10,8	22' 7' 27	9' 17' 6	0,001668
15	° 24' 52' 49,3	23' 2' 44	9' 38' 39	0,001786
16	° 25' 51' 25,5	23' 58' 7	10' 0' 3	0,001903
17	° 26' 49' 59,6	24' 53' 34	10' 21' 17	0,002021
18	° 27' 48' 31,4	25' 49' 7	10' 42' 21	0,002138
19	° 28' 47' 1,2	26' 44' 45	11' 3' 14	0,002255
20	° 29' 45' 29,0	27' 40' 29	11' 23' 56	0,002372
21	1' 0' 43' 55,0	28' 36' 20	11' 44' 27	0,002489
22	1' 1' 42' 19,1	29' 32' 18	12' 4' 47	0,002606
23	1' 2' 40' 41,6	30' 28' 22	12' 24' 54	0,002723
24	1' 3' 39' 2,5	31' 34' 33	12' 44' 50	0,002839
25	1' 4' 37' 21,7	32' 20' 52	13' 4' 33	0,002955
26	1' 5' 35' 39,4	33' 17' 18	13' 24' 4	0,003070
27	1' 6' 33' 55,7	34' 13' 52	13' 43' 21	0,003185
28	1' 7' 32' 10,6	35' 10' 33	14' 2' 25	0,003292
29	1' 8' 30' 24,0	36' 7' 23	14' 21' 16	0,003412
30	1' 9' 28' 35,9	37' 4' 21	14' 39' 52	0,003523

Giorni del mese	Giorni della settimana	LONGITUDINE DELLA LUNA				LATITUD. DELLA LUNA				Passaggio della Luna pel merid.
		a mezzodi.	a mezza notte.	a mezzodi.	a mezza notte.					
1	Merc.	10 21 18 16	10 27 57 45	5 6 7A	4 56 24A	21 44				
2	Giov.	11 4 33 55	11 11 6 44	4 42 49	4 25 37	22 30				
3	Ven.	11 17 36 13	11 24 2 18	4 5 7	3 41 39	23 13				
4	Sab.	0 0 25 1	0 6 44 22	3 15 35	2 47 19	23 56				
5	Dom.	0 13 0 23	0 19 13 9	2 17 14	1 45 45	*	*			
6	Lun.	0 25 22 48	1 1 29 28	1 13 15	0 40 9	0 38				
7	Mart.	1 7 33 22	1 13 34 44	0 6 48	0 26 24B	1 21				
8	Merc.	1 19 33 54	1 25 31 12	0 59 8B	1 31 4	2 5				
9	Giov.	2 1 27 1	2 7 21 46	2 1 55	2 31 22	2 51				
10	Ven.	2 13 15 56	2 19 10 2	2 59 9	3 25 2	3 39				
11	Sab.	2 25 4 36	3 1 0 10	3 48 46	4 10 7	4 30				
12	Dom.	3 6 57 20	3 12 56 42	4 28 52	4 44 48	5 22				
13	Lun.	3 18 58 50	3 25 4 19	4 57 44	5 7 27	6 14				
14	Mart.	4 1 13 45	4 7 27 40	5 13 46	5 16 29	7 5				
15	Merc.	4 13 46 35	4 20 10 57	5 15 26	5 10 29	7 55				
16	Giov.	4 26 41 10	5 3 17 30	5 1 30	4 48 25	8 44				
17	Ven.	5 10 0 13	5 16 49 21	4 31 12	4 9 53	9 32				
18	Sab.	5 23 44 52	6 0 46 34	3 44 36	3 15 34	10 20				
19	Dom.	6 7 54 5	6 15 6 55	2 43 6	2 7 38	11 9				
20	Lun.	6 22 24 25	6 29 45 51	1 29 41	0 49 54	12 0				
21	Mart.	7 7 10 18	7 14 36 51	0 8 58	0 32 18A	12 54				
22	Merc.	7 22 4 30	7 29 32 17	1 13 7A	1 52 42	13 53				
23	Giov.	8 6 59 12	8 14 24 22	2 30 18	3 5 11	14 55				
24	Ven.	8 21 46 57	8 29 6 13	3 36 46	4 4 34	15 59				
25	Sab.	9 6 21 36	9 13 32 36	4 28 10	4 47 18	17 2				
26	Dom.	9 20 38 51	9 27 40 9	5 1 48	5 11 35	18 2				
27	Lun.	10 4 36 20	10 11 27 24	5 16 42	5 17 13	18 58				
28	Mart.	10 18 13 24	10 24 54 28	5 13 18	5 5 10	19 48				
29	Merc.	11 1 30 47	11 8 2 34	4 53 4	4 37 18	20 35				
30	Giov.	11 14 30 6	11 20 53 37	4 18 10	3 55 19	21 19				

Giorni del mese	Declinaz. della Luna nel merid.	PARALLASSE equatoriale della Luna		DIAMETRO orizzontale della Luna		Nascere della Luna.	Tra- montare della Luna.
		a mezzodì	a mezza notte.	a mezzodì	a mezza notte.		
1	• / 14 43 A	57 21	57 7	31 18	31 10	4 17M	1 38s
2	9 1	56 52	56 38	31 2	30 54	4 44	2 54
3	2 59	56 23	56 9	30 46	30 39	5 5	4 6
4	3 3 B	55 55	55 41	30 31	30 23	5 23	5 16
5	* *	55 27	55 13	30 16	30 8	5 41	6 23
6	8 50	55 0	54 48	30 1	29 54	5 58	7 31
7	14 13	54 37	54 28	29 48	29 44	6 17	8 39
8	18 57	54 19	54 12	29 39	29 35	6 38	9 45
9	22 52	54 8	54 5	29 32	29 30	7 4	10 51
10	25 44	54 4	54 5	29 30	29 31	7 35	11 53
11	27 24	54 8	54 14	29 33	29 36	8 14	* *
12	27 42	54 23	54 34	29 41	29 47	9 1	0 52M
13	26 37	54 47	55 3	29 54	30 3	9 58	1 43
14	24 10	55 21	55 41	30 12	30 23	11 0	2 24
15	20 24	56 4	56 28	30 36	30 49	0 88	3 0
16	15 29	56 54	57 21	31 3	31 18	1 20	3 29
17	9 40	57 48	58 16	31 33	31 48	2 35	3 53
18	3 8	58 43	59 8	32 2	32 16	3 52	4 14
19	3 44 A	59 32	59 53	32 29	32 41	5 9	4 34
20	10 35	60 11	60 26	32 51	32 59	6 30	4 56
21	16 58	60 36	60 43	33 4	33 8	7 53	5 18
22	22 16	60 46	60 45	33 10	33 9	9 20	5 44
23	25 57	60 39	60 30	33 6	33 1	10 44	6 17
24	27 40	60 17	60 2	32 54	32 46	* *	7 1
25	27 18	59 45	59 26	32 36	32 26	0 0M	7 55
26	25 2	59 5	58 43	32 15	32 3	1 3	9 3
27	21 16	58 21	58 0	31 51	31 39	1 50	10 19
28	16 25	57 38	57 17	31 27	31 16	2 28	11 35
29	10 52	56 57	56 38	31 5	30 54	2 56	0 50s
30	4 58	56 20	56 3	30 45	30 35	3 17	2 3

## POSIZIONE DEI SATELLITI DI GIOVE.

Oriente

15<sup>h</sup>

Occidente

1	.3	.1	.2	○	4.
2   3.0			○	1.	.2
3			.12	○	.3 4.
4			.2	○	1. 4. 3.
5   4.0			.1	○	.23.
6		4.	3.	1.	○ 2.
7	4.	3.	2.	○	.1
8	4.		.3	1.	.2 ○
9	.4			.3	○ .1 .2
10	.4		.1	○	.3
11		.4	2.	○	1. .3
12		.4		.1	○ .2 3.
13   1.0			3.64	○	2.
14		3.	2.	○	.1 .4
15		.3	1.62	○	.4
16			.3	○	.1 .2 .4
17   2.0			.1	○	.3 .4
18			.2	○	1. .3 .4.
19			.1	○	.2 3. 4.
20   1.0 3.0				○	.2 4.
21   1.0		3.	2.	○	.4
22		.3	2.64	1.	○
23		4.	.3	○	.1 .2
24	4.		1.	○	2. .3
25	4.		2.	○	1. .3
26	.4		.1	○	3. 2.0
27	.4			○	1. 2. 3.0
28		.4	3.	2.	.1 ○
29			.3	.4.2	1. ○
30   4.0			.3	○	.1 .2

GIORNI.	FASI DELLA LUNA.	GIORNI.	ECLISSE DEI SATELLITI DI GIOVE. Tempo medio.
4	Novilunio ..... 20 <sup>h</sup> 2'	1	I. SATELLITE.
12	Primo quarto ..... 23 44	2	5 16' 14" imm.
19	Plenilunio ..... 21 6	4	23 44 34
26	Ultimo quarto ..... 12 26	*6	18 13 1
		8	12 41 23
		10	7 9 52
		11	1 38 15
		*13	20 6 45
		15	14 35 8
		17	9 3 39
13	η Ζ. .... 6 <sup>h</sup> 3'	18	3 32 3
16	θ ΠΩ. .... 23 31	20	22 0 34
19	δ Μ. .... 23 16	24	16 29 0
21	Α Οφιuco .... 2 50	*22	*10 57 31
25	ε Ζ. .... 5 35	25	5 25 57
25	χ Ζ. .... 9 50	27	23 54 30
27	ψ <sup>2</sup> ≈≈ .... 5 10	*29	18 22 57
27	ψ <sup>3</sup> ≈≈ .... 5 19	31	13 51 31
			7 19 59
			II. SATELLITE.
		1	19 22 0 imm.
		5	8 38 57
		8	21 55 54
		12	11 12 51
		16	0 29 47
4	Eclisse di Sole visibile a Milano : Principio ..... 18 <sup>h</sup> 19'.	*19	13 46 42
	Fine ..... 20 21.	23	3 3 37
	Digitii oscurati 6.	26	16 20 31
21	Ο nel segno de' Gemelli 6 <sup>h</sup> 25'.	30	5 37 26
22	ξ in congiunzione inferiore.		III. SATELLITE.
		4	18 28 54 imm.
		4	21 30 53 em.
		11	22 27 18 imm.
		12	1 30 12 em.
		19	2 26 15 imm.
		19	5 29 57 em.
		26	6 24 32 imm.
		26	9 29 3 em.
		* 8	IV. SATELLITE.
		* 8	14 30 5 imm.
		25	15 42 42 em.
		25	8 21 38 imm.
		25	9 54 3 em.

Gior ni dell'ann.	Gior ni del mese	Gior ni della settimana	TEMPO medio a mezzodì vero.	TEMPO sidereo a mezzodì vero.	TEMPO sidereo a mezzodì medio.	Nascere del Sole.	Tramontare del Sole.
121	1	Ven.	23 56 57,7	2 32 5,8	2 35 8,5	4 53 7	h 7
122	2	Sab.	23 56 50,1	2 35 54,7	2 39 5,1	4 52 7	8
123	3	Dom.	23 56 43,1	2 39 44,2	2 43 1,6	4 50 7	10
124	4	Lun.	23 56 36,7	2 43 34,3	2 46 58,2	4 49 7	11
125	5	Mart.	23 56 30,9	2 47 25,0	2 50 54,7	4 48 7	12
126	6	Merc.	23 56 25,5	2 51 16,2	2 54 51,3	4 46 7	14
127	7	Giov.	23 56 20,7	2 55 7,9	2 58 47,8	4 45 7	15
128	8	Ven.	23 56 16,4	2 59 0,2	3 2 44,4	4 44 7	16
129	9	Sab.	23 56 12,7	3 2 53,1	3 6 41,0	4 43 7	17
130	10	Dom.	23 56 9,6	3 6 46,6	3 10 37,5	4 41 7	19
131	11	Lun.	23 56 7,1	3 10 40,6	3 14 34,1	4 40 7	20
132	12	Mart.	23 56 5,1	3 14 35,1	3 18 30,6	4 39 7	21
133	13	Merc.	23 56 3,7	3 18 30,2	3 22 27,2	4 38 7	22
134	14	Giov.	23 56 2,8	3 22 25,9	3 26 23,8	4 37 7	23
135	15	Ven.	23 56 2,5	3 26 22,2	3 30 20,3	4 36 7	24
136	16	Sab.	23 56 2,7	3 30 18,9	3 34 16,9	4 34 7	26
137	17	Dom.	23 56 3,5	3 34 16,2	3 38 13,4	4 33 7	27
138	18	Lun.	23 56 4,8	3 38 14,1	3 42 10,0	4 32 7	28
139	19	Mart.	23 56 6,7	3 42 12,6	3 46 6,5	4 31 7	29
140	20	Merc.	23 56 9,1	3 46 11,6	3 50 3,1	4 30 7	30
141	21	Giov.	23 56 12,1	3 50 11,1	3 53 59,7	4 29 7	31
142	22	Ven.	23 56 15,6	3 54 11,2	3 57 56,2	4 28 7	32
143	23	Sab.	23 56 19,7	3 58 11,9	4 1 52,8	4 27 7	33
144	24	Dom.	23 56 24,3	4 2 13,1	4 5 49,3	4 26 7	34
145	25	Lun.	23 56 29,5	4 6 14,8	4 9 45,9	4 25 7	35
146	26	Mart.	23 56 35,1	4 10 17,0	4 13 42,5	4 24 7	36
147	27	Merc.	23 56 41,3	4 14 19,8	4 17 39,0	4 23 7	37
148	28	Giov.	23 56 48,0	4 18 23,1	4 21 35,6	4 22 7	38
149	29	Ven.	23 56 55,2	4 22 26,8	4 25 32,1	4 21 7	39
150	30	Sab.	23 57 2,9	4 26 31,1	4 29 28,7	4 20 7	40
151	31	Dom.	23 57 11,0	4 30 35,8	4 33 25,2	4 19 7	41

Giorni del mese	LONGITUDINE del Sole.	ASCENSIONE retta del Sole.	DECLINAZIONE del Sole boreale.	LOGARITMO della distanza della Terra dal Sole.
1	° ° 26' 46,5	38 1 27"	14 58 14"	0,003633
2	1 11 24 55,6	38 58 41	15 16 21	0,003742
3	1 12 23 3,3	39 56 4	15 34 13	0,003849
4	1 13 21 9,4	40 53 35	15 51 50	0,003954
5	1 14 19 14,0	41 51 14	16 9 12	0,004057
6	1 15 17 17,0	42 49 2	16 26 17	0,004158
7	1 16 15 18,3	43 46 59	16 43 6	0,004257
8	1 17 13 17,9	44 45 4	16 59 38	0,004354
9	1 18 11 15,7	45 43 17	17 15 53	0,004450
10	1 19 9 11,7	46 41 39	17 31 51	0,004544
11	1 20 7 6,0	47 40 9	17 47 31	0,004636
12	1 21 4 58,5	48 38 47	18 2 53	0,004726
13	1 22 2 49,1	49 37 34	18 17 57	0,004815
14	1 23 0 38,0	50 36 29	18 32 43	0,004903
15	1 23 58 25,1	51 35 32	18 47 10	0,004990
16	1 24 56 10,6	52 34 44	19 1 18	0,005075
17	1 25 53 54,4	53 34 4	19 15 7	0,005159
18	1 26 51 36,7	54 33 32	19 28 36	0,005243
19	1 27 49 17,6	55 33 9	19 41 45	0,005325
20	1 28 46 57,1	56 32 54	19 54 34	0,005407
21	1 29 44 35,4	57 32 47	20 7 3	0,005488
22	2 0 42 12,6	58 32 48	20 19 12	0,005568
23	2 1 39 48,8	59 32 58	20 31 0	0,005647
24	2 2 37 24,0	60 33 16	20 42 27	0,005725
25	2 3 34 58,2	61 33 42	20 53 32	0,005801
26	2 4 32 31,5	62 34 15	21 4 16	0,005876
27	2 5 30 4,0	63 34 57	21 14 39	0,005950
28	2 6 27 35,8	64 35 46	21 24 40	0,006022
29	2 7 25 7,0	65 36 42	21 34 18	0,006092
30	2 8 22 37,6	66 37 46	21 43 34	0,006160
31	2 9 20 7,4	67 38 57	21 52 28	0,006226

Giorni del mese	Giorni della settimana	LONGITUDINE DELLA LUNA				LATITUD. DELLA LUNA				Passaggio della Luna pel merid.
		a mezzodi.	a mezza notte.	a mezzodi.	a mezza notte.					
1	Ven.	11 27 13 23	0 3 29 42	3 31 7A	3 3 55A	22	0			
2	Sab.	0 9 42 50	0 15 53 0	2 34 45	2 4 0	22	41			
3	Dom.	0 22 0 29	0 28 5 31	1 32 3	0 59 14	23	23			
4	Lun.	1 4 8 19	1 10 9 9	0 25 58	0 7 24B	*	*			
5	Mart.	1 16 8 14	1 22 5 50	0 40 32B	1 13 4	0	7			
6	Merc.	1 28 2 11	2 3 57 33	1 44 41	2 15 4	0	52			
7	Giov.	2 9 52 14	2 15 46 32	2 43 56	3 11 0	1	39			
8	Ven.	2 21 40 46	2 27 35 19	3 36 1	3 58 43	2	29			
9	Sab.	3 3 30 33	3 9 26 52	4 18 55	4 36 23	3	20			
10	Dom.	3 15 24 41	3 21 24 30	4 50 56	5 2 23	4	12			
11	Lun.	3 27 26 47	4 3 32 2	5 10 35	5 15 22	5	2			
12	Mart.	4 9 40 45	4 15 53 27	5 16 36	5 14 10	5	51			
13	Merc.	4 22 10 40	4 28 32 52	5 7 58	4 57 56	6	39			
14	Giov.	5 5 0 32	5 11 34 4	4 44 1	4 26 11	7	26			
15	Ven.	5 18 13 49	5 25 0 6	4 4 31	3 39 8	8	12			
16	Sab.	6 1 53 4	6 8 52 48	3 10 10	2 37 54	8	59			
17	Dom.	6 15 59 10	6 23 11 55	2 2 43	1 25 4	9	47			
18	Lun.	7 0 30 37	7 7 54 40	0 45 32	0 4 46	10	39			
19	Mart.	7 15 23 16	7 22 55 26	0 36 28A	1 17 23A	11	36			
20	Merc.	8 0 30 8	8 8 6 9	1 57 7	2 34 52	12	37			
21	Giov.	8 15 42 16	8 23 17 15	3 9 51	3 41 22	13	42			
22	Ven.	9 0 49 54	9 8 19 7	4 8 50	4 31 43	14	48			
23	Sab.	9 15 43 55	9 23 3 31	4 49 58	5 3 8	15	52			
24	Dom.	10 0 17 15	10 7 24 41	5 11 18	5 14 30	16	51			
25	Lun.	10 14 25 31	10 21 19 42	5 12 56	5 6 50	17	45			
26	Mart.	10 28 7 14	11 4 48 20	4 56 30	4 42 16	18	33			
27	Merc.	11 11 23 16	11 17 52 25	4 24 31	4 3 37	19	18			
28	Giov.	11 24 16 12	0 0 35 6	3 39 56	3 13 52	20	0			
29	Ven.	0 6 49 35	0 13 0 8	2 45 46	2 16 2	20	41			
30	Sab.	0 19 7 16	0 25 11 25	1 45 1	1 13 4	21	22			
31	Dom.	1 1 13 3	1 7 12 34	0 40 32	0 7 47	22	4			

Giorni del mese	Declinaz. della Luna nel merid.	PARALLASSE equatoriale della Luna		DIAMETRO orizzontale della Luna		Nascere della Luna.	Tramontare della Luna.
		a mezzodi	a mezza notte.	a mezzodi	a mezza notte.		
1	* / 1 1 B	55° 47'	55° 32"	30° 26'	30° 18"	3 35M	3 14S
2	6 51	55 18	55 5	30 11	30 4	3 53	4 19
3	12 22	54 53	54 42	29 57	29 51	4 10	5 25
4	* *	54 32	54 23	29 46	29 41	4 28	6 32
5	17 21	54 16	54 9	29 37	29 33	4 48	7 40
6	21 36	54 4	54 0	29 30	29 28	5 12	8 45
7	24 50	53 57	53 56	29 27	29 26	5 41	9 48
8	26 56	53 57	53 59	29 27	29 28	6 17	10 48
9	27 45	54 4	54 10	29 30	29 34	7 0	11 42
10	27 11	54 19	54 30	29 39	29 45	7 54	* *
11	25 15	54 43	54 58	29 52	30 0	8 52	0 27M
12	22 3	55 15	55 35	30 9	30 20	9 57	1 4
13	17 43	55 57	56 21	30 32	30 45	11 5	1 34
14	12 24	56 47	57 14	30 59	31 14	0 17S	2 0
15	6 18	57 42	58 11	31 29	31 45	1 30	2 20
16	0 18 A	58 40	59 8	32 1	32 16	2 44	2 40
17	7 6	59 36	60 1	32 31	32 45	4 1	3 0
18	13 45	60 23	60 42	32 57	33 7	5 23	3 20
19	19 41	60 58	61 9	33 16	33 22	6 50	3 44
20	24 20	61 15	61 16	33 25	33 26	8 15	4 12
21	27 6	61 13	61 5	33 24	33 20	9 39	4 51
22	27 41	60 53	60 37	33 13	33 5	10 51	5 41
23	26 6	60 17	59 55	32 54	32 42	11 47	6 45
24	22 44	59 30	59 4	32 28	32 14	* *	8 1
25	18 5	58 37	58 11	32 0	31 45	0 28M	9 20
26	12 38	57 44	57 18	31 30	31 16	1 0	10 38
27	6 46	56 53	56 30	31 3	30 50	1 23	11 53
28	0 47	56 8	55 48	30 38	30 27	1 42	1 58
29	5 7 B	55 29	55 13	30 17	30 8	1 59	2 13
30	10 42	54 58	54 44	30 0	29 52	2 17	3 18
31	15 49	54 33	54 23	29 46	29 41	2 34	4 24

M A G G I O 1818.

POSIZIONE DEI SATELLITI DI GIOVE.  
*Oriente*                     $14^h$                     *Occidente*

1	I.	○ .32. .4	
2	2.	○ .1 .3 .4	
3	I. .2 ○	3. .4	
4		○ 1.3. .2	.4
5	3. 1○2 ○		4.
6   1●	3. .2	○	4.
7	.3	○ .1 .2 4.	
8   3.0	I.	○ 4.2.	
9	2.4.	○ .1 .3	
10	4. 1. .2 ○		.3
11	4.	○ 1.3. .2	
12	4. 1○2 ○		3●
13	.4 3. .2	○ 1.	
14	.4 .3	○ .2	1.0
15	.4 1..3 ○	2.	
16	2○4 ○ .1 .3		
17	1○2 ○ .4	3.	
18		○ .13. .2 4.	
19   2●	1○3 ○		.4
20	3. 2.	○ 1.	.4
21	.3 .1 ○ .2		.4
22	1○3 ○ 2.		4.
23	2. ○ .1 .3	4.	
24	1○2 ○ 4. 3.		
25   4●		○ .1 2○3	
26	4. .1 3. ○ 2.		
27	4. 3. 2.	○ 1.	
28   2.0 4. .3	.1 ○		
29	4. .3 ○ 2.		1●
30	.4 2. ○ .1 .3		
31	.4 .21. ○		.3

GIORNI.	FASI DELLA LUNA.	GIORNI.	ECLISSE DEI SATELLITI DI GIOVE. Tempo medio.
3	Novilunio ..... 11 <sup>h</sup> 50'	2	I. SATELLITE.
11	Primo quarto ..... 11 28	3	1 48 33" imm.
18	Plenilunio ..... 4 5	*5	20 17 2
24	Ultimo quarto ..... 23 22	7	14 45 39
		9	9 14 8
		10	3 42 45
		12	22 11 16
		*14	16 30 54
		16	11 8 25
		18	5 37 5
		19	0 5 37
9	η Ω ..... 12 <sup>h</sup> 41'	21	18 34 18
13	θ ΠΩ ..... 8 38	23	13 2 51
16	δ ΠΩ ..... 9 58	25	7 31 33
21	ε λ ..... 14 9	26	2 0 6
21	κ λ ..... 16 35	*28	20 28 49
23	ψ ≈ ..... 12 18	*30	14 57 24
23	ψ' ≈ ..... 12 26		11 39 29 em.
29	Α Α ..... 17 50		II. SATELLITE.
		2	18 54 22 imm.
		6	8 11 16
		9	21 28 14
		*13	10 45 9
		17	0 2 7
		*20	13 19 5
		24	2 36 6
		*27	15 53 6
			III. SATELLITE.
9	ℳ in opposizione.	* 2	10 22 47 imm.
21	○ nel segno del Cancro 15 <sup>h</sup> 2'	* 2	13 28 10 em.
30	ℳ in opposizione.	* 9	14 21 18 imm.
		9	17 27 30 em.
		16	18 20 9 imm.
		16	21 27 10 em.
		23	22 19 57 imm.
		24	1 27 47 em.
			IV. SATELLITE.
		11	2 15 40 imm.
		11	4 5 40 em.
		27	20 11 17 imm.
		27	22 16 11 em.

Giorni dell'ann.	Giorni del mese	Giorni della settimana	TEMPO medio a mezzodì vero.	TEMPO sidereo a mezzodì vero.	TEMPO sidereo a mezzodì medio.	Nascere del Sole.	Tramontare del Sole.
152	1	Lun.	23 57 19,6	4 34 41,0	4 37 21,8	4 19	7 41
153	2	Mart.	23 57 28,7	4 38 46,6	4 41 18,3	4 18	7 42
154	3	Merc.	23 57 38,1	4 42 52,6	4 45 14,9	4 18	7 42
155	4	Giov.	23 57 47,8	4 46 58,9	4 49 11,5	4 17	7 43
156	5	Ven.	23 57 57,9	4 51 5,6	4 53 8,0	4 16	7 44
157	6	Sab.	23 58 8,4	4 55 12,7	4 57 4,6	4 16	7 44
158	7	Dom.	23 58 19,2	4 59 20,1	5 1 1,2	4 15	7 45
159	8	Lun.	23 58 30,3	5 3 27,8	5 4 57,8	4 15	7 45
160	9	Mart.	23 58 41,6	5 7 35,7	5 8 54,3	4 14	7 46
161	10	Merc.	23 58 53,2	5 11 43,9	5 12 50,9	4 14	7 46
162	11	Giov.	23 59 5,0	5 15 52,3	5 16 47,4	4 14	7 46
163	12	Ven.	23 59 17,0	5 20 0,9	5 20 44,0	4 13	7 47
164	13	Sab.	23 59 29,1	5 24 9,6	5 24 40,6	4 13	7 47
165	14	Dom.	23 59 41,4	5 28 18,5	5 28 37,1	4 13	7 47
166	15	Lun.	23 59 53,9	5 32 27,6	5 32 33,7	4 13	7 47
167	16	Mart.	o o 6,5	5 36 36,8	5 36 30,3	4 13	7 47
168	17	Merc.	o o 19,2	5 40 46,1	5 40 26,8	4 12	7 48
169	18	Giov.	o o 32,0	5 44 55,4	5 44 23,4	4 12	7 48
170	19	Ven.	o o 44,8	5 49 4,8	5 48 19,9	4 12	7 48
171	20	Sab.	o o 57,6	5 53 14,3	5 52 16,5	4 12	7 48
172	21	Dom.	o 1 10,5	5 57 23,7	5 56 13,0	4 12	7 48
173	22	Lun.	o 1 23,4	6 1 33,2	6 0 9,6	4 12	7 48
174	23	Mart.	o 1 36,3	6 5 42,7	6 4 6,1	4 12	7 48
175	24	Merc.	o 1 49,2	6 9 52,1	6 8 2,7	4 12	7 48
176	25	Giov.	o 2 2,0	6 14 1,5	6 11 59,2	4 12	7 48
177	26	Ven.	o 2 14,7	6 18 10,8	6 15 55,8	4 13	7 47
178	27	Sab.	o 2 27,3	6 22 20,0	6 19 52,3	4 13	7 47
179	28	Dom.	o 2 39,7	6 26 29,0	6 23 48,9	4 13	7 47
180	29	Lun.	o 2 52,0	6 30 37,9	6 27 45,4	4 13	7 47
181	30	Mart.	o 3 4,2	6 34 46,7	6 31 42,0	4 13	7 47

Giorni del mese	LONGITUDINE del Sole.	ASCENSIONE retta del Sole.	DECLINAZIONE del Sole boreale.	LOGARITMO della distanza della Terra dal Sole.
1	2 10 17 36,4	68 ° 40' 15"	22 ° 0' 59"	0,006290
2	2 11 15 47	69 41 39	22 9 7	0,006351
3	2 12 12 32,1	70 43 8	22 16 53	0,006409
4	2 13 9 58,5	71 44 44	22 24 13	0,006465
5	2 14 7 24,1	72 46 25	22 31 11	0,006519
6	2 15 4 48,8	73 48 11	22 37 45	0,006570
7	2 16 2 12,5	74 50 1	22 43 56	0,006618
8	2 16 59 35,2	75 51 56	22 49 43	0,006664
9	2 17 56 56,9	76 53 55	22 55 6	0,006703
10	2 18 54 17,5	77 55 58	23 0 4	0,006750
11	2 19 51 37,4	78 58 4	23 4 38	0,00689
12	2 20 48 55,9	80 0 13	23 8 48	0,006827
13	2 21 46 13,6	81 2 24	23 12 34	0,006863
14	2 22 43 30,4	82 4 38	23 15 55	0,006897
15	2 23 40 46,4	83 6 54	23 18 51	0,006930
16	2 24 38 1,6	84 9 12	23 21 22	0,006961
17	2 25 35 16,2	85 11 31	23 23 29	0,006991
18	2 26 32 30,2	86 13 51	23 25 12	0,007019
19	2 27 29 43,7	87 16 12	23 26 29	0,007047
20	2 28 26 56,9	88 18 34	23 27 22	0,007073
21	3 0 24 9,8	89 20 56	23 27 50	0,007097
22	3 0 21 22,6	90 23 18	23 27 53	0,007120
23	3 1 18 35,3	91 25 40	23 27 31	0,007142
24	3 2 15 48,0	92 28 2	23 26 45	0,007162
25	3 3 13 0,7	93 30 22	23 25 34	0,007180
26	3 4 10 13,5	94 32 42	23 23 58	0,007197
27	3 5 7 26,5	95 34 59	23 21 57	0,007211
28	3 6 4 39,8	96 37 16	23 19 32	0,007223
29	3 7 1 53,1	97 39 29	23 16 42	0,007232
30	3 7 59 6,5	98 41 40	23 13 27	0,007239

Giorni del mese	Giorni della settimana	LONGITUDINE DELLA LUNA				LATITUD. DELLA LUNA				Passaggio della Luna pel merid.
		a mezzodì.	a mezza notte.	a mezzodì.	a mezza notte.					
1 Lun.	1	° 13' 10" 24	° 19' 6" 53	° 24' 53B	° 57' 8B	22' 48"				
2 Mart.	2	25 2 24	2 0 57 14	28 38	59 5	23 35				
3 Merc.	3	6 51 42	12 46 3	28 11	55 39	* *				
4 Giov.	4	18 40 31	24 35 22	21 12	44 35	0 24				
5 Ven.	5	0 30 49	6 27 6	5 33	23 54	1 14				
6 Sab.	6	12 24 28	18 23 9	39 25	51 56	2 5				
7 Dom.	7	24 23 28	0 25 43	1 16	7 19	2 56				
8 Lun.	8	6 30 12	12 37 17	9 57	9 4	3 45				
9 Mart.	9	18 47 22	25 0 49	4 37	56 33	4 32				
10 Merc.	10	1 18 4	7 39 32	44 50	29 30	5 18				
11 Giov.	11	14 5 38	20 36 48	10 36	48 14	6 3				
12 Ven.	12	27 13 25	3 55 50	22 31	53 39	6 47				
13 Sab.	13	10 44 23	17 39 17	21 54	47 37	7 33				
14 Dom.	14	24 40 39	1 48 28	11 11	33 7	8 21				
15 Lun.	15	9 2 35	16 22 40	6 1A	45 33A	9 14				
16 Mart.	16	23 48 8	1 18 16	24 46	2 2 52	10 12				
17 Merc.	17	8 52 8	16 28 37	39 5	12 39	11 15				
18 Giov.	18	24 6 28	1 44 24	42 50	9 0	12 21				
19 Ven.	19	9 21 2	16 55 2	30 39	47 24	13 28				
20 Sab.	20	24 25 13	1 50 27	59 2	5 5 29	14 31				
21 Dom.	21	9 9 48	16 22 36	6 49	3 13	15 29				
22 Lun.	22	23 28 19	0 26 41	55 0	42 29	16 21				
23 Mart.	23	7 17 38	14 1 16	26 7	6 20	17 9				
24 Merc.	24	20 37 51	27 7 45	43 34	18 15	17 53				
25 Giov.	25	3 31 29	9 49 34	50 49	21 42	18 35				
26 Ven.	26	16 2 37	22 11 13	51 17	19 56	19 16				
27 Sab.	27	28 15 59	4 17 33	48 0	15 50	19 58				
28 Dom.	28	10 16 32	16 13 27	16 16B	47 58B	20 41				
29 Lun.	29	22 8 54	28 3 22	18 59	49 1	21 26				
30 Mart.	30	3 57 20	9 51 12	17 48	45 3	22 14				

Giorni del mese	Declinaz. della Luna nel merid.	PARALLASSE equatoriale della Luna		DIAMETRO orizzontale della Luna		Nascere della Luna.	Tra- montare della Luna.
		a mezzodi	a mezza notte.	a mezzodi	a mezza notte.		
1	° / 20 17 B	54 14	54 7	29 36	29 32	h 2 53M	5 28S
2	23 52	54 2	53 58	29 29	29 27	3 15	6 34
3	* *	53 55	53 53	29 26	29 25	3 42	7 38
4	26 21	53 53	53 54	29 25	29 25	4 16	8 40
5	27 34	53 57	54 1	29 27	29 29	4 56	9 36
6	27 27	54 7	54 14	29 32	29 36	5 44	10 24
7	25 57	54 23	54 34	29 41	29 47	6 43	11 3
8	23 9	54 46	55 1	29 53	30 1	7 46	11 35
9	19 13	55 17	55 35	30 10	30 20	8 51	* *
10	14 20	55 54	56 16	30 30	30 42	10 0	0 0M
11	8 40	56 39	57 4	30 55	31 8	11 10	0 22
12	2 26	57 30	57 57	31 23	31 37	0 21S	0 42
13	4 6 A	58 24	58 52	31 52	32 7	1 34	1 0
14	10 39	59 19	59 45	32 22	32 36	2 52	1 19
15	16 51	60 9	60 30	32 49	33 1	4 14	1 39
16	22 6	60 48	61 3	33 11	33 19	5 38	2 4
17	25 53	61 13	61 19	33 24	33 27	7 3	2 36
18	27 37	61 19	61 15	33 28	33 25	8 22	3 21
19	27 3	61 6	60 53	33 21	33 13	9 27	4 18
20	24 22	60 35	60 14	33 4	32 52	10 16	5 31
21	20 4	59 49	59 23	32 39	32 24	10 54	6 51
22	14 44	58 55	58 26	32 9	31 53	11 21	8 13
23	8 48	57 57	57 29	31 37	31 22	11 44	9 31
24	2 43	57 1	56 35	31 7	30 53	* *	10 46
25	3 18 B	56 11	55 48	30 40	30 27	0 1M	11 58
26	9 4	55 28	55 9	30 16	30 6	0 19	1 38
27	14 22	54 53	54 38	29 57	29 49	0 36	2 9
28	19 2	54 26	54 16	29 43	29 37	0 54	3 15
29	22 54	54 8	54 2	29 33	29 29	1 14	4 21
30	25 43	53 58	53 56	29 27	29 26	1 39	5 26

## POSIZIONE DEI SATELLITI DI GIOVE.

	Oriente	12 <sup>h</sup>	Occidente
1	.4	○ .1 .2 3.	
2   3.●	I..4	○ 2.	
3	3. 2.	○ 1.54	
4	.3	.1 .2 ○	.4
5	.3	○ I. .2	.4
6		1.52 ○ .3	.4
7   1●	.2	○ .3	4
8		○ .1 .2 3.	4.
9		I. ○ 3. 2.	4.
10	2. 3.	○ 4..1	
11	3.	.1254 ○	
12	4. .3	○ I. 2.	
13   2● 4.		.1 ○ .3	
14   4.	.2	○ .3	1●
15   4.		○ .1 .2 3.	
16   .4	I.	○ 3. 2.	
17   .4	2.3.	○ .1	
18   3.	.4 1.52	○	
19   4.0	.3	○ I. .2	
20   3.0	.1	○ 2. .4	
21	.2	○ I. .3 .4	
22   1.0		○ .2 .3 .4	
23	I.	○ 2.53	.4
24	2.53	○ .1	4.
25	3.	1.52 ○	4.
26	.3	○ I. .2 4.	
27	.1	.3 ○ 2.54	
28	2. 4.	○ I. .3	
29   2.0	4.	.1 ○ .3	
30   1● 4.		○ 3. .2	

GIORNI.	FASI DELLA LUNA.	GIORNI.	ECLISSE DEI SATELLITI DI GIOVE. Tempo medio.
3	Novilunio ..... 2 <sup>h</sup> 55'	8	I. SATELLITE.
10	Primo quarto ..... 20 14	8	6 8' 7 imm.
17	Plenilunio ..... 10 51	4	0 36 15
24	Ultimo quarto ..... 13 10	5	19 5 32
		*7	13 34 19
		*9	8 2 58
		11	2 31 47
		12	21 0 26
		14	15 29 16
		*16	9 57 56
		18	4 26 46
		19	22 55 27
		21	17 24 18
6	η ♀ ..... 18 <sup>h</sup> 13	*23	11 53 1
13	♀ m ..... 19 17	25	6 21 53
20	ψ <sup>a</sup> ..... 21 13	27	0 50 36
20	ψ <sup>b</sup> ..... 21 21	28	19 19 29
27	A ♀ ..... 0 18	*30	13 48 12
			II. SATELLITE.
		1	7 56 3 em.
		4	20 13 II
		*8	10 30 21
		11	23 47 33
		*15	13 4 48
		19	2 22 4
		22	15 39 23
		26	4 56 45
		29	18 14 8
			III. SATELLITE.
		1	2 19 21 imm.
		4	5 27 58 em.
		8	6 19 11 imm.
		*8	9 28 36 em.
		*15	10 18 25 imm.
		*15	13 28 40 em.
		*22	14 17 41 imm.
		22	17 28 42 em.
		29	18 17 35 imm.
		29	21 29 24 em.
			IV. SATELLITE.
		*14	14 8 49 imm.
		14	16 26 42 em.
		31	8 8 7 imm.
		31	10 38 13 em.

Giorni dell'anno.	Giorni del mese.	Giorni della settimana.	TEMPO medio a mezzodì vero.	TEMPO sidereo a mezzodì vero.	TEMPO sidereo a mezzodì medio.	Nascere del Sole.	Tramontare del Sole.
182	1	Merc.	o 3 16,1	6 38' 55,2	6 35' 38,5	4 14'	7 46'
183	2	Giov.	o 3 27,8	6 43 3,5	6 39 35,1	4 14	7 46
184	3	Ven.	o 3 39,3	6 47 11,6	6 43 31,7	4 14	7 46
185	4	Sab.	o 3 50,5	6 51 19,4	6 47 28,2	4 14	7 46
186	5	Dom.	o 4 1,3	6 55 26,8	6 51 24,8	4 15	7 45
187	6	Lun.	o 4 11,8	6 59 33,9	6 55 21,3	4 15	7 45
188	7	Mart.	o 4 22,0	7 3 40,6	6 59 17,9	4 16	7 44
189	8	Merc.	o 4 31,8	7 7 47,0	7 3 14,4	4 16	7 44
190	9	Giov.	o 4 41,2	7 11 53,0	7 7 11,0	4 17	7 43
191	10	Ven.	o 4 50,2	7 15 58,5	7 11 7,5	4 18	7 42
192	11	Sab.	o 4 58,8	7 20 3,6	7 15 4,1	4 18	7 42
193	12	Dom.	o 5 6,9	7 24 8,3	7 19 0,6	4 19	7 41
194	13	Lun.	o 5 14,4	7 28 12,5	7 22 57,2	4 21	7 40
195	14	Mart.	o 5 21,5	7 32 16,2	7 26 53,8	4 21	7 39
196	15	Merc.	o 5 28,2	7 36 19,4	7 30 50,3	4 22	7 38
197	16	Giov.	o 5 34,3	7 40 22,1	7 34 46,9	4 23	7 37
198	17	Ven.	o 5 39,9	7 44 24,2	7 38 43,4	4 24	7 36
199	18	Sab.	o 5 44,9	7 48 25,8	7 42 40,0	4 25	7 35
200	19	Dom.	o 5 49,4	7 52 27,0	7 46 36,6	4 26	7 34
201	20	Lun.	o 5 53,5	7 56 27,6	7 50 33,1	4 27	7 33
202	21	Mart.	o 5 57,0	8 0 27,7	7 54 20,7	4 28	7 32
203	22	Merc.	o 5 59,9	8 4 27,2	7 58 26,2	4 29	7 31
204	23	Giov.	o 6 2,3	8 8 26,1	8 2 22,8	4 30	7 30
205	24	Ven.	o 6 4,1	8 12 24,5	8 6 19,4	4 31	7 29
206	25	Sab.	o 6 5,4	8 16 22,4	8 10 15,9	4 32	7 28
207	26	Dom.	o 6 6,2	8 20 19,6	8 14 12,5	4 33	7 27
208	27	Lun.	o 6 6,4	8 24 16,4	8 18 9,1	4 34	7 26
209	28	Mart.	o 6 6,0	8 28 12,6	8 22 5,6	4 35	7 25
210	29	Merc.	o 6 5,0	8 32 8,2	8 26 2,2	4 36	7 24
211	30	Giov.	o 6 3,4	8 36 3,1	8 29 58,7	4 37	7 23
212	31	Ven.	o 6 1,2	8 39 57,5	8 33 55,3	4 38	7 22

Giorni del mese.	LONGITUDINE del Sole.	ASCENSIONE retta del Sole.	DECLINAZIONE del Sole boreale.	LOGARITMO della distanza della Terra dal Sole.
1	3 8 56' 20,1	99 43' 48"	23 9 48"	0,007243
2	3 9 53 33,8	100 45 53	23 5 45	0,007245
3	3 10 50 47,6	101 47 53	23 1 18	0,007244
4	3 11 48 1,5	102 49 49	22 56 26	0,007240
5	3 12 45 15,3	103 51 41	22 51 10	0,007234
6	3 13 42 29,1	104 53 28	22 45 31	0,007225
7	3 14 39 42,8	105 55 9	22 39 28	0,007213
8	3 15 36 56,4	106 56 45	22 33 1	0,007199
9	3 16 34 9,9	107 58 15	22 26 11	0,007182
10	3 17 31 23,2	108 59 38	22 18 57	0,007163
11	3 18 28 36,4	110 0 54	22 11 21	0,007142
12	3 19 25 49,7	111 2 4	22 3 22	0,007119
13	3 20 23 2,8	112 3 7	21 55 0	0,007094
14	3 21 20 16,1	113 4 2	21 46 15	0,007068
15	3 22 17 29,5	114 4 50	21 37 8	0,007040
16	3 23 14 43,1	115 5 31	21 27 40	0,007011
17	3 24 11 56,9	116 6 3	21 17 49	0,006980
18	3 25 9 11,2	117 6 28	21 7 37	0,006948
19	3 26 6 26,2	118 6 45	20 57 3	0,006915
20	3 27 3 41,7	119 6 54	20 46 8	0,006880
21	3 28 0 57,7	120 6 55	20 34 52	0,006844
22	3 28 58 14,6	121 6 48	20 23 15	0,006806
23	3 29 55 32,4	122 6 32	20 11 17	0,006768
24	4 0 52 51,2	123 6 8	19 58 59	0,006728
25	4 1 50 11,0	124 5 36	19 46 21	0,006686
26	4 2 47 31,8	125 4 56	19 33 23	0,006642
27	4 3 44 53,7	126 4 6	19 20 6	0,006596
28	4 4 42 16,8	127 3 9	19 6 30	0,006548
29	4 5 39 40,9	128 2 2	18 52 34	0,006497
30	4 6 37 6,0	129 0 47	18 38 20	0,006444
31	4 7 34 32,2	129 59 23	18 23 47	0,006389

Giorni del mese	Giorni della settimana	LONGITUDINE DELLA LUNA				LATITUD. DELLA LUNA	Passaggio della Luna pel merid.
		a mezzodì.	a mezza notte.	a mezzodì.	a mezza notte.		
1	Merc.	° 2 15 45 22	° 2 21 40 8	° 3 10 30 B	° 3 33 55 B	13 4	b
2	Giov.	2 27 35 48	3 3 32 36	3 55 2	4 13 37	23 55	
3	Ven.	3 9 30 44	3 15 30 23	4 29 29	4 42 25	* *	
4	Sab.	3 21 31 42	3 27 34 50	4 52 14	4 58 49	0 46	
5	Dom.	4 3 39 55	4 9 47 7	5 2 1	5 1 47	1 37	
6	Lun.	4 15 56 35	4 22 8 30	4 58 3	4 50 47	2 25	
7	Mart.	4 28 23 6	5 4 40 36	4 39 59	4 25 42	3 11	
8	Merc.	5 11 1 14	5 17 25 18	4 8 1	3 47 4	3 55	
9	Giov.	5 23 53 5	6 0 24 53	3 23 0	2 56 2	4 39	
10	Ven.	6 7 1 1	6 13 41 48	2 26 24	1 54 25	5 23	
11	Sab.	6 20 27 32	6 27 18 28	1 20 26	0 44 52	6 9	
12	Dom.	7 4 14 48	7 11 16 39	0 8 10	0 29 7 A	6 58	
13	Lun.	7 18 24 2	7 25 36 50	1 6 25 A	1 43 6	7 52	
14	Mart.	8 2 54 43	8 10 17 14	2 18 29	2 51 55	8 51	
15	Merc.	8 17 43 44	8 25 13 21	3 22 40	3 50 8	9 54	
16	Giov.	9 2 45 5	9 10 17 48	4 13 42	4 32 51	11 1	
17	Ven.	9 17 50 16	9 25 21 13	4 47 14	4 56 35	12 7	
18	Sab.	10 2 49 25	10 10 13 42	5 0 47	4 59 52	13 8	
19	Dom.	10 17 33 2	10 24 46 33	4 54 0	4 43 29	14 4	
20	Lun.	11 1 53 33	11 8 53 36	4 28 41	4 10 1	14 55	
21	Mart.	11 15 46 26	11 22 31 59	3 48 0	3 23 7	15 41	
22	Merc.	11 29 10 24	0 5 41 56	2 55 52	2 26 44	16 6	
23	Giov.	0 12 7 1	0 18 26 9	1 56 11	1 24 39	17 8	
24	Ven.	0 24 39 54	1 0 48 55	0 52 32	0 20 11	17 51	
25	Sab.	1 6 53 50	1 12 55 19	0 12 18	0 43 48 B	18 34	
26	Dom.	1 18 54 3	1 24 50 42	1 14 50	1 44 51	19 19	
27	Lun.	2 0 45 53	2 6 40 14	2 13 35	2 40 47	20 7	
28	Mart.	2 12 34 20	2 18 28 42	3 6 13	3 29 39	20 56	
29	Merc.	2 24 23 49	3 0 20 7	3 50 50	4 9 33	21 47	
30	Giov.	3 6 17 58	3 12 17 40	4 25 36	4 38 47	22 39	
31	Ven.	3 18 19 26	3 24 23 30	4 48 56	4 55 51	23 30	

Giorni del mese	Declinaz. della Luna nel merid.	PARALLASSE equatoriale della Luna		DIAMETRO orizzontale della Luna		Nascere della Luna.	Tra- montare della Luna.
		a mezzodi	a mezza notte.	a mezzodi	a mezza notte.		
1	° 1 27 20 B	53 55	53 56	29 26	29 26	h 1 2 11 M	6 27 s
2	27 37	53 58	54 2	29 27	29 29	2 48	7 26
3	* *	54 7	54 13	29 32	29 35	3 35	8 15
4	26 30	54 21	54 30	29 40	29 45	4 30	8 56
5	24 3	54 40	54 51	29 50	29 56	5 33	9 31
6	20 25	55 4	55 17	30 3	30 10	6 38	9 59
7	15 47	55 32	55 48	30 18	30 27	7 46	10 22
8	10 21	56 5	56 23	30 36	30 46	8 55	10 41
9	4 22	56 43	57 4	30 57	31 8	10 5	10 59
10	1 55 A	57 26	57 48	31 20	31 33	11 15	11 18
11	8 21	58 11	58 34	31 45	31 58	o 30 s	11 37
12	14 31	58 57	59 19	32 10	32 22	1 46	11 59
13	20 2	59 40	60 0	32 34	32 44	3 8	* *
14	24 25	60 18	60 32	32 54	33 2	4 30	o 27 M
15	27 5	60 43	60 51	33 8	33 12	5 50	1 5
16	27 37	60 55	60 54	33 14	33 14	7 1	1 54
17	25 56	60 49	60 39	33 11	33 6	8 1	2 59
18	22 19	60 26	60 8	32 59	32 49	8 43	4 18
19	17 17	59 47	59 24	32 37	32 25	9 17	5 40
20	11 23	58 59	58 32	32 11	31 56	9 41	7 1
21	5 8	58 4	57 37	31 41	31 26	9 58	8 21
22	1 8 B	57 9	56 42	31 11	30 57	10 19	9 36
23	7 9	56 17	55 54	30 43	30 30	10 36	10 45
24	12 43	55 32	55 13	30 18	30 8	10 55	11 53
25	17 40	54 56	54 41	29 59	29 51	11 14	1 18
26	21 50	54 29	54 19	29 44	29 39	11 38	2 8
27	25 1	54 11	54 6	29 34	29 32	* *	3 12
28	27 2	54 3	54 2	29 30	29 29	o 7 M	4 16
29	27 45	54 3	54 6	29 30	29 32	o 44	5 15
30	27 4	54 11	54 18	29 34	29 38	1 28	6 9
31	25 0	54 26	54 35	29 43	29 47	2 21	6 54

LUGLIO 1818.

## POSIZIONE DEI SATELLITI DI GIOVE.

Oriente

11<sup>h</sup>

Occidente

1	4.		263	○	.1
2	.4	3.	.21.	○	
3	.4	.3		○	162
4		.4	.1.3	○	2.
5		2.4		○	1. .3
6			.2	.1○	.4
7   10				○	263.4
8			263	○	.1
9		3.	.2	○	
10		.3		○	162
11			1..3	○	2.
12			.2.	○	1. .3
13			162	○	4. .3
14   40				○1.	263
15   20 30		+		○	
16	4.	3. .2	1.	○	
17	4.	.3		○	162
18   4.			163	○	2.
19	.4		2.	○	163
20	.4		162	○	.3
21		.4		○	1. .23.
22			.4.1	○263	
23   10			263	○	.4
24		3.		○162	
25			.3	1.	○
26			2.	○	.3.1
27			.2.1	○	.3
28				○	1. .2 3. 4.
29			.1	○	263
30   10			263	○	4.
31   1.0 20		3.		4.	○

GIORNI.	FASI DELLA LUNA.	GIORNI.	ECLISSE DEI SATELLITI DI GIOVE. Tempo medio.
1	Novilunio ..... 16 <sup>h</sup> 58		I. SATELLITE.
9	Primo quarto ..... 2 58	*1	8 17 ' 6" em.
15	Plenilunio ..... 18 42	3	2 45 50
23	Ultimo quarto ..... 5 48	4	21 14 44
31	Novilunio ..... 6 4	6	15 43 29
		*8	10 12 24
		10	4 41 10
		11	23 10 4
		13	17 38 51
		*15	12 7 46
		17	6 36 33
		19	1 5 28
		20	19 34 16
		22	14 3 12
3	" ♀ ..... 0 <sup>h</sup> 0'	*24	8 32 1
5	" ℳ ..... 20 50	26	3 0 56
13	" ♂ ..... 0 26	27	21 29 45
23	A ♂ ..... 7 52	29	15 58 40
25	136 ♂ ..... 10 38	*31	10 27 29
30	" ♀ ..... 7 10		II. SATELLITE.
			7 31 35 em.
		5	20 49 2
		*9	10 6 33
		12	23 24 6
		16	12 41 42
		20	1 59 20
		23	15 17 1
		27	4 34 42
		30	17 52 30
			III. SATELLITE.
		5	22 17 4 imm.
		6	1 29 37 em.
		13	1 17 51 imm.
		13	5 31 9 em.
		20	6 18 7 imm.
		*20	9 32 7 em.
		*27	10 18 43 imm.
		27	13 33 28 em.
			IV. SATELLITE.
		17	2 8 21 imm.
		17	4 49 24 em.

AGOSTO 1818.

Giorni dell'ann.	Giorni del mese	Giorni della settimana.	TEMPO medio a mezzodì vero.	TEMPO sidereo a mezzodì vero.	TEMPO sidereo a mezzodì medio.	Nascere del Sole.	Tramontare del Sole.
213	1	Sab.	o 5' 58,5	8 43' 51,3	8 37' 51,8	4 40	7 20
214	2	Dom.	o 5 55,1	8 47 44,5	8 41 48,4	4 42	7 18
215	3	Lun.	o 5 51,1	8 51 37,1	8 45 44,9	4 43	7 17
216	4	Mart.	o 5 46,6	8 55 29,1	8 49 41,5	4 44	7 16
217	5	Merc.	o 5 41,5	8 59 20,4	8 53 38,0	4 45	7 15
218	6	Giov.	o 5 35,7	9 3 11,1	8 57 34,6	4 46	7 14
219	7	Ven.	o 5 29,2	9 7 1,2	9 1 31,1	4 48	7 12
220	8	Sab.	o 5 22,2	9 10 50,8	9 5 27,7	4 49	7 11
221	9	Dom.	o 5 14,6	9 14 39,7	9 9 24,2	4 50	7 10
222	10	Lun.	o 5 6,4	9 18 28,0	9 13 20,8	4 52	7 8
223	11	Mart.	o 4 57,6	9 22 15,7	9 17 17,3	4 53	7 7
224	12	Merc.	o 4 48,1	9 26 2,8	9 21 13,9	4 55	7 5
225	13	Giov.	o 4 38,1	9 29 49,3	9 25 10,5	4 56	7 4
226	14	Ven.	o 4 27,5	9 33 35,3	9 29 7,0	4 58	7 2
227	15	Sab.	o 4 16,4	9 37 20,7	9 33 3,6	4 59	7 1
228	16	Dom.	o 4 4,8	9 41 5,6	9 37 0,1	5 0	7 0
229	17	Lun.	o 3 52,6	9 44 50,0	9 40 56,7	5 1	6 59
230	18	Mart.	o 3 39,9	9 48 33,8	9 44 53,3	5 3	6 57
231	19	Merc.	o 3 26,8	9 52 17,2	9 48 49,8	5 4	6 56
232	20	Giov.	o 3 13,2	9 56 0,1	9 52 46,4	5 5	6 55
233	21	Ven.	o 2 59,1	9 59 42,5	9 56 42,9	5 7	6 53
234	22	Sab.	o 2 44,5	10 3 24,4	10 0 39,5	5 8	6 52
235	23	Dom.	o 2 29,5	10 7 5,9	10 4 36,0	5 10	6 50
236	24	Lun.	o 2 14,1	10 10 47,0	10 8 32,6	5 11	6 49
237	25	Mart.	o 1 58,3	10 14 27,7	10 12 29,1	5 13	6 47
238	26	Merc.	o 1 42,1	10 18 8,0	10 16 25,7	5 14	6 46
239	27	Giov.	o 1 25,5	10 21 48,0	10 20 22,2	5 16	6 44
240	28	Ven.	o 1 8,5	10 25 27,5	10 24 18,8	5 17	6 43
241	29	Sab.	o 0 51,2	10 29 6,7	10 28 15,3	5 19	6 41
242	30	Dom.	o 0 33,6	10 32 45,6	10 32 11,9	5 21	6 39
243	31	Lun.	o 0 15,6	10 36 24,1	10 36 8,4	5 22	6 38

Giorni del mese:	LONGITUDINE del Sole.	ASCENSIONE retta del Sole.	DECLINAZIONE del Sole boreale.	LOGARITMO della distanza della Terra dal Sole.
1	4 8 31 59,4	130 57 50	18 8 56	0,006331
2	4 9 29 27,5	131 56 8	17 53 47	0,006271
3	4 10 26 56,5	132 54 16	17 38 20	0,006208
4	4 11 24 26,4	133 52 16	17 22 37	0,006142
5	4 12 21 57,1	134 50 6	17 6 36	0,006075
6	4 13 19 28,5	135 47 47	16 50 19	0,006005
7	4 14 17 0,7	136 45 19	16 33 46	0,005933
8	4 15 14 33,7	137 42 41	16 16 56	0,005859
9	4 16 12 7,6	138 39 55	15 59 51	0,005783
10	4 17 9 42,4	139 37 0	15 42 31	0,005705
11	4 18 7 17,9	140 33 55	15 24 56	0,005626
12	4 19 4 54,2	141 30 42	15 7 5	0,005545
13	4 20 2 31,5	142 27 20	14 49 1	0,005464
14	4 21 0 9,8	143 23 50	14 30 42	0,005382
15	4 21 57 49,3	144 20 11	14 12 10	0,005298
16	4 22 55 30,1	145 16 24	13 53 23	0,005214
17	4 23 53 12,2	146 12 30	13 34 24	0,005128
18	4 24 50 55,5	147 8 27	13 15 12	0,005042
19	4 25 48 40,2	148 4 18	12 55 47	0,004955
20	4 26 46 26,8	149 0 1	12 36 10	0,004867
21	4 27 44 15,0	149 55 37	12 16 20	0,004779
22	4 28 42 5,0	150 51 6	11 56 19	0,004689
23	4 29 39 56,6	151 46 29	11 36 6	0,004598
24	5 0 37 50,1	152 41 46	11 15 42	0,004506
25	5 1 35 45,5	153 36 56	10 55 7	0,004412
26	5 2 33 42,6	154 32 0	10 34 22	0,004317
27	5 3 31 41,8	155 26 59	10 13 27	0,004220
28	5 4 29 42,8	156 21 53	9 52 21	0,004122
29	5 5 27 45,4	157 16 41	9 31 6	0,004022
30	5 6 25 49,9	158 11 24	9 9 43	0,003920
31	5 7 23 56,3	159 6 2	8 48 10	0,003816

Giorni del mese	Giorni della settimana	LONGITUDINE DELLA LUNA		LATITUD. DELLA LUNA		Passaggio della Luna pel merid.
		a mezzodì.	a mezza notte.	a mezzodì.	a mezza notte.	
1	Sab.	4 0 30 2	4 6 39 5	4 59 25B	4 59 32B	b *
2	Dom.	4 12 50 44	4 19 5 3	4 56 7	4 49 8	o 20
3	Lun.	4 25 22 4	5 1 41 47	4 38 35	4 24 31	i 7
4	Mart.	5 8 4 14	5 14 29 27	4 7 3	3 46 18	i 53
5	Merc.	5 20 57 29	5 27 28 24	3 22 27	2 55 46	2 37
6	Giov.	6 4 2 17	6 10 39 14	2 26 31	1 55 3	3 21
7	Ven.	6 17 19 24	6 24 2 57	1 21 43	0 46 57	4 6
8	Sab.	7 0 50 2	7 7 40 48	0 11 11	0 25 5A	4 53
9	Dom.	7 14 35 24	7 21 33 54	1 1 19A	1 36 59	5 45
10	Lun.	7 28 36 20	8 5 42 39	2 11 30	2 44 17	6 40
11	Mart.	8 12 52 42	8 20 6 10	3 14 35	3 42 20	7 41
12	Merc.	8 27 22 39	9 4 41 35	4 6 30	4 26 45	8 44
13	Giov.	9 12 2 16	9 19 23 54	4 42 41	4 53 57	9 49
14	Ven.	9 26 45 36	10 4 6 23	5 0 21	5 1 45	10 52
15	Sab.	10 11 25 16	10 18 41 16	4 58 13	4 49 51	11 51
16	Dom.	10 25 53 30	11 3 1 10	4 36 55	4 19 46	12 44
17	Lun.	11 10 3 33	11 17 0 9	3 58 49	3 34 34	13 33
18	Mart.	11 23 50 34	0 0 34 38	3 7 31	2 38 13	14 19
19	Merc.	0 7 12 19	0 13 43 45	2 7 10	1 34 53	15 4
20	Giov.	0 20 9 9	0 26 28 53	1 1 50	0 28 27	15 48
21	Ven.	1 2 43 26	1 8 53 19	0 4 50B	0 37 41B	16 32
22	Sab.	1 14 59 7	1 21 1 28	1 9 45	1 40 44	17 17
23	Dom.	1 27 1 1	2 2 58 26	2 10 22	2 38 24	18 4
24	Lun.	2 8 54 23	2 14 49 30	3 4 36	3 28 44	18 54
25	Mart.	2 20 44 26	2 26 39 48	3 50 37	4 10 2	19 44
26	Merc.	3 2 36 10	3 8 34 4	4 26 49	4 40 45	20 36
27	Giov.	3 14 33 59	3 20 36 18	4 51 40	4 59 24	21 28
28	Ven.	3 26 41 24	4 2 49 33	5 3 49	5 4 47	22 18
29	Sab.	4 9 0 59	4 15 15 53	5 2 11	4 55 57	23 7
30	Dom.	4 21 34 20	4 27 56 22	4 46 4	4 32 31	23 54
31	Lun.	5 4 21 57	5 10 51 2	4 15 23	3 54 48	* *

Giorni del mese	Declinaz. della Luna nel merid.	PARALLASSE equatoriale della Luna		DIAMETRO orizzontale della Luna		Nascere della Luna.	Tra- montare della Luna.
		a mezzodì	a mezza notte.	a mezzodì	a mezza notte.		
I	* *	54 45	54 57	29 53	29 50	b / 3 22M	b / 7 30s
2	21 40 B	55 9	55 22	30 6	30 13	4 27	8 0
3	17 14	55 36	55 50	30 21	30 28	5 35	8 26
4	11 57	56 4	56 19	30 36	30 44	6 45	8 46
5	6 3	56 34	56 50	30 52	31 1	7 56	9 4
6	0 14 A	57 6	57 22	31 9	31 18	9 6	9 23
7	6 36	57 39	57 55	31 28	31 37	10 17	9 42
8	12 46	58 12	58 29	31 46	31 55	11 32	10 2
9	18 28	58 45	59 1	32 4	32 13	0 52s	10 27
10	23 9	59 16	59 30	32 21	32 28	2 12	11 0
11	26 24	59 42	59 52	32 35	32 40	3 33	11 44
12	27 49	60 0	60 6	32 45	32 48	4 47	* *
13	27 5	60 9	60 9	32 49	32 49	5 48	0 39M
14	24 19	60 5	59 59	32 47	32 44	6 36	1 52
15	19 52	59 49	59 36	32 39	32 31	7 15	3 13
16	14 16	59 20	59 1	32 22	32 13	7 42	4 35
17	8 1	58 40	58 17	32 1	31 48	8 4	5 57
18	1 33	57 53	57 29	31 35	31 22	8 25	7 14
19	4 44 B	57 4	56 40	31 8	30 55	8 43	8 27
20	10 40	56 16	55 54	30 42	30 30	9 0	9 39
21	16 0	55 34	55 15	30 19	30 9	9 20	10 50
22	20 33	54 58	54 44	30 0	29 52	9 43	11 58
23	24 9	54 32	54 23	29 46	29 41	10 10	1 5s
24	26 37	54 16	54 12	29 37	29 35	10 44	2 10
25	27 49	54 10	54 10	29 34	29 34	11 24	3 12
26	27 38	54 13	54 19	29 35	29 38	* *	4 7
27	26 2	54 26	54 35	29 42	29 47	0 14M	4 55
28	23 6	54 46	54 59	29 53	30 0	1 14	5 34
29	19 0	55 13	55 28	30 8	30 16	2 18	6 7
30	13 55	55 44	56 0	30 25	30 34	3 26	6 34
31	* *	56 17	56 34	30 43	30 52	4 37	6 56

AGOSTO 1818.

## POSIZIONE DEI SATELLITI DI GIOVE.

	Oriente	10 <sup>h</sup>	Occidente
1	4.	.31	○ 2.
2	4.	2.	○ .1 .3
3	4.	.21.	○ .3
4	4.		○ 1. .2 3.
5	3. 4.	.1	○ 2.
6	.4	3.2.	○ 1.
7		3. .4	.2.1 ○
8	1. 4.0	.3	○ .2
9	2.0	2	○ .1.3 .4
10		.2 1.	○ .3 .4
11			○ 1.2 3. .4
12		.1	○ 3. 2. .4
13		2.3	○ 1. 4.
14		3. .2.1	○ 4.
15	1.0	.3	○ .2.4.
16	2.0		○ 1.3,4
17		2. 4. 1.	○ .3
18		4.	○ .2.1 3.
19	4.	.1	○ 3. 2.
20	4.	2.3	○ 1.
21	.4	3. .2.1	○
22	.4	.3	○ 1. .2
23	1.0 3.0	.4	○ 2.
24		2. .41.	○ .3
25			○ .2.1.4 .3
26		1.	○ 3. 2. .4
27		2.3	○ 1. .4
28		3. .2.1	○ .4
29		.3	○ 1. .2 .4
30	3.0		.1 ○ .2. 4.
31	1.0	2.	○ .34.

GIORNI.	FASI DELLA LUNA.	GIORNI.	ECLISSE DEI SATELLITI DI GIOVE Tempo medio.
7	Primo quarto..... 8 <sup>h</sup> 46'		I. SATELLITE.
14	Plenilunio ..... 4 51	2	<sup>h</sup> 4 56' 25" em.
22	Ultimo quarto ..... 0 33	3	23 25 15
29	Novilunio ..... 18 25	5	17 54 10
		7	12 23 0
		9	6 51 55
		11	1 20 45
		12	19 49 41
		*14	14 18 31
		*16	8 47 27
2	$\eta$ Μ..... 3 <sup>h</sup> 0'	18	3 16 16
9	$\tau$ Σ..... 7 33	19	21 45 12
11	$\epsilon$ Ζ..... 19 0	21	16 14 1
11	$\chi$ Ζ..... 21 26	23	10 43 56
21	136 ♀..... 18 45	25	5 11 46
26	$\eta$ Ζ..... 15 52	26	23 40 41
		28	18 9 30
		30	12 38 25
			II. SATELLITE.
		*3	7 10 17 em.
		6	20 28 8
		*10	9 46 1
		13	23 3 56
		17	12 21 56
21	136 ♀ imm. 18 <sup>h</sup> 39', em. 19 <sup>h</sup> 52': distanza della Stella dal corno australe della Luna nell'em. 55°	21	1 39 54
23	χ in congiunzione inferiore.	24	14 58 0
23	○ nel segno della Libra a 4 <sup>h</sup> . 56'	28	4 16 2
			III. SATELLITE.
		3	14 18 41 imm.
		3	17 34 8 em.
		10	18 18 34 imm.
		10	21 34 43 em.
		17	22 18 42 imm.
		18	1 35 34 em.
		25	2 18 58 imm.
		25	5 36 31 em.
			IV. SATELLITE.
		2	20 9 38 imm.
		2	23 0 49 em.
		19	14 12 1 imm.
		19	17 13 1 em.

Giorni dell'ann.	Giorni del mese.	Giorni della settimana.	TEMPO medio a mezzodì vero.	TEMPO sidereo a mezzodì vero.	TEMPO sidereo a mezzodì medio.	Nascere del Sole.	Tramontare del Sole.
244	1	Mart.	23 59 57,3	10 40 2,3	10 40 5,0	5 23 /	6 37 /
245	2	Merc.	23 59 38,7	10 43 40,2	10 44 1,6	5 25	6 35
246	3	Giov.	23 59 19,8	10 47 17,8	10 47 58,1	5 27	6 33
247	4	Ven.	23 59 0,6	10 50 55,1	10 51 54,7	5 29	6 31
248	5	Sab.	23 58 41,2	10 54 32,2	10 55 51,2	5 30	6 30
249	6	Dom.	23 58 21,5	10 58 9,0	10 59 47,8	5 31	6 29
250	7	Lun.	23 58 1,5	11 1 45,5	11 3 44,4	5 33	6 27
251	8	Mart.	23 57 41,3	11 5 21,8	11 7 40,9	5 35	6 25
252	9	Merc.	23 57 21,0	11 8 58,0	11 11 37,5	5 36	6 24
253	10	Giov.	23 57 0,5	11 12 34,0	11 15 34,0	5 38	6 22
254	11	Ven.	23 56 39,8	11 16 9,8	11 19 30,6	5 40	6 20
255	12	Sab.	23 56 18,9	11 19 45,4	11 23 27,1	5 42	6 18
256	13	Dom.	23 55 58,0	11 23 21,0	11 27 23,7	5 44	6 16
257	14	Lun.	23 55 37,0	11 26 56,5	11 31 20,2	5 45	6 15
258	15	Mart.	23 55 15,9	11 30 31,9	11 35 16,8	5 47	6 13
259	16	Merc.	23 54 54,7	11 34 7,2	11 39 13,3	5 48	6 12
260	17	Giov.	23 54 33,6	11 37 42,6	11 43 9,9	5 50	6 10
261	18	Ven.	23 54 12,5	11 41 17,9	11 47 6,4	5 51	6 9
262	19	Sab.	23 53 51,4	11 44 53,3	11 51 3,0	5 53	6 7
263	20	Dom.	23 53 30,3	11 48 28,7	11 54 59,5	5 55	6 5
264	21	Lun.	23 53 9,3	11 52 4,2	11 58 56,1	5 57	6 3
265	22	Mart.	23 52 48,4	11 55 39,8	12 2 52,6	5 58	6 2
266	23	Merc.	23 52 27,6	11 59 15,5	12 6 49,2	5 59	6 1
267	24	Giov.	23 52 7,0	12 2 51,4	12 10 45,7	6 1	5 59
268	25	Ven.	23 51 46,5	12 6 27,4	12 14 42,3	6 2	5 58
269	26	Sab.	23 51 26,2	12 10 3,6	12 18 38,8	6 3	5 57
270	27	Dom.	23 51 6,1	12 13 40,0	12 22 35,4	6 5	5 55
271	28	Lun.	23 50 46,2	12 17 16,6	12 26 31,9	6 6	5 54
272	29	Mart.	23 50 26,5	12 20 53,4	12 30 28,5	6 8	5 52
273	30	Merc.	23 50 7,1	12 24 30,4	12 34 25,0	6 9	5 51

Giorni del mese	LONGITUDINE del Sole.	ASCENSIONE retta del Sole.	DECLINAZIONE del Sole boreale.	LOGARITMO della distanza della Terra dal Sole.
1	5 8 22 4,3	160 0 35 "	8 26 28 "	0,003710
2	5 9 20 13,8	160 55 3	8 4 39	0,003602
3	5 10 18 24,9	161 49 27	7 42 41	0,003493
4	5 11 16 37,5	162 43 47	7 20 37	0,003382
5	5 12 14 51,6	163 38 2	6 58 25	0,003270
6	5 13 13 7,2	164 32 14	6 36 6	0,003156
7	5 14 11 24,2	165 26 23	6 13 41	0,003041
8	5 15 9 42,8	166 20 28	5 51 10	0,002925
9	5 16 8 2,9	167 14 30	5 28 33	0,002808
10	5 17 6 24,4	168 8 30	5 5 51	0,002691
11	5 18 4 47,4	169 2 27	4 43 4	0,002573
12	5 19 3 12,1	169 56 22	4 20 12	0,002455
13	5 20 1 38,5	170 50 15	3 57 15	0,002336
14	5 21 0 6,7	171 44 7	3 34 14	0,002217
15	5 21 58 36,7	172 37 58	3 11 9	0,002099
16	5 22 57 8,7	173 31 48	2 48 1	0,001980
17	5 23 55 42,7	174 25 38	2 24 50	0,001862
18	5 24 54 18,8	175 19 29	2 1 35	0,001743
19	5 25 52 57,1	176 13 19	1 38 18	0,001624
20	5 26 51 37,4	177 7 10	1 14 59	0,001506
21	5 27 50 20,0	178 1 3	0 51 37	0,001387
22	5 28 49 5,1	178 54 57	0 28 14	0,001268
23	5 29 47 52,5	179 48 53	0 4 50	0,001148
24	6 0 46 42,1	180 42 50	0 18 36	0,001028
25	6 1 45 34,2	181 36 51	0 42 28	0,000907
26	6 2 44 28,6	182 30 54	1 5 29	0,000785
27	6 3 43 25,1	183 24 59	1 28 55	0,000663
28	6 4 42 23,8	184 19 8	1 52 21	0,000540
29	6 5 41 24,7	185 13 20	2 15 46	0,000416
30	6 6 40 27,7	186 7 36	2 39 10	0,000291

Giorni del mese	Giorni della settimana	LONGITUDINE DELLA LUNA				LATITUD. DELLA LUNA	Passaggio della Luna pel merid.
		a mezzodi.	a mezza notte.	a mezzodi.	a mezza notte.		
1 Mart.	5 17 23 29	5 23 59 10	3 30 55B	3 4 0B	0 46		
2 Merc.	6 0 37 56	6 7 19 36	2 34 20	2 2 17	1 25		
3 Giov.	6 14 4 1	6 20 51 0	1 28 16	0 52 44	2 11		
4 Ven.	6 27 40 27	7 4 32 14	0 16 12	0 20 49A	2 58		
5 Sab.	7 11 26 15	7 18 22 25	0 57 45A	1 34 2	3 48		
6 Dom.	7 25 20 41	8 2 40 58	2 9 7	2 42 26	4 42		
7 Lun.	8 9 23 10	8 16 27 10	3 13 27	3 41 38	5 41		
8 Mart.	8 23 32 47	9 0 39 48	4 6 32	4 27 42	6 42		
9 Merc.	9 7 47 56	9 14 56 48	4 44 46	4 57 26	7 45		
10 Giov.	9 22 6 1	9 29 15 6	5 5 29	5 8 46	8 48		
11 Ven.	10 6 23 28	10 13 30 36	5 7 15	5 0 59	9 47		
12 Sab.	10 20 35 53	10 27 38 42	4 50 7	4 34 54	10 41		
13 Dom.	11 4 38 30	11 11 34 43	4 15 38	3 52 45	11 31		
14 Lun.	11 18 26 52	11 25 14 34	3 26 38	2 57 50	12 19		
15 Mart.	0 1 57 29	0 8 35 26	2 26 52	1 54 14	13 4		
16 Merc.	0 15 8 18	0 21 36 5	1 20 26	0 46 0	13 48		
17 Giov.	0 27 58 54	1 4 16 57	0 11 23	0 22 58B	14 33		
18 Ven.	1 10 30 32	1 16 40 2	0 56 40B	1 29 22	15 18		
19 Sab.	1 22 45 52	1 28 48 33	2 0 44	2 30 29	16 5		
20 Dom.	2 4 48 36	2 10 46 36	2 58 22	3 24 9	16 54		
21 Lun.	2 16 43 9	2 22 38 52	3 47 37	4 8 35	17 44		
22 Mart.	2 28 34 22	3 4 30 16	4 26 54	4 42 22	18 37		
23 Merc.	3 10 27 12	3 16 25 44	4 54 50	5 4 10	19 29		
24 Giov.	3 22 26 27	3 28 29 52	5 10 14	5 12 55	20 19		
25 Ven.	4 4 36 29	4 10 46 43	5 12 4	5 7 37	21 8		
26 Sab.	4 17 0 57	4 23 19 28	4 59 30	4 47 40	21 56		
27 Dom.	4 29 42 31	5 6 10 15	4 32 8	4 12 57	22 43		
28 Lun.	5 12 42 42	5 19 19 52	3 50 14	3 24 9	23 28		
29 Mart.	5 26 1 37	6 2 47 45	2 54 56	2 22 56	* *		
30 Mer.	6 9 38 0	6 16 32 1	1 48 32	1 12 12	0 14		

Giorni del mese	Declinaz. della Luna nel merid.	PARALLASSE equatoriale della Luna	DIAMETRO orizzontale della Luna	Nascere della Luna.	Tra- montare della Luna.
		a mezzodi a mezza notte.	a mezzodi a mezza notte.		
1	8° 3' B	56' 50"	57' 6"	31' 1"	31' 9"
2	1 43	57 21	57 35	31 18	31 25
3	4 46 A	57 49	58 2	31 33	31 40
4	11 8	58 14	58 25	31 47	31 53
5	17 2	58 35	58 45	31 58	32 4
					10 48
6	22 4	58 54	59 1	32 9	32 13
7	25 46	59 8	59 13	32 16	32 19
8	27 45	59 18	59 21	32 22	32 23
9	27 45	59 22	59 22	32 24	32 24
10	25 46	59 20	59 17	32 23	32 21
					4 40
11	22 1	59 12	59 4	32 18	32 14
12	16 54	58 55	58 44	32 9	32 3
13	10 54	58 30	58 15	31 55	31 47
14	4 31	57 59	57 41	31 39	31 29
15	1 56 B	57 22	57 2	31 18	31 7
					6 54
16	8 9	56 42	56 22	30 57	30 46
17	13 53	56 2	55 43	30 35	30 25
18	18 53	55 25	55 8	30 15	30 5
19	22 57	54 53	54 41	29 57	29 51
20	25 56	54 30	54 22	29 45	29 40
					8 49
21	27 41	54 16	54 13	29 37	29 35
22	28 3	54 12	54 14	29 35	29 36
23	27 2	54 19	54 25	29 39	29 42
24	24 38	54 35	54 47	29 47	29 54
25	20 59	55 0	55 16	30 1	30 10
					0 11M
26	16 16	55 34	55 53	30 20	30 30
27	10 39	56 13	56 34	30 41	30 52
28	4 24	56 55	57 16	31 4	31 15
29	* *	57 36	57 56	31 26	31 37
30	2 14 A	58 14	58 30	31 47	31 55
					6 7

## POSIZIONE DEI SATELLITI DI GIOVE.

Oriente

12<sup>h</sup>

Occidente

1	2.0		○ .1	4.	.3
2	4.●		1.	○	2. 3.
3			264	○ 3.	.1
4	4.	3. .2 .1	○		
5	4.	3.	○	1. .2	
6	4.	.3 .1	○	2.	
7	.4	2.	○ 1.	.3	
8	.4		.2 ○ .1		.3
9		.4 1.	○ 23.		
10			264	○ 3. .1	
11		3. .2 .1	○	.4	
12		.3	○ 162		.4
13		.3 .1	○	2.	.4
14		2.	○ 163		.4
15	1.0	.2	○	.3	.4
16		1.	○	.3 2.	4.
17	2●		○ .163		4.
18		2.3.1.	○	4.	
19		3.	○	.2 .1	
20		4. .3	.1	○	2.
21	4.	2.	○ 1.		3.0
22	4.	2. .1	○		.3
23	4.		○	.2 3.	1●
24	.4		○ 162	3.	
25	.4	2. 163	○		
26		3. .4	○	.2 .1	
27	4.0	.3 .1	○	2.	
28			2. .3 ○ 1.	.4	
29			.2 .1 ○	.3	.4
30			○ 1.	.2 3.	.4

GIORNI.	FASI DELLA LUNA.	GIORNI.	ECLISSI DEI SATELLITI DI GIOVE. <i>Tempo medio.</i>
6	Primo quarto..... 14 <sup>h</sup> 42'		I. SATELLITE.
13	Plenilunio..... 18 5	*2	7 7 12 em.
21	Ultimo quarto..... 20 7	4	1 36 9
29	Novilunio..... 6 5	5	20 4 58
		7	14 33 52
		*9	9 2 42
		11	3 31 35
		12	22 0 24
		14	16 29 17
		16	10 58 5
		18	5 26 58
		19	23 55 45
6	$\tau \rightarrow \rightarrow$ ..... 13 <sup>h</sup> 11'	21	18 24 37
9	$\varepsilon \%$ ..... 1 40	23	12 53 25
9	$x \%$ ..... 4 10	*25	7 22 16
19	136 $\Delta$ ..... 2 54	27	1 51 4
24	$\eta \Omega$ ..... 1 8	29	20 19 54
26	$\eta \Pi$ ..... 20 59	30	14 48 41
		1	II. SATELLITE.
		17	17 34 12 em.
		6	6 52 20
		8	20 10 35
		12	9 28 46
		15	22 47 7
		19	12 5 19
		23	1 23 48
		26	14 42 1
		30	4 0 38
13	Eclisse di Luna. Principio visibile a Milano 17 <sup>h</sup> 30' Fine sotto l'orizzonte. Massima oscurazione digitii 2.	III. SATELLITE.	
15	? in opposizione.	2	6 20 6 imm.
23	○ nel segno dello Scorpione 13 <sup>h</sup> 5'	2	9 38 19 em.
		9	10 20 35 imm.
		9	13 39 29 em.
		16	17 21 16 imm.
		16	17 40 50 em.
		23	18 21 17 imm.
		23	21 41 27 em.
		30	22 21 10 imm.
		31	1 41 57 em.
		*6	IV. SATELLITE.
		6	8 14 41 imm.
		6	11 24 39 em.
		23	2 17 48 imm.
		23	5 36 11 em.

Giorni dell'ann.	Giorni del mese.	Giorni della settimana.	TEMPO medio a mezzodì vero.	TEMPO sidereo a mezzodì vero.	TEMPO sidereo a mezzodì medio.	Nascere del Sole.	Tramontare del Sole.
274	1	Giov.	23 49 47,9	12 28 7,8	12 38 21,6	6 11	5 49
275	2	Ven.	23 49 29,0	12 31 45,4	12 42 18,1	6 13	5 47
276	3	Sab.	23 49 10,4	12 35 23,3	12 46 14,7	6 15	5 45
277	4	Dom.	23 48 52,1	12 39 1,5	12 50 11,2	6 16	5 44
278	5	Lun.	23 48 34,1	12 42 40,0	12 54 7,8	6 17	5 43
279	6	Mart.	23 48 16,5	12 46 18,9	12 58 4,4	6 18	5 42
280	7	Merc.	23 47 59,2	12 49 58,2	12 2 1,0	6 20	5 40
281	8	Giov.	23 47 42,3	12 53 37,8	12 5 57,5	6 21	5 39
282	9	Ven.	23 47 25,8	12 57 17,8	12 9 54,1	6 23	5 37
283	10	Sab.	23 47 9,8	13 0 58,3	13 13 50,6	6 24	5 36
284	11	Dom.	23 46 54,2	13 4 39,2	13 17 47,2	6 25	5 34
285	12	Lun.	23 46 39,1	13 8 20,6	13 21 43,7	6 27	5 33
286	13	Mart.	23 46 24,4	13 12 2,4	13 25 40,3	6 28	5 32
287	14	Merc.	23 46 10,2	13 15 44,8	13 29 36,8	6 30	5 30
288	15	Giov.	23 45 56,6	13 19 27,7	13 33 33,4	6 31	5 29
289	16	Ven.	23 45 43,6	13 23 11,2	13 37 29,9	6 33	5 27
290	17	Sab.	23 45 31,1	13 26 55,2	13 41 26,5	6 35	5 25
291	18	Dom.	23 45 19,2	13 30 39,9	13 45 23,0	6 37	5 23
292	19	Lun.	23 45 8,0	13 34 25,2	13 49 19,6	6 38	5 22
293	20	Mart.	23 44 57,4	13 38 11,1	13 53 16,2	6 40	5 20
294	21	Merc.	23 44 47,4	13 41 57,6	13 57 12,7	6 42	5 18
295	22	Giov.	23 44 38,1	13 45 44,9	14 1 9,3	6 43	5 17
296	23	Ven.	23 44 29,5	13 49 32,8	14 5 5,8	6 45	5 15
297	24	Sab.	23 44 21,6	13 53 21,4	14 9 2,4	6 47	5 13
298	25	Dom.	23 44 14,5	13 57 10,9	14 12 58,9	6 48	5 12
299	26	Lun.	23 44 8,1	14 1 1,0	14 16 55,5	6 49	5 11
300	27	Mart.	23 44 2,4	14 4 51,9	14 20 52,1	6 51	5 9
301	28	Merc.	23 43 57,5	14 8 43,5	14 24 48,6	6 52	5 8
302	29	Giov.	23 43 53,3	14 12 35,8	14 28 45,2	6 54	5 6
303	30	Ven.	23 43 49,9	14 16 29,0	14 32 41,7	6 56	5 4
304	31	Sab.	23 43 47,3	14 20 22,9	14 36 38,3	6 57	5 3

Giorni del mese.	LONGITUDINE del Sole.	ASCENSIONE retta del Sole.	DECLINAZIONE del Sole australe.	LOGARITMO della distanza della Terra dal Sole.
1	6° 7' 39" 32,8	187° 1' 56"	3° 2' 32"	0,000165
2	6 8 38 39,8	187 56 20	3 25 52	0,000038
3	6 9 37 48,8	188 50 49	3 49 10	9,999911
4	6 10 36 59,7	189 45 22	4 12 26	9,999783
5	6 11 36 12,3	190 40 0	4 35 38	9,999655
6	6 12 35 26,7	191 34 44	4 58 47	9,999526
7	6 13 34 42,8	192 29 33	5 21 52	9,999397
8	6 14 34 0,6	193 24 27	5 44 52	9,999268
9	6 15 33 20,2	194 19 28	6 7 48	9,999140
10	6 16 32 41,5	195 14 35	6 30 39	9,999012
11	6 17 32 4,5	196 9 48	6 53 25	9,998885
12	6 18 31 29,3	197 5 8	7 16 5	9,998759
13	6 19 30 56,1	198 0 36	7 38 40	9,998633
14	6 20 30 25,0	198 56 12	8 1 7	9,998509
15	6 21 29 56,0	199 51 56	8 23 29	9,998386
16	6 22 29 29,0	200 47 48	8 45 43	9,998263
17	6 23 29 4,1	201 43 48	9 7 50	9,998142
18	6 24 28 41,4	202 39 58	9 29 48	9,998022
19	6 25 28 21,0	203 36 17	9 51 39	9,997903
20	6 26 28 2,9	204 32 46	10 13 21	9,997785
21	6 27 27 47,2	205 29 25	10 34 55	9,997668
22	6 28 27 33,8	206 26 13	10 56 19	9,997551
23	6 29 27 22,6	207 23 13	11 17 33	9,997435
24	7 0 27 13,7	208 20 23	11 38 37	9,997320
25	7 1 27 7,3	209 17 43	11 59 31	9,997205
26	7 2 27 3,1	210 15 15	12 20 14	9,997090
27	7 3 27 1,1	211 12 58	12 40 45	9,996976
28	7 4 27 1,1	212 10 52	13 1 4	9,996862
29	7 5 27 3,1	213 8 57	13 21 12	9,996748
30	7 6 27 7,0	214 7 14	13 41 7	9,996634
31	7 7 27 12,8	215 5 43	14 0 49	9,996521

Giorni del mese	Giorni della settimana	LONGITUDINE DELLA LUNA				LATITUD. DELLA LUNA	Passaggio della Luna per merid.
		a mezzodì.	a mezza notte.	a mezzodì.	a mezza notte.		
1	Giov.	6 23 29 25	7 0 29 43	0 34 29B	0 4 4A	1 1 1	1 2
2	Ven.	7 7 32 29	7 14 37 16	0 42 47A	1 21 3	1 52	
3	Sab.	7 21 43 34	7 28 50 57	1 58 13	2 33 39	2 46	
4	Dom.	8 5 59 1	8 13 7 19	3 6 45	3 36 57	3 44	
5	Lun.	8 20 15 31	8 27 23 18	4 3 46	4 26 47	4 46	
6	Mart.	9 4 30 19	9 11 36 18	4 45 40	5 0 6	5 49	
7	Merc.	9 18 40 58	9 25 44 4	5 9 56	5 15 3	6 51	
8	Giov.	10 2 45 22	10 9 44 37	5 15 26	5 11 9	7 50	
9	Ven.	10 16 41 37	10 23 36 7	5 2 18	4 49 7	8 44	
10	Sab.	11 0 27 56	11 7 16 53	4 31 52	4 10 52	9 34	
11	Dom.	11 14 2 45	11 20 45 21	3 46 29	3 19 10	10 21	
12	Lun.	11 27 24 33	0 4 0 12	2 49 20	2 17 29	11 6	
13	Mart.	0 10 32 10	0 17 0 24	1 44 6	1 9 41	11 50	
14	Merc.	0 23 24 53	0 29 45 37	0 34 40	0 0 26B	12 34	
15	Giov.	1 6 2 41	1 12 16 12	0 35 12B	1 9 14	13 19	
16	Ven.	1 18 26 21	1 24 33 21	1 42 9	2 13 36	14 6	
17	Sab.	2 0 37 31	2 6 39 10	2 43 18	3 10 58	14 54	
18	Dom.	2 12 38 40	2 18 36 26	3 36 22	3 59 17	15 44	
19	Lun.	2 24 32 56	3 0 28 39	4 19 32	4 36 57	16 35	
20	Mart.	3 6 24 8	3 12 19 53	4 51 25	5 2 46	17 27	
21	Merc.	3 18 16 29	3 24 14 32	5 10 55	5 15 45	18 18	
22	Giov.	4 0 14 36	4 6 17 17	5 17 11	5 15 8	19 6	
23	Ven.	4 12 23 8	4 18 32 43	5 9 32	5 0 20	19 53	
24	Sab.	4 24 46 33	5 1 5 6	4 47 30	4 31 4	20 40	
25	Dom.	5 7 28 47	5 13 57 57	4 11 4	3 47 35	21 25	
26	Lun.	5 20 32 52	5 27 13 40	3 20 45	2 50 48	22 10	
27	Mart.	6 4 0 26	6 10 53 3	2 18 1	1 42 46	22 57	
28	Merc.	6 17 51 21	6 24 54 58	1 5 31	0 26 48	23 47	
29	Giov.	7 2 3 26	7 9 16 8	0 12 48A	0 52 33A	* *	
30	Ven.	7 16 32 23	7 23 51 24	1 31 47	2 9 44	0 40	
31	Sab.	8 1 12 19	8 8 34 16	2 45 41	3 18 56	1 37	

Giorni del mese	Declinaz. della Luna nel merid.	PARALLASSE equatoriale della Luna		DIAMETRO orizzontale della Luna		Nascere della Luna.	Tra- montare della Luna.
		a mezzodì	a mezza notte.	a mezzodì	a mezza notte.		
1	8 52 A	58' 44"	58 57"	32' 3"	32 10"	b 7 25M	b 6 27s
2	15 10	59 7	59 15	32 16	32 20	8 43	6 49
3	20 41	59 21	59 25	32 23	32 25	10 5	7 17
4	24 56	59 26	59 26	32 26	32 26	11 26	7 55
5	27 30	59 24	59 21	32 25	32 23	0 42s	8 43
6	28 7	59 16	59 10	32 21	32 17	1 54	9 43
7	26 42	59 3	58 55	32 14	32 9	a 50	10 56
8	23 30	58 46	58 36	32 4	31 59	3 30	* *
9	18 54	58 25	58 14	31 53	31 47	4 3	0 16M
10	13 19	58 2	57 49	31 40	31 33	4 27	1 35
11	7 9	57 36	57 22	31 26	31 18	4 48	2 52
12	0 45	57 7	56 52	31 10	31 2	5 6	4 6
13	5 35 B	56 37	56 21	30 54	30 45	5 25	5 19
14	11 33	56 5	55 49	30 36	30 28	5 43	6 29
15	16 54	55 34	55 19	30 20	30 11	6 2	7 40
16	21 27	55 5	54 52	30 4	29 57	6 27	8 50
17	24 57	54 40	54 30	29 50	29 45	6 56	9 59
18	27 12	54 21	54 14	29 40	29 36	7 30	11 4
19	28 8	54 10	54 8	29 34	29 33	8 13	0 6s
20	27 41	54 8	54 11	29 33	29 34	9 5	1 0
21	25 53	54 16	54 24	29 37	29 41	10 5	1 46
22	22 49	54 34	54 47	29 47	29 54	11 7	2 23
23	18 36	55 3	55 21	30 3	30 12	* *	2 54
24	13 25	55 41	56 3	30 23	30 35	0 15M	3 17
25	7 28	56 26	56 51	30 48	31 1	1 27	3 39
26	1 1	57 16	57 42	31 15	31 29	2 38	3 58
27	5 42 A	58 7	58 31	31 43	31 56	3 50	4 17
28	12 20	58 54	59 16	32 9	32 20	5 4	4 37
29	* *	59 34	59 50	32 30	32 39	6 24	4 58
30	18 25	60 2	60 11	32 46	32 51	7 47	5 22
31	23 24	60 17	60 19	32 54	32 55	9 9	5 56

## POSIZIONE DEI SATELLITI DI GIOVE.

Oriente

7<sup>h</sup>

Occidente

1	1.0		○	2.	3.	.4
2	10 3●	2.	○			4.
3	2.0	3.	○	.1		4.
4		.3	○	2.	4.	
5			2○3	○	1○4	
6			.2	.14.	○	.3
7		4.		○	1. .2	.3
8	4.			.1○	2.	3.
9	4.	2.	○			3● 1●
10	.4	3.		.2○	.1	
11	.4	.3	○		.2	
12		.4		.32.	○	.1
13			2○4	.1	○	.3
14	4.0			○	1○2	.3
15				.1○	2. .43.	
16		2.		○	1○3	.4
17		3.		.2○.1		.4
18		3.		○		.2
19	2●			○	.1	4.
20				○	.3	4.
21				○	1○2,4	.3
22				.1○	4. 2.	3.
23			2○4		○1.3.	
24	1.0	4.	3. .2	○		
25	4.	3.		○	.2	1●
26	4.			○2. .1		
27	4.		2. 1.	○	.3	
28	.4			○	.2 .1	.3
29		.4		○	2. 3.	
30			2○4		○1○3.	
31			3. .2	.1○	.4	

GIORNI.	FASI DELLA LUNA.	GIORNI.	ECLISSE DEI SATELLITI DI GIOVE. Tempo medio.
4	Primo quarto ..... 22 <sup>h</sup> 1'	1	I. SATELLITE.
12	Plenilunio ..... 10 25	3	9 17 31 em.
20	Ultimo quarto ..... 15 5	4	3 46 18
27	Novilunio ..... 17 4	6	22 15 7
		8	16 43 52
		10	11 12 41
		12	5 41 26
		13	0 10 14
		15	18 38 59
		17	13 7 46
		19	* 7 36 30
		20	2 5 17
2	$\tau \rightarrow \rightarrow$ ..... 19 <sup>h</sup> 15'	22	20 34 0
5	$\sigma \circ$ ..... 7 8	24	15 2 46
5	$x \circ$ ..... 9 38	26	9 31 27
7	$\psi^2 \approx \approx$ ..... 6 8	27	4 0 13
7	$\psi^3 \approx \approx$ ..... 6 16	29	22 28 54
15	136 $\Delta$ ..... 10 19		16 57 39
20	$\eta \circ$ ..... 9 33		II. SATELLITE.
23	$\eta \eta \eta$ ..... 7 1	2	17 18 53 em.
		6	6 37 34
		9	19 55 52
		13	9 14 35
		16	22 32 58
		20	11 51 48
		24	1 10 8
		27	14 29 4
			III. SATELLITE.
7	$\psi^3 \approx \approx$ imm. 5 <sup>h</sup> 40', em. 6 <sup>h</sup> 38': distanza della Stella dal corno australe della Luna nell'em. 40°	7	2 21 14 imm.
9	$\circ$ in congiunzione superiore.	7	5 42 36 em.
12	$\circ$ e $\delta$ differenza di latitud. 16'.	*14	6 21 21 imm.
15	136 $\Delta$ a 9 <sup>h</sup> 18' distanza dal lembo australe della Luna 6'.	14	9 43 19 em.
22	$\odot$ nel segno del Sagittario 9 <sup>h</sup> 27'.	21	10 22 17 imm.
25	$\circ$ e $\sigma \rightarrow \rightarrow$ diff. di lat. 7'.	21	13 44 49 em.
		28	14 22 36 imm.
		28	17 45 33 em.
			IV. SATELLITE.
		8	20 21 45 imm.
		8	23 47 57 em.
		25	14 25 13 imm.
		25	17 59 5 em.

Giorni dell'ann.	Giorni del mese.	Giorni della settimana.	TEMPO medio a mezzodì vero.	TEMPO sidereo a mezzodì vero.	TEMPO sidereo a mezzodì medio.	Nascer del Sole.	Tramontare del Sole.
305	1	Dom.	23 43 45,4	14 24 17,6	14 40 34,9	6 58	5 2
306	2	Lun.	23 43 44,3	14 28 13,0	14 44 31,4	7 0	5 0
307	3	Mart.	23 43 44,0	14 32 9,3	14 48 28,0	7 1	4 59
308	4	Merc.	23 43 44,6	14 36 6,4	14 52 24,5	7 2	4 58
309	5	Giov.	23 43 45,9	14 40 4,3	14 56 21,1	7 4	4 56
310	6	Ven.	23 43 48,0	14 44 2,9	15 0 17,6	7 5	4 55
311	7	Sab.	23 43 50,9	14 48 2,4	15 4 14,2	7 6	4 54
312	8	Dom.	23 43 54,6	14 52 2,7	15 8 10,7	7 8	4 53
313	9	Lun.	23 43 59,2	14 56 3,9	15 12 7,3	7 9	4 51
314	10	Mart.	23 44 4,6	15 0 5,9	15 16 3,9	7 10	4 50
315	11	Merc.	23 44 10,8	15 4 8,7	15 20 0,4	7 12	4 48
316	12	Giov.	23 44 17,9	15 8 12,3	15 23 57,0	7 13	4 47
317	13	Ven.	23 44 25,8	15 12 16,8	15 27 53,5	7 14	4 46
318	14	Sab.	23 44 34,6	15 16 22,2	15 31 50,1	7 15	4 45
319	15	Dom.	23 44 44,2	15 20 28,4	15 35 46,6	7 16	4 44
320	16	Lun.	23 44 54,7	15 24 35,4	15 39 43,2	7 17	4 43
321	17	Mart.	23 45 6,1	15 28 43,3	15 43 39,7	7 19	4 41
322	18	Merc.	23 45 18,3	15 32 52,1	15 47 36,3	7 20	4 40
323	19	Giov.	23 45 31,3	15 37 1,8	15 51 32,9	7 21	4 39
324	20	Ven.	23 45 45,3	15 41 12,3	15 55 29,4	7 22	4 38
325	21	Sab.	23 45 59,9	15 45 23,6	15 59 26,0	7 23	4 37
326	22	Dom.	23 46 15,4	15 49 35,7	16 3 22,5	7 24	4 36
327	23	Lun.	23 46 31,8	15 53 48,6	16 7 19,1	7 25	4 35
328	24	Mart.	23 46 49,0	15 58 2,4	16 11 15,6	7 26	4 34
329	25	Merc.	23 47 6,9	16 2 17,0	16 15 12,2	7 27	4 33
330	26	Giov.	23 47 25,6	16 6 32,3	16 19 8,8	7 28	4 32
331	27	Ven.	23 47 45,0	16 10 48,4	16 23 5,3	7 29	4 31
332	28	Sab.	23 48 5,2	16 15 5,2	16 27 1,9	7 30	4 30
333	29	Dom.	23 48 26,2	16 19 22,7	16 30 58,4	7 31	4 29
334	30	Lun.	23 48 47,9	16 23 41,0	16 34 55,0	7 32	4 28

Giorni del mese.	LONGITUDINE del Sole.	ASCENSIONE retta del Sole.	DECLINAZIONE del Sole australe.	LOGARITMO della distanza della Terra dal Sole.
1	° ° / 20,5	216 ° / 23 "	° / 17	9,996407
2	7 9 27 29,8	217 3 16	14 39 31	9,996295
3	7 10 27 40,7	218 2 20	14 58 31	9,996183
4	7 11 27 53,2	219 1 36	15 17 16	9,996071
5	7 12 28 7,2	220 1 4	15 35 46	9,995961
6	7 13 28 22,6	221 0 44	15 54 1	9,995852
7	7 14 28 39,4	222 0 36	16 11 59	9,995744
8	7 15 28 57,7	223 0 41	16 29 41	9,995637
9	7 16 29 17,6	224 0 58	16 47 7	9,995532
10	7 17 29 38,9	225 1 28	17 4 15	9,995429
11	7 18 30 1,8	226 2 10	17 21 6	9,995327
12	7 19 30 26,3	227 3 5	17 37 38	9,995228
13	7 20 30 52,3	228 4 12	17 53 52	9,995131
14	7 21 31 19,9	229 5 33	18 9 48	9,995036
15	7 22 31 49,2	230 7 6	18 25 25	9,994943
16	7 23 32 20,3	231 8 51	18 40 42	9,994852
17	7 24 32 53,1	232 10 50	18 55 39	9,994764
18	7 25 33 27,8	233 13 2	19 10 16	9,994677
19	7 26 34 4,4	234 15 26	19 24 32	9,994592
20	7 27 34 42,7	235 18 4	19 38 28	9,994509
21	7 28 35 22,8	236 20 53	19 52 2	9,994428
22	7 29 36 4,6	237 23 55	20 5 15	9,994348
23	8 0 36 48,1	238 27 10	20 18 5	9,994270
24	8 1 37 33,3	239 30 36	20 30 33	9,994193
25	8 2 38 20,2	240 34 15	20 42 38	9,994117
26	8 3 39 8,6	241 38 5	20 54 20	9,994043
27	8 4 39 58,4	242 42 6	21 5 39	9,993970
28	8 5 40 49,5	243 46 18	21 16 33	9,993897
29	8 6 41 41,8	244 50 41	21 27 4	9,993826
30	8 7 42 35,2	245 55 14	21 37 10	9,993756

Giorni del mese	Giorni della settimana	LONGITUDINE DELLA LUNA		LATITUD. DELLA LUNA		Passaggio della Luna pel merid.
		a mezzodì.	a mezza notte.	a mezzodì.	a mezza notte.	
1 Dom.	8 15 56 20	8 23 17 43	3 48 54A	4 15 0 A	2 40	1 1
2 Lun.	9 0 37 34	9 7 55 12	4 36 50	4 54 4	3 44	
3 Mart.	9 15 10 0	9 22 21 27	5 6 28	5 13 57	4 48	
4 Merc.	9 29 29 9	10 6 32 49	5 16 31	5 14 15	5 49	
5 Giov.	10 13 32 15	10 20 27 23	5 7 21	4 56 2	6 44	
6 Ven.	10 27 18 12	11 4 4 45	4 40 36	4 21 23	7 35	
7 Sab.	11 10 47 9	11 17 25 32	3 58 47	3 33 10	8 22	
8 Dom.	11 24 0 4	0 0 30 55	3 4 59	2 34 39	9 7	
9 Lun.	0 6 58 16	0 13 22 17	2 2 36	1 29 17	9 50	
10 Mart.	0 19 43 8	0 26 0 57	0 55 9	0 20 37	10 32	
11 Merc.	1 2 15 55	1 8 28 10	0 13 52B	0 47 56B	11 16	
12 Giov.	1 14 37 51	1 20 45 8	1 21 9	1 53 12	12 1	
13 Ven.	1 26 50 11	2 2 53 10	2 23 45	2 52 28	12 48	
14 Sab.	2 8 54 18	2 14 53 47	3 19 4	3 43 20	13 38	
15 Dom.	2 20 51 51	2 20 48 46	4 5 3	4 24 1	14 28	
16 Lun.	3 2 44 51	3 8 40 25	4 40 4	4 53 5	15 19	
17 Mart.	3 14 35 48	3 20 31 26	5 2 57	5 9 35	16 9	
18 Merc.	3 26 27 45	4 2 25 14	5 12 55	5 12 53	16 58	
19 Giov.	4 8 24 23	4 14 25 45	5 9 27	5 2 35	17 45	
20 Ven.	4 20 29 53	4 26 37 22	4 52 18	4 38 37	18 30	
21 Sab.	5 2 48 46	5 9 4 41	4 21 32	4 1 10	19 14	
22 Dom.	5 15 25 38	5 21 52 10	3 37 34	3 10 53	19 58	
23 Lun.	5 28 24 44	6 5 3 43	2 41 19	2 9 7	20 42	
24 Mart.	6 11 49 28	6 18 42 7	1 34 36	0 58 8	21 29	
25 Merc.	6 25 41 43	7 2 48 8	0 20 13	0 18 36A	22 20	
26 Giov.	7 10 1 4	7 17 19 59	0 57 40A	1 36 16	23 15	
27 Ven.	7 24 44 11	8 2 12 48	2 13 42	2 49 9	* *	
28 Sab.	8 9 44 45	8 17 18 51	3 21 53	3 51 12	0 16	
29 Dom.	8 24 53 51	9 2 28 28	4 16 29	4 37 12	1 22	
30 Lun.	9 10 1 27	9 17 31 37	4 53 1	5 3 40	2 28	

Giorni del mese	Declinaz. della Luna nel merid.	PARALLASSE equatoriale della Luna		DIAMETRO orizzontale della Luna		Nascere della Luna.	Tra- montare della Luna.
		a mezzodì	a mezza notte.	a mezzodì	a mezza notte.		
1	26 46 A	60 17	60 12	32 54	32 51	10 34M	6 41S
2	28 8	60 4	59 54	32 47	32 41	11 49	7 37
3	27 23	59 41	59 27	32 34	32 27	0 50S	8 48
4	24 40	59 11	58 54	32 18	32 9	1 35	10 8
5	20 25	58 36	58 19	31 59	31 49	2 10	11 26
6	15 6	58 1	57 43	31 40	31 30	2 37	* *
7	9 9	57 26	57 9	31 20	31 11	2 58	0 43M
8	2 53	56 52	56 36	31 2	30 53	3 16	1 58
9	3 23 B	56 21	56 6	30 45	30 37	3 33	3 11
10	9 24	55 52	55 38	30 29	30 22	3 50	4 20
11	14 56	55 25	55 13	30 15	30 8	4 9	5 28
12	19 47	55 1	54 49	30 2	29 55	4 31	6 37
13	23 41	54 39	54 29	29 50	29 44	4 57	7 45
14	26 28	54 21	54 13	29 40	29 35	5 30	8 52
15	27 55	54 7	54 3	29 32	29 30	6 8	9 56
16	27 59	54 0	54 0	29 28	29 28	6 56	10 53
17	26 42	54 1	54 4	29 29	29 31	7 52	11 42
18	24 7	54 10	54 18	29 34	29 38	8 53	0 20S
19	20 23	54 28	54 41	29 44	29 51	9 58	0 53
20	15 42	54 56	55 14	29 59	30 8	11 6	1 18
21	10 13	55 34	55 56	30 19	30 32	* *	1 40
22	4 8	56 21	56 47	30 45	30 59	0 15M	1 59
23	2 20 A	57 14	57 43	31 14	31 30	1 25	2 18
24	8 58	58 12	58 40	31 46	32 1	2 35	2 36
25	15 21	59 8	59 35	32 16	32 31	3 51	2 54
26	21 0	59 59	60 20	32 44	32 55	5 12	3 16
27	* *	60 38	60 52	33 5	33 13	6 36	3 44
28	25 18	61 1	61 6	33 18	33 21	8 0	4 26
29	27 43	61 6	61 1	33 21	33 18	9 22	5 17
30	27 51	60 52	60 39	33 13	33 6	10 32	6 25

Effem. 1818.

## POSIZIONE DEI SATELLITI DI GIOVE.

Oriente

6<sup>h</sup>

Occidente

1	10	3.	○	.2	.4
2		.3	○	.12.	.4
3		2.	1.	.3○	.4
4			.2○	.1	.3
5		1.	○	.2	.3
6	20		○	1.	3.
7		.2	1○3	○	4.
8		3.	○	164	.2
9	1.0	.3	4.	○	2.
10		4.	2.	.31.	○
11	4.		.2	○	1.
12	4.		1.	○	.2
13	4.		○	1.	3.
14	4.	.2	.13.	○	
15		.43.		○	1.
16		.3	.4	.1○	2.
17	10		2○3	○	.4
18			.2	○	.1
19			1.	○	.2
20			○	2.	.3
21	30	.2	.1	○	.4
22		3.	○	162	.4.
23		3.		.1○	2.
24	10		.32.	○	4.
25	40		.2	○	.1
26		4.	1.	○	.2
27		4.		○	.1
28		4.	.21.	○	3.
29	4.	3.		○	1.
30	4.	3.	.1	○	2.

GIORNI.	FASI DELLA LUNA.	GIORNI.	ECLISSE DEI SATELLITI DI GIOVE Tempo medio.
4	Primo quarto..... 7 <sup>h</sup> 56'	1	I. SATELLITE. 11 26 19 " em.
12	Plenilunio ..... 4 56	3	5 55 3
20	Ultimo quarto ..... 8 9	5	0 23 43
27	Novilunio ..... 3 29	6	18 52 27
		8	13 21 6
		10	7 49 49
	CONGIUNZ. DELLA LUNA COLLE STELLE.	12	2 18 27
		13	20 47 9
2	$\sigma \lambda$ ..... 13 <sup>h</sup> 30'	15	15 15 47
2	$\pi \lambda$ ..... 15 57	17	9 44 27
4	$\psi^2 \approx$ ..... 11 38	I	II. SATELLITE. 3 47 23 em.
4	$\psi^3 \approx$ ..... 11 46	4	17 6 25
17	$\eta \Omega$ ..... 16 18	8	6 24 45
20	$\eta \text{mQ}$ ..... 15 26	11	19 43 49
		15	9 2 11
			III. SATELLITE.
		5	18 22 46 imm.
		5	21 46 25 em.
		12	22 22 20 imm.
		13	1 46 34 em.
			IV. SATELLITE.
21	○ nel segno del Capricorno 21 <sup>h</sup> 56'	12	8 28 57 imm.
26	♀ in congiunzione inferiore.	12	12 9 46 em.

Giorni dell'ann. Giorni del mese.	Giorni della settimana.	TEMPO medio a mezzodì vero.	TEMPO sideréo a mezzodì vero.	TEMPO sideréo a mezzodì medio.	Nascere del Sole.	Tramontare del Sole.
335 1 Mart.	23 49 10,1	16 27 59,4	16 38 51,5	16 38 51,5	7 33	4 27
336 2 Merc.	23 49 33,0	16 32 19,4	16 42 48,1	16 42 48,1	7 33	4 27
337 3 Giov.	23 49 56,5	16 36 39,5	16 46 44,7	16 46 44,7	7 34	4 26
338 4 Ven.	23 50 20,6	16 41 0,2	16 50 41,2	16 50 41,2	7 33	4 21
339 5 Sab.	23 50 45,2	16 45 21,4	16 54 37,8	16 54 37,8	7 36	4 24
340 6 Dom.	23 51 10,3	16 49 43,2	16 58 34,4	16 58 34,4	7 36	4 24
341 7 Lun.	23 51 35,9	16 54 5,5	17 2 30,9	17 2 30,9	7 37	4 23
342 8 Mart.	23 52 2,1	16 58 28,3	17 6 27,5	17 6 27,5	7 37	4 23
343 9 Merc.	23 52 28,8	17 2 51,6	17 10 24,0	17 10 24,0	7 38	4 22
344 10 Giov.	23 52 55,9	17 7 15,2	17 14 20,6	17 14 20,6	7 38	4 22
345 11 Ven.	23 53 23,3	17 11 39,3	17 18 17,2	17 18 17,2	7 39	4 21
346 12 Sab.	23 53 51,1	17 16 3,8	17 22 13,7	17 22 13,7	7 39	4 21
347 13 Dom.	23 54 19,3	17 20 28,6	17 26 10,3	17 26 10,3	7 40	4 20
348 14 Lun.	23 54 47,8	17 24 53,7	17 30 6,8	17 30 6,8	7 40	4 20
349 15 Mart.	23 55 16,6	17 29 19,2	17 34 3,4	17 34 3,4	7 40	4 20
350 16 Merc.	23 55 45,7	17 33 44,9	17 38 0,0	17 38 0,0	7 41	4 19
351 17 Giov.	23 56 15,0	17 38 10,9	17 41 56,5	17 41 56,5	7 41	4 19
352 18 Ven.	23 56 44,5	17 42 37,0	17 45 53,1	17 45 53,1	7 41	4 19
353 19 Sab.	23 57 14,3	17 47 3,4	17 49 49,6	17 49 49,6	7 42	4 18
354 20 Dom.	23 57 44,2	17 51 29,9	17 53 46,2	17 53 46,2	7 42	4 18
355 21 Lun.	23 58 14,2	17 55 56,6	17 57 42,7	17 57 42,7	7 42	4 18
356 22 Mart.	23 58 44,3	18 0 23,3	18 1 39,3	18 1 39,3	7 42	4 18
357 23 Merc.	23 59 14,4	18 4 50,1	18 5 35,8	18 5 35,8	7 42	4 18
358 24 Giov.	23 59 44,5	18 9 16,9	18 9 32,4	18 9 32,4	7 42	4 18
359 25 Ven.	0 0 14,6	18 13 43,6	18 13 29,0	18 13 29,0	7 41	4 19
360 26 Sab.	0 0 44,6	18 18 10,3	18 17 25,5	18 17 25,5	7 41	4 19
361 27 Dom.	0 1 14,5	18 22 36,8	18 21 22,1	18 21 22,1	7 41	4 19
362 28 Lun.	0 1 44,3	18 27 3,2	18 25 18,6	18 25 18,6	7 40	4 20
363 29 Mart.	0 2 13,9	18 31 29,5	18 29 15,2	18 29 15,2	7 40	4 20
364 30 Merc.	0 2 43,3	18 35 55,5	18 33 11,8	18 33 11,8	7 39	4 21
365 31 Giov.	0 3 12,4	18 40 21,2	18 37 8,3	18 37 8,3	7 39	4 21

Giorni del mese	LONGITUDINE del Sole.	ASCENSIONE retta del Sole.	DECLINAZIONE del Sole australe.	LOGARITMO della distanza della Terra dal Sole.
1	8 ° 43' 29,7"	246 ° 59' 58"	21 ° 46' 51"	9,993688
2	8 9 44 25,0	248 4 50	21 56 7	9,993621
3	8 10 45 21,1	249 9 52	22 4 58	9,993555
4	8 11 46 18,0	250 15 3	22 13 23	9,993491
5	8 12 47 15,6	251 20 22	22 21 22	9,993429
6	8 13 48 13,8	252 25 43	22 28 55	9,993368
7	8 14 49 12,6	253 31 23	22 36 1	9,993310
8	8 15 50 12,1	254 37 5	22 42 41	9,993254
9	8 16 51 12,2	255 42 53	22 48 54	9,993201
10	8 17 52 12,9	256 48 48	22 54 40	9,993150
11	8 18 53 14,3	257 54 49	22 59 59	9,993102
12	8 19 54 16,5	259 0 56	23 4 51	9,993057
13	8 20 55 19,4	260 7 9	23 9 15	9,993015
14	8 21 56 22,9	261 13 26	23 13 11	9,992975
15	8 22 57 27,2	262 19 48	23 16 40	9,992939
16	8 23 58 32,3	263 26 13	23 19 41	9,992905
17	8 24 59 38,3	264 32 43	23 22 14	9,992874
18	8 26 0 45,2	265 39 16	23 24 19	9,992845
19	8 27 1 52,9	266 45 51	23 25 55	9,992819
20	8 28 3 1,4	267 52 29	23 27 3	9,992795
21	8 29 4 10,7	268 59 9	23 27 43	9,992773
22	9 0 5 20,7	270 5 50	23 27 55	9,992753
23	9 1 6 31,5	271 12 31	23 27 38	9,992735
24	9 2 7 42,8	272 19 13	23 26 53	9,992719
25	9 3 8 54,5	273 25 54	23 25 40	9,992704
26	9 4 10 6,6	274 32 34	23 23 58	9,992692
27	9 5 11 19,1	275 39 13	23 21 48	9,992681
28	9 6 12 31,7	276 45 49	23 19 10	9,992672
29	9 7 13 44,3	277 52 22	23 16 4	9,992664
30	9 8 14 56,9	278 58 52	23 12 30	9,992658
31	9 9 16 9,4	280 5 18	23 8 28	9,992653

Giorni del mese	Giorni della settimana	LONGITUDINE DELLA LUNA				LATITUD. DELLA LUNA	Passaggio della Luna per merid.
		a mezzodì.	a mezza notte.	a mezzodì.	a mezza notte.		
1 Mart.	9 24 57 55	10 2 19 28		5 9 5A	5 9 19A		3 52
2 Merc.	10 9 35 33	10 16 45 41		5 4 33	4 55 3		4 31
3 Giov.	10 23 49 33	11 0 47 3		4 41 10	4 20 19		5 25
4 Ven.	11 7 38 13	11 14 23 13		4 1 57	3 37 30		6 14
5 Sab.	11 21 2 22	11 27 36 1		3 10 25	2 41 12		6 59
6 Dom.	0 4 4 35	0 10 28 31		2 10 16	1 38 4		7 41
7 Lun.	0 16 48 15	0 23 4 15		1 5 2	0 31 33		8 23
8 Mart.	0 29 16 55	1 5 26 39		0 2 08	0 35 13B		9 6
9 Merc.	1 11 33 56	1 17 38 47		1 7 45	1 39 16		9 50
10 Giov.	1 23 41 49	2 29 43 14		2 9 28	2 38 1		10 35
11 Ven.	2 5 43 16	2 11 42 9		3 4 40	3 29 8		11 23
12 Sab.	2 17 40 6	2 23 37 18		3 51 13	4 10 41		12 13
13 Dom.	2 29 33 55	3 5 30 9		4 27 22	4 41 6		13 4
14 Lun.	3 11 26 11	3 17 22 11		4 51 45	4 59 15		13 54
15 Mart.	3 23 18 22	3 29 15 0		5 3 30	5 4 28		14 43
16 Merc.	4 5 12 23	4 11 10 46		5 2 7	4 56 28		15 30
17 Giov.	4 17 10 35	4 23 12 13		4 47 31	4 35 20		16 15
18 Ven.	4 29 16 6	5 5 22 44		4 19 58	4 1 31		16 58
19 Sab.	5 11 32 38	5 17 46 19		3 40 6	3 15 50		17 40
20 Dom.	5 24 4 21	6 0 27 18		2 48 55	2 19 33		18 23
21 Lun.	6 6 55 42	6 13 30 7		1 47 58	1 14 30		19 6
22 Mart.	6 20 11 0	6 26 58 45		0 39 28	0 3 19		19 53
23 Merc.	7 3 53 41	7 10 55 57		0 33 30A	1 10 26A		20 45
24 Giov.	7 18 5 30	7 25 22 6		1 46 51	2 22 5		21 42
25 Ven.	8 2 45 18	8 10 14 21		2 55 25	3 26 9		22 44
26 Sab.	8 17 48 21	8 25 26 7		3 53 34	4 17 1		23 50
27 Dom.	9 3 6 18	9 10 47 30		4 35 55	4 49 52	*	*
28 Lun.	9 18 28 11	9 26 6 51		4 58 33	5 1 50		0 59
29 Mart.	10 3 42 8	10 11 12 46		4 59 45	4 52 29		1 3
30 Merc.	10 18 37 42	10 25 56 5		4 40 21	4 23 46		3 1
31 Giov.	11 3 7 20	11 10 11 8		4 3 13	3 39 16		3 53

Giorni del mese	Declinaz. della Luna nel merid.	PARALLASSE equatoriale della Luna		DIAMETRO orizzontale della Luna		Nascere della Luna.	Tra- montare della Luna.
		a mezzodi	a mezza notte.	a mezzodi	a mezza notte.		
1	25 48 A	60 22	60 3	32 57	32 46	11 25M	7 44S
2	21 57	59 41	59 17	32 34	32 21	0 58	9 4
3	16 49	58 53	58 28	32 8	31 54	0 35	10 25
4	10 54	58 3	57 39	31 41	31 27	0 57	11 42
5	4 41	57 15	56 52	31 14	31 2	1 15	* *
6	1 34 B	56 31	56 12	30 51	30 40	1 32	0 55M
7	7 37	55 54	55 37	30 30	30 21	1 49	2 3
8	13 16	55 21	55 8	30 12	30 5	2 7	3 11
9	18 18	54 55	54 43	29 58	29 52	2 26	4 19
10	22 29	54 33	54 24	29 46	29 41	2 50	5 27
11	25 36	54 16	54 10	29 37	29 33	3 20	6 33
12	27 29	54 4	54 0	29 30	29 28	3 57	7 37
13	28 1	53 57	53 55	29 27	29 26	4 42	8 36
14	27 11	53 55	53 56	29 26	29 26	5 35	9 27
15	25 0	53 58	54 2	29 27	29 29	6 35	10 9
16	21 38	54 8	54 16	29 33	29 37	7 38	10 43
17	17 20	54 26	54 38	29 43	29 49	8 42	11 11
18	12 13	54 52	55 8	29 57	30 5	9 50	11 35
19	6 28	55 26	55 46	30 15	30 26	10 58	11 53
20	0 20	56 9	56 33	30 38	30 52	* *	0 10S
21	6 1 A	56 59	57 26	31 6	31 20	0 6M	0 27
22	12 20	57 55	58 24	31 36	31 52	1 15	0 45
23	18 13	58 53	59 22	32 8	32 24	2 30	1 4
24	23 13	59 50	60 15	32 39	32 53	3 51	1 28
25	26 40	60 37	60 56	33 5	33 15	5 14	2 2
26	28 2	61 11	61 21	33 23	33 20	6 37	2 45
27	* *	61 26	61 26	33 32	33 32	7 54	3 44
28	27 3	61 21	61 10	33 29	33 23	8 58	5 2
29	23 51	60 56	60 37	33 15	33 5	9 45	6 27
30	19 2	60 14	59 49	32 53	32 39	10 21	7 50
31	13 11	59 22	58 53	32 24	32 8	10 45	9 12

DICEMBRE 1818.

## POSIZIONE DEI SATELLITI DI GIOVE.

*Oriente*5<sup>h</sup>*Occidente*

1	.4	.3	2.	○	1.	
2   10 3.0	.4	.2		○		
3   10		.4	○	.2	.3	
4			○	.12	4	3.
5		2.	1.	○	3.	.4
6		3.	.2	○	1.	.4
7	3.	.1		○	.2	.4
8   20		.3		○	1.	4.
9   3.0		.2	.1	○		4.
10   10				○	.2	.3
11				○	.1	2
12   40		2.	1.	○	3.	
13		4.	3.	○	.1	
14	4.	3.	.1	○		.2
15	4.	.3		○	1.	20

**SEMDIAMETRO DEL SOLE ,  
TEMPO IMPIEGATO DAL SOLE A PASSARE IL MERIDIANO ,  
E LONGITUDINE DEL NODO DELLA LUNA.**

	Semidiam. del Sole.	Tempo impieg. dal Sole a passare il merid.	Longitudine del nodo della Luna.		Semidiam. del Sole.	Tempo impiegato dal Sole a passare il merid.	Longitudine del nodo della Luna.
<b>Gennajo</b>	1 16 17,8	2 21,7	1 15 ° 6'	<b>Luglio</b>	6 15 45,6	2 16,6	1 ° 5 15'
	7 16 17,6	2 21,0	1 14 46		12 15 45,7	2 16,0	1 4 55
	13 16 17,4	2 20,1	1 14 27		18 15 46,1	2 15,2	1 4 36
	19 16 16,9	2 18,9	1 14 8		24 15 46,6	2 14,2	1 4 17
	25 16 16,3	2 17,7	1 13 49		30 15 47,2	2 13,2	1 3 58
	31 16 15,4	2 16,4	1 13 30				
<b>Fehbrajo</b>	6 16 14,5	2 15,0	1 13 11	<b>Agosto</b>	5 15 48,0	2 19,2	1 3 39
	12 16 13,3	2 13,6	1 12 52		11 15 49,0	2 11,3	1 3 20
	18 16 12,1	2 12,3	1 12 33		17 15 50,1	2 10,3	1 3 1
	24 16 10,8	2 11,2	1 12 14		23 15 51,3	2 9,5	1 2 42
<b>Marto</b>	2 16 9,3	2 10,3	1 11 55	<b>Settembre</b>	29 15 52,6	2 8,8	1 1 23
	8 16 7,8	2 9,5	1 11 36		4 15 54,0	2 8,3	1 2 4
	14 16 6,3	2 9,0	1 11 17		10 15 55,4	2 7,9	1 1 45
	20 16 4,6	2 8,6	1 10 58		16 15 57,0	2 7,8	1 1 26
	26 16 2,9	2 8,5	1 10 39		22 15 58,6	2 7,8	1 1 7
<b>Aprile</b>	1 16 1,2	2 8,6	1 10 20	<b>Ottobre</b>	28 16 0,2	2 8,1	1 0 48
	7 15 59,6	2 8,8	1 10 0		4 16 1,9	2 8,6	1 0 29
	13 15 58,0	2 9,3	1 9 41		10 16 3,5	2 9,3	1 0 9
	19 15 56,4	2 10,0	1 9 22		16 16 5,2	2 10,2	0 29 50
	25 15 54,9	2 10,7	1 9 3		22 16 6,8	2 11,3	0 29 31
<b>Maggio</b>	1 15 53,4	2 11,6	1 8 44	<b>Novembre</b>	28 16 8,4	2 12,5	0 29 12
	7 15 52,1	2 12,6	1 8 25		3 16 9,9	2 13,9	0 28 53
	13 15 50,8	2 13,5	1 8 6		9 16 11,3	2 15,3	0 28 34
	19 15 49,6	2 14,3	1 7 47		15 16 12,6	2 16,7	0 28 15
	25 15 48,6	2 15,4	1 7 28		21 16 13,8	2 18,0	0 27 56
<b>Ciugno</b>	3 15 47,7	2 16,2	1 7 9	<b>Dicembre</b>	27 16 14,8	2 19,3	0 27 37
	6 15 46,9	2 16,8	1 6 50		3 16 15,7	2 20,4	0 27 18
	12 15 46,4	2 17,2	1 6 31		9 16 16,5	2 21,2	0 26 59
	18 15 46,0	2 17,4	1 6 12		15 16 17,2	2 21,8	0 26 40
	24 15 45,7	2 17,4	1 5 53		21 16 17,5	2 22,1	0 26 21
	30 15 45,5	2 17,2	1 5 34		27 16 17,7	2 22,0	0 26 1

## POSIZIONI DI MERCURIO DI SEI IN SEI GIORNI.

	Longitu- dine.	Latitu- dine.	Astens. retta.	Declina- zione.	Nascere.	Passagg. pel mer.	Tramon- tare.
Gennajo	9 27 56	1 46A	20 2	22 20A	20 50	1 16	5 42
	10 5 42	0 53	20 33	19 43	20 40	1 21	5 59
	10 10 4	0 35B	20 49	17 11	20 15	1 11	6 0
	10 8 24	2 24	20 41	15 52	20 33	0 37	5 33
	10 1 31	3 33	20 12	16 23	18 43	23 34	4 35
Febbrajo	9 25 40	3 18	19 48	17 48	18 3	22 48	3 40
	9 24 33	2 18	19 44	18 58	17 43	22 24	3 7
	9 27 25	1 7	19 57	19 36	17 37	22 16	2 53
	10 2 47	0 3	20 20	19 31	17 36	22 15	2 54
	10 9 41	0 51A	20 49	18 40	17 37	22 22	3 3
Marzo	10 17 40	1 32	21 22	17 1	17 40	22 33	3 22
	10 26 26	2 0	21 57	14 36	17 42	22 46	3 46
	11 5 59	2 14	22 34	11 24	17 43	23 1	4 16
	11 16 11	2 11	23 12	7 29	17 43	23 18	4 48
	11 27 11	1 52	23 53	2 50	17 42	23 37	5 27
Aprile	0 8 58	1 15	0 35	2 24B	17 41	23 57	6 8
	0 21 24	0 20	1 20	8 2	17 41	0 17	6 55
	1 3 47	0 46B	2 5	13 31	17 40	0 40	7 43
	1 15 11	1 48	2 49	18 7	17 41	1 2	8 25
	1 24 28	2 29	3 26	21 19	17 39	1 16	8 54
Maggio	2 1 6	2 40	3 53	23 1	17 34	1 21	9 7
	2 4 45	2 13	4 9	23 18	17 25	1 14	9 1
	2 5 20	1 7	4 13	22 19	17 10	0 54	8 34
	2 3 17	0 29A	4 5	20 22	16 48	0 23	7 53
	1 29 58	2 12	3 53	18 1	16 23	23 42	7 6
Giugno	1 27 22	3 29	3 44	16 13	15 58	23 9	6 24
	1 26 56	4 3	3 42	15 34	15 36	22 44	5 56
	1 29 11	3 58	3 51	16 8	15 17	22 30	5 43
	2 3 56	3 21	4 10	17 40	15 6	22 25	5 45
	2 11 1	2 22	4 39	19 46	15 0	22 31	5 59
	2 20 11	1 10	5 18	21 56	15 4	22 46	6 24

## POSIZIONI DI MERCURIO DI SEI IN SEI GIORNI.

		Longitu- dine.	Latitu- dine.	Ascens. retta.	Declina- zione.	Nascere.	Passagg. per mer.	Tramontare.
Luglio	6	3° 1° 19'	0° 1B	6° 6'	23° 29E	15° 20'	23° 11'	6° 56'
	12	3 13 46	1 2	7 0	23 46	15 50	23 42	7 27
	18	3 26 34	1 39	7 56	22 28	16 29	0 7	7 51
	24	4 8 44	1 47	8 47	19 50	17 10	0 34	8 3
	30	4 30 22	1 33	9 33	16 12	17 49	0 57	8 9
Agosto	5	5 0 49	1 2	10 13	12 10	18 23	1 14	8 8
	11	5 10 18	0 18	10 48	8 0	18 53	1 26	8 2
	17	5 18 52	0 33A	11 18	3 55	19 17	1 34	7 52
	23	5 26 23	1 30	11 44	0 3	19 36	1 37	7 39
	29	6 2 36	2 26	12 6	3 16A	19 48	1 37	7 26
Settemb.	4	6 7 3	3 19	12 21	5 51	19 51	1 30	7 8
	10	6 8 57	3 57	12 26	7 12	19 37	1 14	6 47
	16	6 7 13	4 1	12 20	6 33	19 2	0 46	6 22
	22	6 1 47	3 5	12 2	3 33	18 9	0 6	5 54
	28	5 25 48	1 14	11 43	0 32E	17 15	23 22	5 31
Ottobre	4	5 24 18	0 37B	11 40	2 50	16 45	23 0	5 16
	10	5 28 39	1 42	11 58	2 6	16 47	22 58	5 9
	16	6 6 46	2 1	12 28	0 50A	17 9	23 7	5 5
	22	6 16 28	1 49	13 4	4 48	17 38	23 20	5 2
	28	6 26 30	1 19	13 40	9 0	18 10	23 34	4 58
Novemb.	3	7 6 26	0 41	14 17	13 2	18 40	23 47	4 54
	9	7 16 11	0 1A	14 55	16 43	19 10	24 1	4 52
	15	7 25 43	0 38	15 33	19 50	19 38	0 12	4 50
	21	8 5 6	1 14	16 12	22 23	20 4	0 26	4 51
	27	8 14 24	1 45	16 51	24 17	20 29	0 41	4 55
Dicemb.	3	8 23 36	2 7	17 32	25 26	20 49	0 55	5 3
	9	9 2 40	2 18	18 12	25 44	21 3	1 9	5 16
	15	9 11 21	2 12	18 50	25 11	21 11	1 21	5 31
	21	9 18 56	1 38	19 23	23 45	21 8	1 27	5 44
	27	9 23 45	0 29	19 43	21 51	20 49	1 20	5 48

## POSIZIONI DI VENERE DI SEI IN SEI GIORNI.

		Longiu- dine.	Latitu- dine.	Ascens. retta.	Declina- zione.	Nascere.	Passagg. pel mer.	Tramon- tare.
Gennajo	1	8 23 31	0 24B	17 32	22 54A	18 25	22 47	3 8
	7	9 1 3	0 8	18 6	23 19	18 33	22 53	3 12
	13	9 8 35	0 6A	18 37	23 17	18 40	23 0	3 19
	19	9 16 7	0 21	19 10	22 50	18 44	23 7	3 28
	25	9 23 39	0 35	19 43	21 58	18 46	23 14	3 40
Febbrajo	31	10 1 11	0 48	20 14	20 41	18 47	23 21	3 54
	6	10 8 42	0 58	20 46	19 2	18 45	23 28	4 9
	12	10 16 13	1 8	21 16	17 5	18 43	23 35	4 25
	18	10 23 43	1 16	21 46	14 50	18 39	23 41	4 42
	24	11 1 13	1 21	22 15	12 19	18 34	23 47	4 58
Marzo	2	11 8 43	1 25	22 43	9 38	18 28	23 53	5 16
	8	11 16 13	1 26	23 11	6 46	18 22	23 59	5 34
	14	11 23 48	1 25	23 39	3 48	18 15	0 4	5 53
	20	0 1 10	1 22	0 6	0 47	18 9	0 9	6 10
	26	0 8 37	1 16	0 34	2 15B	18 2	0 15	6 28
Aprile	1	0 16 4	1 8	1 1	5 17	17 54	0 20	6 46
	7	0 23 38	0 59	1 28	8 14	17 48	0 25	7 3
	13	1 0 55	0 47	1 56	11 4	17 42	0 31	7 21
	19	1 8 21	0 34	2 25	13 45	17 37	0 38	7 40
	25	1 15 44	0 21	2 54	16 14	17 32	0 44	7 57
Maggio	1	1 23 7	0 6	3 23	18 28	17 28	0 51	8 15
	7	2 0 29	0 9B	3 53	20 25	17 25	0 58	8 32
	13	2 7 58	0 24	4 24	22 2	17 25	1 6	8 48
	19	2 15 12	0 38	4 55	23 17	17 26	1 13	9 1
	25	2 22 32	0 52	5 27	24 8	17 29	1 21	9 14
Giugno	31	2 29 52	1 5	5 59	24 33	17 35	1 29	9 23
	6	3 7 10	1 16	6 32	24 32	17 44	1 37	9 31
	12	3 14 28	1 26	7 4	24 6	17 53	1 44	9 36
	18	3 21 44	1 34	7 35	23 15	18 4	1 50	9 37
	24	3 28 59	1 39	8 6	22 0	18 16	1 56	9 37
	30	4 6 14	1 43	8 36	20 23	18 30	1 1	9 33

## POSIZIONI DI VENERE DI SEI IN SEI GIORNI.

		Longitu- dine.	Latitu- dine.	Ascens. retta.	Declina- zione.	Nascere.	Passagg. pel mer.	Tramont- tare.
Luglio	6	4 13 ° 28'	1 42° 8'	9 6 ° /	18 26° 8'	18 44 ° /	2 6 ° /	9 29 ° /
	12	4 20 40	1 39	9 35	16 12	18 59	2 10	9 22
	18	4 27 50	1 34	10 2 °	13 43	19 14	2 14	9 14
	24	5 4 58	1 25	10 29	11 1	19 30	2 17	9 5
	30	5 12 5	1 12	10 56	8 8	19 46	2 20	8 55
Agosto	5	5 19 11	0 58	11 22	5 10	20 0	2 23	8 46
	11	5 26 14	0 41	11 47	2 8	20 14	2 25	8 36
	17	6 3 14	0 22	12 12	0 57 A	20 29	2 27	8 25
	23	6 10 13	0 0	12 37	4 3	20 45	2 30	8 16
	29	6 17 7	0 24 A	13 2	7 6	21 1	2 33	8 6
Settemb.	4	6 23 59	0 49	13 27	10 4	21 17	2 37	7 57
	10	7 0 46	1 15	13 53	12 55	21 33	2 40	7 49
	16	7 7 29	1 41	14 18	15 36	21 49	2 44	7 41
	22	7 14 6	2 7	14 44	18 6	22 4	2 49	7 34
	28	7 20 37	2 33	15 10	20 23	22 20	2 53	7 28
Ottobre	4	7 27 1	2 58	15 36	22 24	22 34	2 57	7 22
	10	8 3 16	3 20	16 2	24 6	22 47	3 1	7 17
	16	8 9 19	3 40	16 28	25 29	22 58	3 5	7 13
	22	8 15 8	3 56	16 53	26 32	23 7	3 8	7 10
	28	8 20 41	4 8	17 18	27 15	23 12	3 10	7 7
Novemb.	3	8 25 53	4 13	17 42	27 37	23 15	3 10	7 5
	9	9 0 37	4 11	18 3	27 39	23 11	3 7	7 2
	15	9 4 46	4 1	18 21	27 24	23 3	3 1	6 58
	21	9 8 9	3 41	18 36	26 54	22 49	3 51	6 51
	27	9 10 38	3 6	18 47	26 9	22 29	2 35	6 40
Dicemb.	3	9 11 56	2 17	18 53	25 43	22 4	2 16	6 25
	9	9 11 51	2 14	18 52	24 7	21 28	1 49	6 3
	15	9 10 43	0 12 B	18 44	22 52	20 46	1 15	5 36
	21	9 7 25	1 44	18 32	21 32	20 0	0 36	5 4
	27	9 3 41	3 17	18 16	20 8	19 10	2 46	4 28

## POSIZIONI DI MARTE DI SEI IN SEI GIORNI.

		Longitu- dine.	Latitu- dine.	Ascens. retta.	Declina- zione.	Nascere.	Passagg. pel mer.	Tranon- tare.
Gennajo	1	2 9 25	2 54 B	4 29 24 45 B	1 48	9 41	17 35	
	7	2 8 40	2 55	4 26 24 39	1 19	9 13	17 5	
	13	2 8 24	2 54	4 25 24 36	0 51	8 45	16 38	
	19	2 8 36	2 52	4 26 24 36	0 27	8 21	16 14	
	25	2 9 14	2 49	4 28 24 39	0 4	7 58	15 52	
Febbrajo	31	2 10 14	2 46	4 33 24 45	23 41	7 38	15 32	
	6	2 11 34	2 42	4 39 24 53	23 21	7 19	15 15	
	12	2 13 13	2 38	4 46 25 2	23 4	7 3	15 0	
	18	2 15 7	2 33	4 54 25 10	22 49	6 48	14 45	
	24	2 17 4	2 29	5 4 25 19	22 34	6 35	14 33	
Marzo	2	2 19 33	2 24	5 14 25 27	22 21	6 23	14 22	
	8	2 22 1	2 20	5 25 25 33	22 9	6 11	14 10	
	14	2 24 37	2 16	5 36 25 37	21 58	6 0	14 0	
	20	2 27 20	2 12	5 48 25 38	21 49	5 51	13 51	
	26	3 0 10	2 8	6 1 25 36	21 40	5 42	13 42	
Aprile	1	3 3 6	2 4	6 14 25 30	21 32	5 33	13 32	
	7	3 6 8	2 0	6 27 25 19	21 24	5 24	13 22	
	13	3 9 13	1 56	6 41 25 5	21 18	5 16	13 13	
	19	3 12 22	1 53	6 54 24 47	21 11	5 8	13 3	
	25	3 15 35	1 49	7 9 24 22	21 5	4 59	12 52	
Maggio	1	3 18 50	1 45	7 23 23 52	20 59	4 51	12 40	
	7	3 22 8	1 42	7 37 23 18	20 54	4 42	12 29	
	13	3 25 29	1 38	7 51 22 40	20 48	4 32	12 16	
	19	3 28 52	1 35	8 5 21 58	20 42	4 23	12 3	
	25	4 2 18	1 31	8 20 21 9	20 37	4 14	11 49	
Giugno	31	4 5 46	1 27	8 34 20 15	20 32	4 4	11 34	
	6	4 9 15	1 24	8 48 19 19	20 25	3 53	11 19	
	12	4 12 45	1 21	9 2 18 18	20 20	3 42	11 3	
	18	4 16 18	1 17	9 17 17 11	20 15	3 32	10 47	
	24	4 19 53	1 14	9 31 16 2	20 9	3 21	10 31	
	30	4 23 29	1 11	9 45 14 50	20 4	3 10	10 15	

## POSIZIONI DI MARTE DI SEI IN SEI GIORNI.

		Longitu- dine.	Latitu- dine.	Ascens. retta.	Declina- zione.	Nascere.	Passagg. pel mer.	Tramon- tare.
Luglio	6	4 27 6	1 8B	9 59 13 34B	20 0	3 0	9 59	
	12	5 0 45	1 4	10 13 12 13	19 55	2 49	9 42	
	18	5 4 26	1 1	10 27 10 51	19 51	2 39	9 26	
	24	5 8 8	0 58	10 41 9 26	19 46	2 28	9 10	
	30	5 11 51	0 55	10 54 7 59	19 42	2 18	8 53	
Agosto	5	5 15 35	0 52	11 7 6 29	19 39	2 8	8 36	
	11	5 19 22	0 48	11 21 4 57	19 35	1 59	8 22	
	17	5 23 10	0 45	11 36 3 24	19 34	1 51	8 7	
	23	5 27 0	0 42	11 50 1 50	19 32	1 43	7 53	
	29	6 0 52	0 38	12 4 0 15	19 31	1 35	7 38	
Setteimb.	4	6 4 45	0 35	12 18 1 21A	19 29	1 27	7 24	
	10	6 8 39	0 31	12 33 2 58	19 29	1 20	7 10	
	16	6 12 35	0 28	12 47 4 34	19 29	1 13	6 56	
	22	6 16 34	0 25	13 2 6 8	19 28	1 6	6 43	
	28	6 20 34	0 21	13 17 7 43	19 27	0 59	6 30	
Ottobre	4	6 24 35	0 18	13 32 9 15	19 28	0 52	6 17	
	10	6 28 38	0 14	13 47 10 47	19 27	0 46	6 4	
	16	7 2 44	0 10	14 2 12 17	19 27	0 39	5 51	
	22	7 6 51	0 7	14 18 13 43	19 26	0 32	5 38	
	28	7 10 59	0 4	14 34 15 4	19 26	0 26	5 26	
Novemb.	3	7 15 10	0 0	14 51 16 23	19 25	0 19	5 13	
	9	7 19 22	0 3A	15 8 17 38	19 24	0 12	5 0	
	15	7 23 37	0 7	15 25 18 49	19 21	0 4	4 47	
	21	7 27 53	0 11	15 42 19 53	19 19	23 56	4 34	
	27	8 2 11	0 14	16 0 20 50	19 16	23 48	4 21	
Dicemb.	3	8 6 32	0 18	16 18 21 43	19 13	23 40	4 9	
	9	8 10 54	0 22	16 37 22 28	19 10	23 33	3 58	
	15	8 15 17	0 25	16 56 23 4	19 5	23 25	3 48	
	21	8 19 42	0 29	17 15 23 33	19 0	23 18	3 38	
	27	8 24 9	0 32	17 34 23 52	18 55	23 11	3 29	

## POSIZIONI DI CERERE DI SEI IN SEI GIORNI.

		Longitu- dine.	Latitu- dine.	Ascens. retta.	Declina- zione.	Nascere.	Passagg. per mer.	Tramon- tare.
Luglio	6	° ° 7	10 33 <sup>A</sup>	1 37	° °	12 37	18 36	° 37
	12	0 23 28	10 48	1 43	0 56	12 18	18 17	0 18
	18	0 24 40	11 5	1 48	0 46	11 57	17 57	23 56
	24	0 25 45	11 21	1 52	0 38	11 38	17 38	23 37
	30	0 26 41	11 39	1 56	0 35	11 18	17 18	23 17
Agosto	5	0 27 27	11 57	1 59	0 35	10 58	16 58	22 57
	11	0 28 1	12 16	2 1	0 40	10 37	16 37	22 36
	17	0 28 23	12 33	2 3	0 49	10 17	16 16	22 15
	23	0 28 35	12 51	2 4	1 3	9 57	15 55	21 53
	29	0 28 32	13 9	2 4	1 20	9 36	15 33	21 30
Settemb.	4	0 28 17	13 25	2 4	1 40	9 16	15 11	21 6
	10	0 27 48	13 39	2 3	2 4	8 54	14 48	20 41
	16	0 27 6	13 52	2 1	2 30	8 32	14 24	20 15
	22	0 26 11	14 2	1 57	2 59	8 9	13 59	19 48
	28	0 25 6	14 8	1 53	3 27	7 46	13 34	19 21
Ottobre	4	0 23 52	14 9	1 49	3 54	7 22	13 8	18 53
	10	0 22 33	14 5	1 44	4 20	6 57	12 41	18 25
	16	0 21 11	13 57	1 39	4 41	6 31	12 14	17 56
	22	0 19 49	13 42	1 34	4 56	6 4	11 46	17 27
	28	0 18 31	13 24	1 29	5 7	5 37	11 18	16 59
Novemb.	3	0 17 20	13 3	1 24	5 14	5 9	10 50	16 31
	9	0 16 18	12 37	1 19	5 14	4 40	10 21	16 2
	15	0 15 27	12 9	1 16	5 7	4 12	9 53	15 34
	21	0 14 50	11 39	1 13	4 54	3 43	9 25	15 7
	27	0 14 27	11 8	1 10	4 34	3 14	8 57	14 41
Dicemb.	3	0 14 19	10 36	1 9	4 8	2 46	8 31	14 16
	9	0 14 24	10 5	1 9	3 38	2 18	8 5	13 52
	15	0 14 42	9 35	1 9	3 3	1 49	7 39	13 29
	21	0 15 14	9 5	1 10	2 23	1 20	7 13	13 6
	27	0 16 0	8 36	1 12	1 39	0 53	6 48	12 43

## POSIZIONI DI PALLADE DI SEI IN SEI GIORNI.

		Longitu- dine.	Latitu- dine.	Ascens. retta.	Declina- zione.	Nascere.	Passagg. per mer.	Tramon- tare.
Luglio	6	11° 24' 58"	11° 46B	23° 23'	8° 47B	9° 42'	16° 21'	22° 58'
	12	11° 25' 4	11° 34'	23° 23'	8° 38'	9° 19'	15° 57'	22° 34'
	18	11° 24' 58"	11° 18'	23° 24'	8° 21'	8° 57'	15° 33'	22° 9'
	24	11° 24' 39"	11° 0	23° 23'	7° 57'	8° 34'	15° 9'	21° 43'
	30	11° 24' 8	10° 37'	23° 22'	7° 24'	8° 11'	14° 44'	21° 16'
Agosto	5	11° 23' 25"	10° 13'	23° 20'	6° 45'	7° 49'	14° 19'	20° 48'
	11	11° 22' 30"	9° 45'	23° 17'	5° 59'	7° 26'	13° 53'	20° 19'
	17	11° 21' 22"	9° 14'	23° 14'	5° 2'	7° 4'	13° 27'	19° 49'
	23	11° 20' 5	8° 40'	23° 10'	4° 3'	6° 43'	13° 1'	19° 18'
	29	11° 18' 40"	8° 0	23° 6'	2° 53'	6° 21'	12° 35'	18° 47'
Settemb.	4	11° 17' 9	7° 17'	23° 1	1° 37'	6° 0	12° 8	18° 16'
	10	11° 15' 34"	6° 31'	22° 57'	0° 18'	5° 39'	11° 42'	17° 45'
	16	11° 14' 1	5° 43'	22° 52'	1° 2A	5° 18'	11° 16'	17° 14'
	22	11° 12' 30"	4° 53'	22° 48'	2° 22'	4° 57'	10° 51'	16° 42'
	28	11° 11' 6	4° 2'	22° 44'	3° 41'	4° 37'	10° 25'	16° 12'
Ottobre	4	11° 9' 50"	3° 11'	22° 41'	4° 56'	4° 18'	10° 0	15° 42'
	10	11° 8' 44"	2° 21'	22° 38'	6° 7'	3° 59'	9° 35'	15° 12'
	16	11° 7' 49"	1° 32'	22° 36'	7° 14'	3° 39'	9° 11'	14° 44'
	22	11° 7' 9	0° 46'	22° 34'	8° 11'	3° 19'	8° 47'	14° 16'
	28	11° 6' 42"	0° 1	22° 34'	9° 3'	2° 59'	8° 24'	13° 48'
Novemb.	3	11° 6' 28"	0° 42A	22° 34'	9° 48'	2° 39'	8° 1	13° 22'
	9	11° 6' 28"	1° 22'	22° 35'	10° 26'	2° 18'	7° 38'	12° 57'
	15	11° 6' 40"	2° 0	22° 37'	10° 55'	1° 59'	7° 16'	12° 33'
	21	11° 7' 5	2° 35'	22° 39'	11° 19'	1° 37'	6° 53'	12° 8'
	27	11° 7' 41"	3° 8	22° 42'	11° 36'	1° 16'	6° 30'	11° 44'
Dicemb.	3	11° 8' 28"	3° 40'	22° 46'	11° 47'	0° 55'	6° 8	11° 21'
	9	11° 9' 25"	4° 10'	22° 50'	11° 55'	0° 34'	5° 46'	10° 58'
	15	11° 10' 31"	4° 38'	22° 55'	11° 55'	0° 12'	5° 24'	10° 37'
	21	11° 11' 45"	5° 6	23° 0'	11° 52'	23° 47'	5° 3	10° 16'
	27	11° 13' 3	5° 33'	23° 6'	11° 47'	23° 26'	4° 42'	9° 56'

## POSIZIONI DI GIUNONE DI SEI IN SEI GIORNI.

	Longitu-dine.	Latitu-dine.	Ascens.-retta.	Declina-zione.	Nascere.	Passagg.-pel mer.	Transon-tare.
Settembr. 10	4 11 58	8 ° 28'	8 49	9 298	14 53	21 35	4 18
	16 4 14 50	7 58	9 0	8 46	14 46	21 25	4 5
	22 4 17 37	7 54	9 11	8 2	14 38	21 14	3 51
	28 4 20 21	7 51	9 21	7 16	14 31	21 2	3 36
Ottobre	4 4 23 1	7 48	9 31	6 29	14 21	20 50	3 21
	10 4 25 37	7 44	9 41	5 43	14 13	20 38	3 6
	16 4 28 7	7 41	9 51	4 56	14 2	20 25	2 51
	22 5 0 32	7 38	10 0	4 9	13 53	20 12	2 35
	28 5 2 51	7 35	10 8	3 23	13 42	19 58	2 17
Novembre	3 5 5 4	7 31	10 17	2 40	13 29	19 42	1 58
	9 5 7 9	7 27	10 24	1 58	13 16	19 26	1 39
	15 5 9 8	7 24	10 32	1 17	13 1	19 9	1 20
	21 5 10 59	7 20	10 39	0 40	12 46	18 51	0 59
	27 5 12 41	7 16	10 45	0 5	12 30	18 32	0 37
Dicembre	3 5 14 12	7 12	10 51	0 25A	12 12	18 12	0 15
	9 5 15 32	7 7	10 56	0 51	11 52	17 50	23 49
	15 5 16 42	7 1	11 0	1 13	11 31	17 28	23 25
	21 5 17 39	6 55	11 4	1 29	11 9	17 5	23 1
	27 5 18 21	6 49	11 7	1 40	10 46	16 41	22 36

## POSIZIONI DI VESTA DI SEI IN SEI GIORNI.

		Longitu-dine.	Latitu-dine.	Ascens. retta.	Declina-zione.	Nascere.	Passagg. pel mer.	Tramon-tare.
Gennajo	1	6° 14' 59"	6° 59'B	13° 6'	0° 32B	12° 13'	18° 18'	0° 25'
	7	6° 16' 52"	7° 20'	13° 13'	0° 9'	11° 56'	17° 59'	0° 5'
	13	6° 18' 37"	7° 43'	13° 20'	0° 11A	11° 39'	17° 40'	23° 41'
	19	6° 20' 13"	8° 5'	13° 27'	0° 25'	11° 21'	17° 21'	23° 21'
	25	6° 21' 38"	8° 28'	13° 33'	0° 35'	11° 2'	17° 1'	23° 0'
	31	6° 22' 49"	8° 53'	13° 37'	0° 37'	10° 42'	16° 41'	22° 40'
Febbrajo	6	6° 23' 48"	9° 20'	13° 42'	0° 33'	10° 21'	16° 21'	22° 21'
	12	6° 24' 33"	9° 47'	13° 45'	0° 24'	10° 0'	16° 1'	22° 2'
	18	6° 25' 3"	10° 14'	13° 48'	0° 10'	9° 38'	15° 40'	21° 42'
	24	6° 25' 16"	10° 43'	13° 49'	0° 11B	9° 15'	15° 18'	21° 21'
Marzo	2	6° 25' 11"	11° 10'	13° 49'	0° 40'	8° 51'	14° 56'	21° 1'
	8	6° 24' 49"	11° 36'	13° 49'	1° 13'	8° 26'	14° 33'	20° 40'
	14	6° 24' 10"	12° 0'	13° 47'	1° 47'	8° 0'	14° 10'	20° 19'
	20	6° 23' 14"	12° 20'	13° 44'	2° 26'	7° 33'	13° 45'	19° 57'
	26	6° 22' 3"	12° 37'	13° 40'	3° 7'	7° 4'	13° 19'	19° 34'
Aprile	1	6° 20' 41"	12° 48'	13° 35'	3° 47'	6° 35'	12° 52'	19° 9'
	7	6° 19' 13"	12° 53'	13° 30'	4° 22'	6° 5'	12° 25'	18° 45'
	13	6° 17' 42"	12° 52'	13° 25'	4° 54'	5° 36'	11° 58'	18° 20'
	19	6° 16' 13"	12° 44'	13° 19'	5° 20'	5° 6'	11° 30'	17° 54'
	25	6° 14' 52"	12° 30'	13° 14'	5° 40'	4° 38'	11° 3'	17° 28'
Maggio	1	6° 13' 43"	12° 11'	13° 9'	5° 49'	4° 9'	10° 35'	17° 1'
	7	6° 12' 48"	11° 47'	13° 5'	5° 47'	3° 42'	10° 8'	16° 34'
	13	6° 12' 9"	11° 21'	13° 2'	5° 39'	3° 17'	9° 42'	16° 7'
	19	6° 11' 47"	10° 52'	13° 0'	5° 21'	2° 53'	9° 17'	15° 40'
	25	6° 11' 42"	10° 52'	12° 59'	4° 55'	2° 30'	8° 52'	15° 14'
	31	6° 11' 55"	9° 53'	12° 59'	4° 24'	2° 8'	8° 28'	14° 47'
Giugno	6	6° 12' 25"	9° 23'	13° 0'	3° 43'	1° 47'	8° 4'	14° 21'
	12	6° 13' 13"	8° 52'	13° 2'	2° 58'	1° 27'	7° 41'	13° 53'
	18	6° 14' 17"	8° 23'	13° 5'	2° 6'	1° 8'	7° 19'	13° 30'
	24	6° 15' 32"	7° 55'	13° 9'	1° 11'	0° 51'	6° 58'	13° 5'
	30	6° 17' 1"	7° 29'	13° 14'	0° 13'	0° 35'	6° 38'	12° 41'

## POSIZIONI DI GIOVE DI DODICI IN DODICI GIORNI.

	Longitu-dine.	Latitu-dine.	Ascens-retta.	Declina-zione.	Nascere.	Passagg-pel mer.	Tramontare.
Gennajo	8 26 a	0 17B	17 43 23	7A	18 34 b	22 54 b	3 18 b
	8 28 42	0 17	17 54 23 11	17 52	22 13	2 37	
	9 1 17	0 16	18 6 23 11	17 12	21 33	1 57	
Febbrajo	9 3 43	0 15	18 16 23 10	16 33	20 55	1 18	
	9 5 57	0 14	18 26 23 6	15 56	20 18	0 41	
Marzo	9 7 57	0 13	18 35 23 1	15 20	19 41	0 4	
	9 9 41	0 12	18 42 22 55	14 43	19 4	23 24	
	9 11 7	0 12	18 48 22 48	14 5	18 27	22 48	
Aprile	9 12 10	0 11	18 53 22 44	13 25	17 48	22 10	
	9 12 48	0 10	18 56 22 41	12 41	17 6	21 28	
Maggio	9 13 0	0 8	18 56 22 42	11 57	16 22	20 44	
	9 12 44	0 7	18 55 22 44	11 12	15 34	19 57	
	9 12 3	0 6	18 52 22 49	10 22	14 44	19 5	
Giugno	9 10 59	0 4	18 48 22 57	9 29	13 50	18 11	
	9 9 37	0 3	18 42 23 5	8 34	12 54	17 16	
Luglio	9 8 5	0 1	18 35 23 12	7 38	11 58	16 19	
	9 6 34	0 1A	18 29 23 19	6 42	11 2	15 21	
Agosto	9 5 12	0 3	18 23 23 24	5 49	10 8	14 27	
	9 4 8	0 4	18 18 23 28	4 58	9 17	13 36	
	9 3 26	0 6	18 15 23 31	4 10	8 28	12 46	
Settemb.	9 3 10	0 6	18 14 23 32	3 25	7 41	12 2	
	9 3 20	0 8	18 15 23 34	2 42	7 1	11 19	
Ottobre	9 3 57	0 9	18 18 23 33	2 2	6 22	10 39	
	9 5 0	0 10	18 22 23 32	1 23	5 42	9 59	
	9 6 26	0 11	18 28 23 30	0 44	5 4	9 23	
Novemb.	9 8 11	12	18 36 23 25	0 6	4 26	8 46	
	9 10 13	0 13	18 44 23 28	23 25	3 48	8 7	
Dicembre	9 12 30	0 14	18 54 23 7	22 45	3 9	7 29	
	9 14 59	0 15	19 5 22 52	22 3	2 28	6 49	
	9 17 36	0 16	19 17 22 34	21 20	1 47	6 10	
	9 20 19	0 17	19 28 22 13	20 36	1 5	5 31	

## POSIZIONI DI SATURNO DI DODICI IN DODICI GIORNI.

		Longitu- dine.	Latitu- dine.	Ascens. retta.	Declina- zione.	Nascere.	Passag- ger pel mer.	Tramon- tare.
Gennajo	1	11 2 12	1 39 <sup>a</sup>	22 19	12 14 <sup>a</sup>	22 17	3 33	8 44
	13	11 3 23	1 39	22 24	11 49	21 28	2 46	7 59
	25	11 4 40	1 38	22 29	11 30	20 40	1 59	7 14
Febbrajo	6	11 6 3	1 38	22 34	10 49	19 54	1 11	6 32
	18	11 7 29	1 38	21 40	10 17	19 11	0 34	5 53
Marzo	2	11 8 56	1 39	22 45	9 46	18 28	23 51	5 16
	14	11 10 23	1 40	22 50	9 14	17 46	23 11	4 39
	26	11 11 49	1 41	22 55	8 43	17 6	22 33	4 3
Aprile	7	11 13 10	1 42	23 0	8 11	16 25	21 54	3 27
	19	11 14 25	1 44	23 5	7 44	15 44	21 15	2 50
Maggio	1	11 15 31	1 46	23 9	7 21	15 2	20 34	2 10
	13	11 16 28	1 49	23 13	7 2	14 18	19 52	1 29
	25	11 17 15	1 52	23 16	6 46	13 33	19 7	0 45
Giugno	6	11 17 50	1 55	23 18	6 35	12 45	18 20	23 56
	18	11 18 10	1 58	23 20	6 29	11 56	17 32	23 8
	30	11 18 16	2 0	23 20	6 30	11 6	16 42	22 18
Luglio	12	11 18 8	2 4	23 20	6 36	10 18	15 53	21 28
	24	11 17 46	2 7	23 18	6 46	9 29	15 4	20 38
Agosto	5	11 17 12	2 9	23 16	7 2	8 41	14 15	19 48
	17	11 16 26	2 11	23 13	7 22	7 34	13 26	18 58
	29	11 15 34	2 13	23 10	7 45	7 9	12 39	18 9
Settemb.	10	11 14 40	2 13	23 7	8 6	6 23	11 52	17 21
	22	11 13 46	2 13	23 4	8 26	5 38	11 6	16 34
Ottobre	4	11 12 57	2 13	23 1	8 45	4 53	10 20	15 47
	16	11 12 17	2 12	22 58	9 0	4 7	9 33	15 0
	28	11 11 48	2 10	22 56	9 9	3 21	8 46	14 11
Novemb.	9	11 11 33	2 9	22 55	9 13	2 33	7 58	13 22
	21	11 11 33	2 7	22 55	9 11	1 44	7 8	12 32
Dicemb.	3	11 11 48	2 4	22 56	9 3	0 53	6 18	11 43
	15	11 12 18	2 2	22 58	8 50	0 1	5 27	10 53
	27	11 13 2	2 1	23 0	8 32	23 6	4 37	10 4

## POSIZIONI DI URANO DI DODICI IN DODICI GIORNI.

		Longitu- dine.	Latitu- dine.	Ascens. retta.	Declina- zione.	Nascere.	Passagg. per mer.	Tramon- tare.
Gennajo	1	8 17 26	0 3	17 5 22 55	17 51 22 15	2 44		
	13	8 18 5	0 3	17 8 22 59	17 2 21 26	1 55		
	25	8 18 40	0 3	17 11 23 2	16 14 20 38	0 7		
Febbrajo	6	8 19 11	0 3	17 13 23 5	15 28 19 51	0 20		
	18	8 19 36	0 3	17 15 23 7	14 43 19 6	23 31		
Marzo	2	8 19 55	0 3	17 16 23 8	13 59 18 22	22 46		
	14	8 20 6	0 3	17 17 23 9	13 16 17 39	22 3		
	26	8 20 9	0 3	17 17 23 10	12 32 16 55	21 19		
Aprile	7	8 20 4	0 4	17 17 23 10	11 48 16 12	20 35		
	19	8 19 53	0 4	17 16 23 9	11 3 15 27	19 50		
Maggio	1	8 19 35	0 4	17 15 23 7	10 17 14 41	19 4		
	13	8 19 13	0 4	17 13 23 6	9 29 13 53	18 16		
	25	8 18 45	0 4	17 11 23 3	8 39 13 3	17 27		
Giugno	6	8 18 17	0 4	17 9 23 1	7 48 12 12	16 36		
	18	8 17 48	0 4	17 7 22 58	6 56 11 20	15 44		
	30	8 17 20	0 4	17 5 22 56	6 4 10 28	14 53		
Luglio	12	8 16 54	0 5	17 3 22 54	5 13 9 38	14 2		
	24	8 16 34	0 5	17 2 22 52	4 23 8 48	13 13		
Agosto	5	8 16 19	0 5	17 1 22 51	3 34 8 0	12 25		
	17	8 16 10	0 5	17 0 22 50	2 49 7 14	11 39		
	29	8 16 9	0 5	17 0 22 50	2 5 6 30	10 55		
Settemb.	10	8 16 14	0 5	17 0 22 50	1 22 5 47	10 12		
	22	8 16 27	0 5	17 1 22 52	0 39 5 4	9 30		
Ottobre	4	8 16 48	0 5	17 3 22 54	23 54 4 22	8 48		
	16	8 17 15	0 5	17 5 22 56	23 13 3 41	8 5		
	28	8 17 47	0 5	17 7 22 59	22 30 2 57	7 22		
Novembre	9	8 18 24	0 5	17 9 23 3	21 45 2 13	6 37		
	21	8 19 4	0 6	17 12 23 7	20 59 1 27	5 50		
	3	8 19 46	0 6	17 16 23 10	20 12 0 39	5 2		
Dicembre	15	8 20 30	0 6	17 19 23 14	19 22 23 45	4 12		
	27	8 21 14	0 6	17 22 23 17	18 33 22 55	3 21		

TAVOLE PER CALCOLARE LE POSIZIONI APPARENTI  
DI TRENTAQUATTRO STELLE PRINCIPALI.

La pagina 90 comprende le posizioni medie delle trentaquattro stelle coi moti propri corrispondenti (\*), estratte dal nuovo catalogo del celebre astronomo Piazzi. La precessione annua di ciascuna tanto in ascensione retta, quanto in declinazione si trova nelle pagine seguenti calcolata per due epochhe diverse, cioè pel 1800 e pel 1850. Le precessioni per la prima delle due epochhe sono quelle stesse che s'incontrano nel catalogo citato, nel quale l'autore ha ritenuto  $50'',388$  per la precessione annua dei punti equinoziali in longitudine proveniente dall'azione del Sole e della Luna sullo sfereoide terrestre, e  $0'',1814$  pel moto diretto in AR. de' punti sudetti prodotto dall'azione de' pianeti sull'orbita della terra. È però da avvertirsi che si sono corretti due leggieri errori scorsi in quel catalogo sulle precessioni in declinazione di  $\beta$  Toro e di  $\alpha$  Orione.

Per avere i valori dei due moti de' punti equinoziali corrispondenti all'anno 1850 si è aggiunto ad essi il rispettivo aumento in 50 anni, quale risulta dalle formole date dal sommo geometra Laplace nella sua *Meccanica celeste*, e si è trovato pel 1850 la precessione annua lunisolare =  $50'',416$ , e il moto della sezion d'Ariete =  $0'',1845$ .

Colle precessioni in ascens. retta ed in declinaz. calcolate pei due tempi indicati si potranno avere con sufficiente esattezza le posizioni medie per un anno qualunque compreso fra il 1700 ed il 1900. A tal fine si cercherà per mezzo di semplici parti proporzionali la precessione annua che corrisponde al tempo intermedio fra l'epoca per cui si calcola ed il 1800. Applicando alla precessione così trovata il moto proprio della stella, si avrà la variazione annua totale da moltiplicarsi per l'anno dato meno 1800.

A fianco alle precessioni si trovano gli angoli e i logaritmi costanti che servono alla ricerca dell'aberrazione e della nutazione giusta l'ingegnoso metodo immaginato dal chiar. barone di Zach.

---

(\*) Per maggiore uniformità e chiarezza abbiamo indicati i moti propri in declinazione nella stessa regola di segni di cui si fa uso nella precessione, cioè si è messo il segno + quando la declinazione austral o boreale cresce, ed il segno — quando diminuisce.

Col metodo accennato la ricerca dell' aberrazione o della nutazione d' una stella si riduce alle due seguenti operazioni : 1.<sup>mo</sup> si aggiunge la longitudine del Sole o la longitudine del nodo della Luna ad un angolo costante, e si forma l'argomento d' aberrazione o di nutazione ; 2.<sup>do</sup> si aggiunge al logaritmo del seno di questo argomento un logaritmo costante , e si ha il logaritmo dell' aberrazione o della nutazione espresso in secondi di grado. Se l' argomento è minore di 180°, l' aberrazione e la nutazione saranno positive , e viceversa. Con un metodo analogo si può trovare la nutazione solare in ascensione retta ed in declinazione.

Sia  $A$  l' angolo costante per l' aberrazione in ascensione retta ;  
log.  $a$  il logaritmo costante ;

$A'$  l' angolo costante per l' aberrazione in declinazione ;

log.  $a'$  il logaritmo costante ;

$B$  l' angolo costante per la nutazione lunare in ascensione retta ;  
log.  $b$  il logaritmo costante ;

$B'$  l' angolo costante per la nutazione lunare in declinazione ;  
log.  $b'$  il logaritmo costante ;

$C$  l' angolo costante per la nutazione solare in ascensione retta ;  
log.  $c$  il logaritmo costante ;

$C'$  l' angolo costante per la nutazione solare in declinazione ;  
log.  $c'$  il logaritmo costante ,

si avrà

aberr. in AR. =  $a \sin (A + \Theta)$ ; aberr. in decl. =  $a' \sin (A' + \Theta)$ ;  
nut. lun. in AR. =  $b \sin (B + \delta\theta)$ ; nut. lun. in decl. =  $b' \sin (B' + \delta\theta)$ ;  
nut. sol. in AR. =  $c \sin (C + a\Theta)$ ; nut. sol. in decl. =  $c' \sin (C' + a\Theta)$ .

Il signor barone di Zach nella sua *Mensuale corrispondenza*, tomo XX, pag. 301, ha dato i valori delle prime otto costanti per le suddette trentaquattro stelle, quali risultano dalle posizioni medie del 1800. Noi presentiamo qui questi valori calcolati di nuovo colla maggior precisione tanto per l' epoca del 1800, quanto per l' epoca del 1850, acciò per mezzo di una proporzione se ne possa estender l' uso a più d' un secolo prima o dopo dell' epoca attuale.

Le ultime quattro costanti, che si riferiscono alla nutazione solare, sono preparate soltanto pel principio di questo secolo , giacchè , dovendo servire al calcolo d' una quantità che non giunge a due secondi , non fa mestieri tener conto della loro variazione.

**ESEMPIO.** Si cerca l'ascensione retta apparente dell'a del Toro o sia Aldebaran pel di 13 agosto 1783.

Riducendo il giorno dato in decimali di anno, si dovrà calcolare la precessione per l'anno 1783,616.

Alla pag. 91 si trova la precessione annua nel 1800 = + 51",33  
1850 = + 51",43

$$\text{per l'anno } \frac{1783,6 + 1800}{2} = 1791,8 \text{ sarà . . . . .} = + 51,31$$

**moto anquo proprio . . . . . + Q ,04**

moltiplicando questo numero per 1783,616 — 1800 = — 16,384  
si ha la variazione cercata = — 841",32 = — 14' 1",32.

Si troverà in seguito l'aberrazione e la nutazione lunare e solare a questo modo:

$$A = 202^\circ \text{ } 6' \quad B = 183^\circ \text{ } 30' \quad C = 183^\circ$$

pel 1850 201 26 183 25

1 83 4        B        83 3

$$\text{pel } 1783 \quad A = 202 \ 20 \quad B = 183 \ 32 \quad C = 183$$

$$0 = 140 \cdot 30 - 86 = 356 \cdot 8 - 20 = 281$$

$$A + \odot = 342.50 \quad B + \delta = 173.40 \quad C + \circledcirc = 104$$

$$\text{per } 1800 \log. a = 1.3182 \quad \log. b = 1.2666 \quad \log. c = 0.061$$

pel 1850 1,3187 1,267

$$\text{d}t = \frac{1}{\sqrt{1 - \frac{v^2}{c^2}}}, \quad \text{d}x = v \text{d}t, \quad \text{d}y = 0, \quad \text{d}z = 0$$

$$\text{pel } 1783 \log. a \equiv 1,3180 \quad \log. b \equiv 1,3004 \quad \log. c \equiv 0,061$$

$$L \sin(A+60^\circ) = 9,4700 \quad L \sin(B+36^\circ) = 9,0426 \quad L \sin(C+24^\circ) = 9,987$$

Somma 0,7880 0,3090 0,048

$$\text{aberr.} = -6,14 \quad \text{nut. lun.} = +2,04 \quad \text{nut. sol.} = +1,12$$

Ascensione retta media di Aldebaran nel 1800 =  $66^{\circ} 6' 50'',4$

Precessione e moto proprio . . . . . — 14 1,32

Ascensione retta apparente pel 13 agosto 1783 =  $65^{\circ} 52' 46''$ , 10

Effem. 1818.

POSIZIONI MEDIE DI TRENTAQUATTRO STELLE  
PEL 1.<sup>o</sup> GENNAJO DELL' ANNO 1800.

NOME DELLE STELLE.	Gran- dezza.	Ascensione retta			Moto proprio.	Declinazione.	Moto proprio.
		in tempo.	in arco.				
$\gamma$ Pegaso....	2. 3	h 10° 3'	° 44' 15,9"	-0,03	" 14 4 16,6	B -0,09	"
$\alpha$ Ariete....	3	1 56	28 58 54,0	+0,20	22 30 36,5	B -0,20	
$\alpha$ Balena....	2. 3	2 52	42 57 34,3	-0,08	3 17 48,8	B -0,15	
Aldebaran...	1	4 24	66 6 50,4	+0,04	16 5 42,0	B -0,21	
Capra.....	1	5 2	75 29 0,9	+0,12	45 46 37,5	B -0,44	
Rigel.....	1	5 5	76 13 57,4	-0,05	8 26 36,4	A +0,02	
$\beta$ Toro.....	2	5 14	78 24 51,9	-0,03	28 25 25,5	B -0,17	
$\alpha$ Orione ...	1	5 44	86 5 12,5	-0,03	7 21 25,0	B +0,03	
Sirio.....	1	6 36	99 4 59,2	-0,51	16 27 6,2	A +1,14	
Gastore seg..	3	7 22	110 27 13,0	-0,16	32 18 45,0	B -0,10	
Procione....	1. 2	7 29	112 12 21,7	-0,71	5 43 38,5	B -0,98	
Polluce.....	2	7 33	113 15 49,6	-0,72	28 29 46,8	B -0,11	
$\alpha$ Idra.....	2	9 18	139 26 20,2	-0,15	7 47 54,5	A +0,05	
Regolo.....	1	9 58	149 25 33,4	-0,28	12 56 22,0	B -0,01	
$\beta$ Leone ....	2. 3	11 39	174 42 42,0	-0,53	15 41 24,7	B -0,08	
$\beta$ Vergine....	3. 4	11 40	175 4 7,8	+0,76	2 53 30,0	B -0,30	
Spica.....	1	13 15	198 40 6,3	-0,09	10 6 44,0	A +0,03	
Arturo.....	1	14 7	211 38 6,6	-1,17	20 13 48,3	B -1,96	
$\alpha^2$ Libra....	3	14 40	219 57 34,0	-0,20	15 12 4,0	A +0,08	
Gemma.....	2	15 26	231 33 17,7	-0,10	27 23 48,0	B -0,10	
$\alpha$ Serpente .	2. 3	15 34	233 36 22,2	-0,10	7 3 53,7	B +0,05	
Antares....	1	16 17	244 17 32,2	-0,05	25 58 26,0	A +0,10	
$\alpha$ Ercole....	3. 4	17 6	256 22 57,1	-0,11	14 37 47,7	B +0,12	
$\alpha$ Ofinco....	2	17 26	261 24 48,6	+0,09	12 43 3,0	B -0,18	
Vega.....	1	18 30	277 32 29,4	+0,28	38 36 20,8	B +0,25	
$\gamma$ Aquila....	3	19 37	294 11 14,4	+0,06	10 8 11,4	B +0,04	
Al-tair.....	1. 2	19 41	295 15 20,5	+0,51	8 21 5,2	B +0,31	
$\beta$ Aquila....	3. 4	19 45	296 22 18,0	-0,03	5 55 5,2	B -0,54	
$\alpha^2$ Capricorno	3	20 7	301 44 12,6	+0,04	13 9 10,2	A -0,25	
$\alpha$ Cigno....	1	20 35	308 39 12,3	-0,08	44 34 19,8	B +0,00	
$\alpha$ Aquario ..	3	21 55	328 52 36,0	-0,12	1 17 6,1	A +0,05	
Famalut....	1	22 47	341 38 32,1	+0,33	30 40 41,3	A +0,26	
$\alpha$ Pegaso....	2	22 55	343 42 5,4	+0,02	14 7 57,1	B -0,07	
$\alpha$ Andromeda	1	23 58	359 31 6,6	+0,14	27 59 9,0	B -0,21	

NOME DELLE STELLE.	Precessione annua in ascensione		Costanti dell'aberraz. in ascens. retta.		Costanti della nutaz. in ascensione retta		Angolo C e log. c.	
	retta pel		Angolo A e log. a pel		Angolo B e log. b pel			
	1800.	1850.	1800.	1850.	1800.	1850.		
$\gamma$ Pegaso....	46,10	46,19	269° 12'	268° 30'	188° 18'	188° 28'	187° 0,017	
$\alpha$ Ariete....	50,07	50,23	238° 53'	238° 9'	191° 0	191° 2	189° 0,054	
$\alpha$ Balena....	46,83	46,91	224° 34'	223° 55'	181° 23'	181° 27'	181° 0,020	
Aldebaran..	51,33	51,43	202° 6	201° 26'	183° 30'	183° 25'	183° 0,061	
Capra .....	66,00	66,15	193° 22'	192° 31'	185° 59'	185° 37'	185° 0,172	
Rigel.....	43,15	43,19	192° 40'	192° 47'	178° 44'	178° 48'	179° 9,985	
$\beta$ Toro .....	56,68	56,76	190° 39'	189° 56'	182° 57'	182° 45'	182° 0,103	
$\alpha$ Orione ...	48,62	48,66	183° 35'	182° 58'	180° 17'	180° 14'	180° 0,036	
Sirio .....	40,19	40,20	171° 40'	171° 9'	181° 47'	181° 54'	181° 9,954	
Gastore....	57,93	57,85	161° 7	160° 22'	174° 9	173° 56'	175° 0,115	

NOME DELLE STELLE.	Precessione annua in ascens. retta		Angolo A e log. a pel		Angolo B e log. b pel		Angolo C e log. c.
	1800.	1850.	1800.	1850.	1800.	1850.	
Procione ....	47,90	47,88	159 ° 28'	158 ° 51'	178 ° 47'	178 ° 46'	179 ° 0,030
Polluce ....	56,05	55,97	158 ° 28'	157 ° 45'	174 ° 8'	173 ° 58'	175 ° 0,102
$\alpha$ Idra ....	44,25	44,25	133 ° 1'	132 ° 24'	183 ° 37'	183 ° 45'	183
Regolo ....	48,38	48,32	122 ° 47'	122 ° 5'	173 ° 44'	173 ° 48'	175 ° 0,035
$\beta$ Leone ....	46,56	46,51	95 ° 46'	95 ° 4'	170 ° 50'	170 ° 59'	173
$\beta$ Vergine ...	46,13	46,13	95 ° 22'	94 ° 40'	178 ° 19'	178 ° 29'	179 ° 0,014
Spica ....	47,18	47,28	69 ° 47'	69 ° 5'	185 ° 30'	185 ° 37'	184 ° 0,026
Arturo ....	42,16	42,18	56 ° 7'	55 ° 31'	168 ° 42'	168 ° 56'	171 ° 9,981
$\alpha^2$ Libra ....	49,54	49,67	47 ° 35'	46 ° 54'	186 ° 26'	186 ° 27'	185
$\alpha$ Corona ...	37,90	37,92	36 ° 4'	35 ° 33'	167 ° 9'	167 ° 23'	169 ° 0,047
$\alpha$ Serpente ..	44,04	44,09	34 ° 4'	33 ° 28'	177 ° 26'	177 ° 32'	178
Antares ....	54,85	54,98	23 ° 50'	23 ° 6'	185 ° 55'	185 ° 46'	185 ° 0,091

NOME DELLE STELLE.	Precessione annua in asc. retta pel		Angolo A e log. a pel		Angolo B e log. b pel		Angolo C e log. c.	
	1800.	1850.	1800.	1850.	1800.	1850.		
$\alpha$ Ercole....	40,95	40,98	12° 32'	12° 0'	177° 42'	177° 48'	178°	
$\alpha$ Ophioco....	41,56	41,60	1,3189	1,3190	1,1683	1,1684	9,962	
Vega .....	30,16	30,17	353° 5'	352° 41'	185° 19'	185° 37'	184°	
$\gamma$ Aquila ...	42,77	42,77	1,4130	1,4132	1,0377	1,0378	9,830	
Al-tair ....	43,38	43,37	337° 37'	337° 3'	182° 38'	182° 44'	182°	
$\beta$ Aquila....	44,18	44,17	1,3075	1,3074	1,1872	1,1870	9,981	
$\alpha^2$ Capricorno	50,03	49,98	336° 36'	336° 1'	182° 13'	182° 18'	182°	
$\alpha$ Cigno ....	30,60	30,62	1,3048	1,3047	1,1932	1,1930	9,987	
$\alpha$ Aquario ..	46,27	46,25	323° 44'	323° 19'	181° 36'	181° 40'	181°	
Famalut....	49,79	49,64	1,4400	1,4410	1,2009	1,2007	9,995	
$\alpha$ Pegaso....	44,62	44,67	287° 41'	287° 1'	188° 16'	188° 27'	187°	
$\alpha$ Andromeda	45,95	46,09	1,2856	1,2859	1,2096	1,2101	0,002	
			1,3231	1,3242	1,2378	1,2392	194° 0,026	

NOME DELLE STELLE.	Precessione annua in declinazione		Costanti dell'aberraz. in declinazione		Costanti della nutaz. in declinazione	
			Angolo A' e log. a' pel		Angolo B' e log. b' pel	
	1800.	1850.	1800.	1850.	1800.	1850.
$\gamma$ Pegaso....	+ 20,06	+ 20,06	237° 38'	236° 55'	179° 0'	178° 9'
$\alpha$ Ariete....	+ 17,55	+ 17,44	0,9636	0,9635	0,8563	0,8563
			210° 33'	209° 42'	143° 21'	142° 34'
			0,8964	0,8940	0,8938	0,8953
$\alpha$ Balena....	+ 14,68	+ 14,53	263° 22'	262° 59'	128° 38'	128° 0'
Aldebaran...	+ 8,12	+ 7,90	0,8677	0,8648	0,9252	0,9266
			233° 12'	233° 15'	108° 15'	107° 40'
			0,5793	0,5703	0,9680	0,9689
Capra .....	+ 5,03	+ 4,72	116° 36'	114° 58'	100° 55'	100° 12'
Rigel.....	- 4,78	- 4,57	0,9098	0,9081	0,9783	0,9790
			93° 49'	93° 37'	280° 20'	279° 53'
			1,0274	1,0268	0,9789	0,9794
$\beta$ Toro .....	+ 4,03	+ 3,76	140° 57'	138° 17'	98° 41'	98° 5'
$\alpha$ Orione ...	+ 1,37	+ 1,13	0,3968	0,3846	0,9805	0,9810
			268° 12'	268° 30'	92° 55'	92° 25'
			0,7504	0,7497	0,9840	0,9841
Sirio .....	+ 3,17	+ 3,36	86° 0'	85° 44'	263° 13'	262° 48'
Castore.....	- 7,01	- 7,28	1,1128	1,1131	0,9820	0,9817
			33° 20'	31° 35'	74° 29'	73° 51'
			0,6559	0,6623	0,9723	0,9713

NOME DELLE STELLE.	Precessione annua in declinaz. pel		Angolo A' e log. a' pel		Angolo B' e log. b' pel		Angolo C' e log. c'.	
	1800.	1850.	1800.	1850.	1800.	1850.		
Procione....	- 7,58	- 7,80	276 54 0,8031	276 54 0,8062	73 6 0,9701	72 34 0,9693	70 9,686	
Polluce....	- 7,92	- 8,17	15 27 0,5977	13 54 0,6064	72 15 0,9688	71 38 0,9678	68 9,685	
$\alpha$ Idra.....	+ 15,24	+ 15,39	77 46 0,9936	77 22 0,9952	228 59 0,9198	228 22 0,9185	223 9,670	
Regolo.....	- 17,27	- 17,40	304 12 0,8418	303 30 0,8447	38 26 0,8973	37 42 0,8958	33 9,664	
$\beta$ Leone....	- 19,98	- 20,00	306 46 0,9597	306 2 0,9600	7 5 0,8577	6 14 0,8574	6 9,653	
$\beta$ Vergine...	- 19,99	- 20,01	277 16 0,9052	276 34 0,9057	6 37 0,8575	5 44 0,8572	5 9,653	
Spica.....	+ 19,01	+ 18,94	63 58 0,8851	63 14 0,8835	155 35 0,8734	154 47 0,8746	160 9,658	
Arturo.....	- 17,08	- 16,98	298 36 1,0954	298 5 1,0944	320 23 0,8997	319 46 0,9010	326 9,664	
$\alpha^2$ Libra....	+ 15,38	+ 15,23	48 50 0,7912	48 8 0,7869	131 37 0,9185	130 56 0,9200	138 9,670	
$\alpha$ Corona...	- 12,48	- 12,33	292 42 1,1767	292 19 1,1761	300 35 0,9434	300 7 0,9444	306 9,677	
$\alpha$ Serpente..	- 11,91	- 11,74	278 32 0,9980	278 15 0,9966	298 45 0,9474	298 13 0,9485	304 9,678	
Antares....	+ 8,70	+ 8,46	358 48 0,5854	357 28 0,5754	109 43 0,9654	109 6 0,9665	114 9,686	

NOME DELLE STELLE.	Precessione annua in declinaz. pel		Angolo A' e log. a' pel		Angolo B' e log. b' pel		Angolo C' e log. c'.
	1800.	1850.	1800.	1850.	1800.	1850.	
$\alpha$ Ercole....	" 4,72	- " 4,53	275 ° 34'	275 ° 19'	280 ° 13'	279 ° 47'	283 °
$\alpha$ Ophioco....	- 3,00	- 2,80	1,0942	1,0938	0,9790	0,9794	9,689
Vega .....	+ 2,63	+ 2,78	264 ° 40'	264 ° 22'	264 ° 22'	264 ° 3	263
$\gamma$ Aquila....	+ 8,22	+ 8,41	1,2522	1,2523	0,9828	0,9826	9,689
Al-tair .....	+ 8,56	+ 8,76	262 ° 23'	262 ° 8	251 ° 31'	251 ° 2	248
$\beta$ Aquila....	+ 8,91	+ 9,11	1,0210	1,0221	0,9676	0,9667	9,684
$\alpha^2$ Capricorno	- 10,55	- 10,76	119 ° 39'	119 ° 26'	65 ° 17'	64 ° 41'	60
$\alpha$ Cigno ....	+ 12,53	+ 12,65	0,6902	0,6966	0,9558	0,9546	9,681
Aquario ..	- 17,18	- 17,30	240 ° 52'	240 ° 30'	239 ° 14'	238 ° 51'	234
Famalut....	- 19,04	- 19,12	1,2609	1,2612	0,9429	0,9421	9,677
$\alpha$ Pegaso:....	+ 19,26	+ 19,32	92 ° 50'	92 ° 19'	39 ° 3	38 ° 20'	33
$\alpha$ Andromeda	+ 20,06	+ 20,07	0,8953	0,8976	0,8985	0,8971	9,664
			1,0243	1,0252	0,8729	0,8717	9,657

## TAVOLE DELLA RIFRAZIONE

PEL CLIMA DI MILANO.

La tavola I, pag. 99, contiene la rifrazione media in minuti e secondi per l'altezza di 28 pollici parigini del barometro, e per la temperatura di 10 gradi del termometro di Réaumur o sia per 29<sup>poll.</sup>,851 del barometro inglese e gradi 54,5 del termometro di Fahrenheit. Da 60° di distanza dallo zenit in giù si è posto a lato della rifrazione il logaritmo della rifrazione stessa ridotta in secondi.

La rifrazione media  $R$  è calcolata sulla formola

$$R = 1624'' \sin \Theta \{ (1,2824065 - 1,4351870 T^2) \Psi + 0,7175935 T \}$$

nella quale  $\Theta$  è la distanza apparente dallo zenit

$$T = 28 \cos \Theta$$

$$\Psi = e^{rt} / e^{-dt} \text{ preso l'integrale da } t = T \text{ fino a } t = \infty.$$

Nelle distanze dallo zenit non maggiori di 80° si è fatto uso del valore di  $R$  svolto in serie, cioè

$$R = 58'' \tan \Theta \left\{ 1 - 1,7175935 \left( \frac{1}{2T^2} - \frac{a \cdot 3}{4T^4} + \frac{3 \cdot 3 \cdot 5}{8T^6} - \text{ecc.} \right) \right\} \\ - \left( \frac{1 \cdot 3}{4T^4} - \frac{a \cdot 3 \cdot 5}{8T^6} + \frac{3 \cdot 3 \cdot 5 \cdot 7}{16T^8} - \text{ecc.} \right) \right\}$$

La rifrazione per l'altezza di 28<sup>poll.</sup> +  $x^{\text{lin}}$  del barometro parigino e 10 +  $y$  gradi del termometro di Réaumur si avrà moltiplicando  $R$  per  $\left( 1 + \frac{x}{28 \times 12} \right) \frac{1}{1 - 0,0047086 \times y}$

Sia  $1 + \frac{x}{28 \times 12} = 1 + A$ ;  $\frac{1}{1 - 0,0047086 \times y} = 1 + B$ , la rifrazione cercata risulterà =  $R + R(A + B + AB)$ , ed il suo logaritmo =  $\log R + \log(1 + A) + \log(1 + B)$ .

I valori di  $A$ ,  $\log(1 + A)$ ,  $B$ ,  $\log(1 + B)$ , sono dati dalle tavole II e III alla pag. 101.

Nelle vicinanze dell'orizzonte è necessario applicare alla rifrazione così trovata un'altra correzione, la quale si ottiene moltiplicando il numero  $C$  preso nella tavola IV per  $y$ , cioè per grado del termometro sopra 10.

Il numero  $C$  risulta dalla formula

$$- 14'',093 \sin \Theta \{ (1 + 2T^2) \Psi - T \}.$$

Le tavole V, VI e VII danno i valori delle stesse quantità corrispondenti all'altezza del barometro in pollici e decimali di pollice inglese, ed al grado del termometro secondo la scala di Fahreneit. Allorchè si fa uso di questa scala, si dovrà moltiplicare il numero  $C$  dato dalla tavola VII per grado del termometro meno gradi 54,5.

Esempio 1.<sup>mo</sup> Si cerca la rifrazione orizzontale per 28 polli o  $\frac{1}{16}$  di 9 del barometro in misura di Parigi e 0 gradi del termometro di Réaumur.

Dalla tavola I si ha la rifrazione media  $R = 30' 45'',7$ .

Dalla tavola II  $A = + 0,0027$

Dalla tavola III  $B = + 0,0494$

e quindi  $AB = + 0,0001$

$$A + B + AB = + 0,0522$$

$$R(A + B + AB) = \dots \dots \dots + 96'',3$$

L'equazione IV dà  $C = - 12'',49$

Onde  $C(0 - 10) = \dots \dots \dots + 124,9$

$$\text{Somma} = 34.26,9$$

che è la rifrazione cercata.

Esempio 2.<sup>do</sup> Si vuole il logaritmo della rifrazione a  $75^\circ 1' 20''$  di distanza dal vertice per 30 pollici del barometro inglese e 70 del termometro di Fahreneit.

Tav. I log. rifraz. media = 2,3289

V log.  $(1 + A)$  = 0,0022

VI log.  $(1 + B)$  = 9,9861

log. rifraz. vera = 2,3172

al qual logaritmo corrispondono  $207'',6 = 3' 27'',6$ .

## TAVOLA I.

Rifrazioni medie a 28 pollici parigini del barometro  
e + 10° del termometro di Réaumur.

Dist. app. dal zenit.	Rifra- zione	Dist. app. dal zenit.	Rifra- zione	Diff.	Dist. app. dal zenit.	Rifra- zione.	Diff.	Loga- ritmo.	Diff.
1	3,0	31	34,8	"	60	30	I	2,0088	
2	2,9	32	36,2	1,4	61	0	I	2,0176	88
3	3,0	33	37,6	1,4	61	30	I	2,0266	90
4	4,1	34	39,1	1,5	62	0	I	2,0356	90
5	5,1	35	40,6	1,5	62	30	I	2,0447	91
6	6,1	36	42,1	1,5	63	0	I	2,0539	92
				I,5				2,5	
7	7,1	37	43,6	I,6	63	30	I	2,0633	94
8	8,1	38	45,2	I,7	64	0	I	2,0728	95
9	9,2	39	46,9	I,7	64	30	I	2,0824	96
10	10,2	40	48,6	I,7	65	0	I	2,0921	97
11	11,2	41	50,3	I,7	65	30	I	2,1019	98
12	12,3	42	52,1	I,8	66	0	I	2,1120	101
				I,9				3,1	
13	13,4	43	54,0	I,9	66	30	I	2,1221	103
14	14,4	44	55,9	I,9	67	0	I	2,1324	105
15	15,5	45	57,9	I,9	67	30	I	2,1429	107
16	16,6	46	59,9	I,9	68	0	I	2,1536	109
17	17,7	47	62,1	I,9	68	30	I	2,1645	110
18	18,8	48	64,3	I,9	69	0	I	2,1755	
				I,9				3,9	113
19	19,9	49	66,6	I,9	69	30	I	2,1868	115
20	21,1	50	68,9	I,9	70	0	I	2,1983	117
21	22,2	51	71,4	I,9	70	30	I	2,2100	119
22	23,4	52	74,0	I,9	71	0	I	2,2219	123
23	24,6	53	76,7	I,9	71	30	I	2,2342	124
24	25,8	54	79,6	I,9	72	0	I	2,2466	
				I,9				5,2	128
25	27,0	55	82,6	I,9	72	30	I	2,2594	131
26	28,3	56	85,7	I,9	73	0	I	2,2725	134
27	29,5	57	89,0	I,9	73	30	I	2,2859	137
28	30,8	58	92,5	I,9	74	0	I	2,2996	141
29	32,1	59	96,1	I,9	74	30	I	2,3137	145
30	33,4	60	100,0	I,9	75	0	I	2,3282	

## TAVOLA I.

Rifrazioni medie a 28 pollici parigini del barometro  
e + 10° del termometro di Réaumur.

Dist. appar. dal zenit.	Rifra- zione.	Diff.	Loga- ritmo.	Diff.	Dist. app. dal zenit.	Rifra- zione.	Diff.	Loga- ritmo.	Diff.
75 0	3 32,9	5,1	2,3282	102	85 0	9 50,2	16,4	2,7711	119
75 20	3 38,0	5,1	2,3384	101	85 10	10 6,6	2,7830	121	
75 40	3 43,1	5,3	2,3485	103	85 20	10 23,9	17,3	2,7951	125
76 0	3 48,4	5,6	2,3588	105	85 30	10 42,1	18,2	2,8076	127
76 20	3 54,0	5,9	2,3693	107	85 40	11 1,2	19,1	2,8203	131
76 40	3 59,9	6,1	2,3800	110	85 50	11 21,4	20,2	2,8334	133
77 0	4 6,0	6,5	4,3910	112	86 0	11 42,6	21,2	2,8467	137
77 20	4 12,5	6,7	2,4022	115	86 10	12 5,1	22,5	2,8604	140
77 40	4 19,2	7,1	2,4137	117	86 20	12 28,8	23,7	2,8744	143
78 0	4 26,3	7,1	2,4254	120	86 30	12 54,0	25,2	2,8887	143
78 20	4 33,8	7,5	2,4374	123	86 40	13 20,6	26,6	2,9034	147
78 40	4 41,7	7,9	2,4497	127	86 50	13 48,8	28,2	2,9185	151
		8,3					30,0		154
79 0	4 50,0	8,8	2,4624	130	87 0	14 18,8	31,8	2,9339	158
79 20	4 58,8	9,3	2,4754	133	87 10	14 50,6	33,9	2,9497	162
79 40	5 8,1	9,8	2,4887	136	87 20	15 24,5	36,0	2,9659	166
80 0	5 17,9	10,5	2,5023	141	87 30	16 0,5	38,3	2,9825	170
80 20	5 28,4	11,1	2,5164	144	87 40	16 38,8	40,8	2,9995	174
80 40	5 39,5	11,8	2,5308	149	87 50	17 19,6		3,0169	
		11,8					43,5		178
81 0	5 51,3	12,7	2,5457	154	88 0	18 3,1	46,4	3,0347	182
81 20	6 4,0	13,5	2,5611	158	88 10	18 49,5	49,4	3,0529	186
81 40	6 17,5	14,5	2,5769	164	88 20	19 38,9	52,6	3,0715	189
82 0	6 32,0	15,6	2,5933	169	88 30	20 31,5	56,0	3,0904	193
82 20	6 47,6	16,8	2,6102	176	88 40	21 27,5	59,4	3,1097	196
82 40	7 4,4	18,2	2,6278	182	88 50	22 26,9		3,1293	
		18,2					63,0		199
83 0	7 22,6	19,6	2,6460	188	89 0	23 29,9	66,4	3,1492	200
83 20	7 43,2	21,3	2,6648	196	89 10	24 36,3	69,8	3,1692	200
83 40	8 3,5	23,2	2,6844	203	89 20	25 46,1	72,6	3,1892	200
84 0	8 26,7	25,3	2,7047	212	89 30	26 58,7	74,7	3,2092	197
84 20	8 52,0	27,8	2,7259	221	89 40	28 13,4	76,6	3,2289	191
84 40	9 19,8	30,4	2,7480	231	89 50	29 30,0	77,7	3,2480	182
85 0	9 50,2	32,1	2,7711	90 0	30 45,7			3,2662	

TAVOLA II.

TAVOLA III.

TAVOLA IV.

Barom. parigino	Numero A	Logarit. (1+Δ)	Term. reum.	Numero B	Logarit. (1+B)	Dist. ap. dal zenit.	Num. C
pell. lis.			gradi			"	"
26 0	-0,0714	9,9678	-10	+0,1040	0,0429	80 0	-0,05
26 1	-0,0685	9,9692	9	0,0983	0,0407	81 0	-0,07
26 2	-0,0655	9,9706	8	0,0926	0,0385	82 0	-0,10
26 3	-0,0625	9,9720	7	0,0870	0,0362	83 0	-0,14
26 4	-0,0595	9,9733	6	0,0815	0,0340	84 0	-0,21
26 5	-0,0565	9,9747	5	0,0760	0,0318	85 0	-0,33
26 6	-0,0536	9,9761	4	0,0706	0,0296	86 0	-0,55
26 7	-0,0506	9,9775	3	0,0652	0,0274	86 10	-0,60
26 8	-0,0476	9,9788	2	0,0599	0,0253	86 20	-0,66
26 9	-0,0446	9,9802	1	0,0546	0,0231	86 30	-0,73
26 10	-0,0417	9,9815	0	0,0494	0,0209	86 40	-0,81
26 11	-0,0387	9,9829	+ 1	0,0443	0,0188	86 50	-0,90
27 0	-0,0357	9,9842	2	0,0391	0,0167	87 0	-0,99
27 1	-0,0327	9,9855	3	0,0341	0,0145	87 10	-1,10
27 2	-0,0298	9,9869	4	0,0291	0,0124	87 20	-1,23
27 3	-0,0268	9,9882	5	0,0241	0,0103	87 30	-1,39
27 4	-0,0238	9,9895	6	0,0192	0,0083	87 40	-1,57
27 5	-0,0208	9,9909	7	0,0143	0,0062	87 50	-1,77
27 6	-0,0179	9,9922	8	0,0095	0,0041	88 0	-2,00
27 7	-0,0149	9,9935	9	0,0047	0,0020	88 10	-2,27
27 8	-0,0119	9,9948	10	0,0000	0,0000	88 20	-2,59
27 9	-0,0089	9,9961	11	-0,0047	9,9980	88 30	-2,97
27 10	-0,0060	9,9974	12	-0,0093	9,9959	88 40	-3,42
27 11	-0,0030	9,9987	13	-0,0139	9,9939	88 50	-3,95
28 0	-0,0000	0,0000	14	-0,0185	9,9919	89 0	-4,58
28 1	+0,0030	0,0013	15	-0,0230	9,9899	89 10	-5,35
28 2	0,0060	0,0026	16	-0,0275	9,9879	89 20	-6,27
28 3	0,0089	0,0039	17	-0,0319	9,9859	89 30	-7,39
28 4	0,0119	0,0051	18	-0,0363	9,9839	89 40	-8,75
28 5	0,0149	0,0064	19	-0,0406	9,9820	89 50	-10,44
28 6	0,0179	0,0077	20	-0,0450	9,9800	90 0	-12,49
			21	-0,0492	9,9781		
			22	-0,0535	9,9761		
			23	-0,0577	9,9742		
			24	-0,0618	9,9723		
			25	-0,0660	9,9704		
			30	-0,0861	9,9609		

TAVOLA V.

Barom. inglese	Numero A	Logarit. ( $r + \Delta$ )
poll.		
28,0	-0,0620	9,9722
28,1	-0,0587	9,9737
28,2	-0,0553	9,9753
28,3	-0,0519	9,9768
28,4	-0,0486	9,9784
28,5	-0,0453	9,9799
28,6	-0,0419	9,9814
28,7	-0,0386	9,9829
28,8	-0,0352	9,9844
28,9	-0,0319	9,9859
29,0	-0,0285	9,9874
29,1	-0,0252	9,9889
29,2	-0,0218	9,9904
29,3	-0,0185	9,9919
29,4	-0,0151	9,9934
29,5	-0,0118	9,9949
29,6	-0,0084	9,9963
29,7	-0,0050	9,9978
29,8	-0,0017	9,9993
29,9	+0,0017	0,0007
30,0	0,0050	0,0022
30,1	0,0083	0,0036
30,2	0,0116	0,0050
30,3	0,0150	0,0065
30,4	0,0184	0,0079
30,5	0,0217	0,0093
30,6	0,0251	0,0108

TAVOLA VI.

Term. Fahr.	Numero B	Logarit. ( $r + B$ )
gradi		
10	+0,1027	0,0425
12	0,0976	0,0405
14	0,0926	0,0385
16	0,0876	0,0365
18	0,0827	0,0345
20	0,0778	0,0325
22	0,0730	0,0306
24	0,0682	0,0286
26	0,0634	0,0267
28	0,0587	0,0248
30	0,0540	0,0228
32	0,0494	0,0209
34	0,0448	0,0190
36	0,0403	0,0171
38	0,0358	0,0152
40	0,0313	0,0134
42	0,0269	0,0115
44	0,0224	0,0096
46	0,0181	0,0078
48	0,0138	0,0060
50	0,0095	0,0041
52	0,0053	0,0023
54	0,0011	0,0005
56	-0,0031	9,9986
58	-0,0073	9,9968
60	-0,0114	9,9950
62	-0,0155	9,9932
64	-0,0195	9,9914
66	-0,0235	9,9897
68	-0,0275	9,9879
70	-0,0314	9,9861
72	-0,0353	9,9844
74	-0,0392	9,9826
76	-0,0430	9,9809
78	-0,0469	9,9791
80	-0,0507	9,9774
80	-0,0691	9,9688

TAVOLA VII.

Dist. ap. dal zenit.	Numero C
° 0	" 0,02
81 0	-0,03
82 0	-0,04
83 0	-0,06
84 0	-0,09
85 0	-0,15
86 0	-0,24
86 10	-0,27
86 20	-0,29
86 30	-0,32
86 40	-0,36
86 50	-0,40
87 0	-0,44
87 10	-0,49
87 20	-0,55
87 30	-0,62
87 40	-0,70
87 50	-0,79
88 0	-0,88
88 10	-1,01
88 20	-1,16
88 30	-1,32
88 40	-1,52
88 50	-1,76
89 0	-2,04
89 10	-2,38
89 20	-2,78
89 30	-3,28
89 40	-3,89
89 50	-4,14
90 0	-5,55

# SERIE DI OCCULTAZIONI DI STELLE FISSE

DIETRO LA LUNA

PER L' ANNO 1818

## DATA DAGLI ASTRONOMI

DELLE

SCUOLE PIE DI FIRENZE.

Queste occultazioni sono calcolate pel meridiano e per la latitudine di Firenze.

Giorni.	NOMI DELLE STELLE da- occultarsi.	Grandezza.	Catalogo.	Ascen- sione retta.	Declina- zione.	Ora del fenome- no.	Luogo dell'immersio- ne o dell'egresso.
Gennaio	100 λ Vergine....	4	P	212 ° 22'	12 32'	13 33' I	15,5 B
	..... ....	6	L x	220 9	19 22	19 10 I	0,5 A
	3.....	8	L xi	243 3	23 45	17 12 I	16,4 B
	15 37 o Ariete .....	6.7	P	38 41	14 32	6 20 I	14,5 A
	15 .....	7	L viii	39 33	14 45	8 26 I	4,6 A
	16 Toro 126 .....	7	Z	51 4	19 3	7 58 I	4,8 A
	24.....	6.7	L vii	159 13	13 43	11 30 I	0,0
	25.....	7	L viii	172 2	7 17	12 37 E	7,5 A
	29.....	6.7	L x	222 1	16 43	13 46 I	13,6 B
	30 7 L Scorpione...	3	P	237 26	22 6	14 57 E	3,6 A
	30.....	7	L x	237 55	22 10	12 29 I	7,2 B
	31 28 Serpentario ..	6.7	P	253 15	25 26	12 56 E	8,3 A
	31 Serpentario 249 M.	7	P	253 57	26 15	15 3 I	3,7 B
Febbr.	10 110 o Pesci.....	5	P	24 0	8 14	16 2 E	9,8 A
	13 37 Toro .....	5	P	58 32	21 34	16 6 I	6,3 A
	13 39 Toro prec....	6.7	P	58 42	21 31	16 49 E	15,3 A
						14 8 I	14,3 A
						14 17 E	14,3 A
						15 37 I	16,4 B
						15 50 E	14,9 B

Giorni.	NOMI DELLE STELLE da occultarsi.	Grandezza.	Catalogo.	Ascen- sione retta.	Declina- zione.	Ora del fenome- no.	Luogo dell'immer- so dell'egresso.
Febbrajo	13 Toro 100 Caille..	6,7	P	60° 34'	21° 56'	11° 35' I	10,8 B
	13 ..... . . . . .	7,8	L XI	60° 58'	21° 59'	12° 23' I	10,9 B
	14 98 k Toro .....	6	P	72° 48'	24° 46'	10° 30' I	6,9 B
	17 76 L Gemelli....	6	P	113° 18'	26° 13'	8° 52' I	0,8 B
	22 7 B Vergine ....	5,6	P	177° 42'	4° 40'	6° 28' E	9,7 A
	22 ..... . . . . .	7,8	L XIII	191° 43'	3° 52'	10° 10' E	4,4 B
	25 ..... . . . . .	7	L X	219° 39'	16° 34'	14° 0' I	14,5 B
	26 ..... . . . . .	6,7	L X	235° 3'	22° 10'	15° 2' E	0,5 A
	26 ..... . . . . .	7,8	L X	235° 9'	22° 4'	17° 48' I	0,1 B
	27 25 Scorpione....	6	P	248° 59'	25° 11'	18° 50' E	9,4 A
Marzo	27 ..... . . . . .	7	L XIII	248° 56'	25° 11'	14° 14' I	11,3 A
	12 Toro .....	7,8	P	53° 31'	20° 21'	6° 31' I	31,1 B
	15 Cocchiere.....	7	P	91° 47'	27° 16'	4° 28' I	5,7 A
	15 ..... . . . . .	7	L VIII	94° 26'	27° 5'	11° 5' I	7,1 B
	17 ..... . . . . .	7	L IX	122° 6'	24° 46'	12° 25' I	11,3 B
	17 19 λ Cancro....	6	P	122° 28'	24° 35'	11° 14' I	12,9 B
	19 33 Leone.....	7,8	P	150° 16'	16° 36'	13° 21' I	6,4 B
	25 19 o Scorpione..	5,6	P	242° 29'	23° 43'	9° 28' I	1,0 B
	26 Scorpione.....	8	P	244° 47'	24° 44'	10° 12' E	10,5 A
	26 22 i Scorpione...	6	P	244° 50'	24° 42'	13° 47' I	5,2 B
Aprile	28 ..... . . . . .	7,8	L XIII	276° 26'	28° 38'	14° 54' E	6,8 A
	13 4 o a Cancro ...	6,7	P	117° 44'	25° 35'	13° 57' I	2,3 A
	16 Leone 449 Mayer.	7,8	P	154° 49'	15° 16'	5° 46' I	11,3 B
	16 46 i Leone.....	6	P	155° 41'	15° 4'	7° 47' I	7,1 A
	23 29 Scorpione ....	6	P	255° 46'	26° 45'	13° 7' I	7,3 A
	23 Serpentario.....	7	PS	255° 16'	26° 48'	14° 12' E	12,8 A
	23 ..... . . . . .	7	PS	255° 16'	26° 48'	14° 19' I	10,8 A
	23 ..... . . . . .	7	PS	255° 16'	26° 48'	14° 56' E	14,3 A

	Giorni.	NOMI DELLE STELLE da occultarsi.	Grandezza.	Catalogo.	Ascen- sione retta.	Declina- zione.	Ora del fenome- no.	Luogo dell' immers. o dell' egresso.
Aprile	24		7	L XIII	271° 27'	28° 42'	13 56 I 14 23 E 16 5 I 17 8 E	5,3 B 2,8 B 1,4 B 6,9 B
	25	p Sagittario .....	8	P	288 20	28 12	14 25 I 15 25 E	5,7 B 11,7 B
	26		7	L VIII	304 19	26 12	16 13 I 17 13 E	12,8 B 14,7 B
	2		6,7	L VII	17 53	4 30	16 13 I	12,8 B
	10	76 L Gemelli .....	6	P	113 18	26 13	12 18 I	10,6 A
Maggio	12		7	L VIII	138 40	20 34	10 37 I	14,5 B
	16		8	L XIII	187 44	4 59	8 44 I	3,8 B
	16	Vergine 519 May.	7	P	187 35	5 6	8 35 I	13,0 B
	16	Vergine 523 May.	7-8	P	190 13	6 38	14 25 I	3,4 B
	24		6,7	L VIII	314 9	23 52	16 8 I 17 13 E	6,2 B 14,7 B
	11		6,7	L VIII	172 49	6 9	12 6 I	11,6 B
	12		8	L XIII	183 7	1 1	8 28 I	6,8 B
	14		6	L XI	208 43	11 59	10 14 I	4,7 B
	14		7	L VIII	210 30	12 58	14 13 I	9,1 B
	15	Libra .....	8	P	222 35	17 54	10 50 I	2,1 A
	15		7,8	L X	223 21	18 9	11 56 I	10,3 A
Giugno	20	Capricorno 840 M	6,7	P	305 33	25 33	11 4 I 12 4 E	9,1 A 4,6 A
	20	Capricorno .....	7	P	305 23	25 29	11 35 E	13,9 A
	20		7,8	L X	305 27	25 28	11 3 I 11 54 E	14,0 A 10,5 A
	26	110 o Pesci .....	5	P	23 59	8 14	17 20 I 18 45 E	8,4 A 9,6 B
	10	Vergine .....	7	P	191 33	3 31	9 13 I	4,4 A
	10		6	L XIII	191 7	3 14	7 56 I	1,7 A
	10		7,8	L XIII	191 46	3 53	9 46 I	9,0 B
Luglio	11	Vergine .....	8	P	204 6	10 20	10 18 I	15,0 B
	14		7,8	L XIII	247 13	25 41	10 25 I	6,1 B
	15	Sagittario .....	7	P	260 0	27 47	9 21 I	13,1 A
	15		7	L XIII	262 57	27 47	9 11 I	12,1 A
	26	Toro .....	7-8	P	53 31	20 22	13 5 I 14 16 E	3,6 A 8,4 B
	27		7	L XIII	64 54	23 11	11 39 I 12 37 E	9,5 B 9,5 B

Giorni.	NOMI DELLE STELLE da occultarsi.	Grandezza.	Catalogo.	Ascen- sione retta.	Declina- zione.	Ora del fenome- no.	Luogo dell'immes- so dell'egresso.
6		7.8	L XIII	189° 5'	3 50'	10 11 I	11,3 B
6		7	L XIII	189 36	3 42	12 2 I	10,0 A
18		7.8	L X	1° 9	3 31	9 14 I	4,5 A
						10 55 E	11,0 B
18		7	L VIII	1° 19	3 12	10 1 I	12,7 A
						11 0 E	2,8 B
18	Pesci 4 S.	7.8	P	2 10	2 52	11 55 I	3,3 A
						13 8 E	14,7 B
19	77 Pesci dop. prec.	7.8	P	14 8	3 58	13 27 I	15,9 A
						14 7 E	5,4 A
Agosto	Seguente.....	8	P	14 9	3 57	13 22 I	15,6 A
						14 13 E	2,1 A
22	Toro .....	8	P	47 24	18 24	9 1 I	0,4 A
						10 14 E	10,1 B
22		7	L VII	47 21	18 23	8 56 I	0,3 A
						9 41 E	10,7 B
23		7	L XIII	62° 2	23 17	13 42 I	8,9 A
						14 48 E	3,1 B
23		7	L XIII	62° 20	23 10	14 17 I	4,7 B
						15 8 E	13,2 B
23	62 Toro prec. ...	7	P	63 18	23 32	16 59 I	10,2 A
						18 15 E	0,2 A
23	62 Toro seguente.	7	P	63 18	23 52	16 59 I	10,2 A
						18 15 E	0,2 A
Settembre		8	L XIII	25° 29	27 0	8 57 I	3,8 B
		8	L XIII	25° 55	26 50	9 52 I	9,4 A
8	Sagittario .....	5	P	269 11	28 28	10 31 I	12,0 A
						10 23 I	11,9 A
8		5	L VIII	269° 7	28 28	10 23 I	11,9 A
11	Capricor. 873 M..	7.8	P	315 55	22 57	8 47 I	7,9 A
11		7.8	L X	315 7	23 12	7 15 I	8,2 A
21	33 Capricorno...	5.6	P	318 29	21 37	14 39 I	13,3 A
12		7.8	L X	331 56	16 53	13 22 I	15,2 A
18	54 Ariete .....	6.7	P	44 33	18 6	12 30 I	12,6 A
						13 38 E	3,9 B
19		6.7	L XIII	55 17	21 29	9 7 I	11,6 A
						9 55 E	1,6 A
19		7.8	P	55 53	21 24	10 10 I	6,1 B
						10 47 E	14,6 B

Giorni.	NOMI DELLE STELLE da occultarsi.	Grandezza.	Catalogo.	Ascen- sione retta.	Declina- zione.	Ora del fenome- no.	Luogo dell'immers. o dell'espresso.
							Settembre
19	32 Toro .....	6	P	56° 34'	21° 57'	11 37 I 12 42 E	8,0 A 6,0 B
21	Cocchiere.....	6.7	P	81 10	27 32	9 58 I 15 19 I 16 21 E	0,2 A 1,1 B 1,9 A
24	o 2 Cancro.....	7	P	124 29	24 44		
4	.....	7.8	L XIII	249 46	26 25	10 45 I	3,6 B
7	59 b Sagittario ..	5	P	296 28	27 38	8 40 I 13 58 E	7,6 A 14,4 B
11	Aquario prec....	8	P	351 34	8 29	11 59 I	5,0 B
11	Aquario 974 M...	7.8	P	351 33	8 29	8 22 I	4,0 B
12	10 Balena.....	6	P	4 22	1 3	11 21 I	13,8 A
16	.....	7	L XIII	52 29	20 49	13 1 I 6 27 I	2,9 B 8,5 A
17	.....	7	L XIII	62 1	23 17	7 13 E	1,0 B
17	.....	7	L XIII	62 19	23 10	6 56 I 7 35 E	5,1 A 11,6 B
17	62 Toro prec....	7	P	63 16	23 52	8 55 I 9 25 E	14,2 B 8,7 B
17	62 Toro segu....	7	P	63 16	23 52	8 55 I 9 25 E	14,2 A 8,7 A
17	Toro Z 217.....	8	Z	63 10	23 51	8 49 I 9 10 E	14,3 A 9,8 A
17	.....	7.8	L XIII	65 22	24 48	14 3 I 14 17 E	15,2 A 13,7 A
17	.....	7	L IX	67 7	24 50	18 3 I 19 7 E	4,6 B 8,1 B
18	Toro .....	6	P	80 56	26 51	19 46 I 20 13 E	13,3 B 13,3 B
18	Toro .....	8	P	80 17	26 50	18 12 I 18 41 E	12,7 A 13,2 A
21	2 o 1 Cancro.....	6	P	117 31	25 53	11 17 I 11 57 E	3,4 B 2,9 B
5	Capricorno....	8	P	322 56	20 37	10 44 I	1,6 A
5	Capricorno 898 ..	6	P	323 17	20 26	10 33 I	1,2 A
7	95 X 3 Aquario...	5	P	347 25	10 36	5 47 I	3,4 B
7	Aquario 963 M...	8	P	348 37	9 27	10 23 I	9,4 A
8	Pesci 998 M.....	8	P	0 11	3 34	8 46 I	6,4 A
12	Pesci 59 M.....	8	P	23 0	8 9	8 35 I	13,3 B

Giorni.	NOMI DELLE STELLE da occultarsi.	Grandezza.	Catalogo.	Ascen- sione retta.	Declina- zione.	Ora del fenome- no.	Luogo dell'immere- o dell'egresso.
Novembre	10 34 Balena 63 M.	6,7	P	25° 21'	10° 9'	15° 21' I	9,6 A
	15 Cocchiere.....	8	P	86 57	27 32	11 48 I E	0,9 A
	15 Cocchiere.....	7,8	P	87 26	27 33	13 14 I E	4,6 B
	20 33 Leone .....	7,8	P	150 15	16 36	9 57 I I	7,1 B
	22 Vergine.....	7,8	P	176 33	4 8	10 16 E	0,1 B
	22 .....	8	L XIII	176 28	4 13	16 48 I	15,0 A
	25 .....	7,8	L X	215 31	15 33	17 19 E	7,9 A
						16 30 I	15,1 A
Dicembre	4 .....	7	L VIII	344 7	11 25	5 54 I	15,4 A
	4 .....	6,7	L XIII	345 54	10 33	10 38 I	1,9 A
	7 Pesci. App. prec.	7	P	19 45	7 11	7 59 I	14,7 A
	9 Ariete .....	7,8	P	42 35	18 17	6 33 I	7,7 A
	9 Ariete 99 Mayer.	7	P	44 51	18 41	13 13 I	13,0 A
	10 100 Caille .....	7	P	54 51	21 41	6 51 I	13,5 A
	10 .....	6,7	L VIII	55 17	21 29	7 38 I	0,9 B
	10 Toro prec.....	8	P	57 34	22 41	14 0 I	8,0 A
	10 Toro segu.....	8	P	57 34	22 41	14 2 I	8,1 A
	14 76 L Gemelli....	6	P	113 17	26 13	19 27 I	3,4 B
	15 28 v a Cancro...	7	P	124 29	24 41	20 28 E	3,6 A
	16 .....	8	L XIII	133 6	22 14	15 31 I	3,4 A
	19 .....	6,7	L VIII	173 49	6 9	16 36 E	1,9 A
	19 Vergine 484 M...	6	P	173 14	5 45	15 26 I	1,8 A
	19 .....	7,8	L XIII	173 6	5 36	7 26 E	1,7 A
	20 .....	7,8	L XIII	181 57	1 22	17 26 I	6,7 A
	20 .....	7,8	L XIII	182 46	1 2	18 1 E	15,2 A
						18 48 I	3,1 A
						19 32 E	14,6 A
						18 30 I	10,2 B
						19 47 E	8,8 A
						11 27 I	4,8 B
						12 25 E	8,4 A
						13 11 I	0,4 A
						14 2 E	12,4 A

# **APPENDICE ALL'EFFEMERIDI**

**DELL'ANNO MDCCCXVIII.**



---

# RICERCHE

## SULLA CONVERGENZA DELLA SERIE

CHE SERVE

ALLA SOLUZIONE DEL PROBLEMA DI KEPLERO

DI

FRANCESCO CARLINI.

---

Fra le equazioni differenziali , alle quali conduce l'applicazione della meccanica all'astronomia , poche sono quelle che si possano integrare esattamente. Gli astronomi ebbero perciò ricorso alle serie infinite , alle quali può dirsi che si appoggia tutto l'edificio della moderna astronomia.

Nella teoria dei moti della terra e degli altri antichi pianeti le successive approssimazioni disposte secondo le potenze e i prodotti delle eccentricità , delle inclinazioni e delle forze perturbatorie procedono con tale rapidità , che difficilmente nasce il sospetto che la somma dei termini trascurati giunga a formare una quantità considerabile. Ciò nulla ostante a rendere il calcolo delle perturbazioni planetarie più rigoroso gioverebbe indagare

l'indole dei coefficienti numerici che nascono dallo svolgimento , il rapporto che tengono fra di loro , e il limite verso il quale un tale rapporto va convergendo. Si potrebbe allora conoscere , se non il valore assoluto della parte della serie che si trascura , almeno i confini entro i quali può considerarsi come rinchiuso.

2. Questa ricerca diviene più importante e quasi necessaria nella teoria dei quattro nuovi pianeti , e di Pallade singolarmente , per la quale , a motivo della sua grande eccentricità ed inclinazione , e della sua vicinanza alla massa perturbatrice di Giove , le equazioni dipendenti dalle quantità dell' ordine decimo possono appena paragonarsi alle equazioni di primo o secondo ordine dei pianeti antichi.

A queste difficoltà va in parte soggetta la teoria della Luna ; ed è noto che i primi Geometri che la trattarono , avendo trascurate le quantità dopo le seconde dimensioni , dedussero dal calcolo un valore pel moto del perigeo che era appena la metà di quello che si ha dall' osservazione.

Ma quand' anche si potesse esser certi che i termini che vengono dopo un ordine molto elevato non salgano mai ad una somma notabile , le operazioni necessarie per giungere fino a un tal punto sono tanto lunghe e complicate da superare le forze de' più laboriosi calcolatori.

Supponiamo ora che esaminando il modo con cui si compongono i diversi coefficienti si giungesse ad esprimere in generale , sia per integrali definiti , sia in altro modo , il termine ennesimo in funzione del suo indice  $n$  ; questa funzione si potrebbe poi svolgere in una serie procedente secondo le potenze negative di  $n$ . Verrebbei allora a conoscere la convergenza o divergenza dei successivi coefficienti , e si avrebbe il mezzo di ottenerne con minor fatica un valore approssimato , e tanto più vicino

al vero quanto maggiore è l' indice al quale appartengono. Mi pare che questo artificio di calcolo , che è stato con sì felice successo applicato ai problemi delle probabilità , possa riuscire non meno importante nelle sue applicazioni all' astronomia.

3. Ma siccome nelle cose d'analisi rare volte si giunge alla soluzione dei casi più complicati , se non trattando prima i più semplici , ho preso qui ad esaminare , nel caso semplicissimo del moto ellittico d' un solo pianeta intorno al sole , l' andamento della serie che esprime l' equazione del centro per mezzo dei seni dei multipli dell' anomalia media.

4. Sia  $i$  il semiasse maggiore ,  $e$  l'eccentricità,  $f = \sqrt{1-e^2}$   
il semiasse minore ,  $a = \frac{e}{1+f}$ ,  $u$  l' anomalia media ,  $v$   
l' anomalia vera ,  $\theta$  l' anomalia eccentrica ; per determinare  $v$  per mezzo di  $u$  si hanno le due equazioni

$$u = \theta - e \sin \theta , \quad v = 2 Ar. \tan \left\{ \sqrt{\left( \frac{1+e}{1-e} \right)} \tan \frac{1}{2} \theta \right\} .$$

Dalla prima equazione si deduce , col teorema di Lagrange , il valore d' una funzione qualunque di  $\theta$

$$\begin{aligned} F(\theta) &= F(u) + \frac{e}{1} \sin u F'(u) + \frac{e^2}{1 \cdot 2} \frac{d \cdot \sin^2 u F''(u)}{du} \\ &\quad + \frac{e^3}{1 \cdot 2 \cdot 3} \frac{d^2 \cdot \sin^3 u F'''(u)}{du^3} + \text{ecc.} \end{aligned}$$

Preso dunque  $F(\theta) = v = 2 Ar. \tan \left\{ \sqrt{\left( \frac{1+e}{1-e} \right)} \tan \frac{1}{2} \theta \right\}$ , sarà

$$F(u) = 2 Ar. \tan \left\{ \sqrt{\left( \frac{1+e}{1-e} \right)} \tan \frac{1}{2} u \right\} ,$$

$$F(u) = \frac{d.F(u)}{du} = \frac{\sqrt{(1-e^u)}}{1-e \cos u} = \frac{1+ae}{1+2a \cos u + ae},$$

e per serie

$$F(u) = 1 + 2a \cos u + 2a^2 \cos 2u + 2a^3 \cos 3u + 2a^4 \cos 4u + \text{ecc.}$$

$$F(u) = u + \frac{2a}{1} \sin u + \frac{2a^2}{2} \sin 2u + \frac{2a^3}{3} \sin 3u + \frac{2a^4}{4} \sin 4u + \text{ecc.},$$

valori che dovranno sostituirsi nell' espressione:

$$\begin{aligned} v &= F(u) + \frac{e}{1} \sin u F'(u) + \frac{e^2}{1 \cdot 2} \frac{d \cdot \sin^2 u F'(u)}{du} \\ &\quad + \frac{e^3}{1 \cdot 2 \cdot 3} \frac{d^2 \cdot \sin^3 u F'(u)}{du^2} + \text{ecc. (*)} \end{aligned}$$

Sia  $\frac{e^q}{1 \cdot 2 \cdot 3 \cdots 2q} \frac{d^{q-1} \cdot \sin^q u F'(u)}{du^{q-1}}$  uno qualunque dei termini pari di questa serie, cercheremo prima di tutto il coefficiente di  $\cos pu$  nel prodotto di  $\sin^q u$  per  $F'(u)$ . Ora in tale ricerca sono da distinguersi tre casi, il primo quando  $p=0$ , il secondo quando  $p$  eguale o maggiore di  $2q$ , il terzo quando  $p$  maggiore di zero e minore di  $2q$ .

5. Sia in generale

$$\sin^q u = B^{(0)} \cos 0u + B^{(1)} \cos 2u + B^{(2)} \cos 4u + \dots + B^{(q)} \cos 2qu;$$

se, cominciando dal caso secondo, si svolgono nel prodotto di  $\sin^q u$  per  $F'(u)$  i soli coefficienti dei coseni dei multipli di  $u$  eguali o maggiori di  $2q$ , si trova

(\*) Questa formula è quella data dal signor Lagrange nel vol. II, pag. 25 della sua *Mecanica analitica*, seconda edizione; ove però è scorso un errore di stampa, dovendosi prendere  $U = \frac{1}{2E} + \cos u + E \cos 2u + \text{ecc.}$

$$F'(u) \sin^{2q} u = \text{ecc.}$$

$$\begin{aligned}
 &+ \left\{ \begin{array}{l} a^{*q} B^{(0)} + a^{*q-2} B^{(2)} + a^{*q-4} B^{(4)} \dots \dots + a^* B^{(2q)} \\ a^{*q} B^{(0)} + a^{*q+2} B^{(2)} + a^{*q+4} B^{(4)} \dots \dots + a^{4q} B^{(2q)} \end{array} \right\} \cos 2qu \\
 &+ \left\{ \begin{array}{l} a^{*q+1} B^{(0)} + a^{*q-1} B^{(2)} + a^{*q-3} B^{(4)} \dots \dots + a^1 B^{(2q)} \\ a^{*q+1} B^{(0)} + a^{*q+3} B^{(2)} + a^{*q+5} B^{(4)} \dots \dots + a^{4q+1} B^{(2q)} \end{array} \right\} \cos(2q+1)u \\
 &+ \left\{ \begin{array}{l} a^{*q+2} B^{(0)} + a^{*q} B^{(2)} + a^{*q-2} B^{(4)} \dots \dots + a^2 B^{(2q)} \\ a^{*q+2} B^{(0)} + a^{*q+4} B^{(2)} + a^{*q+6} B^{(4)} \dots \dots + a^{4q+2} B^{(2q)} \end{array} \right\} \cos(2q+2)u \\
 &\vdots \text{ecc.}
 \end{aligned}$$

Si faccia per comodo del calcolo  $a = i^{n'-1}$ , indicando con  $i$  la base dei logaritmi iperbolicci, onde si abbiano le note equazioni

$$\begin{aligned}
 a^1 + a^{-1} &= 2\cos n, & a^1 - a^{-1} &= 2\sqrt{-1} \sin n, \\
 a^2 + a^{-2} &= 2\cos 2n, & a^2 - a^{-2} &= 2\sqrt{-1} \sin 2n, \\
 a^3 + a^{-3} &= 2\cos 3n, & a^3 - a^{-3} &= 2\sqrt{-1} \sin 3n, \\
 \text{ecc.} & & \text{ecc.} & \\
 a^4 &= \cos n + \sqrt{-1} \sin n, & a^{-1} &= \cos n - \sqrt{-1} \sin n, \\
 a^6 &= \cos 2n + \sqrt{-1} \sin 2n, & a^{-2} &= \cos 2n - \sqrt{-1} \sin 2n, \\
 a^8 &= \cos 3n + \sqrt{-1} \sin 3n, & a^{-3} &= \cos 3n - \sqrt{-1} \sin 3n, \\
 \text{ecc.} & & \text{ecc.} &
 \end{aligned}$$

i termini trovati si ridurranno ai seguenti :

$$\begin{aligned}
 &F'(u) \sin^{2q} u = \text{ecc.} \\
 &+ 2a^{*q} \{B^{(0)} \cos 0 + B^{(2)} \cos 2n + B^{(4)} \cos 4n \dots + B^{(2q)} \cos 2qn\} \cos 2qu \\
 &+ 2a^{*q+1} \{B^{(0)} \cos 0 + B^{(2)} \cos 2n + B^{(4)} \cos 4n \dots + B^{(2q)} \cos 2qn\} \cos(2q+1)n \\
 &+ 2a^{*q+2} \{B^{(0)} \cos 0 + B^{(2)} \cos 2n + B^{(4)} \cos 4n \dots + B^{(2q)} \cos 2qn\} \cos(2q+2)n \\
 &\vdots \text{ecc.;}
 \end{aligned}$$

o sia, in conseguenza dei valori attribuiti alle lettere  $B^{(0)}, B^{(1)}, B^{(4)}$ , ecc.,

$$\begin{aligned} F'(u) \sin^{2q} u = & \text{ecc.} + 2\alpha^{2q} \sin^{2q} n \cos 2qu + 2\alpha^{2q+1} \sin^{2q} n \cos(2q+1)u \\ & + 2\alpha^{2q+2} \sin^{2q} n \cos(2q+2)u + \text{ecc.} \end{aligned}$$

Chiamando dunque  $C^{(p)}$  il coefficiente di  $\cos pu$  nello svolgimento di  $F'(u) \sin^{2q} u$ , si avrà generalmente  $C^{(p)} = 2\alpha^p \sin^{2q} n$ , purchè  $p$  sia eguale oppur maggiore di  $2q$ .

6. Cerchiamo nello stesso svolgimento il coefficiente  $C^{(0)}$  di  $\cos ou$ , il quale si ha combinando nei due fattori i coseni degli stessi multipli di  $u$ ; questo coefficiente sarà

$$C^{(0)} = \alpha^0 B^{(0)} + \alpha^1 B^{(1)} + \alpha^4 B^{(4)} \dots + \alpha^{2q} B^{(2q)}.$$

Se al luogo di  $B^{(0)}, B^{(1)}, B^{(4)}$ , ecc. si mettono i loro valori, si vede che la serie che risulta rappresenta la seconda metà dello svolgimento del binomio  $\left(\frac{1}{2\alpha} - \frac{\alpha}{2}\right)^{2q}$ , ma non se ne può avere la somma fuorchè per mezzo di un integrale.

Esprimendo le potenze di  $\alpha$  per mezzo di  $n$ , si ottiene

$$C^{(0)} = \left\{ \begin{array}{l} (B^{(0)} \cos 0 + B^{(1)} \cos 2n + B^{(4)} \cos 4n \dots + B^{(2q)} \cos 2qn) \\ + \sqrt{-1} (B^{(0)} \sin 0 + B^{(1)} \sin 2n + B^{(4)} \sin 4n \dots + B^{(2q)} \sin 2qn) \end{array} \right\}$$

o sia  $C^{(0)} = \sin^{2q} n + y \sqrt{-1}$ ,

fatto  $y = B^{(0)} \sin 0 + B^{(1)} \sin 2n + B^{(4)} \sin 4n \dots + B^{(2q)} \sin 2qn$ .

Differenziando  $y$  relativamente ad  $n$ , si ha

$$\frac{dy}{dn} = 2B^{(1)} \cos 2n + 4B^{(4)} \cos 4n + 6B^{(6)} \cos 6n \dots + 2qB^{(2q)} \cos 2qn.$$

Moltiplicando quest'equazione per  $\sin n$ , risulta

$$\sin n \cdot \frac{dy}{dn} = q B^{(q)} \sin (2q+1)n \\ + \left\{ -1 \cdot B^{(s)} \sin n - 2B^{(4)} \sin 3n - 3B^{(6)} \sin 5n - \dots - q B^{(q)} \sin (2q-1)n \right. \\ \left. + 1 \cdot B^{(s)} \sin 3n + 2B^{(4)} \sin 5n + \dots + (q-1) B^{(q-2)} \sin (2q-1)n \right\}$$

e moltiplicando y per  $2q \cos n$

$$2q \cos n \cdot y = q B^{(q)} \sin (2q+1)n \\ + \left\{ q B^{(s)} \sin n + q B^{(4)} \sin 3n + q B^{(6)} \sin 5n - \dots + q B^{(q)} \sin (2q-1)n \right. \\ \left. + q B^{(s)} \sin 3n + q B^{(4)} \sin 5n - \dots + q B^{(q-2)} \sin (2q-1)n \right\}$$

Sottraendo l'una equazione dall'altra si ottiene

$$\sin n \frac{dy}{dn} - 2q y \cos n = \\ \left\{ -(q+1) B^{(s)} \sin n - (q+2) B^{(4)} \sin 3n - \dots - 2q B^{(q)} \sin (2q-1)n \right. \\ \left. - (q-1) B^{(s)} \sin 3n - \dots - 1 B^{(q-2)} \sin (2q-1)n \right\}$$

I termini del secondo membro di questa equazione vanno tutti a zero, eccetto il primo, giacchè fra le quantità  $B^{(s)}$ ,  $B^{(4)}$ ,  $B^{(6)}$ , ecc. sussistono queste relazioni:

$$B^{(4)} = -\frac{q-1}{q+2} B^{(s)}, \quad B^{(6)} = -\frac{q-2}{q+3} B^{(4)}, \quad B^{(8)} = -\frac{q-3}{q+4} B^{(6)}, \text{ ecc. ;}$$

essendo poi  $B^{(s)} = -2 \frac{q}{q+1} B^{(s)}$ , l'equazione si trasmuterà in  
 $\frac{dy}{dn} - 2qy \cot n = 2q B^{(s)}$ .

Facciasi  $P = -2q \cot n$ ,  $Q = 2q B^{(s)}$ , ed avremo  
 $y = i^{-Pdn} \int i^{Pdn} Q dn$ .

Ora essendo  $\int P dn = -2q \int \cot n dn = -2q \log \sin n$ , sarà

$$i^{Pdn} = \frac{1}{\sin^{2q} n}, \text{ e quindi } y = 2q B^{(s)} \sin^{2q} n \int \frac{dn}{\sin^{2q} n};$$

$C^{(o)} = \sin^q n \left( 1 + 2q \sqrt{-1} B^{(o)} \int \frac{dn}{\sin^q n} \right)$ , o semplicemente  
 $C^{(o)} = 2q \sqrt{-1} B^{(o)} \sin^q n \int \frac{dn}{\sin^q n}$ , comprendendo il numero 1  
nella costante che debbe aggiungersi all'integrale, la quale dovrà determinarsi in modo che si abbia  $C^{(o)} = B^{(o)}$   
quando  $a = 0$ .

7. Se  $q$  è un numero considerabile, che è il caso in cui sarebbe cosa troppo lunga il sommare attualmente tutti i termini della serie  $B^{(o)} + a^1 B^{(a)} + \text{ecc.}$ , si può avere per approssimazione l'integrale  $\int \frac{dn}{\sin^q n}$  svolgendolo, col metodo dato dal chiarissimo matematico Laplace (\*), in una serie ordinata secondo le potenze discendenti di  $q$ .

Sia  $\nu$  il valore che deve darsi ad  $n$  dopo l'integrazione, e si faccia  $\sin^{-q} n = \sin^{-q} \nu i^{-t}$ , cosicchè si abbia  $\int \frac{dn}{\sin^q n} = \frac{1}{\sin^q \nu} \int i^{-t} dn$ ; per poter eseguire l'integrazione bisogna esprimere  $dn$  per mezzo  $dt$  moltiplicato per una serie di potenze di  $t$ . Ora essendo  $\sin n = \sin \nu \cdot i^{\frac{t}{q}}$ , sarà

$$\begin{aligned} dn &= \frac{\sin \nu}{2q} i^{\frac{t}{q}} \left( 1 - \sin^q \nu i^{\frac{t}{q}} \right)^{-\frac{1}{q}} dt \\ &= \left\{ 1 + \frac{1}{\cos^2 \nu} \left( i^{-\frac{t}{q}} - 1 \right) \right\}^{-\frac{1}{q}} \frac{\tan \nu}{2q} dt \\ &= \left\{ 1 + \frac{t}{2q \cos^2 \nu} - \left( \frac{1}{4 \cos^2 \nu} - \frac{3}{8 \cos^4 \nu} \right) \frac{t^2}{q^2} + \text{ecc.} \right\} \frac{\tan \nu}{2q} dt. \end{aligned}$$

Si avrà dunque

(\*) Vedi Lacroix, *Traité des différences et des séries*, pag. 462.

$$\int i^{-t} dn = \sin^{q_2} \nu \int \frac{dn}{\sin^{q_2} n} = \frac{\tan \nu}{2q} \left\{ \int t^{i^{-t}} dt + \frac{1}{2q \cos^2 \nu} \int t^{i^{-t}} dt \right. \\ \left. - \frac{1}{q^2} \left( \frac{1}{4 \cos^4 \nu} - \frac{3}{8 \cos^2 \nu} \right) \int t^{i^{-t}} dt + \text{ecc.} \right\}.$$

Ma si ha generalmente  $\int t^m i^{-t} dt$  preso da  $t = \infty$  a  $t = 0$ ,  $= - \int t^m i^{-t} dt$  preso da  $t = 0$  a  $t = \infty$ ,  $= - 1 \cdot 2 \cdot 3 \dots m$ . Prendendo adunque ciascun integrale entro i primi limiti, che corrispondono a quelli di  $\sin n = \infty$  e  $\sin n = \sin \nu$ ,

si avrà  $\sin^{q_2} \nu \int \frac{dn}{\sin^{q_2} n} =$

$$- \frac{\tan \nu}{2q} \left\{ 1 + \frac{1}{2q \cos^2 \nu} - \frac{1}{q^2} \left( \frac{1}{2 \cos^4 \nu} - \frac{3}{4 \cos^2 \nu} \right) + \text{ecc.} \right\};$$

ov' è da osservarsi che essendo  $n$  un angolo immaginario, può avere un seno maggiore dell' unità, ed eguale anche all' infinito, siccome noi abbiamo supposto al primo limite dell' integrale.

Mettendo  $n$  al luogo di  $\nu$ , l' integrale indefinito di  $\frac{dn}{\sin^{q_2} n}$  moltiplicato per  $\sin^{q_2} n$  sarà

$$\sin^{q_2} n \int \frac{dn}{\sin^{q_2} n} = \\ \sin^{q_2} n \cdot c - \frac{\tan n}{2q} \left\{ 1 + \frac{1}{2q \cos^2 n} - \frac{1}{q^2} \left( \frac{1}{2 \cos^4 n} - \frac{3}{4 \cos^2 n} \right) + \text{ecc.} \right\}$$

Sostituendo questo valore in quello di  $C^{(o)}$ , e determinando la costante  $c$  secondo la condizione sopra indicata, si avrà in fine

$$C^{(o)} = \\ - B^{(o)} \sqrt{-1} \tan n \left\{ 1 + \frac{1}{2q \cos^2 n} - \frac{1}{q^2} \left( \frac{1}{2 \cos^4 n} - \frac{3}{4 \cos^2 n} \right) + \text{ecc.} \right\}$$

8. I valori di  $\sin n$ ,  $\cos n$ ,  $\tan n$  possono comodamente esprimersi per mezzo dell'eccentricità  $e$ . Essendo

$$\cos n = \frac{a^i + a^{-i}}{2} \text{ ed } a = \frac{e}{1 + \sqrt{(1 - ee)}}, \text{ si ha}$$

$$\cos n = \frac{ee + 1 + 2\sqrt{(1 - ee)} + 1 - ee}{2e\{1 + \sqrt{(1 - ee)}\}} = \frac{1}{e};$$

$$-\sqrt{-1} \sin n = -\frac{a^i - a^{-i}}{2} = \frac{\sqrt{(1 - ee)}}{e} = \frac{f}{e};$$

$$-\sqrt{-1} \tan n = \sqrt{(1 - ee)} = f = 1 - ea.$$

Fatte le sostituzioni, si avrà

$$C^{(o)} = B^{(o)} \sqrt{(1 - ee)} \left( 1 + \frac{e^2}{q} + \text{ecc.} \right),$$

e quando  $q$  sia un numero grandissimo, potrà ritenersi

$$C^{(o)} = B^{(o)} \sqrt{(1 - ee)}.$$

9. Passiamo finalmente al caso di  $p > 0$  e  $< 2q$ , e sia in primo luogo  $p$  un numero pari =  $2r$ ; riunendo nel prodotto di  $F'(u)$  per  $\sin^{2r} n$  i coefficienti di tutte le combinazioni che danno  $\cos 2ru$ , si avrà

$$C^{(2r)} = \left\{ \begin{array}{l} B^{(o)} a^{2r} + B^{(2)} a^{2r-2} + B^{(4)} a^{2r-4} \dots + B^{(2r)} a^0 \\ B^{(o)} a^{2r} + B^{(2)} a^{2r+2} + B^{(4)} a^{2r+4} \dots + B^{(2r)} a^{4r} \end{array} \right\}$$

$$+ \left\{ \begin{array}{l} B^{(2r+4)} a^4 + B^{(2r+6)} a^6 + B^{(2r+8)} a^8 \dots + B^{(2q)} a^{2q-2r} \\ B^{(2r+4)} a^{4r+4} + B^{(2r+6)} a^{4r+6} + B^{(2r+8)} a^{4r+8} \dots + B^{(2q)} a^{2q+2r} \end{array} \right\}$$

$$\begin{aligned}
 &= \left\{ \begin{array}{l} 2\alpha^r \{ B^{(o)} \cos 0 + B^{(s)} \cos 2n + \dots + B^{(sr)} \cos 2rn \} \\ + (\alpha^{sr} + \alpha^{-sr}) \{ B^{(sr+s)} \cos (2r+2)n + \dots + B^{(sg)} \cos 2qn \} \\ + (\alpha^{sr} + \alpha^{-sr}) \{ B^{(sr+s)} \sin (2r+2)n + \dots + B^{(sg)} \sin 2qn \} \sqrt{-1} \end{array} \right\} \\
 &= \left\{ \begin{array}{l} 2\cos 2rn \{ B^{(o)} \cos 0 + B^{(s)} \cos 2n + \dots + B^{(sr)} \cos 2qn \} \\ + 2\sqrt{-1} \sin 2rn \{ B^{(o)} \cos 0 + B^{(s)} \cos 2n + \dots + B^{(sr)} \cos 2rn \} \\ + 2\sqrt{-1} \cos 2rn \{ B^{(sr+s)} \sin (2r+2)n + \dots + B^{(sg)} \sin 2qn \} \end{array} \right\}
 \end{aligned}$$

• finalmente

$$C^{(sr)} = 2\cos 2rn \cdot \sin^{sg} n + 2\sqrt{-1} y \sin 2rn + 2\sqrt{-1} y' \cos 2rn,$$

posto

$$y = B^{(o)} \cos 0 + B^{(s)} \cos 2n + B^{(4)} \cos 4n + \dots + B^{(sr)} \cos 2rn$$

$$y' = B^{(sr+s)} \sin (2r+2)n + B^{(sr+4)} \sin (2r+4)n + \dots + B^{(sg)} \sin 2qn.$$

10. Moltiplicando il valore di  $\frac{dy}{dn}$  per  $\sin n$ , si trova

$$\frac{dy}{dn} \sin n = rB^{(sr)} \cos (2r+1)n$$

$$\begin{aligned}
 &+ \left\{ \begin{array}{l} -1 \cdot B^{(s)} \cos n - 2B^{(4)} \cos 3n - 3B^{(6)} \cos 5n - \dots - rB^{(sr)} \cos (2r-1)n \\ + 1 \cdot B^{(s)} \cos 3n + 2B^{(4)} \cos 5n + \dots + (r-1)B^{(sr-s)} \cos (2r-1)n \end{array} \right\}
 \end{aligned}$$

e moltiplicando  $y$  per  $2q \cos n$

$$2q y \cos n = q B^{(sr)} \cos (2r+1)n$$

$$\begin{aligned}
 &+ \left\{ \begin{array}{l} + q B^{(s)} \cos n + q B^{(4)} \cos 3n + q B^{(6)} \cos 5n + \dots + q B^{(sr)} \cos (2r-1)n \\ + 2q B^{(o)} \cos n + q B^{(s)} \cos 3n + q B^{(4)} \cos 5n + \dots + q B^{(sr-s)} \cos (2r-1)n \end{array} \right\}
 \end{aligned}$$

La differenza fra queste due equazioni, omettendo i termini che si elidono, è

$$\frac{dy}{dn} \sin n - 2q y \cos n = -(q - r) B^{(sr)} \cos(2r + 1)n,$$

e quindi si deduce

$$y = -(q - r) B^{(sr)} \sin^{2q} n \int \frac{\cos(2r + 1)n}{\sin^{2r+1} n} dn.$$

11. Allo stesso modo si troverà che  $y'$  dipende dall' equazione

$$\begin{aligned} \frac{dy'}{dn} \sin n - 2q y' \cos n &= -(q + r + 1) B^{(sr+1)} \sin(2r + 1)n \\ &= (q - r) B^{(sr)} \sin(2r + 1)n, \end{aligned}$$

la quale integrata dà

$$y' = (q - r) B^{(sr)} \sin^{2q} n \int \frac{\sin(2r + 1)n}{\sin^{2r+1} n} dn.$$

Sarà dunque

$$\begin{aligned} C^{(sr)} &= 2 \sin^{2q} n \cos 2rn \\ &+ 2 \sin^{2q} n \sqrt{-1} (q - r) B^{(sr)} \cos 2rn \cdot \int \frac{\sin(2r + 1)n}{\sin^{2r+1} n} dn \\ &- 2 \sin^{2q} n \sqrt{-1} (q - r) B^{(sr)} \sin 2rn \cdot \int \frac{\cos(2r + 1)n}{\sin^{2r+1} n} dn, \\ &= \left\{ \begin{array}{l} + 2(q - r) \sqrt{-1} B^{(sr)} \sin^{2q} n \cdot \cos 2rn \cdot \int \frac{\sin(2r + 1)n}{\sin^{2r+1} n} dn \\ - 2(q - r) \sqrt{-1} B^{(sr)} \sin^{2q} n \cdot \sin 2rn \cdot \int \frac{\cos(2r + 1)n}{\sin^{2r+1} n} dn \end{array} \right\}, \end{aligned}$$

supponendo cambiata la costante contenuta nel primo integrale.

Mettiamo nell'espressione ottenuta in luogo di

$$2 \cos 2rn, \quad 2 \cos(2r + 1)n, \quad 2\sqrt{-1} \sin 2rn, \quad 2\sqrt{-1} \sin(2r + 1)n$$

i loro valori

$$\alpha^{sr} + \alpha^{-sr}, \quad \alpha^{sr+1} + \alpha^{-sr-1}, \quad \alpha^r - \alpha^{-sr}, \quad \alpha^{sr+1} - \alpha^{-sr-1},$$

ed avremo

$$\begin{aligned} C^{(sr)} &= \frac{q-r}{2} B^{(sr)} \sin^{sq} n (\alpha^{sr} + \alpha^{-sr}) \int \frac{\alpha^{sr+1} - \alpha^{-sr-1}}{\sin^{sq+1} n} dn \\ &\quad - \frac{q-r}{2} B^{(sr)} \sin^{sq} n (\alpha^r - \alpha^{-sr}) \int \frac{\alpha^{sr+1} + \alpha^{-sr-1}}{\sin^{sq+1} n} dn \\ &= (q-r) B^{(sr)} \sin^{sq} n \left\{ \alpha^{-sr} \int \frac{\alpha^{sr+1}}{\sin^{sq+1} n} dn - \alpha^r \int \frac{\alpha^{-sr-1}}{\sin^{sq+1} n} dn \right\}. \end{aligned}$$

12. Posti  $q$  ed  $r$  due numeri grandissimi, risolveremo il valor trovato in una serie discendente rispetto alle loro potenze, servendoci del metodo indicato al § 7. Ma siccome lo svolgimento di  $dn$  secondo le potenze di  $t$  riesce nel caso presente alquanto complicato, gioverà far uso della formola generale riferita dal signor Lacroix nel luogo citato, la quale può ridursi alla seguente :

$$\int \psi dn = c - \left( V + V \frac{dV}{dn} + V \frac{d.V dV}{dn^2} + V \frac{d.V d.V dV}{dn^3} + \text{ecc.} \right) \psi,$$

posto  $V = - \frac{I}{\frac{d \log \psi}{dn}}$ .

Sia in primo luogo  $\psi = \frac{\alpha^{sr+1}}{\sin^{sq+1} n}$ , sarà

$$\begin{aligned} \log \psi &= (2r+1) l \alpha - (2q+1) l \sin n \\ &= (2r+1) n \sqrt{-1} - (2q+1) l \sin n, \end{aligned}$$

e quindi

$$V = \frac{1}{(2q+1) \cot n - (2r+1)\sqrt{-1}};$$

$$\frac{VdV}{dn} = \frac{2q+1}{\sin^2 n} \frac{1}{\{(2q+1) \cot n - (2r+1)\sqrt{-1}\}^3}, \text{ ecc.}$$

Sarà dunque

$$\begin{aligned} \sin^{2q} n \cdot \alpha^{-r} \int \frac{\alpha^{2r+1}}{\sin^{2r+1} n} dn &= \sin^{2q} n \alpha^{-r} c - \frac{\alpha^{2r+1}}{\sin n} \times \\ &\left\{ \frac{1}{(2q+1) \cot n - (2r+1)\sqrt{-1}} + \frac{2q+1}{\sin^2 n} \frac{1}{\{(2q+1) \cot n - (2r+1)\sqrt{-1}\}^3} + \text{ecc.} \right\} \end{aligned}$$

Con un processo analogo si trova

$$\begin{aligned} \sin^{2q} n \cdot \alpha^{+r} \int \frac{\alpha^{-2r-1}}{\sin^{-2r-1} n} dn &= \sin^{2q} n \alpha^{+r} c' - \frac{\alpha^{-1}}{\sin n} \times \\ &\left\{ \frac{1}{(2q+1) \cot n + (2r+1)\sqrt{-1}} + \frac{2q+1}{\sin^2 n} \frac{1}{\{(2q+1) \cot n + (2r+1)\sqrt{-1}\}^3} + \text{ecc.} \right\} \end{aligned}$$

Moltiplicando la differenza fra queste due funzioni per  $(q-r)B^{(sr)}$ , mettendo  $2\sqrt{-1} \sin n$  in luogo di  $\alpha^i - \alpha^{-i}$ ,  $2\cos n$  al luogo di  $\alpha^i + \alpha^{-i}$ , e trascurando i termini ulteriori, si troverà

$$\begin{aligned} C^{(sr)} &= (q-r)B^{(sr)} \sin^{2q} n (c \alpha^{-sr} - c' \alpha^{+sr}) \\ &- \frac{4B^{(sr)}(q-r)(q+r+1)\sqrt{-1}}{(2q+1)^2 \cot n + (2r+1)^2 \tan n} + \text{ecc.} \end{aligned}$$

13. Per determinare le costanti, si osservi che posto  $\alpha = 0$ , si deve avere  $C^{(sr)} = B^{(sr)}$ ; ora in questo caso il secondo termine della serie trovata diviene appunto

$$= \frac{-4(q-r)(q+r+1)\sqrt{-1}}{-(2q+1)^2 \sqrt{-1} + (2r+1)^2 \sqrt{-1}} B^{(sr)} = B^{(sr)},$$

e tutti i termini seguenti svaniscono; si avrà dunque  $\sin^n \alpha^{-n} c - \sin^n \alpha^+ c' = 0$ , ed anche separatamente  $c = 0$ ,  $c' = 0$ , giacchè nell' equazione precedente, supposto  $\alpha = 0$ , queste due costanti risultano moltiplicate per quantità infinite d' ordine differente.

Si trova in conseguenza di ciò

$$C^{(s)} = \frac{-4B^{(s)}(q-r)(q+r+1)\sqrt{-1}}{(2q+1)^2 \cot n + (2r+1)^2 \tan n} + \text{ecc.}$$

14. Per applicare questa formola a un qualche caso, supponiamo che si voglia il coefficiente di  $\cos 80u$  nel prodotto di  $1 + 2\frac{2}{3}\cos u + 2\frac{4}{9}\cos 2u + 2\frac{8}{27}\cos 3u + \text{ecc.}$

per  $(\sin u)^{100}$ , si avrà qui  $\alpha = \frac{2}{3}$ ,  $r = 40$ ,  $q = 50$ ,

$$2\cos n = \frac{2}{e} = \alpha + \frac{1}{\alpha} = \frac{13}{6}, \quad 2\sqrt{-1}\sin n = -\frac{5}{6},$$

$$\sqrt{-1}\tan n = -\frac{5}{13}, \quad \frac{\cot n}{\sqrt{-1}} = -\frac{13}{5},$$

$$\text{e perciò } C^{(80)} = \frac{4B^{(80)} \cdot 10 \cdot 91}{101^2 \cdot \frac{13}{5} - 81^2 \cdot \frac{5}{13}} + \text{ecc.};$$

$$\text{ed essendo } B^{(80)} = \frac{100.99.98.....91}{2^{99} \cdot 2 \cdot 3 ..... 10},$$

$$\text{sarà prossimamente } C^{(80)} = \frac{4.5.10.13.91.91.92.93.....100}{1559944.2^{99}.1.2.3 ..... 10}.$$

15. Se  $p$  è un numero impari  $= 2r+1$ , il valore di  $C^{(p)}$  sarà

$$C^{(2r+1)} = \left\{ \begin{array}{l} B^{(0)} a^{2r+1} + B^{(1)} a^{2r-1} + B^{(2)} a^{2r-3} \dots \dots + B^{(sr)} a \\ B^{(0)} a^{2r+1} + B^{(1)} a^{2r+3} + B^{(2)} a^{2r+5} \dots \dots + B^{(sr)} a^{4r+1} \end{array} \right\}$$

$$+ \left\{ \begin{array}{l} B^{(sr+1)} a^1 + B^{(sr+3)} a^3 + B^{(sr+5)} a^5 \dots \dots + B^{(sq)} a^{sq-2r-1} \\ B^{(sr+1)} a^{4r+3} + B^{(sr+3)} a^{4r+5} + B^{(sr+5)} a^{4r+7} \dots + B^{(sq)} a^{sq+2r+1} \end{array} \right\}$$

o sia, ritenuti i valori dati ad  $y$  ed  $y'$  nel § 9,

$$C^{(2r+1)} = 2 \cos(2r+1)n \sin^{sq} n + 2\sqrt{-1} \sin(2r+1)n.y + 2\sqrt{-1} \cos(2r+1)n.y',$$

onde si cava

$$\begin{aligned} C^{(2r+1)} &= + 2(q-r) B^{(sr)} \sin^{sq} n \cdot \cos(2r+1)n \int \frac{\sin(2r+1)n}{\sin^{sq+1} n} dn \\ &\quad - 2(q-r) B^{(sr)} \sin^{sq} n \cdot \sin(2r+1)n \int \frac{\cos(2r+1)n}{\sin^{sq+1} n} dn \\ &= (q-r) B^{(sr)} \sin^{sq} n \left\{ a^{-2r-1} \int \frac{a^{2r+1}}{\sin^{sq+1} n} dn - a^{2r+1} \int \frac{a^{-2r-1}}{\sin^{sq+1} n} dn \right\}. \end{aligned}$$

16. Fra le quantità  $C^{(0)}$ ,  $C^{(1)}$ ,  $C^{(s)}$  si può anche stabilire una scala di relazione; in fatti avendo noi supposto

$$\begin{aligned} \sin^{sq} u &= B^{(0)} \cos u + B^{(1)} \cos 2u + B^{(2)} \cos 4u \dots \dots + B^{(sq)} \cos 2qu \\ \sin^{sq} u \cdot F'(u) &= C^{(0)} \cos u + C^{(1)} \cos 2u + C^{(2)} \cos 4u + \text{ecc.}, \end{aligned}$$

ed essendo

$$F'(u) = \frac{1 - aa}{1 - 2a \cos u + aa} = \frac{-\sqrt{-1} \sin u}{\cos u - \cos u},$$

se si moltiplica da una parte per  $-\sqrt{-1} \sin u$ , e dall'altra per  $\cos u - \cos u$ , e si paragonano fra di loro i coefficienti

dei coseni degli stessi multipli di  $u$ , si hanno le seguenti equazioni:

$$0 = C^{(0)} \cos n - \frac{1}{2} C^{(1)} + \sin n \sqrt{-1} B^{(0)},$$

$$0 = C^{(1)} \cos n - \frac{1}{2} C^{(2)} - \frac{2}{2} C^{(0)}$$

$$0 = C^{(2)} \cos n - \frac{1}{2} C^{(3)} - \frac{1}{2} C^{(1)} + \sin n \sqrt{-1} B^{(2)}$$

.....

$$0 = C^{(2q-1)} \cos n - \frac{1}{2} C^{(2q)} - \frac{1}{2} C^{(2q-2)}$$

$$0 = C^{(2q)} \cos n - \frac{1}{2} C^{(2q+1)} - \frac{1}{2} C^{(2q-1)} + \sin n \sqrt{-1} B^{(2q)}$$

ecc.

col mezzo delle quali si potrà determinare  $C^{(1)}$ ,  $C^{(2)}$ , ecc. o discendendo da  $C^{(2q+1)}$ ,  $C^{(2q)}$ , o risalendo da  $C^{(0)}$ .

17. Consideriamo ora la potenza dispari  $2q+1$  di  $\sin u$ , e facciamo il prodotto di

$$\sin^{2q+1} u = B^{(1)} \sin u + B^{(3)} \sin 3u + B^{(5)} \sin 5u + \dots + B^{(2q+1)} \sin (2q+1)u$$

per  $F'(u)$ ; chiamando  $D^{(1)}$ ,  $D^{(2)}$ ,  $D^{(3)}$ , ecc. i coefficienti di  $\sin u$ ,  $\sin 2u$ ,  $\sin 3u$ , ecc. nel prodotto, avremo generalmente

$$D^{(p)} = B^{(1)} a^{p-1} + B^{(3)} a^{p-3} + B^{(5)} a^{p-5} + \dots + B^{(2q+1)} a^{p-2q-1} \\ - B^{(1)} a^{p+1} - B^{(3)} a^{p+3} - B^{(5)} a^{p+5} - \dots - B^{(2q+1)} a^{p+2q+1}$$

supposto  $p$  eguale o maggiore di  $2q+1$ , e questa espressione si riduce a

$$D^{(p)} = -2\sqrt{-1} a^p \sin^{2q+1} u.$$

18. Sia  $p < 2q + 1$ , e cominciamo dal supporlo numero pari =  $2r$ , si trova facilmente

$$D^{(2r)} = \left\{ \begin{array}{ccccccc} -B^{(1)} a^{2r-1} & +B^{(3)} a^{2r-3} & +B^{(5)} a^{2r-5} & \dots & +B^{(2r-1)} a^1 \\ -B^{(1)} a^{2r+1} & -B^{(3)} a^{2r+3} & -B^{(5)} a^{2r+5} & \dots & -B^{(2r-1)} a^{4r-1} \\ +B^{(2r+1)} a^1 & +B^{(2r+3)} a^3 & +B^{(2r+5)} a^5 & \dots & +B^{(2q+1)} a^{2q-2r+1} \\ -B^{(2r+1)} a^{4r+1} & -B^{(2r+3)} a^{4r+3} & -B^{(2r+5)} a^{4r+5} & \dots & -B^{(2q+1)} a^{4q+2r+1} \end{array} \right\}$$

che può ridursi a

$$D^{(2r)} = -2\sin 2rn \cdot \sin^{2q+1} n - 2\sqrt{-1} \cos 2rn \cdot y'' - 2\sqrt{-1} \sin 2rn \cdot y'''$$

fatto

$$y'' = B^{(1)} \sin n + B^{(3)} \sin 3n + B^{(5)} \sin 5n + \dots + B^{(2r-1)} \sin (2r-1)n$$

$$y''' = B^{(2r+1)} \cos (2r+1)n + B^{(2r+3)} \cos (2r+3)n + \dots + B^{(2q+1)} \cos (2q+1)n;$$

ed i valori di  $y'', y'''$  dipenderanno dalle equazioni

$$\frac{dy''}{dn} \sin n - (2q+1)y'' \cos n = + (q+r+1)B^{(2r+1)} \sin 2rn$$

$$\frac{dy'''}{dn} \sin n - (2q+1)y''' \cos n = - (q+r+1)B^{(2r+1)} \cos 2rn,$$

che integrate danno

$$y'' = + (q+r+1)B^{(2r+1)} \sin^{2q+1} n \int \frac{\sin 2rn}{\sin^{2q+1} n} dn,$$

$$y''' = - (q+r+1)B^{(2r+1)} \sin^{2q+1} n \int \frac{\cos 2rn}{\sin^{2q+1} n} dn.$$

Avremo in fine, omettendo il termine che può considerarsi come contenuto nelle costanti degl' integrali,

$$\begin{aligned}
 D^{(ar)} &= 2\sqrt{-1}(q+r+1)B^{(ar+1)}\sin^{ar+1}n \cdot \sin 2rn \int \frac{\cos 2rn}{\sin^{ar+1}n} dn \\
 &\quad - 2\sqrt{-1}(q+r+1)B^{(ar+1)}\sin^{ar+1}n \cdot \cos 2rn \int \frac{\sin 2rn}{\sin^{ar+1}n} dn \\
 &= (q+r+1)B^{(ar+1)}\sin^{ar+1}n \left\{ a^{ar} \int \frac{\alpha^{-ar}}{\sin^{ar+1}n} dn - a^{-ar} \int \frac{\alpha^{ar}}{\sin^{ar+1}n} dn \right\}.
 \end{aligned}$$

19. Se  $p = 2r+1$ , si avrà in vece

$$D^{(ar+1)} = \left\{ \begin{array}{l} + B^{(1)} a^{ar} + B^{(3)} a^{ar+2} \dots \dots \dots \dots \dots + B^{(ar-1)} a^a \\ - B^{(1)} a^{ar+2} - B^{(3)} a^{ar+4} \dots \dots \dots \dots \dots - B^{(ar-1)} a^{4r} \\ + B^{(ar+1)} a^a + B^{(ar+3)} a^a \dots \dots \dots \dots \dots + B^{(ar+1)} a^{ar+2r} \\ - B^{(ar+1)} a^{4r+2} - B^{(ar+3)} a^{4r+4} \dots \dots \dots \dots \dots - B^{(ar+1)} a^{ar+2r+2} \end{array} \right\}$$

che conduce a

$$\begin{aligned}
 D^{(ar+1)} &= -2\sin^{ar+1}n \cdot \sin(2r+1)n - 2\sqrt{-1} \cos(2r+1)n \cdot y'' \\
 &\quad - 2\sqrt{-1} \sin(2r+1)n \cdot y''' \\
 &= 2\sqrt{-1}(q+r+1)B^{(ar+1)}\sin^{ar+1}n \cdot \sin(2r+1)n \int \frac{\cos 2rn}{\sin^{ar+1}n} dn \\
 &\quad - 2\sqrt{-1}(q+r+1)B^{(ar+1)}\sin^{ar+1}n \cdot \cos(2r+1)n \int \frac{\sin 2rn}{\sin^{ar+1}n} dn \\
 &= (q+r+1)B^{(ar+1)}\sin^{ar+1}n \left\{ a^{ar+1} \int \frac{\alpha^{-ar}}{\sin^{ar+1}n} dn - a^{-ar-1} \int \frac{\alpha^{ar}}{\sin^{ar+1}n} dn \right\}.
 \end{aligned}$$

Questo stesso valore può anche scriversi nel modo seguente:

$$\begin{aligned}
 D^{(ar+1)} &= -2\sin^{ar+1}n \cdot \sin(2r+1)n \\
 &\quad - 2\sqrt{-1} \cos(2r+1)n \cdot \{ y'' + B^{(ar+1)} \sin(2r+1)n \} \\
 &\quad - 2\sqrt{-1} \sin(2r+1)n \cdot \{ y''' - B^{(ar+1)} \cos(2r+1)n \},
 \end{aligned}$$

togliendo un termine alla serie  $y''$ , ed aggiungendone uno alla serie  $y''$ . Fattane come prima la somma, si arriva alla seguente espressione

$$D^{(n+r+1)} = (q-r)B^{(n+r+1)} \sin^{q+r+1} n \left\{ \alpha^{-r-1} \int_{\sin^{q+r+1} n}^{\alpha^{r+1}} \frac{du}{\sin^{q+r+1} u} - \alpha^{r+1} \int_{\sin^{q+r+1} n}^{\alpha^{-r-1}} \frac{du}{\sin^{q+r+1} u} \right\}$$

che è più adattata all'uso che ne dovremo fare in seguito.

20. Dopo aver esaminata la natura dei coefficienti che nascono dallo svolgimento di ciascuno dei termini della

$$\text{serie } v = F(u) + \frac{e}{1} \sin u F'(u) + \frac{e^2}{1 \cdot 2} \frac{d \cdot \sin^2 u F'(u)}{du} + \text{ecc.},$$

cerchiamo il coefficiente di  $\sin p u$  nello svolgimento di questa stessa serie. Sia  $P$  il coefficiente che si cerca, il quale si supponga diviso in due parti  $P'$  e  $P''$ , di cui la prima contenga la somma delle quantità che derivano dallo svolgimento dei termini dal primo fino al termine

$\frac{e^p}{1 \cdot 2 \cdot 3 \dots \dots \dots p} \frac{d^{p-1} \sin^p u F'(u)}{d^{p-1} u}$  inclusivamente, e la seconda contenga la somma delle quantità date dai termini incominciando da  $\frac{e^{p+1}}{1 \cdot 2 \cdot 3 \dots (p+1)} \frac{d^p \sin^{p+1} u F'(u)}{d^p u}$  fino all'infinito.

21. Per avere  $P'$  si faccia successivamente nelle funzioni  $C^{(p)}$ ,  $D^{(p)}$  date ai §§ 5 e 17,  $q = 0, = 1, = 2, \dots, = \frac{1}{2} p$ , ed i valori che risultano si moltiplichino rispettivamente per  $\frac{1}{p}$ ,  $\frac{e}{1}$ ,  $-\frac{e^2}{1 \cdot 2} p$ ,  $-\frac{e^3}{1 \cdot 2 \cdot 3} p^2$ ,  $+\frac{e^4}{1 \cdot 2 \cdot 3 \cdot 4} p^3$ ,  $+\text{ecc.}$ , e si avrà

$$\begin{aligned} P' &= \frac{2\alpha^p}{p} - \frac{2e}{1} \sqrt{-1} \alpha^p \sin n - \frac{2e^2}{1 \cdot 2} p \alpha^p \sin^2 n \\ &\quad + \frac{2e^3}{1 \cdot 2 \cdot 3} \sqrt{-1} p^2 \alpha^p \sin^3 n \dots \dots \pm \frac{2e^p p^{p-1} \alpha^p \sin^p n}{1 \cdot 2 \cdot 3 \dots \dots p}, \end{aligned}$$

supposto  $p$  un numero pari, e prendendo il segno superiore se  $\frac{1}{2}p$  è pari, e l' inferiore se è dispari.

Mettendo  $\frac{1}{\cos n}$  al luogo di  $e$ , il valore di  $P'$  può ridursi alla forma seguente :

$$P = \frac{2 \alpha^p}{p} \left\{ 1 + \frac{(-p\sqrt{-1} \tan n)}{1} + \frac{(-p\sqrt{-1} \tan n)^2}{1 \cdot 2} + \dots + \frac{(-p\sqrt{-1} \tan n)^p}{1 \cdot 2 \cdot 3 \dots p} \right\}$$

$$= \frac{2 \alpha^p}{p} \left\{ 1 + \frac{pf}{1} + \frac{(pf)^2}{1 \cdot 2} + \frac{(pf)^3}{1 \cdot 2 \cdot 3} + \dots + \frac{(pf)^p}{1 \cdot 2 \cdot 3 \dots p} \right\}$$

nella quale è tolta l'ambiguità del segno, e che vale anche per il caso di  $p$  numero dispari.

22. La somma della serie trovata si può rappresentare per mezzo d'un integrale; in fatti sia

$$z = 1 + \frac{x}{1} + \frac{x^2}{1 \cdot 2} + \dots + \frac{x^p}{1 \cdot 2 \cdot 3 \dots p}, \text{ si avrà differenziando}$$

$$\frac{dz}{dx} = 1 + \frac{x}{1} + \frac{x^2}{1 \cdot 2} + \dots + \frac{x^{p-1}}{1 \cdot 2 \cdot 3 \dots (p-1)} = z - \frac{x^p}{1 \cdot 2 \dots p}.$$

Integrando questa equazione lineare, si trova

$$z = \frac{-i^x}{1 \cdot 2 \cdot 3 \dots p} \int x^p i^{-x} dx.$$

Ora se l'integrale si prende da  $x = 0$  ad  $x = pf$ , sarà

$$z = 1 + \frac{pf}{1} + \frac{(pf)^2}{1 \cdot 2} + \frac{(pf)^3}{1 \cdot 2 \cdot 3} + \dots + \frac{(pf)^p}{1 \cdot 2 \cdot 3 \dots p}$$

$$= i^{pf} \left( 1 - \frac{1}{1 \cdot 2 \cdot 3 \dots p} \right) \int x^p i^{-x} dx,$$

$$\text{e successivamente } P = \frac{2 \alpha^p z}{p} = \frac{2 e^p z}{p(1+f)^p}.$$

23. Per valutare l'integrale nel caso che  $p$  sia un numero grande faremo, giusta il metodo accennato al § 7,  $x^p i^{-x} = (pf)^p i^{-pf} i^{-t}$ , e prendendo i logaritmi,  $t = p \ln(pf) - p \ln x - pf + x$ .

Questa equazione differenziata dà  $\frac{dt}{dx} = -\frac{p}{x} + 1$ , o sia  $x = \frac{dx}{dt}(x-p) = \frac{1}{2} \frac{d.(x-p)^2}{dt}$ .

Svolgendo  $x$  in una serie ordinata secondo le potenze di  $t$ , si vede che il primo termine debb'essere  $= pf$ ; si faccia adunque  $x = pf + bt + \frac{ct^2}{p} + \frac{dt^3}{p^2} + \text{ecc.}$ , sarà

$$(x-p) = (f-1)p + bt + \frac{ct^2}{p} + \frac{dt^3}{p^2} + \text{ecc.}, \text{ ed}$$

$$\begin{aligned} \frac{1}{2} \frac{d.(x-p)^2}{dt} &= (f-1)pb + 2(f-1)ct + 3(f-1)\frac{dt^2}{p} + \text{ecc.} \\ &\quad + b^2t + 3\frac{bc}{p}t^2 + \text{ecc.} \\ &= pf + bt + ct^2 + \text{ecc.}, \end{aligned}$$

e paragonando i fattori delle stesse potenze di  $t$

$$b = \frac{f}{f-1}, \quad c = -\frac{f}{2(f-1)^3}, \quad d = \frac{2f-1}{6(f-1)^5}, \text{ ecc.}$$

$$x = pf + \frac{f}{f-1}t - \frac{f}{2(f-1)^3} \frac{t^2}{p} + \text{ecc.}$$

$$\int x^p i^{-x} dx = (pf)^p i^{-pf} \int \left( \frac{f}{f-1} - \frac{f}{2(f-1)^3} \frac{t}{p} + \text{ecc.} \right) i^{-t} dt,$$

ed integrando da  $x=0$  ad  $x=pf$ , o sia da  $t=\infty$  a  $t=0$ ,

$$\int x^p i^{-x} dx = -(pf)^p i^{-pf} \left( \frac{f}{f-1} - \frac{f}{2(f-1)^3} \frac{1}{p} + \frac{2f-1}{3(f-1)^5} \frac{1}{p^2} + \text{ecc.} \right)$$

$$z = \frac{i^p}{1 \cdot 2 \cdot 3 \cdot p} + \frac{(pf)^p}{1 \cdot 2 \cdot 3 \cdot p} \left( \frac{f}{f-1} - \frac{f}{2(f-1)^3} \frac{1}{p} + \frac{2f-1}{3(f-1)^5} \frac{1}{p^2} + \text{ecc.} \right).$$

Questa serie, che procede secondo le potenze discendenti di  $p$ , non è più convergente quando  $p < \frac{1}{(f-1)^2}$ , e quindi in un' orbita poco eccentrica non può usarsi che per valori di  $p$  estremamente grandi.

24. Per avere una serie, nella quale le potenze dell'eccentricità non compariscano al denominatore, ricorreremo ad un'altra sostituzione ponendo  $x^p i^p = p^p i^p t^p$ , o sia  $p l x - x = p l p - p - tt$ .

Risolvendo per serie quest' equazione, si trova (\*)

$$x = p - \sqrt{2p} \cdot t + \frac{2t^3}{3} - \frac{t^3}{9\sqrt{2p}} - \frac{2t^4}{135p} - \frac{t^5}{540p\sqrt{2p}} + \text{ecc.}$$

Facciasi per comodo del calcolo

$$x = p + A'\sqrt{p} \cdot t + A''t^2 + \frac{A'''t^3}{\sqrt{p}} + \frac{A^{IV}t^4}{p} + \frac{A^Vt^5}{p\sqrt{p}} + \text{ecc.}, \text{ si avrà}$$

$$\int x^p i^p dx = p^p i^p \int t^p \left( A'\sqrt{p} + 2A''t + 3A'' \frac{t^2}{\sqrt{p}} + 4A^{IV} \frac{t^3}{p} + \text{ecc.} \right) dt,$$

e svolgendo gl' integrali  $\int t^p dt$ ,  $\int t^2 dt$ , ecc.

$$\begin{aligned} & \int x^p i^p dx = \\ & + p^p i^p \left( A' + \frac{3}{2} \frac{A'''}{p} + \frac{3.5}{4} \frac{A''}{p^2} + \frac{3.5.7}{8} \frac{A^{IV}}{p^3} + \text{ec.} \right) \sqrt{p} \cdot \int t^p dt \\ & - p^p i^p \left( \frac{2}{2} A'' + \frac{3}{2} A''' \frac{t}{\sqrt{p}} + \frac{4}{2} A^{IV} \frac{t^2}{p} + \frac{5}{2} A^V \frac{t^3}{p\sqrt{p}} + \frac{6}{2} A^{VI} \frac{t^4}{p^2} + \text{ec.} \right) t^p \\ & - p^p i^p \left( \frac{2.4}{4} A^{IV} \frac{1}{p} + \frac{3.5}{4} A^V \frac{t}{p\sqrt{p}} + \frac{4.6}{4} A^{VI} \frac{t^2}{p^2} + \text{ec.} \right) t^p \\ & - p^p i^p \left( \frac{2.4.6}{8} A^{VI} \frac{1}{p^3} + \text{ec.} \right) t^p \\ & + \text{ecc.} \end{aligned}$$

(\*) Exercices de calcul intégral par Legendre, pag. 346. Qui ho dato a  $\sqrt{p}$  il segno —, acciò il valore di  $t$  rimanga positivo quando  $x < p$ .

## 25. Pongasi per brevità

$\int x^p t^p dx = p^p t^p \left\{ A \sqrt{p} \int t^p dt - \left( T + \frac{T'}{p} + \frac{T''}{p^2} + \text{ecc.} \right) t^p \right\},$   
supponendo

$$A' + \frac{3}{2} \frac{A''}{p} + \frac{3.5}{4} \frac{A'''}{p^2} + \text{ecc.} = A$$

$$\frac{3}{2} A'' + \frac{3}{2} A''' \frac{t}{\sqrt{p}} + \frac{4}{2} A'' \frac{t^2}{p} + \text{ecc.} = T$$

$$\frac{2 \cdot 4}{4} A'' + \frac{3.5}{4} A''' \frac{t}{\sqrt{p}} + \frac{4 \cdot 6}{4} A'' \frac{t^2}{p} + \text{ecc.} = T'$$

$$\frac{2 \cdot 4 \cdot 6}{8} A'' + \text{ecc.} = T'', \text{ ecc.}$$

è facile il vedere che le quantità  $T$ ,  $T'$ ,  $T''$ , ecc. si formano nel modo seguente:

$$T = \frac{1}{2t} \left( \frac{dx}{dt} - A' \sqrt{p} \right)$$

$$T' = \frac{1}{2t} \left( \frac{dT}{dt} - \frac{3}{2} \frac{A''}{\sqrt{p}} \right)$$

$$\frac{T''}{p^2} = \frac{1}{2t} \left( \frac{d \cdot T'}{dt} - \frac{3.5}{4} \frac{A'''}{p \sqrt{p}} \right)$$

ecc. con legge abbastanza chiara.

Ma differenziando l'equazione fra  $x$  e  $t$ , si ha

$$\left( \frac{p}{x} - 1 \right) \frac{dx}{dt} = -2t, \text{ dunque } T = \frac{x}{x-p} - \frac{A' \sqrt{p}}{2t} = \frac{x}{x-p} + \frac{\sqrt{p}}{t \sqrt{2}}.$$

Differenziando di nuovo e sostituendo il valore di  $\frac{dx}{dt}$ , risulta

$$\frac{T'}{p} = -\frac{px}{(x-p)^3} - \frac{\sqrt{p}}{2\sqrt{2} \cdot t^3} + \frac{1}{12\sqrt{2} \cdot \sqrt{p} \cdot t}, \text{ e successivamente}$$

$$\frac{T''}{p^2} = \frac{2px^2 + p^2 x}{(x-p)^5} + \frac{3\sqrt{p}}{4\sqrt{2} \cdot t^5} - \frac{1}{24\sqrt{2} \cdot \sqrt{p} \cdot t^3} + \frac{1}{288\sqrt{2} \cdot p \sqrt{p} \cdot t}$$

ecc.

L'integrale deve prendersi da  $x = 0$  ad  $x = pf$ , o sia da  $t = \infty$  a  $t = \theta$ , chiamando  $\theta$  il valore di  $t$  che corrisponde ad  $x = pf$ . Si rappresenti col simbolo  $\Psi(\theta)$  l'integrale  $\int i^a dt$  preso da  $t = \theta$  a  $t = \infty$ , siccome la funzione  $(T + \frac{T'}{p} + \text{ecc.}) i^a$  si annulla quando  $t = \infty$ , si avrà

$$\int x^a i^a dx = p^a i^a \left\{ -A\Psi(\theta) \sqrt{p} - \left( T + \frac{T'}{p} + \frac{T''}{p^2} + \text{ecc.} \right) i^a \right\},$$

ponendo nelle espressioni di  $T$ ,  $T'$ ,  $T''$ , ecc.,  $pf$  in luogo di  $x$ , e  $\theta$  in luogo di  $t$ .

26. Quando  $x = pf$  si ha  $t^2 = -plf + pf - p$ . Sia  $b = \pm\sqrt{(-lf + f - 1)}$ , sarà  $\theta = b/p$ . Il radicale si prenderà col segno + quando  $x < p$ , ovvero  $f < 1$ , e col segno - quando  $x > p$  o  $f > 1$ .

In quest'ultimo caso si noti che generalmente  $\Psi(-\theta) = \sqrt{\pi} - \Psi(+\theta)$ , dinotando con  $\pi$  il rapporto fra il raggio e la semicirconferenza.

Sostituendo il valore di  $t$ , sarà dunque

$$\begin{aligned} T &= \frac{2}{2} A'' + \frac{3}{2} A'''b + \frac{4}{2} A''''b^2 + \text{ecc.} \\ &= \frac{f}{f-1} + \frac{1}{b\sqrt{2}} \\ T' &= \frac{2 \cdot 4}{4} A'' + \frac{3 \cdot 5}{4} A'''b + \text{ecc.} \\ &= -\frac{f}{(f-1)^3} - \frac{1}{2\sqrt{2} \cdot b^3} + \frac{1}{12\sqrt{2} \cdot b} \\ T'' &= \frac{2 \cdot 4 \cdot 6}{8} A'' + \frac{3 \cdot 5 \cdot 7}{8} A''''b + \text{ecc.} \\ &= \frac{f^3 + f}{(f-1)^5} + \frac{3}{4\sqrt{2} \cdot b^5} - \frac{1}{24\sqrt{2} \cdot b^3} + \frac{1}{288\sqrt{2} \cdot b}. \end{aligned}$$

Ora si può dimostrare che, qualunque sia il valore di  $e$ , nessuno dei termini  $T, T', T'', \dots$ , ecc. potrà divenire infinito. In fatti se  $e = 0$ , si ha  $f = 1, b = 0$ , e le espressioni in serie di  $T, T', T''$  si riducono ai loro primi termini, mentre i valori finiti che esprimono le stesse quantità prendono la forma indeterminata  $\frac{1}{0} - \frac{1}{0}$ . Se  $e = 1$ , si ha  $f = 0, b = \infty$ , e le suddette serie, sebbene composte di termini infiniti, hanno una somma che risulta = 0. Ad  $e = 1$  corrisponde, come si è detto,  $b = \infty$ ; eppure basta fare  $e = 1 - \frac{13}{1000}$  per aver  $b$  minor dell'unità.

27. Possiamo ora avere il valore di  $z$  sottraendo da  $i^{pf}$  il prodotto dell'integrale trovato per  $\frac{i^{pf}}{1.2.3.\dots.p}$ . Ma qui è da osservarsi che il prodotto continuo  $1.2.3.\dots.p$  non è altro che il valore dell'integrale  $\int x^p i^{-x} dx$  preso da  $x = 0$  ad  $x = \infty$ , o sia da  $t = +\infty$  a  $t = -\infty$ , nel qual caso si ha  $\theta = -\infty, \Psi(\theta) = \sqrt{\pi}, \left(T + \frac{T'}{p} + \text{ecc.}\right) i^{-\theta\theta} = 0$ , e quindi  $1.2.3.\dots.p = -p^p i^p A/\sqrt{(p\pi)}$ . Sarà per conseguenza

$$z = i^{pf} \left\{ 1 - \frac{\Psi(\sqrt{bbp})}{\sqrt{\pi}} - \left( T + \frac{T'}{p} + \frac{T''}{p^2} + \text{ecc.} \right) \frac{i^{-bbp}}{A/\sqrt{(p\pi)}} \right\},$$

e finalmente

$$P = \frac{2}{p} \left( \frac{e i^f}{1+f} \right)^p \left\{ 1 - \frac{\Psi(\sqrt{bbp})}{\sqrt{\pi}} - \left( T + \frac{T'}{p} + \frac{T''}{p^2} + \text{ecc.} \right) \frac{i^{-bbp}}{A/\sqrt{(p\pi)}} \right\}.$$

28. Il caso di  $f = 1$ , che ci dà la somma della serie finita  $z = 1 + \frac{p}{1} + \frac{p^2}{1.2} + \dots + \frac{p^p}{1.2.3.\dots.p}$ , merita di essere particolarmente considerato. Si ha allora  $b = 0$ ,  $\Psi(\sqrt{bbp}) = \frac{1}{2}\sqrt{\pi}$ ,  $i^{-bbp} = 1$ ,  $T = A'' = \frac{2}{3}$ ,

$$T' = 2A'' = -\frac{4}{135} \text{ ecc., e in fine}$$

$$\begin{aligned} z &= i^p \left( \frac{1}{2} + \frac{1}{\sqrt{p\pi}} \cdot \frac{\frac{2}{3} - \frac{4}{135p} + \text{ecc.}}{\sqrt{2} \cdot \left( 1 + \frac{1}{12 \cdot p} + \text{ecc.} \right)} \right) \\ &= i^p \left\{ \frac{1}{2} + \frac{1}{\sqrt{2\pi}} \left( \frac{2}{3\sqrt{p}} - \frac{61}{540p\sqrt{p}} + \text{ecc.} \right) \right\}. \end{aligned}$$

$$\text{Se } p = \infty, \text{ sarà } 1 + \frac{p}{1} + \frac{p^2}{1 \cdot 2} \dots + \frac{p^p}{1 \cdot 2 \dots p} = \frac{1}{2} i^p.$$

$$\text{Ora sapendosi che } 1 + \frac{p}{1} + \frac{p^2}{1 \cdot 2} \dots + \frac{p^p}{1 \cdot 2 \dots p} + \frac{p^{p+1}}{1 \cdot 2 \dots p+1} + \text{ecc.}$$

all' infinito è lo stesso che  $i^p$ , si vede che la prima parte della serie che esprime  $i^p$  cominciando dal primo termine fino al termine massimo è prossimamente eguale all'altra parte protratta fino all' infinito, e ciò tanto più prossimamente, quanto maggiore è l'esponente  $p$ .

29. Quando l'eccentricità è molto piccola, la funzione  $P'$  forma la parte principale del valore di  $P$ , giacchè  $P''$  è necessariamente quantità dell' ordine di  $e^{p+\alpha}$ .

Se dopo aver diviso  $P'$  per  $e^p$ , facciamo nell' espressione del quoziente  $e = 0$ , ne risulterà il numero che forma il coefficiente di  $e^p$  nel termine  $P \sin p u$  del valore di  $v$ ; e siccome quando  $e = 0$ ,  $f = 1$ , questo coefficiente sarà

$$\frac{P'}{e^p} = \frac{2}{p^{2p}} \left( 1 + \frac{p}{1} + \frac{p^2}{1 \cdot 2} \dots + \frac{p^p}{1 \cdot 2 \cdot 3 \dots p} \right),$$

il quale coincide con quello già dato nell' Effemeridi di Milano per l' anno 1805 dal celebre astronomo Conte Oriani.

Sostituendovi lo svolgimento in serie infinita, sarà

$$\frac{P'}{e^p} = \frac{i^p}{p^{2p}} \left( 1 + \frac{4}{3\sqrt{2p\pi}} + \text{ecc.} \right).$$

30. Si cerchi, per esempio, il coefficiente di  $e^u \sin 12u$ . Non conservando che i primi due termini della serie, si trova

$$\begin{aligned}
 L 2p &= 1,3802112 & \frac{i}{2} &= 1,3591409 \\
 L \pi &= 0,4971499 & L \frac{i}{2} &= 0,1332645 \\
 L 2p\pi &= \underline{\underline{1,8773611}} & p L \frac{i}{2} &= 1,5991740 \\
 L \sqrt[3]{(2p\pi)} &= 0,9386805 & L p &= 1,0791812 \\
 L 3 &= \underline{\underline{0,4771213}} & L \frac{i^p}{p^{2p}} &= \underline{\underline{0,5199928}} \\
 && 1,4158018 & \\
 L 4 &= 0,6020600 & L \left(1 + \frac{4}{3\sqrt[3]{(2p\pi)}}\right) &= 0,0620375 \\
 L \frac{4}{3\sqrt[3]{(2p\pi)}} &= 9,1862582 & L \frac{P'}{e^p} &= 0,5820303 \\
 \frac{4}{3\sqrt[3]{(2p\pi)}} &= 0,153553 & 
 \end{aligned}$$

e quindi prossimamente  $\frac{P'}{e^p} = 3,8197$ , mentre il valore esatto è  $\frac{7218065}{1892352} = 3,8143$ .

31. Volendo ora comporre il coefficiente  $P''$  di  $\sin pu$  nella serie

$$\frac{e^{p+1}}{1.2.3...(p+1)} \left\{ \begin{array}{l} \frac{d^p \cdot \sin^{p+1} u F'(u)}{du^p} + \frac{e}{p+2} \frac{d^{p+1} \cdot \sin^{p+2} u F'(u)}{du^{p+1}} \\ + \frac{e^3}{(p+2)(p+3)} \frac{d^{p+3} \cdot \sin^{p+3} u F'(u)}{du^{p+3}} + \text{ecc.} \end{array} \right\}$$

cominceremo dal supporre  $p$  numero pari =  $2r$ ; divideremo poi la serie in due parti, la prima delle quali contenga i termini  $1.^o$ ,  $3.^o$ ,  $5.^o$ , ecc.; e la seconda i termini  $2.^o$ ,  $4.^o$ , ecc. Sia  $\Pi$  il coefficiente di  $\sin 2ru$  nello svolgimento della prima di queste due parti, e  $\Pi'$  il coefficiente

dello stesso seno nello svolgimento della seconda; per avere  $\Pi'$  faremo successivamente  $q=r$ ,  $q=r+1$ ,  $q=r+2$ , ecc. nel valore di  $D^{(ar)}$  dato al § 18. Nel fare queste sostituzioni è da avvertirsi che

quando  $q = r$ , si ha

$$\pm B^{(aq+1)} = \pm B^{(ar+1)} = + \frac{1}{2^{ar}} = + \frac{1}{2^{ar}}$$

quando  $q = r+1$

$$\pm B^{(aq+1)} = \pm B^{(ar+1)} = - \frac{2q+1}{1 \cdot 2^{ar}} = - \frac{2r+3}{1 \cdot 2^{ar+1}}$$

quando  $q = r+2$

$$\pm B^{(aq+3)} = \pm B^{(ar+1)} = + \frac{2q(2q+1)}{1 \cdot 2 \cdot 2^{ar}} = + \frac{(2r+4)(2r+5)}{1 \cdot 2 \cdot 2^{ar+1}}$$

quando  $q = r+3$

$$\pm B^{(aq+5)} = \pm B^{(ar+1)} = - \frac{(2q-1)(2q)(2q+1)}{1 \cdot 2 \cdot 3 \cdot 2^{ar}} = - \frac{(2r+5)(2r+6)(2r+7)}{1 \cdot 2 \cdot 3 \cdot 2^{ar+1}}$$

prendendo il segno superiore quando  $r$  è pari, e viceversa.

Si avranno dunque per gli stessi valori di  $q$  le seguenti espressioni di  $D^{(ar)}$

$$q = r, \quad \pm D^{(ar)} =$$

$$\frac{2r+1}{2^{ar}} \sin^{ar+1} n \left( a^{ar} \int \frac{a^{-ar}}{\sin^{ar+1} n} dn - a^{-ar} \int \frac{a^{ar}}{\sin^{ar+1} n} dn \right)$$

$$q = r+1, \quad \pm D^{(ar)} =$$

$$- \frac{(2r+2)(2r+3)}{1 \cdot 2^{ar+1}} \sin^{ar+3} n \left( a^{ar} \int \frac{a^{-ar}}{\sin^{ar+3} n} dn - a^{-ar} \int \frac{a^{ar}}{\sin^{ar+3} n} dn \right)$$

$$q = r+2, \quad \pm D^{(ar)} =$$

$$+ \frac{(2r+3)(2r+4)(2r+5)}{1 \cdot 2 \cdot 3 \cdot 2^{ar+1}} \sin^{ar+5} n \left( a^{ar} \int \frac{a^{-ar}}{\sin^{ar+5} n} dn - a^{-ar} \int \frac{a^{ar}}{\sin^{ar+5} n} dn \right)$$

onde il valor richiesto di  $\Pi$  risulterà

$$\left\{ \begin{array}{l} (2r+1) \int \frac{a^{2r}}{\sin^{2r+1} n} dn \\ + \frac{e^4(2r)^4 \sin^4 n}{1 \cdot 2^4} \frac{(2r+2)(2r+3)}{(2r+2)(2r+3)} \int \frac{a^{-2r}}{\sin^{2r+4} n} dn \\ + \frac{e^8(2r)^8 e^{8r+4} a^{8r} \sin^{8r+4} n}{2^8 \cdot 1 \cdot 2 \cdot 3 \cdot \dots \cdot (2r+1)} \int \frac{a^{-8r}}{\sin^{8r+8} n} dn \\ + \frac{e^{12}(2r)^{12} \sin^{12} n}{1 \cdot 2 \cdot 3 \cdot 2^6} \frac{(2r+3)(2r+4)(2r+5)}{(2r+2)(2r+3)(2r+4)(2r+5)} \int \frac{a^{-12r}}{\sin^{12r+12} n} dn \\ + \text{ecc.} \end{array} \right\}$$
  

$$\left\{ \begin{array}{l} (2r+1) \int \frac{a^{2r}}{\sin^{2r+1} n} dn \\ + \frac{e^4(2r)^4 \sin^4 n}{1 \cdot 2^4} \frac{(2r+2)(2r+3)}{(2r+2)(2r+3)} \int \frac{a^{-2r}}{\sin^{2r+4} n} dn + \text{ecc.} \end{array} \right\}$$

Cancellando i numeratori ed i denominatori che si distruggono, mettendo  $p$  in luogo di  $2r$ ,  $\tan n$  in luogo di  $\sin n$ , e ponendo per brevità

$$z = \int \frac{a^{-p}}{\sin^{p+1} n} dn + \frac{(\frac{1}{2} p \tan n)^2}{1 \cdot (p+1)} \int \frac{a^{-p}}{\sin^{p+4} n} dn + \frac{(\frac{1}{2} p \tan n)^4}{1 \cdot 2 \cdot (p+1) \cdot (p+2)} \int \frac{a^{-p}}{\sin^{p+6} n} dn + \text{ec.}$$

$$z' = \int \frac{a^{+p}}{\sin^{p+1} n} dn + \frac{(\frac{1}{2} p \tan n)^2}{1 \cdot (p+1)} \int \frac{a^{+p}}{\sin^{p+4} n} dn + \frac{(\frac{1}{2} p \tan n)^4}{1 \cdot 2 \cdot (p+1) \cdot (p+2)} \int \frac{a^{+p}}{\sin^{p+6} n} dn + \text{ec.}$$

si avrà

$$\Pi = \frac{(\frac{1}{2} p)^p e^{p+1}}{1 \cdot 2 \cdot 3 \cdot \dots \cdot p} \left( a^p \sin^{p+1} n \cdot z - a^{-p} \sin^{p+1} n \cdot z' \right).$$

32. Cerchiamo allo stesso modo il valore di  $\Pi'$  che risulta dai termini della serie nei quali  $\sin u$  ha un esponente pari, e che per conseguenza sarà formato dalle funzioni  $C^{(r)}$ , di cui abbiamo data l'espressione al § 11. Si osservi a tal fine che ponendo

$$q=r+1, \text{ si ha } \pm B^{(r)} = + \quad \frac{2q}{1 \cdot 2^{2q-1}} = + \quad \frac{2r+2}{1 \cdot 2^{2r+1}}$$

$$q=r+2 \quad \pm B^{(r)} = - \quad \frac{(2q-1)(2q)}{1 \cdot 2 \cdot 2^{2q-1}} = - \quad \frac{(2r+3)(2r+4)}{1 \cdot 2 \cdot 2^{2r+3}}$$

$$q=r+3 \quad \pm B^{(r)} = + \frac{(2q-2)(2q-1)(2q)}{1 \cdot 2 \cdot 3 \cdot 2^{2q-1}} = + \frac{(2r+4)(2r+5)(2r+6)}{1 \cdot 2 \cdot 3 \cdot 2^{2r+5}}$$

ecc.

sarà dunque

$$\text{quando } q = r+1, \quad \pm C^{(r)} =$$

$$\frac{1 \cdot (2r+2)}{1 \cdot 2^{2r+1}} \sin^{2r+3} n \left( a^{-ar} \int \frac{a^{2r+1}}{\sin^{2r+3} n} dn - a^{ar} \int \frac{a^{-2r-1}}{\sin^{2r+3} n} dn \right)$$

$$q = r+2, \quad \pm C^{(r)} =$$

$$- \frac{2 \cdot (2r+3) (2r+4)}{1 \cdot 2 \cdot 2^{2r+3}} \sin^{2r+4} n \left( a^{-ar} \int \frac{a^{2r+4}}{\sin^{2r+5} n} dn - a^{ar} \int \frac{a^{-2r-2}}{\sin^{2r+5} n} dn \right)$$

$$q = r+3, \quad \pm C^{(r)} =$$

$$+ \frac{3 \cdot (2r+4) (2r+5) (2r+6)}{1 \cdot 2 \cdot 3 \cdot 2^{2r+5}} \sin^{2r+6} n \left( a^{-ar} \int \frac{a^{2r+6}}{\sin^{2r+7} n} dn - a^{ar} \int \frac{a^{-2r-4}}{\sin^{2r+7} n} dn \right)$$

ecc.

onde risulta

$$\Pi' = \frac{(\frac{1}{2}p)^{p+1} e^{p+2}}{1 \cdot 2 \cdot 3 \dots (p+1)} \left( a^p \sin^{p+2} n \cdot z'' - a^p \sin^{p+3} n \cdot z''' \right), \text{ posto}$$

$$z'' = \int \frac{a^{-p-1}}{\sin^{p+3} n} dn + \frac{(\frac{1}{2}p \tan n)^2}{1 \cdot (p+2)} \int \frac{a^{-p-1}}{\sin^{p+5} n} dn + \frac{(\frac{1}{2}p \tan n)^4}{1 \cdot 2 \cdot (p+2) \cdot (p+3)} \int \frac{a^{-p-1}}{\sin^{p+7} n} dn + \text{ec.}$$

$$z''' = \int \frac{a^{p+2}}{\sin^{p+3} n} dn + \frac{(\frac{1}{2}p \tan n)^2}{1 \cdot (p+2)} \int \frac{a^{p+2}}{\sin^{p+5} n} dn + \frac{(\frac{1}{2}p \tan n)^4}{1 \cdot 2 \cdot (p+2) \cdot (p+3)} \int \frac{a^{p+2}}{\sin^{p+7} n} dn + \text{ec.}$$

33. Consideriamo ora la serie

$$s = 1 + \frac{(\frac{1}{2}px)^2}{1 \cdot (p+1) \sin^2 n} + \frac{(\frac{1}{2}px)^4}{1 \cdot 2(p+1)(p+2) \sin^4 n} \\ + \frac{(\frac{1}{2}px)^6}{1 \cdot 2 \cdot 3 \cdot (p+1)(p+2)(p+3) \sin^6 n} + \text{ecc.}$$

Se noi moltiplichiamo  $s$  per  $\frac{x^{-p}}{\sin^{p+1} n}$ , prendiamo l'integrale del prodotto, e facciamo dopo l'integrazione  $x = \tan n$ , verremo ad ottenere il valore di  $z$ ; conviene adunque prima d'ogni altra cosa cercare il valore di  $s$ .

Per ottenere questo intento si aggiunga al valore di  $\frac{d^2 s}{dx^2}$  quello di  $\frac{ds}{dx}$  moltiplicato per  $\frac{2p+1}{x}$ , si troverà facilmente

$$\frac{d^2 s}{dx^2} + \frac{2p+1}{x} \frac{ds}{dx} =$$

$$\frac{4(\frac{1}{2}p)^2}{\sin^4 n} + \frac{8(\frac{1}{2}p)^4 x^3}{1 \cdot 2 \cdot (p+1) \sin^4 n} + \frac{12(\frac{1}{2}p)^6 x^4}{1 \cdot 2 \cdot 3 \cdot (p+1)(p+2) \sin^6 n} + \text{ecc.},$$

vale a dire

$$\frac{d^2 s}{dx^2} + \frac{2p+1}{x} \frac{ds}{dx} = \frac{p^2}{\sin^2 n} s.$$

34. L'equazione differenziale trovata si abbassa al primo ordine ponendo  $s = i^{\frac{1}{2}p \int y dx}$ , e dà

$$\frac{dy}{dx} + \frac{1}{2}py^2 + (2p+1)\frac{y}{x} = \frac{2p}{\sin^2 n}.$$

Queste equazioni sono del numero di quelle che Eulero è riuscito a risolvere per mezzo d'integrali definiti; e con questo mezzo, posto al luogo di  $\sin^2 n$  il suo valore

$$-\frac{1-e^2}{e^2}, \text{ si avrà } s = \int \left( \frac{e^2}{1-e^2} - t^2 \right)^{\frac{p-1}{2}} \cos(p x^2 t) dt,$$

preso l'integrale da  $t=0$  fino a  $t=\frac{e}{\sqrt{1-e^2}}$  (\*).

35. Volendo risolvere in serie il valore di  $s$  quando  $p$  è numero grandissimo, in vece di trattare la formula integrale, giova servirsi dell'equazione differenziale di primo ordine data nel paragrafo precedente. Per avere il primo termine dello svolgimento cominceremo dal trascurare le quantità che non sono dell'ordine di  $p$ . A tale oggetto è necessario esaminare l'ordine di grandezza delle variabili che entrano nel calcolo.

Dovendosi fare dopo l'integrazione  $x = \tan n$ , questa quantità in un'orbita ellittica sarà sempre minore dell'unità. Il valore di  $s$  può divenire grandissimo; ma essendo

$$s = 1 + \frac{\frac{1}{2}pxx}{1 \cdot (1 + \frac{1}{p}) \cdot 2} + \frac{(\frac{1}{2}pxx)^2}{1 \cdot 2 \cdot (1 + \frac{1}{p}) \cdot (1 + \frac{1}{p}) \cdot 4} + \text{ecc.},$$

è minore, termine per termine, di

$$1 + \frac{\frac{1}{2}pxx}{1 \cdot 2} + \frac{(\frac{1}{2}pxx)^2}{1 \cdot 2 \cdot 4} + \text{ecc.},$$

o sia di  $\frac{pxx}{4}$ ; sarà dunque  $y = \frac{2}{ps} \frac{ds}{dx}$  minore di  $x$ .

Posto ciò, se nell'equazione differenziale non si conservano per una prima approssimazione che le quantità dell'ordine di  $p$ , si avrà l'equazione finita

$$y^2 + \frac{4y}{x} = \frac{4}{\sin^2 n}, \text{ da cui si cava il primo termine del valore di } y, \text{ che chiameremo } Y, = \frac{2}{x} \left( \sqrt{1 + \frac{x^2}{\sin^2 n}} - 1 \right).$$


---

(\*) Lacroix, *Traité des différences et des séries*, pag. 491.

36. Supponiamo ora che si abbia  $y = Y + \frac{Y'}{p} + \frac{Y''}{p^2} + \text{ecc.}$ , sostituendo nell' equazione differenziale , ed omettendo i termini che si elidono , avremo la seguente equazione disposta secondo l' ordine delle potenze negative di  $p$  :

$$\left. \begin{aligned} & \frac{dY}{dx} + \frac{1}{p} \frac{dY'}{dx} + \frac{1}{p^2} \frac{dY''}{dx} + \text{ecc.} \\ & + YY' + \frac{1}{p} YY'' + \frac{1}{p^2} YY''' \\ & + \frac{1}{p} \frac{Y'^2}{2} + \frac{1}{p^2} Y'Y'' \\ & + \frac{2}{x} Y' + \frac{1}{p} \frac{2Y''}{x} + \frac{1}{p^2} \frac{2Y'''}{x} \\ & + \frac{Y}{x} + \frac{1}{p} \frac{Y'}{x} + \frac{1}{p^2} \frac{Y''}{x} \end{aligned} \right\} = 0,$$

donde risultano le seguenti equazioni :

$$\left( Y + \frac{2}{x} \right) Y' = - \frac{dY}{dx} - \frac{Y}{x}$$

$$\left( Y + \frac{2}{x} \right) Y'' = - \frac{dY'}{dx} - \frac{Y'^2}{2} - \frac{Y'}{x}$$

$$\left( Y + \frac{2}{x} \right) Y''' = - \frac{dY''}{dx} - YY'' - \frac{Y''}{x}.$$

37. Facciasi per evitare i radicali  $1 + \frac{x^3}{\sin^2 n} = g^3$  , ed allora sarà

$$Y + \frac{2}{x} = \frac{2g}{x}$$

$$-\frac{d}{dx} Y = -\frac{2}{x} \frac{dg}{dx} + \frac{2}{x^2} (g - 1)$$

$$-\frac{Y}{x} = -\frac{2}{x^2} (g - 1)$$

$$Y' = -\frac{dg}{gdx} = -\frac{1}{g^2} \frac{x}{\sin^2 n}$$

$$-\frac{dY'}{dx} = \frac{1}{g^2 \sin^2 n} - \frac{2x^2}{g^4 \sin^4 n}$$

$$-\frac{Y'^2}{2} = -\frac{x^2}{2g^4 \sin^4 n}$$

$$-\frac{Y'}{x} = +\frac{1}{g^2 \sin^2 n}$$

$$Y'' = \left( \frac{1}{g^2 \sin^2 n} - \frac{5}{4} \frac{x^3}{g^4 \sin^4 n} \right) \frac{x}{g}$$

ecc.

sarà dunque

$$y = \frac{2}{x} (g - 1) - \frac{1}{p} \frac{x}{g^2 \sin^2 n} + \frac{1}{p^2} \left( \frac{x}{g^3 \sin^2 n} - \frac{5}{4} \frac{x^3}{g^5 \sin^4 n} \right) + \text{ecc.}$$

38. Moltiplichiamo ora questa quantità per  $dx$ , osservando che

$$\frac{dx}{x} = \frac{gdg}{g^2 - 1}, \quad \frac{xdx}{\sin^2 n} = g dg, \quad \frac{x^3 dx}{\sin^4 n} = g(g^2 - 1) dg, \quad \text{ecc.}$$

si avrà

$$y dx = \frac{2gdg}{g+1} - \frac{1}{p} \frac{dg}{g} + \frac{1}{p^2} \left( \frac{dg}{g^2} - \frac{5}{4} \frac{g^2-1}{g^4} dg \right) + \text{ecc.}$$

Integrando e determinando la costante in modo che l'integrale si annulli quando  $x = 0$ , o sia  $g = 1$ , si avrà

$$\int y dx = 2(g-1) - 2l \frac{g+1}{2} - \frac{1}{p} lg + \frac{1}{p} \left( \frac{1}{6} + \frac{1}{4g} - \frac{5}{12g^3} \right) + \text{ecc.}$$

39. Dal trovato valore di  $\int y dx$  dedurremo adesso  $s = i^{\frac{1}{2} p \int y dx}$ , ed in fine  $z = \int \frac{a^{-p}}{\sin^{p+2} n} s dn$ , posto dopo l'integrazione  $x = \tan n$ .

Applicando a questo integrale la formula del § 12, avremo

$$l\psi = ls - pl\alpha - (p+2)ls \sin n = \frac{1}{2} p \int y dx - pn\sqrt{-1} - (p+2)ls \sin n =$$

$$p(g-1) - p \frac{g+1}{2} - pn\sqrt{-1} - (p+2)ls \sin n - lg + \frac{1}{p} \left( \frac{1}{12} + \frac{1}{8g} - \frac{5}{24g^3} \right) + \text{ec.},$$

e differenziando riguardo ad  $n$

$$\frac{d.l\psi}{dn} = \frac{p g}{g+1} \frac{dg}{dn} - p\sqrt{-1} - (p+2)\cot n - \frac{dg}{gdn} + \frac{1}{p} \left( -\frac{1}{8g^2} + \frac{5}{8g^4} \right) \frac{dg}{dn} + \text{ecc.}$$

Ora abbiamo supposto  $g^2 = 1 + \frac{x^2}{\sin^2 n}$ , e quindi

$$\frac{dg}{dn} = -\frac{x^2 \cot n}{g \sin^2 n}; \text{ sarà dunque}$$

$$\begin{aligned} \frac{d.l\psi}{dn} &= -\frac{px^2 \cot n}{(g+1)\sin^2 n} - (p+2)\cot n - p\sqrt{-1} + \frac{x^2 \cot n}{g^2 \sin^2 n} \\ &\quad + \frac{1}{p} \left( \frac{x^2 \cot n}{8g^3 \sin^2 n} - \frac{5x^2 \cot n}{8g^5 \sin^2 n} \right) + \text{ecc.}, \end{aligned}$$

dove deve porsi  $\tan n$  in luogo di  $x$ , e quindi  $\sqrt{1 + \frac{1}{\cos^2 n}}$ , o sia  $\sqrt{1 + ee}$  in luogo di  $g$ .

Per non complicare soverchiamente il calcolo conserveremo la sola parte principale dello svolgimento, prendendo  $\frac{d.l\psi}{dn} = -\frac{p \tan n}{(g+1)\sin^2 n} - (p+2) \cot n - p\sqrt{-1}$ .

Sostituito questo valore e quello di  $\psi$  nella formola

$$\int \psi dn = c + \frac{\psi}{\frac{d.l\psi}{dn}} + \text{ecc.}, \text{ si otterrà}$$

$$\alpha^p \sin^{p+1} n.z = \alpha^p \sin^{p+1} n.c$$

$$-\left(\frac{2}{g+1}\right)^p \frac{i^{p(g-1)}}{g \sin n} \frac{1}{\frac{p \tan n}{(g+1)\sin^2 n} + (p+2)\cot n + p\sqrt{-1}}.$$

40. Per avere  $z'$  prendiamo

$$l\psi = ls + p l\alpha - (p+2) l \sin n = \\ p(g-1) - p l \frac{g+1}{2} + p n \sqrt{-1} - (p+2) l \sin n - lg \text{ ecc.},$$

e sarà

$$\alpha^p \sin^{p+1} n.z' = \alpha^p \sin^{p+1} n.c'$$

$$-\left(\frac{2}{g+1}\right)^p \frac{i^{p(g-1)}}{g \sin n} \frac{1}{\frac{p \tan n}{(g+1)\sin^2 n} + (p+2)\cot n - p\sqrt{-1}}.$$

Prendendo la differenza fra questa e la funzione analoga del paragrafo precedente, ed osservando che

$$\frac{1}{\sin n \left( \frac{p \tan n}{(g+1)\sin^2 n} + (p+2)\cot n - p\sqrt{-1} \right)} \\ - \frac{1}{\sin n \left( \frac{p \tan n}{(g+1)\sin^2 n} + (p+2)\cot n + p\sqrt{-1} \right)} =$$

$$= \frac{1}{\frac{p}{(g+1)\cos n} + p\alpha^{-1} + 2\cos n} - \frac{1}{\frac{p}{(g+1)\cos n} + p\alpha + 2\cos n} = \frac{2pef}{h},$$

posto per brevità  $h = \left(\frac{pe^2}{g+1} + 2\right)^2 + 2p\left(\frac{pe^2}{g+1} + 2\right) + p^2e^2$ ,  
si ottiene

$$\Pi = \frac{(\frac{1}{2}p)^p e^{p+1}}{1 \cdot 2 \cdot 3 \cdots p} \sin^{p+1} n (ca^p - c' \alpha^{-p}) - 2 \frac{(\frac{1}{2}p)^p e^{p+1}}{1 \cdot 2 \cdot 3 \cdots p} \left(\frac{2}{g+1}\right)^p i^{p(g-1)} \cdot \frac{pf}{gh}.$$

Quando  $e = 0$ , si deve avere  $\frac{\Pi}{e^{p+1}} = 0$ ; ora in questo caso  $h = 4p + 4$ ; dunque  $\sin^{p+1} n \cdot a^p c - \sin^{p+1} n \cdot \alpha^{-p} c' = 0$ , e perciò  $c = 0$ ,  $c' = 0$ , ed in fine

$$\Pi = -2 \frac{(\frac{1}{2}p)^p e^{p+1}}{1 \cdot 2 \cdot 3 \cdots p} \left(\frac{2}{g+1}\right)^p \frac{i^{p(g-1)} pf}{hg}.$$

41. Cerchiamo anche i valori di  $z''$ ,  $z'''$ , trattando la serie

$$s' = 1 + \frac{(\frac{1}{2}p^2 x)^2}{1 \cdot (2r+2) \sin^2 n} + \frac{(\frac{1}{2}px)^4}{1 \cdot 2 \cdot (2r+2) \cdot (2r+3) \sin^4 n} + \text{ecc.}$$

la quale conduce all'equazione

$$\frac{d^2 s'}{dx^2} + \frac{2p+3}{x} \frac{ds'}{dx} = \frac{p^2 s'}{\sin^2 n}.$$

Facciasi  $s' = i^{\frac{1}{2}p \int y' dx}$ , e si avrà

$$\frac{dy'}{dx} + \frac{1}{2}py'^2 + \frac{2p+3}{x}y' = \frac{2p}{\sin^2 n}.$$

Sia  $y' = y + \frac{\zeta}{p}$ , sostituendo dovràaversi

$$\frac{dy}{dx} + \frac{py^2}{2} + \frac{2p+1}{x}y + \frac{d\zeta}{pdx} + y\zeta + \frac{\zeta^2}{2p} + \frac{2y}{x} + \frac{2\zeta}{x} + \frac{3\zeta}{px} = \frac{2p}{\sin^2 n};$$

e siccome il valore di  $y$  soddisfa già all' equazione

$$\frac{dy}{dx} + \frac{py^2}{2} + \frac{2p+1}{x}y = \frac{2p}{\sin^2 n},$$

si avrà semplicemente

$$\frac{d\zeta}{pdx} + y\zeta^2 + \frac{\zeta^2}{2p} + \frac{2y}{x} + \frac{2\zeta}{x} + \frac{3\zeta}{px} = 0,$$

e trascurando i termini divisi per  $p$ ,

$$y\zeta^2 + \frac{2y}{x} + \frac{2\zeta}{x} = 0,$$

$$\text{onde si trae } \zeta = -\frac{\frac{2y}{x}}{y + \frac{2}{x}},$$

e posto in luogo di  $y$  il suo valor prossimo  $\frac{2(g-1)}{x}$ ,

$$\zeta = -\frac{2(g-1)}{gx}.$$

Non volendo spingere più oltre l' approssimazione , possiamo ritenere

$$y' = y - \frac{2(g-1)}{pgx}, \quad y'dx = ydx - \frac{2dg}{p(g+1)},$$

$$\int y'dx = \int ydx - \frac{2}{p} \ln \frac{g+1}{2}; \quad s' = \frac{2s}{g+1}.$$

42. Essendo  $z'' = \int \frac{a^{p-1}}{\sin^{p+1} n} dn$ , prenderemo qui

$$\begin{aligned} l\psi &= ls - l\frac{g+1}{2} - (p+1)la - (p+3)lsinn - lg + \text{ecc.}, \\ &= p(g-1) - (p+1)l\frac{g+1}{2} - (p+1)n\sqrt{-1} - (p+3)lsinn - lg + \text{ecc.}, \end{aligned}$$

42

e differenziando

$$\frac{d \cdot l\psi}{dn} = - \frac{px^3 \cot n}{(g+1) \sin^2 n} - (p+3) \cot n - (p+1) \sqrt{-1}$$

$$+ \frac{x^3 \cot n}{g(g+1) \sin^2 n} + \frac{x^3 \cot n}{g^2 \sin^2 n} + \text{ecc.},$$

onde  $a^p \sin^{p+1} n \cdot z'' = a^p \sin^{p+1} n \cdot c''$

$$- \left( \frac{2}{g+1} \right)^{p+1} \frac{i^{p(p-1)}}{g} \cdot \frac{a^{-1}}{\frac{p}{(g+1)\cos n} + (p+1)a + 2\cos n}.$$

Si troverà con eguale processo

$$a^{-p} \sin^{p+1} n \cdot z''' = a^{-p} \sin^{p+1} n \cdot c'''$$

$$- \left( \frac{2}{g+1} \right)^{p+1} \frac{i^{p(p-1)}}{g} \cdot \frac{a^{+1}}{\frac{p}{(g+1)\cos n} + (p+1)a^{-1} + 2\cos n};$$

e quindi

$$\Pi' = - 2 \frac{(\frac{1}{2}p)^{p+1} e^{p+1}}{1 \cdot 2 \cdot 3 \dots (p+1)} \left( \frac{2}{g+1} \right)^{p+1} i^{p(p-1)} \cdot \left( \frac{pe^2}{g+1} + 2p+2 \right) \frac{f}{h'g} + \text{ecc.},$$

$$\text{posto } h' = \left( \frac{pe^2}{g+1} + 2 \right)^2 + (2p+2) \left( \frac{pe^2}{g+1} + 2 \right) + (p+1)^2 e^2,$$

ed ommesse le costanti, acciò si abbia

$$\frac{\Pi'}{e^{p+1}} = \frac{p^{p+1}}{1 \cdot 2 \cdot 3 \dots (p+2)} C^{(x)} = \frac{p^{p+1}}{1 \cdot 2 \cdot 3 \dots (p+2)} B^{(x)} = \frac{p^{p+1}}{1 \cdot 2 \cdot 3 \dots (p+1)} \frac{1}{2^{p+1}},$$

quando  $\alpha = 0$ .

43. Riunendo finalmente i valori di  $\Pi$  e di  $\Pi'$ , scriveremo

$$P'' = \Pi + \Pi' =$$

$$- 2 \frac{(\frac{1}{2}p)^p e^{p+1}}{1 \cdot 2 \cdot 3 \dots p} \left( \frac{2}{g+1} \right)^p i^{p(p-1)} \cdot \frac{pf}{g} \left\{ \frac{1}{h} + \frac{1}{h'} \frac{p}{p+1} \frac{1}{g+1} \left( \frac{e^2}{g+1} + 2 + \frac{2}{p} \right) \right\}.$$

Siccome questa quantità non costituisce che il primo termine dello svolgimento di  $P'$  secondo le potenze discendenti di  $p$ , potremo mettere 1 in luogo di  $\frac{p}{1+p}$ ,  $p$  in luogo di  $p+1$  e di  $p+2$ , laddove questi numeri non servono di esponente, e quindi  $h=h'$ . Si può inoltre sostituire al prodotto  $1.2.3...p$  il suo valor prossimo  $-p^2 i^p A\sqrt{(p\pi)}$  (vedi § 27). Si avrà con tutte queste riduzioni

$$P' = \frac{2e^2}{A\sqrt{(p\pi)}} \left( \frac{ei^x}{1+g} \right)^p \frac{pf}{hg} \left( 1 + \frac{2}{1+g} + \frac{e^2}{(1+g)^2} \right) + \text{ecc.};$$

ma essendo l'ultimo fattore di questa espressione

$$= 1 + \frac{2}{1+\sqrt{(1+ee)}} + \frac{ee}{\{1+\sqrt{(1+ee)}\}^2} = \frac{4+2ee+4\sqrt{(1+ee)}}{2+ee+2\sqrt{(1+ee)}} = 2,$$

risulta molto più compendiosamente

$$P'' = \frac{4e^2}{A\sqrt{(p\pi)}} \cdot \frac{pf}{hg} \left( \frac{ei^x}{1+g} \right)^p + \text{ecc.},$$

ritenendo

$$f = \sqrt{(1-ee)},$$

$$g = \sqrt{(1+ee)},$$

$$h = \left( \frac{pe^2}{g+1} + 2 \right)^2 + 2p \left( \frac{pe^2}{g+1} + 2 \right) + p^2 e^2.$$

Si è già trovato al § 27

$$P = \frac{2}{p} \left( \frac{ei^x}{1+f} \right)^p \left\{ 1 - \frac{\Psi(\sqrt{bbp})}{\sqrt{\pi}} - \left( T + \frac{T'}{p} + \frac{T''}{p^2} + \text{ecc.} \right) \frac{i^{bbp}}{A\sqrt{(p\pi)}} \right\}.$$

La somma  $P' + P''$  darà il valore di  $P$ , o sia del coefficiente di  $\sin pu$  nella serie che esprime l'equazione del centro, il qual valore sarà tanto più prossimo al vero, quanto maggiore è il numero  $p$ .

44. Esaminando le espressioni trovate, si vede che entrambe protratte all'infinito si accostano ad una progressione geometrica. Il rapporto fra il valore di  $P'$  che corrisponde ad un indice infinito, ed il valore che lo precede è  $= \frac{e i^r}{1+f} = \frac{e i^{r(1-e)}}{1+\sqrt{1-ee}}$ ; dunque la serie dei valori di  $P'$  cesserà d'essere convergente quando questo rapporto è eguale all'unità, o sia quando  $le = l(1+\sqrt{1-ee}) - \sqrt{1-ee}$ . Ora questa eguaglianza ha luogo quando  $e = 1$ ; dunque per tutte le orbite elittiche la serie, il cui termine generale è  $P'$ , sarà convergente.

Il limite al quale va accostandosi il rapporto fra i valori successivi di  $P''$  è  $= \frac{e i^s}{1+g} = \frac{e i^{s(1+ee)}}{1+\sqrt{1+ee}}$ ; dunque per riguardo a  $P''$  la serie non sarà più convergente quando  $le = l(1+\sqrt{1+ee}) - \sqrt{1+ee}$ , il che ha luogo quando  $e = 0,66$  circa.

Nella precedente conclusione, nella quale si suppone  $p$  numero infinito, abbiamo potuto, senza mancare al rigore matematico, trascurare, a fronte del primo, i termini susseguenti di  $P'$  e  $P''$ . Ma se le nostre formole procedenti secondo le potenze negative di  $p$  si volessero applicare ad un caso in cui  $p$  fosse bensì numero grandissimo, ma non infinito, andrebbero soggette al primo inconveniente d'essere espresse da una serie della quale non si conosce abbastanza l'indole e l'andamento. Non ostante ciò si potranno esse adoperare con vantaggio nell'uso pratico, e serviranno ad abbreviare il calcolo nei casi in cui col metodo consueto riuscirebbe d'una lunghezza eccessiva.

45. Supponiamo, per esempio, che si cerchi il coefficiente di  $\cos 20u$  nello svolgimento dell'anomalia vera in funzione della media, posta l'eccentricità = 0,5; avremo

$$f^2 = 0,75, \quad g^2 = 1,25, \quad p = 20,$$

e quindi successivamente

$$A = -\sqrt{2} \left( 1 + \frac{1}{240} + \text{ecc.} \right),$$

$$b^2 = -lf + f - 1 = 0,0098664,$$

$$\sqrt{bbp} = 0,44422,$$

$$\frac{\Psi(\sqrt{bbp})}{\sqrt{\pi}} = 0,26494,$$

$$L.T = 9,81597, (*)$$

$$- \frac{T}{4\sqrt{p\pi}} i^{-bbp} = 0,04774,$$

$$1 - \frac{\Psi(\sqrt{bbp})}{\sqrt{\pi}} - \frac{T}{4\sqrt{p\pi}} i^{-bbp} = 0,78280.$$

Il valore del prodotto  $hg$  prende nel caso attuale la forma semplicissima  $102\sqrt{5} + 100$ ; in fatti si ha  $g = \frac{1}{2}\sqrt{5}$ ,

$$\frac{pe^2}{1+g} + 2 = \frac{10}{2+\sqrt{5}} + 2,$$

$$h = \frac{100}{(2+\sqrt{5})^2} + \frac{440}{2+\sqrt{5}} + 184 = \frac{1176\sqrt{5} + 2636}{9+4\sqrt{5}},$$

$$gh = \frac{2940 + 1318\sqrt{5}}{9+4\sqrt{5}},$$

e moltiplicando di sopra e di sotto per  $9 - 4\sqrt{5}$ ,

$$gh = \underbrace{\frac{102\sqrt{5} + 100}{1}}_{I} = 328,079.$$

Troveremo in seguito

(\*) Colla lettera  $I$  indichiamo i logaritmi iperbolici, e colla lettera  $L$  i logaritmi tabelari.

i logaritmi iperbolici, e colla lettera  $L$  i logaritmi tabelari.

$$\begin{array}{ll}
 L \cdot Li = 9,63778 & L \cdot Li = 9,63778 \\
 Lf = 9,93753 & Lg = 0,04845 \\
 \hline
 L \cdot fLi = 9,57531 & L \cdot gLi = 9,68623 \\
 fLi = 0,37611 & gLi = 0,48555 \\
 Le = 9,69897 & Le = 9,69897 \\
 \hline
 & 0,18452 \\
 L(1+f) = 0,27091 & L(1+g) = 0,32593 \\
 \hline
 L \frac{ei^f}{1+f} = 9,80417 & L \frac{e^{ig}}{1+g} = 9,85859 \\
 L \left( \frac{ei^f}{1+f} \right)^p = 6,08340 & L \left( \frac{e^{ig}}{1+g} \right)^p = 7,17180 \\
 \hline
 L \frac{2}{p} - 0,78280 = 8,89365 & L 4e^a = 0,00000 \\
 \hline
 LP = 4,97705 \text{ in parti di raggio} & Lf = 9,93753 \\
 L \sin 1'' = 4,68557 & Lp = 1,30103 \\
 \hline
 LP = 0,29148 \text{ in secondi} & 8,41036 \\
 \hline
 P' = +1'',956 & L(-P') = 4,84296 \text{ in parti di raggio} \\
 P'' = -1',437 & L \sin 1'' = 4,68557 \\
 \hline
 P = +0',519 & L(-P'') = 0,15739 \text{ in secondi}
 \end{array}$$

46. Nei calcoli dei §§ 31 e 32 abbiamo supposto che  $p$  fosse numero pari =  $2r$ ; ora mostreremo che il valore di  $P''$  non cambia anche supponendo  $p$  numero dispari.

Sia dunque  $p = 2r + 1$ , la quantità  $\Pi$  nascerà dai termini della serie del § 31 nei quali  $\sin u$  ha un esponente pari.

Posto dunque  $q = r+1, r+2, r+3, \dots$ , ecc., si formeranno i valori di  $C^{(q+r)}$  col mezzo dei valori di  $B^{(r)}$  dati al § 32; e da questi si dedurrà

quando  $q = r+1$ ,  $\pm C^{(r+1)} =$

$$\frac{1 \cdot (2r+2)}{1 \cdot 2^{2r+1}} \sin^{2r+4} n \left( a^{-2r-1} \int \frac{a^{2r+1}}{\sin^{2r+3} n} dn - a^{2r+1} \int \frac{a^{-2r-1}}{\sin^{2r+3} n} dn \right)$$

$q = r+2$ ,  $\pm C^{(r+1)} =$

$$-\frac{2 \cdot (2r+3)(2r+4)}{1 \cdot 2 \cdot 2^{2r+3}} \sin^{2r+4} n \left( a^{-2r-1} \int \frac{a^{2r+1}}{\sin^{2r+5} n} dn - a^{2r+1} \int \frac{a^{-2r-1}}{\sin^{2r+5} n} dn \right)$$

ecc.

e quindi

$$\Pi = \left( \frac{2r+1}{2} \right)^{2r+1} \frac{e^{2r+2}}{1 \cdot 2 \cdot 3 \dots (2r+1)} \left( a^{2r+1} \sin^{2r+3} n \cdot z - a^{-2r-1} \sin^{2r+3} n \cdot z' \right),$$

posto

$$z = \int \frac{a^{-2r-1}}{\sin^{2r+3} n} dn + \left( \frac{2r+1}{2} \right)^2 \frac{\tan^2 n}{1 \cdot (2r+2)} \int \frac{a^{-2r-1}}{\sin^{2r+5} n} dn + \text{ecc.}$$

$$z' = \int \frac{a^{2r+1}}{\sin^{2r+3} n} dn + \left( \frac{2r+1}{2} \right)^2 \frac{\tan^2 n}{1 \cdot (2r+2)} \int \frac{a^{2r+1}}{\sin^{2r+5} n} dn + \text{ecc.};$$

le quali espressioni, quando si mette  $p$  in luogo di  $2r+1$ , combinano perfettamente colle già trovate al § 31.

Il valore di  $\Pi'$  si troverà anch'esso conforme a quello già ottenuto nel caso che  $p$  sia pari, purchè si faccia uso dell'ultima espressione di  $D^{(r+1)}$  del § 19.

Coll'altra espressione di  $D^{(r+1)}$  il valore di  $\Pi'$  sarebbe risultato lo stesso, ma sotto una forma, di cui difficilmente avremmo potuto conoscere l'identità colla prima.

47. Per compimento delle ricerche che abbiamo intraprese esaminiamo anche la serie che esprime il raggio vettore per mezzo dei coseni dei multipli dell'anomalia media. Chiamando  $r$  questo raggio, si ha dalla già citata Meccanica Analitica, <sup>questo raggio, si ha dalla già citata</sup> pag. 23, vol. II,

$$r = 1 - \cos u + \frac{e^3}{1} \sin^2 u + \frac{e^3}{1 \cdot 2} \frac{d \sin^3 u}{du} + \frac{e^4}{1 \cdot 2 \cdot 3} \frac{d^2 \sin^4 u}{du^2} + \text{ecc.}$$

Svolgendo le potenze dei seni, si trova che in generale il coefficiente di  $\cos pu$ , escluso il caso di  $p=0$ , è espresso da

$$Q = \pm \frac{e^p p^{p-1}}{2^{p-1} 1 \cdot 2 \cdot 3 \cdots p} \left( p - \frac{p+2}{1 \cdot (p+1)} (\frac{1}{2} pe)^2 + \frac{p+4}{1 \cdot 2 \cdot (p+1) \cdot (p+2)} (\frac{1}{2} pe)^4 - \text{ecc.} \right).$$

Se nel valore di  $s$  dato al § 33 si fa  $\sin^2 n = -1$ ,  $x = e$ , si ha

$$s = 1 - \frac{(\frac{1}{2} pe)^2}{1 \cdot (p+1)} + \frac{(\frac{1}{2} pe)^4}{1 \cdot 2 \cdot (p+1) \cdot (p+2)} - \text{ecc.}$$

e di qui si deduce facilmente

$$ps + e \frac{ds}{de} = p - \frac{p+2}{1 \cdot (p+1)} (\frac{1}{2} pe)^2 + \frac{p+4}{1 \cdot 2 \cdot (p+1) \cdot (p+2)} (\frac{1}{2} pe)^4 - \text{ecc.}$$

Sarà dunque  $Q = \pm \frac{e^p p^{p-1}}{2^{p-1} 1 \cdot 2 \cdot 3 \cdots p} \left( ps + e \frac{ds}{de} \right)$ .

Sostituendo in questa espressione i valori approssimati di  $s$ , di  $y$  e del prodotto  $1 \cdot 2 \cdot 3 \cdots p$ , si arriva all'equazione

$$Q = \pm \frac{2 e^p i^{p+1}}{2^p p A \sqrt{(p\pi)}} g \left( \frac{2}{g+1} \right)^2;$$

dalla quale deducesi che il limite della ragione de' successivi termini che compongono la serie pel raggio vettore è  $= \frac{ei^s}{2}$ , e che la serie stessa cessa d'essere convergente quando  $le + \sqrt{(1+ee)} = l_2$  o sia quando  $e$  giunge a 0,62.



---

---

# NUOVA ANALISI

DEL PROBLEMA  
DI DETERMINARE LE ORBITE DEI CORPI CELESTI

DI

OTTAVIANO FABRIZIO MOSSOTTI.

---

## PARTE SECONDA.

---

### ARTICOLO I.

*Prospetto delle formole da calcolarsi per determinare l'orbita di un corpo celeste quando si prende per piano delle coordinate xy quello dell'eclittica.*

43.

NELL' analisi precedente , per conservare tutta la possibile generalità e per dare alle formole una disposizione più regolare , abbiamo riferite le posizioni tanto della terra che del corpo celeste a tre piani coordinati rettangoli che potevano essere posti comunque . Se però qual caso particolare supporremo che il piano delle  $xy$  sia quello in cui si muove la terra , o sia quello dell'eclittica , è facile il vedere che le formole ritrovate acquisiteranno una maggiore semplicità , e diverranno più brevi pel calcolo numerico . Prenderò quindi in quest' articolo ad esporre la *riduzione* della quale sono suscettibili

*App. Eff. 1818.*

7

le dette formole nella condizione che il piano delle  $xy$  sia quello dell'eclittica, tanto più che a questo caso, siccome il più semplice, gli astronomi riducono comunemente le loro applicazioni.

Incominciando la riduzione dalle prime formole dell'analisi, faremo osservare che, nella supposizione che il piano delle  $xy$  sia quello dell'eclittica, e che l'asse delle  $x$  passi pel punto  $0^\circ$  d'Ariete, le quantità  $\Lambda', \Lambda'', \Lambda'''$  nelle equazioni (7) rappresentano le longitudini geocentriche del corpo celeste nelle tre osservazioni, e che le altre  $\lambda', \lambda'', \lambda'''$  esprimono le latitudini geocentriche del medesimo. Prese adunque le lettere  $\Lambda'$  ecc.,  $\lambda'$  ecc. in questo significato, e fatto per semplicità, come è permesso,  $o' = o'' = o''' = 1$ , si avrà

$$\begin{array}{ll} m' = \cot \lambda' \cos \Lambda' & n' = \cot \lambda' \sin \Lambda' \\ (1) \quad m'' = \cot \lambda'' \cos \Lambda'' & n'' = \cot \lambda'' \sin \Lambda'' \\ m''' = \cot \lambda''' \cos \Lambda''' & n''' = \cot \lambda''' \sin \Lambda''' \end{array}$$

Ora avendosi supposto in generale al numero 8

$$\delta = \frac{\Delta}{\sqrt{m^2 + n^2 + o^2}}$$

dove  $\Delta$  rappresenta la distanza del corpo celeste dalla terra, risulterà per la sostituzione dei precedenti valori di  $m, n, o$

$$(2) \quad \delta' = \Delta' \sin \lambda', \quad \delta'' = \Delta'' \sin \lambda'', \quad \delta''' = \Delta''' \sin \lambda'''$$

Dal che si vede che nel presente caso le lettere  $\delta', \delta'', \delta'''$  indicano le elevazioni del corpo celeste sul piano dell'eclittica negl'istanti delle tre osservazioni.

Al numero 9 abbiamo posto

$$X = \mu D, \quad Y = \nu D, \quad Z = \sigma D$$

Ora essendo  $X, Y, Z$  le coordinate della terra, siccome il piano delle  $xy$  coincide con quello nel quale muovesi la medesima, sarà  $Z=0$ , e quindi risulterà parimente  $\omega=0$ . Potremo adunque nelle nostre equazioni supporre

$$(3) \quad \mu = \cos L, \quad \nu = \sin L$$

indicando con  $L$  la longitudine della terra.

Essendo inoltre

$$R = \sqrt{X^2 + Y^2 + Z^2}$$

troveremo coi precedenti valori di  $\mu, \nu, \omega$

$$(4) \quad R = D$$

Dal che dedurremo che per la lettera  $D$  dovrà intendersi la distanza della terra dal sole, e che quindi le lettere  $D', D'', D'''$  rappresenteranno queste tre distanze nei tempi delle tre osservazioni.

Non tralasceremo d' osservare che la supposizione di essere il piano delle  $xy$  quello dell' eclittica conduceci alla conseguenza di avere  $i=0$ , le equazioni (149), (150), (151) della prima parte daranno perciò

$$(5) \quad C''' = 0, \quad C'' = 0, \quad C' = \sqrt{P}$$

#### 44.

Questo premesso, apparisce tosto cosa diventano le quantità  $b_i^1, b_i^{11}, b_i^{111}, b_i^1$ , ecc. delle quali abbiamo dato le espressioni al numero 9, e che entrano come principali nelle nostre equazioni. Siccome abbiamo in generale

$$(6) \quad o \equiv \omega = 0$$

si troverà che i valori delle quantità  $b_i^1, b_i^{11}, b_i^{111}, b_i^{111}$ , che

sono le sole  $b$  delle quali abbiamo bisogno, verranno così espressi

$$(7) \quad \begin{aligned} b_1^1 &= \mu' (n' - n'') - \nu' (m' - m'') \\ b_1^2 &= \mu'' (n' - n'') - \nu'' (m' - m'') \\ b_1^{11} &= \mu'' (n'' - n''') - \nu'' (m'' - m''') \\ b_3^{11} &= \mu''' (n'' - n''') - \nu''' (m'' - m''') \end{aligned}$$

Parimente si vedrà che la quantità  $\theta$  data dall'equazione (86) del numero 13 ora sarà rappresentata dall'equazione

$$(8) \quad \theta = (m' - m'') (n'' - n''') - (n' - n'') (m'' - m''')$$

Le quantità  $b_1^1$ ,  $b_1^2$ ,  $b_1^{11}$ ,  $b_3^{11}$ ,  $\theta$  per la sostituzione dei valori trigonometrici (1), (3) di  $m'$ ,  $n'$ , ecc.,  $\mu'$ ,  $\nu'$ , ecc. sono suscettibili d'essere poste sotto varie eleganti formole, come può vedersi nella bella Memoria di Lagrange inserita fra quelle dell' Accademia di Berlino dell' anno 1783, e recentemente nella sua seconda edizione della *Mécanique analytique*; noi le conserveremo nulladimeno sotto questa loro primitiva forma, perchè il calcolo numerico delle nostre equazioni riesce più breve.

#### 45.

Dai valori di  $b_1^1$ ,  $b_3^{11}$  si avranno immediatamente quelli di  $a_1^1$ ,  $a_3^{11}$ , giacchè le equazioni (128) nel presente caso danno

$$(9) \quad a_1^1 = b_1^1 : \sin(L'' - L') \quad a_3^{11} = b_3^{11} : \sin(L''' - L'')$$

#### 46.

Le formole (124) subiscono nessuna variazione; faremo soltanto osservare che se si suppongono fatte le osservazioni

ad eguali intervalli di tempo, così che sia  $\theta' = \theta''$ , si avrà  $\sigma = 1$ ,  $\sigma_1 = 2$ ,  $\rho = 2$ ,  $\rho_1 = 2$ , e quindi dalle equazioni (113) si otterrà

$$\gamma''' = -3b_1'''D'' \quad \gamma^1 = -3b_1^1D''$$

e dalle (124)

$$(10) \quad a_1^1 = -\frac{1}{6} \frac{\theta}{b_1'''^2} \frac{D'}{D''} \quad a_3''' = -\frac{1}{6} \frac{\theta}{b_1^1} \frac{D'''}{D''}$$

i quali valori di  $a_1^1$ ,  $a_3'''$  sono più semplici e spediti a calcolarsi.

#### 47.

Essendo in generale nella citata posizione del piano delle  $xy$

$$\alpha = 1$$

$$\alpha = 0$$

i valori di  $d'$ ,  $d_1'$ ;  $f'$ ,  $f_1'$ ;  $g'$ ,  $g_1'$  dati al numero 27 diverranno

$$(11) \quad \begin{aligned} d' &= 1 & d_1' &= a_1^1 : a_3''' \\ f' &= n' + a_1^1 \nu' & f_1' &= (n''' + a_3''' \nu'') a_1^1 : a_3''' \\ g' &= m' + a_1^1 \mu' & g_1' &= (m''' + a_3''' \mu'') a_1^1 : a_3''' \end{aligned}$$

Così essendo pure  $C''' = C'' = 0$ , facendo come al preceduto numero

$$(12) \quad \frac{f' - f_1'}{d' - d_1'} = h' \quad \frac{g' - g_1'}{d' - d_1'} = k'$$

la prima delle equazioni (134) prenderà ora la forma

$$(13) \quad k' c''' + h' c'' + c' - C' = 0$$

## 48.

Un altro gruppo di tre osservazioni somministrerà, come abbiamo detto al numero 29, una seconda equazione che, indicando con  $h'_{(1)}$ ,  $k'_{(1)}$  i coefficienti formati nella stessa maniera dei precedenti  $h'$ ,  $k'$ , sarà

$$(14) \quad k'_{(1)}c''' - h'_{(1)}c'' + c' - C' = 0$$

Vi è però una riflessione da farsi che abbrevia notabilmente il calcolo. Se per formare questo secondo gruppo di osservazioni ne prendiamo due comuni al precedente, per esempio la seconda e la terza, e ne aggiungiamo soltanto una quarta, posponendo al solito l'indice (1) alle quantità appartenenti al secondo gruppo per distinguerle da quelle del primo, è facile il vedere che sarà

$$\begin{array}{ll} m'' = m'_{(1)} & n'' = n'_{(1)} \\ m''' = m''_{(1)} & n''' = n''_{(1)} \\ \mu'' = \mu'_{(1)} & \nu'' = \nu'_{(1)} \\ \mu''' = \mu''_{(1)} & \nu''' = \nu''_{(1)} \end{array}$$

e che quindi avremo

$$b_1''' = b_{1(1)}^i \quad b_3''' = b_{3(1)}^i$$

onde una gran parte delle quantità componenti la seconda equazione si troverà già calcolata precedentemente. Questa scelta d'osservazioni sarà perciò preferibile, ed in tal modo la soluzione del problema non esigerà più di quattro osservazioni.

## 49.

Dalle due precedenti equazioni (13) e (14) si ricaveranno, come fu già detto al numero 25, i valori di  $c''$ ,  $c''$ , cioè che si otterrà facendo

$$(15) \quad \frac{h'_{(1)} - h'}{h'k'_{(1)} - k'h'_{(1)}} = M \quad \frac{k'_{(1)} - k'}{h'k'_{(1)} - k'h'_{(1)}} = N$$

e poi

$$(16) \quad c''' = -M(C' - c'), \quad (17) \quad c'' = -N(C' - c')$$

Quindi la formola (141) del numero 31, facendo uso delle riduzioni che somministrano le precedenti equazioni (5), (6), e supponendo

$$(18) \quad O'' = \frac{d'_{(1)} - f'_{(1)} + g'_{(1)} M}{a'_{(1)}}$$

si ridurrà alla seguente, la quale darà il valore di  $C' - c'$  così espresso

$$(19) \quad C' - c' = \frac{\{O'' + \nu'' N - \mu'' M\}C'}{\{o'' - n'' N + m'' M\}O''}$$

Determinato con questa equazione il valore di  $C' - c'$ , sostituendolo nelle precedenti (16), (17), avremo anche quelli di  $c'''$ ,  $c''$ ; ed essendo dato  $C'$  dall' equazione (5) per mezzo della radice del semiparametro dell' orbita terrestre, sarà noto anche  $c'$ . Ora le formole (145), (146), (148) dei numeri 32 e 34, nelle quali  $\Omega$  indica la longitudine dei nodi, ed  $i$  l'inclinazione dell' orbita del corpo celeste col piano  $xy$ , danno

$$(20) \quad \tan \Omega = \frac{o''}{c''}, \quad (21) \quad \tan i = \frac{c''}{\sin \Omega}$$

$$(22) \quad \wp = \frac{c'}{\cos i}$$

Dedurremo perciò da esse immediatamente e la posizione del piano dell' orbita , e la radice del semiparametro.

## 50.

Per mezzo del valore di  $C - c'$  e dell' equazione (139) del numero 30 , la quale dà

$$(23) \quad C' \delta'' = O''(C' - c')D''$$

conosceremo quello di  $\delta'$  o sia dell' elevazione del corpo celeste sul piano dell'eclittica nella seconda osservazione; e siccome sostituendo nell'equazione (101) del numero 20 per  $m'', n'', o'' ; \mu'', \nu'', \omega''$  i valori superiormente dati , si ha il raggio vettore del medesimo così espresso:

$$(24) \quad r''^2 = D''^2 + 2\cot\lambda''\cos(\Lambda'' - L'')D''\delta'' + \delta''^2 : \sin^2\lambda''$$

potremo perciò determinare questo raggio vettore , ed in seguito l'argomento di latitudine della medesima osservazione per mezzo della terza delle equazioni segnate (157), la quale nella presente supposizione del piano delle  $xy$  dà

$$(25) \quad \sin u'' = \frac{\delta''}{r'' \sin i}$$

Onde se il corpo celeste sarà una cometa per la quale si possa supporre l'orbita parabolica , e diventi la distanza perielia  $q = p$  , si otterrà subito l'argomento di latitudine del perielio  $\sigma$ , colla formola (40) del numero 5, facendo

$$\cos \frac{1}{2}(u'' - \sigma) = \sqrt{\left(\frac{p}{r''}\right)}$$

Trovato  $\sigma$ , sarà la longitudine del perielio

$$\Pi = \sigma + \Omega$$

E si avrà finalmente il tempo del passaggio della cometa al perielio per mezzo di  $q$  e dell'anomalia  $u - \omega$  colla tavola del vero e medio movimento parabolico delle comete, come in tutti i metodi.

## 51.

Se poi l'orbita non si potrà supporre parabolica, allora facendo

$$(26) \quad O_{(n)}'' = \frac{d'_{(n)} - f'_{(n)}N + g'_{(n)}M}{a'_{(n)}}$$

avremo, secondo ciò che si è detto al numero 30,

$$(27) \quad C\delta_{(n)}'' = O_{(n)}''(C' - c')D_{(n)}''$$

nella quale equazione faremo osservare che nell'adottato sistema di sole quattro osservazioni si ha  $\delta_{(n)}'' = \delta''$ ,  $D_{(n)}'' = D''$ .

Determinato  $\delta_{(n)}''$  con questa equazione similmente che qui sopra si troverà il raggio vettore  $r_{(n)}''$ , e l'argomento di latitudine  $u_{(n)}''$  colle formole

$$(28) \quad r_{(n)}''^2 = D_{(n)}'' + 2\cot\lambda_{(n)}''\cos(\Lambda_{(n)}'' - L_{(n)})D_{(n)}''\delta_{(n)}'' + \delta_{(n)}''^2 : \sin^2\lambda_{(n)}''$$

$$(29) \quad \sin u_{(n)}'' = \frac{\delta_{(n)}''}{r_{(n)}'' \sin i}$$

e quindi, come è stato dimostrato al num. 38, supponendo

$$\frac{p}{r''} - 1 = q'' \quad \frac{p}{r_{(n)}''} - 1 = q_{(n)}''$$

ricaveremo l'argomento di latitudine del perielio colla formula (170) che nel presente caso diviene

$$(30) \quad \tan\left(\frac{1}{2}u'' + \varpi\right) = \frac{q'' - q_{(n)}''}{q'' + q_{(n)}''} \cot\frac{1}{2}(u_{(n)}'' - u'')$$

*App. Eff. 1818.*

8

Coll'argomento di latitudine del perielio avremo la longitudine del detto punto, come prima, espressa dalla formola

(31)

$$\pi = \sigma + \Omega$$

Indi troveremo l'eccentricità che sarà data dalla seguente

$$(32) \quad e = \frac{q'' - q''_{(1)}}{2\sin^{\frac{1}{2}}(u'_{(1)} - u'')\sin(\frac{1}{2}u'' + \frac{1}{2}u''_{(1)} - \sigma)}$$

e finalmente si dedurrà la distanza perelia  $q$  calcolando la formola (174) del numero 40

(33)

$$q = \frac{p}{1+e}$$

Determinati per tal modo tutti i precedenti elementi, non resterà più che da trovarsi il tempo del passaggio al perielio, il che si otterrà colle note formole (175), (177), (178), (180): e se le orbite saranno molto eccentriche, nel qual caso le citate formole sono meno atte ad essere calcolate con precisione, si potrà ricorrere ai mezzi insegnati dal celebre professore Gauss ai numeri 37, 39, 41 della sua *Theoria motus etc.* che mi sembrano agli altri preferibili.

Avendo così radunate come in un quadro tutte le formole necessarie pel calcolo dell'orbita di un corpo celeste riferito all'eclittica, il che potrà esser utile a coloro che volessero intraprendere una tale ricerca con questo metodo, esporrò nel seguente articolo un esempio numerico del suddetto calcolo, ciò che mostrerà vie meglio l'uso ed il grado d'approssimazione delle riportate formole.

## ARTICOLO II.

### *Esempio numerico istituito sulla prima cometa dell' anno 1759.*

#### 52.

La maggior parte degli astronomi che hanno proposto dei nuovi metodi per determinare le orbite delle comete, hanno scelta questa per farne oggetto delle loro applicazioni; noi gli imiteremo, tanto più che il chiarissimo signor Delambre nella nuova sua *Astronomia teorico-pratica* ha calcolato cogli elementi elittici di Klinkenberg una tavola dei luoghi geocentrici della detta cometa e dei corrispondenti luoghi del sole, la quale è appunto diretta a somministrare un sussidio per coloro che volessero provare qualche nuovo metodo.

Facendo uso di sole quattro osservazioni, io ho desunto dalla detta tavola i seguenti luoghi colle rispettive loro epoche (\*).

Giorni delle osservazioni	Longitudini della cometa.	Latitudini della cometa.	Longitud. della terra.	Logaritmi della distanza della terra dal sole.
1,446933	172 15 51,16	-31 15 16,46	221 10 41	0,003811
11,446933	159 33 28,11	-18 32 27,84	230 50 17	0,004777
21,446933	157 33 49,23	-15 2 18,73	240 27 26	0,005640
31,446933	157 32 23,17	-13 24 34,98	250 2 48	0,006320

(\*) Essendomi già innoltrato nel calcolo dell'orbita, ho riconosciuto che i luoghi geocentrici riportati nella citata tavola del sig. Delambre dovevano essere cangianti un poco, ed essere quindi ricalcolati ai surriserii.

Con queste longitudini e latitudini geocentriche della cometa comincio il calcolo delle quantità  $m'$ ,  $n'$ ,  $m''$ ,  $n''$ , ecc. secondo le formole del numero 43, equazioni (1), nel modo che siegue:

$$\begin{array}{ll}
 \log \cos \Lambda' = 9,9960295n & \log \sin \Lambda' = 9,1290617 \\
 \log \cot \lambda' = 0,2168656n & \underline{\hspace{10em}} \\
 \log m' = 0,2128951 & \log n' = 9,3459273n \\
 \\ 
 \log \cos \Lambda'' = 9,9717512n & \log \sin \Lambda'' = 9,5431515 \\
 \log \cot \lambda'' = 0,4744467n & \underline{\hspace{10em}} \\
 \log m'' = 0,4461979n & \log n'' = 0,0175982n \\
 \\ 
 \log \cos \Lambda''' = 9,9658149n & \log \sin \Lambda''' = 9,5816726 \\
 \log \cot \lambda''' = 0,5707805n & \underline{\hspace{10em}} \\
 \log m''' = 0,5365954 & \log n''' = 0,1524531n \\
 \\ 
 \log \cos \Lambda'''' = 9,9657401n & \log \sin \Lambda'''' = 9,5821112 \\
 \log \cot \lambda'''' = 0,6226704n & \underline{\hspace{10em}} \\
 \log m'''' = 0,5884105n & \log n'''' = 0,2047816n
 \end{array}$$

Trovati i valori di  $\log m'$ ,  $\log n'$ ,  $\log m''$ , ecc., passo ora col mezzo delle formole (7), (9) a determinare i valori di  $b'_1$ ,  $b'_2$ ,  $b''_1$ ,  $b'''_3$ , non che quelli di  $a'_1$ ,  $a'''_3$ , dei quali ecco il processo di calcolo:

$$\begin{array}{ll}
 m' = 1,6326575 & n' = -0,2217825 \\
 m'' = 2,7938164 & \underline{\hspace{10em}} \\
 m' - m'' = -1,1611589 & n' - n'' = 0,8195709
 \end{array}$$

$$\begin{array}{ll} \log(m' - m'') = 0,0648916n & \log(n' - n'') = 9,9135866 \\ \log \nu' = 9,8184906n & \log \mu' = 9,8766030n \\ \log \nu'' = 9,8895057n & \log \mu'' = 9,8003833n \end{array}$$

$$\begin{array}{ll} \log \nu'(m' - m'') = 9,8833822 & \log \mu'(n' - n'') = 9,7901896n \\ \log \nu''(m' - m'') = 9,9543973 & \log \mu''(n' - n'') = 9,7139699n \end{array}$$

$$\begin{array}{ll} \mu'(n' - n'') = -0,6168643 & \mu''(n' - n'') = -0,5175710 \\ \nu'(m' - m'') = 0,7645084 & \nu''(m' - m'') = 0,9003212 \end{array}$$

$$b_1^i = -1,3813727 \quad b_2^i = -1,4178922$$

$$\begin{array}{l} \log b_1^i = 0,1403110n \\ C \log \sin(L'' - L') = 0,7752050 \end{array}$$

$$\log a_1^i = 0,9155160n$$

$$\begin{array}{ll} m'' = 2,7938164 & n'' = -1,0413534 \\ m''' = 3,4402932 & n''' = -1,4205388 \end{array}$$

$$\begin{array}{ll} m'' - m''' = -0,6464768 & n'' - n''' = 0,3791854 \\ \log(m'' - m''') = 9,8105530n & \log(n'' - n''') = 9,5788517 \\ \log \nu'' = 9,8895057n & \log \mu'' = 9,8003833n \\ \log \nu''' = 9,9395131n & \log \mu''' = 9,6929114n \end{array}$$

$$\begin{array}{ll} \log \nu''(m'' - m''') = 9,7000587 & \log \mu''(n'' - n''') = 9,3792350n \\ \log \nu'''(m'' - m''') = 9,7500661 & \log \mu'''(n'' - n''') = 9,2717631n \end{array}$$

$$\begin{array}{ll} \mu''(n'' - n''') = -0,2394611 & \mu'''(n'' - n''') = -0,1869662 \\ \nu''(m'' - m''') = 0,5012550 & \nu'''(m'' - m''') = 0,5624269 \end{array}$$

$$b_{1(i)}^i = b_{2(i)}^i = -0,7407161 \quad b_{1(v)}^i = b_{3(v)}^i = -0,7493931$$

$$\log b_{1(i)}^i = 9,8696518n$$

$$\log b_{3(v)}^i = 9,8747097n$$

$$L'' - L' = 9^{\circ} 37' 9'' \quad C \log \sin(L'' - L') = 0,7770272$$

$$\begin{array}{l} \log a_{1(i)}^i = 0,6466790n \\ \log a_3^i = 0,6518369n \end{array}$$

$$\begin{array}{ll}
 m''' = 3,4402932 & n''' = -1,4205388 \\
 m'''' = 3,8762380 & n'''' = -1,6024396 \\
 \hline
 m''' - m'''' = -0,4359448 & n''' - n'''' = 0,1819008 \\
 \log(m''' - m''') = 9,6394315n & \log(n''' - n''') = 9,2598346 \\
 \log \nu''' = 9,9395131n & \log \mu''' = 9,6929114n \\
 \log \nu'''' = 9,9731144n & \log \mu'''' = 9,5330786n \\
 \hline
 \log \nu'''(m''' - m''') = 9,5789446 & \log \mu'''(n''' - n''') = 8,9527460n \\
 \log \nu''''(m'''' - m''') = 9,6125459 & \log \mu''''(n'''' - n''') = 8,7929132n \\
 \hline
 \mu'''(n''' - n''') = -0,0896904 & \mu''''(n'''' - n''') = -0,0620745 \\
 \nu'''(m''' - m''') = 0,3792666 & \nu''''(m'''' - m''') = 0,4097754 \\
 \hline
 b_{3(t)}^{(1)} = -0,4689570 & b_{3(t)}^{(1)} = -0,4718499 \\
 \hline
 \log b_{3(t)}^{(1)} = 9,6738039n \\
 L''' - L'' = 9^\circ 33' 22'' \quad Clog sin(L''' - L'') = 0,7783587 \\
 \hline
 \log a_{3(t)}^{(1)} = 0,4521626n
 \end{array}$$

Rimangono ora da calcolarsi le quantità  $a_1^1$ ,  $a_3^{(1)}$ ,  $a_{1(t)}^1$ ,  $a_{3(t)}^{(1)}$ , ciò che potremo fare approssimativamente colle formole (8), (10) dei numeri 44, 46 nel modo che siegue:

$$\begin{array}{ll}
 \log(m' - m'') = 0,06489n & \log(n' - n'') = 9,91359 \\
 \log(n'' - n'') = 9,57885 & \log(m'' - m'') = 9,81055n \\
 \hline
 \log(m' - m'')(n'' - n'') = 9,64374n & \log(n' - n'')(m'' - m'') = 9,72414n \\
 (m' - m'')(n'' - n'') = -0,44029 & \\
 (n' - n'')(m'' - m'') = -0,52983 & \\
 \hline
 b = 0,08954 \\
 \log b = 8,95202 \\
 Clog 6 = 9,22185 \\
 \log \frac{b}{6} = 8,17387
 \end{array}$$

$$\log b''' = 9,86965n$$

$$\log D'' = 0,00478$$

$$C \log \frac{1}{3} \gamma' = 0,12557$$

$$\log \frac{6}{6} = 8,17387$$

$$\log D' = 0,00381$$

$$\log a^* = 8,30325$$

$$\log b^* = 0,15164n$$

$$= 0,00478$$

$$C \log \frac{1}{3} \gamma''' = 9,84358$$

$$= 8,17387$$

$$\log D''' = 0,00564$$

$$\log a_3''' = 8,02309$$

$$\log (m'' - m''') = 9,81055n$$

$$\log (n'' - n''') = 9,57885$$

$$\log (n'' - n''') = 9,25983$$

$$\log (m''' - m''') = 9,63943n$$

$$\log(m'' - m''')(n'' - n''') = 9,07038n \quad \log(n'' - n''')(m''' - m''') = 9,21828n$$

$$(m'' - m''')(n'' - n''') = -0,11759$$

$$(n'' - n''')(m''' - m''') = -0,16530$$

$$\theta_{(1)} = 0,04771$$

$$\log \theta_{(1)} = 8,67861$$

$$C \log 6 = 9,22185$$

$$\log \frac{\theta_{(1)}}{6} = 7,90046$$

$$\log b_{3(1)}''' = 9,67113n$$

$$\log b_{3(1)}^* = 9,87471n$$

$$\log D''' = 0,00564$$

$$= 0,00564$$

$$C \log \frac{1}{3} \gamma_{(1)}' = 0,32323$$

$$C \log \frac{1}{3} \gamma_{(1)}''' = 0,11965$$

$$\log \frac{\theta_{(1)}}{6} = 7,90046$$

$$= 7,90046$$

$$\log D'' = 0,00478$$

$$\log D''' = 0,00632$$

$$\log a_{3(1)}^* = 0,00478$$

$$\log a_{3(1)}''' = 8,02643$$

*0,00478  
8,02643*

## 53.

Calcolate così tutte le quantità che entrano a comporre le equazioni (13), (14), possiamo ora intraprendere la determinazione numerica di queste equazioni.

*Calcolo della prima equazione.*

$$\begin{array}{ll}
 \log a_i^i = 0,91552n & \\
 d = 1 & C \log a_3^{ii} = 9,34826n \\
 d_i = \underline{1,83561} & \log d'_i = \log a_i^i : a_3^{ii} = \underline{0,26378} \\
 d - d_i = -0,83561 & \\
 \\ 
 n' = -0,22178 & \log a_i^i = 8,30325 \\
 a_i^i v' = -0,01324 & \log v' = \underline{9,81849n} \\
 f = n' + a_i^i v' = -0,23502 & \log a_i^i v' = \underline{8,12174n} \\
 \\ 
 n'' = -1,42054 & \log a_3^{ii} = 8,02309 \\
 a_3^{ii} v'' = -0,00917 & \log v'' = \underline{9,93951n} \\
 n'' + a_3^{ii} v'' = -1,42971 & \log a_3^{ii} v'' = \underline{7,96260n} \\
 \log(n'' + a_3^{ii} v'') = 0,15525n & \\
 \log a_i^i : a_3^{ii} = 0,26378 & \\
 f_i = -2,62440 & \log f_i = 0,41903n \\
 f - f_i = 2,38938 & \log(f - f_i) = 0,37829 \\
 C \log(d - d_i) = 0,07800n & \\
 h = -2,85950 & \log h = 0,45629n
 \end{array}$$

$$\begin{array}{ll}
 m' = 1,63266 & \log a'_i = 8,30325 \\
 a'_i \mu' = -0,01513 & \log \mu' = 9,87660n \\
 g = \underline{1,61753} & \log a'_i \mu' = 8,17985n \\
 \\ 
 m''' = 3,44029 & \log a_3''' = 8,02309 \\
 a_3''' \mu''' = -0,00520 & \log \mu''' = 9,69291n \\
 m''' + a_3''' \mu''' = \underline{3,43509} & \log(m''' + a_3''' \mu''') = 0,53594 \\
 & \log a'_i : a_3''' = 0,26378 \\
 g_i = \underline{6,30551} & \log g_i = 0,79972 \\
 g - g_i = -4,68798 & \log(g - g_i) = 0,67099n \\
 C \log(d - d_i) = 0,07800n & \\
 k = 5,61035 & \log k = 0,74899
 \end{array}$$

Coi ritrovati valori di  $h$  e  $k$  l'equazione (13) diverrà

$$5,61035 c''' + 2,85950 c'' + c' - C' = 0$$

Nello stesso modo eseguiremo ora il calcolo della seconda equazione segnata (14), omettendo in essa per brevità l'indice (1) a tutte le quantità, fuorchè ai coefficienti finali  $h$ ,  $k$ .

*Calcolo della seconda equazione.*

$$\begin{aligned}
 & \log a_1^1 = 0,64668n \\
 d &= 1,00000 \quad C \log a_3^{111} = \underline{9,54784n} \\
 d_1 &= 1,56502 \quad \log d_1 = \log a_1^1 : a_3^{111} = 0,19452 \\
 d - d_1 &= \underline{-0,56502} \\
 & \log a_1^1 = 8,22847 \\
 n'' &= -1,04135 \quad \log v'' = 9,88951n \\
 a_1^1 v'' &= \underline{-0,01312} \quad \log a_1^1 v'' = 8,11798n \\
 f &= \underline{-1,05447} \\
 & \log a_3^{111} = 8,02643 \\
 n''' &= -1,60244 \quad \log v''' = \underline{9,97311n} \\
 a_3^{111} v''' &= \underline{-0,00999} \quad \log a_3^{111} v''' = 7,99954n \\
 n''' + a_3^{111} v'' &= -1,61243 \quad \log(n''' + a_3^{111} v''') = 0,20748n \\
 & \log a_1^1 : a_3^{111} = 0,19452 \\
 f_1 &= \underline{-2,52348} \quad \log f_1 = 0,40200n \\
 f - f_1 &\doteq \underline{1,46901} \quad \log(f - f_1) = 0,16702 \\
 & C \log(d - d_1) = \underline{0,24794n} \\
 h_{(1)} &= -2,59992 \quad \log h_{(1)} = 0,41496n \\
 m'' &= 2,79382 \quad \log a_1^1 = 8,22847 \\
 a_1^1 \mu'' &= \underline{-0,01069} \quad \log \mu'' = 9,80038n \\
 g &= \underline{2,78313} \quad \log a_1^1 \mu'' = 8,02885n
 \end{aligned}$$

$$\begin{aligned}
 m''' &= 3,87624 & \log a_3''' &= 8,02643 \\
 a_3''' \mu''' &= -0,00362 & \log a_3''' \mu''' &= 7,55951n \\
 m''' + a_3''' \mu''' &= \underline{3,87262} & \log(m''' + a_3''' \mu''') &= 0,58800 \\
 && \log a_1 : a_3''' &= 0,19452 \\
 g_1 &= 6,06066 & \log g_1 &= 0,78252 \\
 g - g_1 &= -3,27753 & \log(g - g_1) &= 0,51555n \\
 C \log(d - d_1) &= \underline{0,24794n} \\
 k_{(1)} &= 5,80083 & \log k_{(1)} &= 0,76349
 \end{aligned}$$

Sostituendo nell'equazione (14) per  $h_{(1)}$ ,  $k_{(1)}$  i valori numerici ora ritrovati, la seconda equazione per la determinazione dell'orbita verrà costituita dalla seguente

$$5,80083 c''' + 2,59992 c'' + c' - C' = 0$$

## 54.

Risolvendo queste due ultime equazioni, ricaveremo i valori di  $c''$ ,  $c''$  espressi per  $C' - c'$ , ciò che si riduce, come risulta dal numero 49, a determinare le quantità  $M$ ,  $N$ , delle quali ecco il calcolo :

$$\begin{aligned}
 \log h &= 0,45629n & \log k &= 0,74899 \\
 \log k_{(1)} &= \underline{0,76349} & \log h_{(1)} &= 0,41496n \\
 \log h k_{(1)} &= 1,21978n & \log k h_{(1)} &= 1,16395n \\
 h k_{(1)} &= -16,5875 \\
 k h_{(1)} &= -14,5865 \\
 \hline
 h k_{(1)} - k h_{(1)} &= -2,0010
 \end{aligned}$$

$$\begin{array}{ll}
 h_{(1)} = -2,59992 & k_{(1)} = 5,80083 \\
 h = -2,85950 & k = 5,61035 \\
 \\ 
 h_{(1)} - h = \underline{0,25958} & k_{(1)} - k = \underline{0,19048} \\
 \log(h_{(1)} - h) = 9,41427 & \log(k_{(1)} - k) = 9,27985 \\
 C \log(hk_{(1)} - kh_{(1)}) = \underline{9,69875} & = \underline{9,69875n} \\
 \\ 
 \log M = \underline{9,11302n} & \log N = \underline{8,97860n}
 \end{array}$$

Siccome le equazioni (16), (17) somministrano

$$c'' = -M(C' - c') \quad c'' = -N(C' - c')$$

ed in seguito dall' equazione (20) abbiamo

$$\frac{c'''}{c'} = \tan \Omega$$

sarà perciò

$$(34) \quad \tan \Omega = \frac{M}{N}$$

e la longitudine dei nodi si avrà col seguente calcolo :

$$\begin{array}{l}
 \log M = 9,11302 \\
 \log N = 1,02140 \\
 \\ 
 \log \tan \Omega = \underline{0,13442} \\
 \\ 
 \Omega = 53^\circ 43' 43"
 \end{array}$$

Questo valore di  $\Omega$  può appartenere tanto al nodo ascendente che discendente ; esso corrisponderà al nodo ascendente se troveremo per  $c''$  un valor positivo , e dovrà aumentarsi , secondo è stato detto al numero 32 , di  $180^\circ$  se risulterà per  $c''$  un valor negativo.

## 55.

Secondo le formole (18), (19), (21), (22) del numero 49  
espongo ora il

*Calcolo dell'inclinazione dell'orbita  
e della radice del semiparametro.*

$$d_i' = 1,83561$$

$$\log f_i' = 0,41903n$$

$$\log N = \underline{8,97860n}$$

$$f_i'N = 0,24982$$

$$\log f_i'N = \underline{9,39763}$$

$$g_i'M = -0,81797$$

$$\log g_i'M = \underline{9,91274n}$$

$$d_i' - f_i'N + g_i'M = \underline{0,76782} \quad \log(d_i' - f_i'N + g_i'M) = 9,88526$$

$$C \log a_i' = \underline{9,08448n}$$

$$O'' = -0,09327$$

$$\log O'' = \underline{8,96974n}$$

$$\log v'' = 9,88951n$$

$$\log N = \underline{8,97860n}$$

$$v''N = 0,07381$$

$$\log v''N = \underline{8,86811}$$

$$\log \mu'' = 9,80038n$$

$$\log M = \underline{9,11302n}$$

$$\mu''M = 0,08192$$

$$\log \mu''M = \underline{8,91340}$$

$$O'' + v''N - \mu''M = -0,10138 \quad \log(O'' + v''N - \mu''M) = 9,00595n$$

$$\log V/P = \log C' = \underline{9,99999}$$

$$\log(O'' + v''N - \mu''M)C' = \underline{9,00594n}$$

$$o'' = 1,00000$$

$$\log n'' = 0,01760n$$

$$\log N = \underline{8,97860n}$$

$$n''N = 0,09913$$

$$\log n''N = \underline{8,99620}$$

$$\log m'' = 0,44620$$

$$\log M = \underline{9,11302n}$$

$$m''M = -0,36243$$

$$\log m''M = \underline{9,55922n}$$

$$o''-n''N+m''M = \underline{0,53844} C \log(o''-n''N+m''M) = 0,26886$$

$$C \log O'' = 1,03026n$$

$$\log(O''+\nu''N-\mu''M)C = \underline{9,00584n}$$

$$C' - c' = 2,01818$$

$$\log(C' - c') = 0,30496$$

$$C' = \underline{0,99999}$$

$$\log M = \underline{9,11302n}$$

$$c' = -1,01819$$

$$\log c''' = 9,41798$$

$$C \log c' = 9,99217n$$

$$C \log \sin \Omega = 0,09354$$

$$i = 162^\circ 18' 40''$$

$$\log \tan i = \underline{9,50369n}$$

$$\log c' = 0,00783n$$

$$C \log \cos i = \underline{0,02103n}$$

$$\log \sqrt{p} = 0,02886$$

Siccome nel calcolo precedente abbiamo ritrovato per  $c''$  un valor positivo, così risguarderemo il valore di  $\Omega$  surriferito come quello appartenente al nodo ascendente. Fatto uso di quest'angolo, risultò per  $i$  un valore maggiore di  $90^\circ$ , e volendo prendere per inclinazione dell'orbita il suo supplemento, converrebbe poi dinotare che il

moto è retrogrado; noi però estenderemo, ad imitazione del signor Gauss, l'inclinazione del piano dell' orbita da  $0^\circ$  a  $180^\circ$ , come lo indica il calcolo, e così verremo a ritenere il movimento del corpo celeste sempre diretto.

## 56.

Si possono ora determinare con un breve calcolo anche le elevazioni della cometa sul piano dell'eclittica nella seconda e terza osservazione, o sia i valori di  $\delta''$ ,  $\delta'''$ . In fatti si ha

$d_{(1)} = 1,56502$	$\log O' = 8,96974n$
	$\log(C' - c') = 0,30496$
	$C \log C' = 0,00001$
	$\log D'' = 0,00478$
	$\log \delta'' = 9,27949n$
$f_{(1)}N = 0,24021$	$\log f_{(1)} = 0,40200n$
	$\log N = 8,97860n$
$f_{(1)}N = 0,24021$	$\log f_{(1)}N = 9,38060$
	$\log g_{(1)} = 0,78252$
	$\log M = 9,11302n$
$g_{(1)}M = -0,78621$	$\log g_{(1)}M = 9,89554n$
$d_{(1)} - f_{(1)}N + g_{(1)}M = \underline{0,53860}$	$\log(d_{(1)} - f_{(1)}N + g_{(1)}M) = 9,73127$
	$C \log a_{(1)}^1 = 9,35332n$
	$\log O''_{(1)} = 9,08459n$
	$\log(C' - c') = 0,30496$
	$C \log C' = 0,00001$
$\log D''_{(1)} = \log D'' = 0,00564$	
$\log \delta''_{(1)} = \log \delta'' = 0,39520n$	

Da questi valori di  $\log \delta''$ ,  $\log \delta'''$  e dall'inclinazione del piano dell'orbita si deducono, secondo le formole (24), (25), (28), (29) dei numeri 50, 51, i raggi vettori e gli argomenti di latitudine negl'istanti delle due osservazioni intermedie nel seguente modo:

$$\Lambda'' = 159^\circ 33' 28''$$

$$\log 2 = 0,30103$$

$$L'' = 230^\circ 50' 17''$$

$$\log \cot \lambda'' = 0,47445n$$

$$\Lambda'' - L'' = 288^\circ 43' 11''$$

$$\log \cos(\Lambda'' - L'') = 9,50642$$

$$\log D'' = 0,00478$$

$$\log \delta'' = 9,27949n$$

$$t\lambda'' \cos(\Lambda'' - L'') D'' \delta'' = 0,36827 \quad \log 2 \cot \lambda'' \cos(\Lambda'' - L'') D'' \delta'' = 9,56617$$

$$\log \delta''^2 = 8,55898$$

$$C \log \sin^2 \lambda'' = 0,99519$$

$$\delta''^2 : \sin^2 \lambda'' = 0,35824$$

$$\log \delta''^2 : \sin^2 \lambda'' = 9,55417$$

$$D''^2 = 1,02223$$

$$\log D''^2 = 0,00955$$

$$r''^2 = 1,74874$$

$$\log r''^2 = 0,24273$$

$$C \log r'' = 9,87864$$

$$\log \delta'' = 9,27949n$$

$$C \log \sin i = 0,51734$$

$$u'' = 208^\circ 16' 21''$$

$$\log \sin u'' = 9,67547n$$

$$\Lambda''' = 157^\circ 33' 49''$$

$$\log 2 = 0,30103$$

$$L''' = 240^\circ 27' 26''$$

$$\log \cot \lambda''' = 0,57078n$$

$$\Lambda''' - L''' = 277^\circ 6' 23''$$

$$\log \cos(\Lambda''' - L''') = 9,09241$$

$$\log D''' = 0,00564$$

$$\log \delta''' = 9,39520n$$

$$t'' \cos(L''' - L''') D''' \delta''' = 0,23177 \quad \log 2 \cot \lambda''' \cos(\Lambda''' - L''') D''' \delta''' = 9,36506$$

$$\begin{array}{ll}
 \log \delta'''^2 = 8,79040 & 73 \\
 C \log \sin^2 \lambda''' = 1,17183 & \\
 \hline
 \delta'''^2 : \sin^2 \lambda''' = 0,91666 & \log \delta'''^2 : \sin \lambda''' = 9,96223 \\
 D'''^2 = 1,02631 & \log D'''^2 = 0,01128 \\
 \hline
 r'''^2 = 2,17474 & \log r'''^2 = 0,33741 \\
 C \log r''' = 9,83130 & \\
 \log \delta''' = 9,39520 & \\
 C \log \sin i = 0,51734 & \\
 \hline
 u''' = 213^\circ 40' 15'' & \log \sin u''' = 9,74384
 \end{array}$$

## 57.

Con questi valori di  $\log r''$ ,  $\log r'''$ ,  $u''$ ,  $u'''$ , e col semiparametro sopra determinato possiamo ora ritrovare l'argomento di latitudine del perielio, e quindi la longitudine del medesimo colle formole (30), (31) del numero 51.

### *Calcolo dell' argomento di latitudine e della longitudine del perielio.*

$$\begin{array}{ll}
 u''' = 213^\circ 40' 15'' & \log p = 0,05772 \\
 u'' = 208^\circ 16' 21'' & C \log r'' = 9,87864 \\
 \hline
 u''' - u'' = 5^\circ 23' 54'' & C \log r''' = 9,83130 \\
 \\ 
 p : r'' = 0,86369 & \log p : r'' = 9,93636 \\
 p : r''' = 0,77450 & \log p : r''' = 9,88902 \\
 \hline
 q'' - q''' = 0,08919 & \log(q'' - q''') = 8,95032n \\
 q'' + q''' = -0,36281 & C \log(q'' + q''') = 0,44152 \\
 \frac{1}{2}(u''' - u'') = 2^\circ 41' 57'' & \log \cot \frac{1}{2}(u''' - u'') = 1,32657 \\
 \\ 
 \log \tan(\frac{1}{2}u'' + \frac{1}{2}u''' - \sigma) = 0,71841n &
 \end{array}$$

74

$$\begin{array}{r}
 \frac{1}{2}u'' + \frac{1}{2}u''' - \varpi = 100\ 49\ 36 \\
 \frac{1}{2}u'' + \frac{1}{2}u''' = 210\ 58\ 18 \\
 \hline
 \varpi = 110\ 8\ 42 \\
 \Omega = 53\ 43\ 43 \\
 \hline
 \Pi = 163\ 52\ 25
 \end{array}$$

## 58.

Calcoleremo finalmente l'eccentricità  $e$  e la distanza perielia  $q$  colle formole (32), (33) dello stesso numero 51 nel modo che segue :

*Calcolo dell'eccentricità e della distanza perielia.*

$$\begin{array}{l}
 q'' - q''' = 0,08919 \quad \log(q'' - q''') = 8,95032 \\
 \frac{1}{2}(u''' - u'') = 2^\circ 41' 57'' \quad C \log \sin \frac{1}{2}(u''' - u'') = 1,32705 \\
 \frac{1}{2}u'' + \frac{1}{2}u''' - \varpi = 100\ 49\ 36 \quad C \log \sin \left( \frac{1}{2}u'' + \frac{1}{2}u''' - \varpi \right) = 0,00780 \\
 \hline
 C \log 2 = 9,69897
 \end{array}$$

$$\begin{array}{l}
 e = 0,96414 \quad \log e = 9,98414 \\
 i = 1 \\
 \hline
 i + e = 1,96414 \quad C \log(i + e) = 9,70683 \\
 \log p = 0,05772 \\
 \hline
 \log q = 9,76455
 \end{array}$$

## 59.

Rimane ora da trovarsi il tempo del passaggio della cometa al perielio : per tale ricerca , essendo l'eccentricità molto grande, ebbi ricorso alle sovra citate formole della *Theoria motus corporum cœlestium etc.*, e servandomi dell'anomalia della seconda osservazione , mi risultò

$$\Theta = 71,4485.$$

## 60.

Unisco tutti i ritrovati elementi qui sotto in una tavola, ponendovi a fianco i veri dati da Klinkenberg sui quali sono stati calcolati i luoghi geocentrici, acciò si possa instituire il confronto.

ELEMENTI.	Approssimati.	Veri.
Passaggio al perielio. . . . .	71, 4485	71, 546933
Log. della distanza perielia . .	9, 76455	9, 7656484
Eccentricità. . . . .	0, 96414	0, 9676457
Longitudine del perielio . . . .	163° 52' 25"	164° 11' 52"
Inclinazione. . . . .	162 18 40	162 19 55
Longitud. del nodo ascendente.	53 43 43	53 45 35

L' approssimazione di cui godono gli elementi che abbiamo ritrovato ci dà a divedere che le quantità che ci siamo fatto lecito di trascurare nel valutare le  $\alpha_1^e$ ,  $\alpha_3^{uu}$ , ecc. sono molto piccole ancorchè le osservazioni distassero di 10 giorni. A questo proposito aggiungerò che quand'anche s' impiegassero delle osservazioni distanti fra loro di 15 o 20 giorni, si otterrà una sufficiente approssimazione, ed in molti casi ove le quantità  $\delta$ ,  $\delta_{(n)}$  rimangono ancora piccole, si potranno spingere gl' intervalli di tempo fra le osservazioni ad un mese e più.

Per conseguire i riferiti elementi non ci fu d'uopo cercar sulle tavole che 140 logaritmi, e 112 sarebbero bastati se avessimo voluto supporre l' orbita parabolica, perchè in tal caso si avrebbe potuto risparmiare il calcolo di  $\log \delta'''$ ,  $\log r'''$ ,  $u'''$ , e  $e$  e  $\log q$ , essendo in questo caso

$q = \frac{1}{2}p$ , ed il valore di  $\Pi$  non ci sarebbe costato che un logaritmo. Il signor Delambre riportando nel suo Trattato d'Astronomia i metodi pel calcolo delle orbite paraboliche delle comete del dottor Olbers e del signor Legendre, i quali sono riconosciuti pei più brevi, assegna tutt' al più per la ricerca di tutti gli elementi ( omissa pariamente il passaggio al perielio, il calcolo del quale è comune ed eguale in tutti i metodi ) 200 logaritmi al primo, e 160 al secondo, e negli esempi che egli arreca ne impiega 130 col metodo del primo, e 128 con quello del secondo. Così il metodo proposto unisce al pregio di una maggior semplicità di calcolo anche quello di una maggior brevità.

### ARTICOLO III.

*Formole per valutare l'influenza degli errori delle osservazioni sugli elementi dell'orbita.*

#### 61.

Dalle formole esposte e dai calcoli testè eseguiti appare evidentemente che i valori di tutti gli elementi dell'orbita dipendono principalmente dalle quantità  $M$  ed  $N$ , talmente che l'approssimazione di cui godranno i detti elementi sarà collegata a quella colla quale le medesime quantità  $M$ ,  $N$  saranno state apprezzate. Ora le formole che somministrano i valori di  $M$  ed  $N$  sono soggette a due specie d'errori; la prima dipende dalla difficoltà che s'contra nell'osservare per cui i dati che si assumono dalle osservazioni, non si possono risguardare a tutto rigore esatti, ma soltanto approssimati; la seconda è dovuta ai termini che nel valutare le  $a_1^{\prime}$ ,  $a_3^{\prime\prime}$ , ecc. ci siamo fatto lecito di trascurare.

L'influenza degli errori della prima specie è sempre molto sensibile quando l'orbita è determinata con osservazioni vicine, come lo esigono le soluzioni tutte di questo problema; e per evitare l'effetto della medesima altro mezzo non abbiamo che di aumentare le osservazioni e correggere gli elementi in modo che soddisfacciano coi minori errori possibili a tutte le osservazioni. Prima però d'intraprendere dei nuovi calcoli è bene che l'astronomo dietro gli errori probabili delle osservazioni sappia valutare il grado di fiducia che meritano gli elementi ritrovati, perciò esporremo in quest'articolo alcuni mezzi onde ottenere quest'intento.

## 62.

Il ripiego che si presenta a primo aspetto si è di cercare, variando un poco le longitudini e latitudini delle osservazioni, dei nuovi valori di  $M$  ed  $N$ , i quali paragonati ai primi colle differenze faranno conoscere il rapporto che hanno le loro variazioni cogli errori delle osservazioni. Per provare anche questo mezzo io ho calcolato i logaritmi di  $M$  ed  $N$  colle longitudini e latitudini geocentriche date dalla suddetta tavola del signor Delambre (\*), le quali erano ora maggiori, ora minori di quelle che noi abbiamo impiegate nelle quantità seguenti:

$d\Lambda' = -2' 5'',16$	$d\lambda' = - 7'',46$
$d\Lambda'' = + 24'',89$	$d\lambda'' = - 27'',84$
$d\Lambda''' = + 13'',77$	$d\lambda''' = - 15'',73$
$d\Lambda'''' = + 15'',83$	$d\lambda'''' = - 11'',98$

(\*) Vedi la nota del numero 52.

Colle longitudini e latitudini geocentriche così variate seguendo lo stesso processo di calcolo col quale nell' articolo precedente si sono ottenuti i logaritmi di  $M$  ed  $N$ , ho ritrovato i valori di  $\log M$ ,  $\log N$  che sieguono :

$$\log M = 9,11140n \quad \log N = 8,98216n$$

i quali danno per la longitudine dei nodi l' angolo

$$\Omega = 53^\circ 24' 8''$$

I veri valori di  $\log M$ ,  $\log N$  sono

$$\log N = 9,1131314n \quad \log N = 8,9782273n$$

dai quali risulta la longitudine dei nodi

$$\Omega = 53^\circ 45' 35''$$

### 63.

Il mezzo più diretto onde illuminarci sull' effetto che gli errori delle osservazioni producono nei valori di  $\log M$ ,  $\log N$  parmi quello di cercare col calcolo differenziale le variazioni delle stesse quantità, supponendo variate le longitudini e latitudini geocentriche. È per questo che riporterò qui le espressioni delle dette differenziali che applicherò in seguito ad un esempio.

Primieramente differenziando le equazioni (1) si ha

$$(35) \quad \begin{aligned} \left( \frac{dm}{d\Lambda} \right) &= -n & \left( \frac{dm}{d\lambda} \right) &= -m \tan \lambda \cosec^2 \lambda \\ \left( \frac{dn}{d\Lambda} \right) &= m & \left( \frac{dn}{d\lambda} \right) &= -n \tan \lambda \cosec^2 \lambda \end{aligned}$$

e poi le (7) danno

$$\left( \frac{d b_1'}{d \Lambda'} \right) = \cot \lambda' \cos(L' - \Lambda') \quad \left( \frac{d b_1'}{d \lambda'} \right) = \operatorname{cosec}^2 \lambda' \sin(L' - \Lambda')$$

$$\left( \frac{d b_1'}{d \Lambda''} \right) = -\cot \lambda'' \cos(L' - \Lambda'') \quad \left( \frac{d b_1'}{d \lambda''} \right) = -\operatorname{cosec}^2 \lambda'' \sin(L' - \Lambda'')$$

(36)

$$\left( \frac{d b_1'}{d \Lambda'} \right) = \cot \lambda' \cos(L'' - \Lambda') \quad \left( \frac{d b_1'}{d \lambda'} \right) = \operatorname{cosec}^2 \lambda' \sin(L'' - \Lambda')$$

$$\left( \frac{d b_1'}{d \Lambda''} \right) = -\cot \lambda'' \cos(L'' - \Lambda'') \quad \left( \frac{d b_1'}{d \lambda''} \right) = -\operatorname{cosec}^2 \lambda'' \sin(L'' - \Lambda'')$$

Facendo aumentare nei secondi membri di queste equazioni gli apici di un'unità, risulteranno i valori delle funzioni prime

$$\left( \frac{db_1'''}{d\Lambda''} \right), \left( \frac{db_1'''}{d\lambda''} \right), \left( \frac{db_1'''}{d\Lambda'''} \right), \left( \frac{db_1'''}{d\lambda'''} \right), \left( \frac{db_3'''}{d\Lambda'} \right), \left( \frac{db_3'''}{d\lambda'} \right), \left( \frac{db_3'''}{d\Lambda''} \right), \left( \frac{db_3'''}{d\lambda''} \right).$$

Colle differenziazioni delle equazioni (8) si otterrà

$$\left( \frac{d \beta}{d \Lambda'} \right) = - \{ (n'' - n''')n' + (m'' - m''')m' \}$$

$$\left( \frac{d \beta}{d \lambda'} \right) = - \{ (n'' - n'')m' - (m'' - m'')n' \} \tan \lambda' \operatorname{cosec}^2 \lambda'$$

$$\left( \frac{d \beta}{d \Lambda''} \right) = \{ (n' - n''')n'' + (m' - m''')m'' \}$$

$$(37) \quad \left( \frac{d \beta}{d \lambda''} \right) = \{ (n' - n'')m'' - (m' - m'')n'' \} \tan \lambda'' \operatorname{cosec}^2 \lambda''$$

$$\left( \frac{d \beta}{d \Lambda'''} \right) = - \{ (n' - n'')n''' + (m' - m'')m''' \}$$

$$\left( \frac{d \beta}{d \lambda'''} \right) = - \{ (n' - n'')m''' - (m' - m'')n''' \} \tan \lambda''' \operatorname{cosec}^2 \lambda'''$$

Avendosi così le funzioni prime delle quantità  $b$ ,  $\theta$ , potremo per mezzo di queste ottenere i valori delle funzioni prime delle quantità  $a_i^1$ ,  $a_3^{111}$ ;  $a_i^2$ ,  $a_3^{1111}$  colla differenziazione delle equazioni (9), (10); e si avrà

$$(38) \quad \begin{aligned} \left( \frac{da_i^1}{d\Lambda} \right) &= \frac{1}{\sin(L''-L')} \left( \frac{db_i^1}{d\Lambda} \right) \\ \left( \frac{da_i^1}{d\lambda} \right) &= \frac{1}{\sin(L''-L')} \left( \frac{db_i^1}{d\lambda} \right) \\ \left( \frac{da_3^{111}}{d\Lambda} \right) &= \frac{1}{\sin(L'''-L'')} \left( \frac{db_3^{111}}{d\Lambda} \right) \\ \left( \frac{da_3^{111}}{d\lambda} \right) &= \frac{1}{\sin(L'''-L'')} \left( \frac{db_3^{111}}{d\lambda} \right) \\ \\ \left( \frac{da_i^1}{d\Lambda} \right) &= -\frac{1}{6} \frac{D'}{D''} \frac{1}{b_i^{111}} \left\{ \left( \frac{d\theta}{d\Lambda} \right) - \frac{\theta}{b_i^{111}} \left( \frac{db_i^1}{d\Lambda} \right) \right\} \\ \left( \frac{da_i^1}{d\lambda} \right) &= -\frac{1}{6} \frac{D'}{D''} \frac{1}{b_i^{111}} \left\{ \left( \frac{d\theta}{d\lambda} \right) - \frac{\theta}{b_i^{111}} \left( \frac{db_i^1}{d\lambda} \right) \right\} \\ \left( \frac{da_3^{111}}{d\Lambda} \right) &= -\frac{1}{6} \frac{D'''}{D''} \frac{1}{b_i^1} \left\{ \left( \frac{d\theta}{d\Lambda} \right) - \frac{\theta}{b_i^1} \left( \frac{db_i^1}{d\Lambda} \right) \right\} \\ \left( \frac{da_3^{111}}{d\lambda} \right) &= -\frac{1}{6} \frac{D'''}{D''} \frac{1}{b_i^1} \left\{ \left( \frac{d\theta}{d\lambda} \right) - \frac{\theta}{b_i^1} \left( \frac{db_i^1}{d\lambda} \right) \right\} \end{aligned}$$

Per ricavare ora i valori delle funzioni prime di  $b$  e  $\theta$  differenziamo primieramente le equazioni (11), ed avremo

$$\left( \frac{dd'}{d\Lambda} \right) = 0$$

$$\left( \frac{dd'}{d\lambda} \right) = 0$$

$$\left( \frac{dd'_i}{d\Lambda} \right) = \frac{1}{a_3^{iii}} \left\{ \left( \frac{da'_i}{d\Lambda} \right) - d'_i \left( \frac{da_3^{iii}}{d\Lambda} \right) \right\}$$

$$\left( \frac{dd'_i}{d\lambda} \right) = \frac{1}{a_3^{iii}} \left\{ \left( \frac{da'_i}{d\lambda} \right) - d'_i \left( \frac{da_3^{iii}}{d\lambda} \right) \right\}$$

$$\left( \frac{df'}{d\Delta} \right) = \left( \frac{dn'}{d\Lambda} \right) + \nu' \left( \frac{da'_i}{d\Lambda} \right)$$

$$\left( \frac{df'}{d\lambda} \right) = \left( \frac{dn'}{d\lambda} \right) + \nu' \left( \frac{da'_i}{d\lambda} \right)$$

(40)

$$\left( \frac{df'_i}{d\Lambda} \right) = d'_i \left\{ \left( \frac{dn'''}{d\Lambda} \right) + \nu''' \left( \frac{da_3^{iii}}{d\Lambda} \right) \right\} + \left\{ n'' + a_3^{iii} \nu''' \right\} \left( \frac{dd'_i}{d\Lambda} \right)$$

$$\left( \frac{df'_i}{d\lambda} \right) = d'_i \left\{ \left( \frac{dn'''}{d\lambda} \right) + \nu''' \left( \frac{da_3^{iii}}{d\lambda} \right) \right\} + \left\{ n''' + a_3^{iii} \nu''' \right\} \left( \frac{dd'_i}{d\lambda} \right)$$

$$\left( \frac{dg'}{d\Lambda} \right) = \left( \frac{dm'}{d\Lambda} \right) + \mu' \left( \frac{da'_i}{d\Lambda} \right)$$

$$\left( \frac{dg'}{d\lambda} \right) = \left( \frac{dm'}{d\lambda} \right) + \mu' \left( \frac{da'_i}{d\lambda} \right)$$

$$\left( \frac{dg'_i}{d\Lambda} \right) = d'_i \left\{ \left( \frac{dm'''}{d\Lambda} \right) + \mu''' \left( \frac{da_3^{iii}}{d\Lambda} \right) \right\} + \left\{ m''' + a_3^{iii} \mu''' \right\} \left( \frac{dd'_i}{d\Lambda} \right)$$

$$\left( \frac{dg'_i}{d\lambda} \right) = d'_i \left\{ \left( \frac{dm'''}{d\lambda} \right) + \mu''' \left( \frac{da_3^{iii}}{d\lambda} \right) \right\} + \left\{ m''' + a_3^{iii} \mu''' \right\} \left( \frac{dd'_i}{d\lambda} \right)$$

In seguito le equazioni (12) differenziate ci somministrano

$$(41) \quad \begin{aligned} \left( \frac{dh'}{d\Lambda} \right) &= \frac{1}{d' - d'_i} \left\{ \left( \frac{df'}{d\Lambda} \right) - \left( \frac{df'_i}{d\Lambda} \right) + h' \left( \frac{dd'_i}{d\Lambda} \right) \right\} \\ \left( \frac{dh'}{d\lambda} \right) &= \frac{1}{d' - d'_i} \left\{ \left( \frac{df'}{d\lambda} \right) - \left( \frac{df'_i}{d\lambda} \right) + h' \left( \frac{dd'_i}{d\lambda} \right) \right\} \\ \left( \frac{dk'}{d\Lambda} \right) &= \frac{1}{d' - d'_i} \left\{ \left( \frac{dg'}{d\Lambda} \right) - \left( \frac{dg'_i}{d\Lambda} \right) + k' \left( \frac{dd'_i}{d\Lambda} \right) \right\} \\ \left( \frac{dk'}{d\lambda} \right) &= \frac{1}{d' - d'_i} \left\{ \left( \frac{dg'}{d\lambda} \right) - \left( \frac{dg'_i}{d\lambda} \right) + k' \left( \frac{dd'_i}{d\lambda} \right) \right\} \end{aligned}$$

Posponendo l'indice (1) a tutte le quantità nelle equazioni precedenti (35), (36), (37), (38), (39), (40), (41), queste ultime ci daranno i valori delle funzioni prime di  $h'_{(1)}$ ,  $k'_{(1)}$ , o sia dei coefficienti appartenenti alla seconda equazione (14).

Trovate le funzioni prime di  $h'$ ,  $k'$ , non che quelle di  $h'_{(1)}$ ,  $k'_{(1)}$ , ci rimane di passare dai valori di queste a quelli delle funzioni prime di  $\log M$ ,  $\log N$ ; perciò supponiamo

$$(42) \quad H = h' k'_{(1)} \qquad K = k' h'_{(1)}$$

avremo primieramente

$$(43) \quad \begin{aligned} \left( \frac{dH}{d\Lambda} \right) &= h' \left( \frac{dk'_{(1)}}{d\Lambda} \right) + k'_{(1)} \left( \frac{dh'}{d\Lambda} \right) \\ \left( \frac{dH}{d\lambda} \right) &= h' \left( \frac{dk'_{(1)}}{d\lambda} \right) + k'_{(1)} \left( \frac{dh'}{d\lambda} \right) \\ \left( \frac{dK}{d\Lambda} \right) &= k' \left( \frac{dh'_{(1)}}{d\Lambda} \right) + h'_{(1)} \left( \frac{dk'}{d\Lambda} \right) \\ \left( \frac{dK}{d\lambda} \right) &= k' \left( \frac{dh'_{(1)}}{d\lambda} \right) + h'_{(1)} \left( \frac{dk'}{d\lambda} \right) \end{aligned}$$

e quindi dalle equazioni (15) si otterrà

$$\left( \frac{d \log M}{d \Lambda} \right) = \frac{m}{H-K} \left[ \frac{1}{M} \left\{ \left( \frac{dh'_{(n)}}{d \Lambda} \right) - \left( \frac{dh'}{d \Lambda} \right) \right\} - \left( \frac{dH}{d \Lambda} \right) + \left( \frac{dK}{d \Lambda} \right) \right]$$

$$\left( \frac{d \log M}{d \lambda} \right) = \frac{m}{H-K} \left[ \frac{1}{M} \left\{ \left( \frac{dh'_{(n)}}{d \Lambda} \right) - \left( \frac{dh'}{d \lambda} \right) \right\} - \left( \frac{dH}{d \lambda} \right) + \left( \frac{dK}{d \lambda} \right) \right]$$

(44)

$$\left( \frac{d \log N}{d \Lambda} \right) = \frac{m}{H-K} \left[ \frac{1}{N} \left\{ \left( \frac{dk'_{(n)}}{d \Lambda} \right) - \left( \frac{dk'}{d \Lambda} \right) \right\} - \left( \frac{dH}{d \Lambda} \right) + \left( \frac{dK}{d \Lambda} \right) \right]$$

$$\left( \frac{d \log N}{d \lambda} \right) = \frac{m}{H-K} \left[ \frac{1}{N} \left\{ \left( \frac{dk'_{(n)}}{d \lambda} \right) - \left( \frac{dk'}{d \lambda} \right) \right\} - \left( \frac{dH}{d \lambda} \right) + \left( \frac{dK}{d \lambda} \right) \right]$$

In queste equazioni m indica il modulo dei logaritmi ordinarj delle tavole moltiplicato per 1" espresso in parti del raggio, o sia indica il numero il cui logaritmo è 4,32336.

Se poi si desidererà di avere anche le funzioni prime dell' angolo  $\Omega$ , si troverà facilmente che differenziando l' equazione (34) del numero 54, verranno così espresse:

$$(45) \quad \left( \frac{d \Omega}{d \Lambda} \right) = \frac{\sin 2\Omega}{m} \left\{ \left( \frac{d \log M}{d \Lambda} \right) - \left( \frac{d \log N}{d \Lambda} \right) \right\}$$

$$\left( \frac{d \Omega}{d \Lambda} \right) = \frac{\sin 2\Omega}{m} \left\{ \left( \frac{d \log M}{d \lambda} \right) - \left( \frac{d \log N}{d \lambda} \right) \right\}$$

## 64.

Per fare un' applicazione di queste equazioni, supponiamo variate la longitudine e latitudine della seconda osservazione, la quale è una delle più interessanti, e di

quelle che hanno la massima influenza nel calcolo, e cerchiamo le funzioni prime di  $\log M$ ,  $\log N$ .

Incominciando dalle equazioni (35), instituisco il calcolo nel modo seguente:

$$\begin{aligned}\log \tan \lambda'' &= 9,5256n \\ \log \operatorname{cosec}^2 \lambda'' &= 0,9952\end{aligned}$$

$$\log \tan \lambda'' \operatorname{cosec}^2 \lambda'' = \underline{\underline{0,5208n}}$$

$$\log m'' = 0,4462$$

$$\log n'' = 0,0176n$$

$$\log \left( \frac{dm''}{d\lambda''} \right) = 0,9670$$

$$\log \left( \frac{dn''}{d\lambda''} \right) = 0,5384n$$

$$\left( \frac{dm''}{d\Lambda''} \right) = -n = 1,041 \quad \left( \frac{dm''}{d\lambda''} \right) = 9,268$$

$$\left( \frac{dn''}{d\Lambda''} \right) = m = 2,794 \quad \left( \frac{dn''}{d\lambda''} \right) = -3,455$$

Il calcolo delle funzioni prime di  $a_i^i$ ,  $a_3^{ii}$ ,  $a_{i(i)}^i$ , ecc.,  $b_i^i$ ,  $b_3^{ii}$ ,  $b_{i(i)}^i$ , ecc. si eseguisce secondo le formole (36), (38) col seguente processo:

$$L' = 221^\circ 10' 40''$$

$$\Lambda'' = 159^\circ 33' 30''$$

$$L' - \Lambda'' = 61^\circ 37' 10''$$

$$\log \cos(L' - \Lambda'') = 9,6770 \quad \log \sin(L' - \Lambda'') = 9,9444$$

$$\log \cot \lambda'' = 0,4744n \quad \log \operatorname{cosec}^2 \Lambda'' = 0,9952$$

$$\log \left( \frac{db_i^i}{d\Lambda''} \right) = \underline{\underline{0,1514}} \quad \log \left( \frac{db_i^i}{d\lambda''} \right) = \underline{\underline{0,9396n}}$$

$$C \log \sin(L' - L') = 0,7752 \quad = 0,7752$$

$$\log \left( \frac{da_i^i}{d\Lambda''} \right) = \underline{\underline{0,9266}} \quad \log \left( \frac{da_i^i}{d\lambda''} \right) = \underline{\underline{1,7148n}}$$

$$L'' = 230^\circ 50' 20''$$

$$\Lambda'' = 159^\circ 33' 30''$$

$$L'' - \Lambda'' = \underline{71^\circ 16' 50''}$$

$$\log \cos(L'' - \Lambda'') = 9,5064 \quad \log \sin(L'' - \Lambda'') = 0,9764$$

$$\log \cot \lambda'' = 0,4744n \quad \log \cosec^2 \lambda'' = 0,9952$$

$$\log\left(\frac{db_2^{(1)}}{d\Lambda''}\right) = \underline{9,9808} \quad \log\left(\frac{db_1^{(1)}}{d\lambda''}\right) = \underline{0,9716n}$$

$$\log\left(\frac{db_3^{(1)}}{d\Lambda''}\right) = \log\left(\frac{db_{2(t)}^{(1)}}{d\Lambda''}\right) = 9,9808n \quad \log\left(\frac{db_3^{(1)}}{d\lambda''}\right) = \log\left(\frac{db_{1(t)}^{(1)}}{d\lambda''}\right) = 0,9716$$

$$C \log \sin(L'' - L'') = 0,7770 \quad = 0,7770$$

$$\log\left(\frac{da_{1(t)}^{(1)}}{d\Lambda''}\right) = \underline{0,7578n} \quad \log\left(\frac{da_1^{(1)}}{d\lambda''}\right) = \underline{1,7486}$$

$$L''' = 240^\circ 27' 30''$$

$$\Lambda'' = 159^\circ 33' 30''$$

$$L''' - \Lambda'' = 80^\circ 54' 0''$$

$$\log \cos(L''' - \Lambda'') = 9,1991 \quad \log \sin(L''' - \Lambda'') = 0,9945$$

$$\log \cot \lambda'' = 0,4744n \quad \log \cosec^2 \lambda'' = 0,9952$$

$$\log\left(\frac{db_3^{(1)}}{d\Lambda''}\right) = \log\left(\frac{db_{2(t)}^{(1)}}{d\Lambda''}\right) = \underline{9,6735n} \quad \log\left(\frac{db_3^{(1)}}{d\lambda''}\right) = \log\left(\frac{db_{1(t)}^{(1)}}{d\lambda''}\right) = \underline{0,9897}$$

$$C \log \sin(L''' - L'') = 0,7770 \quad = 0,7770$$

$$\log\left(\frac{da_3^{(1)}}{d\Lambda''}\right) = \underline{0,4505n} \quad \log\left(\frac{da_3^{(1)}}{d\lambda''}\right) = \underline{1,7667}$$

Col mezzo delle formole (37) passo ora al calcolo delle funzioni prime

$$\left(\frac{d\theta}{d\Lambda''}\right), \quad \left(\frac{d\theta}{d\lambda''}\right), \quad \left(\frac{d\theta_{(1)}}{d\Lambda''}\right), \quad \left(\frac{d\theta_{(1)}}{d\lambda''}\right)$$

$$\begin{aligned}m' &= 1,633 \\m''' &= 3,440\end{aligned}$$

$$\begin{aligned}n' &= -0,222 \\n''' &= -1,421\end{aligned}$$

$$\begin{aligned}m' - m''' &= -1,807 \\log(m' - m''') &= 0,257n \\log m''' &= 0,446 \\log n''' &= 0,018n\end{aligned}$$

$$\begin{aligned}n' - n''' &= 1,199 \\log(n' - n''') &= 0,079 \\&= 0,446 \\&= 0,018n\end{aligned}$$

$$\begin{aligned}\log(m' - m''')m''' &= 0,703n \\log(m' - m''')n''' &= 0,275 \\(m' - m''')m''' &\approx -5,05 \\(n' - n''')n''' &= -1,25\end{aligned}$$

$$\begin{aligned}\log(n' - n''')m''' &= 0,525 \\log(n' - n''')n''' &= 0,097n \\(n' - n''')m''' &= 3,35 \\(m' - m''')n''' &= 1,88\end{aligned}$$

$$\left(\frac{d\beta}{d\Lambda''}\right) = -6,30$$

$$(n' - n''')m''' - (m' - m''')n''' = \underline{1,47}$$

$$\log\{(n' - n''')m''' - (m' - m''')n'''\} = 0,167$$

$$\log \tan \lambda'' \cosec^2 \lambda'' = 0,521n$$

$$\log\left(\frac{d\beta}{d\Lambda''}\right) = 0,779n$$

$$\log\left(\frac{d\beta}{d\lambda''}\right) = \underline{0,688}$$

$$\begin{aligned}\log(m''' - m''') &= 9,639n \\log m''' &= 0,446 \\log n''' &= 0,018n\end{aligned}$$

$$\begin{aligned}\log(n''' - n''') &= 9,260 \\&= 0,446 \\&= 0,018n\end{aligned}$$

$$\begin{aligned}\log(m''' - m''')m''' &\approx 0,085n \\log(m''' - m''')n''' &= 9,657 \\(m''' - m''')m''' &\approx -1,217 \\(n''' - n''')n''' &= -0,190 \\ \left(\frac{d\beta_{(1)}}{d\Lambda''}\right) &= \underline{1,407}\end{aligned}$$

$$\begin{aligned}\log(n''' - n''')m''' &= 9,706 \\log(n''' - n''')n''' &= 9,278n \\(n''' - n''')m''' &= 0,508 \\(m''' - n''')n''' &= 0,454 \\(n''' - n''')m''' - (m''' - n''')n''' &= 0,054\end{aligned}$$

$$\log\{(n''' - n''')m''' - (m''' - n''')n'''\} = 8,732$$

$$\log \tan \lambda'' \cosec^2 \lambda'' = 0,521$$

$$\log\left(\frac{d\beta_{(1)}}{d\lambda''}\right) = \underline{9,253}$$

Ottenute così le funzioni prime di  $\theta$ ,  $\theta_{(n)}$ , cerchiamo quelle di  $a_1^n$ ,  $a_3^{nn}$ ;  $a_{1(n)}^n$ ,  $a_{3(n)}^{nn}$  colle formole (39)

$$\log \theta = 8,952$$

$$C \log b_1^{nn} = 0,130n$$

$$\log \frac{\theta}{b_1^{nn}} = \frac{9,082n}{9,082n} = 9,082n$$

$$\log \left( \frac{db_1^{nn}}{d\Lambda''} \right) = \frac{9,981n}{9,981n} = 0,972n$$

$$\log \frac{\theta}{b_1^{nn}} \left( \frac{db_1^{nn}}{d\Lambda''} \right) = \frac{9,063}{9,063} = 0,054n$$

$$\frac{\theta}{b_1^{nn}} \left( \frac{db_1^{nn}}{d\Lambda''} \right) = \frac{0,12}{0,12} = -1,13$$

$$\left( \frac{d\theta}{d\Lambda''} \right) = -6,30 \quad \left( \frac{d\theta}{d\lambda''} \right) = -4,88$$

$$\left( \frac{d\theta}{d\Lambda''} \right) - \frac{\theta}{b_1^{nn}} \left( \frac{db_1^{nn}}{d\Lambda''} \right) = \frac{-6,42}{-6,42} \quad \left( \frac{d\theta}{d\lambda''} \right) - \frac{\theta}{b_1^{nn}} \left( \frac{db_1^{nn}}{d\lambda''} \right) = \frac{-3,75}{-3,75}$$

$$\log D' = 0,004$$

$$C \log D'' = 9,995$$

$$C \log \theta = 9,222$$

$$C \log b_1^{nn} = 0,130n$$

$$\log \frac{1}{6} \frac{D'}{D''} \cdot \frac{1}{b_1^{nn}} = \frac{9,351n}{9,351n}$$

$$= 9,351n \quad = 9,351n$$

$$\log \left\{ \left( \frac{d\theta}{d\Lambda''} \right) - \frac{\theta}{b_1^{nn}} \left( \frac{db_1^{nn}}{d\Lambda''} \right) \right\} = 0,808n \quad \log \left\{ \left( \frac{d\theta}{d\lambda''} \right) - \frac{\theta}{b_1^{nn}} \left( \frac{db_1^{nn}}{d\lambda''} \right) \right\} = 0,574n$$

$$\log \left( \frac{da_1^n}{d\Lambda''} \right) = 0,159n \quad \log \left( \frac{da_1^n}{d\lambda''} \right) = 9,925n$$

$$\log b = 8,952$$

$$C \log b_i = 9,848n$$

$$\log \frac{b}{b_i} = \frac{8,800n}{8,800n} = 8,800n$$

$$\log \left( \frac{db_i}{d\Lambda''} \right) = 9,981$$

$$\log \left( \frac{db_i}{d\lambda''} \right) = 8,972n$$

$$\log \frac{b}{b_i} \left( \frac{db_i}{d\Lambda''} \right) = 8,781n$$

$$\log \frac{b}{b_i} \left( \frac{db_i}{d\lambda''} \right) = 9,772$$

$$\frac{\partial}{\partial b_i} \left( \frac{db_i}{d\Lambda''} \right) = -0,06$$

$$\frac{\partial}{\partial b_i} \left( \frac{db_i}{d\lambda''} \right) = 0,59$$

$$\left( \frac{d\theta}{d\Lambda''} \right) = -6,30$$

$$\left( \frac{d\theta}{d\lambda''} \right) = -4,88$$

$$\left( \frac{d\theta}{d\Lambda''} \right) - \frac{\partial}{\partial b_i} \left( \frac{db_i}{d\Lambda''} \right) = -6,24$$

$$\left( \frac{d\theta}{d\Lambda''} \right) - \frac{\partial}{\partial b_i} \left( \frac{db_i}{d\lambda''} \right) = -5,47$$

$$\log D''' = 0,006$$

$$C \log D'' = 9,995$$

$$C \log 6 = 9,222$$

$$C \log b_i = 9,848n$$

$$\log \frac{1}{6} \frac{D'''}{D''} \frac{1}{b_i} = \frac{9,071n}{9,071n}$$

$$\log \left\{ \left( \frac{d\theta}{d\Lambda''} \right) - \frac{\partial}{\partial b_i} \left( \frac{db_i}{d\Lambda''} \right) \right\} = 0,795n \quad \log \left\{ \left( \frac{d\theta}{d\lambda''} \right) - \frac{\partial}{\partial b_i} \left( \frac{db_i}{d\lambda''} \right) \right\} = 0,738n$$

$$\log \left( \frac{da_3^{(1)}}{d\Lambda''} \right) = 9,866n$$

$$\log \left( \frac{da_3^{(1)}}{d\lambda''} \right) = 9,809n$$

$$\frac{\theta_{(1)}}{b_{a(t)}^{(1)}} \left( \frac{db_{a(t)}^{(1)}}{d\Lambda''} \right) = 0,$$

$$\frac{\theta}{b_{a(t)}^{(1)}} \left( \frac{db_{a(t)}^{(1)}}{d\lambda''} \right) = 0,$$

$$\left( \frac{d\theta_{(1)}}{d\Lambda''} \right) = 1,407$$

$$\left( \frac{d\theta_{(1)}}{d\lambda''} \right) = 0,179$$

$$\left( \frac{d\theta_{(1)}}{d\Lambda''} \right) - \frac{\theta_{(1)}}{b_{a(t)}^{(1)}} \left( \frac{db_{a(t)}^{(1)}}{d\Lambda''} \right) = 1,407 \quad \left( \frac{d\theta_{(1)}}{d\lambda''} \right) - \frac{\theta}{b_{a(t)}^{(1)}} \left( \frac{db_{a(t)}^{(1)}}{d\lambda''} \right) = 0,179$$

$$\log D'' = 0,005$$

$$C \log D''' = 9,994$$

$$C \log 6 = 9,222$$

$$C \log b_{s(t)}^{111} = 0,329n$$

$$\log \frac{1}{6} \frac{D''}{D'''} \frac{1}{b_{s(t)}^{111}} = \underline{\underline{9,550n}}$$

$$\log \left\{ \left( \frac{d\beta_{(t)}}{d\Lambda''} \right) - \frac{\beta_{(t)}}{b_{s(t)}^{111}} \left( \frac{db_{s(t)}^{111}}{d\Lambda''} \right) \right\} = \underline{\underline{0,148n}} \quad \log \left\{ \left( \frac{d\beta_{(t)}}{d\lambda''} \right) - \frac{\beta_{(t)}}{b_{s(t)}^{111}} \left( \frac{db_{s(t)}^{111}}{d\lambda''} \right) \right\} = \underline{\underline{9,253n}}$$

$$\log \left( \frac{d\alpha_{(t)}^1}{d\Lambda''} \right) = 9,698n \quad \log \left( \frac{d\alpha_{(t)}^1}{d\lambda''} \right) = 8,803n$$

$$\log \beta_{(t)} = 8,679$$

$$C \log b_{s(t)}^1 = 0,125n$$

$$\log \frac{\beta_{(t)}}{b_{s(t)}^1} = \underline{\underline{8,804n}} \quad = 8,804n$$

$$\log \left( \frac{db_{s(t)}^1}{d\Lambda''} \right) = \underline{\underline{9,673n}} \quad \log \left( \frac{db_{s(t)}^1}{d\lambda''} \right) = \underline{\underline{0,990}}$$

$$\log \frac{\beta_{(t)}}{b_{s(t)}^1} \left( \frac{db_{s(t)}^1}{d\Lambda''} \right) = \underline{\underline{8,477}} \quad \log \frac{\beta_{(t)}}{b_{s(t)}^1} \left( \frac{db_{s(t)}^1}{d\lambda''} \right) = \underline{\underline{9,794n}}$$

$$\frac{\beta_{(t)}}{b_{s(t)}^1} \left( \frac{db_{s(t)}^1}{d\Lambda''} \right) = \underline{\underline{0,030}} \quad \frac{\beta_{(t)}}{b_{s(t)}^1} \left( \frac{db_{s(t)}^1}{d\lambda''} \right) = \underline{\underline{-0,622}}$$

$$\left( \frac{d\beta_{(t)}}{d\Lambda''} \right) = \underline{\underline{1,407}} \quad \left( \frac{d\beta_{(t)}}{d\lambda''} \right) = \underline{\underline{0,179}}$$

$$\left( \frac{d\beta_{(t)}}{d\Lambda''} \right) - \frac{\beta_{(t)}}{b_{s(t)}^1} \left( \frac{db_{s(t)}^1}{d\Lambda''} \right) = \underline{\underline{1,377}} \quad \left( \frac{d\beta_{(t)}}{d\lambda''} \right) - \frac{\beta_{(t)}}{b_{s(t)}^1} \left( \frac{db_{s(t)}^1}{d\lambda''} \right) = \underline{\underline{0,801}}$$

$$\log D''' = 0,006$$

$$C \log D'' = 9,994$$

$$C \log 6 = 9,222$$

$$C \log b_{s(t)}^1 = 0,125n$$

$$\log \frac{1}{6} \frac{D'''}{D''} \cdot \frac{1}{b_{s(t)}^1} = \underline{\underline{9,347n}}$$

$$\log \left\{ \left( \frac{d\theta_{(n)}}{d\Lambda''} \right) - \frac{\theta_{(n)}}{b'_{s(n)}} \left( \frac{db'_{s(n)}}{d\Lambda''} \right) \right\} = 0,139n \quad \underline{\log \left\{ \left( \frac{d\theta_{(n)}}{d\lambda''} \right) - \frac{\theta_{(n)}}{b'_{s(n)}} \left( \frac{db'_{s(n)}}{d\lambda''} \right) \right\} = 9,904n}$$

$$\log \left( \frac{da''_{3(n)}}{d\Lambda''} \right) = \underline{9,486n} \quad \log \left( \frac{da''_{3(n)}}{d\lambda''} \right) = \underline{9,251n}$$

Per avere le funzioni prime dei coefficienti  $h$ ,  $k$  conviene prima cercare le funzioni prime di  $d'$ ,  $d'_i$ ;  $f'$ ,  $f'_i$ ;  $g'$ ,  $g'_i$ , delle quali ecco il calcolo secondo le formole (40)

$$\left( \frac{dd'}{d\Lambda''} \right) = o \quad \left( \frac{dd'}{d\lambda''} \right) = o$$

$$\log d'_i = 0,2638 \quad \underline{\log d'_i = 0,2638}$$

$$\log \left( \frac{da''_3}{d\Lambda''} \right) = 0,4505n \quad \underline{\log \left( \frac{da''_3}{d\lambda''} \right) = 1,7667}$$

$$\log d'_i \left( \frac{da''_3}{d\Lambda''} \right) = 0,7143n \quad \underline{\log d'_i \left( \frac{da''_3}{d\lambda''} \right) = 2,0305}$$

$$d'_i \left( \frac{da'_i}{d\Lambda''} \right) = -5,180 \quad \underline{d'_i \left( \frac{da'_i}{d\lambda''} \right) = 107,28}$$

$$\left( \frac{da'_i}{d\Lambda''} \right) = 8,445 \quad \underline{\left( \frac{da'_i}{d\lambda''} \right) = -51,86}$$

$$\left( \frac{da'_i}{d\Lambda''} \right) - d'_i \left( \frac{da''_3}{d\Lambda''} \right) = 13,625 \quad \underline{\left( \frac{da'_i}{d\lambda''} \right) - d'_i \left( \frac{da''_3}{d\lambda''} \right) = -159,14}$$

$$\log \left\{ \left( \frac{da'_i}{d\Lambda''} \right) - d'_i \left( \frac{da''_3}{d\Lambda''} \right) \right\} = 1,1343 \quad \underline{\log \left\{ \left( \frac{da'_i}{d\lambda''} \right) - d'_i \left( \frac{da''_3}{d\lambda''} \right) \right\} = 2,2018n}$$

$$C \log a''_3 = 9,3483n \quad \underline{C \log a''_3 = 9,3483n}$$

$$\log \left( \frac{dd'_i}{d\Lambda''} \right) = \underline{0,4826n} \quad \log \left( \frac{dd'_i}{d\lambda''} \right) = \underline{1,5501}$$

$\log \nu' = 9,818n$	$= 9^{\text{st}}$
$\log \left( \frac{d\alpha'_i}{d\Lambda''} \right) = 0,159n$	$\log \left( \frac{d\alpha'_i}{d\lambda''} \right) = 9,925n$
$\log \nu' \left( \frac{d\alpha'_i}{d\Lambda''} \right) = 9,977$	$\log \nu' \left( \frac{d\alpha'_i}{d\lambda''} \right) = 9,743$
$\nu' \left( \frac{d\alpha'_i}{d\Lambda''} \right) = 0,948$	$\nu' \left( \frac{d\alpha'_i}{d\lambda''} \right) = 0,553$
$\left( \frac{dn'}{d\Lambda''} \right) = 0,000$	$\left( \frac{dn'}{d\lambda''} \right) = 0,000$
$\left( \frac{df'}{d\Lambda''} \right) = 0,948$	$\left( \frac{df'}{d\lambda''} \right) = 0,553$
$\log d'_i = 0,264$	
$\log \nu''' = 9,940n$	
$\log d'_i \nu''' = 0,204n$	$= 0,204n$
$\log \left( \frac{d\alpha_3^{***}}{d\Lambda''} \right) = 9,866n$	$\log \left( \frac{d\alpha_3^{***}}{d\lambda''} \right) = 9,809n$
$\log d'_i \nu''' \left( \frac{d\alpha_3^{***}}{d\Lambda''} \right) = 0,070$	$\log d'_i \nu''' \left( \frac{d\alpha_3^{***}}{d\lambda''} \right) = 0,013$
$\log(n'' + \alpha_3^{***} \nu''') = \log f'_i : d'_i = 0,1552n$	$= 0,1552n$
$\log \left( \frac{dd'_i}{d\Lambda''} \right) = 0,4836n$	$\log \left( \frac{dd'_i}{d\lambda''} \right) = 1,5501$
$\log f'_i : d'_i \left( \frac{dd'_i}{d\Lambda''} \right) = 0,6378$	$\log f'_i : d'_i \left( \frac{dd'_i}{d\lambda''} \right) = 1,7053n$
$d'_i \left( \frac{dm'''}{d\Lambda''} \right) = 0,000$	$d'_i \left( \frac{dm'''}{d\lambda''} \right) = 0,000$
$d'_i \nu''' \left( \frac{d\alpha_i^{***}}{d\Lambda''} \right) = 1,175$	$d'_i \nu''' \left( \frac{d\alpha_i^{***}}{d\lambda''} \right) = 1,03$
$f'_i : d'_i \left( \frac{dd'_i}{d\Lambda''} \right) = 4,343$	$f'_i : d'_i \left( \frac{dd'_i}{d\lambda''} \right) = -50,73$
$\left( \frac{df'_i}{d\Lambda''} \right) = 5,518$	$\left( \frac{df'_i}{d\lambda''} \right) = -49,70$

$$\begin{aligned}
 \log \mu' &= 9,877n & = 9,877n \\
 \log \left( \frac{d\alpha'_i}{d\Lambda''} \right) &= 0,159n & \log \left( \frac{d\alpha'_i}{d\lambda''} \right) = 9,925n \\
 \log \mu' \left( \frac{d\alpha'_i}{d\Lambda''} \right) &= 0,036 & \log \mu' \left( \frac{d\alpha'_i}{d\lambda''} \right) = 9,802 \\
 \mu' \left( \frac{d\alpha'_i}{d\Lambda''} \right) &= 1,087 & \mu' \left( \frac{d\alpha'_i}{d\lambda''} \right) = 0,634 \\
 \left( \frac{dm'}{d\Lambda''} \right) &= 0,000 & \left( \frac{dn'}{d\lambda''} \right) = 0,000 \\
 \left( \frac{dg'}{d\Lambda''} \right) &= 1,087 & \left( \frac{dg'}{d\lambda''} \right) = 0,634
 \end{aligned}$$

$$\begin{aligned}
 \log d'_i &= 0,264 \\
 \log \mu''' &= 9,693n \\
 \log d'_i \mu''' &= 9,957n \\
 \log \left( \frac{d\alpha_3^{iii}}{d\Lambda'} \right) &= 9,866n \\
 \log d'_i \mu''' \left( \frac{d\alpha_3^{iii}}{d\Lambda''} \right) &= 9,820
 \end{aligned}$$

$$\begin{aligned}
 & = 9,957n \\
 \log \left( \frac{d\alpha_3^{iii}}{d\lambda''} \right) &= 9,809n \\
 \log d'_i \mu''' \left( \frac{d\alpha_3^{iii}}{d\lambda''} \right) &= 9,766
 \end{aligned}$$

$$\begin{aligned}
 \log(m''' + \alpha_3^{iii} \mu''') &= \log g'_i : d'_i = 0,5359 \\
 \log \left( \frac{dd'_i}{d\Lambda''} \right) &= 0,4826n \\
 \log g'_i : d'_i \left( \frac{dd'_i}{d\Lambda''} \right) &= 1,0185n
 \end{aligned}$$

$$\begin{aligned}
 & = 0,5359 \\
 \log \left( \frac{dd'_i}{d\lambda''} \right) &= 1,5501 \\
 \log g'_i : d'_i \left( \frac{dd'_i}{d\lambda''} \right) &= 2,0860
 \end{aligned}$$

$$\begin{aligned}
 \left( \frac{dm'''}{d\Lambda''} \right) &= 0,000 \\
 d'_i \mu''' \left( \frac{d\alpha_3^{iii}}{d\Lambda''} \right) &= 0,665 \\
 g'_i : d'_i \left( \frac{dd'_i}{d\Lambda''} \right) &= -10,435 \\
 \left( \frac{dg'_i}{d\Lambda''} \right) &= -9,770
 \end{aligned}$$

$$\begin{aligned}
 \left( \frac{dm'''}{d\lambda''} \right) &= 0,00 \\
 d'_i \mu''' \left( \frac{d\alpha_3^{iii}}{d\lambda''} \right) &= 0,58 \\
 g'_i : d'_i \left( \frac{dd'_i}{d\lambda''} \right) &= 121,90 \\
 \left( \frac{dg'_i}{d\lambda''} \right) &= 122,48
 \end{aligned}$$

Ad imitazione di ciò che è già stato praticato al numero 53, ometteremo anche qui per brevità l'indice (1) a tutte le quanità del seguente calcolo delle funzioni prime

$$\left( \frac{dd'_{(n)}}{d\Lambda''} \right), \left( \frac{dd'_{(n)}}{d\lambda''} \right), \left( \frac{df'_{(n)}}{d\Lambda''} \right), \left( \frac{df'_{(n)}}{d\lambda''} \right), \left( \frac{df'_{(n)}}{d\Lambda''} \right), \left( \frac{df'_{(n)}}{d\lambda''} \right),$$

$$\left( \frac{dg'_{(n)}}{d\Lambda'} \right), \left( \frac{dg'_{(n)}}{d\lambda''} \right), \left( \frac{dg'_{(n)}}{d\Lambda''} \right), \left( \frac{dg'_{(n)}}{d\lambda''} \right)$$

$$\left( \frac{dd'_{(n)}}{d\Lambda''} \right) = 0,0000$$

$$\left( \frac{dd'_{(n)}}{d\lambda''} \right) = 0,0000$$

$$d'_i \left( \frac{da_3'''}{d\Lambda'} \right) = 0,0000$$

$$d' \left( \frac{da_3'''}{d\lambda''} \right) = 0,0000$$

$$\cdot \left\{ \left( \frac{da'_i}{d\Lambda''} \right) - d'_i \left( \frac{da_3'''}{d\Lambda'} \right) \right\} = l. \left( \frac{da'_i}{d\Lambda''} \right) = 0,7578n \quad l. \left\{ \left( \frac{da'_i}{d\lambda''} \right) - d' \left( \frac{da_3'''}{d\lambda''} \right) \right\} = l. \left( \frac{da'_i}{d\lambda'} \right) = 1,7486$$

$$C \log a_3''' = 9,5478n \qquad \qquad \qquad = 9,5478n$$

$$\log \left( \frac{dd'_{(n)}}{d\Lambda''} \right) = \overline{0,3056} \qquad \qquad \qquad \log \left( \frac{dd'_{(n)}}{d\lambda''} \right) = \overline{1,2964n}$$

$$\log \nu' = 9,890n \qquad \qquad \qquad = 9,890n$$

$$\log \left( \frac{da'_i}{d\Lambda'} \right) = \overline{9,698} \qquad \qquad \qquad \log \left( \frac{da'_i}{d\lambda'} \right) = \overline{8,803}$$

$$\log \nu'' \left( \frac{da'_i}{d\Lambda''} \right) = 9,588n \qquad \qquad \qquad \log \nu'' \left( \frac{da'_i}{d\lambda''} \right) = 8,693n$$

$$\nu'' \left( \frac{da'_i}{d\Lambda''} \right) = -0,387 \qquad \qquad \qquad \nu'' \left( \frac{da'_i}{d\lambda''} \right) = -0,049$$

$$\left( \frac{dn''}{d\Lambda''} \right) = \overline{2,794} \qquad \qquad \qquad \left( \frac{dn''}{d\lambda''} \right) = \overline{-3,455}$$

$$\left( \frac{df'_{(n)}}{d\Lambda''} \right) = \overline{2,407} \qquad \qquad \qquad \left( \frac{df'_{(n)}}{d\lambda''} \right) = \overline{-3,504}$$

$$\log d'_i = 0,195n$$

$$\log \nu''' = \underline{9,973}$$

$$\log d'_i \nu''' = 0,168n = 0,168n$$

$$\log \left( \frac{d\alpha_3^{'''}}{d\Lambda''} \right) = \underline{9,486} \quad \log \left( \frac{d\alpha_3^{'''}}{d\lambda''} \right) = \underline{9,251}$$

$$\log d'_i \nu''' \left( \frac{d\alpha_3^{'''}}{d\Lambda''} \right) = 9,654n \quad \log d'_i \nu''' \left( \frac{d\alpha_3^{'''}}{d\lambda''} \right) = 9,419n$$

$$\log(n''' + \alpha_3^{'''}\nu''') = \log f'_i : d'_i = 0,2075n = 0,2075n$$

$$\log \left( \frac{dd'_i}{d\Lambda''} \right) = \underline{0,3056} \quad \log \left( \frac{dd'_i}{d\lambda'} \right) = \underline{1,2964n}$$

$$\log f'_i : d'_i \left( \frac{dd'_i}{d\Lambda''} \right) = \underline{0,5131n} \quad \log f'_i : d'_i \left( \frac{dd'_i}{d\lambda''} \right) = \underline{1,5039}$$

$$d'_i \left( \frac{dm'''}{d\Lambda''} \right) = 0,000 \quad d'_i \left( \frac{dm''}{d\lambda''} \right) = 0,000$$

$$d'_i \nu''' \left( \frac{d\alpha_3^{'''}}{d\Lambda''} \right) = \underline{-0,451} \quad d'_i \nu''' \left( \frac{d\alpha_3^{'''}}{d\lambda''} \right) = \underline{-0,26}$$

$$f'_i : d'_i \left( \frac{dd'_i}{d\Lambda''} \right) = \underline{-3,239} \quad f'_i : d'_i \left( \frac{dd'_i}{d\lambda''} \right) = \underline{31,91}$$

$$\left( \frac{df'_{i(n)}}{d\Lambda''} \right) = \underline{-3,710} \quad \left( \frac{df'_{i(n)}}{d\lambda''} \right) = \underline{31,65}$$

$$\log \mu'' = 9,800n = 9,800n$$

$$\log \left( \frac{d\alpha_i^*}{d\Lambda''} \right) = \underline{9,698} \quad \log \left( \frac{d\alpha_i^*}{d\lambda''} \right) = \underline{8,803}$$

$$\log \mu'' \left( \frac{d\alpha_i^*}{d\Lambda''} \right) = \underline{9,498n} \quad \log \mu'' \left( \frac{d\alpha_i^*}{d\lambda''} \right) = \underline{8,603n}$$

$$\mu'' \left( \frac{d\alpha_i^*}{d\Lambda''} \right) = \underline{-0,315} \quad \mu'' \left( \frac{d\alpha_i^*}{d\lambda''} \right) = \underline{-0,040}$$

$$\left( \frac{dm''}{d\Lambda''} \right) = \underline{1,041} \quad \left( \frac{dm''}{d\lambda''} \right) = \underline{9,268}$$

$$\left( \frac{dg'_{i(n)}}{d\Lambda''} \right) = \underline{0,726} \quad \left( \frac{dg'_{i(n)}}{d\lambda''} \right) = \underline{9,228}$$

$$\log d'_i = 0,195$$

$$\log \mu''' = \underline{9,533n}$$

$$\log d'_i \mu''' = \underline{9,728n} = 9,728n$$

$$\log \left( \frac{d\alpha_3'''}{d\Lambda''} \right) = \underline{9,486} \quad \log \left( \frac{d\alpha_3'''}{d\lambda''} \right) = \underline{9,251}$$

$$\log d'_i \mu''' \left( \frac{d\alpha_3'''}{d\Lambda''} \right) = 9,214n \quad \log d'_i \mu''' \left( \frac{d\alpha_3'''}{d\lambda''} \right) = 0,979n$$

$$\log(m''' + \alpha_3''' \mu''') = \log g'_i : d'_i = 0,5880 = 0,5880$$

$$\log \left( \frac{dd'_i}{d\Lambda''} \right) = \underline{0,3056} \quad \log \left( \frac{dd'_i}{d\lambda''} \right) = \underline{1,2964n}$$

$$\log g'_i : d'_i \left( \frac{dd'_i}{d\Lambda''} \right) = 0,8936 \quad \log g'_i : d'_i \left( \frac{dd'_i}{d\lambda''} \right) = 1,8844n$$

$$d'_i \left( \frac{dm'''}{d\Lambda''} \right) = 0,000 \quad d'_i \left( \frac{dm'''}{d\lambda''} \right) = 0,000$$

$$d'_i \mu''' \left( \frac{d\alpha_3'''}{d\Lambda''} \right) = -0,164 \quad d'_i \mu''' \left( \frac{d\alpha_3'''}{d\lambda''} \right) = 0,10$$

$$g'_i : d'_i \left( \frac{dd'_i}{d\Lambda''} \right) = \underline{7,827} \quad g'_i : d'_i \left( \frac{dd'_i}{d\lambda''} \right) = \underline{-76,63}$$

$$\left( \frac{dg'_{i(t)}}{d\Lambda''} \right) = \underline{7,663} \quad \left( \frac{dg'_{i(t)}}{d\lambda''} \right) = \underline{-76,73}$$

Calcolo ora i valori delle funzioni prime di  $h$ ,  $k$  ;  
 $h_{(t)}$ ,  $k_{(t)}$  colle formole (41)

$$\log h = 0,4563n = 0,4563n$$

$$\log \left( \frac{dd'_i}{d\Lambda'} \right) = \underline{0,4826n} \quad \log \left( \frac{dd'_i}{d\lambda'} \right) = \underline{1,5501}$$

$$\log h \left( \frac{dd'_i}{d\Lambda'} \right) = 0,9389 \quad \log h \left( \frac{dd'_i}{d\lambda'} \right) = 2,0064n$$

$$\begin{array}{ll} \left(\frac{df'}{d\Lambda''}\right) = 0,948 & \left(\frac{df'}{d\lambda'}\right) = 0,55 \\ \left(\frac{df'_i}{d\Lambda''}\right) = 5,518 & \left(\frac{df'_i}{d\lambda'}\right) = -49,70 \\ h\left(\frac{dd'_i}{d\Lambda''}\right) = 8,688 & h\left(\frac{dd'_i}{d\lambda'}\right) = -101,48 \\ \left(\frac{df'}{d\Lambda'}\right) - \left(\frac{df'_i}{d\Lambda'}\right) + h\left(\frac{dd'_i}{d\Lambda'}\right) = 4,118 & \left(\frac{df'}{d\lambda'}\right) - \left(\frac{df'_i}{d\lambda'}\right) + h\left(\frac{dd'_i}{d\lambda'}\right) = 151,23 \end{array}$$

$$\log = 0,6147 \quad \log = 1,7095n \\ C \log(d' - d'_i) = 0,0780n \quad = 0,0780n$$

$$\log\left(\frac{dh}{d\Lambda''}\right) = \overline{0,6927n} \quad \log\left(\frac{dh}{d\lambda'}\right) = \overline{1,7875}$$

$$\log k = 0,7490 \quad = 0,7490 \\ \log\left(\frac{dd'_i}{d\Lambda''}\right) = \overline{0,4826n} \quad \log\left(\frac{dd'_i}{d\lambda'}\right) = \overline{1,5501} \\ \log k\left(\frac{dd'_i}{d\Lambda'}\right) = \overline{1,2316n} \quad \log k\left(\frac{dd'_i}{d\lambda'}\right) = \overline{2,2991}$$

$$\begin{array}{ll} \left(\frac{dg'}{d\Lambda'}\right) = 1,087 & \left(\frac{dg'}{d\lambda'}\right) = 0,63 \\ \left(\frac{dg'_i}{d\Lambda'}\right) = -9,970 & \left(\frac{dg'_i}{d\lambda'}\right) = 122,48 \\ k\left(\frac{dd'_i}{d\Lambda'}\right) = \overline{-17,045} & k\left(\frac{dd'_i}{d\lambda'}\right) = \overline{199,11} \\ \left(\frac{dg'}{d\Lambda'}\right) - \left(\frac{dg'_i}{d\Lambda'}\right) + k\left(\frac{dd'_i}{d\Lambda'}\right) = -6,188 & \left(\frac{dg'}{d\lambda'}\right) - \left(\frac{dg'_i}{d\lambda'}\right) + k\left(\frac{dd'_i}{d\lambda'}\right) = 77,26 \end{array}$$

$$\log = 0,7916n \quad \log = 1,8880 \\ C \log(d' - d'_i) = 0,0780 \quad = 0,0780n \\ \log\left(\frac{dk}{d\Lambda'}\right) = \overline{0,8696} \quad \log\left(\frac{dk}{d\lambda'}\right) = \overline{1,9660n}$$

$\log h_{(t)} = 0,4150n$	$= 0,4150n$
$\log \left( \frac{dd'_{(t)}}{d\Lambda''} \right) = 0,3056$	$\log \left( \frac{dd'_{(t)}}{d\lambda''} \right) = 1,2964n$
$\log h_{(t)} \left( \frac{dd'_{(t)}}{d\Lambda''} \right) = 0,7206n$	$\log h_{(t)} \left( \frac{dd'_{(t)}}{d\lambda''} \right) = 1,7114$
$\left( \frac{df'_{(t)}}{d\Delta''} \right) = 2,407$	$\left( \frac{df'_{(t)}}{d\lambda''} \right) = -3,50$
$\left( \frac{df'_{(t)}}{d\Lambda''} \right) = -3,710$	$\left( \frac{df'_{(t)}}{d\lambda''} \right) = 31,65$
$h_{(t)} \left( \frac{dd'_{(t)}}{d\Lambda''} \right) = -5,255$	$h_{(t)} \left( \frac{dd'_{(t)}}{d\lambda''} \right) = 51,45$
$\left( \frac{df'_{(t)}}{d\Lambda''} \right) - \left( \frac{df'_{(t)}}{d\Delta''} \right) + h_{(t)} \left( \frac{dd'_{(t)}}{d\Lambda''} \right) = 0,862 \quad \left( \frac{df'_{(t)}}{d\lambda''} \right) - \left( \frac{df'_{(t)}}{d\Delta''} \right) + h_{(t)} \left( \frac{dd'_{(t)}}{d\lambda'} \right) = 16,30$	$\log = 9,9355$
$C \log(d' - d'_*) = 0,2479n$	$\log = 1,2122$
$\log \left( \frac{dh_{(t)}}{d\Lambda''} \right) = 0,1834n$	$= 0,2479n$
$\log k_{(t)} = 0,7635$	$= 0,7635$
$\log \left( \frac{dd'_{(t)}}{d\Lambda''} \right) = 0,3056$	$\log \left( \frac{dd'_{(t)}}{d\lambda''} \right) = 1,2964n$
$\log k_{(t)} \left( \frac{dd'_{(t)}}{d\Lambda''} \right) = 1,0691$	$\log k_{(t)} \left( \frac{dd'_{(t)}}{d\lambda''} \right) = 2,0599n$
$\left( \frac{dg'_{(t)}}{d\Lambda''} \right) = 0,726$	$\left( \frac{dg'_{(t)}}{d\lambda''} \right) = 9,23$
$\left( \frac{dg'_{(t)}}{d\Lambda''} \right) = 7,663$	$\left( \frac{dg'_{(t)}}{d\lambda''} \right) = -76,73$
$k_{(t)} \left( \frac{dd'_{(t)}}{d\Lambda''} \right) = 11,724$	$k_{(t)} \left( \frac{dd'_{(t)}}{d\lambda''} \right) = -114,79$
$\left( \frac{dg'_{(t)}}{d\Lambda''} \right) - \left( \frac{dg'_{(t)}}{d\Delta''} \right) + k_{(t)} \left( \frac{dd'_{(t)}}{d\Lambda''} \right) = 4,787 \quad \left( \frac{dg'_{(t)}}{d\lambda''} \right) - \left( \frac{dg'_{(t)}}{d\Delta''} \right) + k_{(t)} \left( \frac{dd'_{(t)}}{d\lambda''} \right) = -28,83$	$\log = 0,6801$
$C \log(d' - d'_*) = 0,2479n$	$\log = 1,4598n$
$\log \left( \frac{dk_{(t)}}{d\Lambda''} \right) = 0,9280n$	$= 0,2479n$

Conviene ora cercare le funzioni prime di  $H$ ,  $K$  per poi passare a quelle di  $M$  ed  $N$ ; perciò usando le formole (42), (43) istituisco il calcolo seguente:

$$\begin{aligned}
 \log k_{(1)} &= 0,7635 & \log \left( \frac{dh}{d\lambda''} \right) &= 0,7635 \\
 \log \left( \frac{dh}{d\Lambda''} \right) &= \underline{0,6927n} & \log \left( \frac{dh}{d\lambda''} \right) &= 1,7875 \\
 \log k_{(1)} \left( \frac{dh}{d\Lambda''} \right) &= 1,4562n & \log k_{(1)} \left( \frac{dh}{d\lambda''} \right) &= 2,5510 \\
 \log h &= 0,4563n & \log h &= 0,4563n \\
 \log \left( \frac{dk_{(1)}}{d\Lambda''} \right) &= \underline{0,9280n} & \log \left( \frac{dk_{(1)}}{d\lambda''} \right) &= 1,7077 \\
 \log h \left( \frac{dk_{(1)}}{d\Lambda''} \right) &= 1,3843 & \log h \left( \frac{dk_{(1)}}{d\lambda''} \right) &= 2,1640n \\
 k_{(1)} \left( \frac{dh}{d\Lambda''} \right) &= -28,59 & k_{(1)} \left( \frac{dh}{d\lambda''} \right) &= 335,6 \\
 h \left( \frac{dk_{(1)}}{d\Lambda''} \right) &= \underline{24,33} & h \left( \frac{dk_{(1)}}{d\lambda''} \right) &= -145,9 \\
 \left( \frac{dH}{d\Lambda''} \right) &= -4,36 & \left( \frac{dH}{d\lambda''} \right) &= 209,7 \\
 \log h_{(1)} &= 0,4150n & \log h_{(1)} &= 0,4150n \\
 \log \left( \frac{dk}{d\Lambda''} \right) &= \underline{0,8696} & \log \left( \frac{dk}{d\lambda''} \right) &= 1,9660n \\
 \log h_{(1)} \left( \frac{dk}{d\Lambda''} \right) &= 1,2846n & \log h_{(1)} \left( \frac{dk}{d\lambda''} \right) &= 2,3810 \\
 \log k &= 0,7490 & \log k &= 0,7490 \\
 \log \left( \frac{dh_{(1)}}{d\Lambda''} \right) &= \underline{0,1834n} & \log \left( \frac{dh_{(1)}}{d\lambda''} \right) &= 1,4601n \\
 \log k \left( \frac{dh_{(1)}}{d\Lambda''} \right) &= 0,9324n & \log k \left( \frac{dh_{(1)}}{d\lambda''} \right) &= 1,2091n \\
 h_{(1)} \left( \frac{dk}{d\Lambda''} \right) &= -19,26 & h_{(1)} \left( \frac{dk}{d\lambda''} \right) &= 240,44 \\
 k \left( \frac{dh_{(1)}}{d\Lambda''} \right) &= \underline{-8,56} & k \left( \frac{dh_{(1)}}{d\lambda''} \right) &= -161,85 \\
 \left( \frac{dK}{d\Lambda''} \right) &= -27,82 & \left( \frac{dK}{d\lambda''} \right) &= 78,59
 \end{aligned}$$

Dalle formole (44) dedurremo ora i valori delle funzioni prime di  $\log M$ ,  $\log N$

$$\left( \frac{dh_{(t)}}{d\Lambda''} \right) = -1,525 \quad \left( \frac{dh_{(t)}}{d\lambda''} \right) = -28,85$$

$$\left( \frac{dh}{d\Lambda''} \right) = -4,928 \quad \left( \frac{dh}{d\lambda''} \right) = 61,30$$

$$\left( \frac{dh_{(t)}}{d\Lambda''} \right) - \left( \frac{dh}{d\Lambda''} \right) = 3,403 \quad \left( \frac{dh_{(t)}}{d\lambda''} \right) - \left( \frac{dh}{d\lambda''} \right) = -90,15$$

$$\log \left\{ \left( \frac{dh_{(t)}}{d\Lambda''} \right) - \left( \frac{dh}{d\Lambda''} \right) \right\} = 0,5319 \quad \log \left\{ \left( \frac{dh_{(t)}}{d\lambda''} \right) - \left( \frac{dh}{d\lambda''} \right) \right\} = 1,9550n$$

$$C \log M = 0,8870n \quad = 0,8870n$$

$$\log \frac{1}{M} \left\{ \left( \frac{dh_{(t)}}{d\Lambda''} \right) - \left( \frac{dh}{d\Lambda''} \right) \right\} = \overline{1,4189n} \quad \log \frac{1}{M} \left\{ \left( \frac{dh_{(t)}}{d\lambda''} \right) - \left( \frac{dh}{d\lambda''} \right) \right\} = \overline{2,8420}$$

$$\frac{1}{M} \left\{ \left( \frac{dh_{(t)}}{d\Lambda''} \right) - \left( \frac{dh}{d\Lambda''} \right) \right\} = -26,24 \quad \frac{1}{M} \left\{ \left( \frac{dh_{(t)}}{d\lambda''} \right) - \left( \frac{dh}{d\lambda''} \right) \right\} = 695,0$$

$$\left( \frac{dH}{d\Lambda''} \right) = -4,36 \quad \left( \frac{dH}{d\lambda''} \right) = 209,7$$

$$\left( \frac{dK}{d\Lambda''} \right) = -27,82 \quad \left( \frac{dK}{d\lambda''} \right) = 78,6$$

$$\frac{H-K}{m} \left( \frac{d \log M}{d\Lambda''} \right) = -49,70 \quad \frac{H-K}{m} \left( \frac{d \log M}{d\lambda''} \right) = 563,9$$

$$\log = 1,6964n \quad \log = 2,7512$$

$$C \log(H-K) = 9,6987n \quad = 9,6987n$$

$$\log \frac{1}{m} \left( \frac{d \log M}{d\Lambda''} \right) = \overline{1,3951} \quad \log \frac{1}{m} \left( \frac{d \log M}{d\lambda''} \right) = \overline{2,4499}$$

$$\log m = 4,3234 \quad = 4,3234$$

$$\log \left( \frac{d \log M}{d\Lambda''} \right) = \overline{5,7183} \quad \log \left( \frac{d \log M}{d\lambda''} \right) = \overline{6,7733n}$$

$$\left( \frac{dk_{(n)}}{d\Lambda''} \right) = -8,472$$

$$\left( \frac{dk_{(n)}}{d\lambda''} \right) = 51,01$$

$$\left( \frac{dk}{d\Lambda''} \right) = 7,406$$

$$\left( \frac{dk}{d\lambda''} \right) = -92,47$$

$$\left( \frac{dk_{(n)}}{d\Lambda''} \right) - \left( \frac{dk}{d\Lambda''} \right) = -15,878$$

$$\left( \frac{dk_{(n)}}{d\lambda''} \right) - \left( \frac{dk}{d\lambda''} \right) = 143,48$$

$$\log \left\{ \left( \frac{dk_{(n)}}{d\Lambda''} \right) - \left( \frac{dk}{d\Lambda''} \right) \right\} = 1,2008n \quad \log \left\{ \left( \frac{dk_{(n)}}{d\lambda''} \right) - \left( \frac{dk}{d\lambda''} \right) \right\} = 2,1568$$

$$C \log N = 1,0214n \quad = 1,0214n$$

$$\log \frac{1}{N} \left\{ \left( \frac{dk_{(n)}}{d\Lambda''} \right) - \left( \frac{dk}{d\Lambda''} \right) \right\} = -2,2222 \quad \log \frac{1}{N} \left\{ \left( \frac{dk_{(n)}}{d\lambda''} \right) - \left( \frac{dk}{d\lambda''} \right) \right\} = -3,1782$$

$$\frac{1}{N} \left\{ \left( \frac{dk_{(n)}}{d\Lambda'} \right) - \left( \frac{dk}{d\Lambda''} \right) \right\} = 166,8$$

$$\frac{1}{N} \left\{ \left( \frac{dk_{(n)}}{d\lambda'} \right) - \left( \frac{dk}{d\lambda''} \right) \right\} = -1507,3$$

$$\left( \frac{dH}{d\Lambda'} \right) = -4,4$$

$$\left( \frac{dH}{d\lambda''} \right) = 209,7$$

$$\left( \frac{dK}{d\Lambda'} \right) = -27,8$$

$$\left( \frac{dK}{d\lambda''} \right) = 78,6$$

$$\frac{H-K}{m} \left( \frac{d \log N}{d\Lambda''} \right) = 143,4$$

$$\frac{H-K}{m} \left( \frac{d \log N}{d\lambda''} \right) = -1638,4$$

$$\log = 2,1565$$

$$\log = 3,2144n$$

$$C \log(H-K) = 9,6987n$$

$$= 9,6987n$$

$$\log \frac{1}{m} \left( \frac{d \log N}{d\Lambda''} \right) = 1,8552n$$

$$\log \frac{1}{m} \left( \frac{d \log N}{d\lambda''} \right) = 2,9131$$

$$\log m = 4,3234$$

$$= 4,3234$$

$$\log \left( \frac{d \log N}{d\Lambda'} \right) = 6,1786n$$

$$\log \left( \frac{d \log N}{d\lambda''} \right) = 7,2365$$

Volendo altresì il valore delle funzioni prime dell'angolo  $\Omega$ , si istituisca con le formole (45) il calcolo seguente:

$$\frac{1}{m} \left( \frac{d \log M}{d \Lambda''} \right) = 24,84$$

$$\frac{1}{m} \left( \frac{d \log M}{d \lambda''} \right) = -281,8$$

$$\frac{1}{m} \left( \frac{d \log N}{d \Lambda''} \right) = -71,65$$

$$\frac{1}{m} \left( \frac{d \log N}{d \lambda''} \right) = 818,6$$

$$\frac{1}{m} \left\{ \left( \frac{d \log M}{d \Lambda''} \right) - \left( \frac{d \log N}{d \Lambda''} \right) \right\} = 96,49 \quad \frac{1}{m} \left\{ \left( \frac{d \log M}{d \lambda''} \right) - \left( \frac{d \log N}{d \lambda''} \right) \right\} = -1100,4$$

$$\log = 1,9845$$

$$\log = 3,0446n$$

$$\log \sin 2\Omega = 9,9795$$

$$= 9,9795$$

$$C \log 2 = 9,6990$$

$$= 9,6990$$

$$\log \left( \frac{d \Omega}{d \Lambda''} \right) = \overline{1,6630}$$

$$\log \left( \frac{d \Omega}{d \lambda''} \right) = \overline{2,7231n}$$

I calcoli coi quali abbiamo ottenuti i valori delle premesse funzioni prime sono per verità un poco lunghi, ma d'altronde essi si fanno colla massima facilità tanto pel piccol numero di cifre decimali che conviene impiegare, quanto perchè una gran parte dei logaritmi che si usano si trovano già esposti nel precedente calcolo dell'orbita.

Se gli errori che si vorranno attribuire alle osservazioni saranno tali che i termini moltiplicati pei loro quadrati non abbiano notabile influenza sui valori di  $M$ ,  $N$ ,  $\Omega$ , potremo colle ritrovate funzioni prime  $\left( \frac{d \log M}{d \Lambda''} \right)$ ,  $\left( \frac{d \log M}{d \lambda''} \right)$ ,  $\left( \frac{d \log N}{d \Lambda''} \right)$ , ecc. determinare i valori delle quantità  $\log M$ ,  $\log N$ ,  $\Omega$ , a qualsivoglia errore si suppongano soggetti i luoghi geocentrici della seconda osservazione. Così supponendo che tanto la longitudine, quanto la latitudine siano insieme minori di  $90''$ , ciò che è il caso più sfavorevole, osservando che la latitudine è australe, e perciò

negativa, sarà

$$d\Lambda'' = -10''$$

$$-d\lambda'' = -10''$$

e quindi avremo

$$\log d\Lambda'' = 1,0000n$$

$$\log d\lambda'' = 1,0000$$

$$\log \left( \frac{d \log M}{d\Lambda''} \right) = 5,7185$$

$$\log \left( \frac{d \log M}{d\lambda''} \right) = 6,7733n$$

$$\log \left( \frac{d \log N}{d\Lambda''} \right) = 6,1786n$$

$$\log \left( \frac{d \log N}{d\lambda''} \right) = 7,2365$$

$$\log \left( \frac{d \Omega}{d\Lambda''} \right) = 1,6630$$

$$\log \left( \frac{d \Omega}{d\lambda''} \right) = 2,7201n$$

$$\log \left( \frac{d \log M}{d\Lambda''} \right) d\Lambda'' = 6,7185n$$

$$\log \left( \frac{d \log M}{d\lambda''} \right) d\lambda'' = 7,7733n$$

$$\log \left( \frac{d \log N}{d\Lambda''} \right) d\Lambda'' = 7,1786$$

$$\log \left( \frac{d \log N}{d\lambda''} \right) d\lambda'' = 8,2365$$

$$\log \left( \frac{d \Omega}{d\Lambda''} \right) d\Lambda'' = 2,6630$$

$$\log \left( \frac{d \Omega}{d\lambda''} \right) d\lambda'' = 3,7201n$$

Essendo poi

$$d \log M = \left( \frac{d \log M}{d\Lambda''} \right) d\Lambda'' + \left( \frac{d \log M}{d\lambda''} \right) d\lambda''$$

$$d \log N = \left( \frac{d \log N}{d\Lambda''} \right) d\Lambda'' + \left( \frac{d \log N}{d\lambda''} \right) d\lambda''$$

$$d \Omega = \left( \frac{d \Omega}{d\Lambda''} \right) d\Lambda'' + \left( \frac{d \Omega}{d\lambda''} \right) d\lambda''$$

si troverà

$$d \log M = -0,00052 - 0,00593 = -0,00645$$

$$d \log N = 0,00151 + 0,01724 = 0,01875$$

$$d \Omega = -460'' - 5249'' = -5709'' = -1^\circ 35' 9''$$

Perciò i nuovi valori di  $\log M$ ,  $\log N$ ,  $\Omega$  saranno

$$\log M = 9,10657n \quad \log N = 8,99735n \quad \Omega = 52^\circ 8' 34''.$$

Supponendo diminuita la longitudine di  $20''$ , e viceversa aumentata la latitudine di  $10''$  con un calcolo simile al precedente, risulteranno per  $\log M$ ,  $\log N$ ,  $\Omega$  i valori seguenti:

$$\log M = 9,11790n \quad \log N = 8,96438n \quad \Omega = 54^\circ 55' 2''$$

Siccome gli errori dati alle longitudini e latitudini nei due casi precedenti sono di tale grandezza che attinge i limiti di quelli che si possono supporre in osservazioni eseguite con qualche cura e con buoni istromenti, ed i valori risultati per  $\Omega$  non sono tanto lontani dal vero da potersi ritenere per una prima approssimazione; così si può conchiudere che l'influenza di questi errori comunque sensibile non è tale da toglierci una prossima coguizione dell' orbita.

## ARTICOLO IV.

*Metodo per correggere gli elementi approssimati dell' orbita.*

65.

Se per evitare l'influenza degli errori delle osservazioni altro mezzo non abbiamo, come dissi precedentemente, che di aumentare il numero delle osservazioni e correggere gli elementi dell' orbita in modo che soddisfacciano coi minori errori possibili a tutte le osservazioni, non deve però all' analisi essere necessario questo mezzo per togliere gli errori della seconda specie, cioè di quelli nati dalle piccole quantità che abbiamo trascurato nel

valutare le  $\alpha$ . L'analisi per compiere il suo oggetto deve procurarci una soluzione, dalla quale, quando si abbiano delle osservazioni meritevoli di molta fiducia, si possano dedurre gli elementi in modo che i luoghi calcolati corrispondano esattamente a quelli osservati (\*). Volendo quindi nulla omettere al compimento di quest' analisi, ho destinato il presente articolo ad indicare i mezzi coi quali si può soddisfare a questa nuova condizione, ed a dare un saggio dell'applicazione de' medesimi con un esempio numerico.

## 66.

La ragione per cui non si è potuto da principio calcolare con esattezza le quantità  $a_1^i$ ,  $a_3^{ii}$ , ecc. si è perchè esse contenevano le quantità  $\tau'$ ,  $\tau'''$ , ecc. le quali erano ancora incognite. Queste ultime quantità rappresentano, come si è fatto osservare al numero 11, il doppio delle aree de' triangoli formati dai raggi vettori  $r'$ ,  $r''$ ;  $r''$ ,  $r'''$ , ecc., e dalle corde che gli uniscono, divise per la radice del semiparametro dell'orbita. Ora dai valori in serie delle medesime quantità  $\tau'$ ,  $\tau'''$ , ecc., dati al numero 18, risulta che esse sono proporzionali al tempo decorso fra le due osservazioni moltiplicato per una serie che si avvicina molto all' unità allorchè  $\theta$  è piccolo. Il valente sig. Gauss con artificj tutti nuovi è arrivato a somministrare un mezzo per determinare il valore di questa serie, che d'ora

(\*) Questa proposizione va intesa a tutto rigore nel caso che l'orbita sia dedotta da sole tre osservazioni; quando le osservazioni sono in numero maggiore, l'orbita non potrà esattamente soddisfare a tutte, a meno che avvenga o che le osservazioni siano prive d'errori, o che questi si compensino in modo che una traiettoria possa passare per tutti i luoghi osservati.

in avanti indicheremo con  $\eta$ , quando siano dati i due raggi vettori, l' angolo compreso e l' intervallo di tempo fra le due osservazioni, e questa determinazione forma uno de' più bei pregi dell' eccellente sua opera: *Theoria motus corporum celestium etc.* Ancorchè i valori che s' impiegano dei raggi vettori e della differenza delle anomalie vere non siano molto esatti, il valore  $\eta$  della detta serie risulta molto più vicino al vero. Questa circostanza offre un mezzo facile e pronto per correggere gli elementi dell' orbita degli errori dipendenti dalle quantità trascurate nel calcolo. In fatti presa, per esempio, l' orbita determinata nell' articolo II, si calcolino coi metodi del sig. Gauss, i quali riescono spediti perchè abbreviati da alcune tavole annesse all' opera citata, i valori di  $\eta$  corrispondenti alle quantità  $\tau^1$ ,  $\tau^{III} = \tau_{(i)}^1$ ,  $\tau_{(i)}^{III}$ , e con questi valori si formino le quantità

$$I - \frac{\tau^1}{T^1}$$

$$I - \frac{\tau^{III}}{T^{III}}$$

$$I - \frac{\tau_{(i)}^1}{T_{(i)}^1}$$

$$I - \frac{\tau_{(i)}^{III}}{T_{(i)}^{III}}$$

nelle quali le  $T^1$ ,  $T^{III} = T_{(i)}^1$ ,  $T_{(i)}^{III}$  che esprimono parimente le doppie aree dei triangoli fatti dai raggi vettori  $R'R'$ ,  $R''R''$ ,  $R'''R'''$  e dalle corde che uniscono le loro estremità divise per la radice del semiparametro della terra, sono conosciute per mezzo delle tavole del movimento di questo pianeta, dette tavole solari. Finchè i tempi fra le osservazioni non saranno molto grandi, come si è sempre supposto, i rapporti  $\frac{\tau^1}{T^1}$ ,  $\frac{\tau^{III}}{T^{III}}$ , ecc. non differiranno molto dall' unità, e quindi le quattro sovrascritte quantità risulteranno molto piccole. Si sostituiscano queste quantità nei valori di  $a_1^1$ ,  $a_3^{III}$ , ecc. dati dalle formole (120) del numero 25;

ancorchè i rapporti  $\frac{D'}{\delta'}$ ,  $\frac{D''}{\delta''}$ , ecc. contengano le  $\delta'$ ,  $\delta''$ , delle quali non abbiamo che dei valori approssimati, pure venendo moltiplicate per quantità piccole, l'influenza dei loro errori verrà a diminuire notabilmente. Per tal modo con maggiore approssimazione di prima avremo.

$$\alpha_1^* = \left(1 - \frac{\tau^1}{T^1}\right) \frac{D'}{\delta'} \quad \alpha_3^{**} = \left(1 - \frac{\tau^{***}}{T^{***}}\right) \frac{D'''}{\delta'''}$$

$$\alpha_{1(i)}^* = \left(1 - \frac{\tau_{(i)}^1}{T_{(i)}^1}\right) \frac{D'_{(i)}}{\delta'_{(i)}} \quad \alpha_{3(i)}^{**} = \left(1 - \frac{\tau_{(i)}^{***}}{T_{(i)}^{***}}\right) \frac{D'''_{(i)}}{\delta'''_{(i)}}$$

Con questi nuovi valori di  $\alpha_1^*$ ,  $\alpha_3^{**}$ ,  $\alpha_{1(i)}^*$ , ecc. riprenderemo la risoluzione delle equazioni fondamentali (134) ovvero (13), (14), poichè tutti gli altri calcoli preliminari si troveranno già fatti sino dalla prima approssimazione, e determineremo dei nuovi valori di  $M$  ed  $N$ , coi quali passeremo nello stesso modo indicato alla cognizione di tutti gli elementi dell' orbita. Se questi nuovi elementi non ci sembreranno ancora godere di una sufficiente approssimazione, si calcoleranno coi dati di questi degli altri valori di  $\eta'$ ,  $\eta''$ ,  $\eta'_{(i)}$  ecc. che riusciranno assai più prossimi al vero dei primi; e con questi seguendo la stessa strada, determineremo degli altri elementi parimente più vicini al vero; e così ripetendo l' operazione quanto ci piace, potremo attingere tutta quell' esattezza della quale è suscettibile la risoluzione delle equazioni (134) ovvero (13), (14).

## 67.

Applichiamo tutto ciò all' esempio trattato nell' articolo II. Siccome ci mancano ancora i valori di  $\log r'$ ,  $\log r''$ ;  $u'$ ,  $u'''$ ;  $\log \delta'$ ,  $\log \delta'''$ , giacchè al numero 56 non abbiamo

determinati che quelli di  $\log r''$ ,  $\log r'''$ ;  $u''$ ,  $u'''$ , ecc. che erano i soli dei quali avevamo bisogno; così converrà prima di tutto calcolare i detti valori, ciò che ho fatto colle formole del numero 37, l'uso delle quali essendo già conosciuto, non riporterò qui che i risultamenti, e sono:

$$\log r' = 0,06741$$

$$\log r''' = 0,21040$$

$$u' = 201^\circ 27' 5''$$

$$u''' = 218^\circ 3' 20''$$

$$\log \delta' = 9,11343$$

$$\log \delta''' = 9,48293$$

Con questi e coi già riferiti valori dei raggi vettori e degli argomenti di latitudine ho calcolato, secondo i metodi citati del sig. Gauss, i valori di  $\eta'$ ,  $\eta''' = \eta'_{(i)}$ ,  $\eta'''_{(i)}$  (\*) che risultarono i seguenti:

$$\log \eta' = 9,9988852$$

$$\log \eta''' = \log \eta'_{(i)} = 9,9992144$$

$$\log \eta'''_{(i)} = 9,9994223$$

Moltiplicando questi valori per  $\theta$  o sia pel prodotto di  $\sqrt{g}$  nell'intervallo di tempo fra le osservazioni, il qual prodotto chiamasi tempo fra le osservazioni ridotto in parti del raggio, avremo i valori di  $\tau'$ ,  $\tau''' = \tau'_{(i)}$ ,  $\tau'''_{(i)}$ .

$$\log t = \log 10 = 1,0000000$$

$$\log \sqrt{g} = 8,2355814$$

$$\log \theta = 9,2355814$$

(\*) I valori di  $\log \eta'$ , ecc. sono i complementi di quelli di  $\log y$ , di cui parla il professore Gauss ai numeri 91 — 95 della detta opera.

$$\log \theta = 9,2355814$$

$$\log \eta' = 9,9988852$$

$$\log \eta'' = \log \eta'_{(1)} = 9,9992144$$

$$\log \eta'''_{(1)} = \underline{9,9994223}$$

$$\log \tau^i = 9,2344666$$

$$\log \tau''' = \log \tau'_{(1)} = 9,2347958$$

$$\log \tau'''_{(1)} = 9,2350037$$

A questi valori di  $\tau^i$ ,  $\tau''' = \tau'_{(1)}$ ,  $\tau'''_{(1)}$  unisco quelli di  $T^i$ ,  $T''' = T'_{(1)}$ ,  $T'''_{(1)}$  che si calcolano giusta le formole (126) del numero 26 nel seguente modo :

$$L'' = 230^{\circ} 50' 17'' \quad \log D' = 0,0038110$$

$$L' = \underline{221 \ 10 \ 41} \quad \log D'' = 0,0047770$$

$$L'' - L' = \underline{9 \ 39 \ 36} \quad \log \sin(L'' - L') = 9,2247950$$

$$C \cdot \log \sqrt{P} = \underline{0,0000060}$$

$$\log T^i = 9,2333890$$

$$L''' = 240 27 26 \quad \log D'' = 0,0047770$$

$$L'' = 230 50 17 \quad \log D''' = 0,0056400$$

$$L''' - L'' = \underline{9 \ 37 \ 9} \quad \log \sin(L''' - L'') = 9,2229728$$

$$C \log \sqrt{P} = \underline{0,0000060}$$

$$\log T''' = \log T'_{(1)} = 9,2333958$$

$$L''' = 239 2 48 \quad \log D'' = 0,0056400$$

$$L'' = 240 27 26 \quad \log D''' = 0,0063200$$

$$L''' - L'' = \underline{9 \ 35 \ 22} \quad \log \sin(L''' - L'') = 9,2216413$$

$$C \log \sqrt{P} = \underline{0,0000060}$$

$$\log T'''_{(1)} = \underline{9,2336073}$$

## 68.

Determinati questi valori di  $\tau^i$ ,  $\tau^{iii}$ , ecc.  $T^i$ ,  $T^{iii}$ , ecc., compongo ora quelli di  $a_i^i$ ,  $a_3^{iii}$ ;  $a_{i(i)}^i$ ,  $a_{3(i)}^{iii}$ , eseguendo il calcolo seguente:

$$\log \tau^i = .92344666$$

$$C \log T^i = \underline{0,7666110}$$

$$\frac{\tau^i}{T^i} = 1,0024843 \quad \log \frac{\tau^i}{T^i} = \underline{0,0010776}$$

$$1 - \frac{\tau^i}{T^i} = -0,0024843 \quad \log \left( 1 - \frac{\tau^i}{T^i} \right) = 7,3952040n$$

$$\log D' = 0,0038110$$

$$C \log \delta' = \underline{0,8865700n}$$

$$\log a_i^i = 8,2855850$$

$$\log \tau^{iii} = 9,2347958$$

$$C \log T^{iii} = \underline{0,7666042}$$

$$\frac{\tau^{iii}}{T^{iii}} = 1,0032288 \quad \log \frac{\tau^{iii}}{T^{iii}} = \underline{0,0014000}$$

$$1 - \frac{\tau^{iii}}{T^{iii}} = -0,0032288 \quad \log \left( 1 - \frac{\tau^{iii}}{T^{iii}} \right) = 7,5090411n$$

$$\log D'' = 0,0056400$$

$$C \log \delta'' = \underline{0,6048000n}$$

$$\log a_3^{iii} = \underline{8,1194811}$$

$$1 - \frac{\tau_{(i)}^i}{T_{(i)}^i} = 1 - \frac{\tau^{iii}}{T^{iii}} \quad \log \left( 1 - \frac{\tau_{(i)}^i}{T_{(i)}^i} \right) = 7,5090411$$

$$\log D'' = 0,0047770$$

$$C \log \delta'' = \underline{0,7205100n}$$

$$\log a_{i(i)}^i = \underline{8,2343281}$$

$$\begin{aligned}
 \log \tau_{(i)}^{\text{III}} &= 9,2350037 \\
 C \log T_{(i)}^{\text{III}} &= \underline{0,7663927} \\
 \frac{\tau_{(i)}^{\text{III}}}{T_{(i)}^{\text{III}}} &= 1,0032205 \quad \log \frac{\tau_{(i)}^{\text{III}}}{T_{(i)}^{\text{III}}} = \underline{0,0013964} \\
 1 - \frac{\tau_{(i)}^{\text{III}}}{T_{(i)}^{\text{III}}} &= -0,0032205 \quad \log \left( 1 - \frac{\tau_{(i)}^{\text{III}}}{T_{(i)}^{\text{III}}} \right) = 7,5079233n \\
 \log D''' &= 0,0063200 \\
 C \log \delta''' &= \underline{0,5170700} \\
 \log a_{3(i)}^{\text{III}} &= 8,0313133
 \end{aligned}$$

## 69.

Con questi valori di  $a_i^i$ ,  $a_3^{\text{III}}$ ;  $a_{i(i)}^i$ ,  $a_{3(i)}^{\text{III}}$  avendo già determinati quelli di  $m'$ ,  $n'$ ;  $m''$ , ecc.;  $a_i^i$ ,  $a_3^{\text{III}}$ , ecc. nell'articolo II (\*), non ci resta che di comporre le equazioni (13), (14), battendo la stessa strada seguita al numero 58.

*Calcolo della prima equazione.*

$$\begin{aligned}
 d &= 1 \quad \log a_i^i = 0,9155160n \\
 d' &= \underline{1,8356047} \quad C \log a_3^{\text{III}} = \underline{9,3482631n} \\
 d' - d_i &= -0,8356047 \quad \log a_i^i : a_3^{\text{III}} = \underline{0,2637791} \\
 n' &= -0,2217825 \quad \log a_i^i = 8,2855850 \\
 a_i^i n' &= -0,0127080 \quad \log n' = \underline{9,8184906n} \\
 f &= -0,2344905 \quad \log a_i^i n' = \underline{8,1040756n}
 \end{aligned}$$

(\*) A questo fine abbiamo calcolato al numero 5a con 7 cifre decimali i logaritmi di  $m'$ ,  $n'$ ;  $m''$ , ecc.;  $a_i^i$ ,  $a_3^{\text{III}}$ , ecc., ciò che sarà bene di praticare ogni volta che si avrà intenzione di progredire nella correzione degli elementi per non ripeterne il calcolo posteriormente.

$$\begin{aligned}
& n'' = -1,4205388 \quad \log a_3''' = 8,1194811 \\
& a_3'''v''' = -0,0114550 \quad \log v''' = 9,9395131n \\
& n''' + a_3'''v''' = -1,4319938 \quad \log a_3'''v''' = 8,0589942n \\
& f'_i = -2,6285736 \quad \log(n'' + a_3'''v''') = 0,1559411n \\
& f' - f'_i = 2,3940831 \quad \log a_i : a_3''' = 0,2637791 \\
& h = -2,8650900 \quad \log f'_i = 0,4197202n \\
& m' = -1,6326575 \quad \log(f' - f'_i) = 0,3791392 \\
& a_i \mu' = -0,0145274 \quad C \log(d' - d'_i) = 0,0779991n \\
& g' = 1,6181301 \quad \log h = 0,4571383n \\
& m''' = 3,4402932 \quad \log a_i' = 8,2855850 \\
& a_3''' \mu''' = -0,0064922 \quad \log \mu' = 9,8766030n \\
& m''' + a_3''' \mu''' = -3,4338010 \quad \log a_i' \mu' = 8,1621880n \\
& \log(m''' + a_3''' \mu''') = 0,5357751 \\
& \log a_i : a_3''' = 0,2637791 \\
& g'_i = 6,3031000 \quad \log g'_i = 0,7995542 \\
& g' - g'_i = -4,6849699 \quad \log(g' - g'_i) = 0,6707068n \\
& C \log(d' - d'_i) = 0,0779991n \\
& k = 5,6066813 \quad \log k = 0,7487059
\end{aligned}$$

Quindi la prima equazione sarà

$$5,6066813c'' + 2,8650900c'' + c - C' = 0$$

*Calcolo della seconda equazione.*

	$\log a_1^i = 0,6466790n$
$d = 1$	$C \log a_3^{ii} = 9,5478374n$
$d_i = 1,5650075$	$\log a_1^i : a_3^{ii} = 0,1945154$
$d' - d_i = -0,5650075$	
	$\log a_1^i = 8,2343281$
$n'' = +1,0413534$	$\log v'' = 9,8895057n$
$a_1^i v'' = -0,0132995$	$\log a_1^i v'' = 8,1238338n$
$f' = -1,0546529$	
	$\log a_3^{ii} = 8,0313133$
$n''' = -1,6024396$	$\log v''' = 9,9731144n$
$a_3^{ii} v''' = -0,0101025$	$\log a_3^{ii} v''' = 8,0044277n$
$n''' + a_3^{ii} v''' = -1,6925421$	$\log(n''' + a_3^{ii} v''') = 0,2075111n$
	$\log a_1^i : a_3^{ii} = 0,1945164$
$f_i = -2,5236406$	$\log f_i = 0,4020275$
$f' - f_i = 1,4689877$	$\log(f' - f_i) = 0,1670182$
	$C \log(d' - d_i) = 0,2479458n$
$h_{(i)} = -2,5999442$	$\log h_{(i)} = 0,4149640n$
	$\log a_1^i = 8,2343281$
$m'' = 2,7938164$	$\log \mu'' = 9,8003833n$
$a_1^i \mu'' = -0,0108321$	$\log a_1^i \mu'' = 8,0347114n$
$g' = 2,7829843$	

$$m''' = 3,8762380$$

$$a_3''' \mu''' = 0,0036677$$

$$\log a_3''' = 8,0313133$$

$$\log \mu''' = 9,5330786n$$

$$m''' + a_3''' \mu''' = -3,8725703 \quad \log(m''' + a_3''' \mu''') = 0,5879993$$

$$\log a_1 : a_3''' = 0,1945164$$

$$g' = 6,0606014$$

$$\log g' = 0,7825157$$

$$g' - g_i = -3,2776171$$

$$\log(g' - g_i) = 0,5155583n$$

$$C \log(d' - d_i) = 0,2479458n$$

$$k_{(1)} = 5,8010168$$

$$\log k_{(1)} = 0,7635041$$

Avremo perciò la seconda equazione così espressa:

$$5,8010168c''' + 2,5999442c'' + c' - C' = 0.$$

## 70.

Dalle due equazioni ora calcolate dedurremo i valori di  $\log M$ ,  $\log N$  nel modo che siegue:

$$\begin{aligned} \log h &= 0,4571383n \\ \log k_{(1)} &= 0,7635041 \end{aligned}$$

$$\begin{aligned} \log k &= 0,7487059 \\ \log h_{(1)} &= 0,4149640n \end{aligned}$$

$$\log h k_{(1)} = 1,2206424n$$

$$\log k h_{(1)} = 1,1636699n$$

$$h k_{(1)} = -16,620438$$

$$k h_{(1)} = -14,577057$$

$$h k_{(1)} - k h_{(1)} = -2,043381$$

$$h_{(1)} = -2,5999442$$

$$h = -2,8650900$$

$$k_{(1)} = 5,8010168$$

$$k = 5,6066813$$

$$\begin{aligned} h_{(1)} - h &= 0,2651458 \\ \log(h_{(1)} - h) &= 9,4234848 \\ \log(h k_{(1)} - k h_{(1)}) &= 9,6896507n \end{aligned}$$

$$k_{(1)} - k = 0,1943355$$

$$\log(k_{(1)} - k) = 9,2885522$$

$$= 9,6896507n$$

$$\log M = 9,1131355n$$

$$\log N = 8,9782029n$$

## 71.

Prima di progredire faremo un' osservazione che gioverà molto a stimare il grado d'approssimazione colla quale si può determinare l' orbita di un corpo celeste con osservazioni vicine. Se immaginiamo che qualcuna delle longitudini o latitudini geocentriche della cometa , per esempio la latitudine della seconda osservazione venga alterata appena di una centesima di secondo , non sarà difficile il vedere per mezzo delle funzioni prime date nell' articolo precedente , che le quantità  $a_1$ ,  $a_3''$  e  $h$ ,  $k$  andranno soggette ad un errore circa cinquanta volte maggiore, che i logaritmi di  $M$  ed  $N$  verranno ad essere intaccati di una o quasi due unità nella loro quinta cifra decimale , e che la longitudine dei nodi verrà a cangiare di  $5'',29$  , di modo che in generale l' impercettibile errore di una centesima di secondo nelle osservazioni può introdurre degli errori sensibili negli elementi dell' orbita. Questa riflessione basterà a persuadere che ogni cura deve porre l' astronomo nella scelta e nelle riduzioni delle osservazioni che vuole impiegare per la determinazione dell' orbita , e che infine converrà correggere gli elementi con osservazioni lontane, perchè l' orbita attinga qualche grado di precisione.

## 72.

Coi valori di  $M$  ed  $N$  determiniamo ora tutti gli elementi dell' orbita. Cominciando dalla longitudine dei nodi, avremo

$$\begin{aligned}\log M &= 9,1131355n \\ C \log N &= 8,0217971n\end{aligned}$$

$$\begin{aligned}\log \tan \Omega &= 0,1349326 \\ \Omega &= 53^\circ 45' 39,19\end{aligned}$$

Per mezzo di questa longitudine dei nodi e dei valori di  $M$  ed  $N$  passo ora a determinare l'inclinazione dell'orbita e la radice del semiparametro nel modo seguito al numero 55.

$$d'_i = 1,8356047$$

$$\log d'_i = 0,4197202n$$

$$\log N = 8,9782029n$$

$$f'_i N = 0,2499903$$

$$\log f'_i N = 9,3979231$$

$$\log g'_i = 0,7995542$$

$$\log M = 9,1131355n$$

$$g'_i M = -0,8178802$$

$$\log g'_i M = 9,9126897n$$

$$d'_i - f'_i N + g'_i M = 0,7677342 \quad \log(d'_i - f'_i N + g'_i M) = 9,8852109$$

$$C \log a_i = 9,0844840n$$

$$O'' = -0,0932599$$

$$\log O'' = 8,9696949n$$

$$\log \nu'' = 9,8895057n$$

$$\log N = 8,9782029n$$

$$\nu'' N = 0,0737409$$

$$\log \nu'' N = 8,8677086$$

$$\log \mu'' = 9,8003833n$$

$$\log M = 9,1131355n$$

$$\mu'' M = 0,0819443$$

$$\log \mu'' M = 8,9135188$$

$$O'' + \nu'' N - \mu'' M = -0,1014633 \quad \log(O'' + \nu'' N - \mu'' M) = 9,0063090n$$

$$\log C' = 9,9999940$$

$$\log(O'' + \nu'' N - \mu'' M) C' = 9,0063030n$$

$$o'' = \underline{1}$$

$$\log n'' = 0,0175982n$$

$$\log N = \underline{8,9782029n}$$

$$n''N = 0,0990378$$

$$\log n''N = \underline{8,9958011}$$

$$\log m'' = 0,4461979n$$

$$\log M = \underline{9,1131355}$$

$$m''M = \underline{0,3625212}$$

$$\log m''M = \underline{9,5593334n}$$

$$o''-n''N+m''M = 0,5384410 \quad \log(o''-n''N+m''M) = 0,2688619$$

$$C \log O'' = \underline{1,0303051n}$$

$$\log(O''+n''N-\mu''M)C = \underline{9,0063030n}$$

$$C' - c' = 2,0205519$$

$$\log(C' - c') = \underline{0,3054700}$$

$$C' = \underline{0,9999862}$$

$$\log M = \underline{9,1131355}$$

$$c' = \underline{-1,0205657}$$

$$\log c'' = \underline{9,4186055}$$

$$C \log c' = \underline{9,9911590n}$$

$$C \log \sin \Omega = \underline{0,0933650}$$

$$i = 162^\circ 19' 57'',21$$

$$\log \tan i = \underline{9,5031295n}$$

$$\log c' = \underline{0,0088410n}$$

$$C \log \cos i = \underline{0,0209826n}$$

$$\log \sqrt{p} = \underline{0,0298236}$$

73.

Siccome le formole (30), (32) del numero 51 contengono le differenze degli argomenti di latitudine e dei rapporti  $\frac{p}{r}$ , in modo che se le osservazioni sono vicine, i piccoli errori ai quali possono essere soggette queste

quantità hanno una più grande influenza in seguito; così a fine di diminuire il loro effetto ho scelto la prima e l'ultima delle osservazioni, e colle formole del numero 37 ho calcolato i logaritmi dei raggi vettori e gli argomenti di latitudine, che risultarono i seguenti:

$$\log r' = 0,0674449$$

$$\log r''' = 0,2109057$$

$$u' = 201^\circ 29' 59'',49$$

$$u''' = 218^\circ 8' 19'',15$$

Da questi valori di  $r'$ ,  $r'''$ ;  $u'$ ,  $u'''$  e da quello di  $p$  si deduce l'argomento di latitudine del perielio col seguente calcolo:

$$\log p = 0,0596472$$

$$C \log r' = 9,9325551$$

$$C \log r''' = 9,7890943$$

$$\frac{p}{r'} = 0,9822053$$

$$\log \frac{p}{r'} = \overline{9,9922023}$$

$$\frac{p}{r'''} = 0,7058973$$

$$\log \frac{p}{r'''} = 9,8487415$$

$$q''' - q' = 0,2763080$$

$$\log(q''' - q') = 9,4413935$$

$$q''' + q' = 0,3118974$$

$$C \log(q''' + q') = 0,5059882n$$

$$\frac{u''' - u'}{2} = 8^\circ 19' 9'',83$$

$$\log \cot\left(\frac{u''' - u'}{2}\right) = 0,8349635$$

$$\frac{1}{2}u''' + \frac{1}{2}u' - \sigma = 99^\circ 22' 22,82 \quad \log \tan\left(\frac{1}{2}u''' + \frac{1}{2}u' - \sigma\right) = 0,7823452n$$

$$\frac{1}{2}u''' + \frac{1}{2}u' = 209^\circ 49' 9,32$$

$$\sigma = 110^\circ 26' 46,50$$

$$\Omega = 53^\circ 45' 39'',19$$

$$\pi = 164^\circ 12' 25,69$$

E quindi avremo la longitudine del perielio  $\pi$ , facendo

$$\sigma = 110^\circ 26' 46'',50$$

$$\Omega = 53^\circ 45' 39'',19$$

L'eccentricità e si ottiene col seguente processo:

$$\log(q''' - q') = 9,4413935$$

$$C \log \sin(u''' - u') \equiv 0.8395579$$

$$C \log \sin(\frac{1}{2}u''' + \frac{1}{2}u' - \pi) = 0.0058373$$

$$C \log 2 = 9,6989700$$

$$e \approx 0,6677400 \quad \log e \approx 0,9857587$$

Trovato  $e$ , si cerca la distanza perielia  $q$  nel modo che s' segue:

$$\log p = 0,0596572$$

$$1 + e = 1,9677400 \quad C \log(1 + e) = 9,7060323$$

$$\log q = 9,7656795$$

Ho finalmente determinato il tempo del passaggio al periolio coll' enunciato metodo 'del signor Gauss, usando dell'anomalia della prima osservazione, ed ho ritrovato

$$\theta = 71, 54957.$$

74.

Tutti i ritrovati elementi ridotti in una tavola commisstrano la seguente:

## Tempo del passaggio al periolio. . 71, 54957

**Logaritmo della distanza perielia . 9,7656795**

Longitudine del periolio . . . . .  $164^{\circ} 12' 25''$ ,69

Longitudine del nodo ascendente: 53 45 39,19

Quantunque i valori di  $\gamma'$ ,  $\gamma''$ , ecc. che abbiamo usati non fossero ancora totalmente esatti, tuttavia questi elementi godono di quell'approssimazione che puossi desiderare in simili ricerche. Tralasceremo perciò di proseguire il presente calcolo, giacchè quanto abbiam fatto basta a dare un'idea del modo con cui vanno eseguite queste correzioni, ed il di più sarebbe superfluo, non trattandosi qui di determinare l'orbita in questione. D'altronde per ricadere esattamente negli elementi di Klinkenberg converrebbe fare il calcolo a 9 o 10 cifre decimali, perchè come si è fatto osservare al numero 71, i piccoli errori sulla settima cifra decimale delle prime quantità possono produrre degli errori sulla quinta nel valore degli elementi.

## 75.

Terminerò quest'analisi sul problema della determinazione di una nuova orbita, indicando un mezzo che può esser utile per istituire la ricerca di un'orbita interessante su di un gran numero d'osservazioni, al fine d'eludere in gran parte l'effetto che hanno gli errori delle medesime. Questo mezzo potrà anche giovare nel caso che il corpo celeste in tutto il tempo dell'apparizione siasi conservato ad una distanza pressochè eguale dalla terra, nel qual caso le equazioni (134) che nascono dal paragone del doppio valore di due qualunque delle enunciate distanze riescono quasi identiche, e gli errori delle osservazioni acquistano molta influenza.

Tutti i migliori metodi finora proposti per la determinazione d'un'orbita conducono alla risoluzione di un'equazione, la quale consta fra i dati di un certo numero di osservazioni ed un'incognita. Se si cambiano le osservazioni, un'altra incognita subentra al luogo della prima, e

la determinazione del valore di questa dipende parimente dai dati d'uno stesso numero d'osservazioni, in modo che non si può far concorrere a dirittura molte osservazioni alla ricerca della nuova orbita. A questa difficoltà non sono soggette le nostre equazioni, le quali hanno per incognite delle quantità che rimangono costanti cangiando le osservazioni. Si dividano perciò le osservazioni, che vogliansi impiegare, a tre a tre in tanti gruppi, e con ciascuno di questi gruppi formisi un'equazione simile a quella segnata (13). Fatto al solito

$$\frac{c''}{C' - c'} = M \quad \frac{c''}{C' - c'} = N$$

siano

$$hN - kM + 1 = 0$$

$$h^{(1)}N - k^{(1)}M + 1 = 0$$

$$(46) \quad h^{(2)}N - k^{(2)}M + 1 = 0$$

$$h^{(3)}N - k^{(3)}M + 1 = 0$$

tutte le equazioni risultanti da questi gruppi d'osservazioni.

Dal concorso di tutte queste equazioni, le quali contengono le sole due incognite  $M$  ed  $N$ , potremo ricavare dei valori di queste due incognite probabilmente assai vicini al vero, ed è noto che a quest'oggetto il miglior metodo è quello de' minori quadrati. Facendo perciò uso di questo metodo, e supponendo

$$\int k^{(n)} = k + k^{(1)} + k^{(2)} \dots \dots \dots k^{(n)}$$

$$\int h^{(n)} = h + h^{(1)} + h^{(2)} \dots \dots \dots h^{(n)}$$

$$\int k^{(n)2} = k^2 + k^{(1)2} + k^{(2)2} \dots \dots \dots k^{(n)2}$$

$$\int k^{(n)}h^{(n)} = kh + k^{(1)}h^{(1)} + k^{(2)}h^{(2)} \dots \dots \dots k^{(n)}h^{(n)}$$

$$\int h^{(n)2} = h^2 + h^{(1)2} + h^{(2)2} \dots \dots \dots h^{(n)2}$$

si avranno per determinare  $M$  ed  $N$  le due equazioni seguenti:

$$N \int k^{(n)} h^{(n)} - M \int k^{(n)2} + \int k^{(n)} = 0$$

$$N \int h^{(n)2} - M \int k^{(n)} h^{(n)} + \int h^{(n)} = 0$$

dalle quali si ricaverà

$$M = \frac{\int k^{(n)} \int h^{(n)2} - \int h^{(n)} \int k^{(n)} h^{(n)}}{\int k^{(n)2} \int h^{(n)2} - (\int k^{(n)} h^{(n)})^2}$$

$$N = \frac{\int h^{(n)} \int k^{(n)2} - \int k^{(n)} \int k^{(n)} h^{(n)}}{\int k^{(n)2} \int h^{(n)2} - (\int k^{(n)} h^{(n)})^2}$$

espressioni che daranno per  $M$  ed  $N$  i valori più probabili, e che saranno tanto più prossimi al vero quanto maggiore sarà il numero delle osservazioni impiegate.

Si domandino  $\varepsilon$ ,  $\varepsilon^{(1)}$ ,  $\varepsilon^{(2)}$ ..... $\varepsilon^{(n)}$  gli errori che risultano sostituendo questi valori di  $M$  ed  $N$  in tutte le equazioni (46), giusta il numero 21 del libro II della *Théorie analytique des probabilités* del signor Laplace, l'errore medio a temersi in più od in meno sul valore della quantità  $M$  sarà

$$\pm \frac{\sqrt{\left\{ \frac{\int \varepsilon^{(n)2}}{2(n+1)\pi} \right\}} \sqrt{\left\{ \int h^{(n)2} \right\}}}{\sqrt{\left\{ \int k^{(n)2} \int h^{(n)2} - (\int k^{(n)} h^{(n)})^2 \right\}}}$$

e su quello di  $N$

$$\pm \frac{\sqrt{\left\{ \frac{\int \varepsilon^{(n)2}}{2(n+1)\pi} \right\}} \sqrt{\left\{ \int k^{(n)2} \right\}}}{\sqrt{\left\{ \int k^{(n)2} \int h^{(n)2} - (\int k^{(n)} h^{(n)})^2 \right\}}}$$

le quali formole somministreranno un criterio per giudicare dell'approssimazione che abbiamo conseguito.

Determinati così dei valori molto vicini al vero delle quantità  $M$  ed  $N$ , che sono le più interessanti e difficili a determinarsi con precisione, si potrà dalle medesime con poca difficoltà e colle formole esposte ricavare dei buoni elementi. Questo nuovo pregio, di cui va adorno l'espoto metodo, può meritare qualche considerazione, perchè offre un modo d' ottenere direttamente il risultamento medio più probabile, facendo concorrere in una volta un numero indefinito d' osservazioni alla determinazione degli elementi di un' orbita.

## OCCULTAZIONI DI STELLE NELLO SCONTRO DELLA LUNA

OSSERVATE A MILANO

DA ANGELO CESARIS.

	<i>Tempo medio.</i>
1815 29 Agosto.... $\mu$ dei Gemini.....	Immersione 13 <sup>h</sup> 8' 20"
17 Novembre. $\circ$ del Toro.....	Immersione 8 0 22 Emersione.. 8 46 15
18 Novembre. $\circ$ del Toro.....	Immersione 8 48 13,6 Emersione.. 9 ,8 36,6
1816 19 Febbrajo.. $\beta$ dello Scorpione ..	Immersione 15 27 14 Emersione . 16 31 23
	Stelleta vicina..... Immersione 15 26 51 Emersione . 16 31 43
3 Giugno ... $\mu$ della Vergine.....	Immersione 9 1 9,8 Emersione . 10 3 30,2
10 Settembre. $\xi$ dell'Ariete.....	Immersione 10 44 35,6 Emersione . 11 54 8,3
4 Ottobre... 30 dei Pesci.....	Immersione 10 26 1
12 Novembre. $\eta$ del Leone.....	Immersione 14 26 35 Emersione . 15 37 19
18 Novembre. Eclisse del Sole....	Principio .. 20 43 37,5 Fine..... 23 8 49,6
1817 2 Febbrajo.. $\eta$ del Leone.....	Immersione 10 40 59,5 Emersione . 11 22 10,9
8 Febbrajo.. $\times$ della Libra.....	Immersione 16 40 34,6 Emersione . 17 50 33,5
29 Marzo.... $\eta$ del Leone.....	Immersione 7 31 27,6 Emersione . 8 41 50,0
22 Agosto.... A del Sagittario....	Immersione 9 16 41,5 Emersione . 10 30 2,6

Soggiungo nella seguente pagina alcune simili osservazioni fatte a Madrid al Deposito Reale Idrografico dal signor Don Filippo Bavia, Direttore, il quale me le ha comunicate insieme all'interessante Relazione da esso pubblicata del recente viaggio intrapreso per riconoscere lo Stretto di Fuca, ed insieme a due volumi di Memorie ed Osservazioni astronomiche, prezioso deposito che dimostra quanto anche nella Spagna siano in pregio l'astronomia e la nautica.

## OCCULTAZIONI DI STELLE OSSERVATE A MADRID

AL PALAZZO DELLA DIREZIONE IDROGRAFICA

DAL SIGNOR DON FILIPPO BAVIA, DIRETTORE.

*Tempo medio.*

1804 17 Luglio....	$\tau$ dello Scorpione ..	Immersione 9 <sup>b</sup> 5' 49",3
1805 9 Giugno...	$\sigma$ dello Scorpione ..	Immersione 8 6 16,3
17 Giugno...	$\alpha$ dell'Aquario.....	Immersione 18 38 27,5 Emersione . 13 43 57,0
19 Agosto ...	18 $\alpha$ del Toro .....	Emersione . 18 49 7,0
7 Settembre.	$\alpha$ dell'Aquario.....	Immersione 7 26 41,2 Emersione . 8 36 9
1806 29 Ottobre...	1 $\alpha$ del Toro .....	Immersione 8 13 4 Emersione . 8 43 49
25 Novembre	A del Toro .....	Immersione 7 59 45,4 Emersione.. 9 10 50,0
23 Dicembre.	$\tau$ del Toro.....	Immersione 10 3 10,7
1807 16 Aprile....	2 $\alpha$ del Cancro.....	Immersione 13 1 21,3
23 Luglio....	2 $\alpha$ dei Pesci.....	Immersione 13 33 4 Emersione . 14 32 45
10 Agosto....	1 $\xi$ del Sagittario ...	Immersione 10 34 54,3
25 Settembre.	2 $\alpha$ dei Gemini.....	Immersione 14 32 25,3 Emersione.. 15 46 31,1
14 Dicembre.	1 $\zeta$ del Toro.....	Immersione 12 4 1,8 Emersione . 13 29 9,6
1808 14 Gennajo..	2 $\alpha$ del Cancro .....	Immersione 9 39 53,6 Emersione . 10 49 33,7
4 Giugno...	$\iota$ dello Scorpione ..	Immersione 7 49 12,6
7 Giugno...	2 $\alpha$ dell'Ofiuco.....	Immersione 8 55 0,3 Emersione.. 9 43 48,3
1816 12 Novembre	2 $\eta$ del Leone.....	Immersione 18 23 21,0
1817 23 Febbrajo..	2 $\alpha$ del Toro .....	Immersione 9 57 12,2 168 del Toro.....
28 Maggio...	46 i del Leone.....	Immersione 9 58 59,2 Immersione 11 53 6,8

A BILBAO DAL SIGNOR DON GIOACHIMO FRERER.

1817 8 Febbrajo..	2 $\alpha$ della Libra.....	Immersione 15 36 10,7 Emersione.. 16 48 1,0
29 Marzo....	2 $\eta$ del Leone.....	Immersione 6 25 1,0 Emersione.. 7 38 10,0
22 Aprile....	39 dei Gemini .....	Immersione 7 38 17 Emersione.. 8 3 53.

*Osservazioni meteorologiche fatte alla Specola di Milano l'anno 1815  
DA G. ANGELO CESARIS.*

1815 GENNAIO.

M A T T I N A.					S E R A.				
Giorni.	Altezza del barometro.	Altezza del termometro	Direzione del vento.	Stato del cielo.	Altezza del barometro.	Altezza del termometro	Direzione del vento.	Stato del cielo.	
	poll. lin.	°			poll. lin.	°			
1	27 10,6	- 2,0	s o	Sereno , neb.	27 10,8	- 0,0	s o	Nebbia folta.	
2	28 0,0	- 1,5	E	Sereno, neb.	28 0,0	+ 0,5	E	Sereno.	
3	28 1,0	- 0,0	E	Nev. ser. nuv.	28 1,0	+ 1,4	E	Nuvolo.	
4	27 11,0	- 0,0	s	La notte neve.	27 10,0	+ 0,6	s	Neve. , nuv.	
5	27 10,0	+ 0,4	s o	Nuvolo.	27 9,3	+ 2,0	s	Nuvolo.	
6	27 7,9	- 0,0	s o	Nuvolo.	27 7,0	+ 2,6	E	Nuvolo.	
7	27 7,0	+ 1,5	N E	Piovoso.	27 6,5	+ 2,5	N E	Piov. nevoso.	
8	27 5,9	+ 1,0	E	Nuvolo.	27 5,2	+ 1,5	N E	Nuvolo, neve.	
9	27 6,5	- 0,0	E	Nuvolo rotto.	27 8,0	+ 2,0	s o	Sereno.	
10	27 10,0	- 4,4	N o	Sereno, neb.	27 7,8	- 1,0	o	Sereno, neb.	
11	27 9,8	- 5,0	o	Sereno.	27 8,0	- 1,0	o	Sereno.	
12	27 7,8	- 2,0	N	Ser. nuv. ser.	27 9,0	+ 3,5	N	Sereno.	
13	27 9,0	- 1,0	N	Sereno.	27 9,5	+ 1,7	o	Sereno.	
14	27 9,2	- 3,0	o	Sereno.	27 8,4	- 0,0	o	Sereno.	
15	27 9,2	- 1,5	E	Nuvolo.	27 10,8	- 0,0	E	Nuvolo, neve.	
16	27 11,0	- 2,0	N	Nuv. rotto, ser.	27 10,0	- 0,2	N O	Nuvolo.	
17	27 9,3	- 5,5	N	Sereno.	27 9,0	- 2,0	s o	Sereno.	
18	27 6,2	- 6,0	o	Sereno , neb.	27 6,0	- 1,8	s o	Nuvolo , ser.	
19	27 7,2	- 3,5	N E	Nuv. neb. ser.	27 6,4	- 1,0	E	Sereno , nuv.	
20	27 4,4	- 1,8	N O	Nuvolo, neve.	27 4,3	- 0,0	o	Nuvolo, neve.	
21	27 6,2	- 1,0	N O	Nuvolo, neve.	27 7,0	- 0,0	N O	Nuvolo.	
22	27 7,8	- 0,0	o	Ser. nuv. nev.	27 8,0	+ 0,4	o	Sereno.	
23	27 8,8	- 8,0	o	Sereno , neb.	27 8,8	- 3,5	o	Sereno.	
24	27 7,0	- 7,0	o	Nuv. neb. rott.	27 6,0	- 3,0	E	Nuv. neve gel.	
25	27 4,9	- 2,8	s o	Nuvolo, neve	27 4,5	- 0,0	s o	Nuvolo.	
26	27 4,2	- 1,5	o	Nuvolo rotto.	27 4,7	+ 1,5	N O	Nuvolo, neve.	
27	27 5,3	- 0,0	N	Neve, nuv.	27 5,3	+ 1,0	N E	Nuvolo.	
28	27 2,2	+ 1,0	s o	Neve , nuv.	27 1,8	+ 1,7	s o	Nuvolo.	
29	27 3,7	+ 0,2	s o	Nuv. rot. ser.	27 4,2	+ 3,0	E	Ser. neb. nuv.	
30	27 5,6	+ 1,6	E	Nuvolo, piov.	27 5,8	+ 3,0	o	Nu. neb. piov.	
31	27 6,0	+ 1,6	s	Nuvolo nebb.	27 6,0	+ 2,4	s	Nu. neb piov.	

Altez. mass. del bar. poll. 28 lin. 1,0      Alt. mass. del term. +3<sup>o</sup>,5  
 minima..... » 27 » 1,8      minima..... - 9,2  
 media..... » 27 » 7,64      media ..... - 0,5

Quant. di piog. ossia neve sciolta p. 31. 8,28.      Giorni sereni 10.

1815 FEBBRAJO.

M A T T I N A.					S E R A.				
Giorni.	Altezza del barometro.	Altezza del termometro	Direzione del vento.	Stato del cielo.	Altezza del barometro.	Altezza del termometro	Direzione del vento.	Stato del cielo.	
I 27	poll. lin. 6,0	+ 2,0	s	Nuv. neb. ser.	poll. lin. 5,7	+ 4,2	o	Neb.nu.s.neb.	
2 27	6,0	+ 2,0	o	Piog. neb. fol.	27 6,3	+ 4,0	s o	Nebbia folta.	
3 27	8,0	+ 0,2	o	Nebbia folta.	27 8,8	+ 2,2	o	Nebbia , ser.	
4 27	10,4	- 0,6	n o	Sereno , neb.	27 10,0	+ 3,0	s o	Nuvolo , piog.	
5 27	9,2	+ 1,5	s o	Nuvolo, neb.	27 10,0	+ 3,5	o	Nuvolo , neb.	
6 27	10,4	- 0,6	e	Nebbia folta.	27 10,0	+ 2,0	e	Nebbia folta.	
7 27	8,7	- 1,0	o	Nebbia folta.	27 8,8	+ 1,8	o	Nebb. foltiss.	
8 27	9,8	- 1,2	o	Nebbia folta.	27 10,0	+ 1,3	o	Nebbia folta.	
9 27	10,0	- 1,0	o	Nebbia.	27 9,8	+ 1,5	o	Sereno, neb.	
10 27	9,0	+ 0,0	o	Nuvolo, neb.	27 8,7	+ 3,5	o	Nu.rot.se.nu.	
11 27	9,0	+ 1,7	s o	Nuvolo.	27 9,3	+ 3,5	s e e	Nuv. pio. neb.	
12 27	9,5	+ 2,3	s	Nuvolo piov.	27 10,0	+ 4,0	s	Nuvolo.	
13 27	10,7	+ 2,3	o	Nuvolo.	27 10,0	+ 3,5	o	Nuvolo.	
14 27	9,2	+ 2,0	n n e	Nuvolo piov.	27 9,0	+ 2,7	e	Nuvolo , piog.	
15 27	9,0	+ 2,4	n o o	Nuvolo.	27 10,0	+ 4,8	o	Nuvolo , ser.	
16 27	11,8	- 0,0	o	Sereno; neb.	27 11,2	+ 5,0	o	Sereno.	
17 27	10,7	+ 1,7	o	Nebbia.	27 9,0	+ 4,0	n	Nebbia, piov.	
18 27	9,2	+ 3,0	o	Nuv. neb. ser.	27 11,0	+ 5,5	s	Sereno.	
19 28	1,2	+ 1,8	s	Sereno.	27 2,0	+ 6,0	s	Sereno.	
20 28	2,0	- 0,0	o	Sereno , neb.	28 1,0	+ 5,5	o	Sereno.	
21 27	10,0	+ 1,8	n o	Sereno.	27 8,5	+ 9,2	o	Sereno.	
22 28	0,0	+ 3,0	e	Sereno.	28 0,0	+ 8,7	o	Sereno.	
23 28	0,5	+ 3,0	e	Nebbia folta.	28 0,7	+ 9,0	e	Sereno.	
24 28	0,8	+ 3,8	e	Sereno.	28 1,0	+ 9,0	s	Sereno.	
25 28	2,0	+ 3,8	e	Ser.nebb.ser.	28 2,5	+ 9,3	s	Sereno.	
26 28	3,2	+ 4,0	e	Sereno.	28 2,8	+ 9,5	s o	Sereno.	
27 28	2,8	+ 4,5	o	Sereno.	28 2,8	+ 9,5	o	Sereno.	
28 28	3,0	+ 4,0	n e	Sereno.	28 3,0	....	....	.....	

Altezza mass. del bar. poll 28 lin. 3,2  
minima ..... » 27 » 5,7  
media ..... » 27 » 10,71  
Quantià di pioggia poll. 1 lin. 3,37

Altezza mass. del term. + 9,5  
minima ..... - 1,2  
media ..... + 3,3  
Giorni sereni 12.

1815 MARZO.

Giorni.	MATTINA.				SERÀ.			
	Altezza del barometro.	Altezza del termometro	Direzione del vento.	Stato del cielo.	Altezza del barometro.	Altezza del termometro	Direzione del vento.	Stato del cielo.
1 28	poll. lis.	+ °	E	Sereno, nebb.	28	2,8 + 9,0	s E	Sereno.
2 28	3,0 + 4,7	N N E	O	Sereno.	28	2,0 + 8,8	O	Sereno.
3 28	2,8 + 3,8	O	O	Sereno.	28	1,8 + 9,0	O	Sereno.
4 28	2,0 + 3,6	O	O	Sereno.	28	2,0 + 9,0	s O O	Sereno.
5 28	2,4 + 4,0	N O	O	Sereno.	28	2,0 + 9,6	s O	Sereno.
6 28	2,0 + 3,7	N O	O	Sereno, nebb.	28	1,8 + 10,0	O	Sereno, nebb.
7 28	2,3 + 4,0	N O	O	Sereno.	28	1,5 + 10,4	O	Ser. nebb. ser.
8 28	1,9 + 4,7	O	O	Sereno.	28	0,0 + 10,8	E	Nuv. ser. nuv.
9 27	1,5 + 4,8	O	E, s	Nuvolo, piogg.	27	6,8 + 8,0	O	Nuv. rotto, ser.
10 27	8,0 + 7,0	E, s	N E	Neb. ser. nuv.	27	3,8 + 8,3	O	Neb. se. nu. se.
11 27	5,8 + 3,6	N O	O	Sereno.	27	5,0 + 6,5	s O	Nuvolo, tuoni.
12 27	4,3 + 3,0	N O	O	Sereno, nebb.	27	8,2 + 8,5	O	Sereno, nebb.
13 27	8,2 + 3,5	N N O*	O	Neb. ser. nuv.	27	5,0 + 8,0	O	Nebbia, ser.
14 27	6,2 + 4,0	O	O	Sereno.	27	6,7 + 10,5	N N O	Sereno.
15 27	5,8 + 3,0	O	O	Sereno.	27	11,2 + 10,0	N N O	Sereno.
16 28	10,0 + 4,5	N O**	O	Sereno.	27	10,8 + 10,6	O	Nuvolo, ser.
17 27	0,0 + 3,6	O	O	Nuvolo, ser.	27	8,2 + 11,5	s O	Ser. nuv. ser.
18 27	10,0 + 5,2	N O	O	Sereno.	27	7,6 + 14,5	N N O*	Sereno, nebb.
19 27	8,4 + 6,2	E	O	Sereno.	27	7,0 + 16,0	N O	Sereno.
20 27	8,0 + 7,0	O	O	Nebb. nuv. ser.	27	10,0 + 12,3	E	Sereno, nuv.
21 27	11,0 + 7,0	E	O	Nuvolo.	27	10,4 + 10,8	E	Sereno.
22 28	0,0 + 6,8	E	O	Nuvolo.	28	0,0 + 8,8	E	Nuvolo.
23 27	11,8 + 6,5	E	O	Nuvolo.	27	9,0 + 8,8	E	Nuvolo.
24 27	11,0 + 5,0	O	O	Sereno.	27	8,8 + 13,2	O	Sereno.
25 27	8,3 + 5,8	s O	O	Se. neb. nu. se.	27	8,2 + 13,0	s O	Ser. nebb. nuv.
26 27	8,8 + 10,0	O	O	Nuvolo, ser.	27	9,3 + 13,4	O	Sereno.
27 28	0,0 + 5,8	E	O	Sereno.	27	11,8 + 11,8	O	Ser. nuv. ser.
28 28	0,0 + 6,6	O	O	Nebb. nuv. ser.	28	0,0 + 13,0	s O	Ser. nebb. ser.
29 28	0,0 + 7,8	O	O	Sereno.	28	0,0 + 14,5	s O	Sereno.
30 28	1,0 + 8,5	s O	O	Sereno.	28	0,0 + 15,0	s O	Sereno.
31 28	0,4 + 9,8	s	O	Sereno.	27	11,8 + 17,0	O	Sereno.

Altezza mass. del bar. poll. 28 lin. 3,0 Altezza mass. del term. + 17,0

minima..... » 27 » 3,8 minima..... + 1,5

media..... » 27 » 10,44 media..... + 8,3

Quantità di pioggia poll. o lin. 0.

Giorni sereni 21,5.

1815 APRILE.

M A T T I N A.					S E R A.				
Giorni.	Altezza del barometro.	Altezza del termometro	Direzione del vento.	Stato del cielo.	Altezza del barometro.	Altezza del termometro	Direzione del vento.	Stato del cielo.	
	poll. lin	°			poll. lin.	°			
1	27 11,5	+11,0	N E	Sereno.	27 11,0	+17,2	E	Ser. neb. ser.	
2	27 11,0	+11,5	O	Sereno, neb.	27 11,0	+17,9	O	Sereno, neb.	
3	27 11,0	+10,8	E	Sereno, neb.	27 10,1	+17,2	S O	Sereno, neb.	
4	27 10,5	+11,0	O	Nebbia, ser.	27 10,3	+17,4	S O	Nebbia, ser.	
5	27 11,6	+11,6	S	Nebbia, ser.	27 11,8	+17,0	S O	Nebbia, ser.	
6	28 0,0	+10,0	E	Ser.nebb.ser.	28 0,0	+17,0	S O	Sereno.	
7	28 0,0	+11,0	S O	Sereno.	27 10,9	+17,6	S O	Se.neb.se.tuo	
8	27 10,7	+11,4	S O	Sereno, neb.	27 9,8	+16,5	S O	Nuvolo, ser.	
9	27 10,7	+12,0	S	Nu. rotto, ser.	27 10,0	+16,0	S E	Ser. nuv. tem.	
10	27 10,8	+10,5	E	Nuvolo, piog.	28 0,0	+11,5	N N E	Nu. piog. nu.	
11	28 1,7	+ 8,5	E*	Nuv. rot. ser.	28 1,7	+12,2	E	Nuv. rot. nuv.	
12	28 1,0	+ 7,0	N E	Sereno.	27 11,8	+12,4	S E	Ser. neb. ser.	
13	28 0,0	+ 9,0	E	Nuv. poc. pio.	27 11,0	+10,3	E	Nu.neb po.pi.	
14	27 9,0	+ 8,0	N	Nuvolo, piog.	27 7,3	+10,0	E	Nuvolo, piov.	
15	27 6,0	+ 9,0	S	Nuvolo, piog.	27 5,4	+11,0	N N O	Nuv. rot. ser.	
16	27 7,0	+ 6,4	O	Ser. neb. ser.	27 7,8	+12,0	E	Sereno, nuv.	
17	27 7,8	+ 6,5	E*	Nuvolo.	27 7,5	+11,2	E	Nuvolo.	
18	27 10,2	+ 6,0	E	Nuvolo piov.	27 10,8	+12,6	E	Nuvolo rotto.	
19	27 10,4	+ 6,5	E	Nuvolo, ser.	27 8,8	+11,0	S O	Ser. neb. nuv.	
20	27 8,7	+ 7,8	E	Nuvolo rotto.	27 6,9	+11,0	E	Nuvolo, piog.	
21	27 6,0	+ 6,5	N E	Nuvolo, piov.	27 5,0	+ 9,5	E	Nuvolo.	
22	27 5,2	+ 7,0	E	Nuvolo, piog.	27 4,2	+ 9,0	E	Nuvolo, piog.	
23	27 3,0	+ 7,0	E**	Nuvolo, piog.	27 2,3	+10,5	S O	Pio.grase.nu.	
24	27 3,0	+ 4,0	S O O	Sereno, nuv.	27 3,0	+11,7	S O	Sereno.	
25	27 4,0	+ 6,0	E	Neb. ser. nuv.	27 5,0	+10,5	S O	Nu. piov. nu.	
26	27 6,3	+ 7,0	E, S O	Nuvolo, ser.	27 7,2	+11,0	S O	Se.nuv.tem.pio.	
27	27 8,0	+ 6,5	S O	Sereno.	27 8,0	+12,8	O	Sereno.	
28	27 8,2	+ 7,0	O	Sereno.	27 6,3	+14,0	S O	Sereno.	
29	27 6,0	+ 9,0	S O	Neb. ser. neb.	27 5,7	+12,7	O	Sereno.	
30	27 7,0	+ 7,8	E	Sereno, nuv.	27 7,0	+14,6	S O	Nuvolo, ser.	

Altezza mass. del bar. poll. 28 lin. 1,7  
 minima ..... » 27 » 2,0  
 media ..... » 27 » 8,68  
 Quantità di pioggia poll. 2 lin. 9,62.

Altezza mass. del term. +17,9  
 minima ..... + 4,0  
 media ..... +10,8  
 Giorni sereni 12.

1815 MAGGIO.

MATTINA.						SERÀ.					
Giorni.	Altezza del barometro.	Altezza del termometro	Direzione del vento.	Stato del cielo.		Altezza del barometro.	Altezza del termometro	Direzione del vento.	Stato del cielo.		
1 27	9,2	+ 8,2	S O	Sereno		27	8,8	+ 15,0	O	Sereno.	
2 27	8,5	+ 10,5	E	Ser. nebb. ser.		27	8,2	+ 16,0	N N O	Nuvolo.	
3 27	7,6	+ 11,0	E**	Pioggia.		27	7,7	+ 11,0	N	Nuvolo.	
4 27	7,8	+ 9,0	N E E	Piog. nuv. ser.		27	7,0	+ 14,0	E	Ser. nuv. piog.	
5 27	6,5	+ 8,0	O	Nuv. ser. nuv.		27	6,2	+ 13,0	S E	Nuvolo.	
6 27	6,7	+ 9,3	N O	Sereno.		27	8,0	+ 15,2	S E	Nuvolo.	
7 27	9,0	+ 11,7	N O	Ser. nuv. ser.		27	9,0	+ 16,5	O	Sereno.	
8 27	9,5	+ 11,0	N E	Sereno.		27	8,6	+ 17,2	O	Ser. nuvolo.	
9 27	8,2	+ 12,5	N O	Ser. nuv. po.pi.		27	8,8	+ 16,2	O	Sereno.	
10 27	9,6	+ 11,6	O	Sereno.		27	9,6	+ 18,3	E	Ser. nuv. ser.	
11 27	10,0	+ 13,0	E	Ser. nuv. ser.		27	10,0	+ 18,7	E*	Sereno.	
12 27	10,2	+ 13,2	E	Ser. nuv. ser.		27	9,5	+ 19,0	E	Sereno.	
13 27	9,5	+ 14,0	N E	Sereno.		27	8,8	+ 20,0	S O	Nuv. neb. ser.	
14 27	8,8	+ 14,0	S O	Sereno.		27	8,2	+ 19,0	S E, O	Se. temp. piog.	
15 27	9,3	+ 13,8	N	Nuvolo , ser.		27	9,4	+ 18,5	N O	Nuvolo , ser.	
16 27	10,3	+ 13,0	E	Sereno.		27	10,6	+ 18,0	E	Ser. nuv. tuo.	
17 27	11,0	+ 13,0	O	Sereno.		27	11,8	+ 19,0	O	Sereno.	
18 27	11,9	+ 14,0	O	Sereno.		27	10,7	+ 20,6	O	Sereno.	
19 27	9,5	+ 15,5	S O	Nebbia, ser.		27	7,5	+ 22,6	N O	Sereno.	
20 27	7,0	+ 16,0	O	Sereno.		27	6,3	+ 22,0	E	Sereno.	
21 27	7,0	+ 16,5	E	Nuvolo, sereno		27	6,5	+ 20,2	O	Sereno.	
22 27	6,0	+ 16,0	E	Nuv. rotto, pio.		27	7,0	+ 17,3	N E	Nu. rot. tem. pi.	
23 27	8,0	+ 14,0	E	Piovoso.		27	8,0	+ 14,0	E	Nuvolo, piov.	
24 27	8,0	+ 13,0	S O, N E	Pioggia.		27	8,0	+ 17,2	E	Nuv. ser. nuv.	
25 27	9,0	+ 14,0	N	Pioggia, ser.		27	10,0	+ 18,0	E	Sereno.	
26 27	11,0	+ 14,2	N E	Sereno		27	10,5	+ 18,5	E	Sereno.	
27 27	10,3	+ 14,0	E	Sereno.		27	9,6	+ 19,6	O	Sereno.	
28 27	9,0	+ 15,3	E	Sereno.		27	8,8	+ 19,5	E	Sereno.	
29 27	9,7	+ 14,0	E	Sereno, nuv.		27	9,2	+ 19,0	E	Sereno, nuv.	
30 27	9,5	+ 16,0	E	Nu. rot. po.pio.		27	8,2	+ 17,8	S	Nuv. piog. tem.	
31 27	7,0	+ 12,6	N O	Pioggia.		27	7,0	+ 16,0	N O	Nuv. rot. po. pi.	

Altezza mass. del bar. poll. 27 lin. 11,9      Altezza mass. del term. +22,6  
 minima..... » 27 » 6,0      minima..... + 8,0  
 media..... » 27 » 8,73      media..... +15,3  
 Quantità di pioggia poll. 4 lin. 2,12.      Giorni sereni 19.

1815 GIUGNO.

Giorni.	MATTINA.				SERÀ.			
	Altezza del barometro.	Altezza del termometro	Direzione del vento.	Stato del cielo.	Altezza del barometro.	Altezza del termometro	Direzione del vento.	Stato del cielo
1	poll. lin. 27 7,0	+ 13,6	E	Nuv. rot. piog.	poll. lin. 27 7,0	+ 15,5	E	Nuv. piov. rot.
2	27 8,0	+ 14,0	O	Neb. fulta, ser.	27 9,2	+ 18,0	S O	Te.p.o.pi.nu.ro.
3	27 10,6	+ 14,0	E	Nuv. ser. nuv.	27 10,6	+ 18,0	SSE	Sereno.
4	27 10,6	+ 13,5	O	Sereno.	27 9,5	+ 19,5	S O	Sereno.
5	27 9,0	+ 15,5	E	Sereno , nuv.	27 8,4	+ 19,7	E	Nu.te. piog.nu.
6	27 7,5	+ 14,0	E	Pioggia.	27 6,7	+ 14,0	E	Pioggia.
7	27 8,0	+ 14,0	S O	Piovoso , nuv.	27 7,5	+ 18,0	S O	Nuvolo rotto.
8	27 7,5	+ 14,0	S E	Piov. nuv. pio.	27 7,8	+ 16,0	E	Nuv.rot.se. nu.
9	27 7,8	+ 13,7	N E	Nuvolo, piogg.	27 7,0	+ 18,0	N NO	Nuv.ser tem.pi
10	27 7,0	+ 13,5	N O	Ser. neb. piog.	27 7,0	+ 16,5	O	Nuvolo rotto
11	27 8,5	+ 15,5	N E	Nuvolo rotto.	27 9,0	+ 19,5	E	Ser. nuv. ser.
12	27 9,0	+ 15,6	O	Sereno.	27 8,0	+ 19,6	S O	Sereno , nuv.
13	27 7,0	+ 15,8	O	Nuv. ser. nuv.	27 6,5	+ 17,0	S O	Temp.piog.ser.
14	27 6,2	+ 14,0	O	Sereno.	27 7,2	+ 18,5	S O	Ser. nuv.ser.
15	27 8,7	+ 14,0	O	Sereno.	27 9,2	+ 19,5	O	Sereno , nuv.
16	27 11,0	+ 15,5	O	Nuvolo , ser.	27 10,2	+ 20,0	S	Nuv. tu. poc.pi.
17	27 10,0	+ 16,0	O	Piog. ser. nuv.	27 8,0	+ 20,0	S O	Te.piog.se. nu.
18	27 7,9	+ 14,5	O	Sereno.	27 8,0	+ 19,7	O	Sereno.
19	27 8,8	+ 14,7	N O	Sereno.	27 8,8	+ 20,4	S O	Nuv. rotto, ser
20	27 9,0	+ 16,0	O	Sereno, nebb.	27 7,4	+ 20,4	E	Nuv. rot.temp.
21	27 7,1	+ 14,5	O	Nuvolo , ser.	27 7,0	+ 20,0	O	Sereno, nuv.
22	27 7,0	+ 14,5	O	Sereno, nuv.	27 8,0	+ 19,6	O	Sereno , nuv.
23	27 8,3	+ 14,0	N	Sereno, nebb.	27 8,0	+ 21,0	O	Nuvolo , ser.
24	27 8,7	+ 14,6	N E	Ser. neb. ser.	27 8,8	+ 20,7	N O	Sereno.
25	27 9,0	+ 15,0	N E	Sereno.	27 7,4	+ 20,0	O	Sereno.
26	27 7,0	+ 14,5	O,N**	Ser. nuv. ser.	27 8,8	+ 19,8	E **	Nuvolo , ser.
27	27 9,0	+ 11,0	N E	Sereno.	27 9,0	+ 18,0	E	Te.poc.pi.n.se.
28	27 9,2	+ 12,0	N	Sereno.	27 9,5	+ 18,0	S	Sereno.
29	27 9,4	+ 13,5	S O	Nuv. neb. ser.	27 8,8	+ 19,2	S O	Sereno.
30	27 8,3	+ 14,0	N E	Sereno.	27 6,7	+ 22,5	O	Sereno , nuv.

Altezza mass. del bar. poll. 27 lin. 11,0  
 minima ..... > 27 " 6,5  
 media ..... > 27 " 8,48

Quantità di pioggia poll. 3 lin. 1,51.

Altezza mass. del term. + 22,5  
 minima ..... + 11,0  
 media ..... + 16,6

Giorni sereni 16.

## 1815 LUGLIO.

MATTINA.					SERÀ.				
Giorni.	Altezza del barometro.	Altezza del termometro	Direzione del vento.	Stato del cielo.	Altezza del barometro.	Altezza del termometro	Direzione del vento.	Stato del cielo.	
1 27	8,0	+15,5	E	Nuv.ser.neb.	27	8,0	+19,3	S E	Sereno.
2 27	7,8	+15,4	O	Sereno.	27	7,6	+22,0	E	Séreno.
3 27	8,0	+16,4	S E	Sereno. nuv.	27	8,0	+21,6	S O	Nuv. ser.nuv.
4 27	9,0	+16,5	E	Poca piog. nu.	27	9,0	+17,0	N E	Tem. pi. nuv.
5 27	10,0	+15,0	N E	Nuvolo , ser.	27	9,6	+21,0	S O	Se. nu.tem.pi.
6 27	10,0	+16,0	E	Sereno , nuv.	27	9,0	+20,0	E	Ser. tem.piog.
7 27	8,2	+16,0	E	Nuvolo piov.	27	6,8	+14,6	O	Tem. nuv. se.
8 27	6,6	+12,5	N	Ser. nuv. tem.	27	8,6	+15,0	N O	Sereno, nuv.
9 27	10,0	+10,3	E	Sereno.	27	10,0	+17,0	S O	Sereno.
10 27	10,4	+12,5	N E	Sereno.	27	10,0	+18,0	O	Sereno.
11 27	9,6	+14,5	O	Sereno.	27	9,2	+21,8	N	Sereno.
12 27	10,0	+16,0	E	Sereno.	27	10,0	+21,0	S O	Sereno.
13 27	10,7	+15,5	S O	Ser. nuv. ser.	27	11,0	+20,5	S S O	Sereno.
14 27	11,5	+16,5	S S O	Sereno.	27	11,6	+21,7	O	Sereno.
15 28	0,0	+16,5	N E	Sereno.	27	11,5	+22,5	O	Sereno.
16 27	11,0	+17,5	O	Sereno.	27	9,3	+23,0	S O	Sereno.
17 27	10,0	+17,5	E	Sereno.	27	9,5	+21,7	S	Sereno.
18 27	10,2	+17,5	E	Nuvolo , ser.	27	10,0	+21,7	E	Sereno.
19 27	10,0	+17,5	E	Nuv. ser. neb.	27	9,0	+22,5	S E	Ser. nuv. pio.
20 27	9,0	+17,0	E	Nu. po. pio.se.	27	8,0	+22,3	E	Nuvolo rotto.
21 27	9,0	+18,0	S O	Nuv. neb. ser.	27	9,6	+22,0	S ***	Nu. tem.gran.
22 27	10,0	+17,0	O	Sereno.	27	9,0	+21,5	E	Sereno.
23 27	9,3	+18,0	O	Nuv.rotto, se.	27	8,8	+22,0	O	Ser. nuv. pio.
24 27	9,0	+17,0	O	Sereno.	27	8,0	+22,4	O	Ser. tem. pio.
25 27	9,0	+16,0	E	Nuvolo rotto.	27	9,2	+19,8	S O	Sereno.
26 27	10,0	+14,0	O	Sereno.	27	8,8	+19,8	S O	Sereno.
27 27	7,8	+15,0	N E	Nu. po. pio.se.	27	7,6	+16,0	N O, S E	Tem.pi.nu.ro.
28 27	7,6	+13,8	E	Pioggia.	27	8,3	+13,8	E	Nuvolo rotto.
29 27	8,4	+11,8	O	Nebbia , ser.	27	8,0	+18,7	S O	Sereno.
30 27	8,4	+15,0	E	Sereno , nuv.	27	8,3	+19,5	E	Temp. piog.
31 27	8,6	+13,8	N E	Pioggia, nuv.	27	9,0	+16,5	S	Nu. tem. piog.

Altezza mass. del bar. poll. 28 lin. 0,0 Altezza mass. del term. +23,0  
minima ..... » 27 » 6,6 minima ..... +10,3  
media ..... » 27 » 9,00 media ..... +17,7  
Quantità di pioggia poll. 8 lin. 8,36. Giorni sereni 19.

1815 AGOSTO.

MATTINA.						SERÀ.					
Giorni.	Altezza del barometro	Altezza del termometro	Direzione del vento.	Stato del cielo.		Altezza del barometro.	Altezza del termometro	Direzione del vento.	Stato del cielo.		
1	27 9,7	+ 13,8	N O	Sereno, nebb.		poll. lin.	°				
2	27 11,0	+ 14,8	N	Nuv. rot. piog.		27 10,0	+ 18,5	N	Se. tem. nuv. pi.		
3	27 10,2	+ 15,0	E	Nebb. nuv. piò		27 10,0	+ 18,4	S O	Sereno.		
4	27 11,0	+ 12,3	S O	Sereno.		27 11,2	+ 17,0	E	Temp. nu. ser.		
5	27 10,5	+ 13,5	N E	Sereno.		27 10,3	+ 19,0	S O	Nuv. sereno.		
6	27 8,0	+ 16,0	E	Nuv. ser. nebb.		27 9,3	+ 20,0	S O	Sereno, nuvolo		
7	27 4,3	+ 15,0	E, O*	Temp. piog.		27 6,8	+ 19,0	N	Pio nu. rot. rer.		
8	27 5,2	+ 12,2	O	Sereno.		27 5,0	+ 15,0	N O	Nuvolo.		
9	27 6,4	+ 10,3	N	Sereno, nebb.		27 6,0	+ 18,5	O	Sereno.		
10	27 6,0	+ 13,0	N	Neb nuv. piog.		27 6,3	+ 18,0	E	Nuv. neb. piog.		
11	27 5,8	+ 13,0	S O	Nuv. piovoso.		27 6,0	+ 16,0	S O	Nuvolo piov.		
12	27 5,9	+ 13,5	N E	Nuv. piog. nuv.		27 5,8	+ 16,5	E	Nuv. rotto, ser.		
13	27 7,2	+ 11,3	S O	Ser. neb. ser.		27 8,2	+ 17,5	S O O	Ser. neb. ser.		
14	27 9,5	+ 12,0	O	Sereno.		27 10,6	+ 20,0	O	Sereno.		
15	27 11,4	+ 13,3	N E	Ser. neb. ser.		27 11,8	+ 20,0	S	Sereno.		
16	27 11,0	+ 13,8	N E	Sereno.		27 10,5	+ 20,5	E	Ser. nuv. ser.		
17	27 9,5	+ 15,0	O	Sereno.		27 8,8	+ 20,0	O	Ser. nuv. ser.		
18	27 10,0	+ 14,5	E	Ser. nuv. ser.		27 10,0	+ 19,5	E	Ser. nuv. ser.		
19	27 10,5	+ 15,6	E	Ser. nuv. ser.		27 9,7	+ 20,5	S E	Nuv. ser. nebb.		
20	27 9,6	+ 16,0	S O	Ser. nuv. ser.		27 9,0	+ 20,7	S E	Nuvolo, ser.		
21	27 9,0	+ 14,5	N E	Ser. nuv. ser.		27 9,0	+ 21,0	E	Sereno, nebb.		
22	27 10,0	+ 15,8	E	Nebbia, sereno		27 10,0	+ 21,5	E	Sereno.		
23	27 11,0	+ 15,8	N E	Ser. neb. ser.		27 10,4	+ 21,8	O	Sereno.		
24	27 11,0	+ 17,0	O	Sereno.		27 11,0	+ 22,0	S	Nuvolo, ser.		
25	27 11,7	+ 16,8	E	Sereno.		27 11,0	+ 21,8	S E	Sereno.		
26	27 11,5	+ 16,4	E	Nuvolo, sereno		27 11,0	+ 22,2	E	Sereno.		
27	28 0,0	+ 15,0	N	Sereno.		27 11,5	+ 22,0	E	Ser. nuv. ser.		
28	27 11,7	+ 16,0	N E	Ser. nebb. ser.		27 10,8	+ 21,5	S O	Sereno.		
29	27 10,8	+ 17,0	E	Nebbia, sereno		27 10,0	+ 21,8	S O	Nuvolo, ser.		
30	27 11,0	+ 15,8	N	Sereno.		27 10,2	+ 22,0	N	Pioggia, temp.		
31	27 11,3	+ 15,0	N O	Sereno.		27 11,6	+ 19,8	E	Sereno.		

Altezza mass. del bar. poll. 28 lin. 0,0

minima ..... » 27 » 4,3

media ..... » 27 » 9,20

Quantità di pioggia poll. 6 lin. 3,45.

Altezza mass. del terin. +22,2

minima ..... +11,3

media ..... +17,0

Giorni sereni 18.

1815 SETTEMBRE.

Giorni.	MATTINA.				SERÀ.			
	Altezza del barometro.	Altezza del termometro	Direzione del vento.	Stato del cielo.	Altezza del barometro.	Altezza del termometro	Direzione del vento	Stato del cielo.
1 28	9,0	+ 14,0	E	Sereno, nuvolo	27 11,0	+ 19,0	E	Sereno
2 27	11,3	+ 15,0	N E	Nuvolo, ser.	27 10,8	+ 19,6	E	Sereno.
3 27	10,9	+ 14,5	N E	Sereno.	27 10,5	+ 19,5	S	Sereno.
4 27	11,0	+ 15,5	E	Sereno.	27 10,2	+ 20,5	O	Sereno.
5 27	9,8	+ 14,6	S O	Sereno.	27 8,5	+ 20,7	S O	Ser. nuv. ser.
6 27	8,3	+ 15,5	O	Sereno.	27 7,0	+ 20,4	S O	Ser. nuv. ser.
7 27	8,5	+ 14,0	E	Nuv. ser. piog.	27 9,0	+ 18,0	E	Sereno.
8 27	10,2	+ 10,0	N	Sereno.	27 10,0	+ 16,0	S E	Sereno.
9 27	11,5	+ 10,5	N	Ser. nuv. ser.	27 11,5	+ 16,6	S	Sereno.
10 27	11,8	+ 10,7	N E	Sereno.	27 11,0	+ 17,2	S O O	Sereno.
11 27	11,6	+ 11,8	N E	Sereno.	28 0,0	+ 18,2	S O	Sereno.
12 28	0,2	+ 13,0	N	Sereno.	27 11,7	+ 19,0	O	Sereno.
13 28	0,0	+ 13,8	N O	Sereno.	27 11,3	+ 19,6	S E	Nuvolo, ser.
14 27	11,2	+ 14,5	O	Nuvolo, sereno.	27 10,6	+ 19,0	S S O	Nuvolo, ser.
15 27	10,2	+ 15,0	N O	Sereno.	27 9,3	+ 20,0	S O	Sereno, nuv.
16 27	9,3	+ 16,0	E	Nuv. piog. ser.	27 8,9	+ 19,8	S O	Sereno.
17 27	9,0	+ 16,0	E	Nuvolo rotto.	27 8,0	+ 15,8	N	Pio.tem.nu.rot.
18 27	9,2	+ 12,7	N	Nuvolo, sereno.	28 9,5	+ 18,0	S	Sereno.
19 27	10,2	+ 12,2	E	Sereno.	28 10,0	+ 16,5	E	Sereno.
20 27	9,2	+ 12,0	E	Nuvolo rotto.	28 9,0	+ 16,0	E	Sereno, nuv.
21 27	9,3	+ 11,5	E	Nuv. rotto, ser.	28 9,2	+ 15,8	S E	Nuvolo rotto.
22 27	9,2	+ 10,5	O	Sereno.	27 8,7	+ 17,0	E	Sereno.
23 27	8,7	+ 12,7	E	Nuv. ser. nuv.	27 7,7	+ 17,0	E	Nuv. poc. gocc.
24 27	7,0	+ 13,0	E	Nuvolo, nebb.	28 8,0	+ 17,0	E	Ser. nuv. ser.
25 27	9,5	+ 13,8	N E	Ser. nebb. ser.	28 10,0	+ 17,5	S	Sereno.
26 27	11,0	+ 13,0	N E	Ser. nebb. nuv.	27 11,2	+ 17,5	S O	Sereno.
27 28	0,0	+ 13,0	N	Sereno, nebb.	27 11,6	+ 18,0	S O	Sereno, nebb.
28 27	11,8	+ 13,6	E	Sereno.	27 11,0	+ 18,5	E	Sereno.
29 27	10,7	+ 13,0	E	Sereno, nebb.	27 9,1	+ 17,7	E	Nuvolo, sereno.
30 27	8,0	+ 13,8	E	Nuvolo rotto.	27 6,1	+ 14,5	E *	Pioggia.
Altezza mass. del bar. poll. 28 lin. 0,2				Altezza mass. del term. +20,7				
minima . . . . .	" 27	" 6,1		minima . . . . .	" 10,0			
media . . . . .	" 27	" 9,61		media . . . . .	" 15,6			
Quantità di pioggia poll. o lin. 4,30.				Giorni sereni 21.				

## 1815 OTTOBRE.

MATTINA.				SERA.				
Giorni.	Altezza del barometro.	Altezza del termometro.	Direzione del vento.	Stato del cielo.	Altezza del barometro.	Altezza del termometro.	Direzione del vento.	Stato del cielo.
1	27 6,2	+ 12,0	S O	Nuvolo, piog.	27 6,4	+ 15,0	S O	Nuvolo, ser.
2	27 7,3	+ 10,8	S O	Sereno.	27 8,5	+ 16,0	O	Sereno.
3	27 10,3	+ 12,4	N	Sereno, nebbia	27 10,9	+ 16,5	S E	Se. temp. gran.
4	27 11,2	+ 11,0	E	Ser. nuv. ser.	27 11,0	+ 15,0	S E	Sereno.
5	27 11,3	+ 10,8	E	Sereno, nuv.	27 11,1	+ 14,0	E	Sereno.
6	27 11,3	+ 10,8	E	Nuv. rotto, ser.	27 11,3	+ 14,0	E	Sereno.
7	27 11,6	+ 11,0	E	Neb. nuv. ser.	27 11,4	+ 14,0	E	Sereno, nuv.
8	27 11,3	+ 10,7	E	Ser. nebb. ser.	27 10,5	+ 14,6	O	Ser. nuv. ser.
9	27 11,0	+ 11,0	E*	Nuvolo rotto.	27 11,5	+ 11,0	E	Nuv. ser. nuv.
10	27 11,3	+ 8,0	N E	Sereno.	27 10,7	+ 12,4	S E	Sereno.
11	27 10,7	+ 8,7	N E	Nuv. rotto, ser.	27 10,2	+ 12,4	E	Nuv. rot. nebb.
12	27 10,2	+ 9,0	N	Piog. nuv. neb.	27 10,3	+ 11,0	S E	Nuvolo, nebb.
13	27 10,8	+ 9,5	S O	Nuvolo rotto.	27 10,8	+ 12,4	S	Nuv. ser. nebb.
14	27 11,0	+ 9,5	S	Nuvolo, nebb.	27 10,8	+ 13,0	S	Nuv. neb. rot.
15	27 10,2	+ 11,0	S	Nebbia, piov.	27 10,0	+ 12,7	S O	Nebbia, sereno
16	27 11,0	+ 7,9	N	Sereno.	27 11,3	+ 14,0	E	Sereno.
17	27 11,2	+ 7,8	N	Sereno.	27 10,3	+ 14,5	S O	Sereno.
18	27 9,8	+ 8,0	O	Sereno.	27 9,3	+ 13,5	O	Nebbia, sereno
19	27 11,0	+ 9,0	N E	Ser. nuv. nebb.	27 11,3	+ 13,5	E	Nuv. rotto, neb.
20	27 11,0	+ 8,0	S E	Sereno.	27 11,0	+ 13,2	S E	Sereno.
21	27 10,0	+ 8,5	N N O	Sereno, nuvolo	27 9,5	+ 13,0	E	Sereno, nuv.
22	27 9,7	+ 8,2	N	Sereno, nuvolo	27 10,3	+ 12,7	E	Nuvolo.
23	27 11,5	+ 10,0	E N E	Nuvolo, sereno	27 0,0	+ 14,0	N	Ser. nuv. rotto.
24	27 11,9	+ 11,0	E	Nu. rot. poc. pi.	27 11,9	+ 13,5	S E	Nuvolo piog.
25	27 11,0	+ 10,0	N E	Pioggia.	27 10,0	+ 12,0	E	Pioggia.
26	27 6,1	+ 11,0	E N E*	Piog. ser. nuv.	27 6,5	+ 14,0	S O	Sereno.
27	27 7,7	+ 9,3	E	Ser. nuv. piog.	27 8,0	+ 11,5	E	Sereno, nuv.
28	27 9,3	+ 9,3	E S E	Nuvolo.	27 9,7	+ 11,5	E	Nuvolo, piog.
29	27 9,0	+ 9,8	S O	Pioggia.	27 8,3	+ 11,7	N E**	Piog. dirot. ser.
30	27 7,0	+ 11,8	N O	Pioggia.	27 6,3	+ 12,8	S O	Sereno, nuv.
31	27 5,8	+ 10,0	O	Piog. nuv. rot.	27 5,8	+ 12,0	N O	Nuvolo, sereno

Altezza mass. del bar. poll. 28 lin. 0,0

minima ..... \* 27 = 5,8

media ..... \* 27 = 9,93

Quantità di pioggia poll. 6 lin. 3,64.

Altezza mass. del term. + 16,5

minima ..... + 7,8

media ..... + 11,6

Giorni sereni 14,5.

## 1815 NOVEMBRE.

Giorni.	MATTINA.			SERA.				
	Altezza del barometro.	Altezza del termometro	Direzione del vento.	Stato del cielo.	Altezza del barometro.	Altezza del termometro	Direzione del vento.	Stato del cielo.
1 27	7,5 +	°	E**	Nuvolo, piogg.	27 7,6 +	°	E	Nuvolo, sereno
2 27	7,8 +	5,0	N O	Sereno.	27 7,8 +	8,5	O	Sereno.
3 27	7,2 +	3,8	O	Sereno, nebb.	27 7,0 +	8,0	S	Sereno, nebb.
4 27	8,4 +	3,5	N O	Sereno.	27 9,2 +	9,5	N	Sereno.
5 28	0,0 +	3,2	N E	Sereno.	27 11,8 +	7,6	E	Sereno.
6 28	1,0 +	2,4	N E	Sereno.	28 0,8 +	6,5	O	Sereno.
7 28	1,0 +	2,2	O	Sereno.	28 1,0 +	6,0	O	Sereno.
8 28	0,7 +	1,8	O	Ser. neb. ser.	28 0,0 +	6,0	S	Ser. neb. ser.
9 28	0,0 +	2,8	N N O	Sereno.	27 11,5 +	6,0	E	Nebbioso.
10 28	0,0 +	3,5	N O	Neb., nuv. rott.	28 1,0 +	7,0	E	Neb. nuv. rot.
11 28	1,6 +	4,5	E	Nebbia, ser.	28 1,0 +	8,0	O	Sereno.
12 28	1,0 +	3,8	O	Sereno, nebb.	28 0,2 +	6,5	S O	Nebbia, ser.
13 27	11,0 +	5,5	E	Nebbia, nuv.	27 9,0 +	6,5	S S E	Neb. piov. nuv.
14 27	6,0 +	6,2	N E	Nebbia, piogg.	27 5,0 +	7,5	S E	Nebbia, nuv.
15 27	2,0 +	8,5	S E	Pioggia.	27 0,7 +	9,5	E	Nuvolo rotto.
16 27	4,0 +	4,5	O**	Ser. ven. for.	27 4,3 +	7,5	S O	Sereno.
17 27	6,5 +	2,0	O	Sereno.	27 7,3 +	5,6	S	Sereno, nebb.
18 27	7,0 +	2,0	O	Sereno, nebb	27 8,0 +	6,8	N O	Sereno.
19 27	11,0 +	0,4	E	Sereno.	27 11,5 +	4,5	O	Sereno, nuvolo
20 27	10,7 +	3,4	N	Nuvolo.	27 8,8 +	2,8	N	Pioggia, nev.
21 27	6,7 +	2,0	S O	Nuvolo.	27 6,7 +	4,9	O	Sereno.
22 27	8,8 +	4,0	S O	Nuvolo rotto.	27 9,0 +	5,6	S O	Nuvolo.
23 27	9,0 +	4,7	S O	Nuv. neb. piov.	27 8,2 +	5,3	S O	Nebbia, piogg.
24 27	6,4 +	4,8	S O	Nuvolo, piogg.	27 7,0 +	6,3	S	Nuvolo rotto.
25 27	10,0 +	3,8	E**	Nuv. pio. nev.	27 11,4 +	2,0	N E	Nuv. nev. piov.
26 28	0,2 +	2,5	N	Nuvolo rotto.	27 11,0 +	3,2	N	Nuvolo.
27 27	10,0 +	2,0	S S E	Nuv. nev. ser.	27 8,9 +	2,0	N N O	Ser. nuv. ser.
28 27	9,0 -	0,0	S O	Se. neb. po. nev.	27 9,8 +	2,0	N O	Nebb. ser. nuv.
29 28	0,0 -	0,8	O	Sereno.	28 1,0 +	1,8	O	Sereno.
30 28	3,0 -	1,0	O	Sereno.	28 3,0 +	1,8	O	Ser. nebb. ser.

Altezza mass. del bar. poll. 28 lin. 3,0 Altezza mass. del term. + 9,5  
 minima ..... » 27 » 0,7 minima ..... - 1,0  
 media ..... » 27 » 9,58 media ..... + 4,5  
 Quantità di pioggia poll. 2 lin. 9,62. Giorni sereni 14.

## 1815 DICEMBRE.

MATTINA.				SERÀ.				
Giorni.	Altezza del barometro.	Altezza del termometro	Direzione del vento.	Stato del cielo.	Altezza del barometro.	Altezza del termometro	Direzione del vento.	Stato del cielo.
1 28	2,2	- 0,9	o	Ser. neb. nuv.	28 2,0	+ 2,2	o	Ser. neb. nuv.
2 28	2,0	- 0,0	o	Sereno, nebb.	28 2,0	+ 3,0	o	Nuvolo, nebbia
3 28	1,3	+ 2,5	o	Nuv. rotto, neb.	28 0,9	+ 4,8	o	Nuvolo rotto.
4 27	11,0	+ 3,5	s o	Nuv. rotto, neb.	27 10,0	+ 5,0	s	Nuvolo.
5 27	6,0	+ 3,5	s o*	Nuv. piog. ser.	27 6,0	+ 6,0	n o	Sereno.
6 27	4,2	+ 2,0	' o	Nebb. ser. nuv.	27 2,0	+ 3,8	s o	Nebb. ser. nuv.
7 27	1,2	+ 0,6	s o	Nuv. nebb. ser.	27 2,2	+ 3,7	e	Nuv. rotto, nuv.
8 27	5,4	+ 2,5	n e	Nuvolo, piov.	27 6,5	+ 2,7	e	Nuvolo rotto.
9 27	6,0	- 0,0	o	Sereno.	27 6,3	+ 2,5	o	Sereno, nebbia
10 27	8,0	+ 1,0	n	Nuvolo.	27 8,3	+ 2,5	o	Sereno.
11 27	11,0	- 0,0	n	Nebbia, nuv.	27 11,0	+ 2,0	n e	Sereno.
12 27	11,6	- 2,0	n e	Sereno.	27 11,0	- 0,0	o	Nebbia.
13 28	0,0	- 2,0	s o	Sereno.	28 0,1	- 0,7	s o	Nebbia.
14 28	0,0	- 2,0	s o	Nebbia.	28 0,0	- 1,5	o	Nebbia.
15 27	10,8	- 3,5	o	Nebbia.	27 9,5	- 2,5	o	Nebbia.
16 27	8,8	- 4,2	o	Nebbia.	27 7,5	- 3,0	o	Nebbia.
17 27	4,6	- 3,0	o	Nebbia.	27 3,9	- 1,5	e, o	Nuvolo.
18 27	6,0	- 2,5	o	Nebbia.	27 6,6	- 0,6	e	Nuv. rot. nebb.
19 27	6,8	- 0,0	n	Neve.	27 6,2	+ 1,0	o	Nuvolo, sereno
20 27	9,8	- 6,0	e	Sereno.	27 10,0	- 2,5	o	Sereno, nebb.
21 27	10,6	- 1,0	s o	Nuvolo.	27 10,5	+ 0,6	s o	Nuv. piog. gel.
22 27	10,0	- 0,0	o	Nu.neb.pio.gel.	27 9,0	+ 0,5	o	Nuvolo, piov.
23 27	7,6	+ 0,6	s o	Nuv.neb. piov.	27 7,3	+ 0,1	o	Nuvolo, nebbia
24 27	9,0	+ 1,0	o	Nuvolo.	27 8,6	+ 2,5	o	Nuv.rot.ser.nu.
25 27	8,0	+ 1,0	o	Nuvolo, neb.	27 7,0	+ 2,5	o	Nebbioso, piov.
26 27	7,5	- 0,0	s o	Ser. nebb. folta	27 9,3	+ 1,0	n e	Nebbia.
27 27	9,4	+ 0,0	o	Nuvolo, nebb.	27 9,0	+ 1,5	s o	Nuvolo, nebbia
28 27	9,2	+ 0,0	o	Nuvolo, nebbia	27 11,0	+ 1,0	n o	Nebbia, sereno
29 28	1,0	- 1,6	o	Nebbia.	28 0,7	- 0,0	o	Nebbia.
30 28	0,2	- 2,7	n	Neb. ser. neb.	27 10,3	- 1,0	n e	Nebbia.
31 27	10,2	- 2,7	e	Neb. ser. neb.	27 11,0	- 0,5	e	Nebbia, spr.

Altezza mass. del bar. poll. 28 lin. 2,2  
 minima ..... » 27 » 1,2  
 media ..... » 27 » 9,05

Altezza mass. del term. + 6,6  
 minima ..... - 6,0  
 media ..... + 0,3

Quantità di pioggia poll. o lin. 11,27. Giorni sereni 7,5.











